

Glasgow University Library



STORE



Store 29163









## ESCRIPTIVE UND TOPOGRAPHISCHE

# ANATOMIE

DES

## MENSCHEN

IN 637 ABBILDUNGEN.

VON

DR. C. HEITZMANN.

SECHSTE AUFLAGE.

MIT 169 COLORIRTEN FIGUREN.



WIEN 1890.

WILHELM BRAUMÜLLER

\*K. U. K. HOF- UND UNIVERSITÄTSBUCHHÄNDLER.

C

(Alle Rechte vorbehalten.)

Druck von R. v. Waldheim in Wien. Papier der Ebenfurther Papier-Fabrik



## VORWORT

ZHR

#### FÜNFTEN AUFLAGE

Seit dem Erscheinen der ersten Auflage im Jahre 1870 hat das Werk eine Verbreitung in mehr als 30,000 Exemplaren gefunden. Schon seit Jahren wurde vielfach der Wunsch ausgesprochen, eine colorirte Ausgabe zu veranstalten, da Verständniss und Uebersicht hierdurch gefördert würden.

Zu diesem Zwecke wurden demnach vor einigen Jahren die ersten Versuche unternommen. Der ursprüngliche Plan, nicht nur die Gefässe, sondern auch die Muskeln, Knochen u. s. w. zu coloriren, musste jedoch fallen gelassen werden, da sich einem solchen Unternehmen vorerst noch bedeutende Schwierigkeiten darboten, und viele Figuren durch das Colorit eher gelitten, als gewonnen hätten. In vorliegender Auflage sind daher nur die Arterien und Venen in Farben dargestellt.

Der Text wurde sorgfaltig durchgesehen und überall, wo sich Veraltungen oder Ungenauigkeiten ergaben, verbessert. Am Schluss des Werkes folgt ein vollständiges Sachregister. Möge sich die neue Auflage ebenso, wie die früheren, der Gunst der Mediziner erfreuen.

Vorsehläge zu etwaigen Verbesserungen oder Vermehrungen wolle man gefälligst direct an die Verlagshandlung richten.

New-York, im Juni 1888.

C. Heitzmann.



## INHALT.

	1. Ithousen. Golding. Danger.	
Figur		Seite
	Hinterhaupthein, Os occipitis, von vorne	3
	Hinterhaupthein, Os occipitis, von hinten	4
	Hinterhaupthein, Os occipitis, von unten	5
	Keilbein, Os sphenoideum, von oben	6
5.	Keilbein, Os sphenoideum, von vorne	7
	Keilbein, Os sphenoideum, von hinten	8
	Stirnbein, Os frontis, von vorne	9
8.	Stirnbein, Os frontis, von hinten	10
9.	Siebbein, Os ethmoideum, von aussen	11
10.	Siebbein, senkrechte Platte	_
	Siebbein, innere Fläche des Labyrinthes	_
12.	Linkes Seitenwandbein, Os parietale, von aussen	12
	Linkes Seitenwandbein, Os parietale, von innen	13
	Linkes Schläfebein, Os temporum, von aussen	14
	Linkes Schläfebein, Os temporum, von innon	15
	Linkes Schläfebein, Os temporum, von unten	16
	Linkes Schläfebein des Neugeborenen, von aussen	17
18.	Linkes Schläfebein des Neugeborenen, von innen	_
	Schädel eines Fötus, von oben (1/2 nat. Grösse)	18
	Schädel eines Fötns, von der Seite (1/2 nat. Grösso)	
	Die obere Schale der Schädelkapsel, Fornix cranii, von innen	19
22.	Die untere Schale der Schädelkapsel, Basis cranii, von innen	20
	Rechtos Oborkieferbein, Os maxillae, von aussen	21
	Rechtes Oberkieferbein, Os maxillae, von innen	22
	Rechtes Oberkieferbein, Os maxillae, von unten	23
	Rechtes Oberkieferbein, Os maxillae, von aussen, mit den Knochenver-	
	bindungen und Muskelansätzen	24
27.	Rechtes Oberkieferbein, Os maxillae, von innen, mit den Knochenver-	
	1. 1	05

VI Inhalt.

Figur 98	Rechtes Jochboin, Os zygomaticum, von aussen	Seite 26
	Rechtos Jochbein, Os zygomaticum, von innon	~0
	Rechtes Nasonboin, Os nasale, von aussen	27
	Rechtos Nasenboin, Os nasale, von innen	
	Linkes Gaumonboin, Os palatinum, von innon	28
	Linkos Gaumenhein, Os palatinum, von hinten	
	Linkes Thränenbein, Os lacrymale, von aussen	29
	Linkos Thränonbein, Os lacrymale, von innen	
	Linko untore Nasenmuschel, Concha inferior, von innen	
	Linko untero Nasenmuschel, Concha inferior, von aussen	
		91
	Pflugseharboin, Os vomeris	31
	Unterkiefer, Mandibula, von aussen	32
	Unterkiofer, Mandibula, von innen	33
	Untorkiefer des Neugeborenen (nach Gray)	34
	Unterkiefer eines Knaben (nach Gray)	~~
	Unterkiefer des Erwachsenen (nach Gray)	35
	Unterkiefer im Greisenalter (nach Gray)	_
	Linkes Kiefergelenk, Articul. temporo-maxillaris, von aussen	
	Linkes Kiefergelenk, Articul. temporo-maxillaris, von innen	37
	Rochtes Kiefergelonk, Articul. temporo-maxillaris, im Durehschnitto	38
	Zungenbein, Os hyoides, von vorne	39
	Zungenbein, Os hyoides, mit den Ansätzen der Muskeln und Bänder	_
	Der knöcherno Kopf, mit den Höhlen und Gruben des Gesichtes	40
	Linke Augenhöhle, Orbita	41
	Die Nasenhöhle, Cavum narium	42
	Dio Nasenhöhle, Cavum narium	43
54.	Die Flügelgaumongrube (Keil-Oberkiofergrube), Fossa pterygo-palatina	,
	seu spheno-maxillaris	44
5 <b>5</b> .	Dor knöchorne Kopf, von unten	45
56.	Schema eines wahron Wirbels, von oben	46
	Schema eines wahron Wirbels, von der Seite	
58.	Schema eines Halswirbels	47
59.	Der erste Halswirbel, Träger, Atlas, von oben	_
	Der zweite Halswirbel, Epistropheus, von oben	48
	Der zweite Halswirbol, Epistropheus, von der Seite	_
	Der siobente Halswirbel, Vertebra prominens, von oben	49
	Schema eines Brustwirbels	50
	Der erste Brustwirbel, von der Seite	_
	Der zehnte, eilfte und zwölfte Brustwirbel, von der Seite	51
	Schema eines Lendenwirbels	
	Lendenwirbel, Vertebra lumbalis, von der Seito	_
	Das Kreuzbein, Os sacrum, von vorne	53
	Das Krouzbein, Os sacrum, von hinten	54
	Das Steissbein, Os coccygis, von vorne	55
	Das Steissbein, Os coccygis, von hinten	
	Das vordoro lange Wirbelsäulenband, Lig. longitud. anterius	56
	Das hintere lango Wirbolsäulenband, Lig. longitud. posterius	
10.	Day miles in the same of the same and the sa	

Inhalt. VII

Figur	7707	Seite
	Zwischenwirbolschoibo, Fibrocartilago intervertebralis	57
	Die Zwischenbogonbänder, Ligamenta intercruralia seu flava	_
76.	Dio Zwischondornbündor, Ligamenta interspinalia, und dio Zwischonquer-	~ ~
	bänder, Ligamenta intertransversalia	58
	Das vordere Verstopfungsband, Membrana obturatoria anterior	59
	Das hintere Verstopfungsband, Membrana obturatoria posterior	60
79.	Die Bänder zwischen Epistrophous, Atlas und Hinterhauptknochen, vom	
	Wirbelkanale aus gosehen	61
80.	Die Bänder zwischen Atlas und Epistrophous, von oben	62
81.	Das Ligamentum suspensorium dentis und dio Ligamenta alaria, nach Er-	
	öffuung des vorderen Halbringes des Atlas	_
82.	Bänder zwischen Epistropheus, Atlas und Hinterhauptknochen	68
83.	Bänder zwischen Kreuz- und Steissbein	64
	Die Wirbelsäule, Columna vertebralis, von der Soite	65
	Das Brustbein, Sternum, von vorne	66
	Das Brustbein, Sternum, von hinton	_
	Das Brustbein in Verbiudung mit den Rippenknorpeln	67
	Dio knöcherne Spange einer wahren Rippe	68
	Das Wirbelonde der Rippe, Extremitas vertebralis	69
	Die erste Rippe, von oben	70
	Die zweite Rippe, von oben	71
	Die eilfte und zwölfte Rippe, Costae fluctuantes	72
	Gelenke zwischen den hinteren Rippenenden und den Wirbeln, Articula-	1 4
99.	tiones costo-spinales, von vorno	78
0.4	Gelenke zwischen den hinteren Rippenenden und den Wirbeln, Articula-	10
94.		74
0=	tiones costo-spinales, von unten	15
90.	Gelenke zwischen den vordoren Rippencaden und dem Brustbeine, Arti-	י ליו
0.0	culationes costo-sternales, von vorne	75
90.	Gelenke zwischen den vorderen Rippenendon und dem Brustbeine, Arti-	17/
017	culationes costo-sternales, im Durchschnitte	7(
97.	Gelenke zwischen den vorderen Rippenenden und dem Brustbeine, Arti-	1-41-
00	culationes costo-sternales, von vorne	77
98.	Der Brustkorb, Thorax, und die Wirbelsäule, von vorne, mit den Ansätzen	n.
00	von Hals-, Brust-, Bauch- und Rückenmuskeln	78
99.	Der Brustkorb, Thorax, und die Wirbelsäule, von hinten, mit den Ansätzon	
	der breiten und einiger langen Rückenmuskeln	79
100.	Der Brustkorb, Thorax, und die Wirbelsäule, von hinten, mit den Ansätzen	
	der tiefen Hals- und Rückenmuskeln	80
	Das rechte Schlüsselbein, Clavicula, von vorne	81
	Das rechte Schlüsselbein, Clavicula, von untcu	_
	Das linke Schulterblatt, Scapula, von vorne	82
	Das linke Schulterblatt, Scapula, von hinten	88
	Das Brustbein-Schlüssolbeingelenk, Articulatio sterno-clavicularis	84
106.	Das rechto Schlüsselbein-Schulterblattgelenk, Art. acromio-clavicularis .	85
107.	Das rechte Oberarmbein, Humerus, von vorne	86
108.	Das rechte Oberarmbein, Humerus, von hinton	87
109.	Das rechte Oberarmboin, Humerus, von vorne, mit den Muskelansätzon	88

VIII Inhalt.

Figur	- 1. O. 1. 1. 1. Authorities Journal	Seite
	Das rechte Schultergelenk, Articulatio humeri	89
	Das Schultergelenk, Articulatio humeri, im Durchschnitte	90
	Die rechte Ellbogenröhre, Ulna, ven verne	91
	Die rechte Ellbogenröhre, Ulna, ven hinten	
	Die rechte Armspindel, Radius, von vorne	92
	Die rechte Armspindel, Radius, von hinten	_
116.	Die Knochen des rechten Verderarmes, Radius und Ulna, von verne, mit	
	den Muskelansätzen und Muskelrinnen	93
117.	Die Knochen des rechten Vorderarmes, Radius und Ulna, von hinten, mit	
	den Muskelansätzen und Muskelrinnen	94
	Das rechte Ellbegengelenk, Articulatio cubiti, ven vorne	95
	Das innere Seitenband des rechten Ellbegengelenkes, Lig. laterale internum	96
	Das äussere Scitchband des rechten Ellbogengelenkes, Lig. laterale externum	
121.	Die das Ellbegengelenk censtituirenden Gelenkflächen des Oberarmbeines,	
	in der Vogelsicht	97
122.	Die das Ellbegengelenk constituirenden Gelenkflächen des Radius und	
	der Ulna, in der Vegelsicht	_
	Die rechte Articulatio humero-ulnaris, im Durchschnitte	98
	Die Prenatiens- und Supinatiensbewegung des Radius und der Hand.	
	-132. Die Knechen der rechten Handwurzel, Ossa earpi, von der Dersalseite	99
	-140. Die Knechen der rechten Handwurzel, Ossa carpi, ven der Velarseite	100
141.	Mittelhandknechen, Os metacarpi; erstes, zweites, drittes Glicd, Phalanx	
	prima, secunda, tertia, des rechten Mittelfingers, ven der Dersalseite.	
	Die rechten Handwurzel- und Mittelhandgelenke, im Durchschnitte	102
143.	Die die Articulatio carpi censtituirenden Gelenkflächen des Radius und	
	des Zwischenknerpels, in der Vegelsicht	103
144.	Die die Articulatio carpi censtituirenden Gelenkflächen der eberen Hand-	
v	wurzelreihe in der Vegelsicht	
	Die Verstärkungsbänder an der Dersalseite der rechten Handwurzel.	
	Die Verstärkungsbänder an der Velarseite der rechten Handwurzel	105
147.	Die Fingergelenke des vierten und fünften Fingers der rechten Hand,	
	ven der Velarseite	106
148.	Die Knechen der rechten Hand, ven der Dersalseite, mit den Muskel-	
~ 40	ansätzen	107
149.	Die Knechen der rechten Hand, ven der Velarseite, mit den Muskel-	
	ansätzen	
	Das rechte Hüftbein, Os coxae, ven aussen	
	Das rechte Hüftbein, Os coxae, ven innen	
	Das rechte Hüftbein, Os coxae, ven aussen, mit den Muskelansätzen.	
	Das rechte Hüftbein, Os coxae, ven innen, mit den Muskelansätzen	112
154.	Verbindungen der Hüftbeine, Symphysis sacro-iliaca und Symphysis ossium	
	pubis. Bänder an der verderen Seite des Beckens	
	Die Symphysis ossium pubis, im Durchschnitte	
	Verbindungen der Hüftbeine. Bänder an der hinteren Seite des Beckens	
	Männliches Becken, ven verne	
	Weibliches Becken, ven verne	
159.	Männliches Becken, ven eben, mit den Durchmessern der Apert. pelvis super.	116

Inhalt, IX

Figur	are that the first state of the	Seite
160.	Weibliches Bocken, von oben, mit den Durchmessern der Apert. pelvis	446
	superior	
	Mänuliches Beckon, im Durchschnitte, mit den Durchmessern des Cavum pelvis Weibliches Becken, im Durchschnitte, mit den Durchmessern des Cavum pelvis	
	Männliches Becken, von unten, mit den Durchmessern der Apert. pelvis infer.	
	Weibliches Becken, von unton, mit den Durchmessorn der Apert. petvisinfer.	118
	Das rechte Oberschonkelbein, Femur, von vorno	
	Das rochte Oberschonkelbein, Femur, von hinten	
	Das rechte Oberschonkelbein, Femur, von hinten, mit den Muskelansätzen	
	Das rechte Hüftgelenk, Articulatio coxae, ven vorne	
	Das rechte Hüftgelenk, Articulatio coxae, eröffnet	
	Das rechte Hüftgelenk, Articulatio coxae, im Durchschnitte	
	Die Knechen des rechten Unterschenkels, Schienbein, Tibia, und Waden-	120
111.	bein, Fibula, von vorne	124
172.	Die Knochen des rechteu Unterschenkels, Schienbein, Tibia, und Waden-	
1	bein, Fibula, von hinten	
173.	Das rechte Schien- und Wadenbein, Tibia et Fibula, von vorne, mit den	
	Muskelansätzen	
174.	Das rechte Schien- und Wadonboin, Tibia et Fibula, von hinten, mit don	
	Muskelansätzen	_
175.	Die rechte Knieschcibe, Patella, von vorne	127
176.	Die rechte Kniescheibe, Patella, von hinten	_
177	. Die halbmondförmigen Zwischenknorpel, Fibrocartilagines interarticulares	
	in Vogelsicht	
	. Die Kreuzbänder, Ligamenta cruciata, des rechten Kniegelenkes	
	. Das äussere Seitenband, Lig. laterale externum, des rechten Kniegelenker	
	. Das innere Seitenband, Lig. laterale internum, des rechten Kniegelenko	
	. Die Flügelbänder, Ligamenta alaria, des rechten Kniegelenkes	
	. Das Kniegelenk, Articulatio genu, im Durchschnitte	
	Das rechte Sprungbein, Talus, von vorne und innen	
	. Das rechte Sprungbein, Talus, von aussen	
	Das rechto Fersenbein, Calcaneus, von obon	
	5. Das rechte Kahnbein, Os scaphoideum seu naviculare, von oben	
	. Das rechte innere Keilbein, Os cntocuneiforme, ven oben	
	3. Das rechte mittlere Keilbein, Os mesocuneiforme, von eben	
	). Das rechte äussere Keilbein, Os ectocuneiforme, von oben	
	Das rechte Würfelbein, Os cuboideum, von eben	
	l. Das rechte Würfelbein, <i>Os cuboideum</i> , von unten	
134		
196	dor vorderen Kapselwand	
100		
19/	und Wadenbeines, in der Vogelsicht	
	5. Die Bänder des Sprunggelenkes und der Fusswurzelknochen, von ausse	
	6. Die Gelenke der Fusswurzelknochen, Articulationes intertarseae et tarse	
10	metatarseae, im Durchschnitto	
19	7. Die plantaren Verstärkungsbänder der Fusswurzelgelenko	
10	. Die bremettien tensettrengepandet det Tabbaniporgeiente.	

X Inhalt.

198. Die Zehongelenko der vierten und fünften Zehe des rechten Fusses, von	cite
der Plantarseite	42
199. Die Knochen des rechten Fnsses, von der Dersalseite, mit den Muskel-	
ansätzen ,	43
200. Die Knochen des rechten Fusses, von der Plantarseite, mit den Muskel-	
ansiitzon	44
II. Muskeln. Fascien. Topographie.	
201. Die Hautschnitte für Secirübungen. Die Körperregionen, von vorne 1	47
202. Die Hautschnitte für Secirübungen. Die Körperregionen, von hinten . 1	48
203. Die Muskeln und Fascien der Kopfhant und des Gesichtes 1	
204. Die Muskeln des Gesichtes	
205. Die Muskeln des Unterkiefers, von aussen	
206. Die Muskeln des Unterkiefers (die Flügelmuskeln), von innen 1	
207. Der Hautmuskel des Halses	
208. Die Halsmuskeln	
210. Die tiefen Halsmuskeln	
211. Topographische Anatomie des Halses	
212. Die Fascie des Halses. Hochliegendes Blatt	
213. Horizentaldurchschnitt in der Gegend dos 6. Halswirbels. (Nach L. Dittel) 1	
214. Die Brustmuskeln. Erste Schichte	
215. Die Brustmuskeln. Zweite und dritte Schichte	61
216. Musculus triangularis sterni seu sterno-costalis 1	62
217. Die langen Bauchmuskeln	
218. Die breiten Bauchmuskeln	
219. Die breiten Bauchmuskeln	
220. Das Zwerchfell, Diaphragma. Untere Fläche	
221. Die breiten Rückenmuskeln	
223. Die breiten Rückenmuskeln.       1         223. Die breiten Rückenmuskeln.       1	
224. Die langen Rückenmuskeln	
225. Die langeu Rückenmuskeln	
226. Die kurzen Rückenmuskeln	
227. Die Muskeln an der Schulter	
228. Die Muskeln an der Schulter	
229. Die Muskeln an der Schulter	_
230. Die Muskeln an der vorderen Gegend des Oberarmes	75
0	
232. Die Muskeln an der hinteren Gegend des Oberarmes	
233. Horizontalschnitt durch die Schulter, in der Höhe des Tuberc. maj 1	
234. Frontalschnitt durch die Schulter, bei horizontal gestelltem Arme 1	19
235. Horizontalschuitt im mittleren Drittel des Oberarmes	79
237. Sagittalschnitt durch das Ellbogengelenk	
238. Die Muskeln an der inneren Seite des Vorderarmes	

Inhalt. XI

Figur	Die Muskeln an der inneren Seite des Vorderarmes	Seite
	Die Muskeln an der äusseren Seite des Vorderannes	
	Schnenscheidensäcke in der Hohlhand	
	Sehnenseheidensäeke am Handrücken	
	Die Strecksehnen am Handrücken	
	Die Mnskeln an der äusseren Seite des Vorderarmes	
	Horizontalschnitt im mittleren Drittel des Vorderarmes	
	Horizontalschnitt im unteren Drittel des Vorderarmes	
	Die Muskeln an der Hand	
	Die Mnskeln an der Hand	
	Die Muskeln an der Hand	
250.	Die Muskeln an der Hand	_
251.	Horizontalsehnitt durch die erste Reihe der Handwurzelknochen	188
252.	Horizontalselnitt durch die zweite Reihe der Handwurzelknochen	_
253.	Horizontalschnitt dnreh die Mittelhand	
	Die Fascio der oberen Extremität, an der Beugeseite	
	Die Fascie der oberen Extremität, an der Streckseite	
	Die änsseren Muskeln der Hüfte	
	Die äusseren Muskeln der Hüfte	
	Die inneren Muskeln der Hüfte	
	Die Muskeln an der vorderen Peripherie des Obersehenkels	
	Die Muskeln an der inneren Peripherie des Oberschenkels	
	Durchschnitt durch den Obersehenkel, in der Ebene des Ligamentum Poupartii	
	Horizontalschnitt im mittleren Drittel des Oberschenkels	
	Die Muskeln an der hinteren Peripherie des Oberschenkels	190
264.	Die Miskeln an der hinteren Peripherie des Oberschenkels, nach Ent-	
0.05	ferning dor Beuger	
	Horizontalschnitt in der Höhe der Condylen des Oberschenkels	
	Sagittalschnitt durch das Kniegelenk	
	Die Muskeln an der vorderen und äusseren Seite des Unterschenkels.	
	Die Muskeln an der hinteren Seite des Unterschenkels	
	Die Muskeln an der hinteren Seite des Unterschenkels	
	Horizontalschnitt im mittleren Drittel des Unterschenkels	
	Herizontalschnitt in der Höhe der Malleolen des Unterschenkels	
	Die Muskeln an der Dorsalseite des Fusses	
	Die Muskeln an der Dorsalseite des Fnsses	
274.	Die Mnskeln an der Plantarseite des Fnsses	204
275.	Die Mnskeln an der Plantarseite des Fnsses	_
276.	Die Mnskeln an der Plantarseite des Fnsses	205
277.	Die Muskeln an der Plantarseite des Fusses	_
278.	Frontalselmitt dnrch das Sprunggelenk	206
	Frontalselmitt durch die Fusswurzel, Tarsus,	
	Frontalschnitt durch den Mittelfuss, Metatarsus	
	Sagittalschnitt durch den Fuss, in der Ebene der zweiten Zehe. 1/2 nat.	
	Grösse	
282.	Die Fascie der unteren Extremität an der inneren Seite	208
	Die Faseie der nnteren Extremität an der äusseren Seite	
	The state of the s	

Pigur		Seite
	III. Sinneswerkzeuge.	
284.	Soukrechter Schnitt durch die Haut. (Schematisch)	211
	Die Spaltrichtungen der Haut. Nach C. Langer	
	Die Richtung der Haare und die Verästlungsbezirke der Hautnerven. Nach	~1~
~00.	C. Aug. Voigt	213
287.	Die Richtung der Haare und die Verästlungsbezirke der Hautnerven. Nach	~10
2011	C. Aug. Voigt	214
288	Die knorpelige und knöcherne Nasenscheidewand, Septum narium cartila-	-VII
200.	gineum et osseum	215
289	Frontalschnitt durch die Nasenhöhlen. Nach E. Znekerkandl	
	Aeussere Wand der Naseuhöhle an einer linken Gesichtshälfte dargestellt.	
≈00.	Nach E. Zuckerkandl	
901	Die Knorpel des Nasengerästes. Seitenansicht	
	Die Knerpel des Nasengerüstes. Ansicht ven unten	
	Die Schleimhaut der Nasenscheidewand, Membrana pituitaria narium (septi)	
	Das Auge und die Mnskeln der Augenlidspalte	
	Die innere Fläche der Augenlider	
	Senkrechter Schnitt durch das ebere Augenlid. (Schematisch)	
	Die Thränenorgane	
	Die Augenmuskeln, von aussen	
	Die Augenmuskeln, von oben	
	Horizontalschnitt durch beide Angäpfel. Nach Ford. Arlt sen	
	Durchschnitt des Augapfels, Vergr. = 4. Nach Ferd. Arlt sen	
	Schema der Blutgefässe des Augapfels. Vergr. = 4. Nach Theed. Leber	
əyə.	Durchschnitt an der Uebergangsstelle der Sclera in die Cornea. Vergr. = 100.	
204	Nach einem Präparate von Alex. Iwanoff	
	Die Nerven der Iris und Chorioidea. Vergr. = 2	
500	Das Beleuchtungsbild des pigmentirten Angengrundes. Vergr. = 7. Nach	
900	Ed v. Jaeger	
306	Das Beleuchtungsbild des nicht pigmentirten (albinetischen) Augengrundes	
907	Vergr. = 7. Nach Ed. v. Jaoger	
307	. Senkrechter Schnitt durch die Stelle des Schnerveneintrittes. Nach einen	
900	Präparate von Alex. Iwaneff	
	Die Ohrmuschel, Auricula	
	Die Muskeln der Ohrmuschel	
	Der äussere Gehörgang und die Paukenhöhle im Durchschnitte	
	. Die Incisurae Santorini des knorpoligen Gehörganges	
312	Das Trommelfell von aussen, nach theilweiser Entfernung des knöcherner	
919	Gehörganges	
	3. Das Trommelfell und die Gehörknöchelchen des Kindes von innen .	
	Die Paukenhöhle und die Ohrtrompete im Durchschuitte	
	b. Die innere Wand der Paukenhöhle. Vergr. = 3	
316	3. Das Trommelfell und die Ohrtrompete von innen. Nach einem Präparat	
04.5	von A. Politzer	. 204 999
317	7. Die Gehörknöchelchen von aussen. Vergr. = 3	. 200
318	R. Die Pankenhöhle und die Gehörknöchelchen von oben	•

Seite

Inhalt. XIII

Figur 319.	Die Kuochenkapsel des Labyrinthes, von vorne. Vergr. = 3	Seite 234
320.	Das knöcherne Labyrinth, von vorno eröffnet. Vergr. = 3	
321.	Die Schnecke, Cochlea, senkrecht auf die Axe der Schläfebeinpyramide	
000	eröffnet. Vergr. = 5	235
	Das Corti'sche Organ in Vogelsicht. (Schematisch)	
	Das Corti'sche Organ im Durchschnitte. (Schematisch)	
325.	Das häutige Labyrinth. (Schematisch)	237
	Das Ende des innereu Gehörgunges. Vergr. = 3	
327.	Das knöcherne Labyrinth ven hinten. Vergr. = 3	238
	IV. Eingeweide. Topographie.	
328.	Schematische Uebersicht des Verdauungsorganes	241
	Medianschnitt durch die Nasen-, Mund-, Rachen- uud Kehlkopfhöhle	
	Frontalansicht der geöffneten Mundhöhle	
331.	Frontaldurchschnitt des Schädelgrundes und des Gesichtes unmittelbar	
	hinter dem hinteren Rande des Septum navium. Nach H. v. Luschka	
	Die Muskeln des weichen Gaumens in der Ansicht von vorne	
	Die Muskeln des weichen Gaumens in der Ansicht von hinten	
	Die rechten bleibenden Zähne, Dentes permanentes	
	Die rechten Milchzähne, Dentes lactei seu caduci	
	Gebiss eines Kindes im Zahnwechsel	
	Schema des Durchbruches der Milchzähne. Nach H. Welcker	
	Schema des Durchbruches der bleibenden Zähne. Nach H. Welcker.	
	Die Speicheldrüsen, Glandulae salivales	251
341.	Läppchen der Ohrspeicheldrüse in natürlicher Grösse. Nach einem Präparato	ດຮຸດ
2/19	von Ilg	
	Die untere Fläche der Zunge	
	Die Geschmackswärzchen der Zuuge. Nach Präparaten vou E. Klein.	
	Die vordere Rachenwand von hinten gesehen	
	Das rhineskopische Bild in natürlicher Grösse	
	Die Rachenmuskeln ven der Scite, nach Entfernung der Wirbelsäule.	
	Die Rachenmuskelu von hinten, nach Entfernung der Wirbelsäule	
	Topographie der Baucheingeweide. I. Die Regionen des Unterleibes Topographie der Baucheingeweide. II. Ansicht des grossen Netzes, nach	200
000.	Entfernung der vorderen Bauchwand	259
351.	Topographie der Baucheingeweide. III. Ansicht der Leber, des Magens und	
	der Gedärme, nach Entfernung des grossen Netzes und der unteren	
	Rippenbögen	260
352.	Topographie der Baucheingeweide. IV. Ansicht nach Entfernung der Leber,	004
252	des Magens und der Dünndärme	
	Der Magen mit dem Zwölffingerdarm in der Ansicht von vorne Der Magen mit dem Zwölffingerdarm, nach Entfernung der vorderen Wand	
	Die innere Fläche des Zwölffingerdarmes, an dessen absteigendem Theile	
	,	

XIV Inhalt.

Figur 356.	Uebergangsstelle des Heum in das Coecum, beim Erwachsenen. 1/2 natür-	Selte
	licher Grösse eines aufgeblasenen und getrockneten Darmes, mit theil- weise abgetragener vorderer Wand	265
357.	Uebergangsstelle des <i>Heum</i> in das <i>Coecum</i> , bei einem 7-menatlichen Fötus. Natürliche Grösse eines aufgeblasenen und getrockneten Darmes, mit theilweise abgetragener hinterer Wand	_
358.	Segment der Innenfläche des Dünndarmes in natürlicher Grösse	266
359.	Segment der Innenfläche des Dünndarmes bei Loupenvergrösserung	_
360.	Schematischer Querschnitt der Dünndarmwand bei contrahirter Muskulatur. Segment bei etwa 25-facher Vergrösserung	267
361.	Schematischer Querschnitt der Dünndarmwand bei erschlafter Musknlatur. Segment bei etwa 25-facher Vergrösserung	_
362.	Horizontal-Durchselmitt des Beckens durch den unteren Rand des dritten Kreuzwirbels. Nach Entfernung des Banchfells ist die Harnblase sammt	
	dem collabirten Mastdarm vorwärts umgolegt. Nach J. Honle	
	Die Leber, Hepar. Ansieht von oben	
	Die Leber, Hepar. Ansieht von unten	
	Die Peritonealbänder der Leber eines etliche Wochen alten Kindes	271
366.	Gallenblase und Gallengänge. Nach einem anfgeblasenen und getrockneten	യെ
907	Präparate. Natürliche Grösse	212
367.	Gallenblase und Gallengänge. Die vordere Wand des getroekneten Prä- parates weggeselmitten. Natürliche Grösse	
୨୯୧	Schema des Baues der Leber. Segmont eines Leberläppehens	273
	Pankreas, mit injicirtem, gabelförmig getheiltem Ansführungsgange. An-	210
000.	sicht von hinten, in ½ natürlicher Grösse	274
370.	Ansicht der vorderen Bauchwand von innen	
	Schema des Verlaufes des Poritoneum beim Manne	
	Sehema des Verlanfes des Peritoneum beim Weibe	
373.	Horizontalschnitt durch den Bauch unterhalb des Processus xyphoideus in	
	der Magengrube. Von einem einjährigen Kinde. In natürlicher Grösse	278
374.	Das Knorpelgerüst des Kehlkopfes. Scitenansieht	279
375.	Das Knorpelgerüst des Kehlkopfes. Ansicht der anseinander gelegten	
	Knorpel von hinten	
	Der Kehlkopf, Larynx. Ansicht von vorne	
	Das laryngoskopische Bild beim ruhigen Athmen. In doppelter Naturgrösse	
	Das laryngoskopischo Bild beim Anlauten. Natürliehe Grösse	282
379.	Das laryngoskopische Bild der hinteren Kohlkopf- und Luftröhrenwand und der Bifurcationsstelle. Natürliche Grösse	
380	Kehlkopf nach Entfernung der linken Schildknorpelplatte, in Seitonansieht	283
	Kehlkopf von hinten goschen, nach Entfernung der Sehleimhaut, mit den	200
-	Muskeln	284
382.	Kehlkopf von hinten gosehen, nach Entfernung der Muskeln, mit den	
	Knorpeln and Bändern	
383.	Das Kehlkopfinnere von vorne gesehen. Die vordere Wand in der Mittel-	
	linie durchgesehnitten und beide Seitentheile auseinander gelegt	285
384.	Das Kehlkopfinnere von vorne gesohen, nach Entfernnng der Schleim-	
	lent	

Inhalt. XV

Figur	To William Common won hinton marchen Die binton W. J. J. N. W.	Seit
385.	Das Kohlkopfinnere von hinten gesehen. Die hintere Wand in der Mittollinie durchgoschnitten und beide Soiteutheile anseinander gelegt	200
200	Das Kehlkopfinnere von hinten gesehen, nach theilweiser Entfernung der	200
386.	Schleimhaut	
907	Horizontalschnitt durch den Hals in der Höhe des IV. Halswirbels, Nach	
351.		oon
000	H. v. Luschka	
	Dio Luftröhre, Trachea	
	Die Brusteingowoide eines Kindes. Ansicht von vorne. Natürliche Grösse.	200
390.	(Die Thymusdrüse etwas aufwärts geschoben; die Lungen seitwärts um-	
	golegt)	ຄວເ
201	Schema der Lage der Brusteingoweide und des Vorlaufes der Pleura.	200
591.	Idealer Horizontalschnitt durch den Thorax	907
200	Topographie des hinteren Mittelfellraumos. Die linko Lungo und das	29(
592.	Herz sind nach rochts umgelegt	<u>ຄ</u> ດ 1
909	Topographie der Brusteingeweide	
	Horizontalschnitt durch don Thorax in der Höhe der Articulatio sterno-	404
004.	clavicularis	อดร
20=	Horizontalschnitt durch den Thorax dicht nnterhalb der Brustwarzen.	
	Horizontalschnitt durch den Thorax am internatio der Brustwarzen	
550.	dicht oberhalb der Kuppe des Zwerchfells	20,
207	Die Harnwerkzeuge eines Kindes in natürlicher Grösse	
	Die rechte Niere und Nebenniere. <sup>2</sup> / <sub>3</sub> natürlicher Grösse	
	Längsschnitt durch die Niere	
	Nierenbecken und Kelche aus der Nierensubstanz horanspräparirt	
	Wachsabguss des Ureters, des Nierenbeckens und der Nierenkelche	
	Schema des Banes der Niere	
	Sagittaler Medianschnitt durch das männliche Becken. Von der gefrorenen	20.
400.	Leiche eines etwa 20-jährigen Mannes	300
404	Sagittaler Medianschnitt durch das Becken eines jungen Mannos, bei con-	000
404.	trahirter Harnblase. Nach C. Langer	30
405	Sagittaler Medianschnitt durch das Becken eines jungen Mannes, bei aus-	00.
100.	gedelinter Harnblase. Nach C. Langer	
406	Die Harnblase und Harnröhre des Mannes, von vorne eröffnet. In ½ natür-	
100.	licher Grösse	
407.	Sagittaler Medianschnitt durch das männliche Becken bei erigirtem Penis	
1011	(constrnirt ans Fig. 403)	303
408.	Der rechte Hode und Nebenhode in natürlicher Grösso	
	Hode and Nebenhode, mit Quocksilber injicirt	
	a b c. Schematische Darstellung des Descensus testiculi	
	Der Blasengrund und der obere Theil der Harnröhre, in der Ansicht von	
	hinten. Nach einem trockenen Präparate in natürlicher Grösso	307
412.	Querschnitt durch den Schaft des männlichen Gliedes	
	Seitenansicht der männlichen Beckenorgano eines Neugoboronen. In natür-	
	licher Grösse	309
414.	Sagittaler Medianschnitt durch das weibliche Becken. Von der gefrerenen	
	Leicho einer etwa 25-jährigen Person. ½ natürlicher Grösso	310
	74	

XVI Inhalt.

Figur		Seite
415. Jungfräuliche Goschlechtsorgano eines 14-jährigen Mädchens. Ansiel		044
vorne in natürlicher Grösse		
416. Senkrechter Schnitt durch einen Eierstock mit grossem Corpus lut		
417. Schema eines Graaf'schon Follikels		ə1ə
418. Goschlechtsorgane eines neugeborenen Mädchens. Die Gebärmutter		
hintoren Mittellinio, dio Schoido in der linken Seitenlinio öröffnet.		214
licho Grösse		
420. Boleuchtungsbild der Portio vaginalis uteri nach wiederholten Entbind		919
420. Boleuchungsbild der Fortto vaginatis ütert hach wiederholten Entolid 421. Durchschnitt einer jungfräulichen Vagina. Ansicht von hinten; die		
ausgedohnt, um die Kämme an ihrer Innenfläche zu zeigen		216
422. Die äussore Scham einer Deflorirten. Die grossen und kleinen Scham		510
ausoinander godrängt		317
423. Dio Wollustorgane des Weibes		
424. Die rochte Brustdrüse einer Stillendon. In 2/3 der natürlichen Grö		
425. Topographie des männlichen Dammes. I. Schnittführung zur Präpa		
426. Topographie des männlichen Dammes. II. Ansicht nach Entfernu		
Haut		
427. Topographio des männlichen Dammes. III. Ansicht nach Ausräumu		
Cavum ischio-rectale		321
428. Topographio des männlichen Dammes. IV. Ansicht nach Entfernu		
Fascia superficialis		322
429. Topographie des männlichen Dammes. V. Ansicht nach der Präp		
der Fascia perinei propria		
430. Topographie dos männlichen Dammes. VI. Ansicht nach Entfornu	ng des	
M. levator ani		323
431. Topegraphie des weiblichen Dammos		324
432. Die Bänder des viscoralen Blattes der Fascia pelvis. Ansicht der Syn		
von hinten, bei zurückgelegtor Harnblaso		
433. Die Bänder des visceralen Blattes der Fascia pelvis. Ansicht d		
steigenden Sitzbeinäste und der Harnblase von hinten		
434. Verdorfläche der Symphyse, nach Ablösung der Corpora cavernos		
435. Frontalschnitt durch das Becken eines Kindes. Halbschematis		
Demonstration der Beckenfascien. Natürliche Grösse		328
V. Nervensystem.		
436. Dio Fortsätze der harten Hirnhaut		331
437. Das Gehirn mit seinen Hüllen. Ansicht von oben		
438. Schoma dor Hüllen des Rückenmarkes, im Querschnitte. Verg. =		
439. Linke Homisphäre, von aussen. Nach Eberstaller		
440. Grosshirn, von oben. Nach Eberstallor		
441. Rechto Hemisphäre, von innen. Nach Eberstaller		
442. Grosshirn, von unten. Nach Eberstallor		
443. Horizontal-Durchschnitt des Grosshirns, in der Ebene des Balkons.		
natürlichon Grösso		
444. Horizental-Durchschnitt dos Grosshirus, mit theilweise eröffneten		
kammern. <sup>2</sup> / <sub>3</sub> der natürlichen Grösse		

Inhalt. XVII

Figur	Frontalsehnitt durch das Grosshirn, in der Mitte des vordoren Drittels	Scit
	dos Balkons, Nach C. B. Roichert. 2/3 der natürlichen Grösse	340
446.	Frontalschnitt durch das Grosshiru zwischen vorderem und mittlerem Drittel des Balkens. Nach C. B. Reichert. 2/3 der natürlichen Grösse	34:
447.	Horizontal-Durchselmitt des Grosshirns mit völlig eröffneter linker Seiten- kammer. <sup>2</sup> / <sub>3</sub> der natürlichen Grösse	
448.	Horizontal-Durchschnitt des Grosshirns, mit der Ansicht der Tela choroidea	O.T.
140	superior. <sup>2</sup> / <sub>3</sub> der natürlichen Grösse	343
445.	Reichert. 2/3 der natürlichen Grösse	344
450.	Sehiefsehnitt durch das Grosshirn und die Varolsbrücke durch die Scheitelhöhe gegen das hintere Ende des Keilbeinkörpers. Nach C.B.Reichert.  2/3 der natürlichen Grösse	_
451.	Die eröffnete dritte Gehirnkammer. Ansicht von oben iu untürlicher Grösse	345
452.	Seitenansieht der Varolsbrücke und des verlängerteu Markes. Natürliche	
	Grösse	
	Die Gehirnbasis in der Ansicht von unton. 2/3 der natürlichen Grösse.	
	Das kleine Gehirn, in der Ansicht von untou. Natürliche Grösse	348
455.	Die Varolsbrücke und das verlängerte Mark, in der Ansieht von unten.	2.10
156	Natürliche Grösse	Jac
200.	keilförmigen Lappen theilweise entfernt. Natürliche Grösse	350
457.	Das kleine Gehirn in der Ansicht von oben. Natürliche Grösso	
	Die dritte und vierte Gehirnkammer, letztere bedeckt von der grauen	
	Gehirnklappe. Natürliche Grösse	352
459.	Die vierte Gehirnkammer, in der Ansieht von oben. Natürliehe Grösse.	353
460.	Sagittaler Mediauschnitt durch das grosse und kleine Gehirn und das	
	verläugerte Mark. <sup>2</sup> / <sub>3</sub> der natürlichen Grösse	
	Gehirn eines dreimonatlichen Embryo. Ansicht von oben	35!
	Gehirn eines dreimonatlichen Embryo. Ansicht von unten	_
463.	Gehirn oines fünfmonatlichen Embryo. Ansicht von oben. Die Homisphären des Grosshirns hinten auseinander gedrängt	_
464.	Gohiru eines fünfmonatlieheu Embryo. Ansicht von unten	
465.	Querschnitte durch das verläugerte und das Rückenmark. Nach Fr. Arnold	356
466.	Schema des Verlaufos der Nervenfasern im Rückenmark	357
467.	Die Faserung dos Hirnstammes. Ansieht von oben. Natürliehe Grösso .	358
468.	Die Faserung des Hirnstammes, Ansicht von unten. Natürliche Grösse.	359
	Die Faserung des Hirnmantels. 2/3 der natürlichen Grösse	
	Die Gehirnnerven an der Schädelbasis. 2/3 der natürliehen Grösse	
	Der Nervus olfactorius und der Nervus opticus. Ansicht von oben	362
472.	Der Nervus oculomotorius, Nervus trochlearis und Nervus abducens in der Ansieht von oben	363
473.	Dor Nervus oculomotorius, Nervus trochlearis und Nervus abdutens iu dor	
	Ansicht von aussen	364
474.	Der erste Ast (Ramus ophthalmicus) des Nervus trigeminus	
475.	Der zweite Ast (Ramus supramaxillaris) des Nervus trigeminus	366
476.	Der dritto Ast (Ramus inframaxillaris) des Nervus trigeminus	367

XVIII Inhalt.

Figur	Der Nervus lingualis und das Ganglion submaxillare	Seite
	Das Ganglion spheno-palatinum	
470	Der Nervus Vidianus nach E. Bischoff	276
100	Das Ganglion oticum	971
400.	Das Ganglion oticum nach Rüdinger	911
	Die Portio intermedia Wrisbergii nach E. Bischeff	
	Der Nervus facialis innerhalb des Felsenbeins	
	Der Antlitztheil des Nervus facialis	314
485.	Durchsehnitt der Schneeke, mit der Verbreitung des Nervus cochleac.	975
400	Nach Rüdinger	
	Der Nervus Jacobsonii in der Paukenhöhle (vergrössert)	
	Der Plexus tympanicus nach E. Bischoff	
	Schema des Ursprunges des IX., X., XI. und XII. Gehirnnervenpaares.	
	Der linke Nervus vagus mit seinen Verbindungen	
	Der Nervus laryngens superior und Nervus laryngens recurrens Vagi	379
491.	Der Nervus glosso-pharyngeus, Nervus vagus und Nervus hypoglossus von	
	hinten	380
492.	Der Nervus recurrens (accessorius Willisii) und der Nervus hypoglossus am	
	Halse	
	Sehema der Ursprünge der Rückenmarksnerven	
	Der Halstheil des Rückenmarkes mit seinen Hüllen. Ansicht von hinten	
	Das untere Ende des Rückenmarkes, nach Fr. Arnold	
496.	Die eberflächlichen Nerven des Halses	385
497.	Sehema der Pars supra- et infraclavicularis des Armnervengessechtes	386
498.	Die tiefen Nerven des Halses. Plexus brachialis	387
499.	Die Hautnerven der oberen Extremität an der Beugeseite	388
500.	Die Nerven an der Beugeseite der eberen Extremität	389
501.	Die Nerven an der Palmarseite der Hand	390
502.	Die Nerven an der Palmarseite der Hand	391
503.	Die Nerven an der Dorsalseite der Hand	392
504.	Die Nerven an der Streekseite der oberen Extremität	393
505.	Die Aeste des Plexus lumbalis	394
506.	Die Hautnerven an der vorderen Fläche der unteren Extremität	395
507.	Die Hautnerven an der hinteren Fläche der unteren Extremität	396
	Der Nervus cruralis	
	Der Nervus ischiadicus	
	Der Nervus peroncus	
	Der Nervus libialis	
	Die Nerven am Fussrücken	
	Die beiden Nervi plantares	
	Der tiefe Zweig des Nervus plantaris externus	
	Die Aeste des Plexus pudendalis	
	Der rechte Grenzsträng des Nervus sympathicus	
	Die Verbindung des Plexus cavoticus mit einigen Gehirnnerven. Nach	100
017.		106
518	Rüdinger	
	Die Bauch- und Beckengellechte des Nervus summathiens Nach Rii din vor	

ralt.	X	1
1+110,	43	Ľ

Figur		Seite
	VI. Blut- und Lymphgefäss-System. Topographie.	
520.	Medialer Durchschnitt durch die Brust eines 21-jährigen Mannes. In	
	½ natürlicher Grösse. Nach W. Branne	411
521.	Tepegraphie der Brusteingeweide	412
	Tepegraphie der Brusteingeweide	
	Das Herz und die gressen Gefässe. Ansicht von vorne in $^4/_2$ natürlicher Grösse	
_	Das Herz und die gressen Gefässe. Ansicht ven hinten in $^4/_2$ natürlicher Grösse	
	Herizentalschnitt durch das Herz. (Senkrecht zur Längsaxe des Körpers)	
	Das rechte Herz eröffnet	417
527,	528. Herz eines sechsmenatlichen Embrye in natürlicher Grösse, mit	
	eröffneten Verkammern	418
529.	Die Mündung der Vena coronaria in die rechte Vorkammer. Ansicht ven	
	hinten. Nach einem getreckneten Präparate, in natürlicher Grösse	
	Das linke Herz eröffnet	420
531.	Das linke Ostium venosum und arteriosum von oben. Nach einem ge-	
	treckneten Präparate in natürlicher Grösse	421
532.	Arteria pulmonalis und Luftwege eines Kindes. In 1/2 natürlicher Grösse,	
	nach einem Präparate ven Hyrtl	
	Schema der primitiven Aeste des Aertenbegens	423
534-	-536. Schema der Varietäten der ans dem Aortenbogen entspringenden	
	Schlagadern durch Verminderung	424
537-	-540. Schema der Varietäten der aus dem Aortenbegen entspringenden	105
	Schlagadern durch Vermehrung	425
541,	542. Schema der Varietäten der aus dem Aertenbogen entspringenden	400
* 10	Schlagadern durch abnorme Verästlung	
	Schema der Verästlung der Carotis externa	
	Die Verästlung der Arteria thyreoidea superior. Ansicht von verne	
	Die Verästlung der Arteria thyreoidea superior. Ansicht von hinten Topegraphische Anatemie des Halses	
	Die Arterien des Gesichtes und der Schädelhant	
	Schema der Verästlung der Arteria maxillaris interna	
	Verlauf und Verästlung der Arteria maxillaris interna. Ansicht von aussen	
	Verlauf und Verästlung der Arteria maxillaris interna. Ansicht von innen	
	Die Arteria alveolaris inferior im Unterkieferkanale	
	Die Arterien der harten Hirnhaut. Injicirtes Schädeldach eines Kindes.	101
002.	<sup>2</sup> / <sub>3</sub> der natürlichen Grösse	
553.	Die Arterien der Nasenscheidewand. Natürliche Grösse	
	Verlanf und Verästlung der Carotis interna und der Arteria vertebralis.	
	Verästlung der Arteria ophthalmica in der Augenhöhle. Natürliche Grösse	
	Schema der Verästlung der Arteria subclavia	
	Verlauf und Verästlung der Arteria subelavia dextra	
	Verlanf der Arteriae vertebrales. Ansicht von hinten, bei eröffnetem	
	Wirbelkanale	440
559.	Die Arteria basilaris und deren Acste an der Gehirnbasis	441
560.	Verlauf und Verästlung der Arteriae mammariae internae	442
561.	Verlauf und Verästlung der Arteria axillaris dextra	443
	e*	

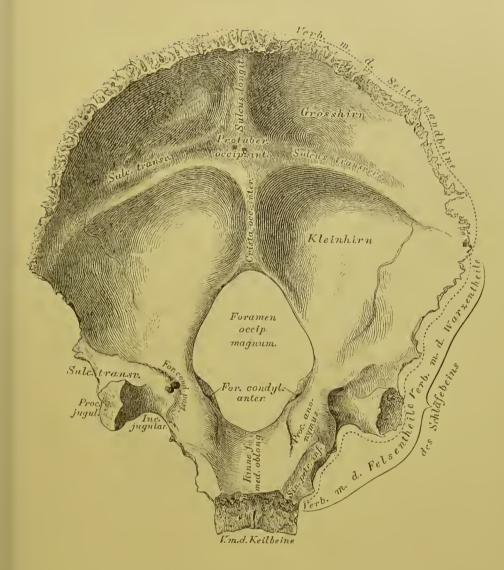
XX Inhalt.

Figur	7 6 1 14 2	Belt
	Die Arterien der Schulter	
	Verlauf und Verästlung der Arteria Irachialis	445
	Die Anastomosen der Arteria collateralis ulnaris inferior	
	Verlauf und Verästlung der Vorderarmarterien	
	Verlauf und Verästlung der Vorderarmarterien	
	Verlauf der Arteria interessea antibrachii interna	
	Verlauf der Arteria interossea antibrachii externa	
	Der Arcus volaris sublimis	
	Der Areus volaris profundus	
	Die Arterien am Handrücken	451
572	Segment der Brustaorta mit injicirten Vasa vasorum. Ansicht von hinten.	
	Natürliche Grösse	452
573.	Verlauf und Verästlung der absteigenden Brustaorta	458
574.	Verlauf und Verästlung der Bauchaorta	454
	Die Aeste der Arteria coeliaca. Ansicht nach Entfernung des kleinen	
	Netzes	455
576.	Die Aeste der Arteria coeliaca. Ansicht bei aufwärts gekehrtem Magen,	
	Die Verästlung der Arteria mesenterica superior	
	Die arteriellen Gefässarcaden des Dünndarmgekröses	
	Die Verästlung der Arteria mesenterica inferior	
	Horizontalschnitt durch den Unterleib, in der Höhe des I. Lendenwirbels.	100
000.	Nach W. Braune. ½ natürlicher Grösse	460
581	Verlauf und Verästlung der Bauchaorta. Präparat von einem Kinde.	100
901.	Natürliche Grösso	101
500	Verlauf und Verästlung der Beckenarterien	
	Verlauf und Verästlung der Beckenarterien. Ausicht von hinten, nach	404
JOJ.	Abtragung der hinteren Beckenwand	4/20
=0.4	Die Arterien an der Hüfte. Präparat von einem Kinde	
	Anomaler Ursprung der Arteria obturatoria aus einem gemeinsamen	104
000.	Stamme mit der Arteria epigastrica inferior	100
50C		400
086.	Anomaler Verbindungsast zwischen Arteria obturatoria und Arteria epi-	
- 0 =	gastrica inferior	
587.	Die Arterien der inneren weiblichen Genitalien. Hintere Ansicht. Nach	4.0.0
	einem Präparate von Hyrtl. 2/3 der natürlichen Grösse	
	Die Verästlung der Arteria pudenda communis	
	Verlauf und Verästlung der Arteria eruralis	468
590.	Die Arterien an der äusseren Seite der Hüfte und der hinteren Seite des	
	Oberschenkels	
	Topographiselie Anatomio der Kniekelile	
	Verlauf der Arteria tibialis antica	
	Die Arterien am Fussrücken	
	Verlauf der Arteria tibialis postica	-
595.	Die Arterien des Fusses. Nach einem Corrosions-Präparate von Hyrtl.	
	<sup>2</sup> / <sub>3</sub> der natürlichen Grösse	
	597. Die Arterien des Plattfusses	
	Das System der beiden Hohlvenen	
599.	Die Blutleiter der harten Hirnhant. In Seitenansicht	176

Inhalt.	XXI
TILITECTO:	

Figur		Seite
	Die Blutleiter der harten Hirnhaut. In Vogelsicht	477
601.	Die Venen der Diploë, nach Entfernung der änsseren Tafel der Schädel-	
	knochen. Nach Breschet (Gray)	
	Die Venen der Angenhöhle. Nach E. Sesemann. Natürliche Grösse.	
	Die Venen des Kopfes nach E. Sesemann. 1/2 der natürlichen Grösse	
604.	Die Venen des Gesichtes und des Halses	481
605.	Die Venengeflechte der Wirbelsäule am Querschnitte. Nach Breschet	
	(Gray)	482
606.	Die Venengeflechte des Wirbelkanales. Längssehnitt von zwei Rückcu-	
	wirbeln. Nach Breschet (Gray)	
	Die Hantvenen der oberen Extremität	
608.	Das System der Vena azygos und Vena hemiazygos. (Halbschematisch)	484
	Das Venengeflecht des Samenstranges, Plexus pampiniformis	
610.	Die Venen des männlichen Beckens	486
611.	Durch Arterien und Venen injicirte schwangere Gebärmutter. Ansicht	
	von vorne. <sup>2</sup> / <sub>3</sub> der natürlichen Grösse. Nach Hyrtl	487
612.	Die Hantvenen der unteren Extremität	488
	Die Vena cruralis eröffnet. Natürliche Grösse	
614.	Die Hautvenen der unteren Extremität	489
	Die Wurzeln der Vena portae	
616.	Die Verästlung der Pfortaderwurzeln im Duodenum	
617.	Die Wurzeln der Vena portae	491
618.	Die Leberverzweigungen der Pfortader eines Kindes, Nach einem Corro-	
	sions-Präparate von Hyrtl. 1/2 der natürliehen Grösse	492
619.	Schema des fötalen Kreislaufes	493
620.	Placenta. Nach einem Präparate von Hyrtl. 2/3 der natürlichen Grösse	494
621.	Der Ductus thoracicus	495
622.	Die Cisterna chyli. Nach einem getreckneten Präparate. Natürliche Grösse	496
623.	Ein in ein Geflecht zerfallener Ductus thoracicus. Nach einem Präparate	
	von Teichmann	
624.	Die Blut- und Lymphgefässe des Gehirnes und Rückenmarkes. Nach	
	Friedrich Arneld. <sup>2</sup> / <sub>3</sub> der natürlichen Grösse	497
625.	Die oberflächlichen Saugadern des Kopfes und des Halses	498
626.	Die tiefliegenden Saugndern des Halses und der Achselhöhle	499
627.	Die hoehliegenden Saugadern der oberen Extremität	500
628.	Die tieflicgenden Sangadern der Achselhöhle. Nach einem Präparate	
	von Patrnban	501
629.	Die inneren Brustsaugadern	502
630.	Die hochliegenden Sangadern der unteren Extremität	503
631.	Die tiefen Saugadern des Beckens und der Leiste	504
632.	Die Sangadern des Hodens und des Nebenhedens	505
633.	Die Vasa chylifera im Dünndarmgekröse	506
	Topographie der Leisten- und Schenkelregion I	
	Topographie der Leisten- und Schenkelregion II	
	Topographie der Leisten- und Schenkelregion III	
637.	Topographie der Leisten- und Schenkelregion IV	

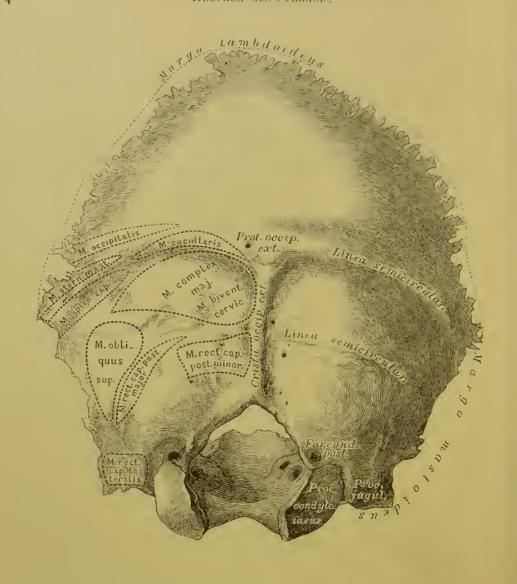




## 1. Hinterhauptbein, Os occipitis, von vorne.

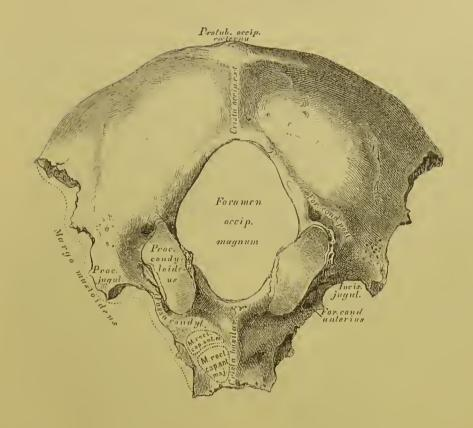
Das Hinterhauptbein wird in 4 Stücke eingetheilt: 1. Grundtheil (Pars basilaris); 2. Hinterhaupttheil (P. occipitalis); 3. und 4. zwei Gelenktheile (Partes condyloideae).

- 1. Grundtheil. Die obere Fläche bildet eine Rinne für die Medulla oblongata. Die vordere Fläche stösst an den Körper des Keilbeins; die Seitenflächen sind mit den Sehläfebeinpyramiden verbunden.
- 2. Hinterhaupttheil. In der Mitte der vorderen Fläche die Protuberantia occipitalis interna, als Mittelpunkt der Eminentia eruciata interna; die untere Hälfte des senkrechten Schenkels heisst Crista occipitalis interna (für den Sinus occipitalis und die Falx cerebelli); die obere Hälfte bildet den Sulcus longitudinalis (für den Sinus longitudinalis); die beiden Querschenkel fassen den Sulcus transversus zwischen sich (für den Sinus transversus und Insertion des Tentorium cerebelli). In den beiden oberen Gruben liegen die Hinterlappen des Grosshirus; in den unteren die 2 Hemisphären des Kleinhirus.



## 2. Hinterhauptbein, Os occipitis, von hinten.

2. Hinterhaupttheil mit der Protuberantia occipitalis externa, die zum Foramen magnum die Crista occipitalis externa schickt; quer verlaufend beide Lineae semicirculares externae (sämmtlich zur Insertion von Muskeln und Bändern). Die Seitenränder haben ein oberes Segment, Margo lambdoideus, verbunden mit beiden Seitenwandbeinen, und je ein unteres Segment. Margo mastoideus, verbunden mit dem Warzentheile des Schläfebeins.

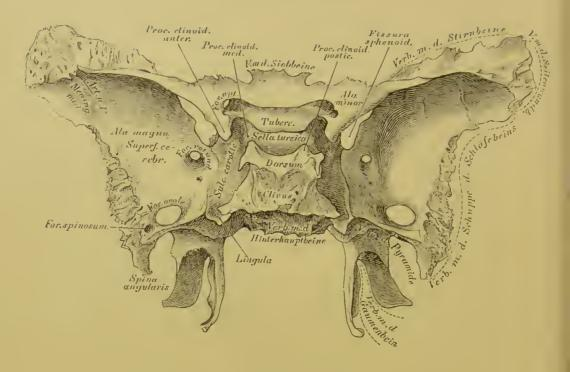


### 3. Hinterhauptbein, Os occipitis, von unten.

3. und 4. Gelenktheile. An der oberen Fläche (Fig. 1) der Processus anonymus; an der unteren Fläche die beiden Processus condyloidei zur Gelenkverbindung mit dem ersten Halswirbel; hinter diesen die flachen Fossae condyloideae. Vor dem Proc. condyloid. liegt das Foramen condyloideum anterius (kurzer Canal für das XII. Gehirnnervenpaar). Das Foramen condyloid. posterius ist wandelbar (für ein Emissarium Santorini).

Der innere Rand der Gelenktheile bildet den Seitenrand des Foramen occipitale magnum; der äussere Rand zeigt die Incisura jugularis, an deren hinterem Ende den Processus jugularis. Bei oberer Ansicht ist der Fortsatz von einer Furche umgeben (Querblutleiter der harten Hirnhant).

Das Hinterhauptbein ist mit 6 Knochen verbunden: mit den 2 Seitenwandbeinen, den 2 Schläfebeinen, mit dem Keilbeine, und mit dem ersten Halswirbel, Atlas (Geleuk).



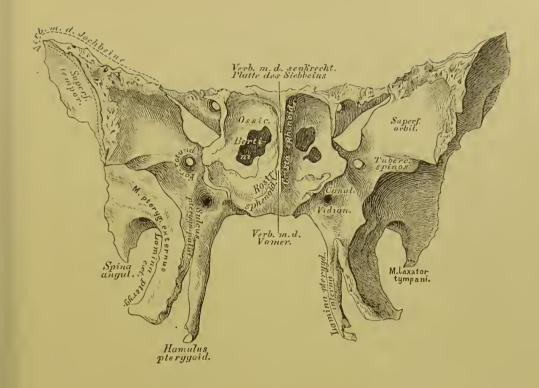
#### 4. Keilbein, Os sphenoideum, von oben.

Das Keilbein oder Wespenbein wird eingetheilt in: 1. den Körper, 2. die Flügel; letztere bilden 3 Paare: a) die vorderen, kleinen Flügel, Alae minores s. orbitales; b) die hinteren, grossen Flügel, Alae magnae s. temporales und c) die flügelartigen Fortsätze, Processus pterygoidei.

Körper. An der oberen Fläche der Türkensattel, Sella turcica (für die Hypophysis cerebri); dessen hintere Wand die Sattellehne, Dorsum sellae, mit den Processus clinoidei postici. Die hintere Fläche der Sattellehne geht in die obere Fläche der Pars basilaris ossis occipitis über — Clivus. Vor der Sattelgrube das Tuberculum sellae; beiderseits von diesem die Proc. clinoid. medii. An den Seiten flächen des Körpers der Sulcus caroticus (für die Carotis) mit der Lingula.

Kleine Flügel; jeder entspringt vom Körper mit 2 Wurzeln, zwischen diesen das Schloch, Foramen opticum; die gegen die Sattellehne gerichteten Enden bilden die Processus elinoidei anteriores.

Grosse Flügel, mit je 3 Flächen und 3 Rändern. Die Sehädelhöhlen fläche, Superficies cerebralis, mit der Gefässfurche. Das innere Segment des oberen Randes bildet mit der Unterfläche des kleinen Flügels die Fissura sphenoidalis (Fiss. orbitalis superior). Am hinteren Rande ragt der Dorn, Spina angularis, vor. Das runde Loch, For. rotundum (für den 2. Ast des V. Nervenpaares); das ovale Loch, For. ovale (für den 3. Ast des V. Nervenpaares); das Dornenloch, For. spinosum (für die Arteria meningea media).

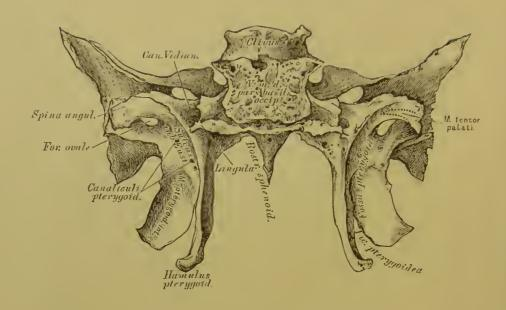


#### 5. Keilbein, Os sphenoideum, von vorne.

Körper. An der vorderen Fläche zwei unregelmässige Oeffnungen, die in die Keilbeinhöhlen führen, und durch die Crista sphenoidalis von einander getrennt sind; dieselbe verlängert sich nach vorne zum Keilbeinsehn ab el, Rostrum sphenoidale.

Die flügelartigen Fortsätze, Processus pterygoidei, bestehen aus zwei Platten, Lamina pterygoidea externa und interna, welche die Fossa pterygoidea zwischen sieh fassen; die innere endet mit dem Hamulus pterygoideus. Zwischen beiden Lamellen die Incisura pterygoidea (Fig. 6). An der Basis des Processus pterygoideus der horizontal verlaufende Canalis Vidianus, von dessen vorderem Ende der Sulcus pterygo-palatinus herabläuft.

Die Ossicula Bertini sind dreieekige Knochen, welche die an der vorderen Wand des Keilbeinkörpers liegenden Oeffnungen der Sinus sphenoidales theilweise decken.

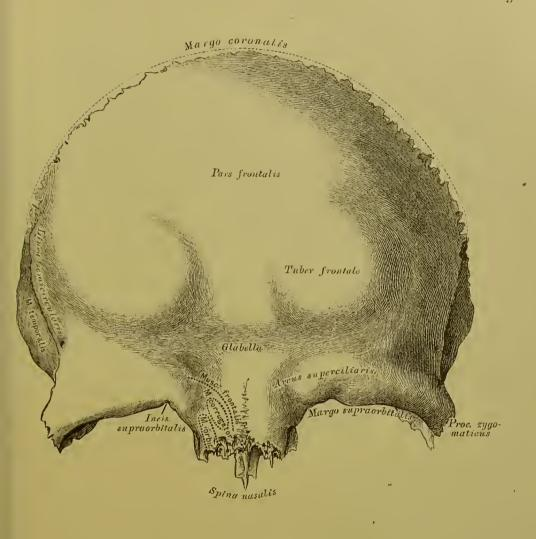


#### 6. Keilbein, Os sphenoideum, von hinten.

Körper. Die hintere Fläche mit dem Basilarstück des Hinterhauptknochens verbunden.

Flügelartige Fortsätze: an der oberen Hälfte des hinteren Randes der inneren Lamelle der Sulcus tubae Eustachianae: zwischen diesem und dem Foramen ovale die Canaliculi pterygoidei; der äussere derselben mündet an der Schädelfläche des grossen Flügels zwischen Lingula und Foramen rotundum (Fig. 4), der innere im Canalis Vidianus.

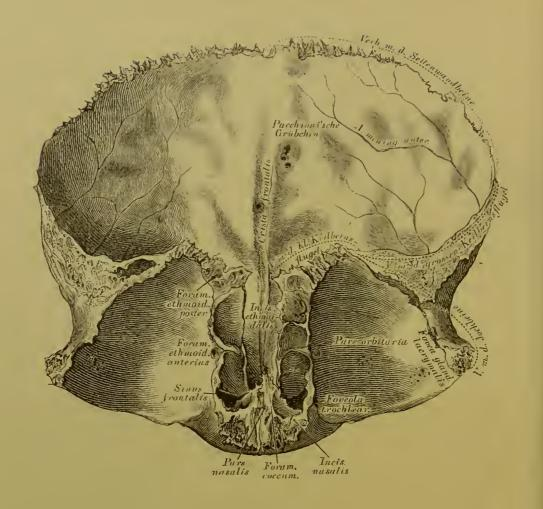
Das Keilbein ist mit sümmtlichen Schädelknochen und 5 Gesichtsknochen verbunden, nämlich mit den 2 Jochbeinen, 2 Gaumenbeinen und dem Vomer



## 7. Stirnbein, Os frontis, von vorne.

Das Stirnbein wird eingetheilt in: 1 Stirntheil, Pars frontalis, 2 Augenhöhlentheile, Partes orbitales, und 1 Nasentheil, Pars nasalis.

Am Stirntheile die zwei oberen Augenhöhlenränder, Margines supraorbitales, am inneren Ende derselben die Incisura supraorbitalis (Foramen supraorbitale); nach aussen der stumpfe Joehfortsatz, Processus zygomaticus. An der vorderen Fläche des Stirntheiles die Augenbrauenbogen, Arcus superciliares, über denselben die Stirnhügel, Tubera frontalia; zwischen denselben die Stirnglatze, Glabella. Vom Jochfortsatze zieht sich die Linea semicircularis empor. Am Nasentheile ragt der obere Nasenstachel, Spina nasalis superior, hervor, über demselben befindet sich die tief gezähnte Incisura nasalis.



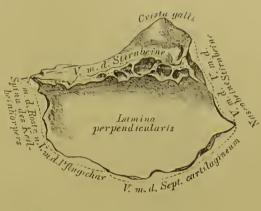
#### 8. Stirnbein, Os frontis, von hinten.

Stirntheil. Die hintere Fläche durch die Crista frontalis in 2 Hälften getheilt; zu beiden Seiten derselben Pacchionische Grübehen. Der Rand des Stirntheiles, Margo coronalis, beginnt hinter dem Processus zygomaticus mit einer dreieekigen, zackigen Fläche.

Die beiden Augenhöhlentheile werden durch den Siebbeinausschnitt, Incisura ethmoidalis, von einander getrennt; an der unteren Fläche gegen den Proc. zygomaticus die Thränendrüsengrube. Fovea glandulae lacrymalis; gegen den Nasentheil ein Grübehen, Poveola trochlearis, zuweilen der Hamulus trochlearis (für die Sehne des oberen schiefen Augenmuskels). Der innere Rand ist breit und zellig, die Fächer führen in die Stirnhöhlen, Sinus frontales; zwischen der äusseren Lefze des inneren Randes und der anstossenden Papierplatte des Siebbeins liegen das Foramen ethmoidale anterius und For. ethm. posterius; letzteres auch nur vom Stirnbeine gebildet. Am Nasentheile hinter der Spina nasalis superior das Foramen coccum (für eine Vene); über derselben die Incisura nasalis.

Das Stirnbein ist mit 12 Knochen verbunden, mit den 2 Seitenwandbeinen, dem Keilbeine, dem Siebbeine; den 2 Nasenbeinen, den 2 Oberkieferbeinen, 2 Thränenbeinen nud 2 Jochbeinen.





9. Siebbein, Os ethmoideum.

10. Siebbein; senkrechte Platte.



### 11. Siebbein; innere Fläche des Labyrinthes.

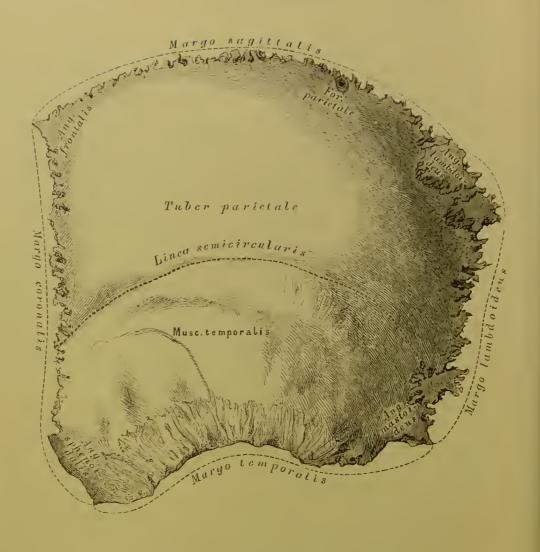
Das Siebbein wird eingetheilt in: 1. die Siebplatte, Lamina cribrosa; 2. die senkreehte Platte, Lamina perpendicularis; 3. und 4. die zelligen Seitentheile, die Siebbeinlabyrinthe.

Die Siebplatte wird durch die Crista ethnoidalis in 2 Hälften getheilt; dieselbe erhebt sich nach vorne zum Hahnenkamm, Crista galli. Die Siebplatte wird durch die Foramina cribrosa durchbohrt. Von ihrer unteren Fläche steigt die senkreehte Platte herab (Fig. 10), die den oberen Theil der knöchernen Nasenscheidewand bildet.

Das Labyrinth (Fig. 11) wird eingetheilt in die Cellulae ethmoidales (vordere, mittlere und hintere), die nach aussen durch die Papierplatte, Lamina papyracea, geschlossen werden; nach innen begrenzt sie die obere und untere Siebbeinmuschel, Concha ethmoidalis superior et inferior, zwischen denen der obere Nasengang, Meatus narium superior, liegt.

Vom vorderen Ende der unteren Siebbeinmuschel und von den unteren Wänden der vorderen Cellulae ethmoidales entwickelt sieh der dünne, gezaekte Processus uncinatus.

Das Siebbein ist mit 15 Knochen verbunden; mit 4 Schädelknochen: dem Keilbeine, den 2 Ossicula Bertini, dem Stirnbeine und 11 Gesichtsknochen: den 2 Nasenbeinen, 2 Oberkieferbeinen, 2 Thränenbeinen, 2 Gaumenbeinen, 2 Nasenmuscheln und dem Pflugscharbeine.



### 12. Linkes Seitenwandbein, Os parietale, von aussen.

An der äusseren Fläche des Seitenwandbeines ragt in der Mitte der Scheitelhöcker, Tuber pavietale, vor: sie wird durch die Linea semicircularis in 2 Hälften getheilt.

Die 4 Ründer sind: der obere, Margo sagittalis; der untere, Margo temporalis (squamosus); der vordere, Margo coronalis, und der hintere, Margo lambdoideus.

Die 4 Winkel sind: der vordere obere, Augulus frontalis; der vordere untere. Augulus sphenoidalis: der hintere obere, Augulus lambdoideus (occipitalis), und der hintere untere, Augulus mastoideus.

Am hinteren Viertel des Maryo sagittalis befindet sich das Foramen parietale, für ein Santorini sches Emissavium (fehlt häufig).

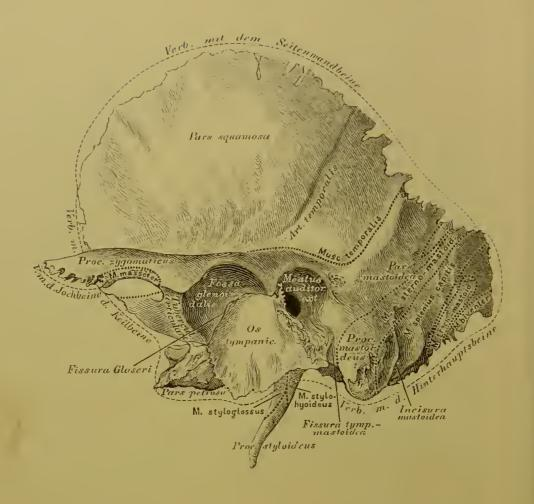


### 13. Linkes Seitenwandbein, Os parietale, von innen.

Die innere eoneave Fläche zeigt Impressiones digitatae und Juga eerebralia, längs des oberen Randes Pacchionische Gruben; ferner 2 baumförmig verzweigte Gefässfurchen, Sulci meningei (für die Arteria meningea media und die begleitenden Venen); endlich 2 venöse Sulci. Der eine längs des oberen Randes, bildet mit dem des Knochens der anderen Seite eine Furche für den Sinus longitudinalis superior; der zweite am hinteren unteren Winkel des Knochens für den Sinus transversus.

Auf der Figur ist im hinteren oberen Winkel ein Naht- oder Schaltknochen, Ossiculum suturarum, Wormianum dargestellt.

Das Seiten wandbein ist mit 5 Knochen verbunden: mit dem Seitenwandbeine der anderen Seite, mit dem Hinterhauptbeine, dem Stirnbeine, dem Schläfebeine und dem Keilbeine.

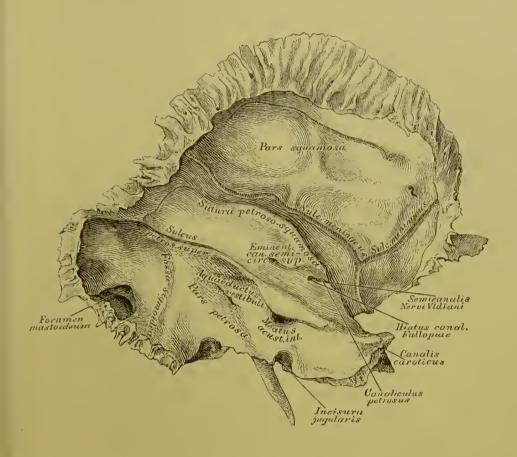


### 14. Linkes Schläfebein, Os temporum, von aussen.

Das Schläfebein wird in 3 Theile getheilt, in: 1. den Schuppentheil (Squama), 2. den Felsentheil (Pars petrosa), und 3. den Warzentheil (Pars mastoidea).

Der Schuppentheil hat an der äusseren Fläche vor und über dem äusseren Gehörgang, Meatus auditorius externus, den durch 2 Wurzeln gebildeten Joehfortsatz, Processus zygomaticus; zwischen beiden Wurzeln die Gelenkgrube, Fossa glenoidalis (für den Kopf des Unterkiefers); vor dieser den Gelenkhügel, Tuberculum articulare. Die Furche für die Art. temporalis ist nicht constant.

Der Warzentheil zeigt an der äusseren Fläche den Processus mastoideus, der von unten durch die Incisura mastoidea eingekerbt ist, und von der hinteren Peripherie des äusseren Gehörganges durch die Fissura tympanomastoidea (in dieser die Endmündung des Canaliculus mastoideus) abgegrenzt wird. Die Ränder sind: der obere, zur stark gezackten Nahtverbindung mit dem Angulus mastoideus des Scheitelbeins, und der hintere, zur sehwach gezackten Verbindung mit dem unteren Theile des Seitenrandes der Hinterhauptschuppe.



### 15. Linkes Schläfebein, Os temporum, von innen.

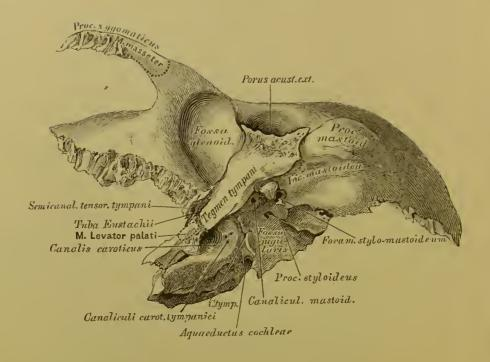
Der Sehuppentheil zeigt an der Innenstäche starke *Impressiones digitatae* und *Juga cerebralia*, und 2 Gefässfurehen (für die *Art.* und *Vena meningea media*).

Der Felsentheil hat 3 Flächen (hintere, obere und untere) und 3 Ränder (oberen, vorderen und hinteren).

An der kleinsten hinteren Fläche die ovale Mündung des inneren Gehörganges, Meatus acusticus intermis, 7 Mm. von ihr nach aussen die der Wasserleitung des Vorsaals, Aquaeductus vestibuli. Die grösste obere Fläche ist von der Schuppe durch die Sutura (Fissura) petroso-squamosa geschieden, sie hat eine Vorragung, Eminentia canalis semicircularis superioris. Neben der Spitze der Pyramide die innere Oeffnung des Canalis caroticus, von welcher eine Rinne (Semicanalis Nervi Vidiani) nach aussen zu einem kleinen Loche führt, Hiatus (Apertura spuria) canalis Fallopiae. In dieser Rinne mündet der feine Canaliculus petrosus.

Der obere Rand des Felsentheiles ist gefurcht, Sulcus petrosus superior; der hintere Rand durch die Incisura jugularis ausgeschnitten.

Der Warzentheil zeigt an seiner Innenfläche eine breite Furche, Fossa sigmoidea (für den Sinus transversus); ein zuweilen fehlendes Loch, Foramen mastoideum (für ein Santorini sches Emissarium) führt von dieser Furche zur Aussenfläche des Knochens.

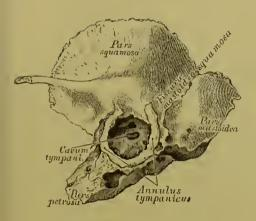


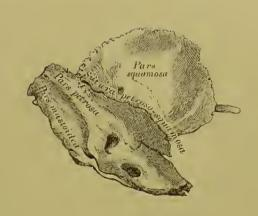
### 16. Linkes Schläfebein, Os temporum, von unten.

Des Felsentheiles untere Fläche bildet an ihrem äusseren Absehnitte ein, den *Porus acusticus externus* von unten und vorne umschliessendes Knochenblatt, *Tegmen tympani*, welches von der Gelenkgrube der Schuppe durch die *Fissura Glaseri* getrennt wird (Fig. 14).

Von innen nach aussen gehend trifft man: das Griffelwarzenloch, Foramen stylo-mastoideum, unter dem äusseren Gehörgange (Ausmündung des Fullopischen Kanals); den Griffelfortsatz, Processus styloideus; die Drosseladergrube, Fossa jugularis, mit der kleinen Anfangsöffnung des Canalieulus mastoideus. — Neben der Fossa jugularis die untere Oeffnung des Canalis caroticus, und über diesem zwei feine Kanälchen, Canaliculi caroticotympanici (zur Trommelhöhle); gegen den hinteren Rand die trichterförmige Endmindung des Aquacductus cocldeae. Zwischen Incisura jugularis und der unteren Oeffnung des Canalis caroticus liegt die Fossula petrosa, mit dem Ursprunge des Canaliculus tympanicus.

Am kürzesten vorderen Rande des Felsentheiles (an dessen äusserem Ende) liegt eine durch eine Knochenleiste in 2 Hälften getheilte Oeffnung; die obere kleinere ist der Anfang des Schicanalis tensoris tympani, die untere die Insertionsöffnung der Tuba Eustachii.



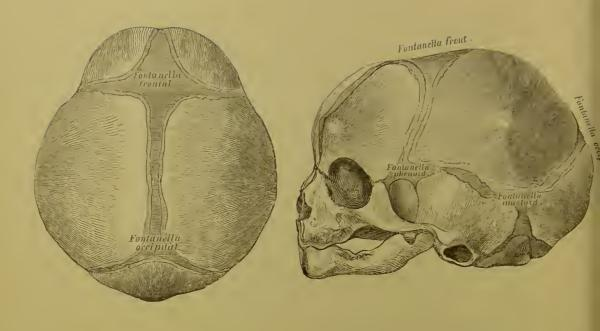


# 17. Linkes Schläfebein des Neugeborenen, von aussen.

18. Linkes Schläfebein des Neugeborenen,
von innen.

Im ersten Lebensjahre des Menschen ist das Schläfebein in 3 Stücke gesondert: a) Pars squamosa, b) Annulus tympanicus, und e) Pars petroso-mastoidea. Die Pars petroso-mastoidea ist von der Pars squamosa durch die Sutura petroso-squamosa und die Fissura mastoideo-squamosa (Jos. Gruber) getrennt. Der Paukenring, Annulus tympanicus, trägt das Trommelfell; im Cavum tympani (hinter dem Trommelfell) ist das Foramen ovale und Foramen rotundum sichtbar.

Das Schläfebein ist mit 5 Knochen in Verbindung: mit dem Hinterhauptbeine, dem Seitenwandbeine, dem Keilbeine, dem Jochbeine und dem Unterkieferbeine (Gelenk).

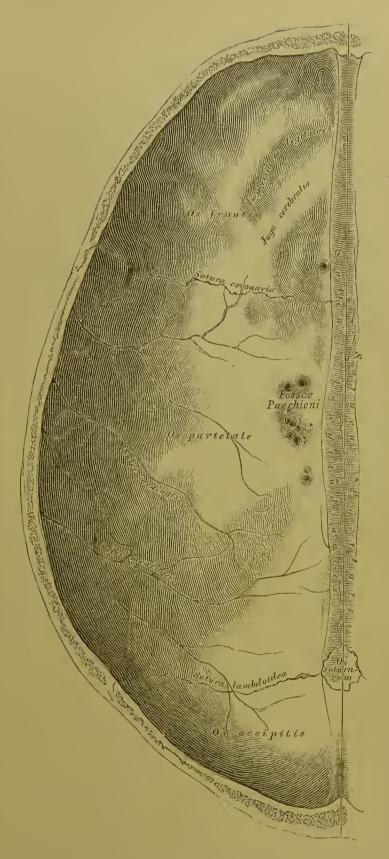


19. Schädel eines Foetus,
von oben (½ nat. Grösse).

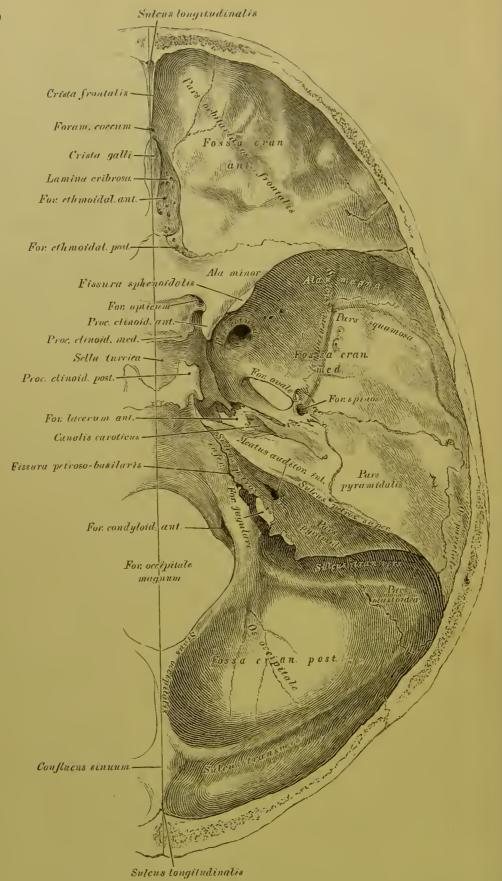
20. Schädel eines Foetus.

von der Seite (½ nat. Grösse).

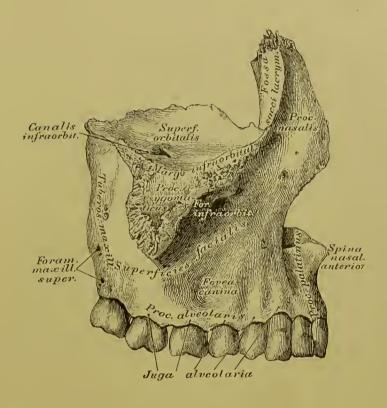
Fontanellen. Man zählt 1 Stirn-, 1 Hinterhauptfontanelle, 2 Keilbein- und 2 Warzenfontanellen. Die Stirnfontanelle ist von rhombischer Gestalt und erhält sich bis in das zweite Lebensjahr: die kleinere, dreieckige Hinterhauptfontanelle ist zur Zeit der Geburt fast versehlossen; ebenso verstreichen noch am Foetus die 2 Keilbeinfontanellen am Angulus sphenoidalis und die 2 Warzenfontanellen am Angulus mastoideus des Scheitelbeins. An den Stellen der Fontanellen entstehen später die Knoch en nähte, die Sutura coronalis, sagittalis, lambdoidea. mastoidea und die abnorme Sutura frontalis. Ist das Gehirn völlig entwickelt, so verschunelzen die Nähte durch Synostosen.



21. Die obere Schale der Schädelkapsel, Fornix cranii.
von innen.



22. Die untere Schale der Schädelkapsel, Basis cranii.

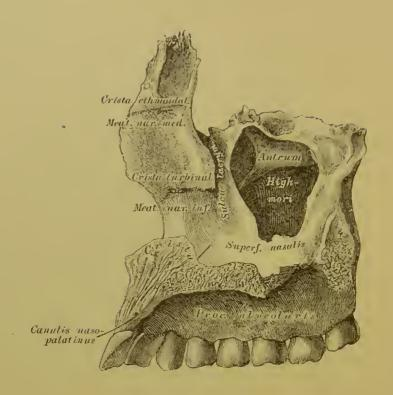


### 23. Rechtes Oberkieferbein, Os maxillae,

von aussen.

Das Oberkieferbein wird eingetheilt: in den Körper und in 4 Fortsätze, den *Processus nasalis seu frontalis*, den *Processus zygomaticus*, den *Processus palatinus* und den *Processus alveolaris*.

Der Körper besitzt 3 Flächen: die Gesichtsfläche, Superficies facialis, die Augenhöhlenfläche, Superficies orbitalis, und die Nasenfläche, Superficies nasalis. Die Gesichtsfläche wird durch eine gegen den Jochfortsatz aufsteigende Erhabenheit in eine vordere und hintere Hälfte getrennt; die vordere eoneave hat an ihrem oberen Rande das Foramen infraorbitale, unter diesem die Forea canina; die hintere eonvexe wird nach hinten durch die Tuberositas maxillaris begrenzt, die an dieser befindlichen Foramina maxillaria superiora dienen als Zugänge zu Gefäss- und Nervenkanälen. Die Augenhöhlenfläche der Ala magna ossis sphenoidei die untere Rande einen Theil des Margo infraorbitalis, der hintere Rand erzeugt mit dem unteren Rande der Augenhöhlenfläche der Ala magna ossis sphenoidei die untere Augengrubenspalte, Fissura orbitalis inferior; von demselben geht eine Furche, die sich im weiteren Verlaufe zu einem Kanale umwandelt, zum Foramen infraorbitale, der Canalis infraorbitalis.



24. Rechtes Oberkieferbein, Os maxillae, von innen.

Die Superficies nasalis des Körpers zeigt die grosse Oeffnung des Antrum Highmori, vor dieser einen Halbkanal, den Sulcus lacrymalis.

Der Nasenfortsatz des Oberkiefers wird an seiner äusseren Fläche (Fig. 23) durch eine Verlängerung des Margo infraorbitalis in eine vordere und hintere Fläche getheilt; letztere bildet die Thränensack grube, Fossa sacci lacrymalis, welche sich in den Sulcus lacrymalis fortsetzt. Die innere Fläche des Nasenfortsatzes wird durch eine rauhe Leiste. Crista ethnoidalis, quer geschnitten (nicht constant); einen Daumen breit unter dieser zieht quer über die Fläche vom unteren Ende des Sulcus lacrymalis nach vorne die Crista turbinalis; zwischen beiden Leisten liegt der mittlere Nasengang. Meatus narium medius.

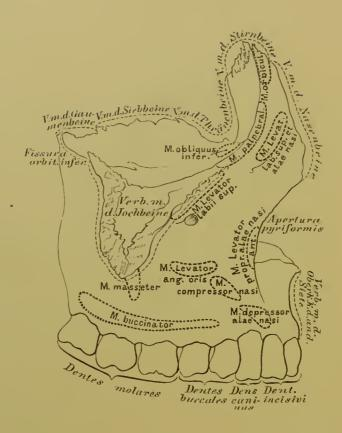
Der Joch fortsatz (Fig. 23) hat eine stumpfpyramidale Gestalt und dient zum Ansatze des Jochbeins.



### 25. Rechtes Oberkieferbein, Os maxillae, von unten.

Der Gaumenfortsatz des Oberkiesers bildet mit dem der anderen Seite den vorderen grösseren Theil des harten Gaumens; durch das Zusammentressen der inneren Ränder beider Gaumenfortsätze entsteht die Crista nasalis (Fig. 24), die nach vorne in den vorderen Nasenstachel, Spina nasalis anterior übergeht. Hinter diesem liegt die Ausmündung des Canalis naso-palatinus. Beide Canales naso-palatini eonvergiren und enden an der Untersläche des harten Gaumens in dem gemeinschaftlichen Foramen incisivum seu palatinum anterius.

Der Zahnzellenfortsatz besitzt 8 Zellen, Alveoli, für die Aufnahme der Zähne; die äussere Platte desselben zeigt Erhabenheiten, Juga alveolaria. Die 8 vom Oberkieferbeine getragenen Zähne sind: 2 Sehneidezähne, Dentes incisivi; 1 Eekzahn, Dens caninus; 2 Backenzähne (2 Wurzeln), Dentes buccales; 3 Mahlzähne (3 Wurzeln), Dentes molares, deren letzter auch Weisheitszahn, Dens sapientiae, genannt wird.



### 26. Rechtes Oberkieferbein. Os maxillae,

von aussen, mit den Knochenverbindungen und Muskelansätzen.

Der innere und hintere Rand der Augenhöhlenfläche des Körpers des Oberkieferbeins ist verbunden mit dem Thränenbeine, dem Siebbeine (Lamina papyracea), und dem Gaumenbeine.

Der Processus nasalis ist verbunden mit der Pars nasalis des Stirnbeins, sein vorderer Rand stösst an der oberen Hälfte an das Nasenbein, die untere concave Hälfte bildet mit demselben Rande des vis-à-vis stehenden Oberkieferbeins die Apertura pyriformis narium; der hintere Rand stösst an das Thränenbein. An der Innenfläche dienen die entsprechenden Leisten zur Verbindung mit der mittleren und unteren Nasenmuschel.

Der Processus zygomaticus ist mit dem Os zygomaticum verbunden.



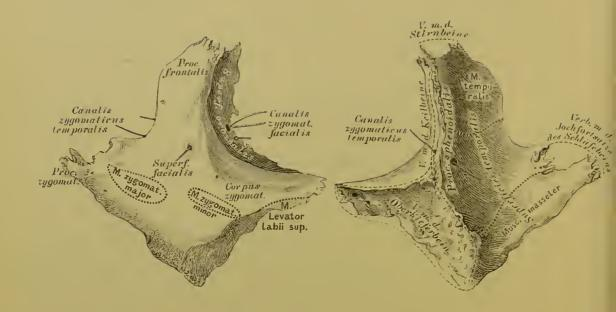
#### 27. Rechtes Oberkieferbein, Os maxillae,

von innen, mit den Knochenverbindungen.

Die Nasenfläche des Körpers des Oberkieferbeines zeigt die Oeffnung der Highmorshöhle, welche zum Theile durch das Siebbein, die untere Nasenmuschel und das Gaumenbein verschlossen wird; an den äusseren Rand der Nasenfläche stösst die Pars perpendicularis des Gaumenbeins. Der Processus palatinus ist an seinem inneren Rande mit dem Gaumenfortsatze des Oberkiefers der anderen Seite verbunden; an der vorderen Hälfte der Crista nasalis ist das Pflugscharbein befestigt.

Der Processus alveolaris trägt 8 Zähne (Fig. 25).

Das Oberkieferbein ist also mit 9 Knochen in Verbindung: 2 Schädelknochen (Stirn- und Siebbein) und 7 Gesichtsknochen (Nasen-, Joch-, Thräuen-, Gaumenbein, der unteren Nasenmuschel, der Pflugschar, und mit dem Oberkieferbeine der anderen Seite).



# 28. Rechtes Jochbein, Os zygomaticum, von aussen.

29. Rechtes Jochbein,

Os zygomaticum,

von innen.

Am Jochbeine unterscheidet man 3 Fortsätze: den stärksten Stirnbeine hein fortsatz, Processus frontalis, verbunden mit dem Stirnbeine; den Jochfortsatz des Schläfebeins den Jochbögen, Arcus zygomaticus, bildet, und den schwächsten Keilbein fortsatz, Processus sphenoidalis, der, nach hinten gerichtet, mit dem vorderen Rande der Augenhöhlensläche des grossen Keilbeinslügels in Verbindung steht. Körper heisst der mit dem Jochfortsatze des Oberkiefers verbundene Theil.

Von Flächen unterscheidet man die Gesichts-, Schläfen- und Augenhöhlenfläche läuft zur Gesichtsfläche der Canalis zygomaticus facialis, mit einem Nebenkauale zur Schläfenfläche. Hinter diesem Kanale findet sich ein zweiter, von der Angenhöhle in die Schläfengrube führender, Canalis zygomaticus temporalis.

Das Jochbein ist mit 4 Knochen verbunden: mit 3 Schädelknochen (Stirnbein, Keilbein und Schläfebein) und 1 Gesichtsknochen (Oberkieferbein).

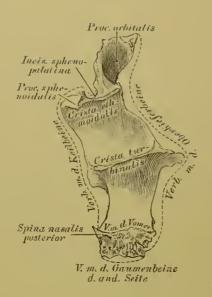


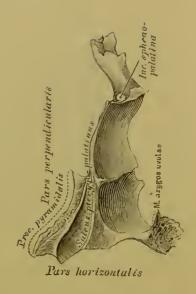


30. Rechtes Nasenbein, 31. Rechtes Nasenbein,
Os nasale, von aussen. Os nasale, von innen.

Die Nasenbeine liegen zwischen den Stirnfortsätzen der Oberkiefer und berühren sieh mit ihren inneren Rändern. Der obere kurze Rand greift in die Incisura nasalis ossis frontis ein, der untere hilft die Incisura pyriformis narium begrenzen. Die hintere Fläche sieht gegen die Nasenhöhle und besitzt eine Längsfurche für den Nervus ethmoidalis. Ein oder mehrere Löcher, Foramina nasalia, durchdringen die Substanz des Knochens.

Jedes Nasenbein ist mit 4 Knochen verbunden: 2 Schädelknochen, dem Stirnbeine und Siebbeine; 2 Gesichtsknochen, dem Oberkieferbeine und dem Nasenbeine der anderen Seite.





# 32. Linkes Gaumenbein, 33. Linkes Gaumenbein, Os palatinum, von innen. Os palatinum, von hinten.

Das Gaumenbein besteht aus zwei zu einander rechtwinkelig gestellten Theilen, der Pars perpendicularis und der Pars horizontalis.

Die Pars perpendicularis zeigt an ihrer Innenfläehe 2 horizontale Leisten: die untere, Crista turbinalis, zur Anlagerung der nuteren Nasenmuschel; die obere, Crista ethmoidalis, für die Concha ethmoidalis inferior. Der hintere Rand zeigt den Sulcus pterygo-palatinus, welcher mit dem ähnlichen Sulcus des Flügelfortsatzes des Keilbeins und der am hinteren Winkel des Oberkieferkörpers befindlichen Furche den Canalis pterygo-palatinus bildet. Der obere Rand trägt zwei Fortsätze, durch die Incisura spheno-palatina von einander getrennt; der vordere Fortsatz ist der Processus orbitalis (häufig einige Cellulae palatinae enthaltend), der hintere Fortsatz, Processus sphenoidalis, überbrückt die an der unteren Fläche des Keilbeinkörpers befindliche Längsfurche zu einem Kanal, Canalis spheno-palatinus.

Die Pars horizontalis bildet den hinteren Theil des harten Gaumens, der innere Rand (verbunden mit der Pars horizontalis des anderen Gaumenbeins) die Crista nasalis, die nach hinten in die Spina nasalis posterior ausläuft. An der Verschmelzungsstelle der Pars perpendienlaris mit der horizontalis steht der in die Incisura pterygoidea des Keilbeins sieh einschiebende Processus pyramidalis, mit der Fortsetzung des Sulcus pterygo-palatinus. Der mit dem Keilbeine und dem Oberkiefer gebildete oder selbständige Canalis pterygo-palatinus spaltet sieh nach unten laufend in 3 Kanäle, die in den 3 Foramina palatina posteriora am harten Gaumen münden.

Das Gammenbein ist mit 6 Knochen verbunden: 2 Schädelknochen (Keilbein, Siebbein) und 4 Gesichtsknochen (Oberkiefer, unterer Nasenmuschel, Pflugsehar und dem Gaumenbeine der anderen Seite).





# 34. Linkes Thränenbein,Os lacrymale, von aussen.Os lacrymale, von innen.

Das Thränenbein, der kleinste Kopfknochen, zeigt an seiner äusseren Fläche die senkrecht verlaufende Crista lucrymalis, durch welche die Fläche in 2 Abtheilungen zerfällt. Die vordere kleinere ist rinnenförmig ausgehöhlt und bildet mit der ähnlichen Rinne des Processus frontalis des Oberkieferbeins die Thränensaekgrube, Fossa sacci lacrymalis, die sich in den Thränennasenkanal, Canalis naso-lacrymalis, fortsetzt. Die Crista lacrymalis endet nach unten in den Thränenbein haken, Hamulus lacrymalis, welcher bisweilen ganz fehlt. Die Innenfläche des Thränenbeins deckt die vorderen Siebbeinzellen.

Das Thränenbein ist mit 4 Knochen verbunden: 2 Schädelknochen, dem Stirn- und Siebbeine, und 2 Gesichtsknochen, dem Oberkieferbeine und der unteren Nasenmuschel.





muschel, Concha inferior, muschel, Concha inferior, von innen.

36. Linke untere Nasen- 37. Linke untere Nasenvon aussen.

Die untere Nasenmuschel sitzt an der inneren Wand des Oberkieferkörpers; ihre concave Seite ist gegen diese Wand, ihre convexe Seite gegen die Nasenscheidewand gerichtet. Der untere Rand ist aufgebläht: am oberen Rande entspringt der Processus maxillaris, der die Oeffnung der Highmorshöhle verkleinem hilft. Vor diesem Fortsatze steigt der Processus lacrymalis empor, theilweise den Canalis naso-lacrymalis bildend. Der Processus ethmoidalis ist nicht constant. Das vordere und hintere Ende des Knochens legt sich an die Urista turbinalis des Oberkiefers und des Gaumenbeins an.

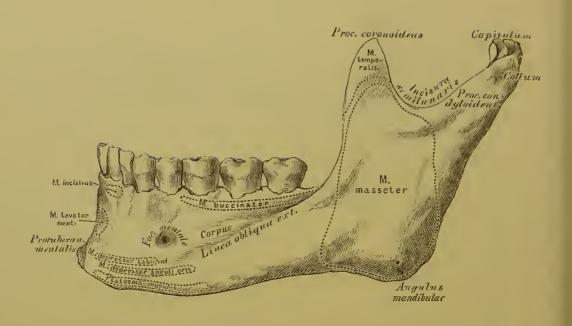
Die untere Nasenmuschel ist mit 4 Knochen verbunden: 1 Schädelknochen, dem Siebbein, und 3 Gesichtsknochen, dem Oberkiefer, Gaumenbein und Thränenbein.



### 38. Pflugscharbein, Os vomeris.

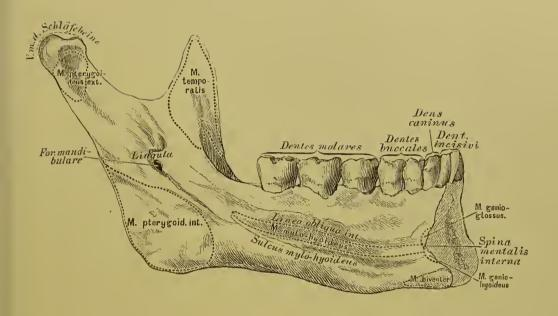
Das Pflugseharbein dient zur Bildung des unteren Theiles der knöchernen Nasenscheidewand. Der obere Rand geht flügelförmig auseinander, Alae vomeris; zwischen beiden Flügeln steekt das Rostrum sphenoidale. Der untere Rand berührt die von beiden Oberkiefer- und Gaumenbeinen erzeugte Crista nasalis. Der vordere längste Rand verbindet sich am oberen Segmente mit der senkrechten Platte des Siebbeins, am unteren mit dem viereckigen Nasenscheidewandknorpel. Der hintere kürzeste Rand steht frei und bildet das Septum der hinteren Nasenöffnung, wodurch diese in beide Choanen geschieden wird.

Die Pflugschar steht mit 6 Knochen in Verbindung: 2 Schädelknochen, nämlich dem Keilbeine und Siebbeine, und 4 Gesichtsknochen, den 2 Oberkieferbeinen und 2 Gaumenbeinen; endlich mit dem viereckigen Nasenscheidewandknorpel der Cartilago quadrangularis.



### 39. Unterkiefer, Mandibula, von aussen.

Der Unterkiefer wird eingetheilt in den Körper und in 2 Aeste. In der Mitte der vorderen Fläche des Körpers befindet sich die Protuberantia mentalis; 2.5 Ctm. weit nach aussen von derselben das Kinnloch, Foramen mentale, unter welchem die Linea obliqua externa zum vorderen Rande des Astes aufsteigt. Der untere Rand ist breit, der obere gefächert, mit 16 Zahnzellen, Alveoli, versehen, für eben so viele Zähne. Die 2 Aeste steigen vom hinteren Ende des Körpers empor; ihr hinterer Rand bildet mit dem unteren Rande des Körpers den Unterkieferwinkel, Angulus mandibulae. Am oberen Rande sitzen durch die Incisura semilunaris getreunt 2 Fortsätze auf; der vordere ist der Processus coronoideus, der hintere der Processus condyloideus. Letzterer trägt an einem verschmächtigten Halse (Collum) ein überknorpeltes Köpfehen, Capitulum, für die Gelenkverbindung mit der Fossa glenoidalis des Schläfebeins.



40. Unterkiefer, Mandibula, von innen.

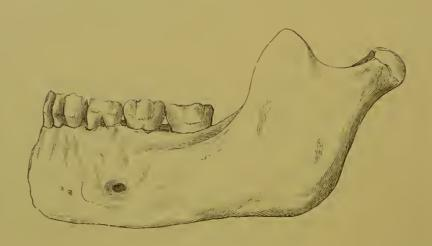
Körper. In der Mitte der inneren (hinteren) Fläche desselben ragt der ein- oder zweispitzige Kinnstachel, Spina mentalis interna, hervor; unter diesem befinden sich 2 rauhe Eindrücke für den Ursprung je eines vorderen Bauches eines M. biventer. Nach aussen vom Kinnstachel beginnt die Linea obliqua interna seu mylo-hyoidea. In den Alveolen des oberen Randes sitzen beiderseits 2 Schneidezähne, 1 Eckzahn, 2 Backenzähne und 3 Mahlzähne, deren letzter auch Weisheitszahn genannt wird.

Aeste. Jeder Ast zeigt in der Mitte seiner Innenfläche das Zünglein, Lingula, hinter welchem das Foramen mandibulare s. alveolare liegt, als Anfang eines den Körper durchbohrenden und am Foramen mentale endenden Kanales, Canalis alveolaris inferior. Vom Foramen mandibulare zieht eine Rinne sehief abwärts, der Sulcus mylo-hyoideus.

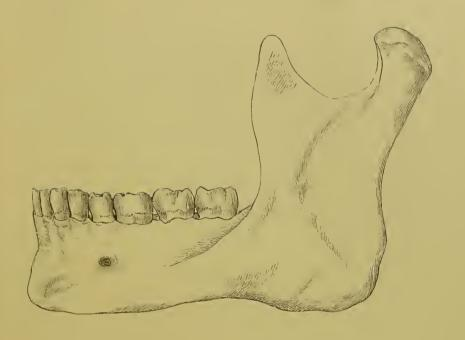
Der Unterkiefer ist gelenkig mit beiden Schläfebeinen verbunden.



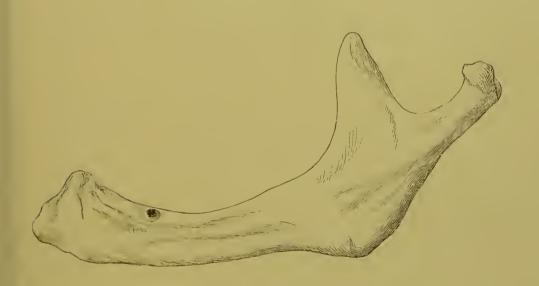
41. Unterkiefer des Neugeborenen.



42. Unterkiefer eines Knaben.

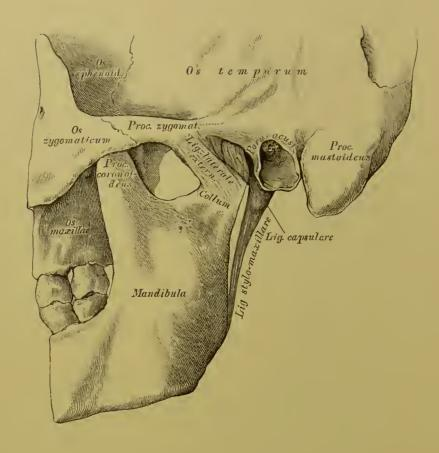


43. Unterkiefer des Erwachsenen.



44. Unterkiefer im Greisenalter.

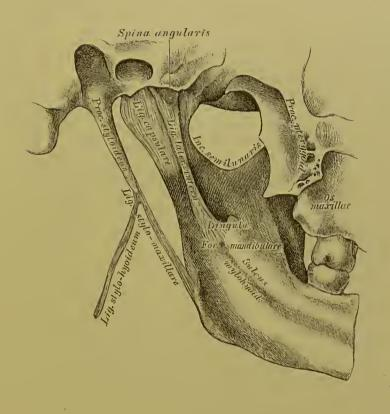
41. 44. Formen des Unterkiefers in verschiedenem Lebensalter (nach Gray).



# 45. Linkes Kiefergelenk. Articulatio temporo-maxillaris, von aussen.

Die knöchernen Theile, welche das Kiefergelenk constituiren, sind: die Fossa glenoidalis, das Tubereulum articulare des Schläfebeins einerseits, und das Capitulum des Unterkiefers anderseits. Die Weichtheile des Gelenkes sind: die dünne und laxe Gelenk kapsel, das äussere Seitenband, das innere Seitenband, das Lig. stylo-maxillare und der Zwischenknorpel.

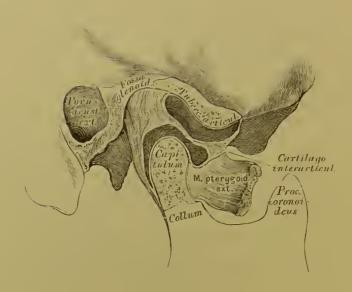
Das Lig. laterale externum ist ein kurzes, breites Band, welches vom Processus zygomaticus des Schläfebeins schief nach hinten und unten zum Halse des Gelenkfortsatzes des Unterkiefers geht; die Innenfläche dieses Bandes steht in Verbindung mit dem Zwischenknorpel und der Gelenkkapsel.



## 46. Linkes Kiefergelenk, Articulatio temporo-maxillaris, von innen.

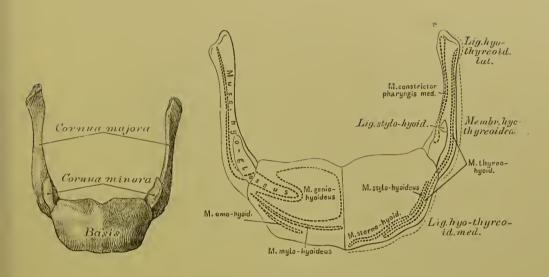
Das Ligamentum laterale internum ist ein langes sehmales Band, nicht verbunden mit der Gelenkkapsel; dasselbe zicht von der Spina angularis des Keilbeins zur Lingula des Unterkieferkanales.

Das Ligamentum stylo-maxillare (ein Theil der Fascia buccopharyngea) geht vom Griffelfortsatze des Schläfebeins zum Winkel und hinteren Rand des Unterkieferastes.



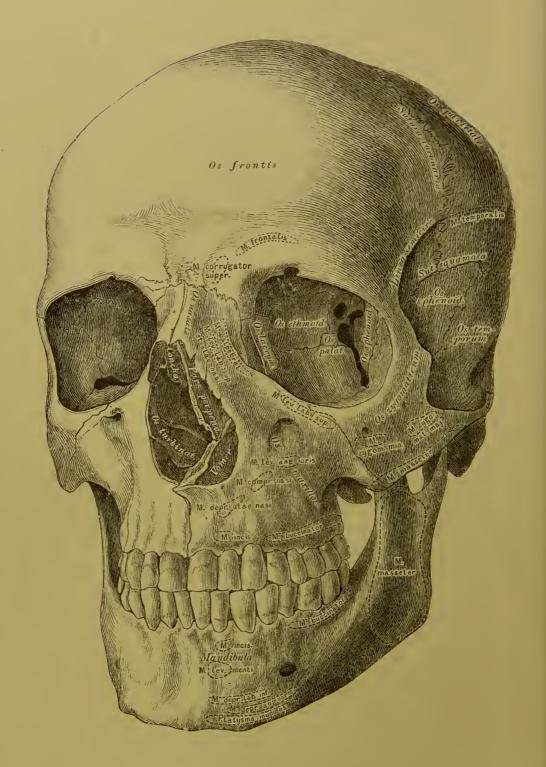
## 47. Rechtes Kiefergelenk, Articulatio temporo-maxillaris, im Durchschnitte.

Die Höhle der Gelenkkapsel wird durch einen in der Mitte dünneren. gegen den Rand diekeren Zwisehenknorpel, Cartilago interarticularis, in 2 Hälften getheilt, welche besondere Synovialhäute besitzen. Der Rand des Zwisehenknorpels ist mit der Gelenkkapsel und dem äusseren Seitenbande verwachsen; an seine Vorderfläche inserirt sieh die Sehne des Musculus pterygoideus externus.

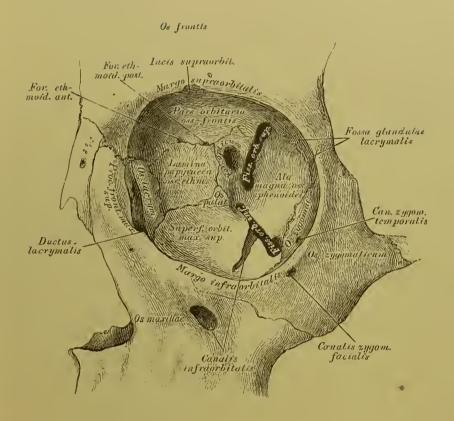


48. Zungenbein, 49. Zungenbein, Os hyoides, Os hyoides, von vorne. mit den Ansätzen der Muskeln und Bänder.

Das Zungenbein wird eingetheilt in das Mittelstück und 2 Paar seitliche Hörner. Das Mittelstück trägt an seinen beiden Enden die grossen Hörner, Cornua majora, durch Vermittlung zweier Gelenke, oder Synchondrosen; an der Insertionsstelle der grossen Hörner mit dem Mittelstücke sitzen, gelenkig verbunden, die kleinen Hörner, Cornua minora.



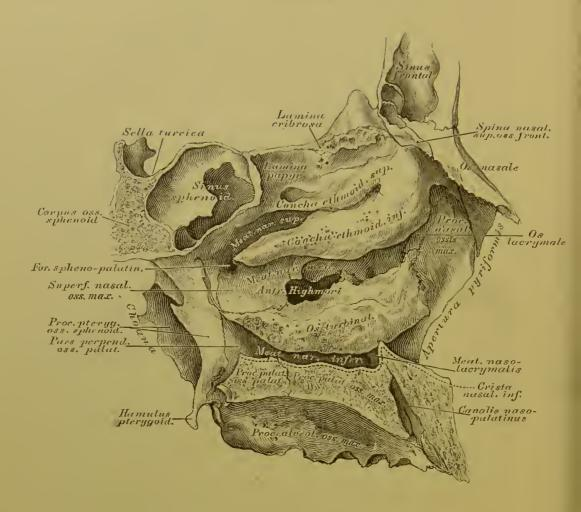
50. Der knöcherne Kopf, mit den Höhlen und Gruben des Gesichtes.



### 51. Linke Augenhöhle, Orbita.

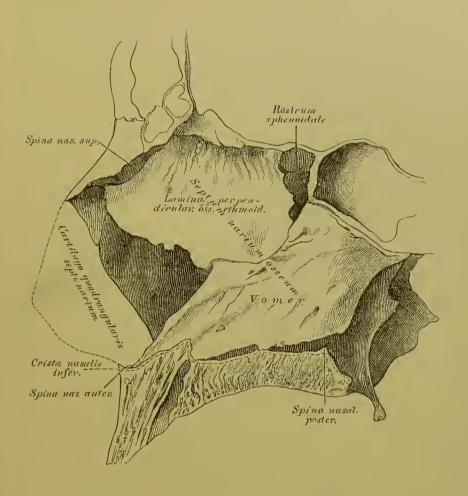
Die äussere Wand der Augenhöhle wird gebildet vom Jochbein und dem grossen Keilbeinflügel; die obere Wand von der Augenhöhlenfläche des Stirnbeins; die innere Wand vom Stirnfortsatz des Oberkiefers, dem Thränenbein und der Lamina papyracea des Siebbeins; die untere Wand von der Augenhöhlenfläche des Oberkiefers und dem Processus orbitalis des Gaumenbeins. Die Oeffnung der Augenhöhle, Apertura orbitalis, wird vom Margo supra- et infraorbitalis begrenzt; hinter dem Rande nach oben und aussen liegt die Fossa glandulae lacrymalis.

Löcher und Kanäle der Augenhöhle. Zur Schädelhöhle führen: das Foramen optieum, die Fissura orbitalis superior, das Foramen ethmoidale anterius. Zur Nasenhöhle führen: das Foramen ethmoidale posterius, der Ductus nasolacrymalis. Zur Schläfengrube führt: der Canalis zygomaticus temporalis; zur Flügelgaumengrube die Fissura orbitalis inferior. Zum Gesichte führen: der Canalis zygomaticus facialis, das Foramen supraorbitale (Incisura supraorbitalis) und der Canalis infraorbitalis.



### 52. Die Nasenhöhle, Cavum narium.

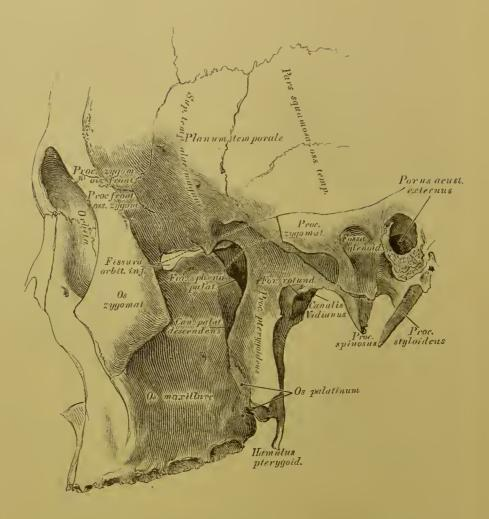
Die Nasenhöhle wird eingetheilt in die eigentliche Nasenhöhle und die Nebenhöhlen (Sinus frontalis, sphenoidalis, maxillaris). Oben wird die eigentliche Nasenhöhle begrenzt durch die Nasenbeine und die Lamina eribrosa des Siebbeins; unten durch die Processus palatini der Oberkiefer und die Partes horizontales der Gaumenbeine. Die Seitenwände werden gebildet oben durch den Processus nasalis des Oberkiefers, das Thränenbein, die Lamina papyracea des Siebbeins; weiter unten durch die Superficies nasalis des Oberkiefers, die Pars perpendicularis des Gaumenbeins und den Processus pterygoideus des Keilbeins. Die vordere Wand wird durch die Nasenbeine gebildet; ein grosser Theil derselben fehlt; an ihrer Stelle befindet sieh die Apertura pyriformis. Die hintere Wand gibt theilweise die Vorderfläche des Keilbeinkörpers, unterhalb dessen befinden sieh zwei Oeffnungen, die Choanae. Jede Choane ist begrenzt oben vom Körper des Keilbeins, aussen vom Processus pterygoideus desselben, innen vom Pflugscharbein und unten von der Pars horizontalis des Gaumenbeins.



### 53. Die Nasenhöhle, Cavum narium.

Die Nasenhöhle wird durch die knöcherne Nasenscheidewand, Septum narium osseum, in zwei Hälften getheilt; dieselbe besteht aus der senkrechten Siebbeinplatte und der Pflugsehar und geht von der Lamina cribrosa und Spina nasalis superior zur Crista nasalis inferior. Kuöcherne Vorsprünge an den Wänden der Nasenhöhle bilden die Knochenblätter des Siebbeinlabyrinths, die obere und untere Siebbeinmuschel und die untere Nasenmuschel (Fig. 52). Zwischen den Muscheln liegen die Nasen gänge, Meatus narium, beiderseits drei, und zwar der obere zwischen oberer und unterer Siebbeinmuschel; der mittlere zwischen unterer Siebbeinmuschel und unterer Nasenmuschel; der untere zwischen unterer Nasenmuschel und Boden der Nasenhöhle. In den obere u münden die hinteren und mittleren Siebbeinzellen, die Keilbeinhöhle; in den mittleren die vorderen Siebbeinzellen, die Highmorshöhle und die Stirnhöhle; in den nuteren der Thränennasengang.

Löcher und Kanäle der Nasenhöhle. Zur Schädelhöhle führen die Foramina cribrosa; zur Mundhöhle der Canalis naso-palatinus; zur Flügelgaumengrube das Foramen spheno-palatinum; zur Augenhöhle das Foramen ethmoidale posterius, der Ductus naso-lacrymalis; zum Gesichte die Apertura pyriformis und die Foramina nasalia.

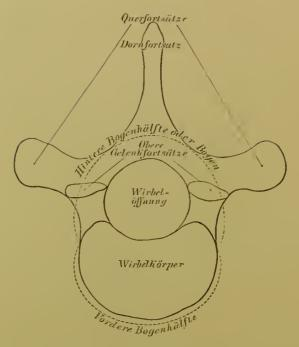


# **54.** Die Flügelgaumengrube (Keil-Oberkiefergrube), Fossa pterygo-palatina s. spheno-maxillaris.

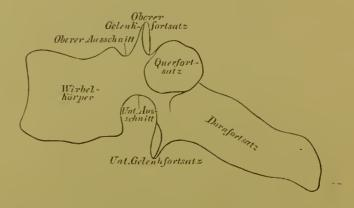
Die Sehläfengrube, Fossa temporalis, gebildet durch die Schuppe des Schläfebeius, die Schläfenfläche des grossen Keilbeinflügels, den Jochfortsatz des Stirnbeins und den Stirnfortsatz des Jochbeins, vertieft sich nach unten, innen und vorne, zwischen Oberkiefer, Flügelfortsatz des Keilbeins und Gaumenbeins zur Flügelgaumengrube, Fossa pterygo-palatina. Gewöhnlich wird nur der tiefste Theil der Grube, gebildet durch den Flügelfortsatz des Keilbeins und des Gaumenbeins, Flügelgaumengrube genannt; während der weitere, zwischen Oberkiefer und Keilbein liegende Theil die Keil-Oberkiefer und Keilbein lieg

Löcher und Kanäle der Flügelgaumengrube. Zur Schädelhöhle führt das Foramen rotundum; zur Augenhöhle die Fissura orbitalis inferior; zur Nasenhöhle das Foramen spheno-palatinum; zur Mundhöhle der Canalis palatinus descendens; zur Schädelbasis der Canalis Vidianus.

55. Der knöcherne Kopf, von unten.

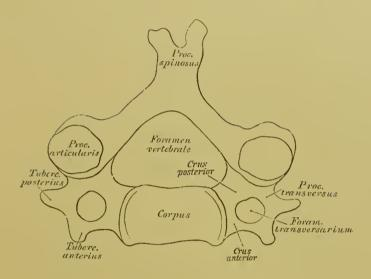


56. Schema eines wahren Wirbels, von oben.



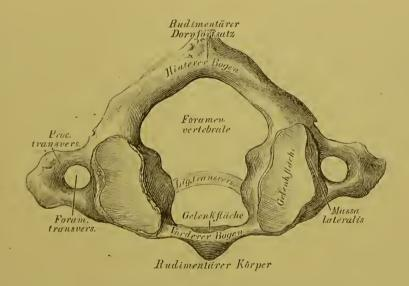
### 57. Schema eines wahren Wirbels, von der Seite.

Jeder wahre Wirbel hat eine mittlere Oeffnung (Foramen vertebrale) und eine vordere und hintere Bogenhälfte; die vordere Bogenhälfte wird zum Körper des Wirbels, Corpus vertebrae; die hintere Bogenhälfte oder Bogen, Arcus vertebrae, trägt 7 Fortsätze: 3 Muskelfortsätze und 4 Gelenkfortsätze. Von den Muskelfortsätzen ist der Dornfortsatz, Processus spinosus, unpaar, die Querfortsätze, Processus transversi, paarig. Von den Gelenkfortsätzen streben 2 nach oben, Processus articulares ascendentes, und 2 nach unten, Processus articulares descendentes. Die Ausschnitte an der Stelle, wo der Bogen an den Körper stösst, bilden mit den Nachbarwirbeln die Zwischen wirbelbeinlöcher, Foramina intervertebralia.



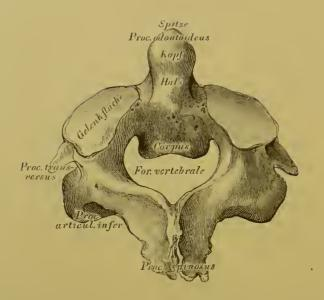
#### 58. Schema eines Halswirbels.

Der Querfortsatz von einem Loche, Foramen transversarium, durchbrochen, welches von einer vorderen und hinteren Spange begrenzt ist; der Körper niedrig; Körper und Bogen bilden ein gleichseitiges Dreieck; der Dornfortsatz gabelförmig gespalten; der durchbrochene Querfortsatz mit einem vorderen und hinteren Höcker, Tuberculum anterius et posterius, versehen.

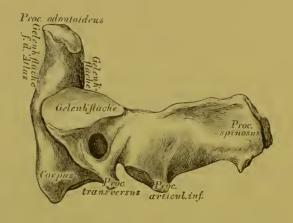


### 59. Der erste Halswirbel, Träger, Atlas, von oben.

Der Atlas besteht aus einem vorderen und hinteren Bogen, deren Vereinigungsstellen die Massae laterales atlantis bilden; es fehlen die Gelenkfortsätze und der Dornfortsatz; statt der Gelenkfortsätze sind obere ausgehöhlte und untere ebene Gelenkflächen vorhanden. In der Mitte der Hinterfläche des vorderen Bogens liegt die Gelenkfläche für den Zahnfortsatz des zweiten Halswirbels.

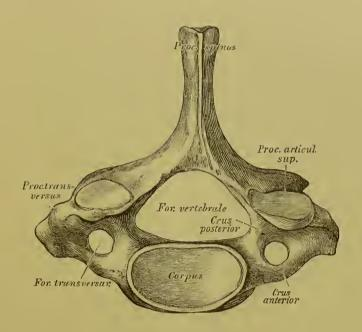


60. Der zweite Halswirbel, Epistropheus, von oben.



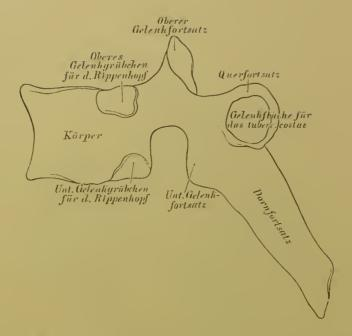
### 61. Der zweite Halswirbel, Epistropheus, von der Seite.

Der Körper besitzt einen Fortsatz, den Zahn, Processus odontoideus, an welchem die Spitze, der Kopf und der Hals unterschieden werden, seine vordere und hintere Fläche ist überknorpelt. Nahe dem Zahne liegen zwei Gelenkflächen zur Verbindung mit dem Atlas. Der Dornfortsatz ist stark gebaut und bisweilen in zwei Theile gespalten.



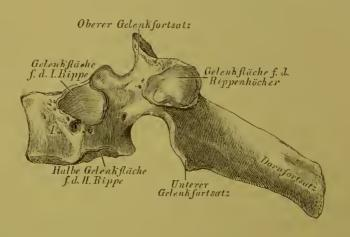
62. Der siebente Halswirbel, Vertebra prominens, von oben.

Der siebente Halswirbel hat einen langen, nicht gespaltenen Dornfortsatz; der *Processus transversus* ist stark entwickelt, zumal die hintere Spange desselben.



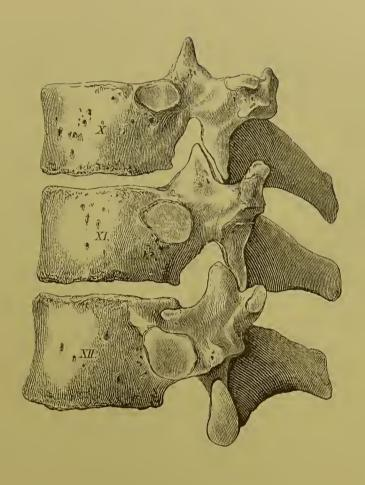
#### 63. Schema eines Brustwirbels.

Die zwölf Brustwirbel kennzeichnen sich durch überknorpelte Gelenkgrübehen an der Seite ihres Körpers, deren eine am oberen, eine am unteren Rande liegt; mit den Nachbarwirbeln bilden sie die Foveae articulares für die Rippenköpfehen. Das Foramen vertebrale kreisförmig, die Dornfortsätze lang, besonders an den mittleren Brustwirbeln stark schief abwärts gerichtet. Die Querfortsätze haben nach vorne gerichtete, überknorpelte Gelenkflächen für die Tubercula costarum.



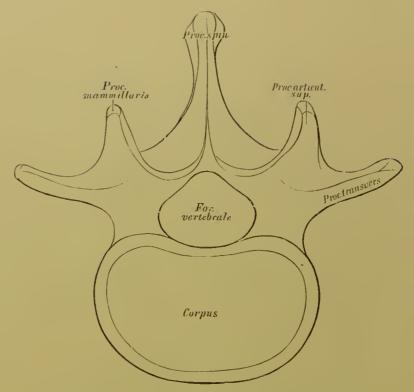
### 64. Der erste Brustwirbel, von der Seite.

Der erste Brustwirbel besitzt an der Seite des Körpers eine obere Gelenkfläche für das Capitulum der I. Rippe (bisweilen wird das Gelenkgrübehen gemeinsam mit dem siebenten Halswirbel gebildet) und eine halbe Gelenkfläche für die H. Rippe.



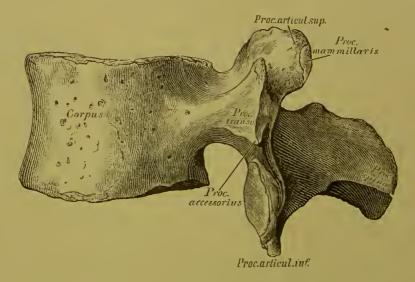
65. Der zehnte, eilfte und zwölfte Brustwirbel, von der Seite.

Der zehnte Brustwirbel trägt an der Seite seines Körpers, am oberen Rande, eine unvollkommene Gelenkfläche, die durch die untere Gelenkfläche des Körpers des neunten Brustwirbels ergänzt wird. Der Körper des eilften und zwölften Brustwirbels trägt vollkommene Gelenkflächen für die Köpfehen der eilften und zwölften Rippe. Vom neunten bis zwölften Brustwirbel werden die Querfortsätze zu kurzen Höckern. Die überknorpelten Gelenkflächen der Querfortsätze sind am eilften und zwölften Brustwirbel nur angedentet oder dieselben fehlen ganz. Die Eovea articularis am eilften und zwölften Brustwirbel gleicht bisweilen einem unebenen Höcker.



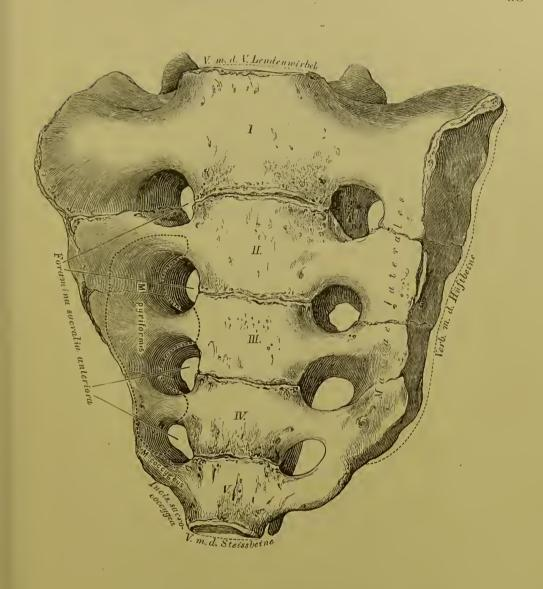
66. Schema eines Lendenwirbels.

Die Querfortsätze nicht durchbrochen; dieselben tragen keine Gelenkflächen, ebensowenig die Körper. Die Lendenwirbel sind grösser als die Hals- und Brustwirbel desselben Skeletes. Das Foramen vertebrale rundlich; die Dornfortsätze loch, schmal, horizontal stehend. Die Gelenkflächen der oberen Gelenkfortsätze nach innen und hinten, die der unteren Gelenkfortsätze nach aussen und vorne gerichtet.



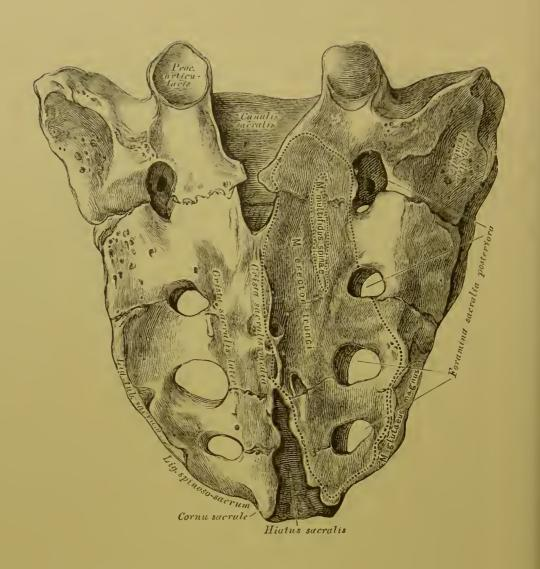
### 67. Lendenwirbel, Vertebra lumbalis, von der Seite.

Der Körper vorne etwas höher als hinten; zwischen dem oberen Gelenkfortsatz und dem Querfortsatz ein stumpfer Höcker oder eine rauhe Leiste, *Processus accessorius*, am änsseren Rande des oberen Gelenkfortsatzes der *Processus mammillaris*.



68. Das Kreuzbein, Os sacrum, von vorne.

Das Kreuzbein besteht aus fünf unter einander verwachsenen Wirbeln; man unterscheidet an demselben die Basis, eine vordere und hintere Fläche und zwei Seitenränder. Die Basis ist mit dem V. Lendenwirbel verbunden. Die vordere Fläche ist coneav, mit vier Paar Löchern verschen, Foramina sacralia anteriora; jedes Paar wird durch eine horizontale Leiste verbunden; nach aussen von denselben liegen die Massac laterales ossis sacri. Die nach unten sich nähernden Seitenränder, die an ihren oberen Enden mit den Hüftbeinen verbunden sind, lanfen in eine stumpfe Spitze aus, welche zur Verbindung mit dem Steissbeine dient; nahe dieser Spitze sind die Seitenränder halbmondförmig vertieft, Incisura sacro-coccygea.



### 69. Das Kreuzbein, Os sacrum, von hinten.

Hinter der Basis ist der dreieckige Eingang zu dem das Kreuzbein durchbohrenden Canalis saeralis, eine Fortsetzung des Canalis vertebralis; zu beiden Seiten desselben ragen die oberen Gelenkfortsätze des ersten falschen Kreuzwirbels empor. Die hintere Fläche ist convex; an derselben verläuft die mittlere Kreuzbeinleiste, Crista saeralis media; zu beiden Seiten sind die Cristae sacrales laterales. Am unteren Ende der Crista saeralis media ist die untere Oeffnung des Canalis saeralis, der Hiatus saeralis; seitlich davon stehen die Cornua saeralia, verkümmerte absteigende Gelenkfortsätze des fünften falschen Kreuzwirbels. Die hinteren Kreuzbeinlöcher, Foramina saeralia posteriora, sind kleiner und unregelmässiger als die vorderen.



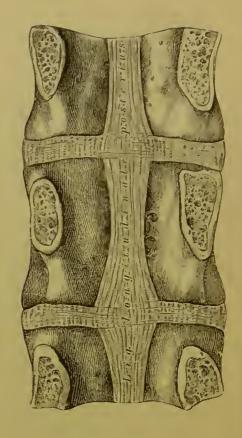


70. Das Steissbein, 71. Das Steissbein, Os coccygis, von vorne.

Os coccygis, von hinten.

Das Steissbein besteht aus vier (sehr selten fünf) Knochenstücken, Rudimenten der Wirbelkörper. Das erste Stück trägt die Cornua coccygea, rudimentäre aufsteigende Gelenkfortsätze; ebenso verkümmerte Processus transversi. Zwischen den Hörnern liegt die Verbindungsstelle des Steissbeins mit der Spitze des Kreuzbeins.

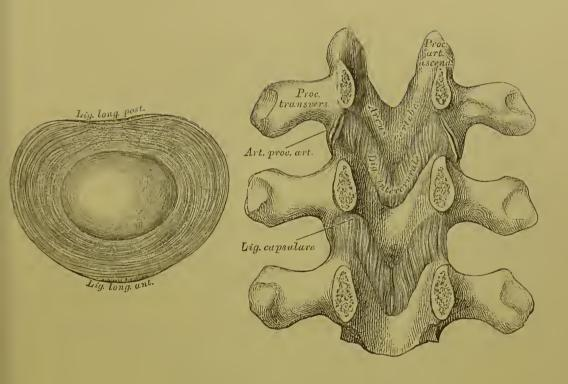




72. Das vordere lange 73. Das hintere lange Wirbelsäulenband, Ligamentum long. anterius.

Wirbelsäulenband. Ligamentum long. posterius.

Das Lig. longit. anterius entspringt von der Pars basilaris ossis occipitis, verläuft anfangs sehmal (Fig. 77), später breiter werdend an der vorderen Fläche der Wirbelsäule und verliert sich im Periost des Kreuzbeins. Das schwächere Lig. longit. posterius verläuft an der hinteren Fläche der Wirbelkörper, also im Canalis vertebralis vom Epistropheus an bis zum Kreuzbein; dasselbe verbreitert sich etwas an jeder Zwischenwirbelscheibe.



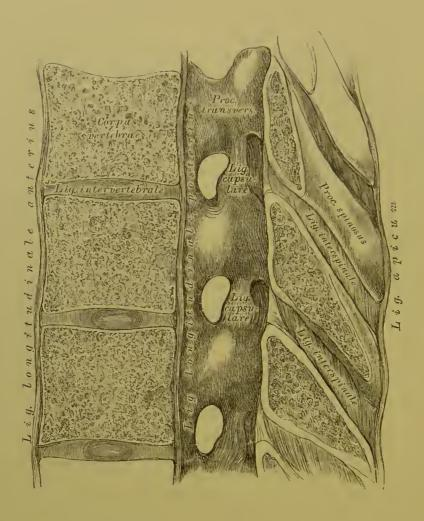
74. Zwischenwirbelscheibe, Fibro-cartilago intervertebralis.

**75.** Die Zwischenbogenbänder, Ligamenta intercruralia seu flava.

Jede Zwischen wir belscheibe besteht aus einem breiten Faserringe, welcher einen weieheren, am Durchschnitt etwas hervorquellenden Kern
einsehliesst. Mit dem Faserringe ist das Lig. longitudinale anterius und posterius
verwachsen.

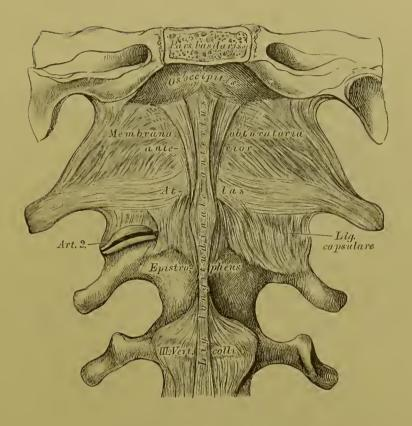
Die Zwischen bogen- oder gelben Bänder bestehen aus elastischen Fasern und sind zwischen je zwei Wirbelbogen ausgespannt, so dass sie vom unteren Rande des oberen Bogens zur hinteren Fläche des unteren Bogens ziehen.

Die auf- und absteigenden Gelenkfortsätze der Wirbel bilden Gelenke, Articulationes processuum articularium, welche durch Kapselbänder abgeseldossen werden.



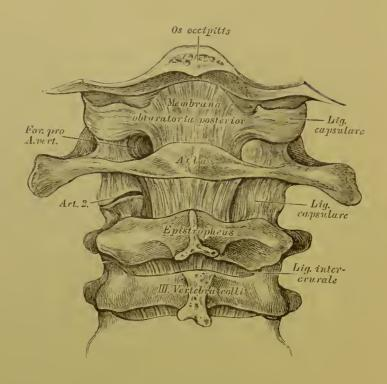
76. Die Zwischendornbänder, Ligamenta interspinalia, und die Zwischenquerbänder, Ligamenta intertransversalia.

Die Ligamenta interspinalia liegen zwischen je zwei Dornfortsätzen; ihr hinterer, verdiekter Rand bildet die Spitzenbänder, Ligamenta apicum. Die Spitzenbänder verlaufen vom siebenten Halswirbel bis herunter zur Crista sacralis media; vom siebenten Halswirbel bis zur Protuberantia occipitalis externa vertritt deren Stelle das starke Nackenband, Ligamentum nuchae.



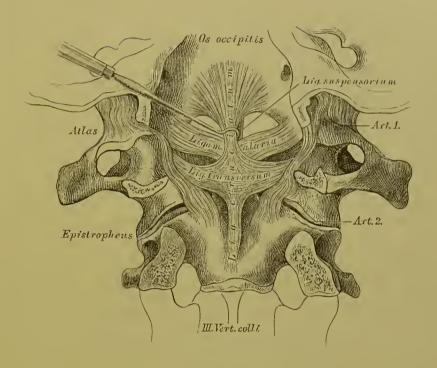
# 77. Das vordere Verstopfungsband, Membrana obturatoria anterior.

Der Raum zwischen dem vorderen Halbringe des Atlas und dem vorderen Umfange des Foramen magnum des Hinterhauptbeins wird durch die Membrana obturatoria anterior ausgefüllt. Am Bilde ist als Art. 2 das Gelenk zwischen den die Gelenkfortsätze ersetzenden Gelenkflächen des Atlas und Epistropheus und das das Gelenk umsehliessende Kapselband dargestellt; ebenso die Insertion des in der Gegend der oberen Halswirbel noch rundlichen und schmalen Ligamentum longitudinale anterius.



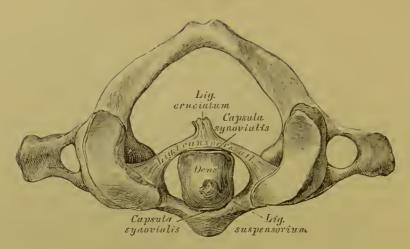
78. Das hintere Verstopfungsband, Membrana obturatoria posterior.

Der Raum zwischen dem hinteren Halbringe des Atlas und dem hinteren Umfange des Foramen occipitale magnum wird durch die Membrana obturatoria posterior verschlossen; dasselbe ist schwächer als das vordere Verstopfungsband und wird an seinem äusseren Rande beiderseits durch die Arteria vertebralis perforirt, welche die im Bilde dargestellte Nische ausfüllt, indem sie in einem starken Bogen vom Foramen transversarium des Atlas zum Foramen occipitale magnum hinaufzieht.



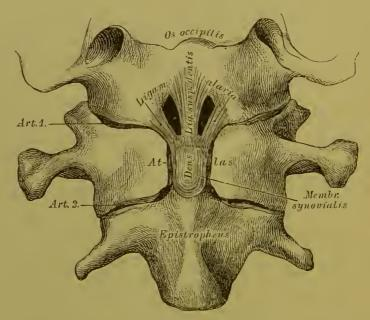
## 79. Die Bänder zwischen Epistropheus, Atlas und Hinterhauptknochen, vom Wirbelkanale aus gesehen.

Das starke Querband, Ligamentum transversum atlantis, drückt den Zahnfortsatz des Epistropheus an die Gelenkfläche des vorderen Halbringes des Atlas. Vom oberen Rande dieses Bandes geht ein Bandsehenkel zum vorderen Rande des Foramen occipitale magnum und ein ähnlicher Schenkel von dessen unterem Rande zum Körper des Epistropheus; die senkrechten Schenkel bilden mit dem Lig. transversum das Kreuzband, Ligamentum eruciatum. Der Zahn selbst wird an den vorderen Umfang des Foramen occipitale magnum durch drei Bänder fixirt, von denen das mittlere Ligamentum suspensorium, die zwei seitlichen Ligamenta alaria heissen. Am Bilde sind auch die Gelenkkapseln der Hinterhaupt-Atlasgelenke dargestellt. Der obere senkrechte Schenkel des Kreuzbandes ist etwas bei Seite gezogen, um das Lig. suspensorium zur Anschauung zu bringen.



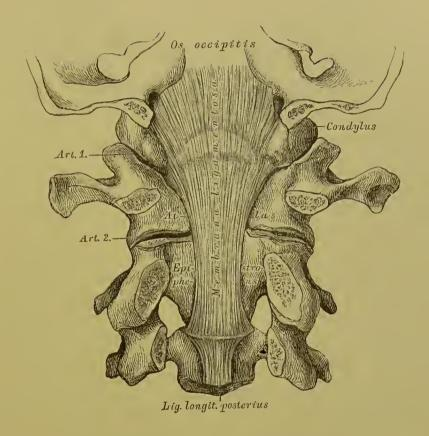
### 80. Die Bänder zwischen Atlas und Epistropheus.

Durch das um den Zahn des Epistropheus im Bogen gespannte Lig. transversum atlantis wird die Oeffnung des Atlas in einen vorderen kleineren und hinteren grösseren Raum getheilt; ersterer ist für den Zahn des Epistropheus bestimmt, letzterer für das Rückenmark. Zwischen der Vorderfläche des Zahnes und der Gelenkfläche des vorderen Halbringes des Atlas, ebenso zwischen der Hinterfläche des Zahnes und dem darüber gespannten Lig. transversum sind Synovialkapseln.



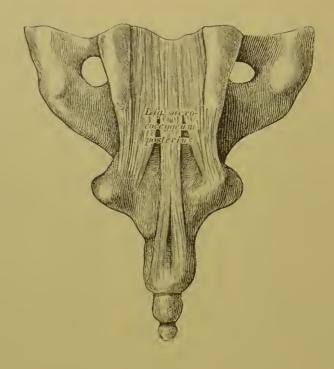
### 81. Das Ligamentum suspensorium dentis und die Ligamenta alaria, nach Eröffnung des vorderen Halbringes des Atlas.

Das Lig. suspensorium dentis zicht von der Spitze des Zahnes zum vorderen Rande des Hinterhauptloches; die Ligamenta alaria verlaufen von beiden Seiten der Zahnspitze zu den Seitenrändern des Hinterhauptloches und zur Innenfläche der Processus condyloidei.



# 82. Bänder zwischen Epistropheus, Atlas und Hinterhauptknochen.

Der Bandapparat zwischen Epistropheus, Atlas und Hinterhaupt wird im Rückenmarkskanale von einer fibrösen Membran gedeckt, die oberhalb des vorderen Randes des Foramen occipitale magnum entspringt und am unteren Rande des Körpers des Epistropheus endet, unmittelbar am Beginne des Ligamentum longitudinale posterius. Hyrtl nennt dieses Band Membrana ligamentosa: andere Autoren bezeichnen dasselbe als Apparatus ligamentosus.

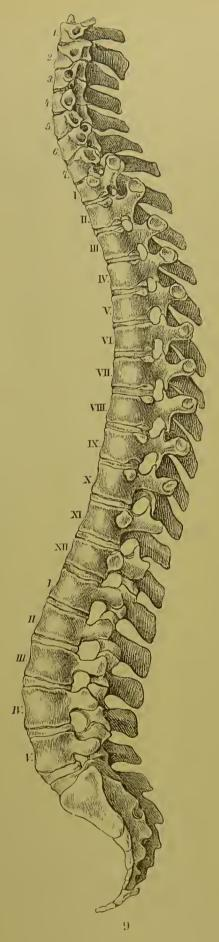


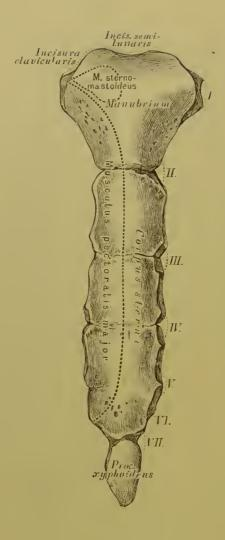
#### 83. Bänder zwischen Kreuz- und Steissbein.

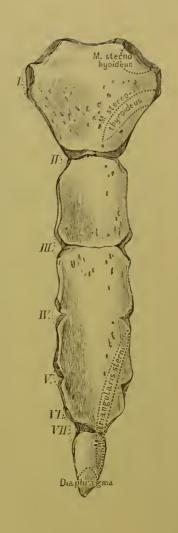
Zwischen der Spitze des Kreuzbeins und dem ersten Steissbeinstück liegt eine Faserknorpelscheibe; ebenso zwischen den einzelnen Stücken des Steissbeins. Die Verstärkungsbänder sind vordere, hintere und seitliche, Ligamenta sacro-coccygea. Das Lig. sacro-coccygeum posterius liegt zwischen Kreuzbein- und Steissbeinhörnern und verschliesst den Hiatus sacro-coccygeus.

### 84. Die Wirbelsäule, Columna vertebralis, von der Seite.

Die Wirbelsäule weist folgende constante Krümmungen auf: am Halstheile eine müssige Convexität nach vorne; am Brusttheile eine starke Convexität nach hinten; am Lendentheile eine starke Convexität nach vorne, und am Kreuz- und Steissbeine eine Convexität nach hinten. Die stärkste, nach vorne convexe Krümmung liegt an jener Stelle, wo der Lendentheil der Wirbelsäule an das Kreuzbein stösst, wo der letzte Lendenwirbel den Vorberg, das *Promontorium*, bildet.





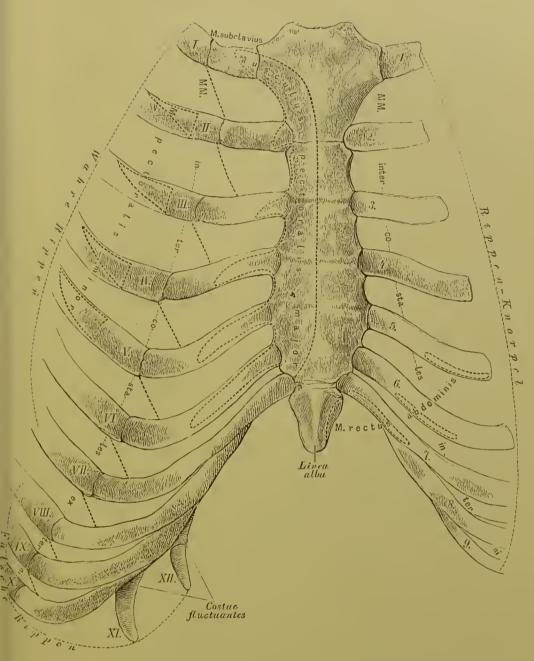


85. Das Brustbein, 86. Das Brustbein, Sternum, von vorne.

Sternum, von hinten.

Das Brustbein wird eingetheilt: in den Griff, Manubrium, das Mittelstück, Corpus, und den Schwertfortsatz, Processus xyphoideus s. ensiformis.

Der obere Rand des Griffes bildet die Incisura semilunaris s. jugularis. neben dieser sind die Gelenkflächen für das Sternalende des Schlüsselbeins der untere Rand ist mit dem Mittelstück vereinigt. Das Mittelstück ist dreimal länger als der Griff; der Schwertfortsatz erscheint abgerundet, zugespitzt. gespalten oder durehlöchert.

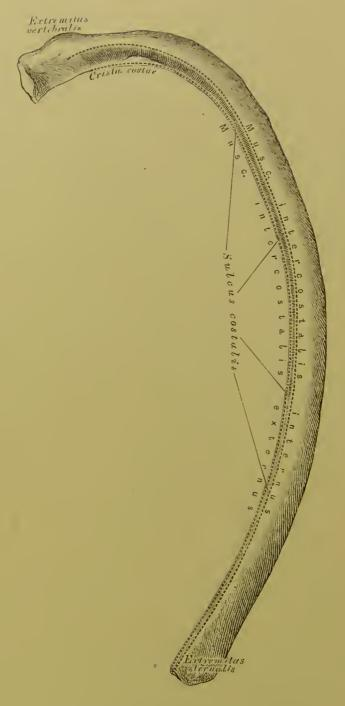


### 87. Das Brustbein in Verbindung mit den Rippenknorpeln.

Das Brustbein ist an seinen Seitenrändern mit sieben Rippenknorpeln in Verbindung. Nur der erste Rippenknorpel geht unmittelbar in das Manubrium über; die übrigen Rippenknorpel sind mit dem Brustbeine gelenkig verbunden; die Gelenkgrübehen werden vom zweiten bis siebenten Rippenknorpel immer seichter und der siebente lagert sich in eine schwache, am Uebergange des Mittelstückes in den Schwertfortsatz befindliche Vertiefung.

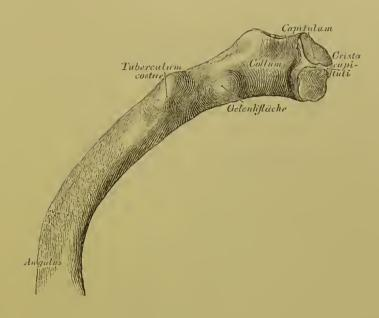
in den Schwertfortsatz befindliche Vertiefung.

Die Rippen, deren Knorpel das Brustbein erreicht, heissen wahre, Costae verae; die Rippen hingegen, deren Knorpel sieh miteinander verbinden, oder welche frei, ohne Verbindung enden, heissen falsche, Costae spuriae. Wahre Rippen sind die oberen sieben Paare; falsche die unteren fünf Paare.



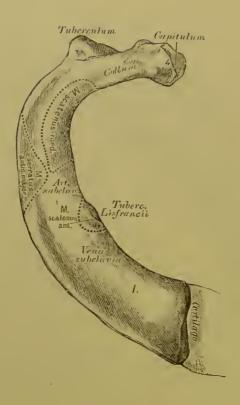
### 88. Die knöcherne Spange einer wahren Rippe.

Jede Rippe bestcht aus der knöchernen Spange und dem Rippenknorpel; die Spange hat eine äussere convexe und eine innere concave Fläche, einen oberen abgerundeten und einen unteren mit einer Furche, Sulcus costalis, versehenen Rand, die sich besonders gegen das Vertebralende der Rippe zu vertieft; wo die äussere Lefze der Furche am höchsten ist, heisst sie Crista costae.



89. Das Wirbelende der Rippe, Extremitas vertebralis.

Das Vertebralende besitzt das überknorpelte Köpfchen, welches an Rippen, die mit zwei Wirbelgelenkflächen verbunden sind, zwei durch die Crista capituli getrennte Facetten zeigt. Der hinter dem Kopfe befindliche, verschmächtigte Theil der zehn oberen Rippen heisst der Hals.



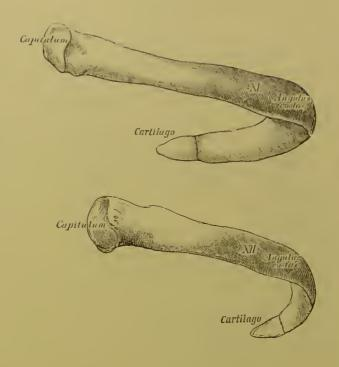
90. Die erste Rippe, von oben.

Die erste Rippe zeigt eine obere und untere Fläche, einen äusseren und inneren Rand. Dieselbe besitzt ein rundliches Köpfehen mit einer einzigen Gelenkfläche, wenn der erste Brustwirbel das entsprechende Gelenkgrübehen allein bildet; wenn das Gelenkgrübehen vom siebenten Hals- und ersten Brustwirbel gebildet wird, ist auch die Gelenkfläche des Köpfehens eine doppelte. Am inneren Rande befindet sich ein Höcker, das Tuberculum Lisfrancii. welches nicht immer stark entwickelt ist.



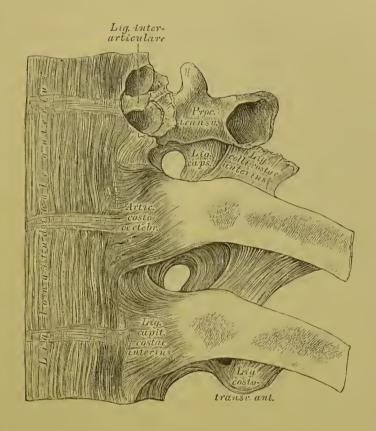
91. Die zweite Rippe, von oben.

An jener Stelle, wo der Hals in das Mittelstück übergeht, befindet sich an jeder Rippe der überknorpelte Rippenhöeker, Tuberculum costae, zur Verbindung mit der Gelenkfläche des entsprechenden Wirbelquerfortsatzes. An der Aussenseite des hinteren Rippenabsehnittes verläuft eine rauhe Linie, Angulus costae (Fig. 89); diese ist nur an der dritten bis zehnten Rippe gut entwickelt, während sie an der ersten und zweiten Rippe mit dem Tuberculum zusammenfällt. Die zweite Rippe besitzt an ihrer Aussenfläche eine Rauhigkeit für den Ansatz M. serratus anticus major.



### 92. Die eilfte und zwölfte Rippe, Costae fluctuantes.

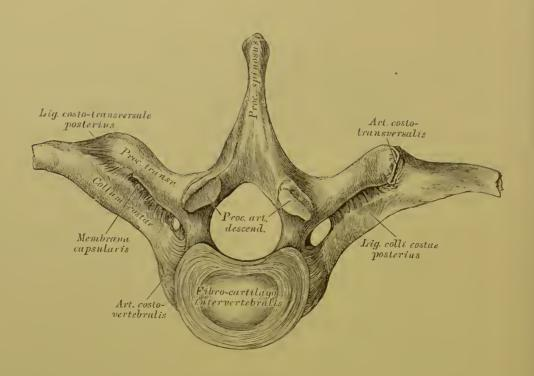
Die eilfte und zwölfte Rippe enden frei und sind unter allen Rippen am meisten beweglich; sie besitzen ein rundliches Köpfehen mit einer einfachen Gelenkfläche. Das Tuberculum und der Hals fehlt beiden, die rauhe, den Angulus costae bildende Linie ist sehr sehwach ausgeprägt. Ihre Knorpel sind sehr kurz, rundlich und zugespitzt. Die zwölfte Rippe ist die kürzeste von allen.



# 93. Gelenke zwischen den hinteren Rippenenden und den Wirbeln, Articulationes costo-spinales,

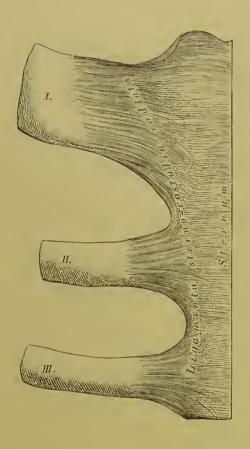
von vorne.

Zwischen den Rippenköpfen und den Gelenkgrübehen der Wirbelkörper befinden sich Gelenke, Articulationes costo-vertebrales, umsehlossen von einer Kapsel und bedeckt durch das vordere Hilfsband, Ligamentum capituli costae anterius. Wenn das Gelenkköpfehen der Rippe (zweite bis zehnte Rippe) zwei Gelenkflächen besitzt, dann wird die Gelenkhöhle durch das Ligamentum interarticulare (Fortsetzung der Zwischenwirbelseheibe zur Crista capituli) in zwei Theile getheilt. Die Gelenkhöhle der eilften und zwölften Rippe ist immer einfach, die der ersten Rippe gewöhnlich einfach; bisweilen, wenn das Gelenkgrübehen vom siebenten Hals- und ersten Brustwirbel gebildet wird, doppelt, durch ein Lig. interarticulare getheilt.



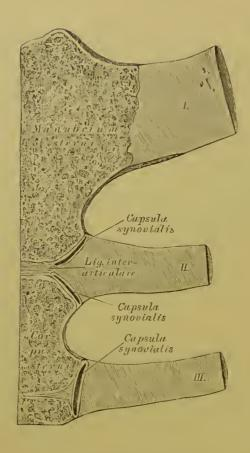
# 94. Gelenke zwischen den hinteren Rippenenden und den Wirbeln, Articulationes costo-spinales, von unten.

Zwischen den Rippenhöckern und den Wirbelquerfortsätzen befinden sieh die Articulationes costo-transversales; sie fehlen an der eilften und zwölften Rippe. Diese Gelenke werden von dünnen Kapseln umschlossen und verstärkt durch folgende Hilfsbänder: durch das von der Umgebung des Tuberculum costae zur Spitze des Processus transversus des Wirbels ziehende starke Ligamentum costo-transversale posterius; durch das zwischen Querfortsatz und oberem Rande des Halses der Rippe ausgespannte Ligamentum colli costae anterius (Fig. 93) und das zwischen Querfortsatz und hinterer Fläche des Rippenhalses befindliche Ligamentum colli costae posterius.



95. Gelenke zwischen den vorderen Rippenenden und dem Brustbeine, Articulationes costo-sternales, von vorne.

Die Gelenke zwischen den vorderen Rippenenden und dem Brustbeine kommen an der zweiten bis siebenten Rippe vor; der Knorpel der ersten Rippe geht ohne Gelenk in das Manubrium sterni über (Gelenk hier sehr selten). Jedes dieser Gelenke besteht aus einer Capsula synovialis, welche an der Vorderseite durch fibröse Bänder bedeekt wird, Ligamenta sterno-costalia radiata.



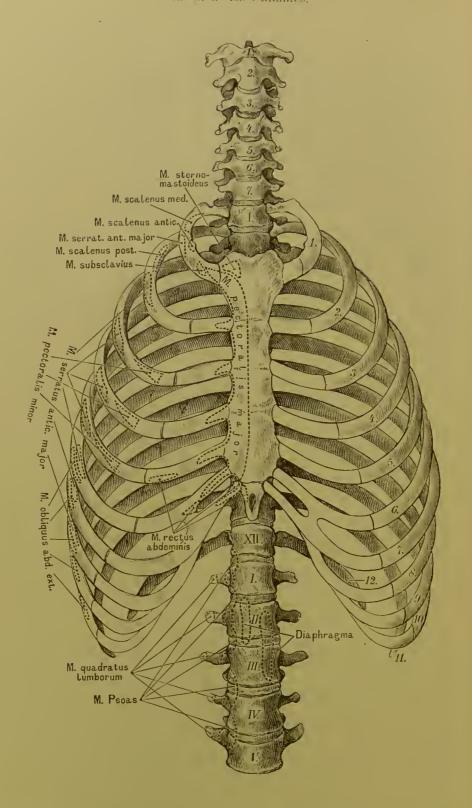
96. Gelenke zwischen den vorderen Rippenenden und dem Brustbeine, Articulationes costo-sternales, im Durchschnitte.

Die Figur zeigt die directe Verbindung zwischen dem Knochen des Manubrium sterni und dem Knorpel der ersten Rippe; die Gelenkhöhle zwischen dem Knorpel der zweiten Rippe und dem Sternum ist gewöhnlich eine doppelte, gebildet durch eine Fortsetzung des zwischen Manubrium und Corpus sterni befindlichen Knorpels. Die Höhlen der übrigen Costo-Sternalgelenke sind einfach; sie können am sechsten und siebenten Rippenknorpel ganz fehlen.



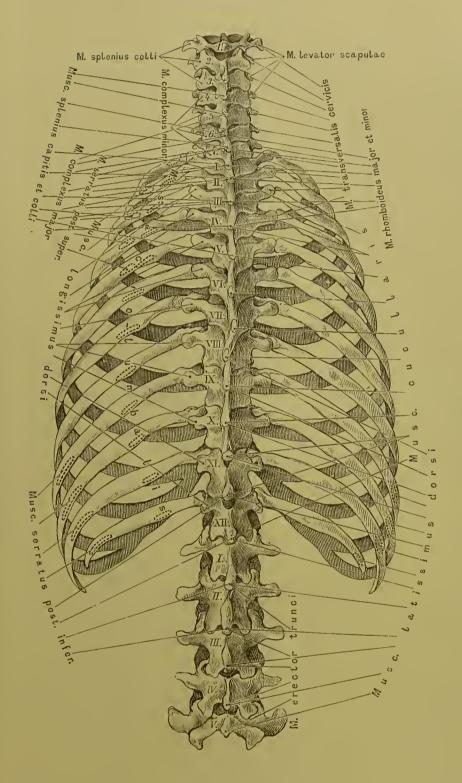
97. Gelenke zwischen den vorderen Rippenenden und dem Brustbeine, Articulationes costo-sternales, von vorne.

Zwischen den Knorpeln der sechsten und siebenten Rippe und dem Schwertfortsatze des Brustbeins ist das Ligamentum costo-xyphoideum ausgespannt. Gelenkhöhlen mit Synovialkapseln finden sich bisweilen auch an jenen Stellen vor, wo ein Rippenknorpel an den anderen anstösst.

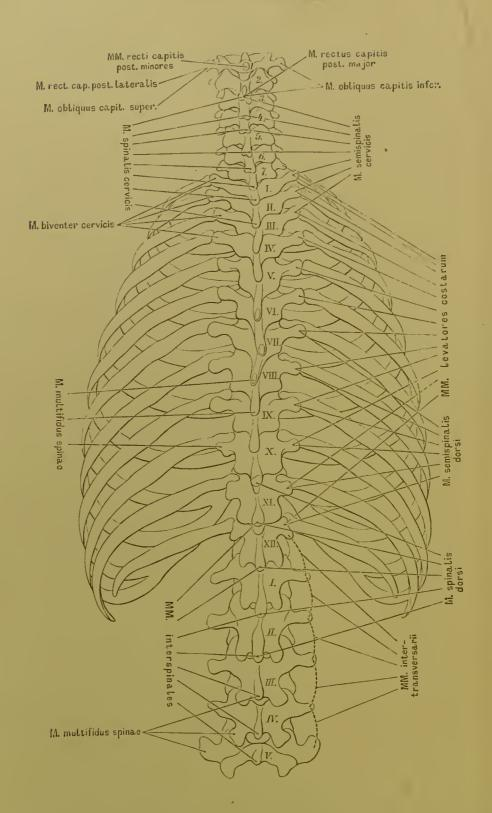


98. Der Brustkorb, *Thorax*, und die Wirbelsäule.

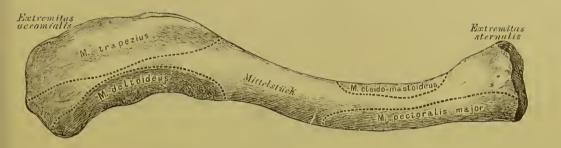
von vorne, mit den Ansätzen von Hals-, Brust-, Bauch- und
Rückenmuskeln.



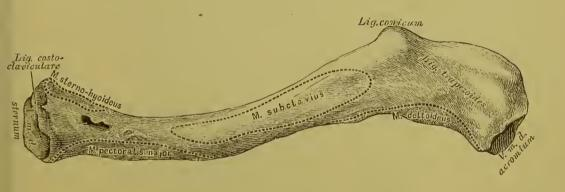
99. Der Brustkorb, *Thorax*, und die Wirbelsäule, von hinten, mit den Ansätzen der breiten und einiger langen Rückenmuskeln.



100. Der Brustkorb. Thorax, und die Wirbelsäule. von hinten, mit den Ausätzen der tiefen Hals- und Rückenmuskeln.

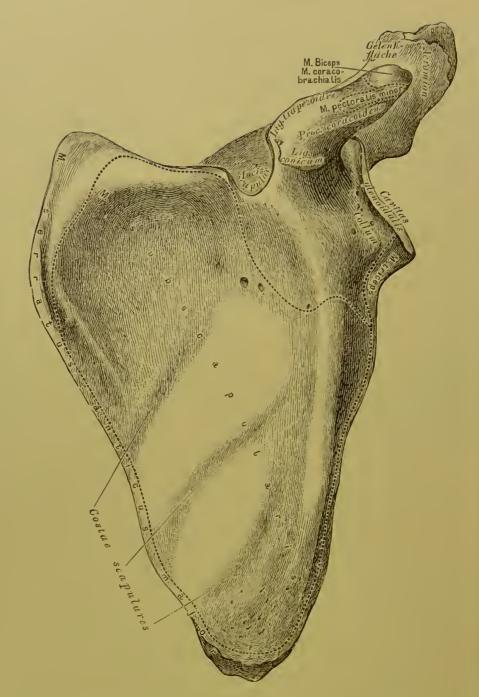


101. Das rechte Schlüsselbein, Clavicula, von vorne.



102. Das rechte Schlüsselbein, Clavicula. von unten.

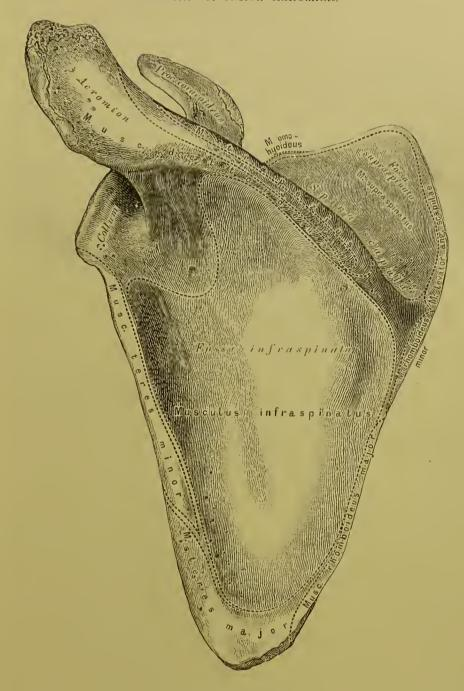
Am Schlüsselbein wird unterschieden: das innere Endstück, Extremitas sternalis, dessen sattelförmige Gelenkfläche mit der Incisura clavicularis des Brustbeins verbunden ist; das äussere Endstück, Extremitas acromialis, verbunden mit dem Acromium; und das Mittelstück. Das Schlüsselbein ist S-förmig gekrümmt, so dass die inneren zwei Dritttheile nach vorne convex, das äussere Drittel aber nach vorne concay erscheinen.



103. Das linke Schulterblatt, Scapula, von vorne.

Das Schulterblatt weist auf: eine vordere, eine hintere Fläche, einen inneren, änsseren und oberen Rand, einen unteren, oberen änsseren und oberen inneren Winkel, endlich zwei Fortsätze. Der Knochen bedeckt die Hinterfläche der 2. bis 7.—8. Rippe.

Die vordere Fläche ist etwas concav, mit 3-5 Leisten, Costae scapulares (zu Muskelausätzen), versehen. Der kürzeste obere Rand besitzt au seinem äusseren Ende die tiefe Incisura scapulae. Am oberen äusseren, verdickten Winkelist die Gelenkgrube für den Oberarmkopf, Cavitas glenoidalis; die Furche zwischen dieser und dem übrigen Knochen heisst Hals, Collum.

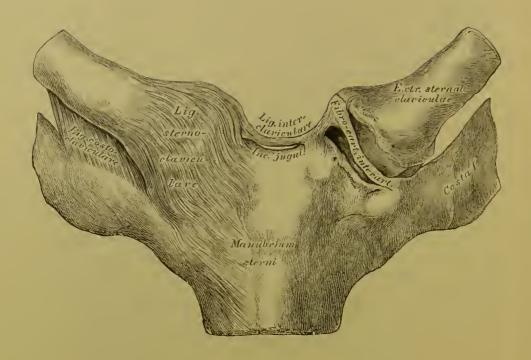


#### 104. Das linke Schulterblatt, Scapula, von hinten.

Die hintere Fläche des Schulterblattes wird durch die Schultergräte, Spina scapulae, in die Ober- und Untergrütengrube, Fossa supra-et infraspinata, abgetheilt. Die Schultergräte verlängert sich in die breite, über die Gelenkfläche vorragende Grätenecke, Acromium, die durch eine Gelenkfläche mit dem Schlüsselbeine verbunden ist. Der zweite Fortsatz heisst Rabenschnabelfortsatz, Processus coracoideus, und entspringt zwischen Incisura scapulae und Cavitas glenoidalis, über welch' letztere er sich nach vorne und aussen wegbiegt.

Das Schulterblatt ist durch Gelenke mit dem Schlüsselbeine und dem

Oberarmbeine in Verbindung.



105. Das Brustbein-Schlüsselbeingelenk, Articulatio sterno-clavicularis.

Die fibröse Kapsel dieses Gelenkes ist besonders an der vorderen Fläche stark; die Verstärkung wird als Ligamentum sterno-claviculare aufgefasst; die Gelenkhöhle ist durch einen Zwischenknorpel abgetheilt, dessen Peripherie mit der fibrösen Kapsel innig verbunden erscheint. Als Verstärkungsbänder dienen: das zwischen beiden Schlüsselbeinen ausgespannte Ligamentum interclaviculare und das vom ersten Rippenknorpel zur unteren rauhen Fläche der Extremitas sternalis des Schlüsselbeins ziehende Ligamentum costo-claviculare.

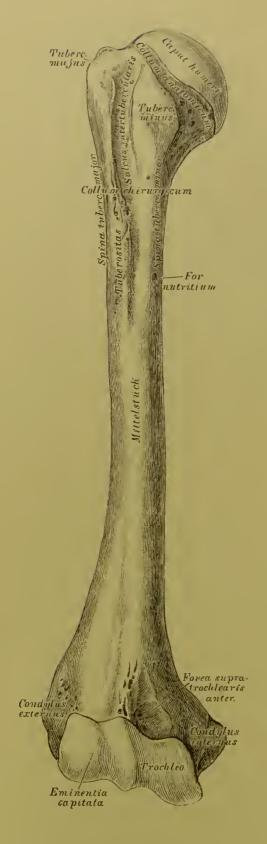


### 106. Das rechte Schlüsselbein-Schulterblattgelenk, Articulatio acromio-clavicularis.

Die fibröse Kapsel dieses Gelenkes wird durch das *Ligamentum aeromio*claviculare verstärkt; in der Gelenkhöhle findet sieh ein Zwisehenknorpel in versehiedenem Grade entwickelt vor.

Das Schlüsselbein wird an den *Proc. coracoidcus* durch das kräftige *Ligamentum coraco-claviculare* befestigt, dessen vorderer dreieckiger Theil *Ligamentum conicum*, dessen hinterer viereckiger Theil *Ligamentum trapezoides* heisst.

Zwischen dem Acromium und dem Processus coracoideus ist als fibröses Gewölbe das starke Ligamentum coraco-acromiale ausgespannt. Die Incisura semilmaris am oberen Rande des Schulterblattes wird durch ein Ligamentum transversum in ein Loch (zum Durchtritte des Nerv. suprascapularis) umgewandelt.



#### 107. Das rechte Oberarmbein, *Humerus*, von vorne.

Das Oberarmbein bildet an seinem oberen Ende den überknorpelten Kopf, Caput humeri: die Furche unter demselben heisst das Collum humeri anatomicum, während das Collum chirurgicum an der Insertionsstelle des M. teres major liegt (Fig. 109). Unter der Furche springt nach vorne der kleinere Höcker vor, Tuberculum minus, nach aussen der grössere Höcker, Tuberculum majus; zwischen beiden verläuft der Sulcus intertubercularis (für die Sehne des langen Kopfes des M. biceps). Von den Höckern zieht die Spina tuberculi majoris und die Spina tuberculi minoris herab.

An der äusseren Fläche des dreiseitigen Mittelstückes liegt eine Tuberosität (Ansatzstelle des M. deltoides); am oberen Drittel der inneren Kante das Foramen nutritium.

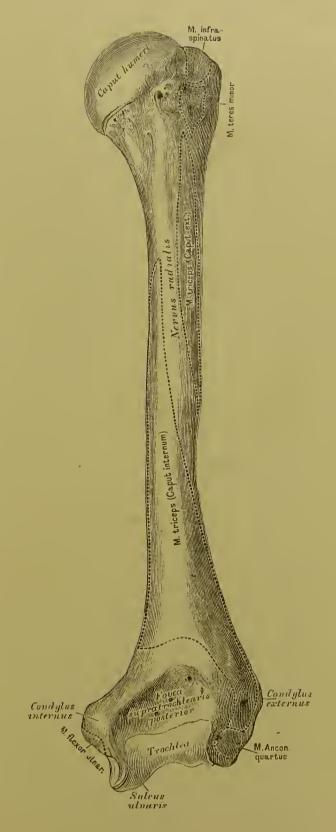
Am unteren Ende des Oberarmbeines erscheinen: die Rolle. Trochlea, und das Köpfehen, Eminentia capitata; erstere zur Gelenkverbindung mit der Ulna. letzteres zur Gelenkverbindung mit dem Radius.

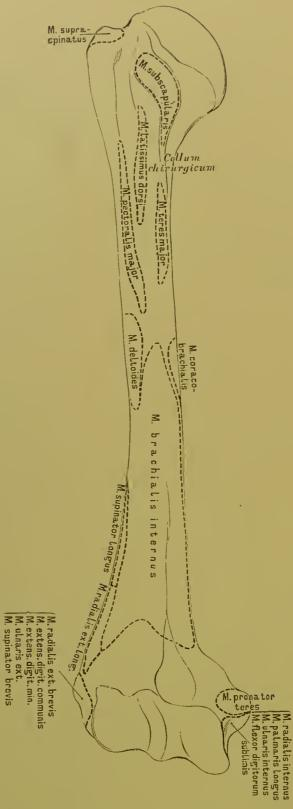
# 108. Das rechte Oberarmbein, Humerus, von hinten.

Ueber der Rolle liegt an der Vorderseite die seiehte Fovea supratrochlearis anterior (für den Proc. coronoideus ulnae) (Fig. 107), an der Hinterseite die tiefe Fovea supratrochlearis posterior (für das Olecranon ulnae).

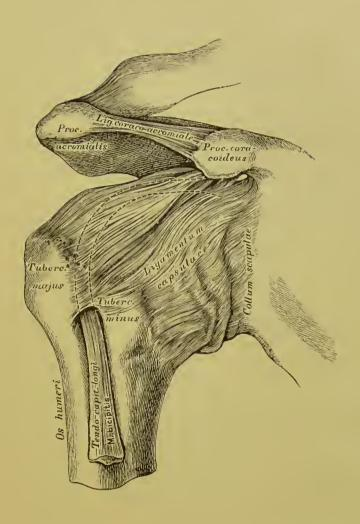
Oberhalb der Rolle und des Köpfehens ragt nach innen der grössere Condylus internus, nach aussen der kleinere Condylus externus vor; ersterer dient zum Ansatze der Beugemuskeln, letzterer zum Ansatze der Streckmuskeln der Hand. Zwischen der Rolle und dem Condylus internus verläuft an der hinteren Seite eine Furche, Sulcus ulnaris (für den Nerv. ulnaris).

Das Oberarmbein ist gelenkig mit drei Knochen verbunden: mit dem Schulterblatte, der Ellbogenröhre und der Armspindel.



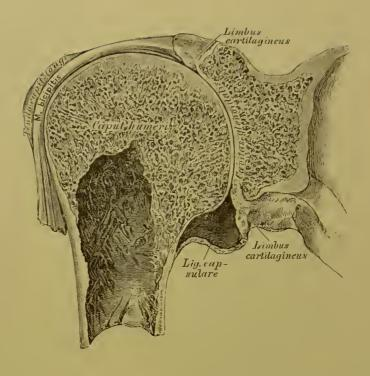


109. Das rechte Oberarmbein, Humerus.
von vorne, mit den Muskelansätzen.



#### 110. Das rechte Schultergelenk, Articulatio humeri.

Das Sehultergelenk ist von einer schlaffen fibrösen Kapsel eingehült, deren verstärkte Faserzüge auch als Ligamentum coraco-brachiale, Lig. glenoideo-brachiale internum und Lig. glenoideo-brachiale inferius aufgefasst werden (Schlemm). Das Gelenk ist allseitig frei, nur am oberen Umfange wird es durch das brückenförmig zwischen Acromium und Proc. coracoideus ausgespannte Lig. coraco-acromiale geschützt. Die fibröse Kapsel, welche vom Umfange der Cavitas glenoidalis des Schulterblattes bis zum anatomischen Halse des Oberarmbeines reicht, überbrückt den Suleus intertubercularis zwischen beiden Oberarmbeinhöckern, wodurch die Furche in einen Kanal umgewandelt wird.



111. Das Schultergelenk, Articulatio humeri, im Durchschnitte.

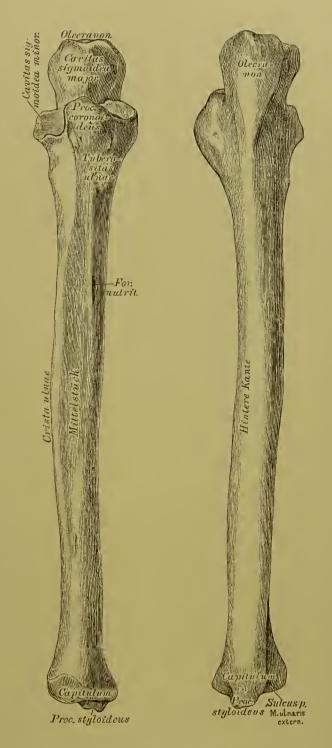
Der Rand der Cavitas glenoidalis des Sehulterblattes wird ringsum durch den Limbus cartilagineus vertieft. Die fibröse und die sie bekleidende Synovialkapsel baueht sieh, wie bei allen Gelenken, der Stellung der das Gelenk eonstituirenden Knochen entsprechend, an variablen Stellen aus. In dem zum Kanale umgewandelten Suleus intertuberenlaris läuft die Sehne des langen Kopfes des M. biceps: die Sehne wird bis zu ihrem Ursprunge an der höchsten Stelle des Limbus cartilagineus von einer Duplicatur der Synovialkapsel eingehüllt; diese Hülle erstreekt sieh nach unten bis zur Insertionsstelle des M. pectoralis major (Fig. 109).

Das obere Ende der Ulna zeigt einen tiefen Ausschnitt, die Cavitas sigmoidea major; die obere Eeke desselben bildet der Hakenfortsatz, Oleeranon (auch Processus anconaeus), die untere Ecke der Kronenfortsatz, Processus coronoideus. Seitlich von letzterem befindet sich die Cavitas sigmoidea minor zur Verbindung mit dem Köpfehen des Radius; unter demselben die Tuberositas ulnae (zur Anheftung des M. brachialis internus).

Das dreiseitige Mittelstück schärft sich an der dem Radius zugewendeten Kante zur Crista ulnae zu.

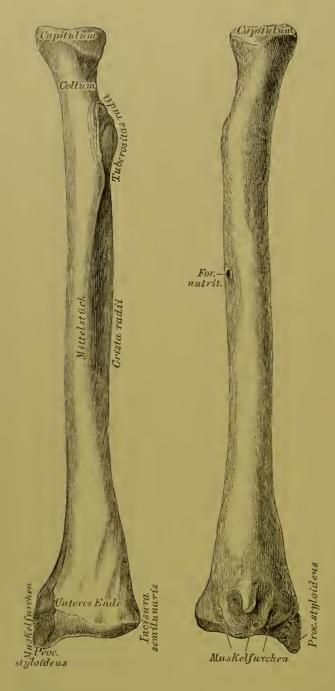
Das untere Ende heisst Köpfchen, Capitulum; dasselbe besitzt eine Gelenkfläche, die sich auch auf den dem Radius zugekehrten Rand erhebt. An seinem hinteren Umfange springt der Processus styloideus ulnae vor.

Die Ulna articulirt mit dem Oberarmbeine und mit dem Radius.



Ulna, von vorne.

112. Die rechte 113. Die rechte Ellbogenröhre, Ellbogenröhre, Ulna, von hinten.



114. Die rechte Armspindel, Armspindel, Radius, von vorne.

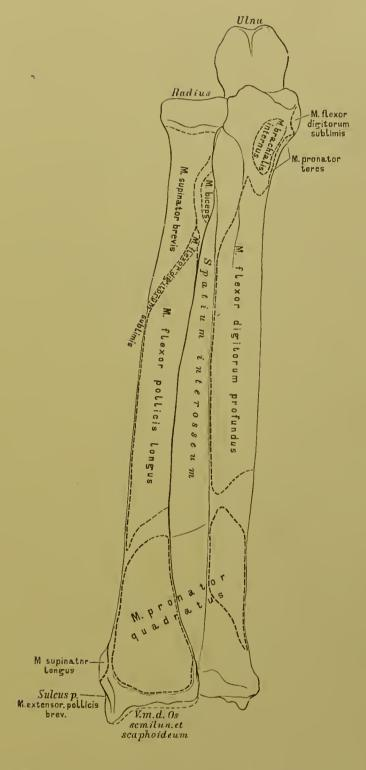
115. Die rechte Radius, von hinten.

Das obere Ende des Radius bildet das Köpfchen, Capitulum radii, mit einer mässig vertieften Gelenkfläche; der verschmächtigte Theil unter dem Köpfchen ist der Hals. Unter letzterem liegt die Tuberositas radii (für die Insertion des M. biceps).

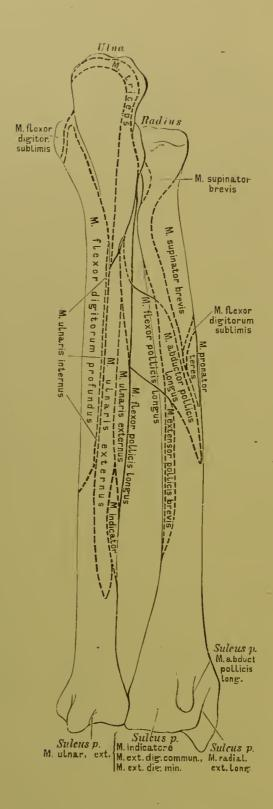
Das dreiseitige Mittelstück wendet seine schärfste Kante, die Crista radii, der entsprechenden Kante der Ulna zu.

Das verbreiterte un tere Ende weist eine nach unten gekehrte Gelenkfläche auf, eine zweite halbmondförmige kleine Gelenkfläche. die Incisura semilunaris radii, dort, wo es mit dem Capitulum ulnae zusammenstösst. An der diesem Ausschnitte entgegengesetzten (äusseren) Seite steht der Processus styloideus radii.

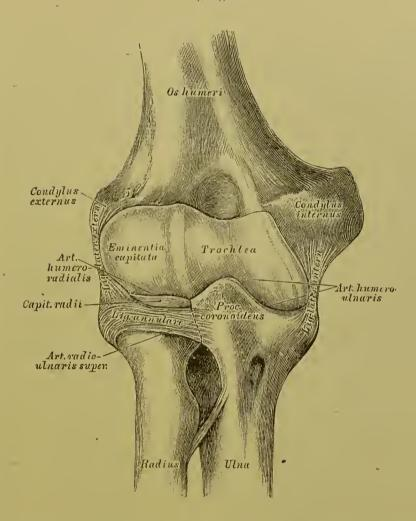
Der Radius ist mit vier Knochen verbunden: Oberarmbeine, der Ulna, dem Kalın- und Mondbeine, mit allen gelenkig.



116. Die Knochen des rechten Vorderarmes, Radius und Ulna, von vorne, mit den Muskelansätzen und Muskelrinnen.



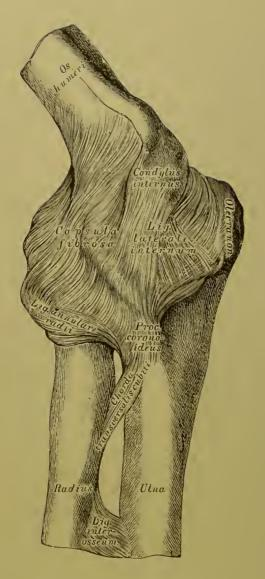
117. Die Knochen des rechten Vorderarmes, Radius und Ulna, von hinten, mit den Muskelansätzen und Muskelrinnen.

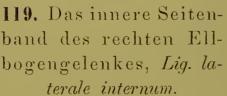


118. Das rechte Ellbogengelenk, Articulatio cubiti, von vorne.

Das Ellbogengelenk wird durch drei Knochen eonstituirt: das Oberarmbein, die Ulna und den Radius; dasselbe besteht auch aus drei Gelenken, und diese sind:

- 1. Die Articulatio humero-ulnaris, gebildet einerseits von der Rolle des Oberarmbeines, andererseits von der Cavitas sigmoidea major der Ulna (Beugung Streekung);
- 2. die Articulatio humero-radialis, gebildet einerseits von der Eminentia capitata des Oberarmbeines, andererseits von der napfförmigen Gelenkfläche des Capitulum radii (Beugung Streekung);
- 3. die Articulatio radio-ulnaris superior, gebildet einerseits vom überknorpelten Capitulum radii, andererseits von der Cavitas sigmoidea minor der Ulna (Pronation — Supination).

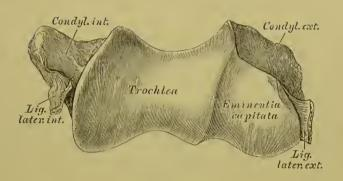






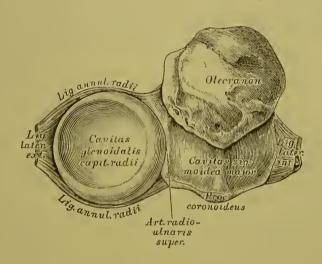
120. Das äussere Seitenband des rechten Ellbogengelenkes, Lig. laterale externum.

Die drei das Ellbogengelenk zusammensetzenden Gelenke besitzen eine gemeinsame fibröse Kapsel, die oberhalb der Rolle und der Eminentia capitata des Oberarmbeines inserirt und bis an den Rand der Cavitas sigmoidea major der Ulna herabreicht; an den Radius ist dieselbe nicht direct befestigt, sondern übergeht in das Ringband, Ligamentum annulare, welches das Radiusköpfehen umgreift und am vorderen und hinteren Ende der Cavitas sigmoidea minor der Ulna haftet. Auch von den zwei Seitenbändern ist nur das innere direct an die Ulna befestigt; während das äussere im Ligamentum annulare radii aufgeht.



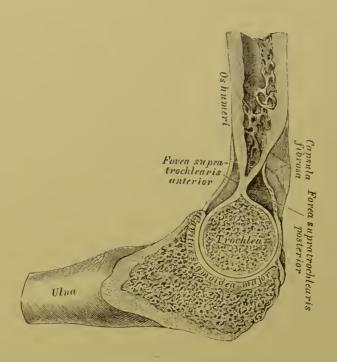
### 121. Die das Ellbogengelenk constituirenden Gelenkflächen des Oberarmbeines, in der Vogelsicht.

Die Rolle, *Trochlea*, dient zur Gelenkverbindung mit dem grossen Halbmondausschnitte der Ulna; das Köpfehen, *Eminentia capitata*, zur Gelenkverbindung mit dem Gelenkgrübehen des Radius.



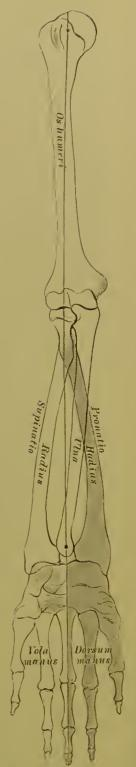
#### 122. Die das Ellbogengelenk constituirenden Gelenkflächen des Radius und der Ulna, in der Vogelsicht.

Der grosse Halbmondausschnitt, Cavitas sigmoidea major ulnae, umfasst die Rolle des Oberarmbeines; der diesen Ausschnitt in zwei Hälften theilende First entspricht der Furehe der Rolle. Der Gelenknapf des Radinsköpfehens, Cavitas glenoidalis capituli radii, gleitet auf der Eminentia capitata des Oberarmbeines, sowohl bei Beugung und Streckung, wie bei Pronation und Supination.

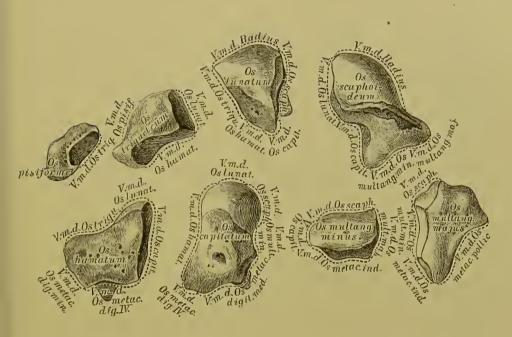


123. Die rechte Articulatio humeroulnaris, im Durchschnitte.

Am Durchselmitte sind die Formen der Trochlea und der Cavitas sigmoidea major ulnae ersichtlich; der Durchselmitt ist in der Mittellage zwischen
Beugung und Streckung gezeichnet. Bei Hyperflexion stösst der Processus coronoideus der Uhna in
der Fovea supratrochlearis anterior, bei Hyperextension das Olecranon in der Fovea supratrochlearis
posterior an die, beide Foveae von einander trennende knöcherne Scheidewand an.



124. Die Pronations- und Supinationsbewegung des Radius und der Hand.



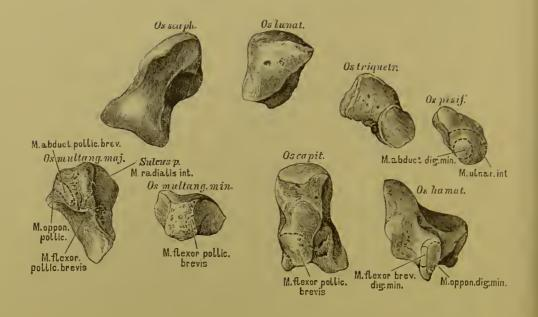
125—132. Die Knochen der rechten Handwurzel,
Ossa carpi, von der Dorsalseite.

Die Handwurzel, Carpus, wird durch acht von straffen Bandmassen zusammengehaltenen kleinen Knochen gebildet; diese sind von der Radialgegen die Ulnarseite hin gezählt:

Obere Reihe: 1. Das Kahnbein, Os scaphoideum; 2. das Mondbein, Os lunatum; 3. das dreieekige oder Pyramidenbein, Os triquetrum s. pyramidale; 4. das Erbsenbein, Os pisiforme, welch' letzteres mit den Vorderarmknochen in keiner Gelenkverbindung steht.

Untere Reihe: 5. Das grosse vieleckige oder Trapezbein, Os multangulum majus s. Os trapezium; 6. das kleine vieleckige oder Trapezoïdbein, Os multangulum minus s. Os trapezoïdes; 7. das Kopfbein. Os capitatum: 8. das Hakenbein, Os hamatum.

Die Verbindungen der einzelnen Knochen sind ans der Zeichnung ersichtlich.



133—140. Die Knochen der rechten Handwurzel,

Ossa carpi, von der Volarseite.

An den Handwurzelknochen werden sechs Gegenden unterschieden: eine obere, eine untere Gegend; dann eine Dorsal-, eine Volargegend; endlich eine Radial- und eine Ulnargegend. Die Dorsalgegend sämmtlicher Knochen stellt einen eonvexen, die Volargegend derselben einen eoneaven Bogen dar. In der Hohlhand bilden die ersten und letzten Knochen der oberen und der unteren Reihe Vorsprünge, Eminentiae carpi radiales und ulnares. Höcker des Os seaphoideum und des Os trapezium bilden die ersteren; das Os pisiforme und der Hakenfortsatz des Os hamatum die letzteren.

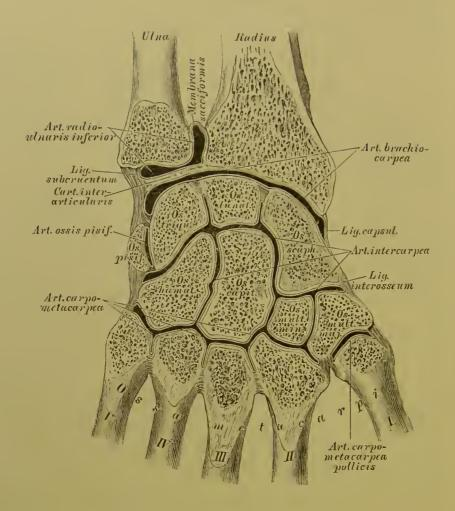
141. Mittelhandknochen, Os metacarpi, des rechten Mittelfingers, von der Dorsalseite.

Das erste Glied, Phalanx prima, des rechten Mittelfingers, von der Dorsalseite.

Das zweite Glied, *Phalanx secunda*, des rechten Mittelfingers, von der Dorsalseite.

Das dritte Glied, Phalanx tertia, des rechten Mittelfingers, von der Dorsalseite.

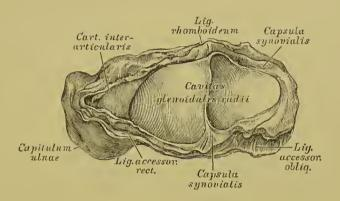




#### 142. Die rechten Handwurzel- und Mittelhandgelenke, im Durchschnitte.

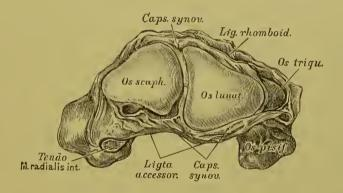
An der Handwurzel kommen folgende Gelenke in Betracht:

- 1. die Articulatio radio-ulnaris inferior zwischen Capitulum ulnac, Incisura semilunaris radii und oberer Fläche der Cartilago interarticularis (Axendrehung);
- 2. die Articulatio brachio-carpea seu Articulatio carpi zwischen der unteren Gelenkfläche des Radius, der unteren Fläche der Cartilago interarticularis einerseits und der gewölbten oberen Fläche der drei ersten Handwurzelknochen der oberen Reihe andererseits (Beugung Streekung, Abduetion Adduction der Hand);
- 3. die Articulatio intercarpea zwischen der oberen und unteren Handwurzelreihe (geringe Beuge- und Streekbewegung):
  - 4. die Articulatio ossis pisiformis, isolirt;
- 5. die Articulatio carpo-metacarpea der vier letzten Mittelhandknochen mit der unteren Handwurzelreihe (straffe Gelenke, minimale Bewegung in jeder Riehtung);
- 6. die Articulatio carpo-metacarpea pollicis, isolirt (Sattelgelenk, Beugung Streekung, Ab- und Adduction).



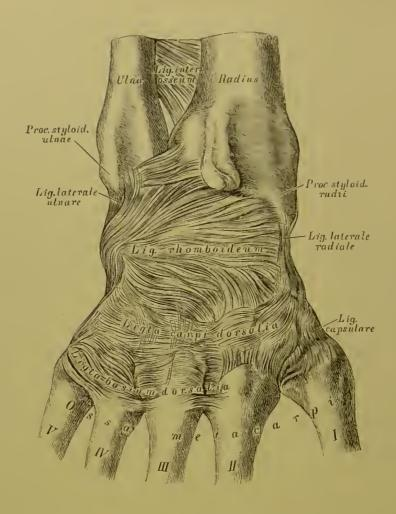
#### 143. Die die Articulatio carpi constituirenden Gelenkflächen des Radius und des Zwischenknorpels, in der Vogelsicht.

Die untere Gelenkfläche des Radius ist durch einen First in zwei Hälften getheilt, zur Gelenkverbindung mit dem Os scaphoideum und Os lunatum; in der Verlängerung dieser Fläche liegt die untere Fläche der Cartilago interarticularis, welche zwischen das Köpfehen der Ulna und die obere Fläche des Os triquetrum eingeschoben ist.



### 144. Die die Articulatio carpi constituirenden Gelenkflächen der oberen Handwurzelreihe, in der Vogelsicht.

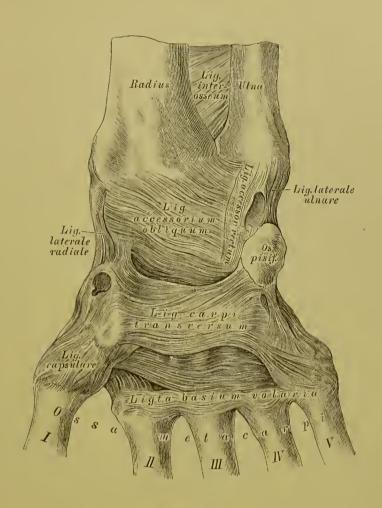
Die oberen Gegenden der drei ersten Knochen der oberen Handwurzelreihe bilden einen überknorpelten convexen Kopf, zur Gelenkverbindung mit den unteren Enden der Vorderarmknochen. Die Verbindung ist zwischen Os scaphoideum, Os lunatum und Radius eine directe; zwischen Os triquetrum und Ulna eine in directe.



## 145. Die Verstärkungsbänder an der Dorsalseite der rechten Handwurzel.

Die laxe fibröse Kapsel der Articulatio brachio-carpea wird an der Dorsalseite durch das breite Ligamentum rhomboideum verstärkt, welches vom Radius zum Os lunatum und Os triquetrum zieht. Zwischen Processus styloideus radii und Os scaphoideum ist das Ligamentum laterale radiale ausgespannt; zwischen Processus styloideus ulnae und Os triquetrum das Ligamentum laterale ulnare seu Funiculus ligamentosus. Die Articulatio intercarpea und die Articulatio carpometacarpea werden durch kurze straffe Bänder verstärkt.

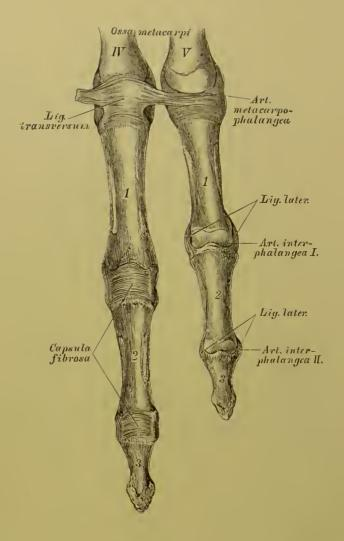
Die Basis ossis metacarpi des Danmens ist an die Gelenkfläche des Os trapezium durch eine laxe fibröse Kapsel festgehalten.



146. Die Verstärkungsbänder an der Volarseite der rechten Handwurzel.

Zur Verstärkung der fibrösen Kapsel der Articulatio brachio-carpea dienen an der Volarseite das zwischen Radius und Cartilago interarticularis einerseits und Os scaph., lunat. und triqu. andererseits befestigte Ligamentum accessorium rectum et obliquum. Zwischen den Eminentiae carpi radiales und ulnares ist das starke Ligamentum carpi transversum ausgespannt, unter welchem die Sehnen der Fingerbeuger verlaufen.

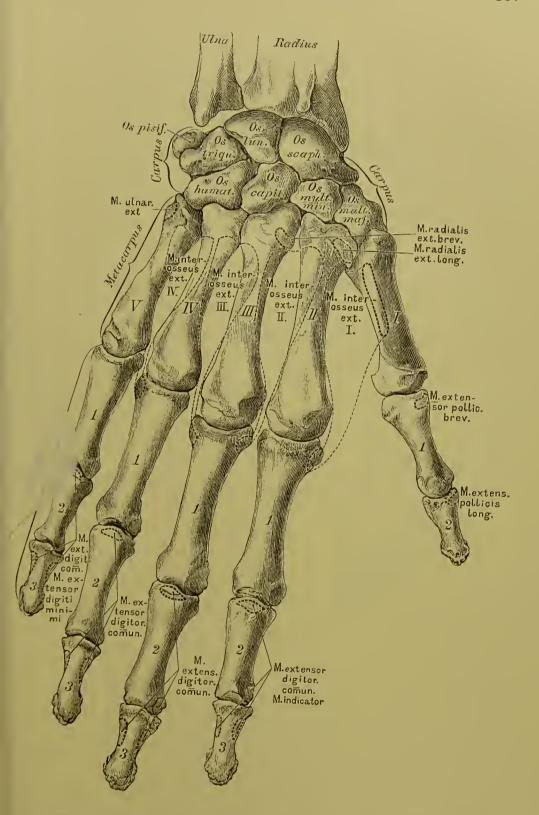
Auch an der Volarseite verstärken kurze straffe Bänder die Articulatio intercarpea und die Articulatio carpo-metacarpea.



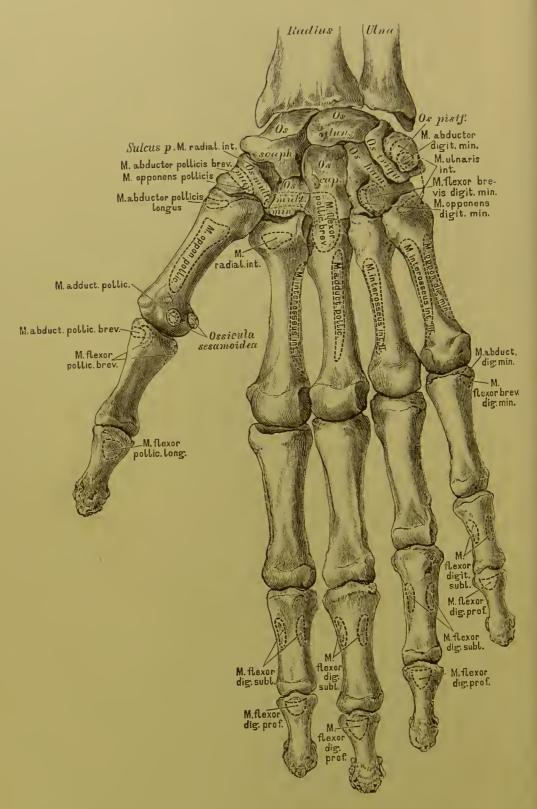
### 147. Die Fingergelenke des vierten und fünften Fingers der rechten Hand, von der Volarseite.

An jedem Finger wird unterschieden:

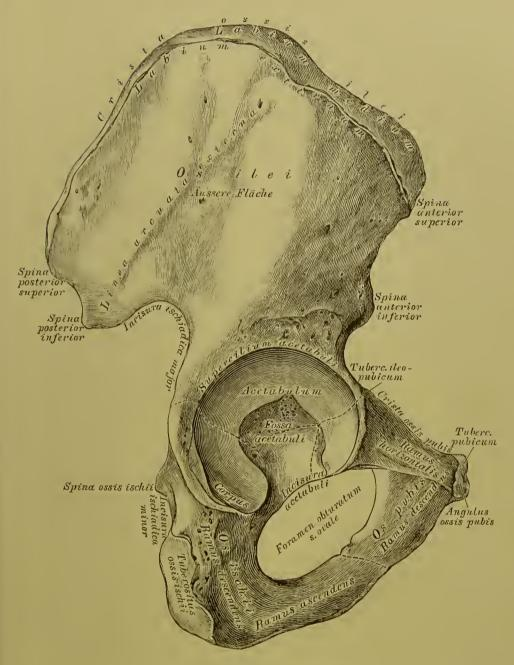
- 1. Die Articulatio metacarpo-phalangea zwischen Köpfehen des Mittelhandknochens und Basis der ersten Phalanx; die fibröse Kapsel ist an der Volarseite knorpelig verdickt Ligamentum transversum: die Seitenbänder schwach. Die Art. metacarpo-phalangea pollicis ist ein Winkelgelenk (Beugung Streckung); die übrigen Finger besitzen daselbst freie Gelenke (Beugung Streckung, Ab- und Adduction).
- 2. Die Articulatio interphalangea prima zwischen Köpfehen der ersten und Basis der zweiten Phalanx (Beugung Streekung).
- 3. Die Articulatio interphalangea secunda zwischen Köpfehen der zweiten und Basis der dritten Phalanx (Beugung Streekung). 2. und 3. haben starke Seitenbänder.



148. Die Knochen der rechten Hand, von der Dorsalseite, mit den Muskelansätzen.



149. Die Knochen der rechten Hand, von der Volarseite.
mit den Muskelansätzen.

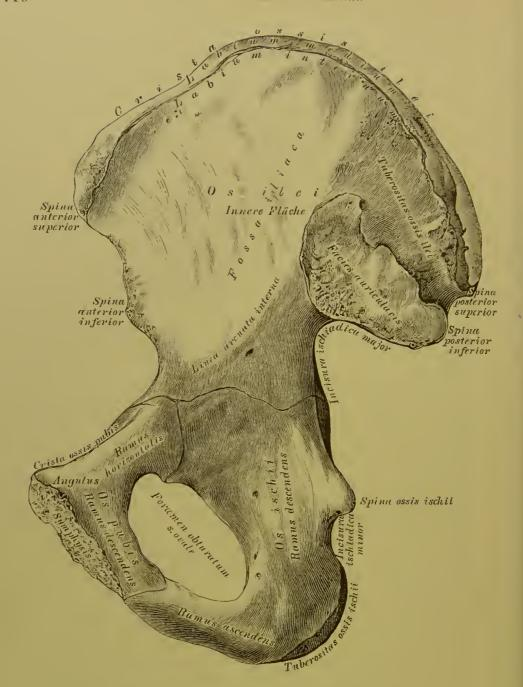


150. Das rechte Hüftbein, Os coxae, von aussen.

Das Hüftbein wird eingetheilt: in das Darmbein, Os ilei, das Sitzbein,

Os ischii, und das Schambein, Os pubis.

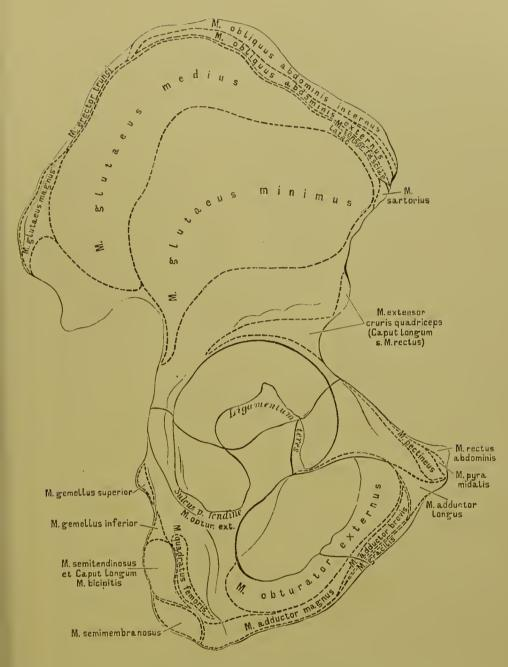
Das Darmbein zeigt an seiner äusseren Fläche die Linea arcuata externa. Der obere Rand, Crista ossis ilei, hat eine äussere, mittlere und innere Lefze (Labium); der vordere und hintere Rand sind ausgeschnitten und jeder hat zwei Spinae; hinter der Spina posterior inferior die tiefe Incisura ischiadica major. Das Sitzbein zeigt einen Körper, einen absteigenden und aufsteigenden Ast; die Spina ossis ischii begrenzt nach unten die Incisura ischiadica major. Der absteigende Ast endet mit dem Sitzknorren, Tuberositas ossis ischii, zwischen diesem und der Spina ischii befindet sich die Incisura ischiadica minor. Vom Sitzknorren an erhebt sich der aufsteigende Ast.



#### 151. Das rechte Hüftbein, Os coxae, von innen.

Die innere Fläche des Darmbeines wird durch die *Linea arcuata* interna in eine untere und obere Hälfte gesondert; letztere bildet am vorderen Theile die *Fossa iliaca*, am hinteren Theile die ohrmuschelförmige Verbindungsstelle für das Kreuzbein; darüber ist die rauhe *Tuberositas ossis ilei*.

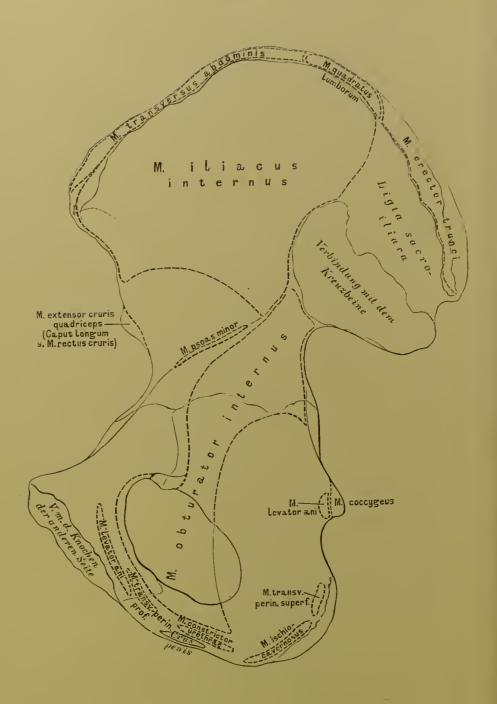
Das Schambein besitzt einen horizontalen und einen absteigenden Ast. Der erstere bildet an seinem änsseren Ende, wo dieses an die Basis des Darmbeines stösst, das rauhe Tuberculum ileo-pubicum (Fig. 150); sein oberer Winkel heisst Schambeinkamm, Crista ossis pubis, dieser Kamm setzt sich in die Linea arcuata interna fort und endet uach innen als Schambeinhöcker, Tuberculum pubicum (Fig. 150). Am Angulus ossis pubis fällt der horizontale Ast mit dem absteigenden zusammen.



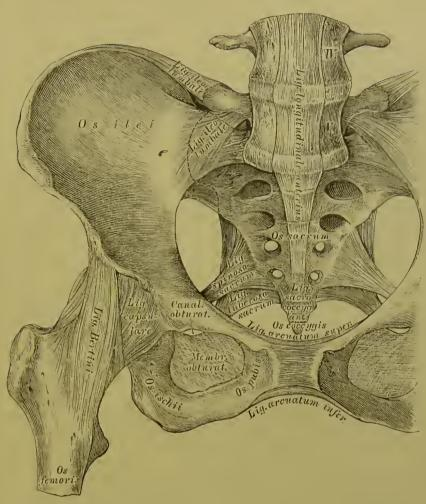
152. Das rechte Hüftbein, Os coxae, von aussen, mit den Muskelansätzen.

An der Stelle, wo das Darm-, Sitz- und Schambein zusammenstossen, höhlt sich die Pfanne, das Acetabulum aus (Fig. 150); ihr Rand, Supercilium acetabuli, wird durch die Incisura acetabuli unterbrochen. Die Pfannenhöhle besitzt an ihrem Grunde eine rauhe, knorpelfreie Grube, Fossa acetabuli, die bis zur Incisura herabreicht.

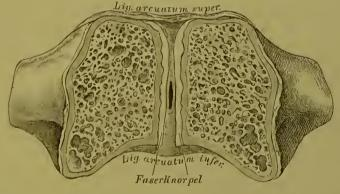
Unter der Pfanne liegt das grosse Verstopfungsloch, Foramen obturatum sen ovale.



153. Das rechte Hüftbein, Os coxae, von innen, mit den Muskelansätzen.

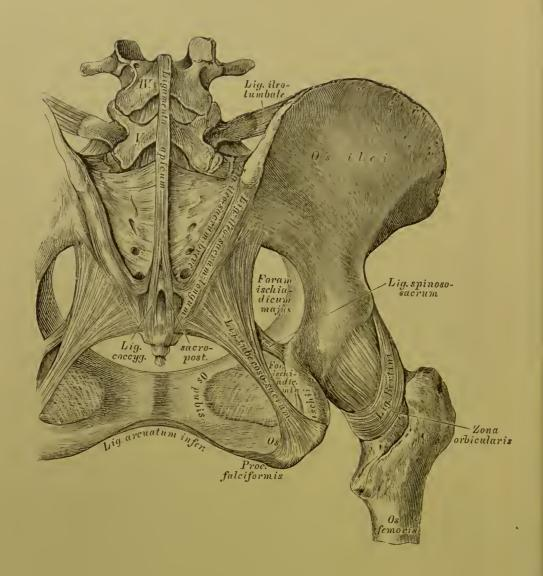


154. Verbindungen der Hüftbeine, Symphysis sacroliaca und Symphysis ossium pubis, Bänder an der vorderen Seite des Beckens.



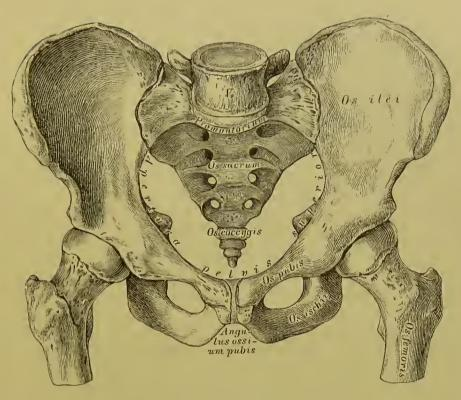
155. Die Symphysis ossium pubis, im Durchschnitte.

Der Schnitt ist senkrecht durch die Symphyse, nahe der hinteren Fläche derselben geführt und zeigt den zwischen den Knochen liegenden Faserknorpel, der einen weicheren Kern und eine kleine Höhle besitzt. Verstärkungsbänder sind das Lig. arcuatum superins und das Lig. arcuatum inferins.

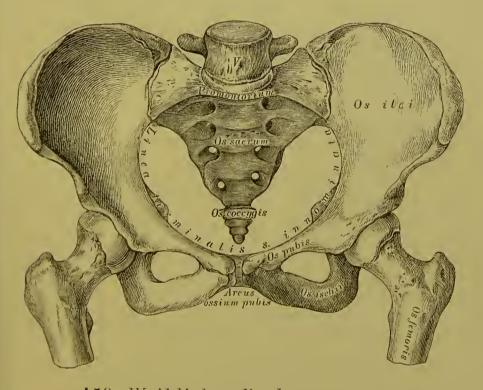


### 156. Verbindungen der Hüftbeine. Bänder an der hinteren Seite des Beckens.

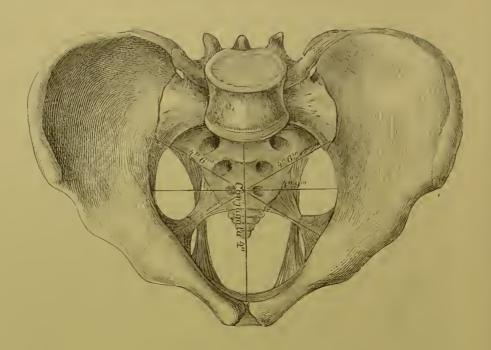
Die Symphysis sacro-iliaca wird an der Vorderseite durch das vom Querfortsatze des fünften Lendenwirbels zum Hüftbein ziehende, in zwei Schenkel getheilte Ligamentum ileo-lumbale bedeckt (Fig. 154); an der hinteren Seite dienen zu deren Verstärkung das Ligamentum ileo-sacrum longum et breve. Zwischen Hüft- und Kreuzbein sind ferner ausgespannt: das Sitzknorren zur Spina posterior inferior des Darmbeines und zum Rande des Kreuz- und Steissbeines verlaufend, und das Sitzktaehel-Kreuzbein band, Ligamentum spinososacrum, von der Spina ossis ischii zum Rande des Kreuz- und Steissbeines gehend. Diese beiden Bänder helfen das Foramen ischiadicum mājus und Foramen ischiadicum minus bilden.



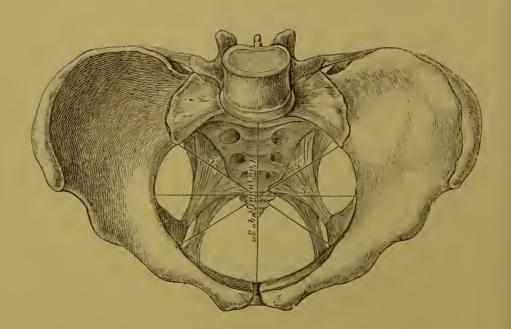
157. Männliches Becken, von vorne.



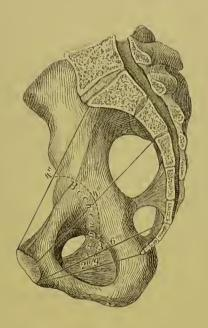
158. Weibliches Becken, von vorne. 15\*



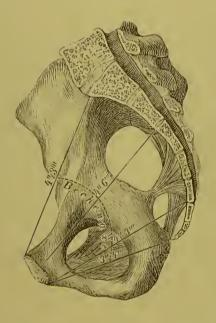
159. Männliches Becken, von oben, mit den Durchmessern der Apertura pelvis superior.



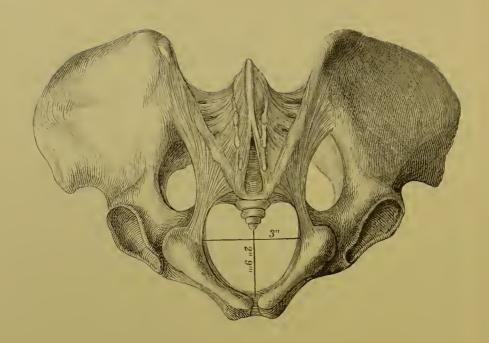
160. Weibliches Becken, von oben, mit den Durchmessern der Apertura pelvis superior.



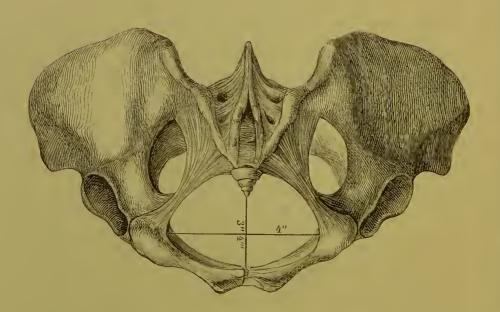
161. Männliches Becken, im Durchschnitte, mit den Durchmessern des Cavum pelvis.



162. Weibliches Becken, im Durchschnitte, mit den Durchmessern des Cavum pelvis.



163. Männliches Becken, von unten, mit den Durchmessern der Apertura pelvis inferior.



164. Weibliches Becken, von unten, mit den Durchmessern der Apertura pelvis inferior.

## 165. Das rechte Oberschenkelbein, Femur,

von vorne.

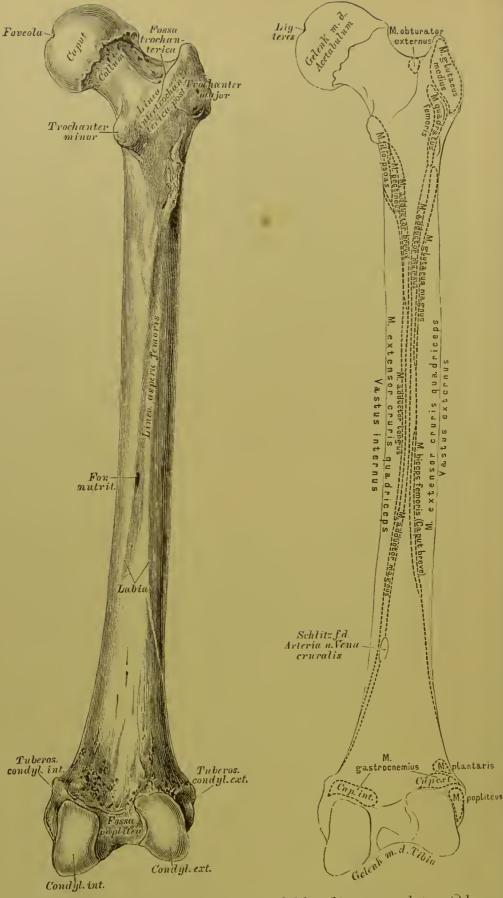
Am oberen Ende des Obersehenkelbeines fällt der an einem Halse sitzende Kopf, Caput femoris, in die Augen, mit einem Grübehen, Foveola, zur Anheftung des Lig. teres. An der Uebergangsstelle des Halses in das Mittelstück stehen die beiden Rollhügel, der grosse äussere, Trochanter major, und der kleine innere, Trochanter minor; dieselben sind durch die Linea intertrochanteriea anterior und posterior vereinigt. Nach innen vom grossen Trochanter liegt die Fossa trochanterica (Fig. 166).

An der hinteren Fläche des Mittelstückes springt die in zwei Lefzen (Labia) gespaltene Linea aspera femoris vor (Fig. 166).

Das untere Ende ist mit zwei Knorren, Condylus externus und Condylus internus, versehen, deren jeder eine Tuberosität besitzt. Die Knorren sind an der hinteren Seite durch die Fossa poplitea von einander getrennt (Fig. 166).

Das Oberschenkelbein ist mit drei Knochen gelenkig verbunden: mit dem Hiiftbeine, dem Schienbeine und der Kniescheibe.





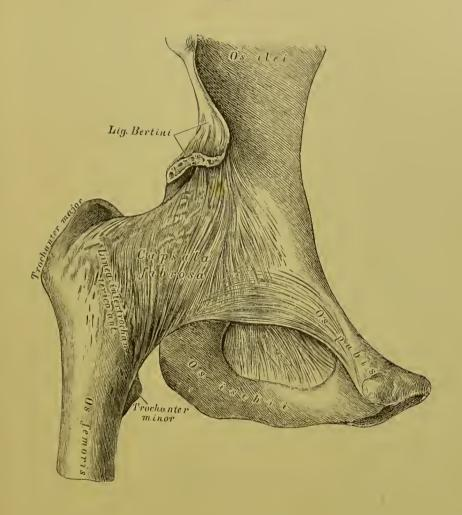
166. Das rechte Oberschenkelbein, Femur.

von hinten.

167. Das rechte Oberschenkelbein, Femur.

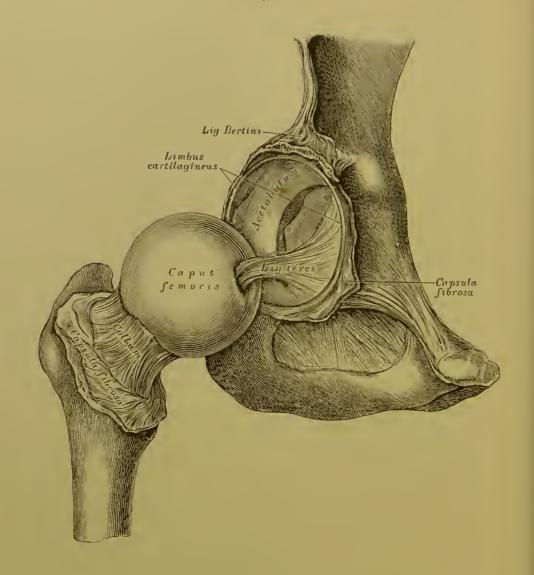
schenkelbein, Femur.

von hinten, mit den Muskelansätzen.



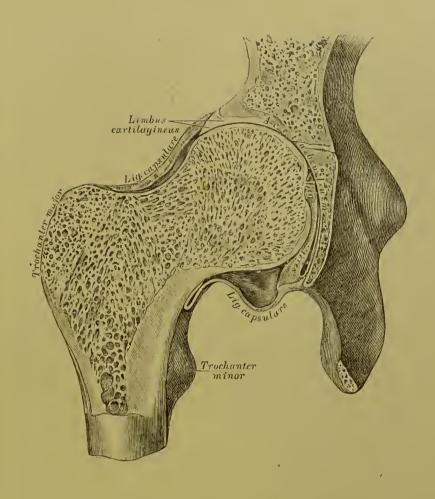
168. Das rechte Hüftgelenk, Articulatio coxae, von vorne.

Die fibröse Kapsel des Hüftgelenkes inserirt am Umfange des knöehernen Pfannenrandes einerseits und an der Vorderseite des Oberschenkelknochens an der Linea intertrochanterica anterior andererseits. Als Verstärkung der vorderen Kapselwand dient das kräftige, von der Spina anterior inferior des Darmbeines entspringende Ligamentum Bertini, welches zum Theile zur Linea intertrochanterica anterior herabsteigt (Fig. 154), zum Theile mit zwei Schenkeln den Oberschenkelhals als Zona orbicularis Weberi umschlingt (Fig. 156).



169. Das rechte Hüftgelenk, Articulatio coxae, eröffnet.

Am knöchernen Umfange der Pfanne haftet ringsum ein faserknorpeliger Ring, Limbus cartilagineus acetabuli; an der Stelle der Incisura acetabuli bildet dieser Ring eine Brücke. Von der Foveola des Obersehenkelkopfes zieht zur nicht überknorpelten Fovea acetabuli das runde Band, Ligamentum teres. Die fibröse Kapsel des Hüftgelenkes ist in der Figur aufgeschnitten und zurückgelegt dargestellt; es wird ersichtlich, dass an der vorderen Seite der Schenkelhals vollständig von der Kapsel eingehüllt ist.



170. Das rechte Hüftgelenk, Articulatio coxae, im Durchschnitte.

Die fibröse Kapsel, an der vorderen Seite des Gelenkes sehr stark, ist am hinteren Umfange desselben weit sehwächer und haftet nicht an der Linea intertrochanterica posterior, sondern, indem sie sieh umbiegt, an der hinteren Fläche des Schenkelhalses. Das Ligamentum teres steigt von der Incisura acetabuli zur Foveola des Obersehenkelkopfes senkrecht hinauf; dasselbe ist von der Synovialkapsel eingehüllt. Die Abbildung zeigt auch die eigenthümlich angeordnete Knochenstructur des Obersehenkelhalses und des Kopfes.



171. Die Knochen des rechten Unterschenkels, Schienbein, *Tibia*, und Wadenbein, *Fibula*, von vorne.

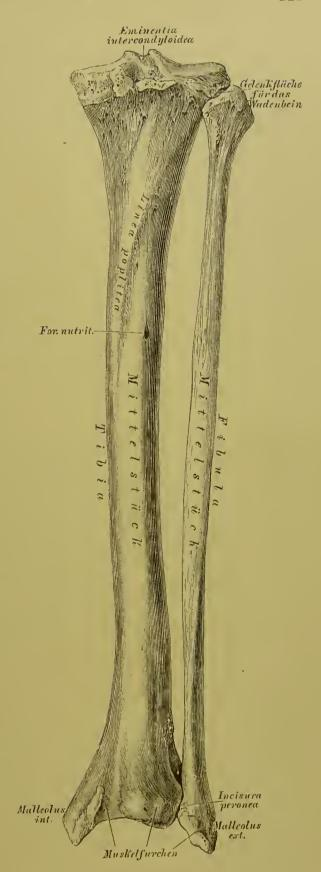
Schienbein, Tibia. Das Mittelstück schärft sich vorne zum Schienbeinkamme, Crista tibiae, zu. Das obere Ende verdiekt sich zu den Schienbeinkanmen knorren, Condyli tibiae, zwischen den Gelenkflächen derselben ragt die Eminentia intercondyloidea hervor. Unter den Knorrenrändern liegt vorne der Schienbeinstach Am unteren Ende hebt sich der starke innere Knöchel, Malleolus internus, ab.

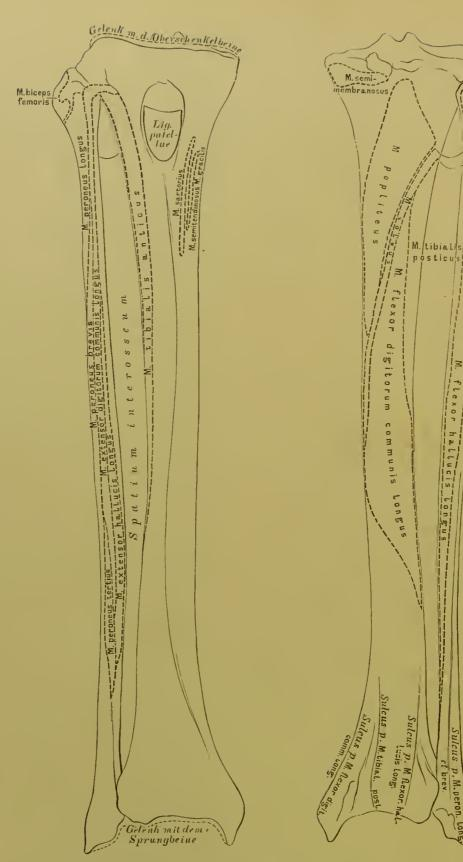
Wadenbein, Fibula. Am Mittelstück heisst die vordere, schärfste Kante Crista fibulae: das obere Ende bildet das Köpfchen, Capitulum, das untere Ende den änsseren Knöchel, Malleolus externus.

172. Die Knochen des rechten Unterschenkels, Schienbein, *Ti*bia, und Wadenbein, *Fibula*, von hinten.

Schienbein, Tibia. Das Mittelstück zeigt an seiner hinteren Fläche oben die ranhe Linea poplitea, neben dem unteren Ende dieser Linie ein grosses Foramen nutritium. Der äussere Knorren besitzt an seinem hinteren Umfange seitlich eine Gelenkfläche für das Wadenbeinköpfehen. Am unteren Ende liegt vis-à-vis dem inneren Knöchelein Ausschnitt, Incisura peronea, für das Wadenbein.

Das Schienbein articulirt mit drei Knochen: dem Oberschenkelbeine, dem Wadenbeine und dem Sprungbeine; das Wadenbein nur mit zwei Knochen: dem Schienbeine und dem Sprungbeine.



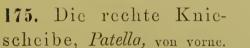


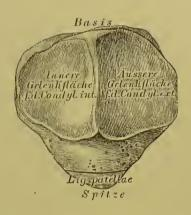
173. Das rechte Schienbein und Wadenbein.

Tibia et Fibula. von vorne, mit den Muskelansätzen.

174. Das rechte Schienbein und Wadenbein. Tibia et Fibula, von hinten, mit den Muskelansätzen.

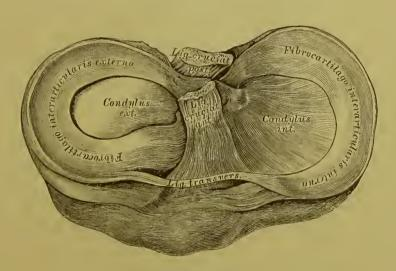






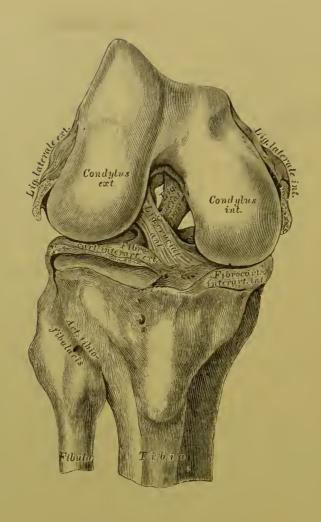
176. Die rechte Kniescheibe, Patella, von hinten.

An der Kniescheibe wird die Basis und die Spitze, eine vordere rauhe und eine hintere, aus zwei glatten Gelenkfacetten bestehende Fläche unterschieden, mit welch' letzterer der Knochen auf der überknorpelten Vertiefung zwischen den Oberschenkelknorren gleitet.



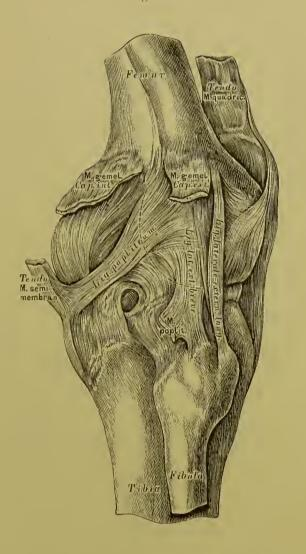
## 177. Die halbmondförmigen Zwischenknorpel, Fibrocartilagines interarticulares, in Vogelsicht.

Der convexe verdickte Rand eines jeden halbmondförmigen Knorpels ist gegen die Kapsel gerichtet, der concave zugeschärfte Rand gegen die Eminentia intercondyloidea der Schienbeinknorren. Der inn ere Zwischenknorpel ist schwächer gekrümmt und am convexen Rande dieker als der äussere (Fig. 178); die vorderen Enden dieser Knorpel sind durch ein Ligamentum transversum verbunden, dieselben inseriren vor, die hinteren Enden hinter der Eminentia intercondyloidea.



178. Die Kreuzbänder, *Ligamenta cruciata*, des rechten Kniegelenkes.

Die Kreuzbänder haften einerseits an den rauhen Innenflächen der Oberschenkeleondylen und andererseits vor und hinter der Eminentia intercondyloidea des Schienbeins. Das vordere Kreuzband, Ligamentum eruciatum anterius, zieht von der Innenfläche des Condylus externus zur Grube vor der Eminentia intercondyloidea: das hintere Kreuzband, Ligamentum eruciatum posterius, in steilerem Faserzuge von der äusseren Fläche des Condylus internus zur Grube hinter der Eminentia intercondyloidea.

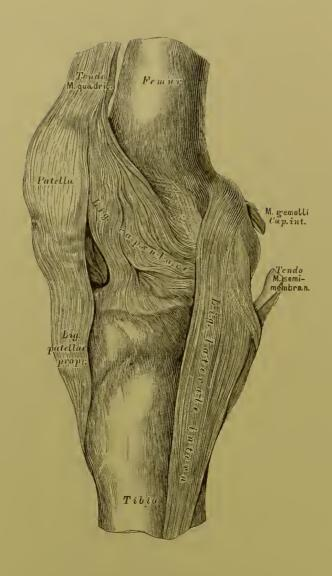


179. Das äussere Seitenband, Ligamentum laterale externum, des rechten Kniegelenkes.

Das rundliche äussere Seitenband zicht von der Tuberositas Condyli externi des Schenkelknochens zum Wadenbeinköpfehen. Dasselbe liegt ausserhalb der dünnen fibrösen Kapsel, welche an der hinteren und äusseren Seite des Gelenkes durch fibröse Fasern verstärkt wird. Der in der Kniekehle liegende stärkere Faserzug wird als Kniekehlen band, Ligamentum popliteum, der nach aussen liegende Faserzug als Ligamentum laterale externum breve beschrieben. Der Zusammenhang dieser Faserzüge mit Muskelansätzen ist aus der Zeichnung ersichtlich.

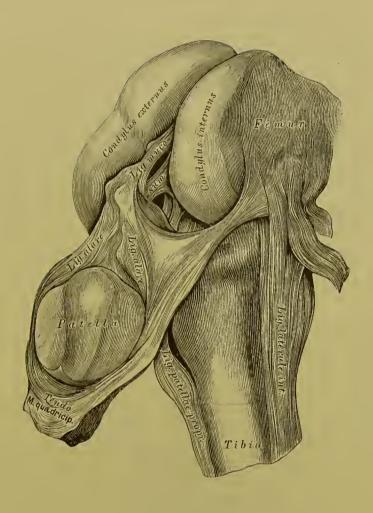
130

Kniegelenk



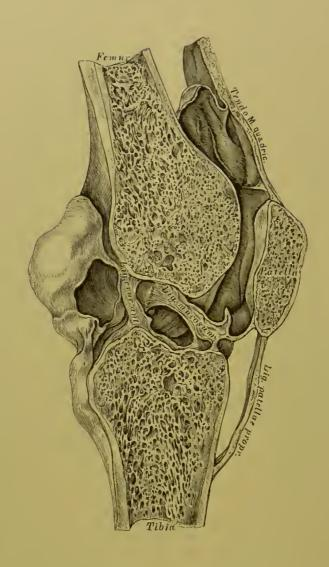
180. Das innere Seitenband, Ligamentum laterale internum, des rechten Kniegelenkes.

Das breite und kräftige innere Seitenband entspringt an der Tuberositas condyli interni des Schenkelknochens und reicht 5—8 Ctm. unter den Condylus internus der Tibia, indem es an der inneren Kante derselben festhaftet. Auf der Abbildung ist die nach innen sehr dünne fibröse Kapsel, ihr Znsammenhang mit der Sehne des vierköpfigen Schenkelstreckers, ihr Ursprung oberhalb der Schenkeleondylen und ihre Insertion am rauhen Umfauge der Schienbeineondylen dargestellt.



181. Die Flügelbänder, *Ligamenta alaria*, des rechten Kniegelenkes.

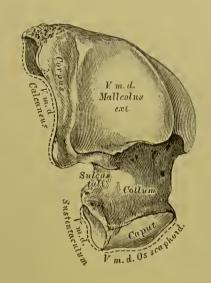
Die das Kniegelenk auskleidende Synovialhaut erzeugt seitlich von der Patella zwei Falten, die wulstig, reichlich mit Fett versehen erscheinen und in ein dünnes Band übergehen, welches von der Insertionsstelle des Ligamentum cruciatum anterius zur Fossa intercondyloidea des Oberschenkelbeines zieht — Ligamentum mucosum. Die Flügelbänder theilen nach Hyrtl den vor den Kreuzbändern befindlichen Raum der Kniegelenkhöhle in drei vollkommen unabhängige Gelenkräume.



182. Das Kniegelenk, Articulatio genu, im Durchschnitte.

Das Kniegelenk wurde durchgesägt nach Injection einer erstarrenden Masse durch ein in die Patella gebohrtes Loch; nach der Durchsägung wurde die Injectionsmasse wieder entfernt. Es kommen dadurch die sackförmigen Ausstülpungen der Synovialkapsel zur Anschauung, und es wird ersichtlich, wie hoch die Insertion der Synovialkapsel an der vorderen und hinteren Seite des Kniegelenkes hinaufreicht.





bein, Talus, von vorue und innen.

183. Das rechte Sprung- 184. Das rechte Sprungbein, Talus, von aussen.

Am Sprungbeine, Talus seu Astragalus, wird der Körper, der Hals und der Kopf unterschieden. Die obere Fläche des Körpers ist überknorpelt und dient zur Gelenkverbindung mit dem Schienbeine; desgleichen die iunere überknorpelte Fläche zur Gelenkverbindung mit dem Malleolus internus Tibiae, während die grössere äussere Seitenfläche in Gelenkverbindung mit dem der Fibula angehörenden Malleolus externus steht. Die untere concave Gelenksläche des Körpers articulirt mit dem Fersenbeine.

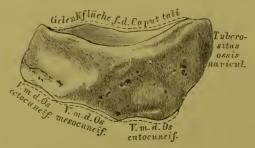
Die vordere Fläche des Körpers übergeht in den Hals und dieser in den Kopf; ersterer ist an der unteren Fläche überknorpelt zur Verbindung mit dem Sustentaculum des Fersenbeines, letzterer überknorpelt zur Verbindung mit dem Kahnbeine. Von innen und hinten nach aussen und vorne verläuft eine Rinne, der Sulcus tali.

Das Sprungbein steht demnach mit vier Knochen in Gelenkverbindung: mit dem Schienbeine, dem Wadenbeine, dem Fersenbeine und dem Kahnbeine.



185. Das rechte Fersenbein, Calcaneus, von oben.

Das Fersenbein, unter dem Sprungbeine gelegen, verlängert sich nach hinten zur Hacke, Calx, welche mit dem Fersenhöcker, Tuberositas calcanei, endet. An der oberen Fläche befindet sich die überknorpelte Stelle zur Verbindung mit dem Sprungbeinkörper, vor derselben verläuft der Sulcus calcanei, welcher mit dem entsprechenden Sulcus tali den Sinus tarsi erzeugt. Nach innen von der Gelenkfläche ragt ein an seiner oberen Fläche ebenfalls überknorpelter Fortsatz, das Sustentaculum vor; eine zweite solche Fläche befindet sich zuweilen am inneren vorderen Winkel des Fersenbeines. Die vordere überknorpelte Gelenkfläche dient zur Verbindung mit dem Os cuboideum, articulirt also mit zwei Knochen: Sprung- und Würfelbein.



186. Das rechte Kahnbein, Os scaphoideum seu naviculare, von oben.

Die hintere Fläche des Kahnbeines dient zur Verbindung mit dem Kopfe des Sprungbeines; die vordere Fläche ist in drei Facetten getheilt zur Verbindung mit den drei Keilbeinen; am inneren Rande ragt die *Tuberositas ossis navicularis* vor. Das Kahnbein articulirt mit vier Knochen: mit dem Sprungbeine und den drei Keilbeinen, bisweilen auch mit dem Würfelbeine.





187. Das rechte innere 189. Das rechte äussere Keilbein, Os entocuneiforme, Keilbein, Os ectocuneiforme, von oben.



188. Das rechte mittlere Keilbein, Os mesocuneiforme, von oben.

Die drei Keilbeine, Ossa cunciformia, sind vor dem Kahnbeine gelagert. Das grösste erste oder innere Keilbein wendet seine stumpfe Schneide nach oben; dasselbe ist mit vier Knochen gelenkig verbunden: mit dem Kahnbeine, dem mittleren Keilbeine, dem ersten und zweiten Mittelfussknochen.

Das kleinste zweite oder mittlere Keilbein wendet seine Schneide nach unten, gegen die Plantarfläche; es articulirt mit vier Knochen: dem Kahnbeine, dem inneren und äusseren Keilbeine und dem zweiten Mittelfussknochen.

Das dritte oder äussere Keilbein steckt zwischen fünf Knochen, mit welchen es gelenkig verbunden ist: dem Kalmbeine, mittlerem Keilbeine, dem Würfelbeine, dem zweiten und dritten Mittelfussknochen.

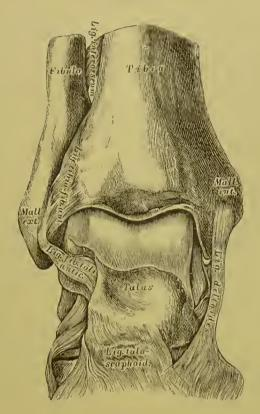




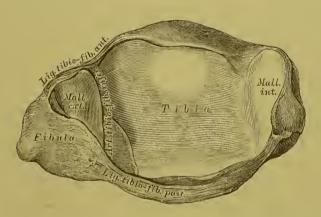
190. Das rechte Würfel- 191. Das rechte Würfelbein, Os cuboideum, von oben.

bein. Os cuboideum, von unten.

Das Würfelbein ist vor dem Fersenbeine am äusseren Fussrande gelegen. An der unteren Fläche ragt ein stumpfer Höcker vor, Tuberositas ossis cuboidei, vor welchem eine etwas nach innen und vorne gerichtete Rinne, Sulcus ossis cuboidei, verläuft; dieselbe dient zur Aufnahme der Sehne des M. peroneus longus. An eonstanten Gelenkflächen weist das Würfelbein auf: eine hintere, zur Verbindung mit dem Fersenbeine; eine innere für das äussere Keilbein; zwei vordere für die Basen des vierten und fünften Mittelfussknochens. Bisweilen kommt eine fünfte sehr kleine Gelenkfläche an der Innenseite des Knochens vor, zur Gelenkverbindung mit dem Kahnbeine.



192. Das rechte Sprunggelenk, Articulatio pedis, von vorne, nach Entfernung der vorderen Kapselwand.



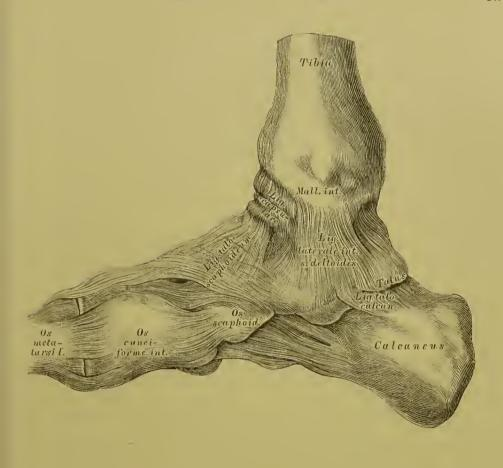
193. Die das Sprunggelenk constituirenden Gelenkflächen des rechten Schien- und Wadenbeines, in der Vogelsicht.

Die Grösse der Gelenkfläche des Sprungbeinkörpers bedingt, dass auch in der Mittellage des Gelenkes zwischen Beugung und Streckung ein Theil der vorderen und hinteren Sprungbeingelenkfläche ausser Contact mit der Gelenkfläche des Schienbeines steht. Das Schien- und Wadenbein sind unten durch die vorderen und hinteren Knöchelbänder, Ligamentum tibio-fibulare anterius und posterius verbunden; zwischen dieselben dringen blindsackförmige Ausstülpungen der Synovialhaut des Sprunggelenkes ein.



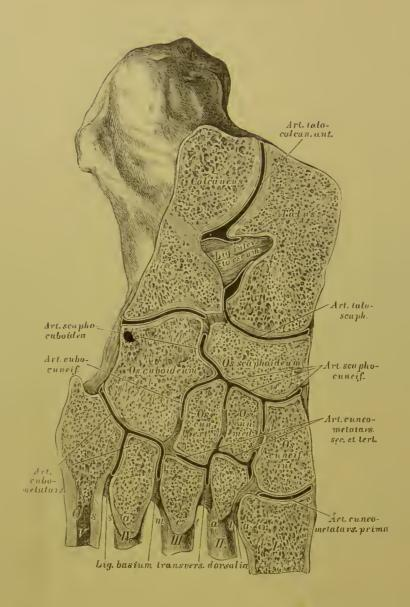
194. Die Bänder des Sprunggelenkes und der Fusswurzelknochen, von aussen.

Am Sprunggelenke wird die fibröse Kapsel an ihrem äusseren Umfange durch drei Seitenbänder verstärkt; diese sind: 1. das Ligamentum fibulare tali anticum, 2. das Lig. fibulare tali posticum und 3. das mittlere Lig. fibulare calcanei. Von den Verstärkungsbändern der Fusswurzelgelenke sind auf der äusseren Seite des Fusses sichtbar: zwischen Sprung- und Fersenbein das Lig. talo-calcaneum externum; zwischen Fersen- und Würfelbein das Lig. calcaneo-cuboideum superius und internum: zwischen Fersen- und Kahnbein das Lig. calcaneo-caneo-seaphoideum dorsale; zwischen Kahn- und Würfelbein das Lig. cabo-scaphoideum dorsale; zwischen Kahn- und den drei Keilbeinen die drei Ligamenta scapho-cunciformia dorsalia, zwischen Würfel- und drittem Keilbein das Lig cubo-cunciforme. Zwischen dem Tarsus und den Basen der fünf Mittelfussknochen sind die Ligamenta tarso-metatarsea dorsalia ausgespannt.



195. Die Bänder des Sprunggelenkes und der Fusswurzelknochen, von innen.

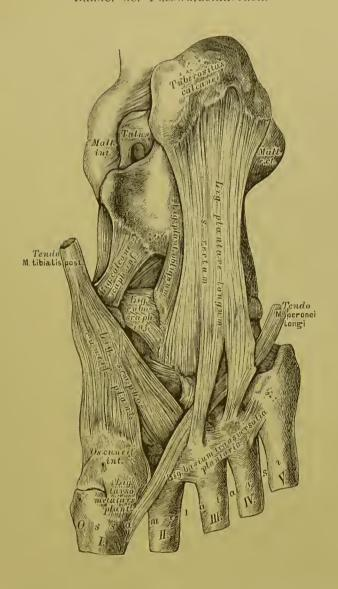
An der Innenseite der Kapsel des Sprunggelenkes findet sich nur ein Seitenband vor: das Lig. laterale internum seu deltoides, vom inneren Knöchel zur Innenfläche des Sprungbeines und zum Sustentaculum des Fersenbeines ziehend. An der inneren Seite der Fusswurzel fallen folgende Bänder in die Augen: zwischen Sprung- und Fersenbein das Lig. talo-calcaneum posticum; zwischen Sprung- und Kahnbein das breite Lig. talo-scaphoideum; zwischen Kahnbein und erstem und zweiten Keilbein die Ligamenta scapho-cuneiformia dorsalia; zwischen den Keilbeinen die Ligamenta cuneiformia dorsalia. Auf Fig. 196 sind die zwischen den Basen der fünf Mittelfussknochen ausgespannten kurzen Ligamenta basium transversalia dorsalia, vier an der Zahl, ersichtlich; die drei entsprechenden Plantarbänder sind auf Fig. 197 nachzusehen.



196. Die Gelenke der Fusswurzelknochen.

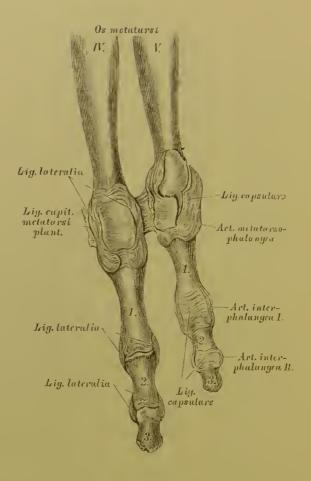
Articulationes intertarseae et tarso-metatarseae, im Durchschnitte.

Von den Fusswurzelgelenken besitzen gemeinschaftliche Synovial-kapseln: 1. die Articulatio talo-scaphoidea mit der Art. talo-calcanea anterior: 2. die drei Articulationes scapho-cunciformes mit der Art. scapho-cuboidea und der Art. cubo-cuneiformis; 3. die Articulatio cunco-metatarsea secunda et tertia: 4. die zwei Articulationes cubo-metatarseae. Isolirt stehen: 5. die Articulatio calcaneo-cuboidea und 6. die Articulatio cunco-metatarsea prima.



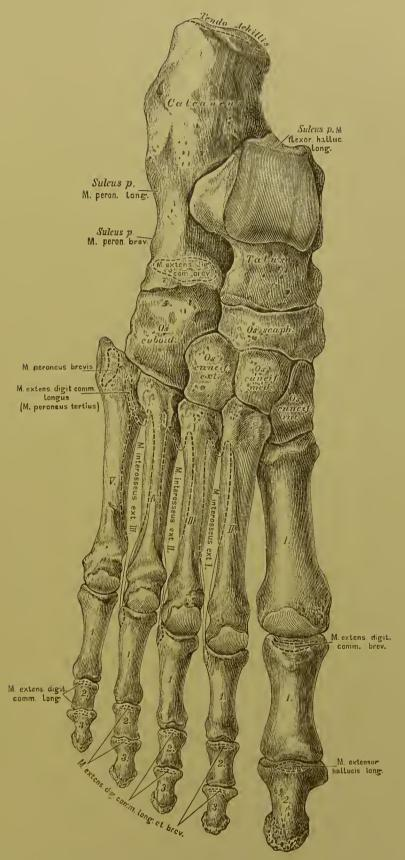
197. Die plantaren Verstärkungsbänder der Fusswurzelgelenke.

Folgende Bänder kommen in Betracht: zwisehen Fersen- und Würfelbein das kräftige Lig. calcanco-cuboideum plantare longum s. rectum, und zum Theile von diesem gedeckt das Lig. plantare obliquum; von ersterem zichen zu den Basen des dritten und vierten Metatarsus zwei Schenkel, die die Scheide des M. peroneus longus verstärken. Ferner folgende Bänder: das Lig. calcanco-scaphoideum inferius; das Lig. cubo-scaphoideum inferius; die Ligamenta scaphocuneiformia plantaria in Verbindung mit der Schne des M. tibialis posticus; das schwache Lig. cubo-cunciforme und intercunciforme plantare.



198. Die Zehengelenke der vierten und fünften Zehe des rechten Fusses, von der Plantarseite.

Wie an den Fingern, unterscheidet man an den Zehen: 1. die Articulatio metatarso-phalangea; 2. die Art. interphalangea prima; 3. die Art. interphalangea secunda. Sämmtliche Gelenke besitzen zwei Ligamenta lateralia; die Art. metatarso-phalangeae an der Plantarfläche überdies rollenartig gefurchte Verdickungen der Gelenkkapsel. Diese Verdickung hängt an der Kapsel der grossen Zehe mit zwei Sesambeinen zusammen, welche auf Fig. 200 dargestellt sind.



199. Die Knochen des rechten Fusses, von der Dorsalseite, mit den Muskelansitzen.

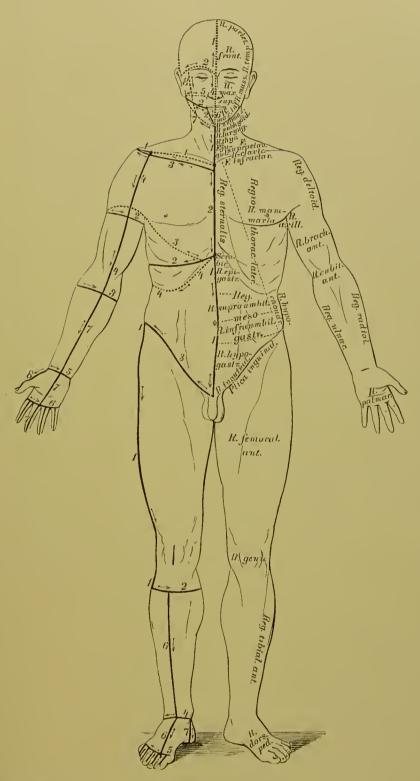


200. Die Knochen des rechten Fusses, von der Plantarseite, mit den Muskelansätzen.

### П.

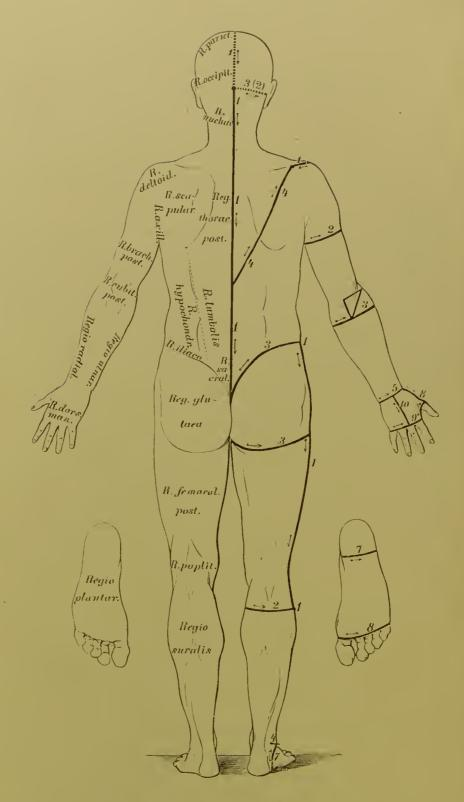
# MUSKELN. FASCIEN. TOPOGRAPHIE.



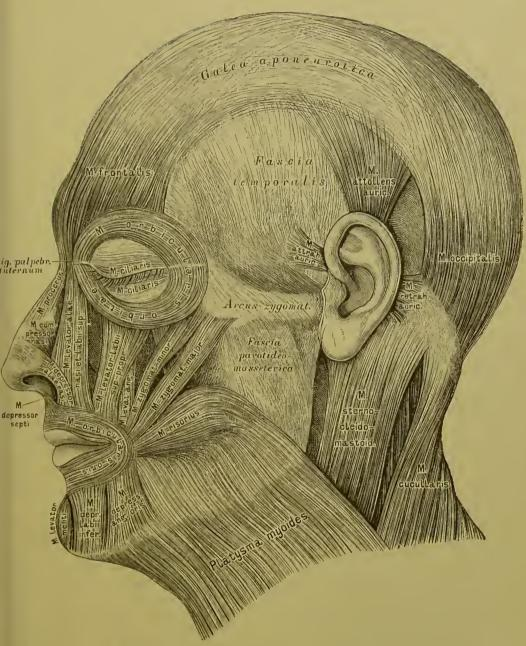


201. Die Hautschnitte für Seeirübungen. Die Körperregionen in der Ansicht von vorne.

19\*



202. Die Hautschnitte für Secirübungen. Die Körperregionen in der Ansicht von hinten.



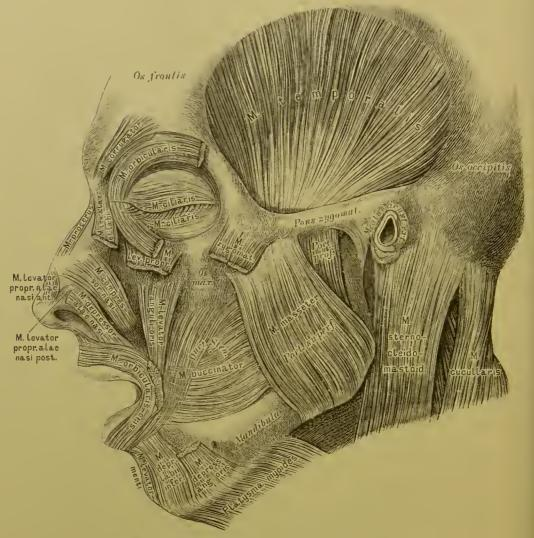
#### 203. Die Muskeln und Fascien der Kopfhaut und des Gesichtes.

1. Muskeln der behaarten Kopfhaut (M. epicranius): M. frontalis. Ursprung: Glabella, Arcus superciliar. Insertion: Galea aponeurotica cranii.

M. occipitalis. Urspr.: Linea semicircular. super. des Hinterhauptbeins, Pars mastoidea des Schläfebeins, Insert.: Galca aponeurotica, 2 Muskeln der Augenlidspalte:

M. orbicularis orbitae (palpebrarum). Urspr.: Lig. palpebrarum internum, Proc. nasalis des Oberkiefers. Insert.: Lig. palpebr. int., Margo infraorbitalis ossis max. M. ciliaris auf den Augenlidern dicht an den Lidrändern. (Schliesser.)

M. corrugator supercilii (Fig. 201). Urspr.: unter dem M. frontalis und orbicularis an der Glabella; geht in die beiden ihn deckenden Muskeln über.



204. Die Muskeln des Gesichtes.

3. Muskeln der Nase:

M. nasalis besteht aus zwei Abtheilungen: 1. Der lateralen, M. depressor alae nasi. Urspr.: Alveolus des Eck- und äusseren Schmeidezahns. Insert: Cartilago alaris nasi. — 2. Der medialen, M. compressor nasi. Urspr.: Forea canina. Insert: als dünne Fascie am Nasenrücken.

 $M.\ procerus$  Santorini s. pyramidalis nasi vom  $M.\ frontalis$  in die Fascie des Nasenrückens.

MM. levator proprius alae nasi anterior et posterior am Nasenflügelknorpel.
M. depressor septi mobilis narium s. M. nasalis labii sup. (Fig. 203); vom
M. orbicularis oris zur Nasenscheidewand.

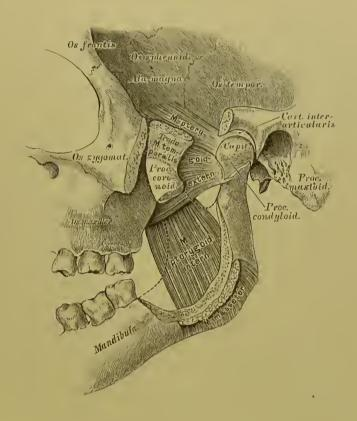
4. Muskeln der Mundspalte:

M. quadratus labii superioris besteht aus drei Abtheilungen: 1. M. levator alae nasi et labii superioris. Urspr.: Proc. nasal. des Oberkiefers. Insert.: Naseuflügel und Oberlippe. — 2. M. levator labii superioris proprius; vom Margo infraorlitalis zur Oberlippe. — 3. M. zygomoticus minor. Urspr.: Gesichtsfläche des Jochbeins Insert.: Oberlippe.

M. zygomaticus major. Urspr.: Gesichtsfläche des Jochbeins. Insert.: vom Mundwinkel aus in die Ober- und Unterlippe.

M. levator anguli oris s. M. caninus; von der Fovea canina zum Mundwinkel.
M. risorius Santovini (Fig. 203); von der Fascia parotideo-masseterica zum Mundwinkel.

M. triangularis s. M. depressor anguli oris; vom unteren Rande des Unterkiefers zum Mundwinkel.



### 205. Die Muskeln des Unterkiefers, von aussen.

Muskeln der Mundspalte (Fig. 203 und 204):

M. depressor labii inferioris (Quadratus menti). Urspr.: unterer Kieferrand. Insert.: Unterlippe und Haut des Kinnes.

M. levator menti s. M. mentalis: vom Alveolarfortsatz des Unterkiefers herab zur Haut des Kinnes.

MM. incisivi Cowperi; zwei obere und zwei untere, entspringen von den Alveolarfortsätzen der Dentes incisivi (nicht abgebildet).

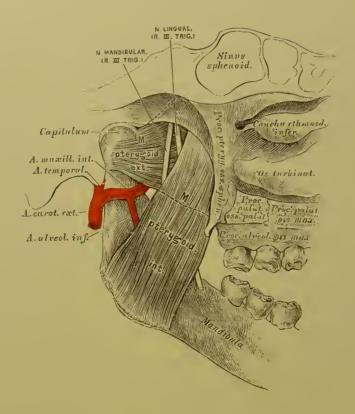
M. buccinator. Urspr.: Alveolarfortsätze beider Kiefer und Hamulus pterygoid. des Keilbeins. Insert.: mit gekreuzten mittleren Bündeln an der Ober- und Unterlippe.

M. orbicularis seu Sphincter oris; kreisförmiger Schliessmuskel, gebildet durch die zum Munde tretenden Muskeln; ansserdem Ursprünge am Nasenscheidewandknorpel (M. depressor septi) und in der Gegend der Eckzahnalveolen (MM. incisivi Cowperi).

- 5. Muskeln des Ohres (Fig. 203):
- M. attollens auriculae, Aufheber. )

M. attrahens auriculae, Anzieher. | Epicranius temporalis.

MM retrahentes auriculae, Rückwärtszieher.



206. Die Muskeln des Unterkiefers (die Flügelmuskeln), von innen.

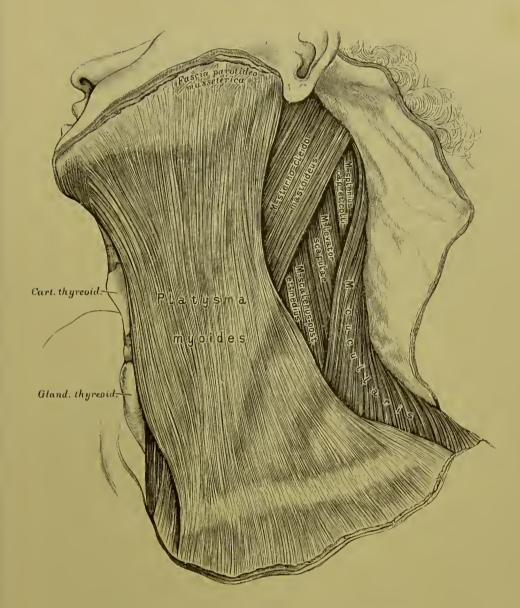
M. tempovalis, der Schläfemuskel (Fig. 204). Urspr.: Planum tempovale des Schädels und Innenfläche der Fascia tempovalis. Insert.: unter dem Jochbogen am Proc. coronoideus des Unterkiefers. (Heber und Zurückzieher des Unterkiefers.)

M. masseter, der Kaumuskel (Fig. 204). Urspr.: Jochbogen mit einer oberflächlichen und einer tiefen Portion. Insert.: Aussenfläche des Unterkieferastes bis zum Kieferwinkel. (Heber und Verwärtsführer des Unterkiefers.)

M. pterygoideus internus, in n e r e r F l ü g e l m u s k e l. Urspr.: Fossa pterygoidea des Keilbeins. Insert.: untere Hälfte der Innenfläche des Unterkieferastes. (Hebung, Vorwärts- und seitliche Schiebung des Unterkiefers.)

M. pterygoideus externus, äusserer Flügelmuskel. Urspr.: Aeussere Fläche der Lamina externa des Flügelfortsatzes und des grossen Keilbeinflügels. Tuberosität des Oberkieferbeius. Insert.: mit starker Sehne am Halse des Processus condyloideus des Unterkiefers, an der Innenwand der Kapsel und des Zwischenknorpels des Unterkiefergelenkes. (Beiderseits wirkend Vorwärtsbeweger; einerseits wirkend Seitenbeweger des Unterkiefers.)

Halsmuskeln. 153

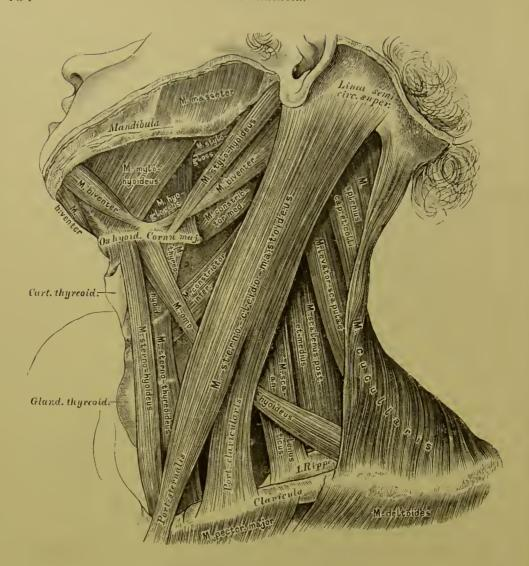


207. Der Hautmuskel des Halses.

Halsminskeln, welche den Kopf und den Unterkiefer bewegen: Platysma myoides (M. subcutancus colli), Hantminskeldes Halses. Urspr.: subcutanes Bindegewebe der Brust und Fascia pectoralis in der Gegend der zweiten Rippe. Insert. der inneren, sich kreuzenden Bündel: am unteren Rande des Unterkiefers; der übrigen: im Panniculus adiposus des Gesichtes und in der Fascia parotideomassettrica. (Herabzieher des Unterkiefers, Aufheber der Haut.)

M. sterno-eleido-mastoideus, Kopfnicker (Fig. 208). Urspr. mit zwei Köpfen: vom Manubrium sterni und von der Extremitas sternalis Claviculae. Insert.: am Processus mastoideus und an der Linea semicircularis superior des Hinterhauptbeins. (Einseitig wirkend Dreher und Neiger des Kopfes; doppelseitig wirkend bei fixirtem Kopfe Heber des Brustkastens; hauptsächlich Kopfhälter.)

M. biventer s. digastricus mandibulae, zweibänchiger Unterkiefermuskel (Fig. 208). Urspr. des hinteren Banches: aus der Incisura mastoidea; des vorderen Banches: am unteren Kinnrande, die mittlere Sehne an das Zungenbeingeheftet. (Herabzieher des Kiefers.)



208. Die Halsmuskeln.

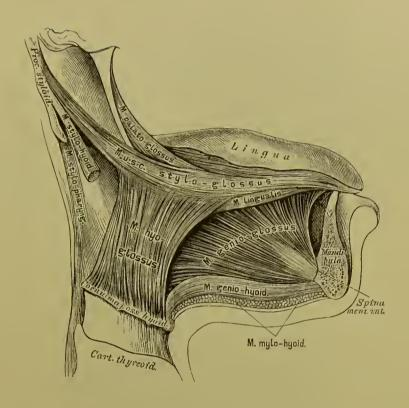
Zungenbeinmuskeln (Herabzieher des Zungenbeins):

M. omo-hyoideus, Sehulterblatt-Zungenbeinmuskel. Urspr.: am oberen Schulterblattrande neben der Incis. scapulae, oder an deren Querbande, zweibäuchig, bogenförmig verlaufend. Insert.: an der Basis des Zungenbeins (Spanner der Fuscia colli profunda).

M. sterno-hyoideus, Brustbein-Zungenbeinmuskel. Urspr.: hintere Fläche des Manubr. sterni. Insert.: an der Basis des Zungenbeins. Unter diesem:

M. sterno-thyreoideus, Brustbein-Schildknorpelmuskel. Urspr.: hintere Fläche des Manubr. sterni und oberer Rand des ersten Rippenknorpels. Insert.: an der Seitenplatte des Schildknorpels (Inscriptio tendinea).

M. thyrco-hyoideus, Schildknorpel-Zungenbeinmuskel. Urspr.: an der Schildknorpelplatte. Insert.: am unteren Rande des Zungenbeins (Basis und grosses Horn).



# 209. Die Zungenmuskeln.

Zungenbeins):

M. stylo-hyoideus, Griffel-Zungenbeinmuskel. Urspr.: Basis des Proc. styloideus. Insert.: am oberen Rande des Zungenbeins.

M. mylo-hyoideus, Kiefer-Zungenbeinmuskel (Fig. 208). Urspr.: Linea mylo-hyoidea des Unterkiefers. Insert. der äusseren Fasern: an der Vorderfläche der Zungenbeinbasis; der inneren: in einer medialen sehnigen Raphe.

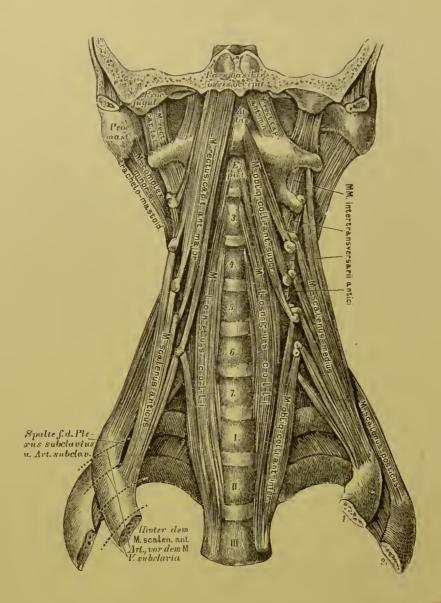
M. genio-hyoideus, Kinn-Zungenbeinmuskel. Urspr.: an der Spina mentalis interna. Insert.: an der Basis des Zungenbeins.

Zungenmuskeln:

M. genio-glossus, Kinn-Zungenmuskel. Entspringt an der Spina mentalis interna und geht in das Zungenfleisch über. (Herabzieher und Vorstrecker der Zunge.)

M. hyo-glossus, Zungenbein-Zungenmuskel. Urspr.: oberer Rand der Basis, des grossen und kleinen Hornes des Zungenbeins. Insert.: am hinteren Seitenrande der Zunge. (Herabzieher der Zunge.)

M. stylo-glossus, Griffel-Zungennuskel. Urspr.: Processus styloideus und Lig. stylo-maxillare. Insert.: am Seitenrande der Zunge im Zungenfleisch. (Einseitig wirkend Seitwärtszieher, doppelseitig wirkend Rückwärtszieher der Zunge.)



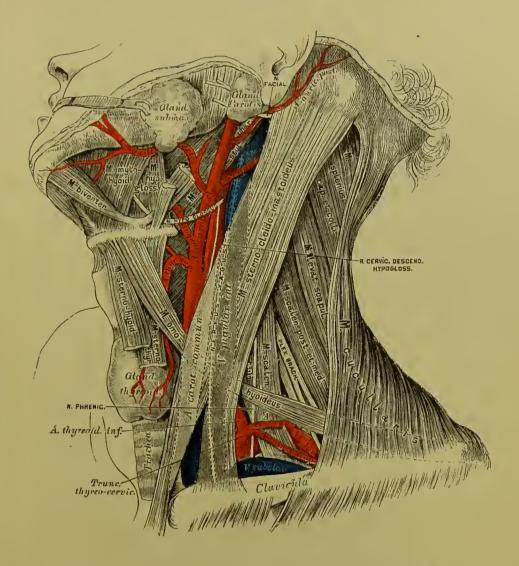
# 210. Die tiefen Halsmuskeln.

Muskeln an der Seitengegend der Halswirbelsäule (Heber der ersten und zweiten Rippe bei fixirtem Halse: Dreher und Vorwärtsbeuger des Halses bei fixirten Rippen):

M. scalenus anticus, der vordere Rippenhalter. Urspr.: Querfortsätze des dritten bis sechsten Halswirbels. Insert.: am oberen Rande der ersten Rippe, am Tuberculum Lisfrancii.

M. scalenus medius, der mittlere Rippenhalter. Urspr.: Querfortsätze aller sieben Halswirbel. Insert.: oberer Rand und äussere Fläche der ersten Rippe.

M. scalenus posticus, der hintere Rippenhalter. Urspr.: Querfortsätze des fünften bis siebenten Halswirbels. Insert.: äussere Fläche der zweiten Rippe.



# 211. Topographische Anatomie des Halses.

Inhalt der beiden, durch die Kreuzung des M. sterno-cleido-mastoidens mit dem M. omo-hyoidens entstehenden Halsdreiecke: des Trigonum inframaxillare und des Trigonum supraclaviculare.

Tiefe Halsmuskeln auf der vorderen Fläche der Halswirbelsänle (Fig. 210):

M. rectus capitis antiens major. Urspr.: Querfortsätze des dritten bis sechsten Halswirbels. Insert.: untere Fläche der Pars basilaris des Hinterhauptbeins.

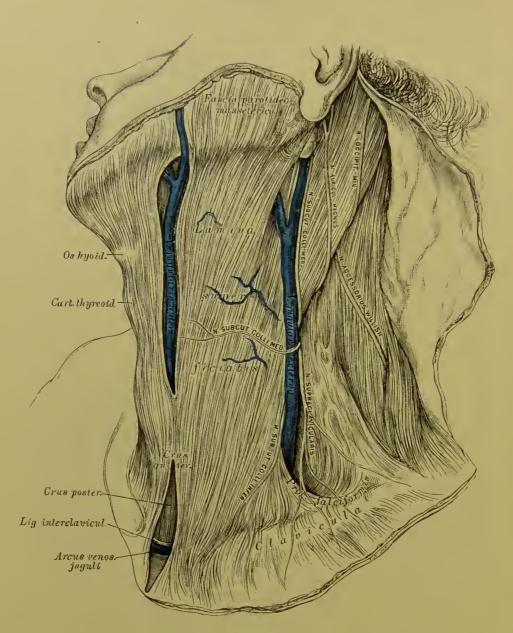
M. rectus capitis anticus minor. Urspr.: vorderer Bogen des Querfortsutzes des Atlas; Insert.: untere Fläche der Pars basilaris. (Beide sind Kopfnicker.)

M. rectus capitis lateralis. Urspr.: Querfortsatz des Atlas. Insert.: Processus

jugularis des Hinterhauptbeins.

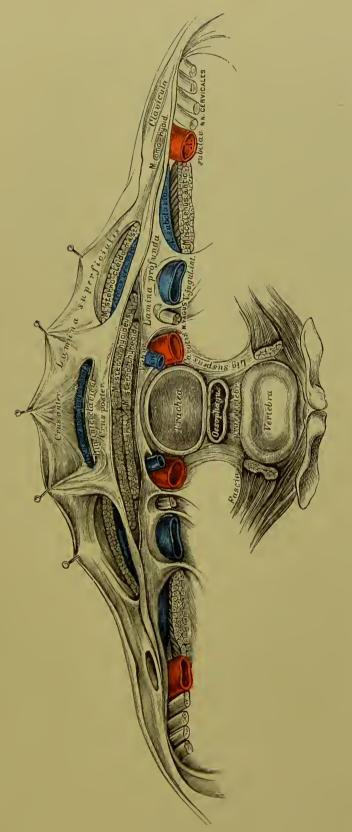
M. longus colli besteht aus drei gesonderten Muskeln: a) M. longus colli rectus erstreckt sich vom Körper des dritten Brustwirbels bis zum Körper des Epistropheus (Benger); b) M. obliquus colli (anticus) inferior. Urspr.: Körper des zweiten und dritten Brustwirbels. Insert.: Querfortsätze des fünften bis siebenten Halswirbels (Dreher); c) M. obliquus colli (anticus) superior. Urspr.: Querfortsätze des dritten und vierten Halswirbels. Insert.: Tuberc. ant. Atlantis (Dreher).

158 Halsfaseie.



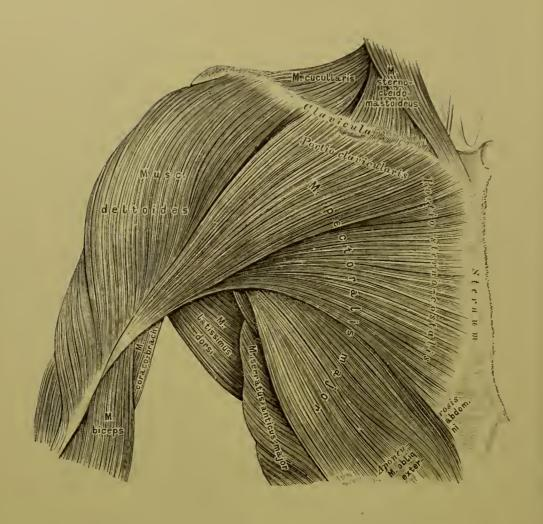
# 212. Die Fascie des Halses. Hochliegendes Blatt.

Das hechliegende Blatt der Halsfascie (unter dem Platysma myoides) umhüllt die MM. sterno-eleido-mast., sterno-hyoid., sterno-thyreoid., thyreo-hyoid. und den eberen Bauch des Omo-hyoid., übergeht nach eben in die Fascia parotideo-masseteriea, befestigt sich oben am unteren Rande des Unterkiefers, unten am Manubr. sterni und am Lig. interclavieulare. Das tiefliegende Blatt (Fig. 213) bildet den Boden des Trig. inframaxill. und supraelavieul., unhüllt den unteren Banch des Omo-hyoideus, bildet Scheiden für die gressen Gefässe (der Nerv. vagus hat keine separate Scheide) und theilt sich einwärts ven diesen in zwei Blätter. Eines bildet die Fascia praevertebralis hinter dem Pharynx und dem Ocsophagus; das andere geht vor der Schilddrüse und der Trachea zur Mittellinie, seukt sich in die obere Brustapertur ein, um zum Theile am Manubr. sterni sich festzusetzen, zum Theile im Herzbeutel anfzugehen. Zur Darstellung des hechliegenden Blattes wurde theilweise die Fignr von L. Dittel benützt.



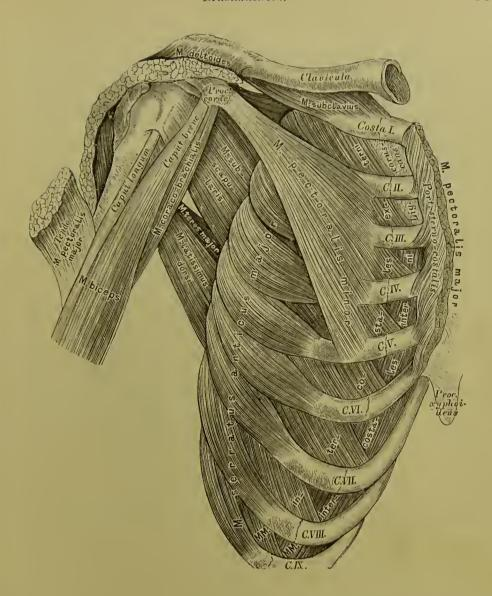
213. Horizontal-Durchschnitt in der Gegend des sechsten Halswirbels.

Nach L. Dittel.



214. Die Brustmuskeln. Erste Schichte.

M. pectoralis major, der grosse Brustmuskel. Urspr.: als Portio clavicularis an der Extremitas sternalis des Schlüsselbeins; als Portio sterno-costalis an der vorderen Fläebe des Brustbeins und der Knorpel der seehs oberen wahren Rippen (Fig. 215), häufig auch an der Aponeurose des äusseren schiefen Bauchmuskels. Insert. mit einer starken, 5 Ctm. breiten Schne: an der Spina tuberculi majoris des Oberarmbeins. (Anzieher, Adductor der oberen Extremität.)



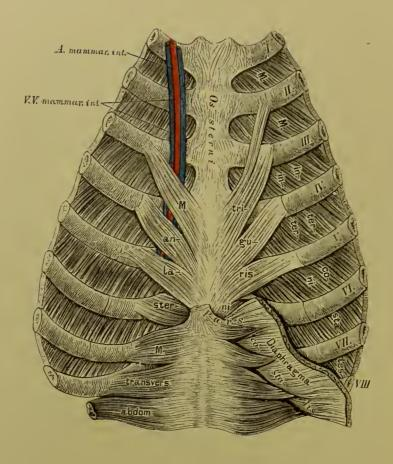
# 215. Die Brustmuskeln. Zweite und dritte Schichte.

Zweite Schichte:

M. subclavius, Sehlüsselbeinmuskel. Urspr.: an der unteren Seite des Schlüsselbeins. Insert.: am oberen Rande des ersten Rippenknorpels. (Hauptsächlich Hälter des Schlüsselbeins.)

M. pectoralis minor, der kleine Brustmuskel. Urspr.: mit drei bis vier Zacken an der äusseren Fläche der zweiten bis fünften Rippe. Insert.: am Processus coracoideus des Schulterblattes. (Niederzieher der Schulter, Heber der Rippen.)

'M. serratus anticus major, der grosse sägeförmige Muskel. Urspr.: mit acht bis neun Zacken von der äusseren Fläche der acht bis neun oberen Rippen. Insert.: am inneren Rande des Schulterblattes (siehe Fig. 223). (Bei fixirten Rippen Vorwärtszieher und Hälter des Schulterblattes.)



# 216. Musculus triangularis sterni seu sterno-costalis.

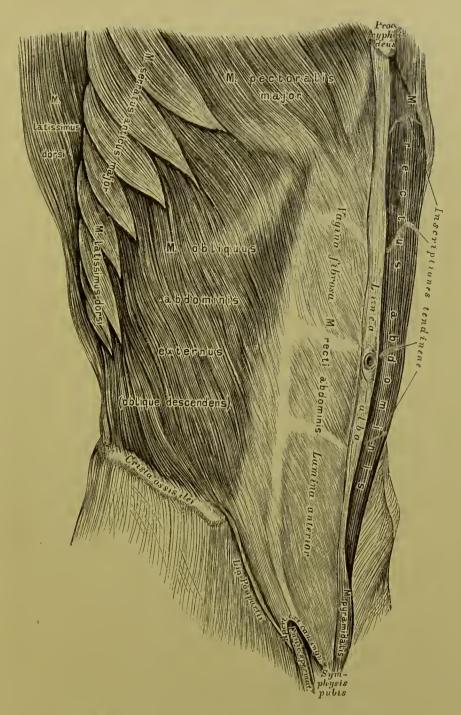
Der Brustmuskeln dritte Schichte:

Musculi intercostales externi, die äusseren Zwischenrippenmuskeln. Urspr.: untere Ränder der eilf oberen Rippenknochen. Insert.: obere Ränder der nächstfolgenden Rippen bis zum Beginne der Rippenknorpel; von hier an werden die Muskeln durch das aponeurotische Ligamentum coruscans ersetzt.

Musculi intercostales interni, die inneren Zwischenrippenmuskeln. Urspr.: untere Ränder der eilf oberen Rippenknochen und Rippenknorpel. Insert.: obere Ränder der nächstfolgenden Rippen in ihrer ganzen Länge.

M. triangularis sterni an der hinteren Fläche des Brustbeins und der Rippenknorpel. Urspr.: Schwertfortsatz und Körper des Brustbeins. Insert.: in flachen Zacken an der hinteren Fläche des dritten bis sechsten Rippenknorpels.

Alle diese Muskeln sind bei der Respiration thätig.

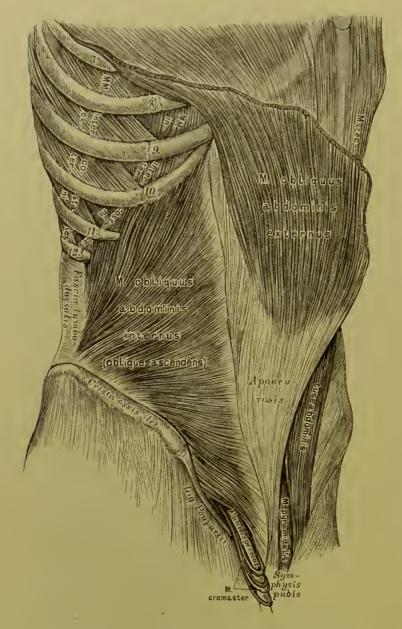


# 217. Die langen Bauchmuskeln.

M. rectus abdominis, der gerade Bauchmuskel. Urspr.: äussere Fläche des fünften bis siebenten Rippenknorpels und des Schwertfortsatzes. Insert.: oberer Rand und vordere Fläche der Schamfuge. Die von den Aponeurosen der breiten Bauchmuskeln gebildete fibröse Scheide des geraden Bauchmuskels bedeckt die ganze vordere Fläche desselben, während sie an der hinteren Fläche zwei bis drei Querfinger breit unter dem Nabel als Linea semicircularis Douglasii aufhört (siehe Fig. 219).

M. pyramidalis abdominis. Urspr.: oberer Rand der Schamfuge. lusert.: an

der Vagina fibrosa des geraden Bauchmuskels.



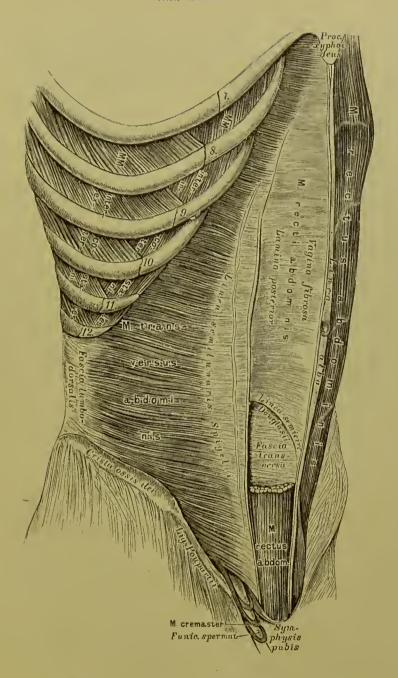
218. Die breiten Bauchmuskeln.

M. obliquus abdominis externus sen oblique descendens, der äussere schiefe Bauchmuskel. Urspr.: äussere Fläche der sieben oder acht unteren Rippen. Insert.: am Labinm externum des Darmbeinkammes und an einer breiten Aponeurose, welche sich am Ligamentum Poupartii befestigt und als Vagina fibrosa des geraden Bauchmuskels vor demselben zur Linea alba zieht. 2.5 Ctm. nach anssen von der Schamfuge befindet sich in der Aponeurose die dreieckige Oeffnung des Leistenkanals, die Apertura externa canalis ingninalis.

die Apertura externa canalis inguinalis.

M. obliquus abdominis internus seu oblique ascendens, der innere schiefe Banchmuskel. Urspr.: Labium medium des Darmbeinkammes, Spina anterior superior und äussere Hälfte des Lig. Poupartii; übergeht in die Aponenrose, welche sich in zwei Blätter spaltet, deren vor dem Rectus befindliches der ganzen Läuge der Banchwand entspricht, während das hintere Blatt nur bis zur Linea Douglasis reicht. Vom unteren Rande dieses und des queren Banchmuskels gehen sehlingenführt.

förmige Muskelbiindel zum Samenstrang herab - Musculus cremaster.

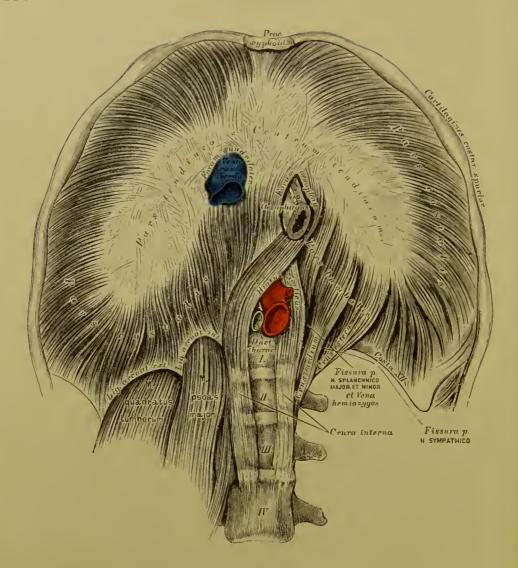


## 219. Die breiten Bauchmuskeln.

M. transversus abdominis, der quere Bauchmuskel. Urspr.: innere Fläche des siebenten bis zwölften Rippenknerpels, tiefliegendes Blatt der Fascia lumbodorsalis, Labium internum des Darmbeinkammes und äussere Hälfte des Lig. Poupartii. Insert.: an eine Aponeurose begenförmig als Linea semilunaris Spigelii; die Aponeurose verstärkt oben die hintere Wand, unten die vordere Wand der fibrösen Scheide des geraden Bauchmuskels.

M. quadratus lumborum, der viereckige Lendenmuskel (siehe Fig. 225). Urspr.: hinterer Abschnitt des Darmbeinkammes, fünfter Lendenwirbel und Lig. ileolumbale. Insert.: Querfortsätze der vier oberen Lendenwirbel und unterer Rand der

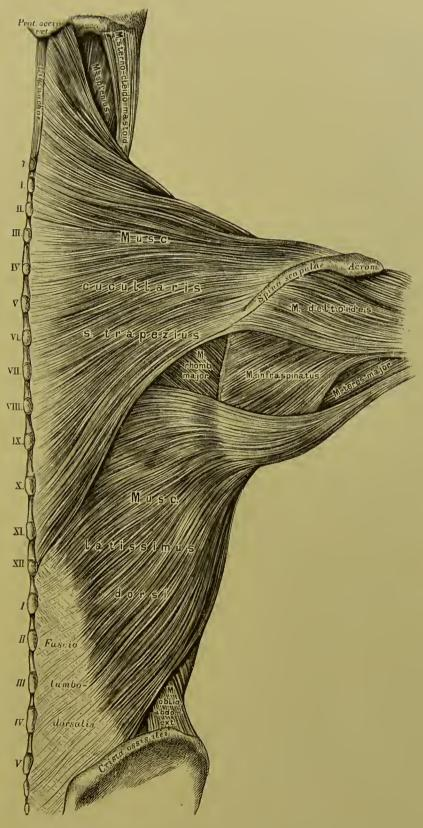
zwölften Rippe.



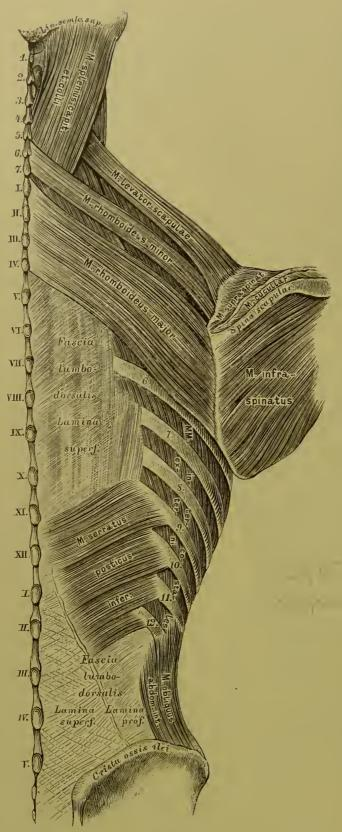
# 220. Das Zwerchfell, Diaphragma. Untere Fläche.

Das Zwerchfell besteht aus einer Pars muscularis und einer Pars tendinea. Die Pars muscularis zerfällt in die Pars lumbalis und die Pars costalis. Die Pars lumbalis wird durch drei Schenkelpaare gebildet. Das innere Schenkelpaar, Crura interna, entspringt von der Vorderfläche des III. und IV. Lendenwirbels; die Schenkel kreuzeu sich zuerst, um den Aortenschlitz, Hiatus aorticus, zu bilden, dann ein zweites Mal, wodurch das Speiseröhrenloch, Foramen ocsophageum, zu Stande kommt. Das mittlere Schenkelpaar entspringt von der Seitengegend des II. Lendenwirbels; das äussere Schenkelpaar von der Seitengegend und den Querfortsätzen des I. Lendenwirbels.

Die Pars costalis hat als Ursprung: die sechs bis sieben unteren Rippen, den Schwertfortsatz (siehe Fig. 216) und die Ligamenta arcuata Halleri. Die Pars muscularis übergeht in die Pars tendinea seu Centrum tendineum, die kleeblattförmig ist und im rechten Lappen das viereekige Foramen venosum seu quadrilaterum besitzt.



221. Die breiten Rückenmuskeln.

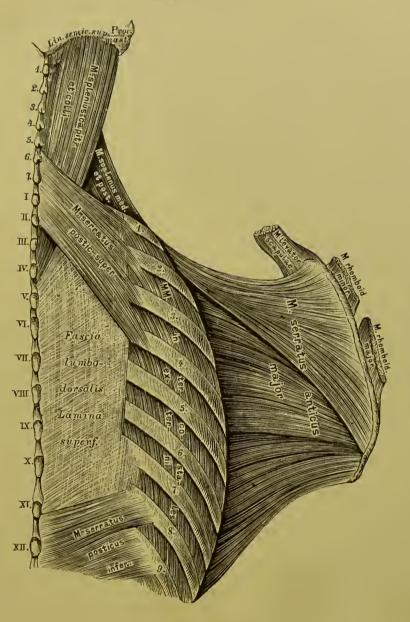


222. Die breiten Rückenmuskeln.

M. eucullaris seu trapezius, Kappenmuskel (siehe Fig. 221). Urspr.: Linea semicircularis superior, Protuberantia externa des Hinterhauptbeins, Ligamentum nuchae, Dornfortsätze des siebenten Halswirbels und aller Brustwirbel, Ligamenta interspinalia. Insert.: hinterer Rand der scapulae, innerer Rand des Acromion und Extremitas aeromialis des Schlüsselbeins. (Dreher des Schulterblattes.)

M. latissimus dorsi, der breiteste Rückenmuskel (siehe Fig. 221). Urspr.: breitschnig (Fascia lumbo - dorsalis) von den Dornfortsätzen der vier bis seehs unteren Brustwirbel, aller Lenden- und Kreuzwirbel, dem Labium externum des Darmbeinkammes und den untersten Rippen. Insert.: Spina tuberculi minoris des Oberarmbeins, vereinigt mit der Endsehne des M. teres major. (Rückwärtszieher des Armes.)

MM.rhomboideus major et minor. Urspr.: Dornfortsätze der zwei unteren Halswirbel und vier oberen Brustwirbel. Insert.: am inneren Raude des Schulterblattes. (Dreher des Schulterblattes und Anzieher desselben.)



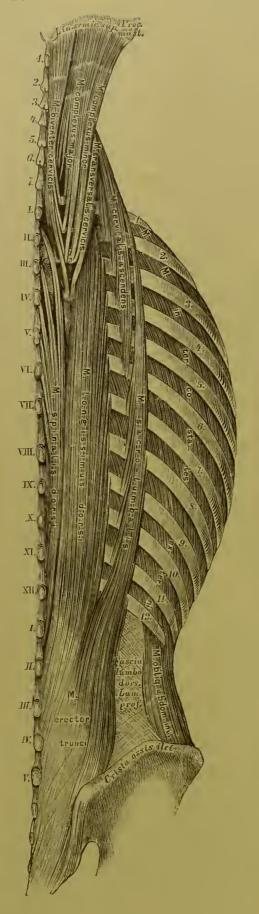
223. Die breiten Rückenmuskeln.

M. levator scapulae. Urspr.: Querfortsätze der vier oberen Halswirbel. Insert.: innerer oberer Winkel des Schulterblattes. (Hebt diesen Winkel.)

M. serratus posticus superior. Urspr.: Dornfortsätze des 6. 7. Hals- und I. H. Brustwirbels. Insert.: 2.—5. Rippe. (Rippenheber.)

M. serratus posticus inferior. Urspr.: Fascia lumbo-dorsalis in der Gegend des XI. XII. Brust- und I. II. Lendenwirbels. Insert.: an der 8.—12. Rippe. (Niederzicher dieser Rippen.)

M. splenius capitis et colli. Urspr.: Dornfortsätze des 3. Hals- bis IV. Brustwirbels. Insert.: Linea semicircularis superior des Hinterhauptbeins, hinterer Rand des Processus mastoideus des Schläfebeins; Querfortsätze der zwei oder drei oberen Halswirbel. (Dreher des Kopfes und des Halses.)



## 224. Die langen Rückenmuskeln.

M. crector trunci, der gemeinschaftliche Rückgratstrecker. Urspr.: hintere Fläche des Kreuzbeins, Tuberositas, und hinterer Theil der Crista ilei, Dornfortsätze der Lendenwirbel.

In der Gegend des I. Lendenwirbels theilt sich der Muskel in den:

- a) M. saevolumbalis s. iliocostalis, der mit zwölf Zacken an den zwölf Rippen inserirt; von den sechs bis sieben unteren Rippen kommen Verstärkungsbündel. Die analogen Bündel von den fünf bis sechs oberen Rippen vereinigen sieh zum M. cervicalis ascendens, der zu den Querfortsätzen des 6.—4. Halswirbels geht.
- b) M. longissimus dorsi inserirt mit zehn Zaeken an den Tuberculis der Rippen (ohne I. und XII.) und den Querfortsätzen der Brustwirbel. Seine Fortsetzung ist der M. transversalis cervicis; derselbe kommt von den Querfortsätzen der vier oberen Rücken- und zwei unteren Halswirbel und geht zu den Querfortsätzen der fünf oberen Halswirbel. (Beiderseits wirkend Streeker, einerseits wirkend Dreher der Wirbelsäule.)

MM. levatores costarum, die Rippenheber (Fig. 225). Urspr.: Querfortsätze des 7. Hals- bis XI. Brustwirbels. Insert.: an der nächst unteren Rippe. An den unteren Rippen sind die MM. levatores costarum longi, die zur zweitnächsten Rippe gehen.

M. biventer cervicis\*). Urspr.: mit drei bis vier Zacken von den Querfortsätzen der oberen Rückenwirbel; die Mitte des Muskels ist sehnig; über dem 6. Halswirbel wird derselbe wieder fleischig (Inscriptio tendinea) und inscrirt sich unter der Linea semicircularis superior des Hinterlauptbeins. (Rückwärtszieher des Kopfes.)

<sup>\*)</sup> Mediale Kopf des M. semispinalis capitis.

# 225. Die langen Rückenmuskeln.

M. complexus major\*) (Fig. 224). Urspr.: mit sieben Bündeln von den Querfortsätzen der vier unteren Halsund drei oberen Brustwirbel und den Gelenkfortsätzen des 3.—6. Halswirbels; Inscriptiones tendineae. Insert.: zwischen Linea semicircularis sup. und inf. des Hinterhauptbeins. (Rückwärtszieher des Kopfes.)

M. trachelo-mastoideus s. complexus minor (Fig. 224). Urspr.: Quer- und Gelenkfortsätze der vier unteren Hals- und drei oberen Brustwirbel. Insert.: hinterer Rand des Proc. mastoideus. (Rückwärtszieher und Dreher des Kopfes.)

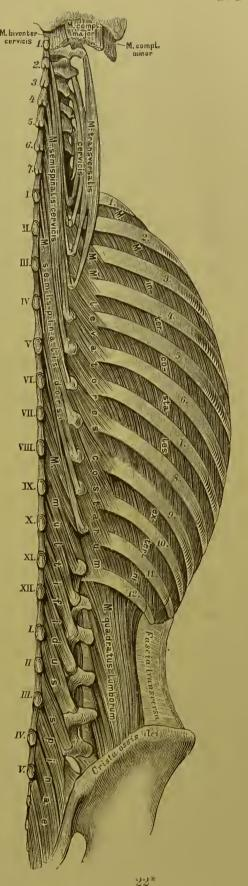
M. spinalis dorsi (Fig. 224). Urspr.: Dornfortsätze der zwei oberen Lendenund drei unteren Brustwirbel. Insert.: an den Dornfortsätzen des VIII.—II. Brustwirbels. (Streeker.)

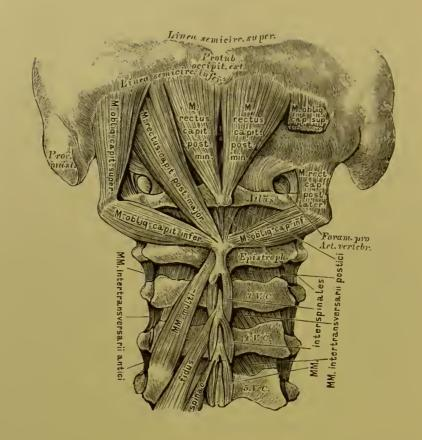
M. semispinalis dorsi. Urspr.: Querfortsätze des VI.—XI. Brustwirbels. Insert.: mit seehs Sehnen an den Dornfortsätzen des 7. Hals- und der fünf oberen Brustwirbel. (Seitwärtsbieger und Dreher der Wirbelsäule.)

M. spinalis cervicis (nicht illustrirt). Geht von den Dornfortsätzen der unteren Hals- und oberen Brustwirbel zu den Dornfortsätzen der oberen Halswirbel, ohne Atlas. (Streeker.)

M. semispinalis cervicis. Urspr.: Querfortsätze der oberen Brustwirbel. Insert.: mit vier Zacken an den Dornfortsätzen des 2.—5. Halswirbels.

 $<sup>^{\#}</sup>$ ) Lateralo Kopf des M. semispinalis capitis.





226. Die kurzen Rückenmuskeln.

M. multifidus spinac (Fig. 225). Urspr.: Gelenk- und Querfortsätze unterer Wirbel. Insert.: Dornfortsätze oberer Wirbel.

MM. interspinales. Mit Ausnahme des III. bis X. Brustwirbels zwischen je zwei Dornfortsätzen gelagert.

MM. intertransversarii, zwischen je zwei Querfortsätzen; an den Halsund Lendenwirbeln beiderseits doppelt als MM. intertransversarii antiei et postici: an den oberen Brustwirbeln fehlend, an den unteren beiderseits einfach.

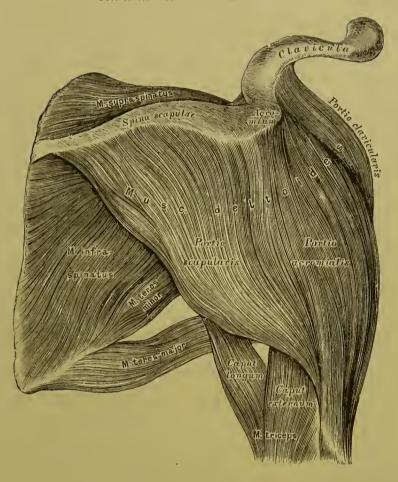
M. rectus capitis posticus major. Urspr.: Dorn des zweiten Halswirbels. Insert.: Linea semicircularis inferior des Hinterhauptheins. (Kopfstrecker.)

M. rectus capitis posticus minor. Urspr.: Tuberc. post. atlantis. Insert.: Linea semicircularis injerior des Hinterhauptbeins. (Kopfstreeker.)

M. rectus capitis posticus lateralis. Urspr.: Seitentheil des Atlas. Insert.: Processus jugularis des Hinterhauptbeins.

M. obliquus capitis superior s. minor. Urspr.: Spitze des Querfortsatzes des Atlas. Insert.: Linea semicircularis inferior des Hinterhauptbeins. (Strecker.)

M. obliquus capitis inferior s. major, Urspr.: Dornfortsatz des Epistropheus Insert.: Querfortsatz des Atlas. (Dreher des Atlas und damit des Kopfes.)



227. Die Muskeln an der Schulter.

M. deltoides, der Deltamuskel. Urspr.: an der Extrem. acromial. elaviculae als Portio elavicularis; am Acromion als Portio acromialis; an der Spina scapulae als Portio scapularis. Insert.: Tuberositas an der äusseren Fläche des Oberarmbeins, nahe dessen Mitte. (Heber des Armes.)

Auswärtsroller: a) M. supraspinatus, der Obergrätenmuskel (Fig. 228). Urspr.: Fossa supraspinata des Schulterblattes. Insert.: Tuberculum majus des Oberarmbeins. (Heber und Auswärtsroller des Armes.)

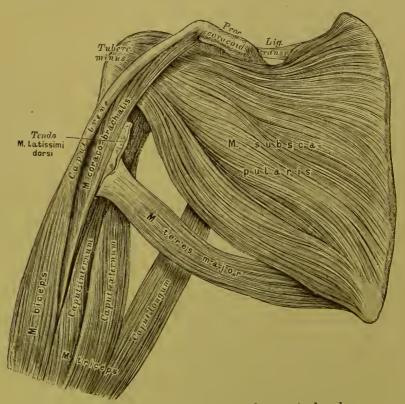
- b) M. infraspinatus, der Untergrätenmuskel (Fig. 228). Urspr.: Fossa infraspinata des Schulterblattes. Insert.: Tuberculum majus des Oberarmbeins. (Auswärtsroller und Niederzieher des Armes.)
- e) M. teres minor, der kleine runde Armmuskel (Fig. 228). Urspr.: oberer Theil des äusseren Schulterblattrandes. Insert.: Tubere. majus des Oberarmbeins. (Auswärtsroller und Niederzieher des Armes.)

Einwärtsroller: a) M. teres major, der grosse runde Armmuskel (Fig. 228). Urspr.: unterer Theil des äusseren Schulterblattrandes. Insert.: neben der Sehne des M. latissimus dorsi an der Spina tuberculi minoris. (Anzicher und Einwärtsdreher des Armes.)

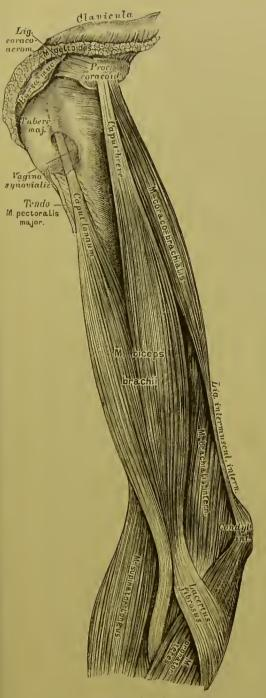
b) M. subscapularis, der Unterschulterblattmuskel. Urspr.: vordere Fläche des Schulterblattes. Insert.: Tuberculum minus des Oberarmbeins und dessen Spina. (Einwärtsroller des Armes.)



228. Die Muskeln an der Schulter.



229. Die Muskeln an der Schulter.



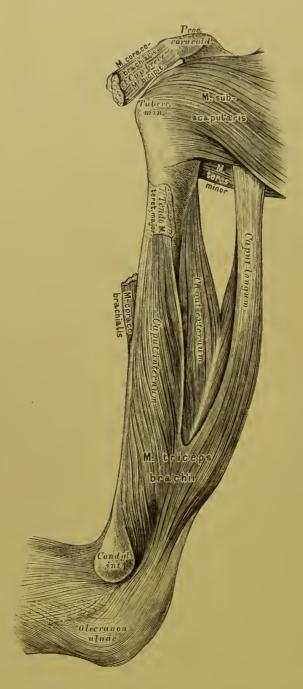
230. Die Muskeln an der vorderen Gegend des Oberarmes.



231. Die Muskeln an der vorderen Gegend des Oberarmes.

M. biceps brachii, der zweiköpfige Armmuskel. Urspr.: zweiköpfig: das Caput breve verwachsen mit dem M. coraco-brachialis am Processus coracoidens; das Caput longum vom oberen Rande der Gelenkfläche des Schulterblattes. Insert.: an der Tuberositas radii. Von der Endselme geht ein aponeurotisches Band, Lacertus fibrosus, zur Fascie des Vorderarmes. (Auswärtsdreher des pronirten Radius und Beuger des Vorderarmes.)

M. covaco-brachialis, der Rabenarmmuskel. Urspr.: Processus covacoideus Insert.: Ende der Spina tuberculi minoris in der Mitte des Oberarmbeins. Durchbohrt vom Nerv. cutan. extern. (Ein- und Vorwärtszieher des Armes.)



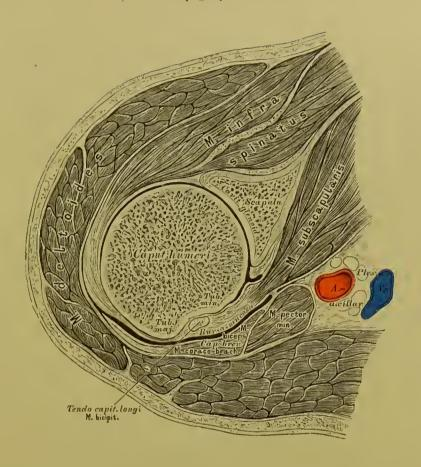
232. Die Muskeln an der hinteren Gegend des Oberarmes.

Muskeln an der vorderen Gegend des Oberarmes. Fortsetzung.

M. brachialis internus, der innere Armmuskel (siehe Fig. 231). Urspr.: mit einer äusseren und einer inneren Zaeke von der äusseren und inneren Fläche des Oberarmknochens. Insert: am Processus eoronoideus ulnae. (Beuger des Vorderarmes.)

Muskeln an der hinteren Gegend des Oberarmes: M. triceps seu extensor brachii, der dreiköpfige Streekmuskel des Armes. Urspr.: das Caput longum s. Aneonaeus longus vom äusseren Schulterblattrande unter der Cavitas glenoidalis; das Caput externum s. Anconaeus externus von der Aussenseite des Oberarmbeins; das Caput breve s. internum s. Anconaeus internus an der Innenseite des Oberarmbeins. Insert.: mit einer platten Endselme am Olecranon ulnae.

M. anconaeus quartus (siehe Fig. 240). Urspr.: Condylus externus humeri. Insert.: hinterer Winkel und äussere Fläche des oberen Ulnadrittels. (Ebenfalls Strecker.)



## 233. Horizontalschnitt durch die Schulter

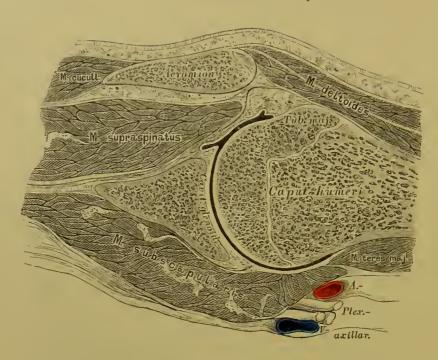
in der Höhe des Tuberculum majus.

Für sämmtliche Durchschnitte diene Folgendes zur Orientirung:

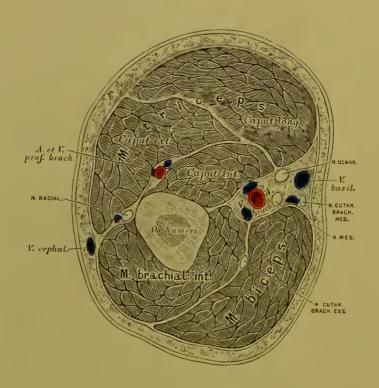
Die Schnitte wurden an hart gefrornen Leichen mittelst der Säge angefertigt und die Zeichnungen in <sup>2</sup>/<sub>3</sub> der natürlichen Grösse entworfen, nachdem die Sägefläche mit Wasser abgespült und schwach aufgethaut war.

Bei sämmtliehen Horizontalsehnitten wurden rechte Extremitäten, und zwar das untere Stück zur Zeichnung gewählt; wir schen also die Sehnitte etwa an einem vor uns stehenden Individuum rechterseits in der Vogelsicht.

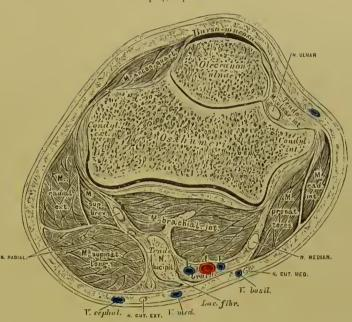
Als Horizontalschnitt wird jener bezeichnet, welcher senkrecht auf die Längsaxe des Körpers (der Extremität) fällt; als Frontalsehnitt jener, welcher den Körper (die Extremität) in eine vordere und eine hintere Hälfte theilt; als Sagittalsehnitt jener, welcher parallel mit der Medianebene geht, demnach den Körper (die Extremität) in eine rechte und linke, oder äussere und innere Hälfte trennt.



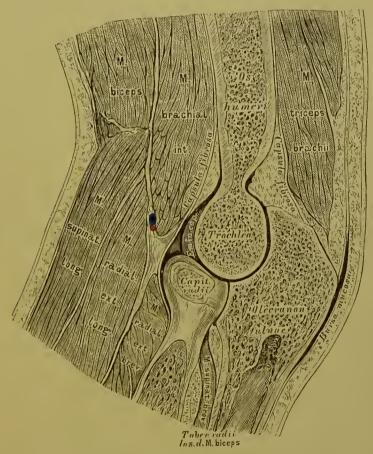
234. Frontalschnitt durch die Schulter bei horizontal gestelltem Arme.



235. Horizontalschnitt im mittleren Drittel des Oberarmes.



236. Horizontalschnitt in der Höhe der Condylen des Oberarmes.



237. Sagittalschnitt durch das Ellbogengelenk.



238. Die Muskeln an der inneren Seite des Vorderarmes.

### Erste Schichte:

M. pronator teres s. teres antibrachii, der runde Einwärtsdreher. Urspr.: Condylus internus des Oberarmbeins. Insert.: Mitte der lateralen Fläche des Radius.

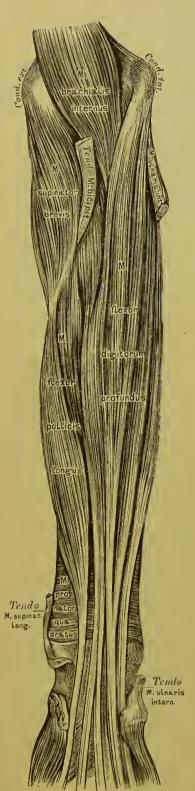
M. radialis interms s. Flexor carpi radialis, der innere Speichenmuskel. Ursprung: Condyl. intern. des Oberarmbeins. Insert.: Basis des Metacarpus indicis. (Pronator und Beuger der Hand.)

M. palmaris longus, der lange Hohlhandmuskel. Urspr.: Condyl. intern. des Oberarmbeins. Insert.: Aponeurosis palmaris. (Spanner dieser Aponeurose, Beuger der Hand.)

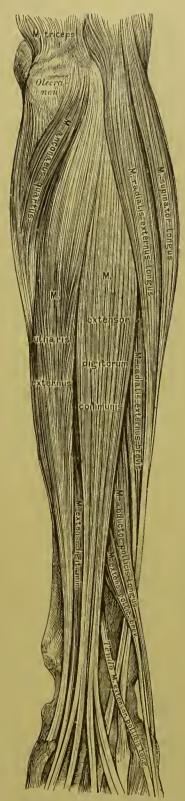
M. ulnaris internus s. Flexor carpi ulnaris, der innere Ellbogenmuskel. Urspr.: Condyl. intern. des Oberarmbeins, Olecranon, hintere Kante der Ulna. Insert.: Os pisiforme (s. Fig. 241, 248). (Beuger und Abductor der Hand.)

### Zweite Schichte:

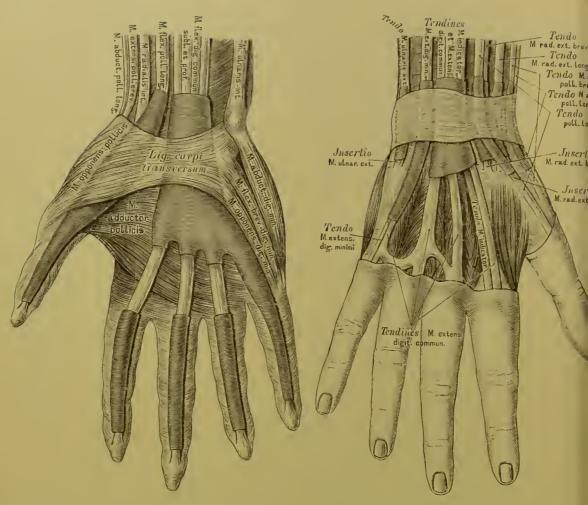
M. flexor digitorum sublimis s. perforatus, der hoehliegende Fingerbenger. Ursprung: Condyl. intern. des Oberarmbeins, Lig. laterale internum des Ellbogengelenks, Proc. coronoideus ulnae und Radius unterhalb der Tuberosität. Insert.: mit vier Sehnen, die in der Höhe der I. Phalanx von den Sehnen des tiefliegenden Beugers durchbrochen werden, an den Seitenrändern der II. Phalanx des zweiten bis fünften Fingers (s. Fig. 247, 248). (Beuger der II. Phalanx.)



239. Die Muskeln an der inneren Scite des Vorderarmes.



240. Die Muskeln an der ausseren Seite des Vorderarmes.



241. Sehnenscheidensäcke in der Hohlhand.

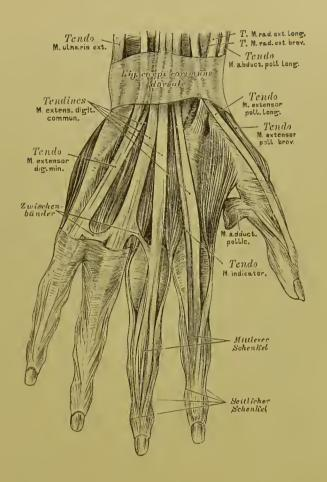
242. Sehnenscheidensäcke am Handrücken.

#### Dritte Schichte:

M. flexor digitorum profundus s. perforans, der tiefliegende Fingerbeuger. Urspr.: zwei obere Drittel der inneren Ulnafläche, Ligamentum interosseum. Insert.: in vier Schnen gespalten, die an der I. Phalanx durch die Spalten der Schnen des hochliegenden Fingerbeugers durchgeschoben sind, an der III. Phalanx des zweiten bis fünften Fingers. (Beuger der III. Phalanx.) — In der Hohlhand entspringen von den Radialrändern der Schnen die Musculi lumbricales, welche zu den Radialrändern der ersten Fingerglieder und von da in die Rückenaponeurose der Finger gehen (s. Fig. 247, 248).

M. flexor pollicis longus, der lange Beuger des Daumens. Urspr.: innere Fläche des Radius. Insert.: II. Phalanx des Daumens (s. Fig. 247, 248).

M. pronator quadratus, der viereckige Einwürtsdreher. Urspr.: innere und hintere Fläche der Ulna. Insert.: innere Fläche des Radius (s. Fig. 246).



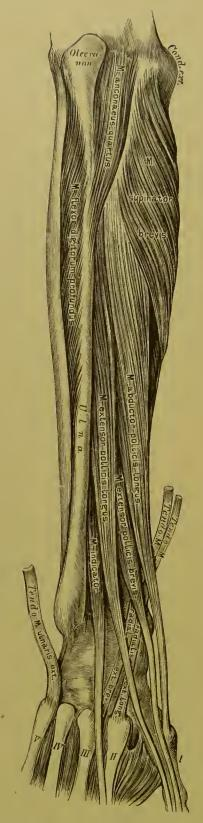
### 243. Die Strecksehnen am Handrücken.

M. supinator longus s. brachio-radialis longus, der lange Auswärtsdreher (Fig. 238). Urspr.: unteres Drittel der äusseren Kante des Oberarmbeins. Insert.: unteres Ende des Radius oberhalb des Processus styloideus. (Hauptsächlich Beuger des Vorderarmes.)

M. supinator brevis s. brachio-radialis brevis, der kurze Auswärtsdreher (Fig. 244). Urspr.: Condylus externus des Oberarmbeins, Lig. annulare radii. Insert.: innere Fläche des Radius unterhalb der Tuberosität. (Kräftiger Supinator.)

M. radialis externus longus s. Extensor carpi radialis longus, der lange äussere Speichenmuskel (Fig. 240, 244). Urspr.: oberhalb des Condyl. externus humeri. Insert.: Basis metacarpi indicis. (Streeker und Adduetor der Hand.)

M. radialis externus brevis s. Extensor carpi radialis brevis, der kurze äussere Speichenmuskel (Fig. 240, 244). Urspr.: Condyl. externus humeri und Lig. annulare radii. Insert.: Basis metacarpi digiti medii. (Streeker und Addnetor der Hand.)



244. Die Muskeln an der äusseren Seite des Vorderarmes.

M. extensor digitorum communis, der gemeinschaftliche Fingerstreeker (s. Fig. 240, 243). Urspr.: Condyl. extern. humeri und Fascia antibrachii. Insert.: mit vier Schnen am Rücken der I. Phalanx, in der Aponeurose des zweiten bis fünften Fingers. Die Aponeurose spaltet sich in drei Schenkel, deren mittlerer an der II. Phalanx, deren seitliche an den Seitenrändern der III. Phalanx befestigt sind.

M. extensor digiti minimi, der eigene Streeker des kleinen Fingers (Fig. 240, 243). Gleicher Ursprung mit dem gemeinschaftlichen Fingerstrecker; die Endsehne verschmilzt mit der vierten Endschne des gemeinschaftlichen Fingerstreckers.

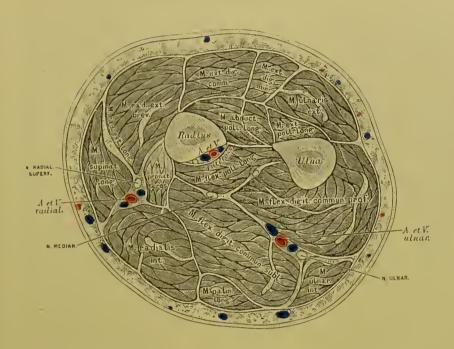
M. ulnaris externus s. Extensor carpi ulnaris, der äussere Ellbogenmuskel (Fig. 240). Urspr.: Condyl. extern. humeri und Fascia antibrachii. Insert.: Basis metacarpi digiti minimi. (Streeker und Abduetor der Hand.)

M. abductor pollicis longus, der lange Abzieher des Daumens. Urspr.: Mittlerer Theil der äusseren Ulnafläche, äussere Fläche des Lig. interosseum und des Radius. Insert.: Basis metacarpi pollicis.

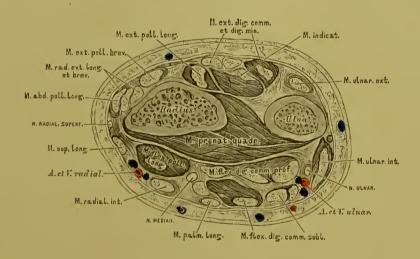
M. extensor pollicis brevis, der kurze Streeker des Daumens. Urspr.: wie der des vorigen. Insert.: Dorsalaponeurose des I. Daumengliedes (Fig. 243).

M. extensor pollicis longus, der lange Streeker des Daumens. Urspr.: Crista ulnae und Ligamentum interosseum. Insert.: Dorsalaponeurose des Daumens (Fig. 243).

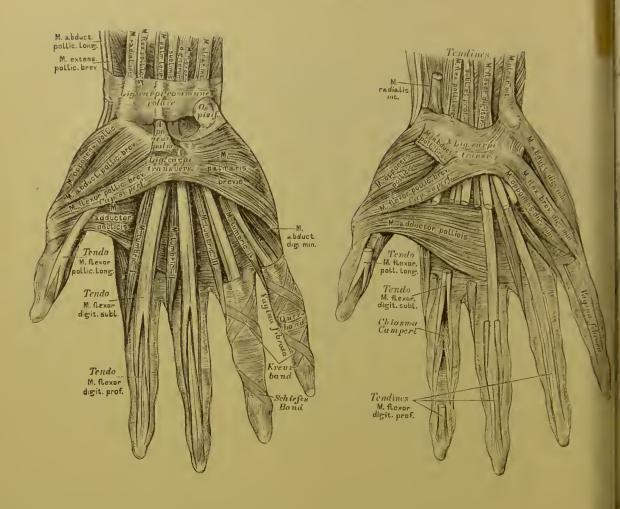
M. indicator s. extensor indicis proprius, der eigene Strecker des Zeigefingers. Urspr.: Crista und äussere Fläche der Ulna; versehmilzt mit der Zeigefingersehne des M. extensor digitorum communis (Fig. 243).



245. Horizontalschnitt im mittleren Drittel des Vorderarmes.



246. florizontalschnitt im unteren Drittel des Vorderarmes.



247. Die Muskeln an der Hand. 248. Die Muskeln an der Hand

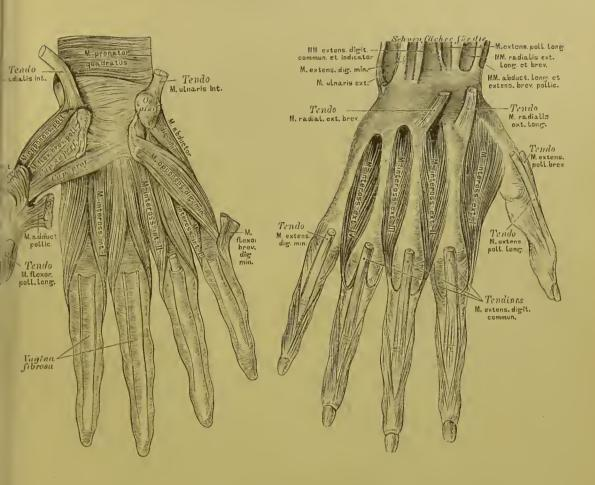
Die Muskeln des Daumenballens, Thenar:

M. abductor pollicis brevis, der kurze Abzieher des Danmens. Urspr.: Lig. carpi transversum. Insert.: Radialrand der Basis 1. phalangis pollicis.

M. opponens pollicis, der Gegensteller des Daumens. Urspr.: Lig. carpi transversum. Insert.: Radialrand und Capitulum metacarpi pollicis.

M. flexor pollicis brevis, der kurze Beuger des Daumens. Urspr.: zweiköpfig; der oberflächliche Kopf vom Lig. carpi transversum: der tiefe Kopf vom Os multangulum majus, Os capitatum, Os hamatum (Fig. 249). Insert.: Basis I. phalangis pollicis.

M. adductor pollicis, der Zuzicher des Daumens. Urspr.: breit vom Metacarpus digiti medii. Insert.: zugespitzt am inneren Sesambein des ersten Daumengelenks.



D. Die Muskeln an der Hand. 250. Die Muskeln an der Hand.

Die Muskeln des Kleinfingerballens, Hypothenar:

M. palmaris brevis (Fig. 247). Urspr.: Aponeurosis palmaris. Insert.: Hant am Ulnarrande der Hand.

M. abductor digiti minimi (Fig. 248). Urspr.: Os pisiforme. Insert.: Basis I. phalangis und Aponeurosis dorsalis des kleinen Fingers.

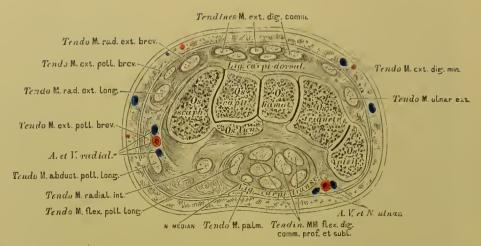
M. flexor brevis dig. min. (Fig. 248). Urspr.: Lig. carpi transvers. und Haken des Os hamatum. Insert.: wie die des vorigen.

M. opponens dig. min. Urspr.: wie der des M. flexor brevis. Insert.: Mittelstück und Köpfehen des Mittelhandknochens des kleinen Fingers.

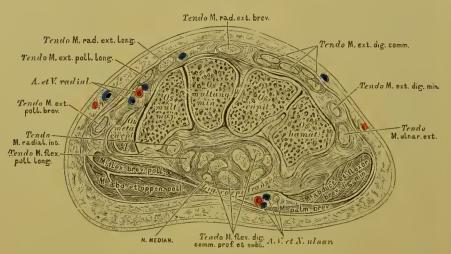
Die Zwischenknochenmuskeln, Musculi interossei.

Drei Musculi interossei interni s. volares. Urspr.: des I. von der Ulnarfläche des Metacarpus indicis: des II. von der Radialfläche des Metacarpus digit. quarti; des III. von der Radialfläche des Metacarpus digit. quinti. Insert.: Rückenaponeurose der Phalanx I. (Adductoren.)

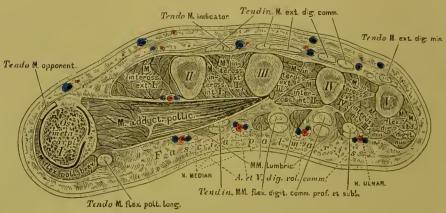
Vier Musculi interossei externi s. dorsales. Urspr.: zweiköpfig von den einander zugekehrten Flächen der vier Mittelhandknochen. Insert.: Rückenaponeurose des zweiten, dritten und vierten Fingers. (Abductoren.)



251. Horizontalschnitt durch die erste Reihe der Handwurzelknochen.



252. Horizontalschnitt durch die zweite Reihe der Handwurzelknochen.



253. Horizontalschnitt durch die Mittelhand.



254. Die Fascie der oberen Extremität an der Beugeseite.



255. Die Fascie der oberen Extremität an der Streckseite.



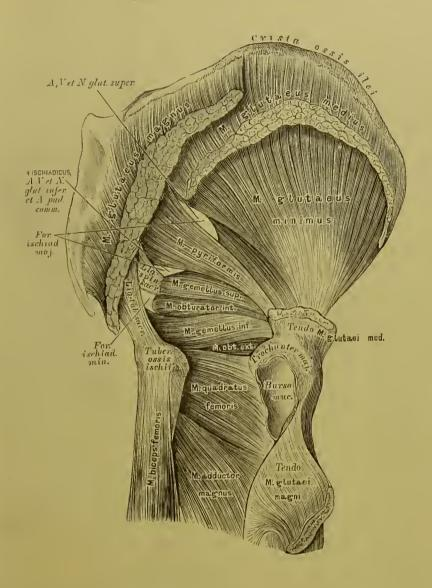
256. Die äusseren Muskeln der Hüfte.

• M. glutaens maximus s. magnus, der grosse Gesässmuskel. Urspr.: vom hinteren Theile der änsseren Lefze der Crista ossis ilei, von der Fascia lumbo-dorsalis, vom Steissbein und vom Lig. tuberoso-sacrum. Insert.: breitsehnig an der Linea aspera femoris und an der Fascia lata. (Abductor und Rückwärtszieher des Schenkels. Beckenhälter.)

M. glutaens medius, der mittlere Gesässmuskel. Urspr.: vorderer Theil der äusseren Lefze der Crista ossis ilei und äussere Darmbeinfläche. Insert.: Spitze und äussere Fläche des Trochanter major. (Abductor und Einwärtsdreher des Schenkels. Beckenhälter.)

M. glutaeus minimus, der kleine Gesässmuskel (Fig. 257). Urspr.: änssere Darmbeinfläche. Insert.: Spitze des Trochanter major. (Abductor und Einwärtsdreher des Schenkels. Beckenhälter.)

M. tensor fasciae latae (Fig. 259). Urspr.: Spina anterior superior des Darmbeins. Insert.: Fascia lata. (Spanner der Fascie und Einwärtsdreher des Schenkels.)



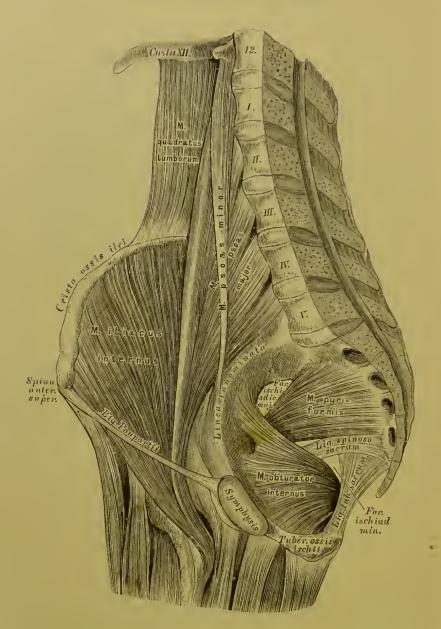
257. Die äusseren Muskeln der Hüfte.

M. pyriformis. Urspr.: in der kleinen Beckenhöhle an der vorderen Fläche des Krenzbeins und am unteren Theile der Symphysis sacro-iliaca; geht durch das Foramen ischiadicum majus und inserirt an der Spitze des Trochanter major. (Auswürtsdreher des Schenkels.)

M. obturator internus. Urspr.: in der kleinen Beckenhöhle am Rande des Foramen obturatum und an der Innenfläche des Lig. obturatorium; geht durch das Foramen ischiadicum minus und erhält die Musculi gemelli zu Begleitern, deren oberer von der Spina ossis ischii, deren unterer von der Tuberositas ossis ischii kommt. Gemeinsame Insertion: Fossa trochanterica. (Answärtsdreher des Schenkels.)

M. quadratus femoris. Urspr.: Tuber. ossis ischii. Insert.: Ranhigkeit an der hinteren Fläche des Schenkelbeins unterhalb des Trochanter major. (Auswärtsdreher des Schenkels.)

M. obturator externus (Fig. 260). Urspr.: innerer und unterer Umfang des Foramen obturatum. Insert.: Fossa trochanterica. (Auswärtsdreher des Schenkels.)



258. Die inneren Muskeln der Hüfte.

M. ilio-psoas besteht aus zwei Köpfen: dem längeren, medialen, auch M. psoas major, und dem kürzeren, lateralen, auch M. iliacus internus genannt.

M. psoas major, der grosse Lendenmuskel Urspr.: Seitenfläche und Querfortsätze des 12. Brustwirbels, der vier oberen oder aller Lendenwirbel und Zwischenwirbelscheiben. Insert: Trochanter minor. (Auswärtsdreher und Benger des Scheukels.)

M. iliacus internus, der innere Darmbeinunskel. Urspr.: innere Lefze der Crista ossis ilei und die ganze innere Fläche des Darmbeins. Insert: an die Sehne des M. psoas major. (Answärtsdreher und Beuger des Schenkels.).

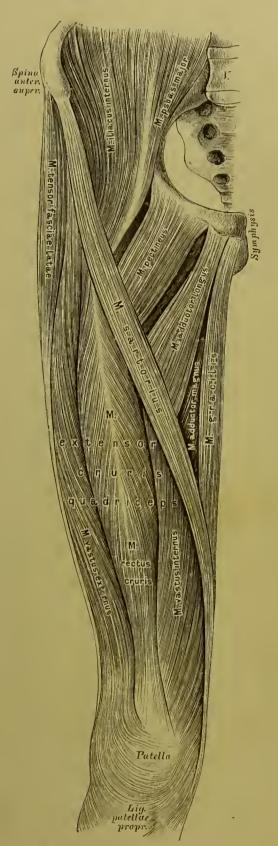
M. psoas minor. Urspr.: letzter Rücken- und erster Lendenwirbel Insert.: Grenzlinie des grossen und kleinen Beckens der Fascia iliaca. (Spanner dieser Fascie.) Nicht constant.

M. coccygeus. (Nicht illustrirt.) Von der Spina ossis ischii längs des Lig spinoso-sacrum zum Steissbein Gewöhnlich dürftig entwickelt.

M. sartorius, der Schneidermuskel. Urspr.: Spina anterior superior des Darmbeins. Insert.: an und unter der Tuberositas patellaris tibiae. (Adductor der Extremität, Beuger und hierauf Einwärtsdreher des Untersehenkels.)

M. extensor cruris quadriceps, der vierköpfige Unterschenkelstreeker. Ursprünge: a) Caput longum s. M. rectus cruris von der Spina anterior inferior des Darmbeins und von der rauhen Grube oberhalb der Pfanne; b) Caput externum s. M. vastus externus von der Basis des Trochanter major und vom Labium externum der Linea aspera femoris; e) Caput internum s. M. vastus internus vom Labium internum der Linea aspera; d) Caput medium s. M. vastus medius (s. Fig. 262) von der Linea intertrochanterica anterior und der Vorderfläche des Schenkelbeins. Insert.: gemeinschaftlich an der Kniescheibe und mittelst des Ligamentum patellae proprium an der Tuberositas patellaris tibiac.

Musculi suberurales (nicht illustrirt), dünne Muskelbündel, die von der Vorderfläche des Femur im unteren Drittel zur Kniegelenkkapsel ziehen und diese spannen.



**259.** Die Muskeln an der vorderen Peripherie des Oberschenkels.



**260.** Die Muskeln an der inneren Peripherie des Oberschenkels.

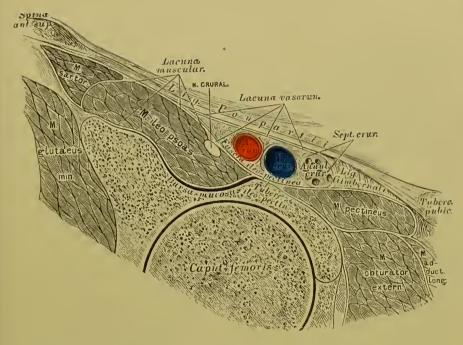
M. gracilis, der schlanke Schenkelmuskel. Urspr.: ander Symphysis ossiam pubis. Insert.: an der Innenfläche des Schienbein unterhalb der Tuberositas patellaris tibiae. (Zuzieher der Extremität und Einwärtsdreher des Unterschenkels bei gebeugtem Knie.)

M. adductor longus, der lange Zuzieher des Schenkels. Ursprung: am Schambeine unter dem Tuberculum pubicum. Insert.: innere Lefze der Linea aspera femoris.

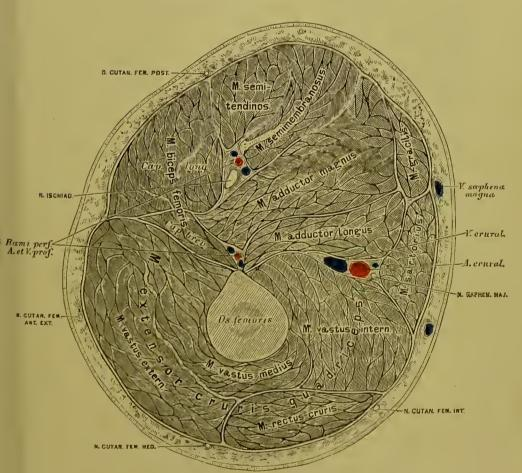
M. adductor brevis, der kurze Zuzieher des Sehenkels. Ursprung: absteigender Schambeinast. Insert.: innere Lefze der Linea aspera femoris.

M. adductor magnus. der grosse Zuzieher des Schenkels. Urspr.: absteigender Schambein-, aufsteigender Sitzbeinast und Tuber ischii. Insert.: Linea aspera femovis.

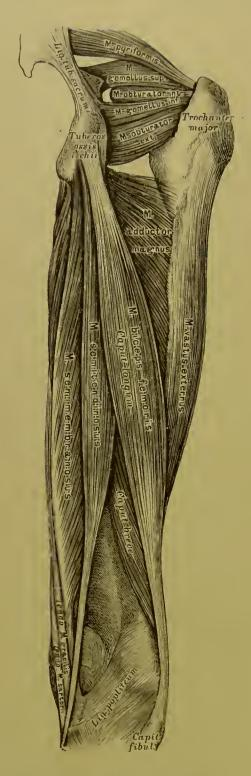
M. pectineus s. M. adductor minimus, der Kammmnskel (Fig. 259). Urspr.: Crista ossis pubis und Ligamentum pubicum. Insert.: innere Lefze der Linea aspera femoris, unter dem Trochanter minor. (Adductor und Auswärtsdreher des Schenkels.)



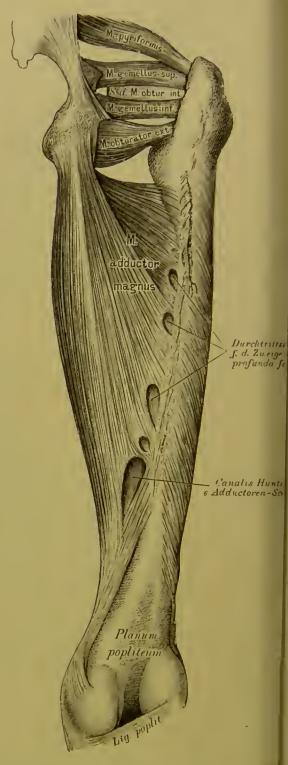
261. Durchschnitt durch den Oberschenkel in der Ebene des Ligamentum Poupartii.



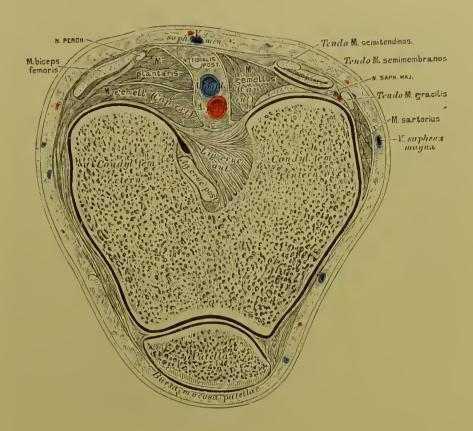
262. Horizontalschnitt im mittleren Drittel des Oberschenkels.



263. Die Muskeln an der hinteren Peripherie des Oberschenkels.



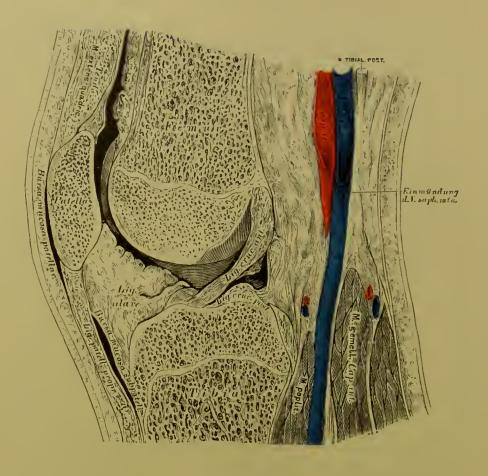
264. Die Muskeln an der hinteren Peripherie des Oberschenkels nach Entfernung der Beuger.



265. Horizontalschnitt in der Höhe der Condylen des Oberschenkels.

M. biceps femoris, der zweiköpfige Schenkelmuskel. Urspr.: Tuber ischii; verläuft schief gegen die äussere Kniegelenkseite als Caput longum; zu diesem tritt von der äusseren Lefze der Linea aspera femoris das Caput breve. Insert.: mit einer gemeinschaftlichen Schne am Capitulum fibulae. (Beuger des Unterschenkels.)

M. semitendinosus, der halbsehnige Sehenkelmuskel. Urspr.: Tuber ischii, gemeinsam mit dem langen Kopfe des Biceps femoris. Insert.: mit einer langen runden Sehne an der inneren Fläche des Schienbeins neben der Spina tibiae. (Beuger des Unterschenkels.)



266. Sagittalschnitt durch das Kniegelenk.

M. semimembranosus, der halbhäutige Schenkelmuskel. Urspr.: Tuber ischii; die Schne beginnt in der Mitte des Oberschenkels, an dieselbe setzen sich seitlich die Fleischbündel an. Insert.: Innere Schienbeinfläche am oberen Ende derselben. (Beuger des Unterschenkels, kräftiger Beckenhälter.)

Die Muskeln an der vorderen Seite:

M. tibialis anticus, der vordere Sehienbeinmuskel. Urspr.: Condylus externus und änssere Fläche des Sehienbeins, Lig. interosseum und Fascia cruris. Insert.: erstes (inneres) Keilbein und Basis metatarsi hallucis (Fig. 272). (Beuger des Fusses, Heber des inneren Fussrandes.)

M. extensor hallucis longus, der lange Streeker der grossen Zehe. Urspr.: Mittelstück der inneren Wadenbeinfläche, Lig. interosseum. Insert.: Phalanx II. hallucis (Fig. 272).

M. extensor digitorum communis longus, der lange gemeinsehaftliche Zehenstreeker. Urspr.: Köpfehen und vordere Kante des Wadenbeins, Condylus externus tibiae, Lig. interosseum. Insert.: mit vier Sehnen in der Rückenaponenrose der Zehen und mit einer fünften Sehne an der Basis ossis metatarsi V. Ist das Fleisch dieser fünften Selme höher oben abgetrennt, dann spricht man von einem M. peroneus tertius (Fig. 272).

Die Muskeln an der äusseren Seite:

M. peroneus longus, der lange Wadenbeinmuskel (Fig. 269). Urspr.: mit zwei Köpfen vom Capitulum fibulae und vom Wadenbeine bis zu dessen unterem Viertel. Insert.: mit schief über die Planta pedis laufender Sehne am ersten (inneren) Keilbein und an der Basis ossis metatarsi I. et II. (Fig. 276 und 277). (Strecker und Abzieher des Fusses.)

M. peroneus brevis, der kurze Wadenbeinmuskel. Urspr.: vom zweiten Drittel des Wadenbeins an bis zum äusseren Knöchel. Insert.: Tuberositas ossis metatarsi V. (Fig. 272). (Strecker und Abductor des Fusses.)



267. Die Muskeln an der vorderen und änsseren Seite des Unterschenkels.



268. Die Muskeln an der hinteren Seite des Unterschenkels.

### Hochliegende Schichte:

M. gemellus surae s. gastrocnemius, der Zwillingsmuskel der Wade. Urspr.: mit
zwei Köpfen oberhalb des Condylus externus und internus femoris. Insert.: Tendo Achillis und
mittelst dieser am Fersenbeinhöcker. (Streeker des Fusses.)

M. soleus, der Schollenmuskel. Urspr.: Köpfehen und hintere Kante des Wadenbeins, Linea poplitea und innerer Rand des Schienbeins (Fibular- und Tibialportion). Insert.: mittelst der Achillessehne am Fersenbeinhöcker. (Strecker des Fusses.)

M. plantaris, der lange Wadenmuskel. Urspr.: Condylus externus des Schenkelbeins. Insert.: mit einer langen sehmalen Schne an der Tendo Achillis und an der hinteren Fläche der Sprunggelenkkapsel. (Schwacher, zuweilen fehlender Hilfsmuskel der Strecker des Fusses.)

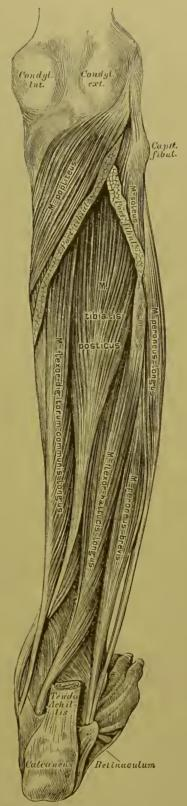
## Tiefliegende Schichte:

M. popliteus, der Kniekehlenmuskel.
Urspr.: Condylus externus femoris und Fibrocartilago interarticularis externa des Kniegelenks. Insert.: innere Kante des Schienbeins. (Beuger und Einwärtsdreher des Unterschenkels.)

M. tibialis posticus, der hintere Schienbeinmuskel. Urspr.: hintere Fläche des Schienbeins, Lig. interosseum und innerer Winkel des Wadenbeins. Insert.: Tuberositas ossis navicularis (Fig. 276, 277). (Streeker und Zuzieher des Fusses, Heber des inneren Fussrandes.)

M. flexor digitorum communis longus s. perforans, der lange Beuger der Zehen. Urspr. des langen Kopfes: hintere Schienbeinfläche. Urspr. des kurzen Kopfes: in der Mitte der Fusssohle von der unteren und inneren Fläche des Fersenbeins als Caro quadrata Sylvii (Fig. 275). Insert.: mit vier Schnen, von welchen die M. lumbricales entspringen, an der Phalanx III. der vier äusseren Zehen; in der Höhe der Phalanx I. durchbrechen dieselben die Schnen des M. flexor digit. comm. brevis.

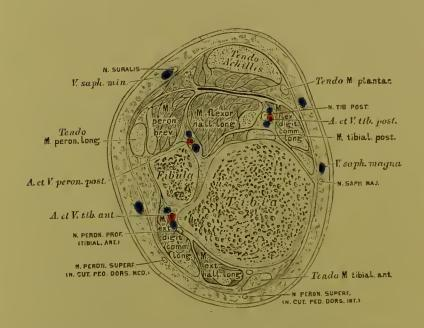
M. flexor hallucis longus, der lange Beuger der grossen Zehe. Urspr.: zwei untere Drittel des Wadenbeins. Insert.: Phalanx II. hallucis (Fig. 274).



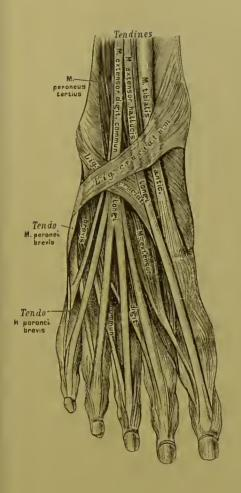
**269.** Die Muskeln an der hinteren Seite des Unterschenkels.

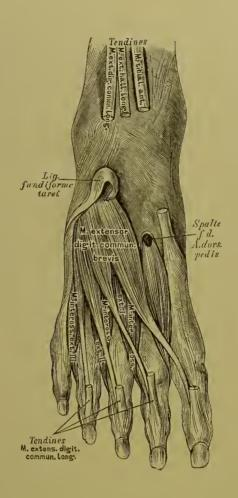


270. Horizontalschnitt im mittleren Drittel des Unterschenkels.



271. Horizontalschnitt in der Höhe der Malleolen des Unterschenkels.





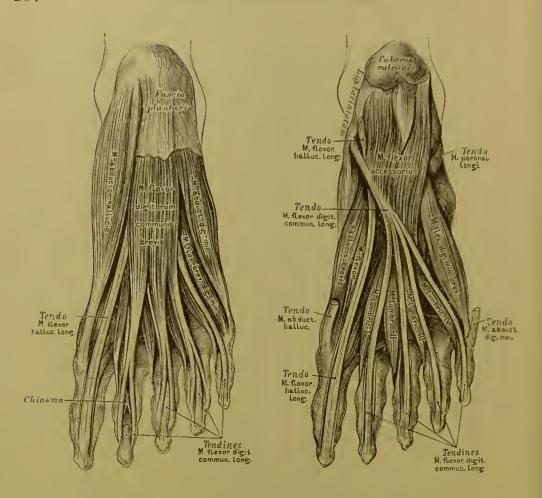
272. Die Muskeln an der Dorsalseite des Fusses.

273. Die Muskeln an der Dorsalseite des Fusses.

M. extensor digitorum communis brevis, der kurze Streeker der Zehen. Urspr.: obere Fläche des Fersenbeins. Insert.: mit vier platten Schnen gemeinsam mit den vier Sehnen des M. extensor digitorum communis longus an der Rückenaponeurose der vier inneren Zehen.

Fig. 272 zeigt das *Ligamentum eruciatum*, dessen oberer Sehenkel vom inneren Knöchel zur äusseren Fersenbeinfläche, dessen unterer Sehenkel vom Kahnbein und inneren Keilbein zum äusseren Knöchel geht.

Fig. 273 illustrirt das *Ligamentum fundiforme tarsi* von Retzius, welches das Sehnenbündel des *M. extensor digitorum communis longus* aufnimmt; dasselbe kommt aus — und geht in den *Sinus tarsi*.



274. Die Muskeln an der Plantarseite des Fusses.

275. Die Muskeln an der Plantarseite des Fusses.

#### Die Muskeln am inneren Fussrande:

M. abductor hallucis. Urspr.: Tuberositas und innere Fläche des Fersenbeins, Lig. laciniatum s. annulare internum. Insert.: Phalanx I. hallucis und inneres Sesambein der grossen Zehe.

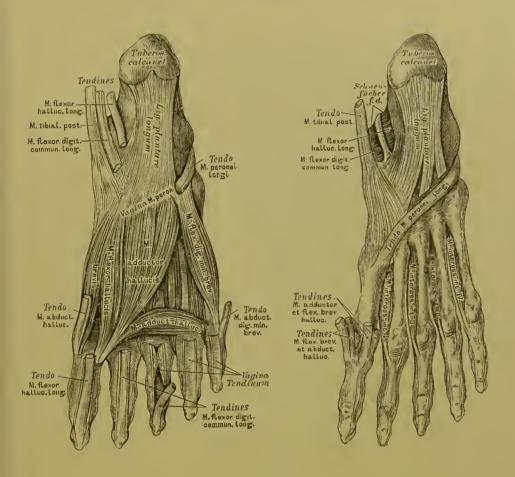
M. flexor brevis hallucis. Urspr.: Keilbeine und Plantarbänder zwischen Tarsus und Metatarsus. Insert.: in zwei Portionen an beiden Sesambeinen.

M. adductor hallucis. Urspr.: zweiköpfig (Fig. 276) a) von der Basis ossis metatarsi II. III. IV. und von der fibrösen Scheide der Schne des M. peroneus longus; b) von der unteren Kapselwand der Articulatio metatarso-phalangea IV., selten V. Insert.: gemeinsam am äusseren Scsambein.

#### Die Muskeln am äusseren Fussrande:

M. abductor digiti minimi. Urspr.: untere Fersenbeinfläche und Fascia plantaris. Insert.: Aussenfläche der Phalanx l. digiti minimi.

M. flexor brevis digiti minimi. Urspr.: Lig. calcanco-cuboideum und Basis ossis metatarsi V. Insert.: untere Kapselwand der Articul, metatarso-phalangea dig. V.



276. Die Muskeln an der Plantarseite des Fusses. Plantarseite des Fusses.

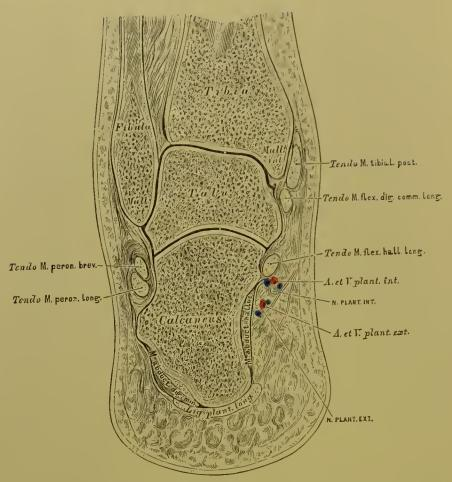
## Die Muskeln in der Mitte des Plattfusses:

M. flexor digitorum communis brevis s. perforatus. Urspr.: Aponeurosis plantaris und Tuber calcanei. Insert.: in vier Sehnen gespalten, die in der Höhe der Phalanx I. von den Sehnen des M. flex. dig. comm. longus durehbrochen werden, an den Seitenflächen der Phalanx II. der vier äusseren Zehen. Unter diesem Muskel liegt: die Caro quadrata Sylvii, der kurze Kopf des M. flex. dig. comm. longus.

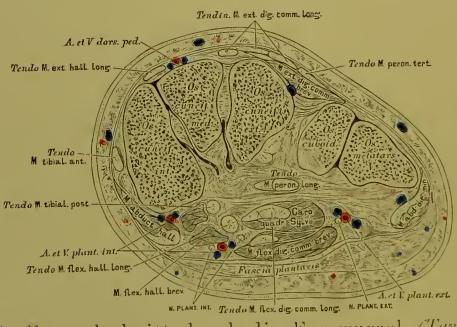
#### Die Zwischenknochenmuskeln:

Drei *Musculi interossei externi* (Fig. 273). Urspr.: zweiköpfig von den einander zugekehrten Flächen der *Ossa metatarsi II. III. IV.* Insert.: äussere Seite der *Phalanges II. III. IV.* Abduetores.

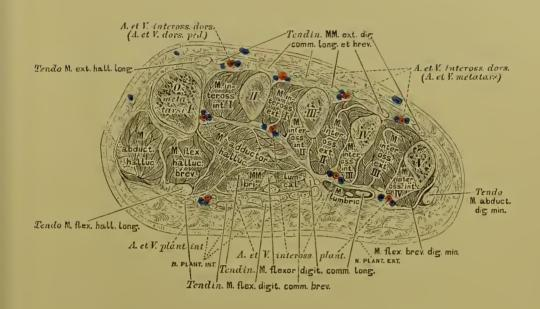
Vier Musculi interossei interni (Fig. 277). Urspr.: innere Flüchen der Ossa metatarsi in allen vier Zwischenknochenräumen. Insert.: innere Seite der Phalanges II. III. IV. V. Adductores.



278. Frontalschnitt durch das Sprunggelenk.



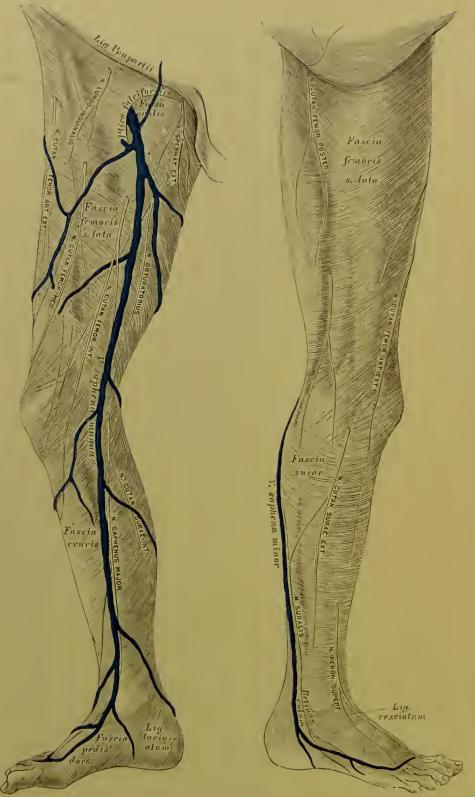
279. Frontalschnitt durch die Fusswurzel (Tarsus).



280. Frontalschnitt durch den Mittelfuss (Metatarsus).



281. Sagittalschnitt durch den Fuss, in der Ebene der zweiten Zehe. 1/2 nat. Grösse.



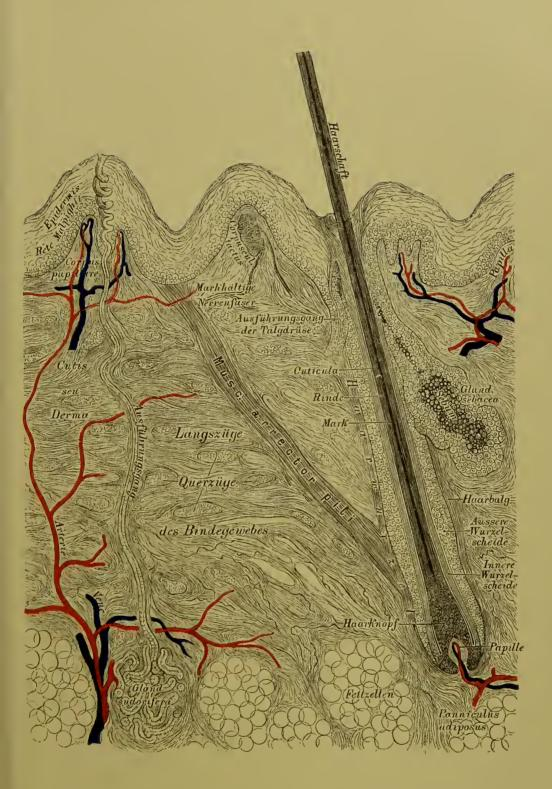
282. Die Fascie der un- 283. Die Fascie der unteren Extremität au der teren Extremität an der inneren Seite.

äusseren Seite.

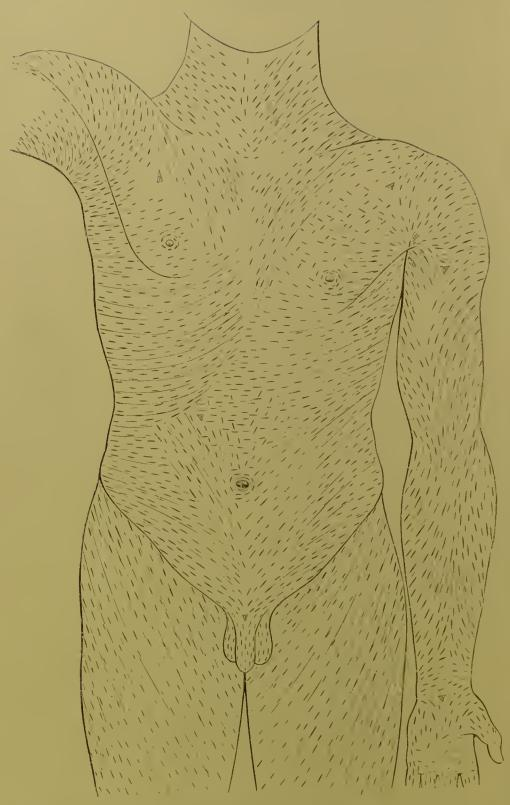
# Ш.

# SINNESWERKZEUGE.



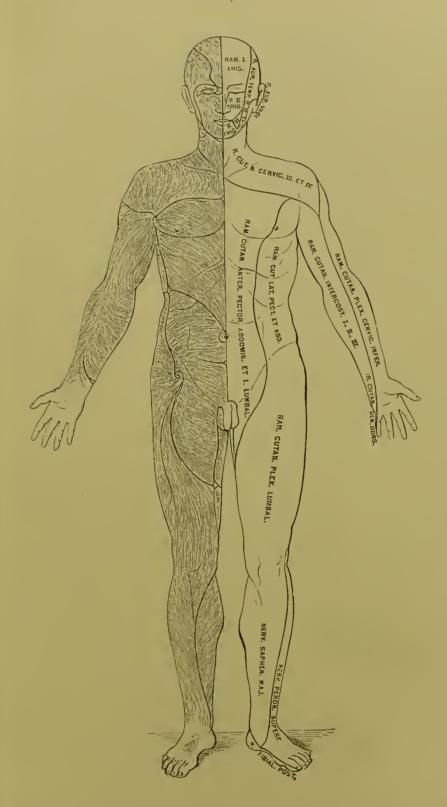


284. Senkrechter Schnitt durch die Haut. (Schematisch.)

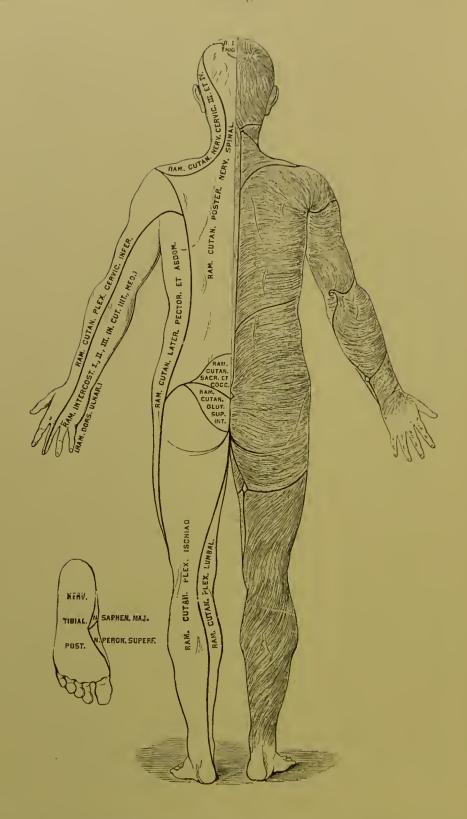


285. Die Spaltrichtungen der Haut. Nach C. Langer.

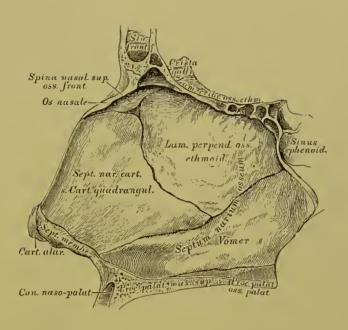
Mit cylindrischen Instrumenten, z. B. einer Schusterahle, erzeugte Stiche inder Haut nehmen unmittelbar nach Zurückziehung des Instrumentes an den meisten Stellen eine Spaltform an. Die Spaltrichtungen entsprechen den Hauptrichtungen der Bindegewebsbündel der Haut.



286. Die Richtung der Haare und die Verästlungsbezirke der Hautnerven. Nach C. Aug. Voigt.



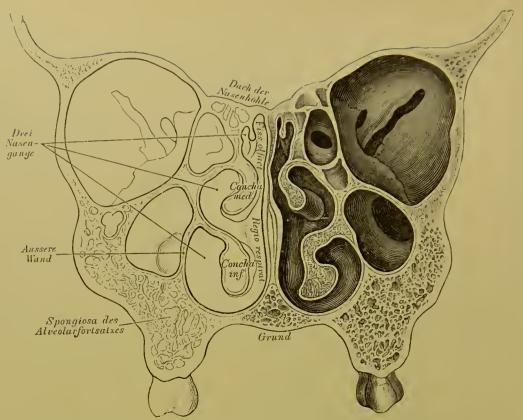
287. Die Richtung der Haare und die Verästlungsbezirke der Hautnerven. Nach C. Aug. Voigt.



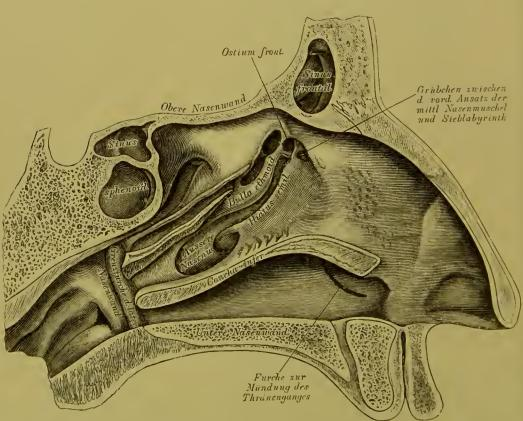
288. Die knorpelige und knöcherne Nasenscheidewand. Septum narium cartilagineum et osseum.

Der unpaare Nasenscheidewandknorpel, Septum cartilagineum seu Cartilago quadrangularis, ergänzt die knöcherne, von der senkrechten Siebbeinplatte und der Pflugschar gebildete Scheidewand; an seinem vorderen unteren Rande ist die häntige Scheidewand, Septum membranaceum, angeheftet. Unter den Nasenbeinen liegen die paarigen dreieckigen Nasenknorpel, Cartilagines triangulares (Fig. 291), und in der oberen Hälfte der Nasenflügel die paarigen Nasenflügelknorpel, Cartilagines alares (Fig. 291); zwischen diesen und dem Rande der Incisura pyriformis eingestreut die Cartilagines sesamoideae.

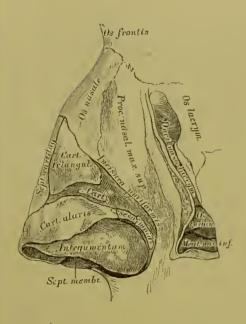
Die Nasenhöhle ist von einer Schleimhaut, Membrana pituitaria narium, ausgekleidet, die an den vorderen Nasenöffnungen in das Integumentum commune, an den hinteren Nasenöffnungen, Choanac, in die Raehensehleimhaut übergeht. In der oberen Partie der Schleimhaut, Regio olfactoria, verzweigen sich die Endäste des Nervus olfactorius, und diese Partie vermittelt die Geruehsempfindungen. In der unteren Partie, Regio respiratoria, verzweigen sich die Nasaläste des Nervus Trigeminus, und hier werden nur Tastempfindungen ausgelöst (Fig. 293).

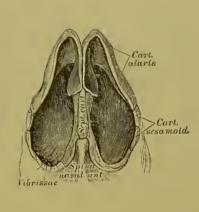


289. Frontalschnitt durch die Nasenhöhlen. Nach E. Zuckerkandl.



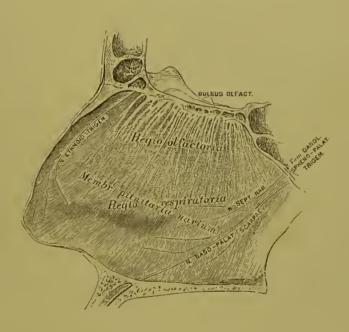
290. Aeussere Wand der Nasenhöhle an einer linken Gesichtshälfte dargestellt. Nach E. Zuckerkandt.



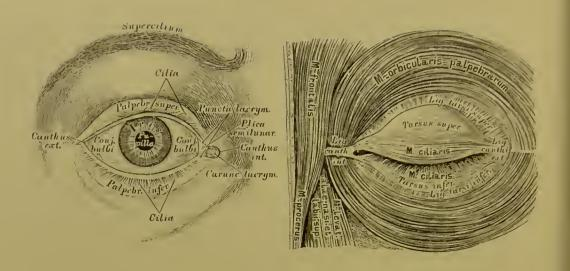


291. Die Knorpel des Nasengerüstes. Seitenansieht.

292. Die Knorpel des Nasengerüstes. Ansicht von unten.



293. Die Schleimhaut der Nasenscheidewand, Membrana pituitaria narium (septi).



# 294. Das Auge und die Muskeln der Augenlidspalte.

Die Augenlider, Palpebrae, sind häutige Klappen, deren freie Ränder die Sehspalte, Rima palpebrarum, begrenzen; diese endet mit einem spitzen äusseren Augenwinkel, Canthus externus, und einem abgerundeten inneren Augenwinkel, Canthus internus. Der freie Rand eines jeden Augenlides trägt an seiner vorderen Kante die Wimperhaare, Cilia. In das Bindegewebe der Augenlider sind die Lidknorpel, Tarsus superior und Tarsus inferior, eingebettet, die an den oberen und unteren Augenhöhlenrand durch die starken Ligamenta tarsi superioris et inferioris befestigt sind; vom inneren Augenwinkel geht zum Stirnfortsatz des Oberkiefers das dieke Ligamentum canthi internum und vom äusseren Augenwinkel zum Stirnfortsatz des Jochbeins das breite Ligamentum canthi externum. Auf dem Knorpel liegt der Schliesser der Augenlider, M. ciliaris.

Auf der hinteren Fläche der Lidknorpel, oder von diesem umschlossen, liegen die acinösen Meibom'schen Drüsen (am oberen Lide 30—40. am unteren Lide 25—35), die an der hinteren Kante des freien Lidrandes münden und Talg, Schum palpehrale seu Lema, secerniren (Fig. 295, 296).

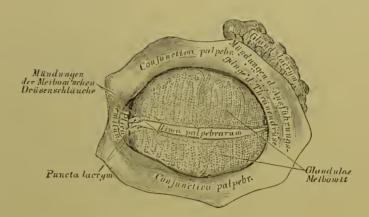
Augenbrauen, Supercilia, heissen die in Bögen gestellten, mehr oder weniger dichten Haare längs den oberen Augenhöhlenrändern.

Schorgan, 219

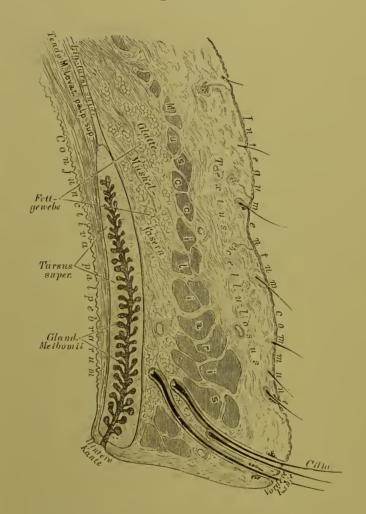
Die Bindehaut, Conjunctiva, ist eine Schleimhaut, welche als Fortsetzung des Integumentum commune die hintere Fläche der Augenlider als Conjunctiva palpebrarum bedeckt, sieh in der Nähe des oberen und unteren Augenhöhlenrandes umbiegt — Fornix conjunctivae, und hierauf die Vorderfläche des Augapfels als Conjunctiva bulbi umhüllt.

Die bindegewebige Grundlage der Conjunctiva bleibt bis zum Rande der Hornhaut — Annulus conjunctivac; die Oberfläche der Hornhaut wird nur von dem mehrschichtigen Epithel bedeckt.

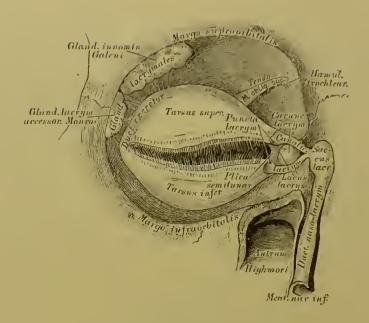
Am inneren Augenwinkel bildet die Bindehaut eine halbmondförmige Falte, Plica semilunaris, auf deren Vorderfläche zusammengeballte Talgdrüsen liegen — Caruncula lacrymalis.



**295.** Die innere Fläche der Augenlider.



296. Senkrechter Schnitt durch das obere Augenlid. (Schematisch.)
28\*



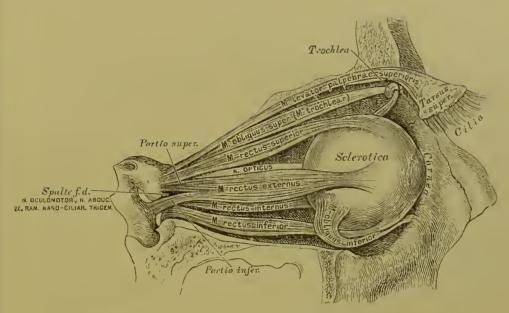
297. Die Thränenorgane.

In jeder Augenhöhle befinden sich zwei a ein öse Thränen drüsen, Glandulae laerymales, von einander nicht scharf gesondert; die grössere, Glandula innominata Galeni, liegt im Thränengrübehen des Jochfortsatzes des Stirnbeins; die kleinere, Glandula laerymalis accessoria Monroi, vor und unter ihr. Die zehn feinen Ausführungsgänge münden im Fornix conjunctivae. Die in den Fornices nach innen geleiteten Thränen sammeln sieh in der Bucht zwischen Plica semilunaris und Carmeula laerymalis, im Thränense e, Laeus laerymarum; von hier gelangen dieselben in die Thränenpunkte, Puncta laerymalia, mit wulstigen Rändern versehene feine Oeffnungen; dann in die Thränense ek, Saccus laerymalis s. Daeryocystis, der die Fossa laerymalis der inneren Augenhöhlenwand ausfüllt. Der Thränensaek geleitet in den häntigen Thränennas en gang, Ductus naso-laerymalis, welcher im unteren Nasengange, an der Seitenwand der Nasenhöhle, gedeckt von der unteren Nasenmuschel, mündet (s. Fig. 291).

In der Augenhöhle liegen sieben Muskeln; sechs bewegen den Augapfel, einer das obere Augenlid.

M. levator palpebrae superioris. Urspr.: obere Fläche der Schnervenscheide. Insert.: unter dem oberen Augenhöhlenrande am Tarsus superior.

221

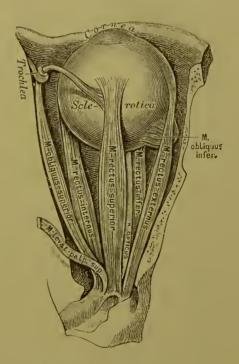


298. Die Augenmuskeln, von aussen.

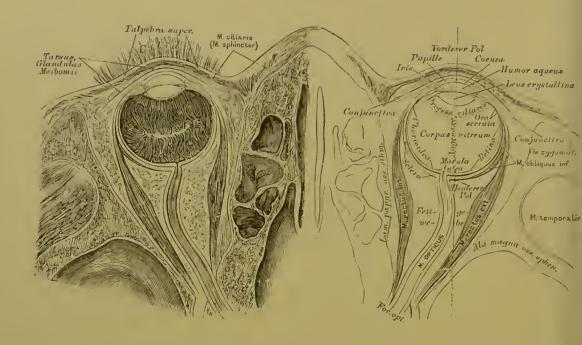
M. rectus internus, M. rectus externus, M. rectus superior, M. rectus inferior entspringen in der Umgebung der Schnervenscheide, verlaufen geradlinig nach vorne und inseriren mit fächerigen Schnen 5—7 Mm. entfernt vom Hornhautrande an der Sclerotica. Der M. rectus externus entspringt mit zwei Portionen.

M. obliquus superior s. M. trochlearis läuft im oberen inneren Winkel der Augenhöhle, schiebt seine Sehne durch die knorpelige, an die Fovea oder den Hamulus trochlearis des Stirnbeins befestigte Rolle, Trochlea, und inserirt nach aus- und rückwärts gehend an der Sclerotica.

M. obliquus inferior. Urspr.: am inneren Ende des unteren Augenhöhlenrandes; verläuft nach aussen, oben und hinten und inserirt an der Sclerotica.



299. Die Augenmuskeln, von oben.



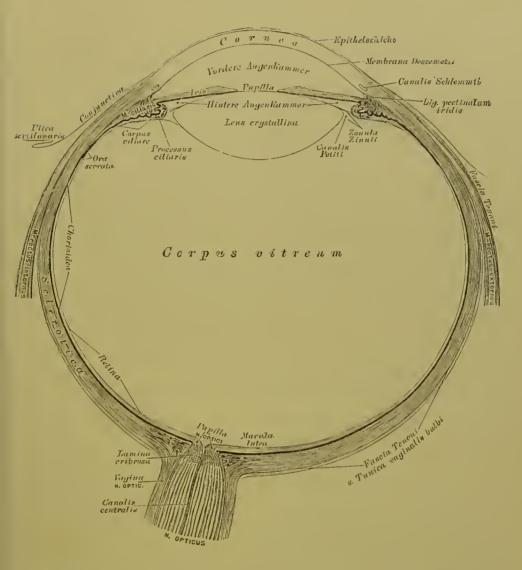
300. Horizontalschnitt durch beide Augäpfel.
Nach Ferdinand Arlt sen.

Der Augapfel, Bulbus oculi, wird von drei in einander geschachtelten Häuten gebildet; diese Häute sind: a) die weisse Augenhaut, Schrotica s. Schra, und die durchsichtige Hornhaut, Cornea; b) die Aderhaut, Chorioidea, und die Regenbogenhaut, Iris; e) die Netzhaut, Retina. Die Höhle des Augapfels wird ausgefüllt: vom Kammerwasser, Humor aqueus, der Linse, Lens crystallina, und dem Glaskörper, Corpus vitreum.

Die Sclera ist eine undurchsichtige fibröse Haut, deren vorderstes Segment in die durchsichtige Cornea übergeht, deren hintere Peripherie für den Durchtritt des Sehnerven durchlöchert ist; dieses Loch liegt nicht in der Augenaxe, sondern etwa 2·5 Mm. weit nach innen von derselben. Innerhalb des Loches erseheinen die fibrösen Fasern der Sclera siebförmig durchbrochen — Lamina eribrosa. Die innere Fläche der Sclera ist mit pigmentirten zarten Bindegewebsbündeln bedeckt — Lamina fusca.

Die Cornea bildet den vorderen, kugelig gewölbten Aufsatz der Sclera: ihre Peripherie ist ein queres Oval; daselbst wird sie vom Gewebe der Sclera eingefalzt. Am inneren (hinteren) Rande des Falzes läuft ein venöser, eavernöser Sinus, der Canalis Schlemmii (s. Fig. 302, 303). Das Gewebe der Cornea besteht aus rechtwinkelig durchflochtenen, durchsichtigen Bindegewebsbündeln; ihre Vorderfläche ist von mehrsehichtigem Plattenepithel bedeckt; unter diesem liegt die structurlose Bowman'sche Schieht; die hintere Fläche von einschichtigem Plattenepithel, über diesem die Membrana Descemetii.

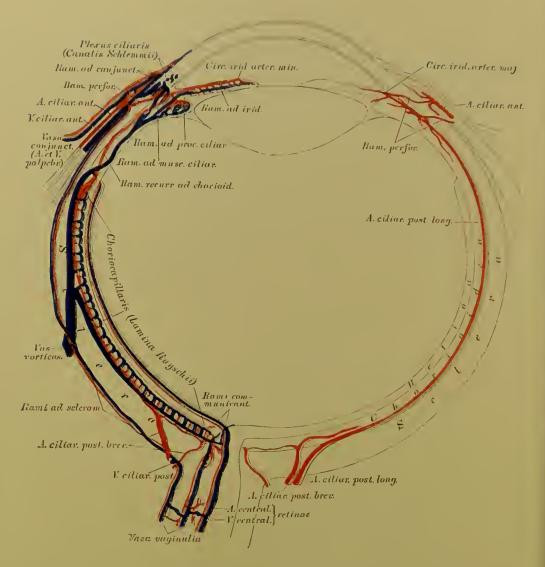
223



301. Durchschnitt des Augapfels. Vergr. = 4.
Nach Ferdinand Arlt sen.

Die Chorioidea und Iris bilden die zweite Schichte des Augapfels. Erstere liegt auf der Innenfläche der Sclera. Ihre äussere pigmentirte Bindegewebslage stellt die Lamina fusca dar; die mittlere Lage wird durch die Blutgefässe gebildet, deren Capillarnetz Lamina Ruyschii genannt wurde; die innere Lage wird von sechseekigen Pigmentzellen erzeugt — Tapetum nigrum.

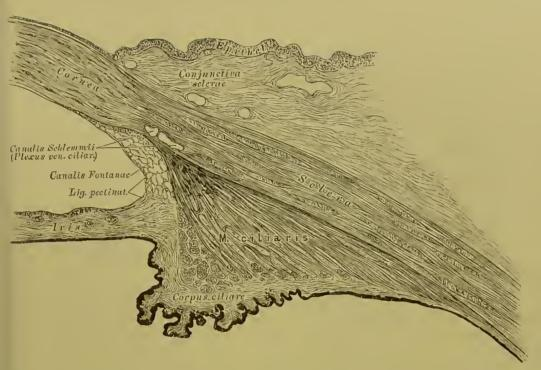
Am vorderen Rande der Sclera verdickt sich die Aderhant zum Corpus ciliare. Die oberflächliche Lage des Ciliarkörpers ist der Musculus ciliaris s. Tensor chorioideae (s. Fig. 303) (glatte Längs- und Kreisfasern); die tiefe Lage die Corona ciliaris, ein Kranz von 70—85 Falten, deren jede einzelne Ciliarfortsatz, Processus ciliaris, heisst. Die gezackte Grenzmarke zwischen dem faltigen und ebenen Theile der Chorioidea ist die Ora serrata.



302. Schema der Blutgefässe des Augapfels. vergr. = 4.
Nach Theodor Leber.

Die Iris ist eine gefüss- und muskelreiche Membran, die mit ihrem inneren Rande, Margo pupillaris, das Sehloeh, Pupilla. umgrenzt; zwischen ihr und der Cornea liegt die vordere Augenkammer, zwischen ihr und der Linse die hintere Augenkammer; beide Kammern sind erfüllt vom Humor aqueus. Der äussere Irisrand. Margo ciliaris, ist eine directe Fortsetzung des Corpus ciliare und ist mit der Membrana Descemetii durch das Ligamentum peetinalum verbunden (s. Fig. 303).

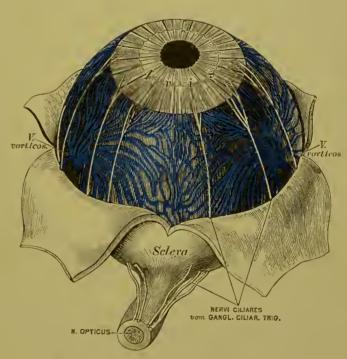
Der Bau der Iris ist aus Fig. 303 ersichtlich; von ihren Muskeln ist der Verengerer der Pupille, Sphineter pupillae, ringförmig am Pupillarrande gelagert, während der Erweiterer, Dilatator pupillae, vom Rande der Cornea entspringt und radiär verläuft.



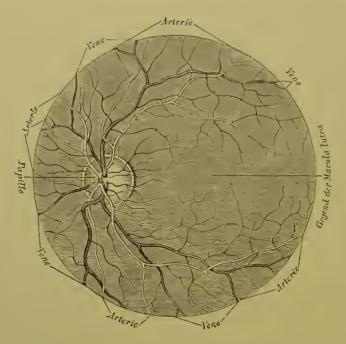
303. Durchschnitt an der Uebergangsstelle der Sclera in die Cornea. Vergr. = 100. Nach einem Präparate von Alex. Iwanoff.

Die Chorioidea wird durch drei bis vier Arteriae ciliares posticae breves, die Iris und der Ciliarm uskel durch die zwei Arteriae ciliares posticae longae und die an Zahl variirenden Arteriae ciliares anticae (simmtlich Aeste der Art. ophthalmica) mit Blut versorgt. Aus den Capillaren entwickeln sieh die Venen, die Vasa vorticosa, vier bis fünf an der Zahl, welche in der Mitte zwisehen Hornhaut und Eintrittsstelle des Nerv. opticus die Schra durchbrechen. Ausserdem fliesst das Blut durch die Venae ciliares anticae et posticae ab.

Die Innervation der Iris, Chorioideaund des Ciliarm uskels geschicht durch die Nervi ciliares, welche, zehn bis sechzehn an der Zahl, die Selera au ihrem hinteren Umfange durchbohren; dann durch Fasern des Nervus sympathicus



304. Die Nerven der *Iris* und *Chorioidea*. Vergr. = 2.



305. Das Beleuchtungsbild des pigmentirten Augengrundes.

Vergr. = 7. Nach Ed. v. Jaeger.

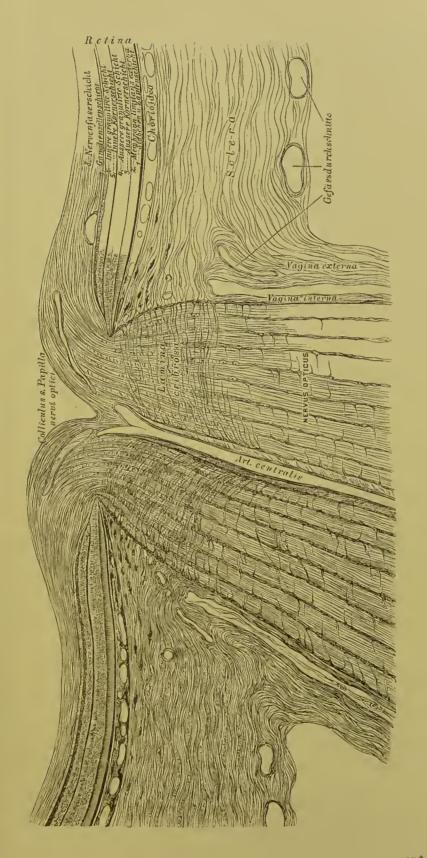


306. Das Beleuchtungsbild des nicht pigmentirten (albinotischen) Augengrundes.

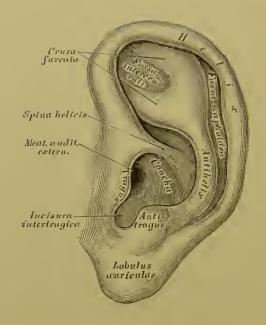
Vergr. = 7. Nach Ed. v. Jaeger.

Die Retina, Ausbreitung des Nerv. opticus, ist die innerste Schicht des Augapfels, das eigentliche Schorgan. Die Stelle, wo der N. opticus die Sclera und Chorioidea durchbricht, ist durch einen flachen Hügel, Colliculus seu Papilla nervi optici, gekennzeichnet; hier treten die Blutgefässe, Art. und Vena centralis retinae, ein und aus. Die Papille ist nicht lichtempfindend (blinder Fleck) und liegt excentrisch, einwärts von dem centralen Punkte des schärfsten Schens. Dieser Punkt ist schwach vertieft, Fovea centralis: im Leichenauge als gelber Fleek, Macula lutea, kenntlich und nur im Leichenauge durch zwei Wülste, Plicae centrales, mit der Papille verbunden. Die Schichten der Retina (s. Fig. 307) sind bis in die Gegend der Ora serrata erhalten; von hier an bleibt nur die zwischen Stabseliieht und Tapetum nigrum chorioideae liegende structurlose Membrana limitans übrig.

Den Kern des Auges bilden: der Glaskörper, Corpus vitreum, dessen Umhüllungsmembran, die Hyaloidea, als zweiblättrige Zonula Zinnii, die Krystalllinse. Lens erystallina, trägt. Zwischen den Blättern der Zonula liegt der Canalis Petiti (s. Fig. 301).



307. Senkrechter Schnitt durch die Stelle des Sehnerveneintrittes. Nach einem Präparate von Alex. Iwanoff,



**308.** Die Ohrmuschel, *Aurienla*.

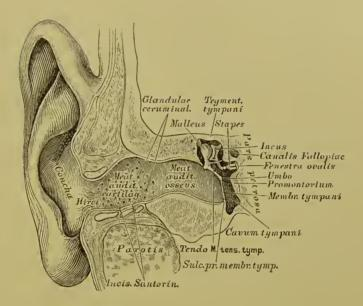


309. Die Muskeln der Ohrmuschel.

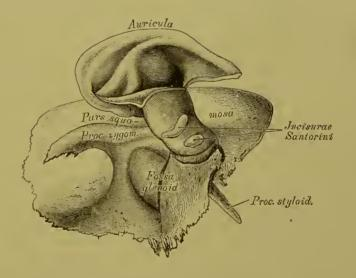
Der Faserknorpel der Ohrmuschel zeigt an seinem äusseren Rande die Leiste, Helix, welche als Spina helicis beginnt; einwärts von der Leiste liegt die sehifförmige Grube, Fossa scaphoidea, dann folgt die gewölbte Gegenleiste, Antiledix, deren Anfang die Crura furcata bilden. Vor dem Meatus auditorius externus ragt die Eeke, Tragus, vor: ihr gegenüber die Gegenecke, Antitragus; zwischen beiden liegt die Incisura intertragica. Die Vertiefung der Ohrmuschel zum änsseren Gehörgang heisst Concha. Unter der Incisura intertragica bildet die Haut das fettarme Ohrläppchen. Lobulus auriculae.

Die Muskeln der Ohrmuschel sind: der M. attollens (levator) auriculae, der M. attrahens auriculae und die MM. retrahentes aurieulae. Zwisehen den Vorsprüngen des Ohrknorpels liegen noch: der M. helicis major, von der Spina helicis zur Umbeugungsstelle des Helix nach hinten verlanfend; der M. helicis minor am Anfange der Spina belieis: der M. tragicus auf der Vorderfläche der Ecke; der M. antitragicus. vom unteren Ende der Gegenleiste zur Gegeneeke. Der M. transversus auriculae liegt an der convexen hinteren Fläche des Ohrknorpels zwischen den Willsten der Concha und der schiffförmigen Grube.

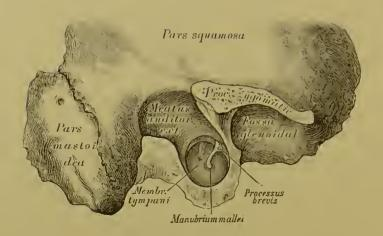
Der äussere Gehörgang besteht aus einem knorpeligen Theile, Meatus auditorius cartilagineus, welcher eine Fortsetzung des Ohrknorpels ist und zwisehen dessen Ringen seichte Einsehnitte, Incisurae Santorinianae, auftreten; dann aus einem knöchernen Theile, Meatus auditorius osscus, welcherdem Sehläfebeine augehört. Am inneren Ende des letzteren befindet sieh ein Falz, in welchem das Trommelfell eingebettet ist, Sulcus pro membrana tympani. — Die Auskleidungsmembran des äusseren Gehörganges, eine Fortsetzung des Integumentum commune, besitzt Schweissdrüsen-ähnliche, tubulöse Drüsen, die das Ohrenschmalz, Cerumen, seeerniren, Glandulae ceruminales, und Haare von verschiedener Stärke Hirci.



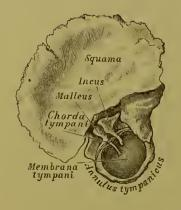
310. Der äussere Gehörgang und die Paukenhöhle im Durchschnitte.



**311.** Die *Incisurae Santorini* des knorpeligen Gehörganges.



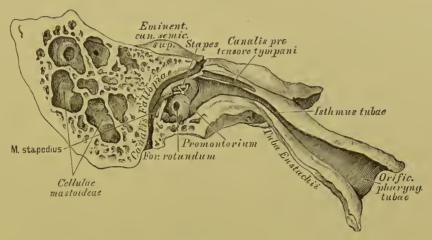
312. Das Trommelfell von aussen, nach theilweiser Entfernung des knöchemen Gehörganges.



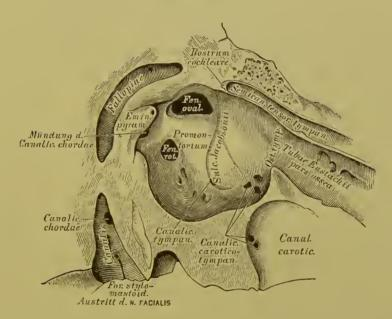
313. Das Trommelfell und die Gehörknöchelchen des Kindes von innen.

Das Trommelfell. Membrana tympani, ist zwischen äusserem Gehörgang und Paukenhöhle ausgespannt, und zwar in einer schiefen Ebene, nach innen und unten gerichtet; seine äussere Fläche erscheint concav; seine innere Fläche convex; seine Form oval. Die tiefste Stelle der äusseren Fläche, entsprechend dem Ende des Hammergriffes, heisst Umbo. Am oberen vorderen Rande ragt als glänzendes Köpfehen der kurze Fortsatz des Hammers vor; dessen Griff ist in seiner ganzen Länge sichtbar; ans-

nahmsweise auch durchscheinend der lange Ambosfortsatz. Das Trommelfell wird von drei Schiehten zusammengesetzt: die änssere ist die Auskleidungshaut des Gehörganges mit der Epidermis; die mittlere stärkste ist bandartiges Bindegewebe; die innere ist Schleimhaut.

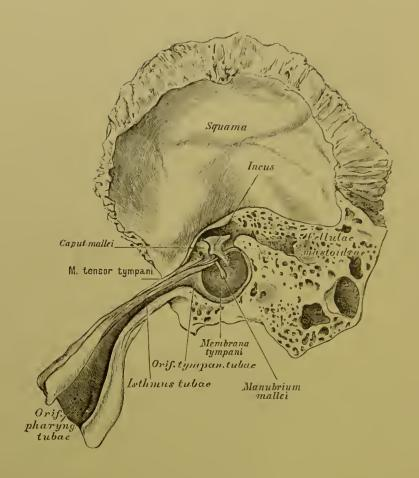


314. Die Paukenhöhle und die Ohrtrompete im Durchschnitte.



#### 315. Die innere Wand der Paukenhöhle. Vergr. = 3.

Die Pauken- oder Trommelhöhle, Cavum tympani, liegt einwärts vom Trommelfell, ist mit Schleimhaut ausgekleidet und communicirt durch die Eustach'sche Ohrtrompete mit der Rachenhöhle. An der inneren Wand derselben befinden sich: das ovale Fenster, Fenestra ovalis, zum Vorhof des Labyrinthes; das runde Fenster, Fenestra rotunda, zur Schnecke (durch ein zartes Häutehen, Membrana tympani secundaria, verschlossen); zwischen beiden Fenstern das Vorgebirge, Promontorium, mit einer Furche, Sulcus Jacobsonii, verschen; hinter dem ovalen Fenster die hohle, an der Spitze offene Eminentia pyramidalis; über dem ovalen Fenster die untere Wand des Canalis Fallopiae; über dem Vorgebirge der Semicanalis tensoris tympani, mit dem löffelförmigen Rostrum cochleare endend.



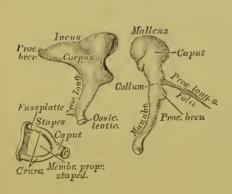
### 316. Das Trommelfell und die Ohrtrompete

von innen: Nach einem Präparate von A. Politzer.

Die Enstachische Ohrtrompete, Tuba Eustachii, beginnt an der vorderen Wand der Paukenhöhle, unter dem Semicanalis tensoris tympani mit dem Ostium tympanicum, länft schief nach vorne, innen und unten, und mündet an der Seitenwand des Rachens mit dem wulstigen Ostium pharyngeum. Die Tuba ist von einem knöchernen und einem knorpeligen Theile zusammengesetzt.

Die Gehörknöchelchen, Ossicula auditus, sind drei an Zahl:

a) Der Hammer, Malleus, wird eingetheilt in Kopf, Hals, Handhabe, kurzen und langen Fortsatz. Die Handhabe ist im Trommelfell eingebettet; der kurze Fortsatz drängt dasselbe am oberen vorderen Rande vor; der lange Fortsatz, Processus Folii, liegt in der Fissura Glaseri.



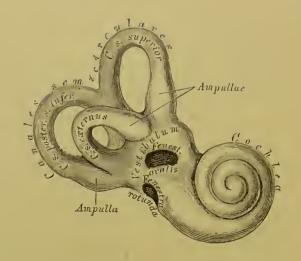


# 317. Die Gehörknöchelchen von aussen. Vergr. = 3.

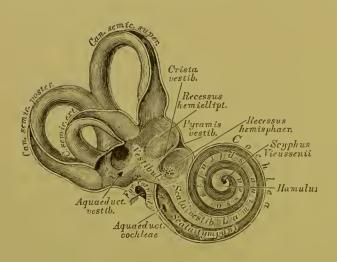
318. Die Paukenhöhle und die Gehörknöchelchen von oben.

- b) Der Ambos, Incus, besitzt einen Körper, einen kurzen und einen langen Fortsatz. Der kurze Fortsatz ist an die hintere Trommelhöhlenwand mittelst eines Bändehens befestigt; der lange Fortsatz trägt an seinem einwärts gekrümmten Ende das Ossiculum lenticulare Sylvii als Apophyse. Mit letzterem articulirt:
- c) Der Steigbügel, *Stapes*, und zwar dessen Köpfchen; von diesem gehen die beiden gekrümmten Schenkel aus, deren Zwischenraum durch die *Membrana propria stapedis* verschlossen ist, und die die Fussplatte tragen, welche das ovale Fenster verschliesst.

Zur Bewegung der Gehörknöchelchen dienen: der M. tensor tympani, Spanner des Trommelfells; Urspr.: Tuba Eustachii und vorderer Winkel der Felsenpyramide, verläuft im Semicanalis, legt seine platte Endsehne um das Rostrum cochleare, nm sie am Hammerhalse zu inseriren. — M. laxator tympani, der Ersehlaffer des Trommelfells; Urspr.: Spina angularis des Keilbeins. Insert.: durch die Fissura Glaseri am langen Fortsatz des Hammers. — M. stapedius, der Steigbügelmuskel (Fig. 314) liegt in der Höhle der Eminentia pyramidalis, geht mit dünner Sehne durch das Löchelchen an der Spitze der Pyramide zum Köpfehen des Steigbügels.



319. Die Knochenkapsel des Labyrinthes, von vorne. Vergr. = 3.



**320.** Das knöcherne Labyrinth, von vorne eröffnet. Vergr. = 3.

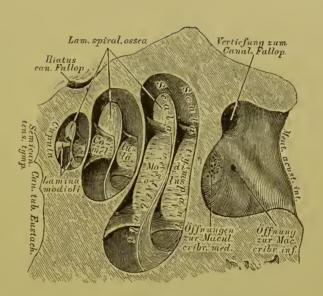
Die innere Sphäre des Gehörorgans, das Labyrinth, besteht aus dem Vorhof, Vestibulum, den drei Bogengängen, Canales semicirculares, und der Schnecke, Cochlea.

Der Vorhof ist der Vereinigungspunkt der Bogengänge und der Schnecke. Seine Grenzen sind: aussch die Paukenhöhle (die Communication mittelst des ovalen Fensters ist durch die verschliessende Steigbügelplatte vereitelt); innen der Blindsack des Meatus auditorius internus; vorne die Schneeke; hinten die Bogengänge; oben der Anfang des Canalis Fallopiae (Fig. 327). Die vordere Abtheilung heisst Recessus hemisphaericus, die hintere Recessus hemiellipticus: zwischen beiden erhebt sieh die Crista vestibuli, die nach oben mit der Pyramis vestibuli endet. Im Recessus hemiellipticus münden drei Bogengänge mit fünf Oeffnungen, indem zwei Bogengänge an der inneren Vorhofswand eine gemeinsame Oeffnung besitzen; vor der letzteren liegt die Oeffnung des Aquaeductus In den Recessus vestibuli.

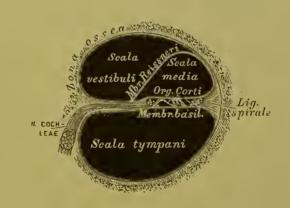
hemisphaericus mündet die Scala vestibuli der Schnecke. Die drei Siebflecke. Maculae cribrosae, sind aus Fig. 321 ersichtlich.

Die drei Bogengänge sind: ein oberer, ein unterer oder hinterer und ein äusserer; ihre Ebenen stehen senkrecht aufeinander. Es gibt drei Anfangsmündungen, die zu Ampullen erweitert sind, aber nur zwei Endmündungen, iudem obere und hintere Bogengang eine kurze gemeinsame Endröhre und eine gemeinsame Endmündung haben. Von den Bogengängen ist der äussere der kürzeste, der hintere der längste.

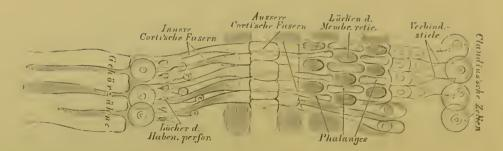
Die Schneeke ist ein 21/2 mal aufgewundener Gang; nach aussen wölbt sie das Promontorium in die Paukenhöhle vor, nach innen grenzt sie an den Blindsack des Meatus auditorius internus. Die Gänge sind über einander aufgewunden, und zwar um eine knöcherne Axe, die für die erste Windung: Spindel, Modiolus, für die zweite Windung: Säulehen, Columella, für die oberste Halbwindung: Spindelblatt, Lamina modioli, heisst. — Der Schneckengang endet an der Kuppel, Cupula, blind; hier rollt sich die Zwischenwand der Gänge trichterförmig ein, als Scyphus Vieussenii (Fig. 320).



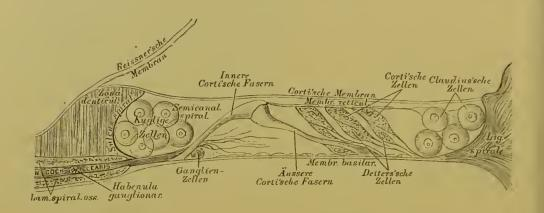
321. Die Schnecke, Cochlea, senkrecht auf die Axe der Schläfebeinpyramide eröffnet. Vergr. = 5.



322. Durchschnitt eines Schneckenganges. (Schematisch.)



323. Das Corti'sche Organ in Vogelsicht. (Schematisch.)

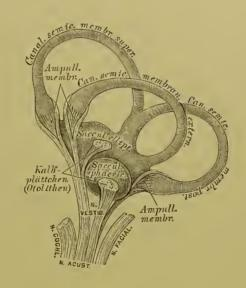


324. Das Corti'sche Organ im Durchschnitte. (Sehematisch.)

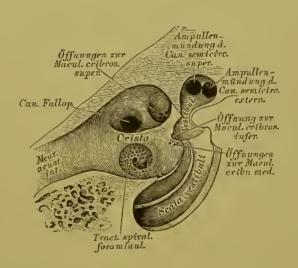
Der Schneckengang wird durch das an der Knochenaxe befestigte knöcherne Spiralblatt, Lamina spiralis ossea, in zwei Treppen abgetheilt, deren untere, die Scala tympani, durch die Fenestra rotunda mit der Paukenhöhle communicirt; während die obere, die Scala vestibuli, im Recessus hemisphaericus vestibuli mündet (Fig. 320). In der Scala tympani liegt hinter der Fenestra rotunda die Anfangsöffnung des Aquaeductus ad cochleam. Die Lamina spiralis ossea endet in der letzten Halbwindung mit einem in den Scyphus hineinsehenden Haken, Hamulus (Fig. 320); dieselbe ragt nur bis in die Mitte des Schneekenganges vor, der Abschluss beider Scalae geschieht durch eine zweiblättrige Membran, die Lamina spiralis membranacea. Die beiden Blätter fassen einen Kanal zwischen sieh, die Scala media s. canalis cochleae; jenes Blatt. welches in der Ebene der Lamina spiralis ossea liegt, trägt den Endapparat des Nervus cochleae, das Corti'sche Organ. Die Lamina spiralis membranacea reicht in der Sehneckenkuppel über den Hamulus hinaus und umgreift eine Oeffnung, Helicotrema Brescheti, durch welche Scala vestibuli und Scala tympani mit einander communiciren.

Das häutige Labyrinth besteht aus zwei häutigen Säcken, dem Sacculus sphaericus (im Recessus hemisphaericus vestibuli liegend) und dem Sacculus ellipticus (im Recessus hemiellipticus liegend), in welch' letzteren die häutigen Bogengänge, entsprechend den knöchernen, und wie diese mit Ampullen versehen, einmünden. Zwischen den Säckehen, die mit einander nicht communiciren, und der mit einem Periostium internum ausgekleideten Inneufläche des knöchernen Labyrinths, befindet sich Flüssigkeit, die Perilympha; auch die häutigen Bogengänge füllen die kuöchernen nicht ganz aus, sie liegen nur an der convexen Scite der letzteren an. Die Säekehen und die häutigen Bogengänge enthalten gleichfalls Flüssigkeit, die Endolympha. Eutsprechend den drei Maculae cribrosae und der Pyramis vestiluli (Eintrittsstellen des N. acusticus) befinden sich rundliche, kreidige Plättchen, Häufchen von Krystallen kohlensauren Kalkes (Otolithen). Der Nervus vestibuli durchdringt die Löcher der drei Maculae cribrosae, seine Fascrn gehen in die Wand des häutigen Labyrinths, nicht auch in dessen Höhle.

Der innere Gehörgang, beginnend an der hinteren Fläche der Pars petrosa des Schläfebeins, endet blindsackförmig, vom Vorhofe durch ein dünnes Knochenblatt getrennt. Der Blindsack wird durch eine Knochenleiste in eine obere und eine untere Grube geschieden. Die obere zeigt zwei Grübehen.

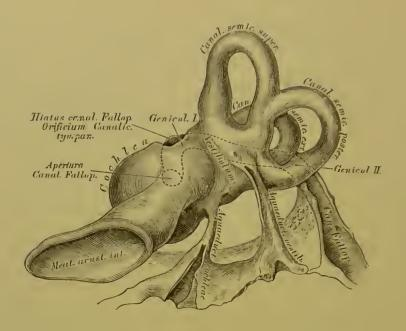


325. Das häutige Labyrinth. (Schematisch.)



326. Das Ende des inneren Gehörganges. Vergr. = 3.

das vordere zum Canalis Fallopiac, das hintere zur Macula cribrosa superior führend; die untere besitzt den Tractus spiralis foraminulentus, hinter diesem die Oeffnungen zur Macula cribrosa media und eine grössere Oeffnung zur Macula cribrosa inferior.



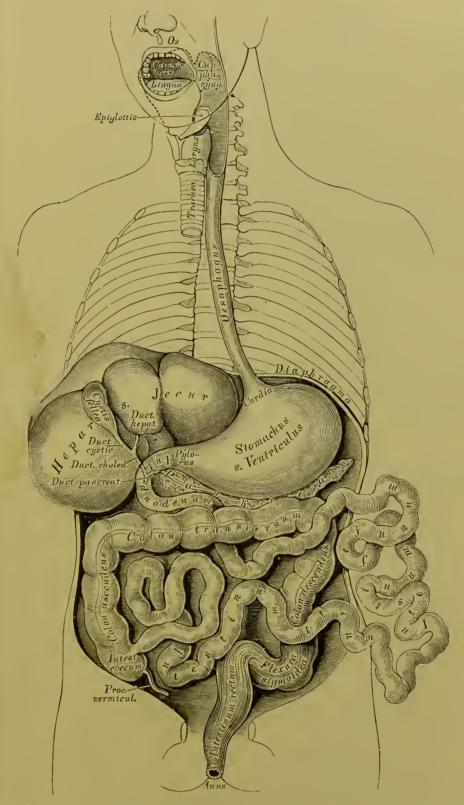
327. Das knöcherne Labyrinth von hinten. Vergr. = 3.

Der Canalis Fallopiae für den Nervus facialis, beginnend im Blindsack des inneren Gehörganges, geht in der Pars petrosa zuerst nach aussen, dann oberhalb der Fenestra ovalis nach hinten und endlich zum Foramen stylomastoideum nach unten; die durch diesen Verlauf entstehenden zwei Winkel heissen Genicula. Am ersten Knie befindet sich der Hiatus s. Apertura spuria Canalis Fallopiae, hier mündet der Canaliculus tympanicus. Unter dem zweiten Knie läuft der Canalis Fallopiae hinter der Eminentia pyramidalis; er communicirt hier mit der Höhle derselben, dann mit dem Canaliculus mastoideus und mit der Paukenhöhle durch den Canaliculus chordae (Fig. 315). Die beiden Aquaeductus cochleae et vestibuli führen Venen.

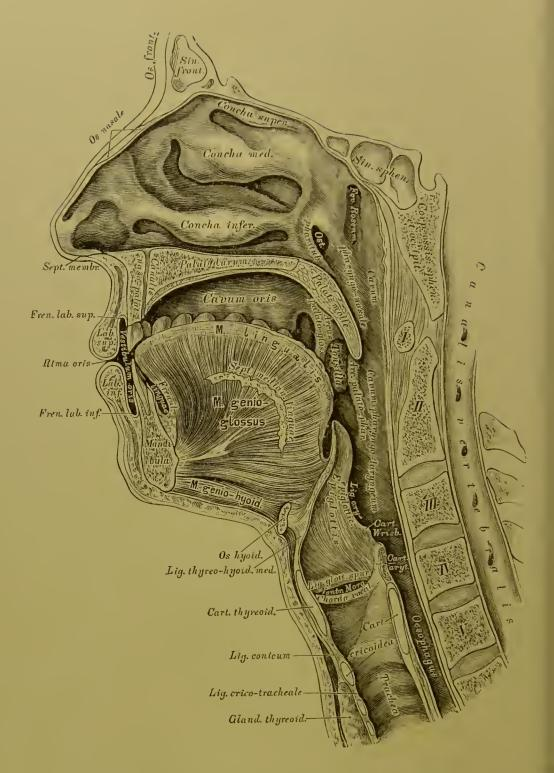
### IV.

## EINGEWEIDE. TOPOGRAPHIE.



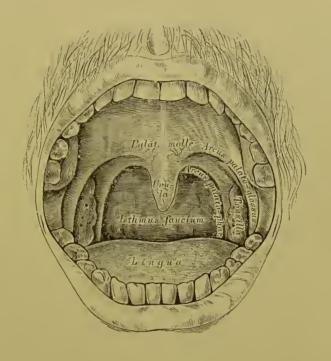


328. Schematische Uebersicht des Verdauungsorgans.



329. Medianschnitt durch die Nasen-, Mund-. Rachen- und Kehlkopfhöhle.

Mundhöhle. 243

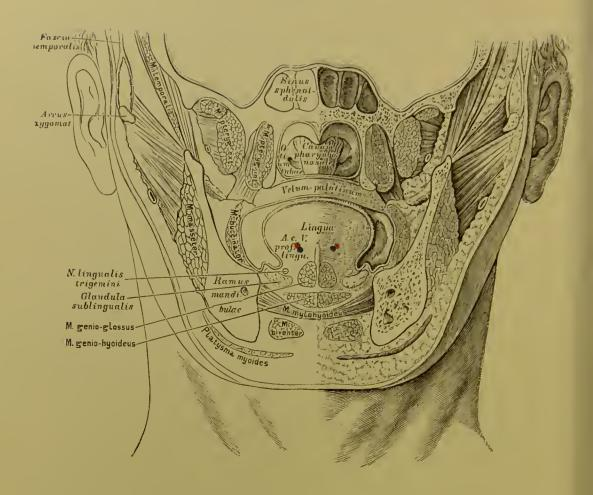


#### 330. Frontalansicht der geöffneten Mundhöhle.

Die Mundhöhle wird durch die gesehlossenen Zahnreihen in das Vestibulum oris und das eigentliehe Cavum oris abgetheilt. Die vordere Oeffnung bildet die Mundspalte, Rima oris, begrenzt von den Lippen, Labia, die an ihren Innenflächen durch das Frenulum labii superioris et inferioris mit dem Zahnfleisch, Gingiva, verbunden sind.

Die Lippen und das Innere der Mundhöhle werden von Schleimhaut ausgekleidet, die an der unteren Fläche vom Zungenbändehen, Frenulum linguae, und von beiden Seiten aus auf die Zunge übergeht und die Mund-von der Rachenhöhle an der Grenze des harten Gaumens durch eine herabhängende Falte trennt, den weichen Gaumen, Palatum molle.

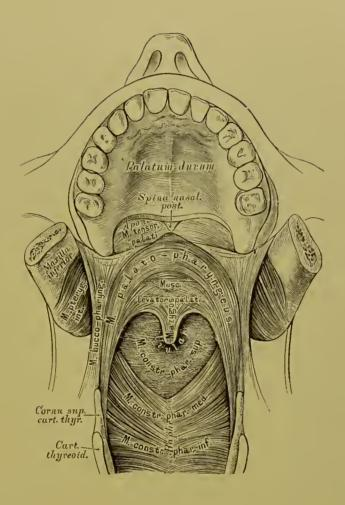
Der weiche Gaumen, das Gaumensegel, ragt sehief nach hinten und unten gerichtet als bewegliche Wand zwischen Mund- und Rachenhöhle vor; sein unterer freier Rand bildet in der Mittellinie das Zäpfehen, Uvula, zu beiden Seiten spaltet es sieh in die Gaumenbögen, Arcus palatini, deren vorderer, zur Zunge gehender: Gaumenzungenbogen, Arcus palatoglossus, deren hinterer, in der Seitenwand der Rachenhöhle inserirender: Gaumenrachen bogen, Arcus palato-pharyngeus, heisst.



331. Frontaldurchschnitt des Schädelgrundes und des Gesichtes unmittelbar hinter dem hinteren Rande des Septum narium. Nach H. v. Luschka.

In dem dreieckigen Raume zwischen den beiden seitlichen Sehenkeln des weichen Gaumens liegen die Mandeln, Tonsillaes. Amygdalae, — Conglomerate von Balgdrüsen. Jener Raum, welcher zwischen dem unteren Rande des Gaumenbogens, dem Zungengrunde und zwischen beiden Mandeln aus der Mundhöhle in die Rachenhöhle führt, heisst Racheneingang, Rachenenenge, Isthmus faucium (s. Fig. 330).

Der Racheneingang hat eine veränderliche Gestalt; zu seiner Verengerung und Erweiterung, Hebung und Senkung dienen die Muskeln des weichen Gaumens; bei jeder Schlingbewegung werden die Gaumenschenkel gestreckt, einander genähert, somit eine enge Spalte erzeugt, welche, durch das Zäpfehen völlig gesperrt, den Abschluss der Nasen- von der Rachenhöhle zu Stande bringt.

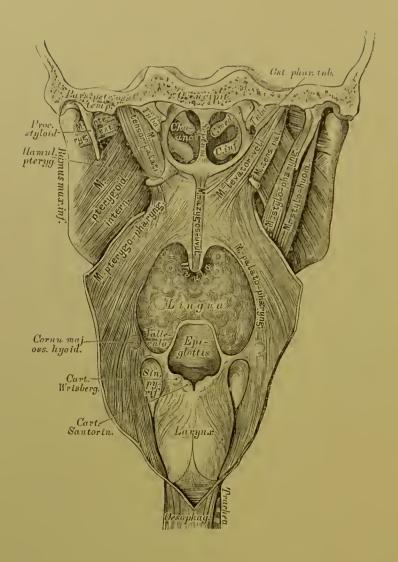


332. Die Muskeln des weichen Gaumens in der Ansicht von vorne.

Der M. azygos uvulae (M. palato-staphylinus) ist am hinteren Nasenstachel, Spina palatina, befestigt und reicht in der Mittellinie des Zäpfehens bis an dessen Spitze. Er besteht aus zwei eng aneinander liegenden Hälften.

Die MM. levatores veli palatini (M. petro-salpingo-staphylinus) gehen von der unteren Felsenbeinfläche und dem Knorpel der Tuba Eustachii von beiden Seiten her zur Mittellinie des Zäpfehens, indem sie theils mit dem M. azygos verschmelzen, theils mit bogenförmigen Fasern zusammenfliessen.

Die MM. tensores palati (M. spheno-salpingo-staphylinus) sind platte Muskeln, die von der Spina angularis des Keilbeins und dem Knorpel der Tuba Eustachii entspringen, mit breiten Endsehnen die Hamuli pterygoidei umsehlingen und gemeinsam die breite Aponeurose des weichen Gaumens bilden.

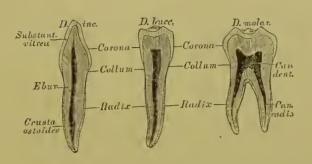


333. Die Muskeln des weichen Gaumens in der Ansicht von hinten.

Die MM. palato-glossi liegen beiderseits in den Gaumenzungenbögen, sind sehmale Muskeln, die im weichen Gaumen bogenförmig miteinander versehmelzen und durch ihre Contraction den Racheneingang verengern — Constrictores istlimi faucium.

Die MM. palato-pharyngei liegen beiderseits in den Gammenrachenbögen, entspringen an der Aponenrose des M. tensor palati, auf welcher sie in Bogenzügen zusammenhängen, und gehen zum hinteren Rande des Schildknorpels und zu: Musculatur der hinteren Rachenwand, vorzugsweise deren Längsmuskeln bildend.

Zähne. 247



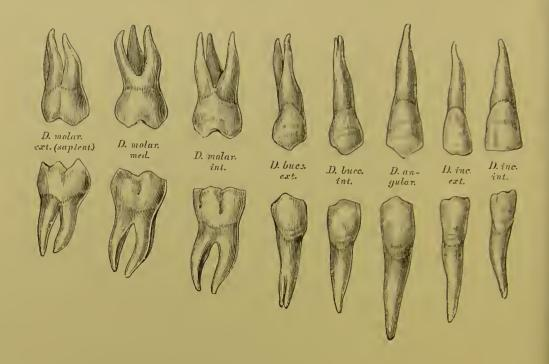
#### 334. Schneide-, Backen- und Mahlzahn im Durchschnitte.

Die Zähne, Dentes, ragen mit einem Theile ihres Körpers frei in die Mundhöhle vor. Der freie Theil des Zahnes heisst die Krone, Corona; jener Theil, welcher in die Lücke eines Alveolarfortsatzes des Ober- und Unterkiefers eingekeilt ist, heisst die Wurzel, Radix; zwisehen Krone und Wurzel befindet sieh der vom Zahnfleisch bedeckte Hals, Collum. Entsprechend der Krone und dem Halse des Zahnes ist dessen Axe die Zahnhöhle, Cavum dentis, welche sieh in die Wurzel hinein fortsetzt und an deren Spitze mündet — Canalis radicis. In der Höhle liegt der Zahnkeim, Pulpa dentis — gefässund nervenreiches Bindegewebe.

Der Zahn wird von drei Substanzen zusammengesetzt:

- a) Der Sehmelz, das Email, Substantia adamantina s. vitrea, umhüllt die Krone und endet scharfkantig am Halse; derselbe besteht aus diehten, seehseekigen, soliden, radiär gestellten Fasern.
- b) Das Zahnbein, Dentin, Ebur s. Substantia propria, bildet den Zahnkörper; es besteht aus einer structurlosen Masse, welche zahlreiche, sehr feine, gegen die Zahnböhle mündende, gegen die Zahnoberstäche gabelig verüstigte Kanälehen führt.
- e) Die Wurzelrinde, Cement, Crusta ostoides radicis, bedeekt die äussere Oberfläche der Wurzel und hat die Structur des Knochens.

248 Zähne.



335. Die rechten bleibenden Zähne, Dentes permanentes.

Jeder Kiefer trägt sechzehn bleibende Zähne, und zwar:

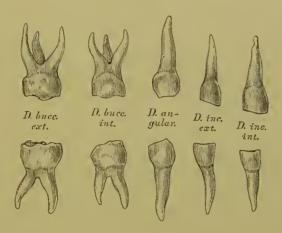
Vier Sehneidezähne, *Dentes incisivi*, mit meisselförmigen Kronen und einfachen kegelförmigen Wurzeln.

Zwei Eckzähne, *Dentes angulares s. canini*, mit konisch zugespitzten Kronen (an deren Innenseite zwei Facetten) und einfachen kegelförmigen Wurzeln.

Vier Backenzähne, Dentes buccales; die Kronen niedriger als die der Eckzähne, an den Mahlflächen mit einem äusseren und einem inneren stumpfen Höcker verschen; die Wurzeln gespalten oder einfach, seitlich abgeplattet, mit einer Längsfurche versehen.

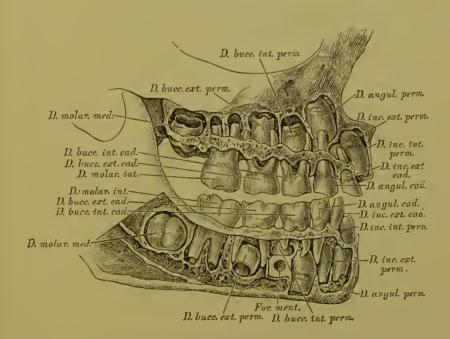
Sechs Mahlzähne, Dentes molares; die Mahlflächen mit vier oder fünf Höckern versehen, die Oberkiefermahlzähne mit drei Wurzeln — deren zwei labial und eine lingual gerichtet sind —, die des Unterkiefers mit zwei Wurzeln — eine medial, eine lateral —, deren jede wieder gefurcht ist. Der letzte Mahlzahn, Dens serotinus, Dens sapientiae (weil er erst in den zwan ziger Jahren erscheint), besitzt eine kleinere Krone, kürzere oder mehr convergirende Wurzeln, die wohl auch zu einem gemeinsamen Kegel verschmelzen.

Die Zeit des Durchbruches der Milch- und der bleibenden Zähne ist aus Fig. 338 und 339 ersichtlich.



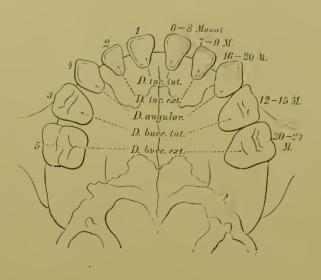
#### 336. Die rechten Milchzähne, Dentes lactei s. caduci.

Im seehsten oder siebenten Monate nach der Geburt beginnt der Durchbruch der Zähne; zu Ende des zweiten Lebensjahres besitzt das Kind zwanzig Milehzähne, in jedem Kiefer zehn, und zwar: vier Sehneidezähne, zwei Eekzähne und vier Backenzähne. Vom siebenten Lebensjahre fangen die Milehzähne an auszufallen, um den bleibenden Platz zu machen.

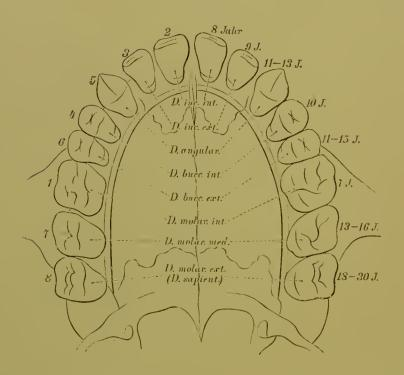


337. Gebiss eines Kindes im Zahnwechsel.

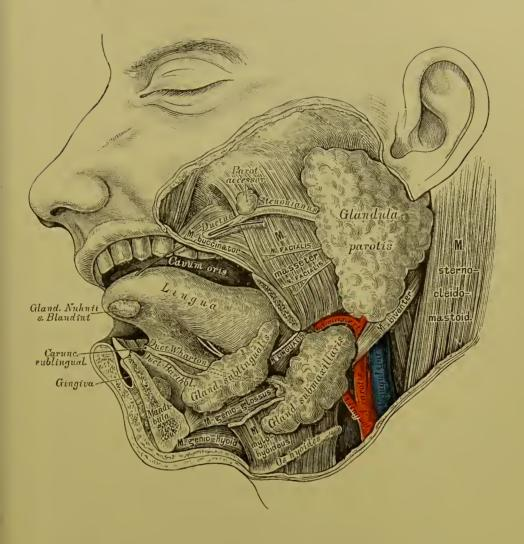
Die vordere Wand des Ober- und Unterkiefers aufgemeisselt, um das Verhältniss zwisehen Milch- und bleibenden Zähnen zu zeigen. 250 Zähne.



338. Schema des Durchbruches der Milchzähne.
Nach H. Welcker.



339. Schema des Durchbruches der bleibenden Zähne. Nach H. Welcker.

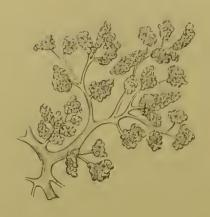


340. Die Speicheldrüsen, Glandulae salivales.

Von Speicheldrüsen sind auf jeder Seite drei vorhanden, und zwar:

Die Ohrspeieheldrüse, Glandula parotis, vor und unter dem Ohre gelegen, füllt den Winkel zwisehen Unterkieferast, Warzenfortsatz und äusserem Gehörgange und breitet sieh über die Vorderfläche des Masseters aus. Ihr Hauptausführungsgang, Ductus Stenonianus, geht parallel dem Joehbogen nach vorne, durchbrieht den M. buccinator und mündet an der Innenfläche der Backe, gegenüber dem ersten oder zweiten oberen Mahlzahn. Häufig liegt auf dem Ductus Stenonianus eine isolirte kleine Parotis accessoria.

Die Unterkiefer-Speicheldrüse, Glandula submaxillaris, liegt unter dem M. mylo-hyoideus in dem dreieckigen Raume zwischen unterem Rande des Unterkiefers und dem M. biventer mandibulae. Ihr Ausführungsgang, Ductus Whartonianus, mündet seitlich vom Zungenbändehen in der Caruncula sublingualis.



## 341. Läppehen der Ohrspeicheldrüse in nat. Grösse. Nach einem Präparate von Ilg.

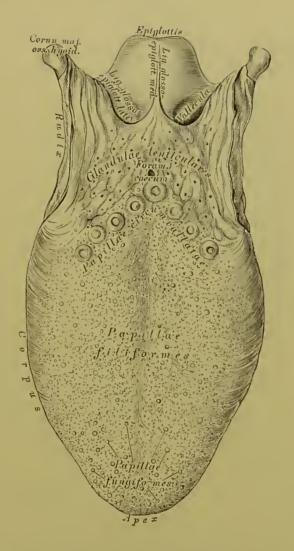
Die Unterzungen-Speicheldrüse, Glandula sublingualis, ruht auf der oberen Fläche des M. mylo-hyoideus; ihre Ausführungsgänge (acht bis zwölf), Ductus Rivini, münden hinter der Caruncula sublingualis oder vereinigen sich zu einem gemeinsamen Ausführungsgange, Ductus Bartholini, welcher mit dem Ductus Whartonianus verschmilzt oder für sich an der Carunkel mündet.

Die Speicheldrüsen sind aeinöse Drüsen; eine Anzahl Acini bilden ein Läppchen, welches einen feinen Ausführungsgang besitzt; die feinen Gänge vereinigen sich zu weiteren, diese wieder zum Hauptausführungsgang.

Die Zunge, Lingua (Fig. 342), ist ein am Grunde der Mundhöhle liegender Muskel, versehen mit einer oberen und unteren Fläche, zwei Seitenrändern, einer Spitze, einem Körper und der Wurzel. Die obere eonvexe Fläche ist mit Tast- und Geschmackswärzehen dicht besetzt, die bis in die Gegend des Isthmus faucium reichen, von hier bis zum Zungenbein befinden sich Schleim- und Balgdrüsen. An der unteren, nicht mit Wärzehen versehenen Fläche inserirt das Zungen bändehen, Frenulum linguae; an den Seitenrändern die Arcus palato-glossi. Die Zungenwurzel ist am Zungenbein befestigt; von derselben gehen eine mittlere und zwei seitliche Schleimhautfalten, Ligamenta glosso-epiglottica medium et lateralia, zum Kehldeckel.

Die Musculatur der Zunge wird durch eine fibröse Platte, das Septum medianum linguae (s. Fig. 329), in zwei Hälften getheilt; im Muskel der Zunge, an deren Spitze, ist die bohnengrosse acinöse Glandula Nuhnii s. Blandini (s. Fig. 340) eingebettet; ihre Ausführungsgünge münden an der Crista fimbriata, einem sehief nach hinten und aussen verlaufenden Schleimhautsaum.

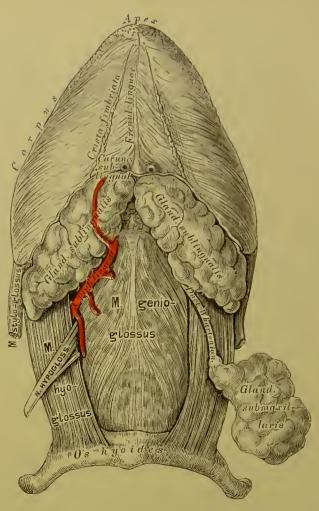
Zunge. 253



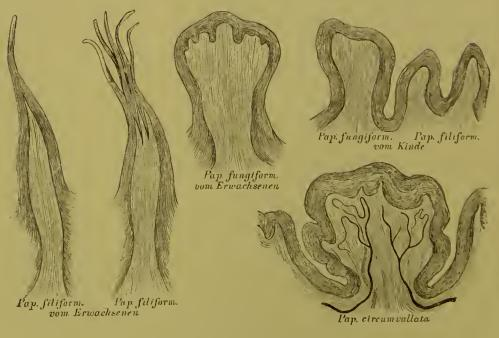
#### 342. Die obere Fläche der Zunge.

Am Zungenrücken stehen dreierlei Tast- und Geschmackswärzehen, Papillae gustatoriae (s. Fig. 344).

- a) Fadenförmige Wärzehen, Papillae filiformes, am ganzen Zungenrücken in parallelen, sehief von der Mitte nach vorn und aussen gerichteten Reihen, mit einem dieken Epithelüberzuge bekleidet, einfach oder in mehrere Fäden gespalten.
- b) Sehwammartige Wärzehen, Papillae fungiformes, zerstreut zwischen den fadenförmigen, als knopfartige Höckerehen, mit einem dünnen Epithelüberzug versehen, an der Oberfläche in kleinere Wärzehen getheilt.
- e) Wallförmige Wärzehen, Papillae eireumvallatae s. truncatae, acht bis fünfzehn an der Zahl, in zwei, gegen die Mediaulinie eonvergirenden Reihen gestellt, jede von einem Schleimhautwall umgeben, in mehrere Papillen gespalten. An der Stelle, wo die zwei Reihen zusammenstossen, liegt das blindsackförmige Foramen coccum. Hinter den wallförmigen Wärzehen liegen Balgdrüsen, Glandulae lenticulares linguae.

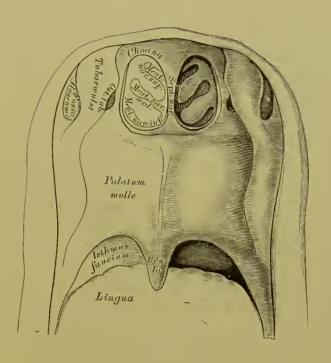


343. Die untere Fläche der Zunge.

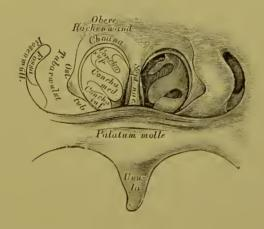


344. Die Geschmackswärzehen der Zunge. Nach Präparaten von E. Klein.

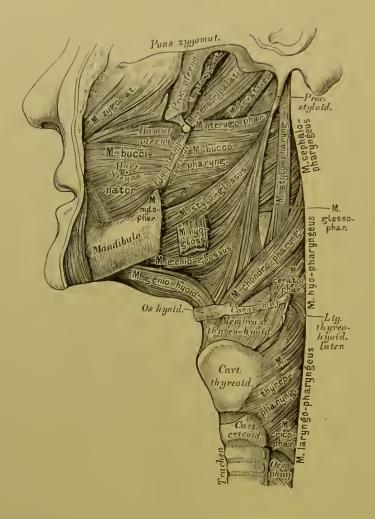
Rachen. 255



345. Die vordere Rachenwand von hinten gesehen.

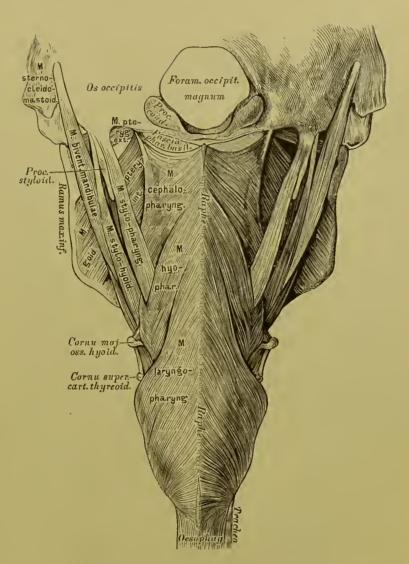


346. Das rhinoskopische Bild in natürlicher Grösse.



347. Die Rachenmuskeln von der Scite, nach Entfernung der Wirbelsäule.

Der Raum hinter Mund- und Nasenhöhle heisst Rachen; durch Vermittlung des Schlundkopfes (hinter dem Kehlkopfe) setzt sich derselbe in die Speiseröhre fort. Die vordere Raehen wand communicirt mit den Nasenhöhlen durch die Choanae, mit der Mundhöhle durch den Isthmus faucium und mit der Kehlkopfhöhle durch den Aditus ad laryngem. An der Seitenwand des Rachens, hinter dem äusseren Choanenrande, befindet sieh beiderseits das Ostium pharyngeum Tubae Eustachii, 1 Ctm. lang, sehief von innen und oben nach aussen und unten gerichtet, mit wulstigen Rändern verschen; zwischen diesem Ostium und der hinteren Rachenwand ist die Schleimhant zu einer Bucht vertieft — die Rosenmüller'sche Grube. Durch den weichen Gaumen, wenn sieh dieser an die hintere Rachenwand anlegt, wird der Rachen in zwei Räume geschieden, Cavum pharyngo-nasale und Cavum pharyngo-laryngeum.



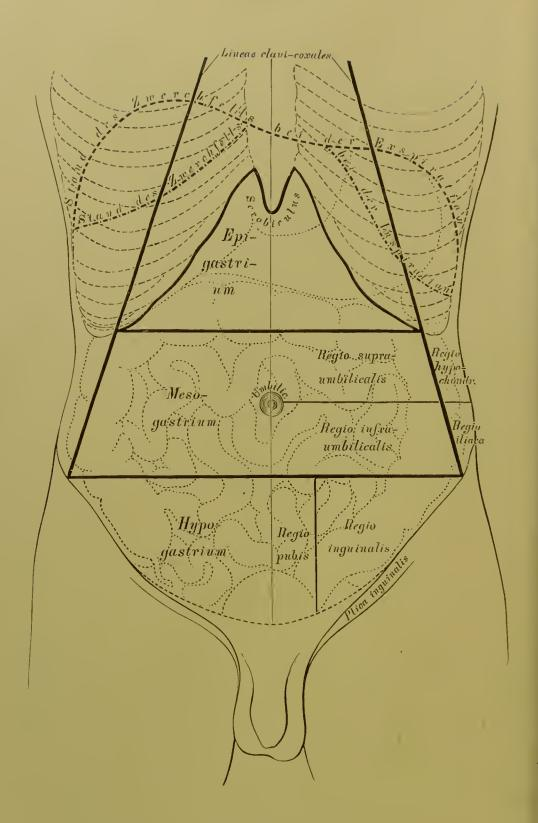
348. Die Rachenmuskeln von hinten, nach Entfernung der Wirbelsäule.

Die Längsmuskeln des Rachens sind: der paarige M stylo-pharyngeus und der unpaare, hänfig fehlende M. azygos pharyngis. Die Schnürmuskeln des Rachens, Constrictores pharyngis, stessen, indem sie die seitliche und hintere Wand des Rachens bilden, in der hinteren Mittellinie an der Raphe zusammen. Es werden drei Muskelpaare unterschieden:

Der M. cephalo-pharyngeus s. constrictor superior entspringt vom Hamulus pterygoideus des Keilbeins (Pterygo-pharyngeus), von der Linea mylo-hyoidea (Mylo-pharyngeus), vom seitlichen Zungenrande (Glosso-pharyngeus) und von der Fascia bucco-pharyngea (Bucco-pharyngeus).

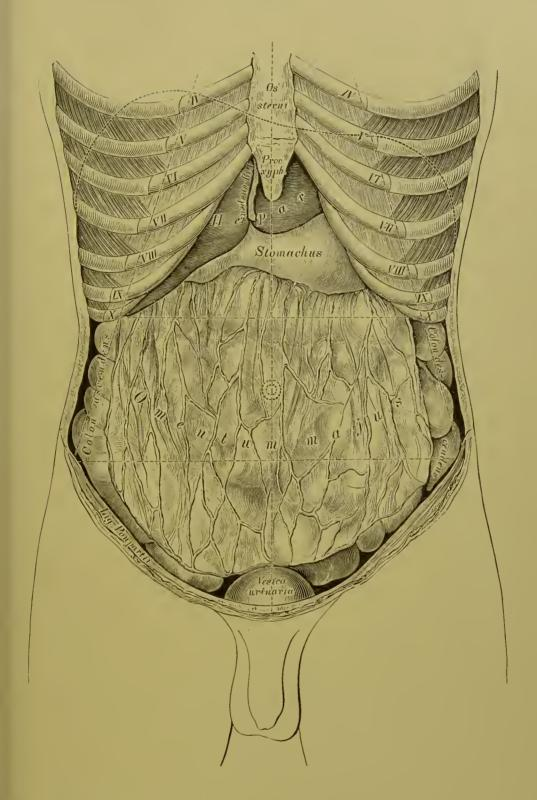
Der M. hyo-pharyngeus s. constrictor medius entspringt vom grossen Zungenbeinhorne (Cerato-pharyngeus) und vom kleinen Zungenbeinhorne (Chondro-pharyngeus).

Der M. laryngo-pharyngeus s. constrictor inferior entspringt von der äusseren Fläche des Schildknorpels (Thyreo-pharyngeus) und des Ringknorpels (Crico-pharyngeus). Die Constrictoren schieben sich derart übereinander, dass der untere den mittleren und dieser den oberen theilweise deckt.



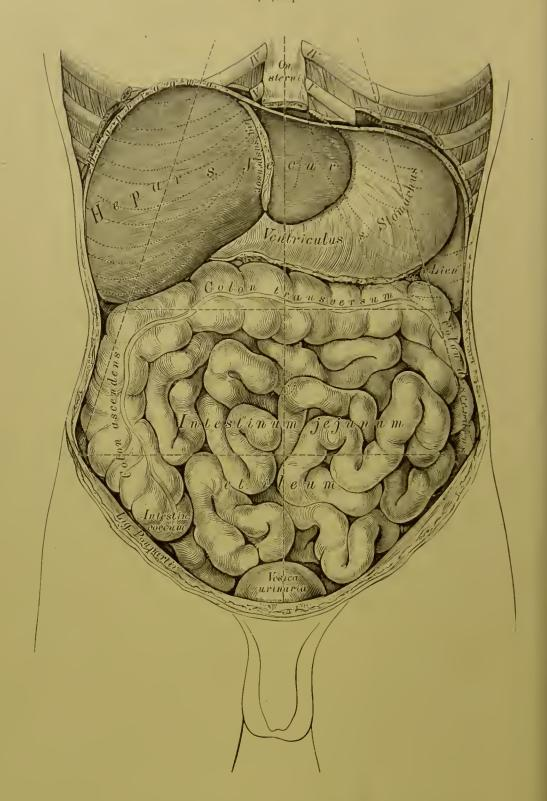
349. Topographie der Baucheingeweide. I.

Die Regionen des Unterleibes.



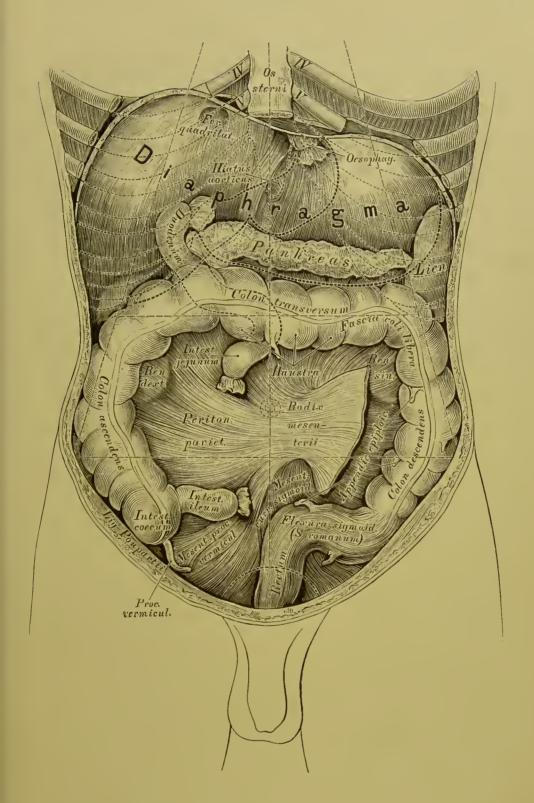
350. Topographie der Baucheingeweide. II.

Ansicht des grossen Netzes nach Entfernung der vorderen Bauchwand.



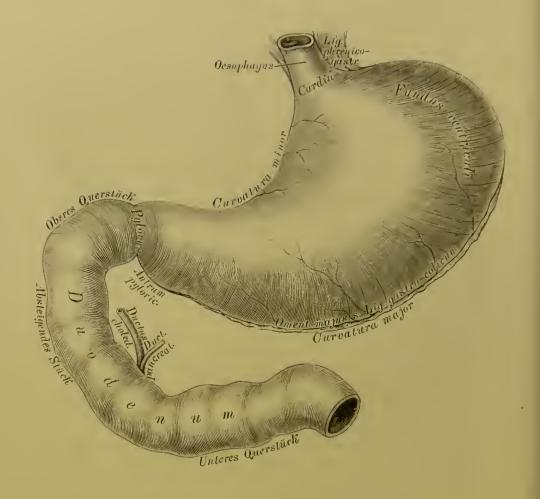
351. Topographie der Baucheingeweide. III.

Ansicht der Leber, des Magens und der Gedärme nach Entfernung des grossen Netzes und der unteren Rippenbögen.



352. Topographie der Baucheingeweide. IV. Ansicht nach Entfernung der Leber, des Magens und der Dünndärme.

262 Magen.

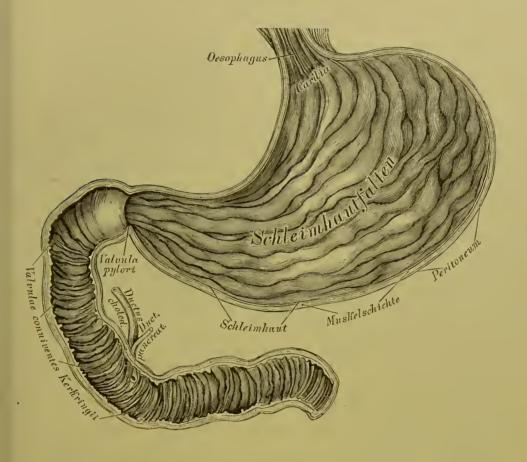


353. Der Magen mit dem Zwölffingerdarm in der Ansicht von vorne.

Die Speiseröhre, Oesophagus, verbindet die Rachen- mit der Magenhöhle. Sie liegt am Halse hinter der Trachea, etwas links von ihr; im hinteren Mediastinum von der Bifurcationsstelle der Trachea an, an der rechten Seite der Aorta, kreuzt sich weiter unten mit dieser und gelangt durch das links liegende Forumen oesophageum des Zwerchfells zum Magen.

Der Magen, Ventriculus s. stomachus, liegt in der Regio epigastrica: seine Nachbarschaft bilden: oben das Zwerchfell, unten das Colon transversum, hinten das Paulreas, links die Milz. Am Magen wird unterschieden: der Eingang, Cardia (Ostium oesophageum), der Ansgang. Pförtner, Pylorus (Ostium duodenale), und der sackförmig ausgebuchtete Grund, Fundus ventriculi. Vom Grunde gegen den Pylorus hin verschmächtigt sich der Magen. vor dem Pylorus erweitert sich derselbe mässig zum Antrum pyloricum Willisii. Am Pylorus bildet die Grenze zwischen Magen und Zwölffingerdarm eine äusserlich sichtbare seichte Einschnürung.

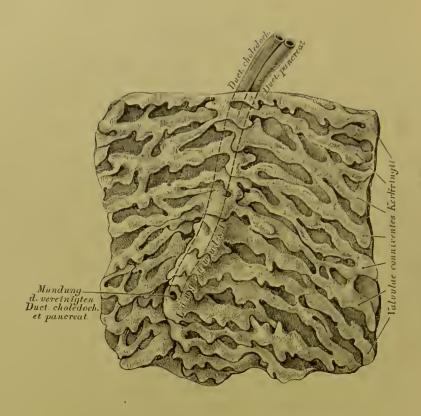
Magen.



354. Der Magen mit dem Zwölffingerdarm nach Entfernung der vorderen Wand.

Dort, wo die vordere und hintere Fläche des Magens zusammenstossen, entsteht der kleinere, concave obere Bogen, Curvatura minor, und der grosse, convexe untere Bogen, Curvatura major. Ist der Magen gefüllt, so wird seine vordere Fläche zu einer oberen, seine hintere zu einer unteren. Der Banchfellüberzug des Magens übergeht von diesem zu den Nachbarorganen mittelst bandartiger Duplicaturen, und zwar von der Cardia zum Zwerchfell als Ligamentum phrenico-gastricum; vom Magengrund zur Milz als Ligamentum gastro-lienale; vom kleinen Magenbogen schief zur Leberpforte als kleines Netz, Ligamentum hepato-gastricum s. Omentum minus. Vom grossen Magenbogen hängt, die dünnen Gedärme deckend, das grosse Netz, Ligamentum gastro-colicum s. Omentum majus, herab: dasselbe ist eine Banchfellduplicatur, die rückkehrend zum Colon transversum aufsteigt und über dessen Bauchfellüberzug hinweg zum Pankreas zicht (s. Fig. 371 und 372). Die Schichten des Magens bilden von aussen nach innen: das Bauchfell, das Muskellager (Längs-, Kreis- und schiefe Fasern), dann die reichlich mit Drüsen verschene Schleimhaut.

264 Dünndarm.

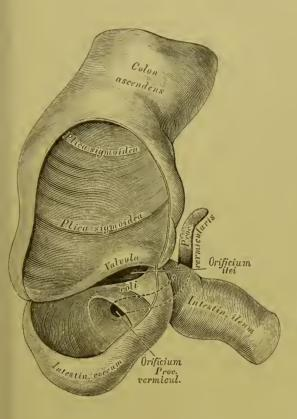


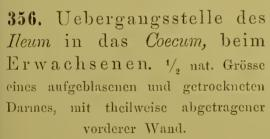
355. Die innere Fläche des Zwölffingerdarmes, an dessen absteigendem Theile.

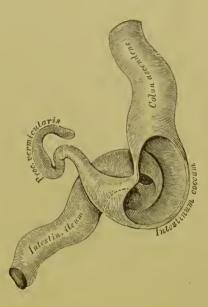
Der Zwölffingerdarm, Intestinum duodenum, bildet eine Krümmung um den Kopf des Pankreas mit einem oberen Querstück, einem absteigenden Stück und einem uuteren Querstück. Das obere Querstück ist vollständig vom Bauchfell überzogen; das untere liegt zwischen den Blättern des Mesocolon transversum; das absteigen de Stück ist nur au seiner Vorderfläche vom Bauchfell bedeckt.

Der Leer- und Krummdarm, Intestinum jejunum et ileum, bilden zusammen ohne seharfe Greuze ein vielfach gesehlungenes, bewegliches Rohr in der Bauch- und Beckenhöhle; sie sind am Dünndarmgekröse, Mesenterium, und durch die Radix mesenterii an der Leudenwirbelsäule fixirt.

Die Schichten des Dünndarmes sind wie die des Magens: Bauchfell, Muskellager (bestehend aus einer äusseren Längs- und inneren Querfaserschicht), Schleimhaut, welche mit einer eigenen Längs- und Quermuseulatur, mit Falten, Zotten und Drüsen versehen ist.







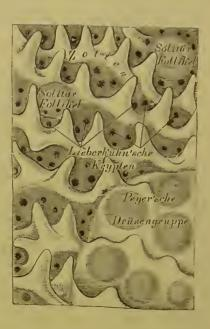
357. Uebergangsstelle des *Ileum* in das
Coecum, bei einem
7-monatlichen Fötus.
Natürliche Grösse eines aufgeblasenen und getrockneten Darmes, mit theilweise abgetragener hinterer Wand.

Falten bildungen der Dünndarmsehleim haut sind: Querfalten, Valvulae conniventes Kerkringii, vom absteigenden Stück des Duodenum an bis zum Coccum; im Duodenum sind sie am längsten und stehen am diehtesten, je weiter von hier, desto niederer und von einander entfernter werden sie. Im absteigenden Stück des Duodenum, nahe am inneren Rande der hinteren Wand befindet sieh ein Längen wulst, dadurch entstanden, dass die vereinigten Duct. choledochus und pancreaticus die Schleimhaut vorwölben, um am Ende des Wulstes in das Darmlumen auszumünden. Dort, wo das Ileum in das Coccum mündet, bildet die Schleimhaut die doppellippige Blinddarm-klappe, Valvula coli.

Die Schleimhaut des Dünndarmes ist in ihrer ganzen Ausdehnung mit feinen Vorstülpungen derselben dicht besäet — Zotten, Villi intestinales; jede führt reichlich Blutgefässe und ein in ihrem Axentheil verlaufendes einfaches oder Maschen bildendes Lymphgefäss.

Düundarın. 266





fläche des Dünndarmes in natürlicher Grösse.

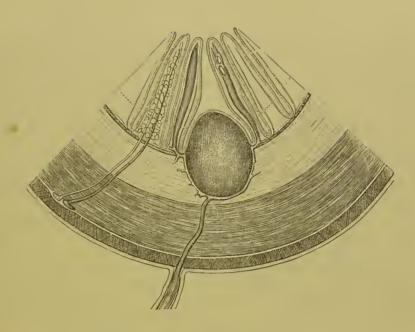
358. Segment der Innen- 359. Segment der Innenfläche des Dünndarmes bei Loupenvergrösserung.

Am Dünndarm existiren vier Formen von Drüsen:

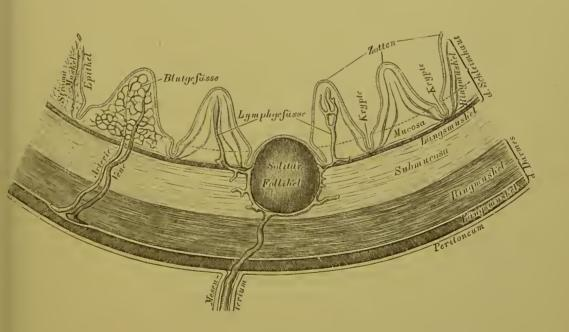
- a) Die Lieberkühn'schen Krypten sind einfache Schläuche, die in den Zwischenräumen der Zottenbasen münden.
- b) Die Brunner'sehen Drüsen sind acinöse Drüsen, die nur im Duodenum vorkommen, besonders zahlreich im Anfangsstücke desselben.
- c) Die solitären Follikelliegen zerstreut in der ganzen Darmschleimhaut; es sind Lymphdrüsen-ähnliche Bildungen von verschiedener Grösse.
- d) Die Peyer'schen Drüsengruppen (Agmina) sind Anhäufungen von solitären Follikeln, in der Regel nur im Ileum, gegenüber der Insertion des Mesenterium anzutreffen; ihr Längendurehmesser verläuft parallel jenem des Darmes.

Der Dickdarm beginnt als Blinddarm, Coecum, von dessen unterem Ende der 6-8 Ctm. lange wurmförmige Anhang, Processus vermicularis s. vermiformis, ausgeht; auf den Blinddarm folgt der Grimmdarm, Colon, als Colon ascendens, Colon transversum und Colon descendens; auf diese folgt die Flexura sigmoidea s. S romanum, endlich der Mastdarm, Intestinum rectum, der am After, Anus, sein Ende erreicht. Nur das Coccum mit dem Wurmfortsatz. das Colon transversum und das S romanum sind vollständig vom Bauchfell überkleidet, am übrigen Theile des Dickdarmes fehlt dasselbe in verschieden grosser Ausdehnung an der hinteren Fläche.

Dünndarm. 267

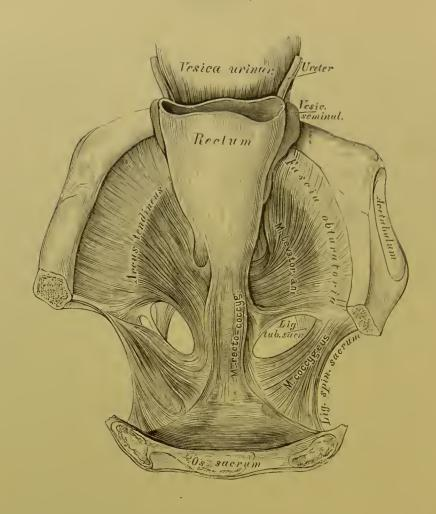


360. Schematischer Querschnitt der Dünndarmwand bei contrahirter Musculatur. Segment bei etwa 25-facher Vergrösserung.



361. Schematischer Querschnitt der Dünndarmwand bei erschlaffter Musculatur. Segment bei etwa 25-facher Vergrösserung.

268 Mast larm,



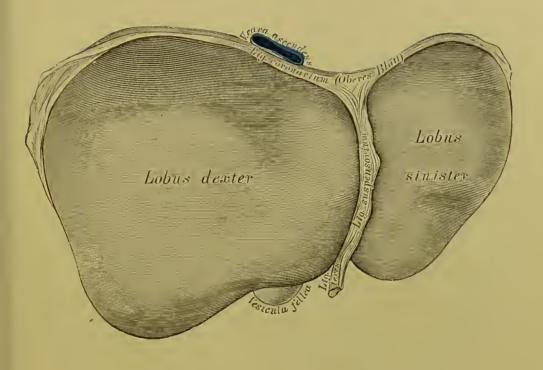
362. Horizontal-Durchschnitt des Beckens

durch den unteren Rand des dritten Krenzwirbels. Nach Entfernung des Bauchfells ist die Harnblase sammt dem collabirten Mastdarm vorwärts umgelegt. Nach J. Henle.

Die Muskelschicht des Dickdarmes ist zu drei Strängen zusammengeschoben, die Fasciae, Taeniae Valsalvae s. Ligamenta coli (s. Fig. 352); man unterscheidet eine Fascia omentalis, mesenterica und libera. Am S romanum und am Rectum verbreitern sie sich zu einer ummterbrochenen Längsfaserschicht; die Kreisfasern bilden am Ende des Rectum den M. sphineter ani internus. Selbstständige Muskeln des Mastdarmendes sind der M. sphineter ani externus und der M. levator ani; der Ursprung und Zusammenhang des letzteren mit dem M. recto-coccyqeus ist in der obigen Figur dargestellt.

Die Schleimhaut des Dickdarmes bilden die mit Kreismuskelfasern versehenen Plicae sigmoideae (s. Fig. 356), deren letzte etwa 8 Ctm. oberhalb des Afters liegt; Zotten existiren auf der Diekdarmsehleimhaut nicht; wohl aber Lieberkühn'sche Krypten und Solitär-Follikel. Am Mastdarmende erzeugen die Schleimhautfalten die Sinus Morgagni.

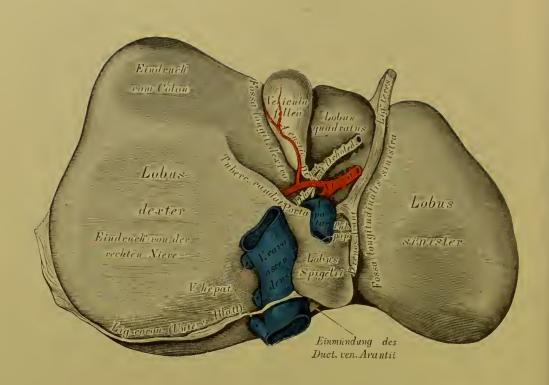
Leber. 269



363. Die Leber, Hepar. Ansicht von oben.

Die Leber liegt im rechten Hypochondrium und erstreckt sieh bis hinüber in das linke. Ihr vorderer scharfer Rand besitzt einen Einschnitt zur Aufnahme des Ligamentum suspensorium; ihr hinterer, stumpfer Rand steht höher als der vordere; der rechte Rand ist gleichfalls stumpf, der linke, zugeschärfte liegt vor der Cardia des Magens. Die obere Fläche ist entsprechend der Wölbung des Diaphragma eonvex und etwas nach vorne geneigt; durch das Lig. suspensorium ist die Grenze zwischen dem grossen rechten und dem kleinen linken Leberlappen markirt. Die untere Fläche der Leber (s. Fig. 364) zerfällt durch drei wie ein II gestellte Furchen in vier Abtheilungen; diese Furchen sind: die Fossa longitudinalis dextra, die Fossa longit. sinistra und die Fossa transversa s. Porta hepatis. Rechts von der Fossa longit. dextra ist der rechte Leberlappen, links von der Fossa longit. sinistra der linke Leberlappen; vor der Fossa transversa der viereckige Lappen, hinter derselben der Spigel'sche Lappen, mit dem stumpf kegelförmigen Tuberculum papillare, und mit einem Fortsatz, dem Tuberculum caudatum, welcher sich gegen den rechten Leberlappen hinzicht.

270 Leber.

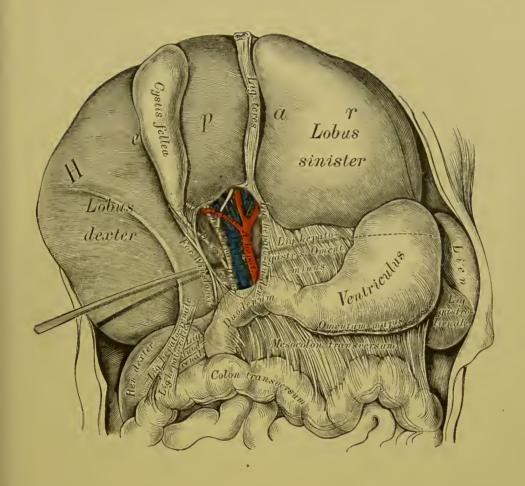


364. Die Leber, Hepar. Ansieht von unten.

Durch die Fossa transversa (Porta hepatis) wird jede der Längsfurchen in zwei Theile abgetheilt; die rechte Längsfurche trägt im vorderen Abselmitte die Gallenblase, im hinteren die Vena cava ascendens, die linke Längsfurche im vorderen Abselmitte das Nabelband, Ligamentum teres, im hinteren den Ductus venosus Arantii. In der Pforte treten die Gefässe und Nerven der Leber aus und ein, nur die Venac hepaticae münden im hinteren Abselmitte der rechten Längsfurche in die Vena cava ascendens.

Der Peritonealüberzug der Leber bildet: das Aufhängeband, Ligamentum suspensorium, zwischen unterer Zwerchfellfläche und vorderer Bauchwand (bis zum Nabel herab) einer- und der oberen Leberfläche andererseits, und das Kranzband, Ligamentum coronarium, zwischen hinterem Theil des Zwerchfells einer- und dem hinteren, stumpfen Leberrande andererseits. Das Nabelband, Ligamentum teres, kommt vom Nahel, eingeschlossen im Aufhängebande, und geht durch die linke Längsfurche zum linken Pfortaderaste.

Leber. 271



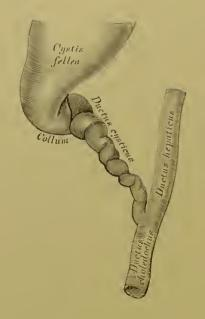
# 365. Die Peritonealbänder der Leber eines etliche Wochen alten Kindes.

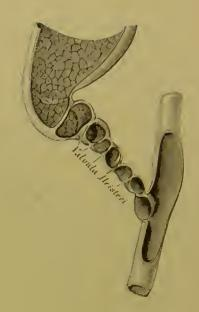
Der Peritonealüberzug der Leber bildet ferner:

- a) zwischen Leber und kleinem Bogen des Magens das Ligamentum hepatogastricum s. Omentum minus:
  - b) zwischen Leber und Zwölffingerdarm das Ligamentum hepato-duodenale;
- e) zwisehen Leber und oberem Theil der rechten Niere das Ligamentum hepato-renale;
- d) zwischen Leber und Colon das Ligamentum hepato-colicum; die beiden letzteren Bänder sind nicht immer deutlich entwickelt.

Zwischen Ligamentum hepato-duodenale und Ligamentum duodeno-renale befindet sich das ovale Foramen Winslowii, durch welches der Finger oder die Sonde in einen Raum hinter dem Magen und dem Omentum minus gelangt, der den Namen Saccus peritonei retroventricularis s. Bursa omentalis führt.

Das Ligamentum teres entspricht der obsoleseirten Vena umbilicalis; der nach der Geburt gleichfalls obliterirende Ductus venosus Arantii lief im Embryo vom linken Pfortaderaste nach hinten, um den Lobulus Spigelii herum, um in die Vena cava ascendens oder in eine Lebervene zu miinden.





366. Gallenblase und Gallengänge. Nach einem aufgeblasenen und getroekneten Präparate. Natürliche Grösse.

367. Gallenblase und Gallengänge. Die vordere Wand des getrockneten Präparates weggeschnitten. Natürliche Grösse.

Die Gallenblase, Cystis fellea s. Cholecystis, liegt im vorderen Abselmitte der Fossa longitudinalis dextra; sie ist birnförmig; ihr Grund überragt den vorderen Leberrand, ihr mehrfach geknickter Hals geht in den Ductus cysticus über. Die Schleimhautsläche ist mit polygonen Fältchen besetzt; im Halse der Blase und des Ductus cysticus bildet die Schleimhaut eine mehr oder weniger spiral verlaufende Klappe, die Valvula Heisteri.

Der Ductus cysticus vereinigt sich mit dem aus der Pforte der Leber kommenden Ductus hepaticus, wodurch der federkieldicke gemeinschaftliche Gallengang. Ductus choledochus, entsteht. Der Ductus choledochus verschmilzt mit dem Ductus pancreaticus und verläuft in der hinteren Wand des absteigenden Stückes des Zwölffingerdarmes, daselbst einen Längenwulst bildend, um im Darmlumen auszumünden.

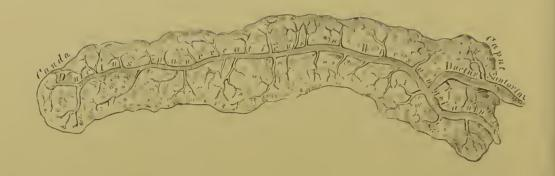
Die Gallenblase ist zusammengesetzt aus einer äusseren Bindegewebsschicht, einer mittleren Muskelschicht (Längs- und Querfasern) und der inneren Schleimhaut; sie besitzt nur an ihrer unteren Fläche und an ihrem Grunde einen Bauchfellüberzug.

Leber, 273



368. Schema des Baues der Leber.
Segment eines Leberläppehens.

Die Leber ist aus einer Summe von Läppchen, Acini s. Lobuli, zusammengesetzt, die jedoch nicht streng von einander geschieden sind. Zwischen den Läppehen verlaufen die Endäste der Art. hepatica (wahrscheinlich ohne sich an der Läppehenbildung zu betheiligen) und die der Vena portae; diese Gefässe heissen Vasa interlobularia. Die ersten Anfänge der Venac hepaticae hingegen verlaufen in der Axe des Leberläppehens als Vasa intralobularia oder Venac centrales. Die Vasa inter- und intralobularia sind mit einander durch ein Capillarnetz verbunden, in dessen engen Maschen die Leberzellen liegen. Zwischen den Leberzellen beginnen die Anfänge der Gallengefässe, die sieh zu Ductus biliarii vereinigen; diese Ductus biliarii verlaufen in Gesellschaft der Vasa interlobularia.



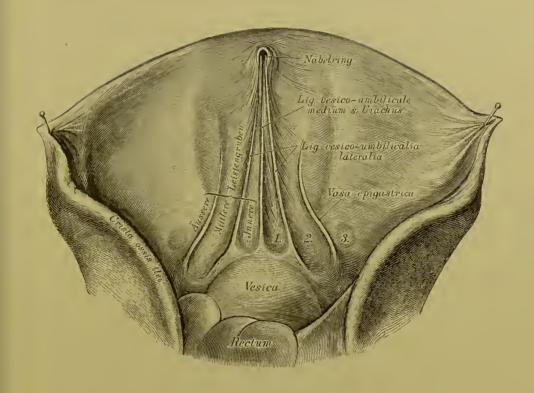
369. Pankreas, mit injicirtem, gabelförmig getheiltem Ausführungsgange.

Ansicht von hinten in ½ natürlicher Grösse.

Die Bauehspeicheldrüse, Pankreas, liegt hinter dem Magen, auf dem Lendentheile des Zwerchfells (s. Fig. 352); sie stösst mit der verschmächtigten Cauda an die Milz, mit dem verdiekten Caput an die Concavität der Krümmung des Duodenum. Ihr federkieldieker Ausführungsgang, Ductus panercaticus s. Wirsungianus, verläuft in der Längsaxe der Drüse, vereinigt sieh mit dem Ductus choledochus und mündet mit diesem im Duodenum; selten hat jeder Ductus eine eigene Mündung. Häufig ist die gabelförmige Theilung des Ductus panereaticus; der untere Ast vereinigt sieh dann mit dem Gallengange, der obere hingegen (Ductus Santorini) mündet separat 3—4 Ctm. oberhalb des unteren.

Die Milz, Lieu s. Splen (s. Fig. 352 und 365), ist eine Gefässdrüse, in der linken Regio hypochondviaca neben dem Fundus ventriculi liegend. Die äussere und obere Fläche berührt die eoneave Fläche der Pars costalis Diaphragmatis, die innere Fläche mit dem Hilus lienis berührt mit dem vorderen Theile den Magen, mit dem hinteren die Pars lumbalis Diaphragmatis: der vordere Rand ist zugeschärft, der hintere stumpf. Der Bauchfellüberzug steht mit dem des Magens durch das Lig. gastvo-lienale, mit dem des Zwerchfells durch das Lig. phrenico-lienale in Verbindung; überdies ist die Milz mit der Tunica propria bekleidet, welche die Trabeculae lienis in das Parenchym hineinsendet; in den Rämmen der bindegewebigen Balken liegt die Pulpa lienis.

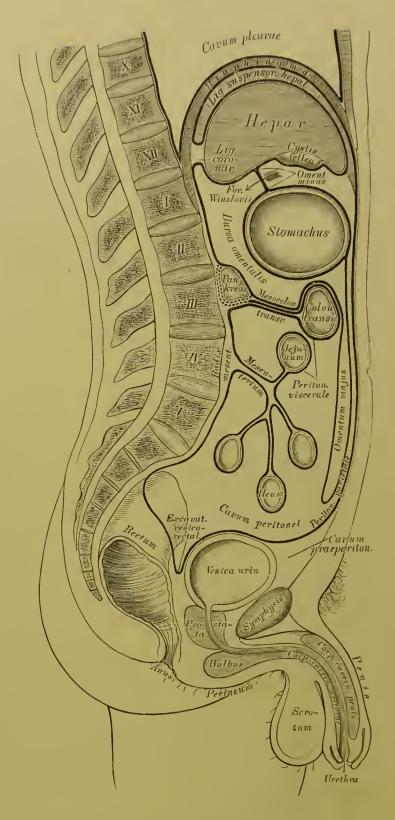
Bauchfell. 275



#### 370. Ansicht der vorderen Bauchwand von innen.

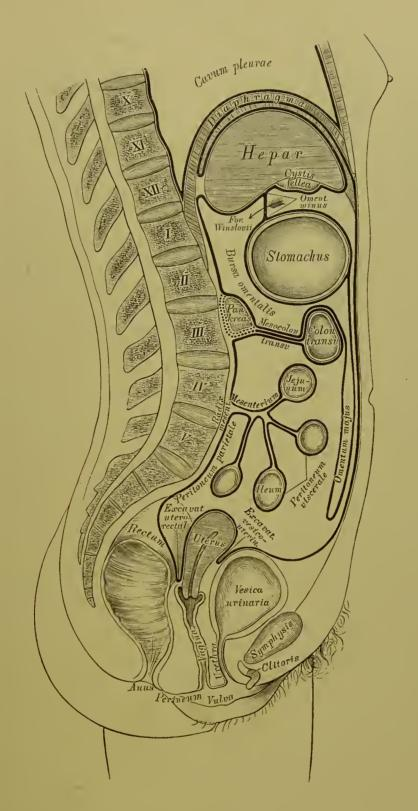
An der Innenseite der vorderen Bauehwand sieht man fünf Falten des Peritoneums vorspringen, welche durch hinter demselben verlaufende, bindegewebige Stränge verursacht werden. Die mittelste dieser Falten heisst das Ligamentum vesico-umbilieale medium, mittlere Aufhängeband der Blase, und enthält die Reste des Urachus, d. i. des Verbindungsganges zwischen Harnblase und Allantois; die ihr zunächst liegenden beiden Falten heissen Ligamenta vesico-umbiliealia lateralia, seitliche Aufhängebänder der Blase, und diese enthalten die obliterirten Reste der Nabelarterien; lateral davon springt beiderseits die durch die Vasa epigastrica bedingte Falte etwas vor. Die zwischen diesen vorspringenden Falten befindlichen seichten Vertiefungen heissen Leistengruben: innere, mittlere und äussere. In der äusseren Leistengrube ist meistens ein kleines Grübehen: Foveola inguinalis, bemerklich oder an Stelle desselben wohl auch nur eine weissliche Narbe: Stelle des obliterirten Processus vaginalis (Bauchöffnung des Leistenkanals).

Bauchfell,



371. Schema des Verlaufes des Peritoneum beim Manne.

277



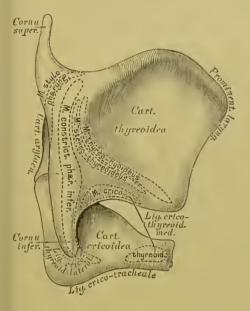
372. Schema des Verlaufes des Peritoneum beim Weibe.



373. Horizontalschnitt durch den Bauch unterhalb des *Processus xyphoideus* in der Magengrube.

Von einem einjährigen Kinde in natürlicher Grösse.

Das Bauchfell, Peritoneum, bildet einen die Bauchhöhle auskleidenden, geschlossenen (nur beim Weibe an den Mündungen der Oviduete durchlöcherten) Sack, welcher durch die Bauch- und Beckeneingeweide eingestülpt wird, um diese ganz oder theilweise zu überziehen; es wird demnach in ein Peritoneum parietale und ein Peritoneum viscerale eingetheilt. Man beginnt den Verlauf des Bauchfells vom Nabel an zu verfolgen, und findet denselben verschieden an den Beckenorganen des Mannes und des Weibes, während der weitere Verlauf bei beiden Geschlechtern identisch ist. Beim Manne befindet sieh zwischen Harnblase und Mastdarm die Excavatio vesico-rectalis; beim Weibe zwisehen Harnblase und Uterus (mit seinen Anhängseln) die vordere Excavatio vesico-uterina und die hintere, tiefe Excavatio utero-rectalis. An der vorderen Bauchwand bildet das Bauchfell das Lig. suspensorium hepatis, in dessen unteren Rand das die obliterirte Nabelvene repräsentirende Liq. teres eingelagert ist. Zwischen Leber und Magen ist das Omentum minus ausgespannt, dessen rechter Rand die Pfortader enthält und Lig. hepato-duodenale heisst; vom Magen nach abwärts zieht das Omentum majus, welches zunächst als sehürzenförmige Duplieatur das Convolut der Darmsehlingen bedeekt, dann zum Colon transversum aufsteigend zur Bildung des Mesocolon transversum beiträgt. Weiter rückwürts überzieht es das Pankreas und bildet die hintere Wand der Bursa omentalis. An der hinteren Bauehwand steigt das Peritoneum als Mesenterium zu den Dünndärmen,



# **374.** Das Knorpelgerüst des Kehlkopfes.

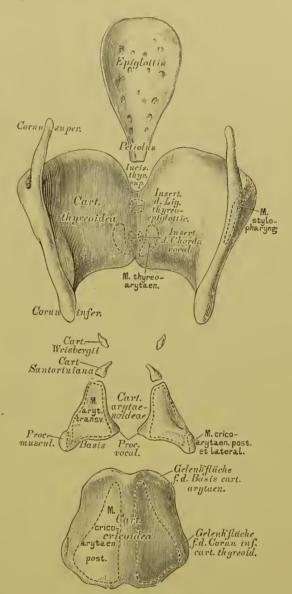
Seitenansicht.

Der Kehlkopf, Larynz, wird von folgenden Knorpeln zusammengesetzt:

- a) Der Schildknorpel, Cartilago thyreoidea, stellt zwei, zu einander in einem mehr oder weniger rechten Winkel stehende, viereckige Platten dar, deren oberer Rand an der Vereinigungsstelle die Incisura thyreoidea superior zeigt. Der hintere Rand einer jeden Platte verlängert sich zu den Schildknorpelhörnern, Cornu superius (longum) und Cornu inferius (breve).
- b) Der Ringknorpel, Cartilago cricoidea, liegt unter dem Schildknorpel, zwischen dessen unteren Hörnern (mit diesen articulirend),

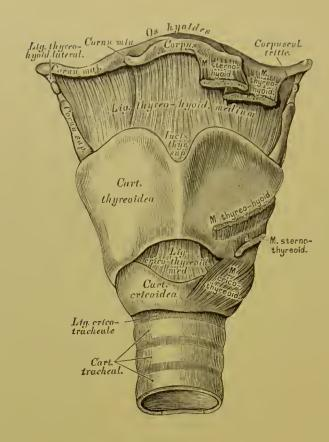
mit einem vorderen, sehmalen, und einem hinteren, breiten Ringtheile. Der hintere Ringtheil besitzt am oberen Rande zwei ovale Gelenkflächen für die Bases der Giessbeckenknorpel.

e) Die Giessbeekenknorpel, Cartilagines arytaenoideae (ein rechter und ein linker), sind mit dem Ringknorpel articulirende, flache Pyramiden, mit einer etwas nach hinten gekrümmten Spitze, mit einer inneren, äusseren und hinteren Fläche, die sämmtlich mit Schleimhant überzogen sind. Die vordere Eeke der Basis bildet den Stimmbandfortsatz, Processus vocalis, die äussere den Muskelfortsatz, Processus muscularis.



# 375. Das Knorpelgerüst des Kehlkopfes.

Ansicht der auseinander gelegten Knorpel von hinten.



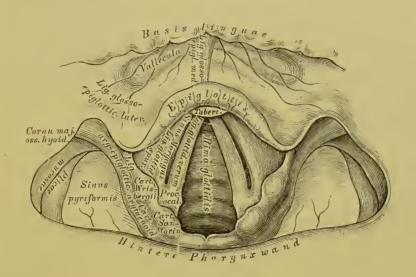
#### 376. Der Kehlkopf, Larynx. Ansicht von vorne.

An den Spitzen der Giessbeckenknorpel liegen bändrig mit diesen verbunden die Cartilagines Santorinianae (Cornicula), und zwisehen den Blättern der die Giessbeckenknorpel mit dem Kehldeckel verbindenden Schleimhautfalten die Cartilagines Wrisbergii s. euneiformes.

d) Der Kehldeckel, Epiglottis, sieht mit seinem oberen, freien Rande nach oben und hinten (s. Fig. 380) und ist mit seiner dickeren, versehmächtigten Spitze (Stiel, Petiolus) mittelst des Ligamentum thyreoepiglotticum an den Schildknorpel geheftet. Die beiden Flächen sind sattelförmig, mit einander entgegengesetzten Krümmungen; ein Theil der unteren Fläche nächst der Spitze ragt als Epiglottiswulst schwach vor.

Die wahren Bänder der Kehlkopfknorpel sind:

a) Das Ligamentum thyrco-hyoideum medium (auch Membrana obturatoria laryngis) zwischen Zungenbein und oberem Schildknorpelrande, und die zwei Ligamenta thyrco-hyoidea lateralia zwischen den oberen Schildknorpelhörnern und den grossen Zungenbeinhörnern, strangförmig, häufig ein faserknorpeliges Corpusculum triticeum einschliessend.

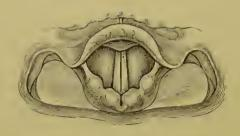


# 377. Das laryngoskopische Bild beim ruhigen Athmen. In doppelter Naturgrösse.

- b) Das Ligamentum crico-tracheale zwischen dem unteren Rande des Ringknorpels und dem oberen Rande des ersten Luftröhrenknorpels.
- c) Die Ligamenta crico-thyreoidea lateralia, Kapselbänder zwischen den unteren Schildknorpelhörnern und den Seitenflächen des Ringknorpels, mit zwei Verstärkungsbändern, dem Ligamentum cerato-cricoideum posticum superius und dem Ligamentum cerato-cricoideum posticum inferius (s. Fig. 381 und Fig. 382).
- d) Das Ligamentum crico-thyreoideum medium s. Ligamentum conicum zwischen unterem Rande des Schildknorpels und oberem Rande der vorderen Platte des Ringknorpels, reichlich elastische Fasern führend (s. Fig. 376).
- e) Die *Ligamenta crico-arytaenoidea*, Kapselbänder zwischen den Basen der Giessbeckenknorpel und den entsprechenden Gelenkflächen am hinteren Halbring des Ringknorpels (s. Fig. 382 und Fig. 384).
- f) Das Ligamentum thyreo-epiglotticum zwischen Spitze des Kehldeckels und Incisura cartilaginis thyreoidea superior (s. Fig. 386).

Die Sehleimhautbänder der Kehlkopfknorpel sind:

- a) Das Ligamentum glosso-epiglotticum medium und die Ligamenta glosso-epiglottica lateralia zwischen Zungenwurzel und Epiglottis; das mittlere heisst auch Frenulum epiglottidis.
- b) Die *Ligamenta epiglottideo-arytacnoidea (ary-epiglottica)* zwischen Kehldeckel und Giessbeckenknorpeln, die *Cartilagines Wrisbergii* tragend.





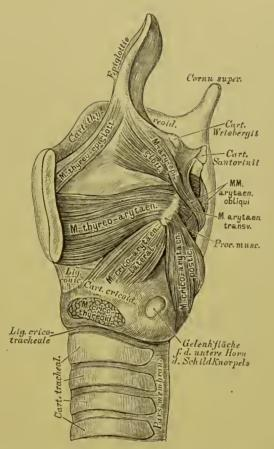
378. Das laryngoskopische Bild beim Anlauten.
Natürliehe Grösse.

379. Das laryngoskopische Bild der hinteren Kehlkopf- und Luftröhrenwand und der Bifureationsstelle. Natürliehe Grösse.

Die Stimmbänder bilden zwei Paar über einander liegender, mit Sehleimhaut bekleideter, elastischer Bänder im Inneren des Kehlkopfes, ausgespannt zwischen den Innenflächen der Schildknorpelplatten und den Giessbeckenknorpeln, daher Ligamenta thyreo-arytaenoidea, oder Ligamenta glottidis. Das obere Paar, Ligamenta glottidis spuria, am vorderen Rande der Giessbeckenknorpel befestigt, ist schwächer und ragt weniger weit gegen die Stimmritze, die Rima glottidis, vor, als das untere Paar, Ligamenta glottidis vera, dem die Processus vocales der Giessbeckenknorpel zur Insertion dienen. Die Spalte zwischen beiden falsehen Stimmbändern heisst Glottis spuria, jene zwischen beiden wahren Stimmbändern Glottis vera; zwischen den falsehen und wahren Stimmbändern liegt beiderseits eine Bucht, der Sinus s. Ventriculus Morgagni.

Kehlkopf,

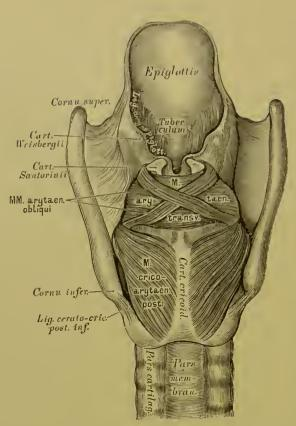
Die wahren Stimmbänder, als die allein Stimme erzengenden, heissen auch Chordae vocales; die von ihnen begrenzte Rima glottidis hat bei ruhigem Athmen eine dreieckige Gestalt, durch welche man mittelst des Kehlkopfspiegels die vordere Wand des Kehlkopfes (Gegend des Schildknorpels, des Lig. conicum, des Ringknorpels) und der Luftröhre (Trachealknorpel), bei entsprechender Stellung des Spiegels die hintere Wand des Kehlkopfes (Gegend zwischen beiden Giessbeekenknorpeln) und der Luftröhre (Pars membranacea) bis hinab zur Theilungsstelle der letzteren überschen kann. Im Momente des Anlautens wird die Stimmritze momentan vollständig versehlossen.



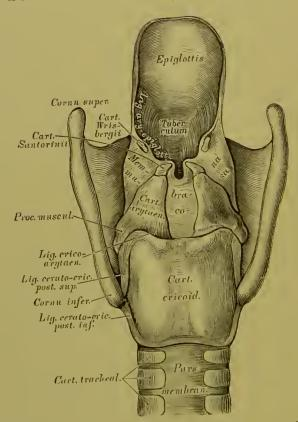
#### 380. Kehlkopf nach Entfernung der linken Schildknorpelplatte, in Seitenansicht.

Die Muskeln des Kehlkopfes (sämmtlich paarig) sind:

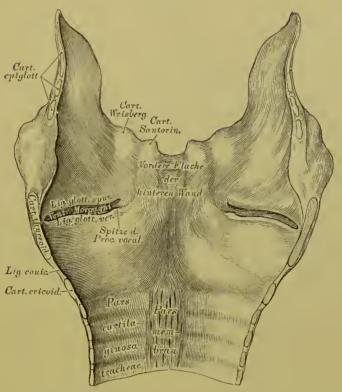
- 1. Am äusseren Umfange des Kehlkopfes:
- a) M. crico-thyrcoideus (s. Fig. 376). Urspr.: Vorderfläche des vorderen Halbringes des Ringknorpels; Insert.: schief aufwärts gehend am unteren Rande des Schildknorpels, Spanner der Stimmbänder.
- b) M. crico-arytacnoideus posticus. Urspr.: Hinterfläche des hinteren Halbringes des Ringknorpels; Insert.: nach aussen und oben verlaufend am Processus muscularis des Giessbeekenknorpels. Dreht diesen und erweitert die Stimmritze.
- e) M. crico-arytaenoideus luteralis. Urspr.: Oberer Rand des Seitentheiles des Ringknorpels, bedeckt von der Schildknorpelplatte; Insert.: schief nach hinten und oben laufend am Processus muscularis. Antagonist des vorigen.
- d) M. M. arytaenoidei transversi et obliqui (s. Fig. 381), quer und schräg von einem Giessbeekenknorpel zum andern, an deren hinterer eoneaver Fläche inserirend. Nähern die Stimmbänder einander und verengern die Stimmritze.
  - 2. An der Innenfläche des Kehlkopfes:
- a) *M. thyreo-arytaenoideus*. Urspr.: Innenfläche des Schildknorpels, verläuft quer mit dem wahren Stimmbande zum *Processus vocalis* und zum Vorderrande des Giessbeckenknorpels. Verengerer der Stimmritze.
- b) M. thyreo-epiglotticus und M. ary-epiglotticus, zwischen den Blättern des Lig. ary-epiglotticum vom Schildknorpel und Giessbeckenknorpel zum Kehldeckel ziehend.



381. Kehlkopf von hinten gesehen, nach Entfernung der Schleimhaut, mit den Muskeln.

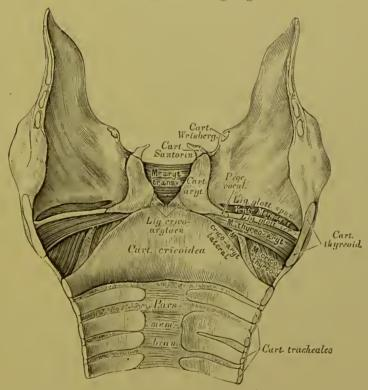


382. Kehlkopf von hinten gesehen, nach Entfernung der Muskeln, mit den Knorpeln und Bändern.



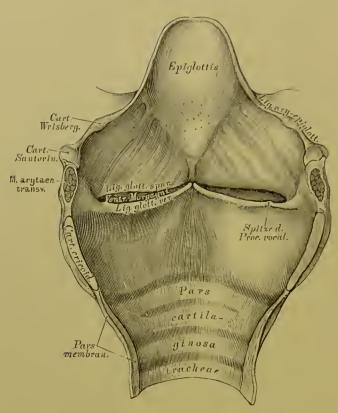
383. Das Kehlkopfinnere von vorne gesehen.

Die vordere Wand in der Mittellinie durchgeschnitten und beide Seitentheile auseinander gelegt.



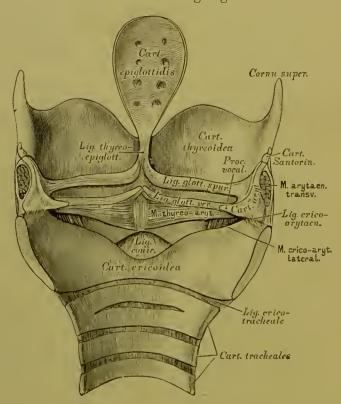
384. Das Kehlkopfinnere von vorne gesehen, nach Entfernung der Schleimhaut.

Kehlkopf,

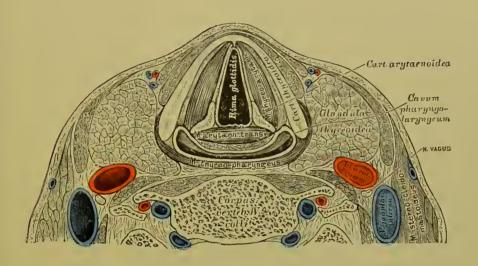


385. Das Kehlkopfinnere von hinten gesehen.

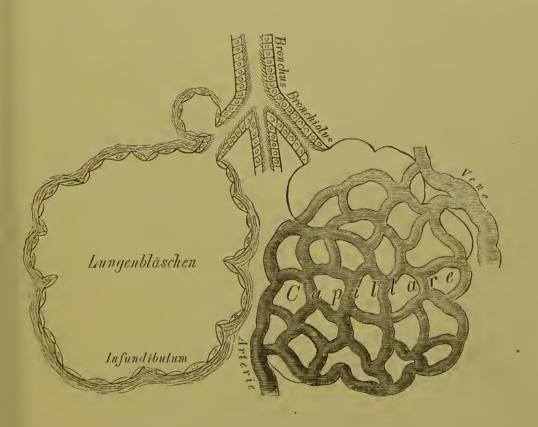
Die hintere Wand in der Mittellinie durchgeschnitten und beide Seitentheile auseinander gelegt.



386. Das Kehlkopfinnere von hinten gesehen.
nach theilweiser Entfernung der Schleimhaut.

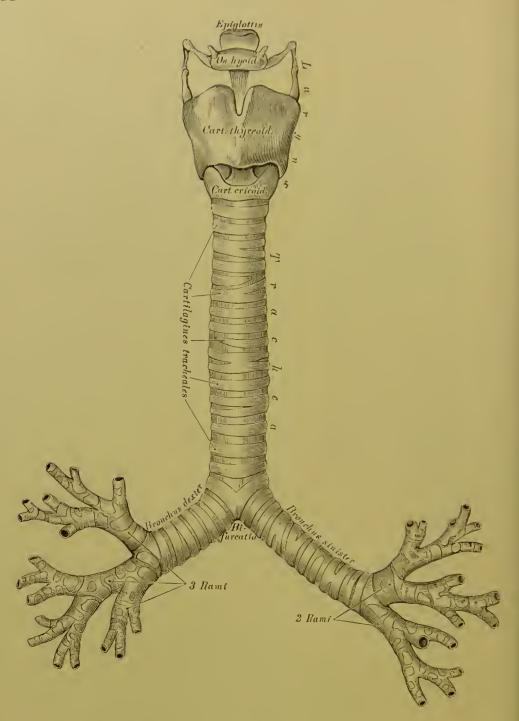


387. Horizontalschnitt durch den Hals in der Höhe des IV. Halswirbels. Nach H. v. Luschka.



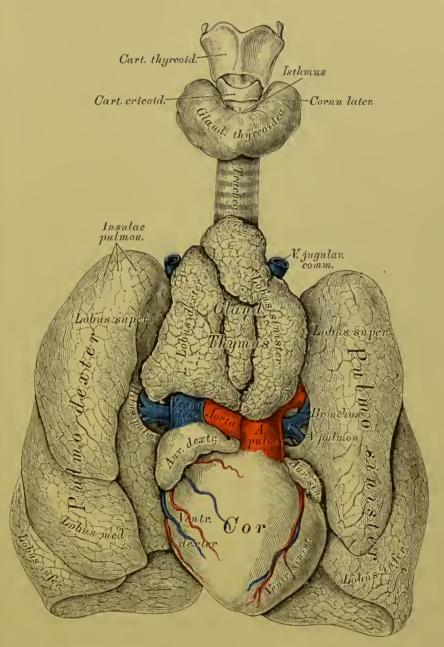
388. Bau der Lunge. (Schematisch.)

288 Luftröhre.



389. Die Luftröhre, Trachea.

Die Luftröhre beginnt in der Höhe des V. Halswirbels und reicht bis zum III. Brustwirbel, wo sie sich in die zwei Bronchi spaltet; in ihrer vorderen und ihren Seitenwänden liegen 16—20 halbmondförmige, von einander durch Bänder getrennte Knorpel, Cartilagines tracheales; ihre hintere Wand ist häutig, reichlich mit queren Lagen glatter Muskelfasern versehen. Der Bronchus dexter steht mehr horizoutal, ist kürzer und weiter als der Bronchus sinister; der erstere besitzt 6—8, der letztere 9—12 Knorpel, ähnlich denen der Luftröhre. Die Bronchien verzweigen sich entsprechend den Lungenlappen, der rechte in drei, der linke in zwei Aeste, diese wieder in kleinere Aeste und so fort bis zu den feinsten Endbläschen des Lungenparenchyms

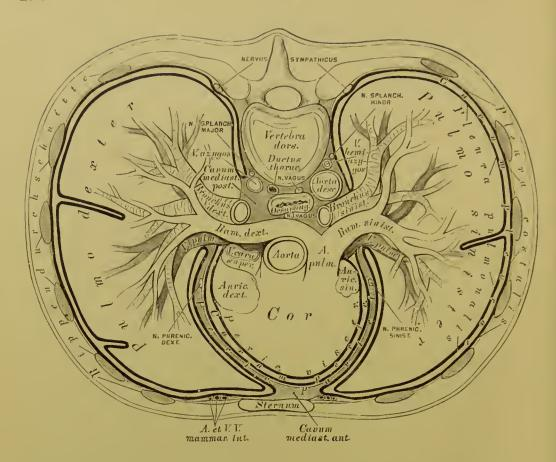


390. Die Brusteingeweide eines Kindes.

Ansicht von vorne. Natürliche Grösse. (Die Thymusdrüse etwas aufwärts geschoben; die Lungen seitwärts umgelegt.)

Die Lungen, Pulmones, liegen beiderseits im Brustranme, mit ihrer eencaven Basis am Zwerchfell ruhend und mit ihren concaven Innenflächen das Herz umfassend, während die convexen Anssenflächen dicht an der Brustwand anliegen. Die rechte Lunge ist breiter, niedriger und in drei Lappen, Lobi pulmonum, getheilt; die linke schmäler, länger und in zwei Lappen getheilt. Der untere Rand ist halbkreisförmig, der vordere Rand zugeschärft, der hintere stumpf. An der Innenfläche befindet sich eine Furche, Hilus s. Porta pulmonis; hier treten in die Lunge ein: der Bronchus und die Art. pulmonalis, und treten ans der Lunge aus: die zwei Venae pulmonales. Diese aus- und eintretenden Gebilde stellen zusammen die Lungenwurzel dar, Radix s. Pedunculus pulmonis.

290 Brustfell,



### 391. Schema der Lage der Brusteingeweide und des Verlaufes der *Pleura*.

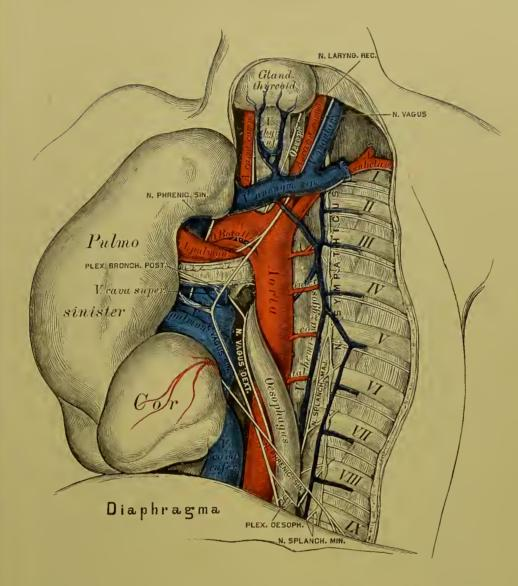
Idealer Horizontalselmitt durch den Thorax.

Die Oberfläche der Lunge zeigt eekige Felder, Insulae pulmonales, entsprechend den Blasen jener Läppehen, aus welchen die Lunge zusammengesetzt ist — Lobuli pulmonales. Zu jedem Lobulus geht ein Endästehen des Bronchus als Canalis aërifer, welcher sieh triehterförmig zum Infundibulum erweitert und um welchen herum die Lungenbläsehen, Cellulae pulmonum, pyramidenförmig gruppirt sind. Die Lungenbläsehen sind von dem Capillarnetz umgeben, welches zwisehen Art. und Vena pulmonalis eingesehaltet ist; die Art. führt venöses Blut zu, die Vena arterielles ab.

Mit den Brusteingeweiden stehen in rein anatomiseher Beziehung:

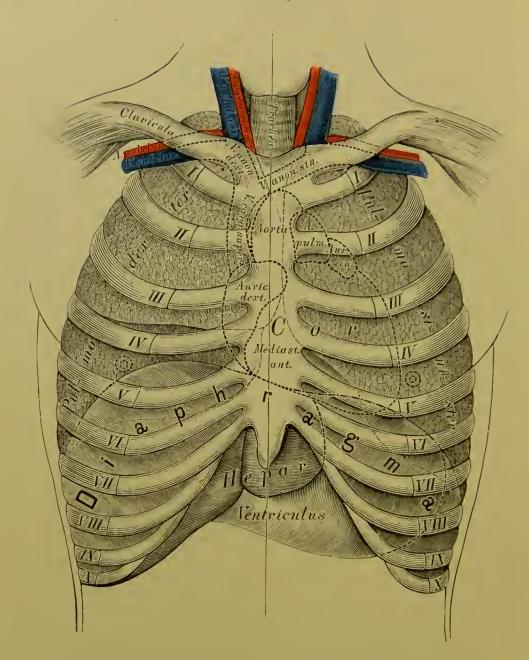
Die Schilddrüse, Glandula thyreoidea; sie liegt am Anfange der Luftröhre und ist mit einem mittleren, sehmalen Theile, Isthmus, und zwei Seitenlappen, Cornua lateralia, versehen; häufig steigt vom Isthmus ein unpaarer Lappen als Cornu medium empor. Die Drüsensubstanz besteht aus runden Bläsehen, die allseitig geschlossen sind.

Die Thymusdrüse ist nur im Embryo und bis zum zweiten Lebensjahre vollständig entwickelt; von da an sehrumpft sie zusammen bis auf geringe Reste. Sie liegt in der oberen Brustapertur und ist aus zwei Seitenlappen zusammengesetzt, die sieh am unteren Rande in zwei seitliche Hörner verlängern. Sie ist analog den Lymphdrüsen gebaut.



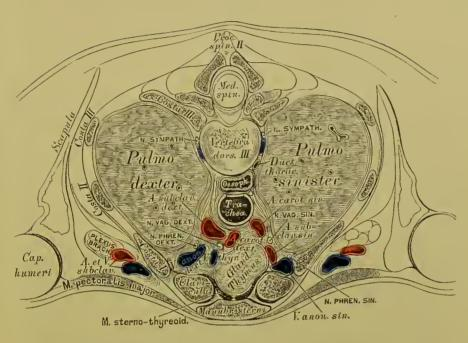
## 392. Topographie des hinteren Mittelfellraumes. Die linke Lunge und das Herz sind nach rechts umgelegt.

Die beiden Lungen sowohl, wie die Innenfläche der Brustwand sind mit einer serösen Membran bekleidet, die beiden Brustfelle, Pleurae; die die Lunge einschliessende Pleura pulmonalis ist in den Sack der Pleura costalis eingeschoben, wie dies aus Fig. 391 ersichtlich ist; jener Theil der Pleura costalis, welcher sich auf die obere Fläche des Zwerchfells anlegt, heisst Pleura phrenica. Der dritte seröse Sack im Brustraume bekleidet das Herz und den Herzbeutel als Pericardium. Jenen Raum, welcher zwischen den einander zugekehrten Wänden der Brustfellsäcke übrig bleibt, nennt man Mittelfellraum eingelagert ist, wird dieses in einen vorderen und einen hinteren Raum, Cavum mediastini anterius et posterius, abgetheilt.

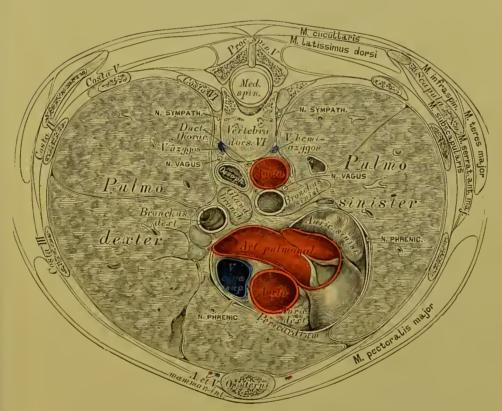


393. Topographie der Brusteingeweide.

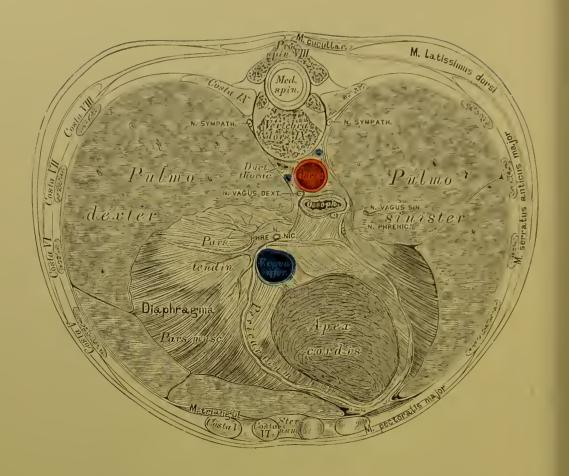
Ein Cavum mediastini anterius entsteht erst nach Entfernung der vorderen Thoraxwand au der Leiche; dasselbe weicht nach links vom Sternum ab, entsprechend der Lage des Herzens; seine Länge entspricht jener des Brustbeins. Das Cavum mediastini posterius ist so lang wie der Brustheil der Wirbelsäule selbst; die in demselben enthaltenen Organe sind ans Fig. 392 ersichtlich. Hier ist die linke Lunge mit dem Herzen aus der Brusthöhle gehoben, nach rechts gelegt und die Seitenwand des hinteren Mittelfellraumes wegpräparirt. Der Aortenbogen reitet auf dem linken Bronchus; die Speiseröhre bildet eine Spirale um die Aorta; rechts von der Aorta descendens verläuft die Vena azygos, links von derselben die Vena hemiazygos. Zwischen Vena azygos und Aorta liegt der Ductus thoracicus (s. Fig. 391), welcher sich hinter der Speiseröhre nach links oben wendet, um am Vereinigungswinkel der Vena subclav. sin. mit der Vena jugul. sin. einzumünden.



394. Horizontalschnitt durch den Thorax in der Höhe der Articulatio sterno-clavicularis.

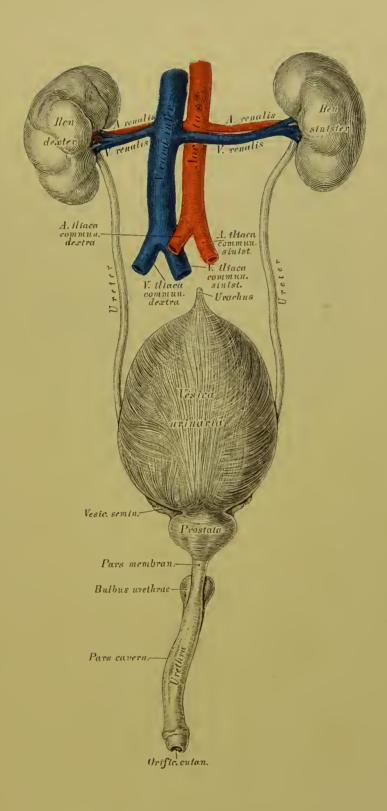


395. Horizontalschnitt durch den Thorax dicht unterhalb der Brustwarzen.



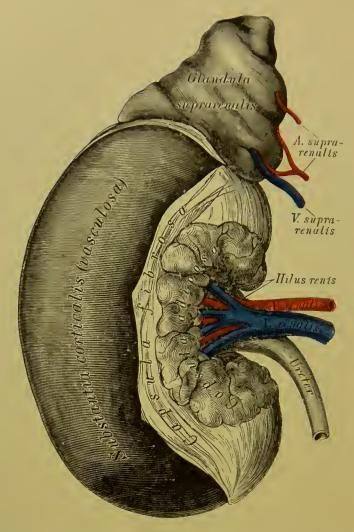
**396.** Horizontalschnitt durch den *Thorax* am unteren Ende des *Corpus Sterni*, dieht oberhalb der Kuppe des Zwerchfells.

Fig. 373, 394, 395 und 396 sind Zeichungen nach Scheiben, die mittelst der Säge von der gefrorenen Leiche eines beiläufig einjährigen Kindes gewonnen wurden; die Zeichnungen sind in natürlicher Grösse entworfen. Von denselben gilt das über die Durchschnitte von gefrorenen Extremitäten Gesagte; die Bilder sind nämlich von der unteren Sägefläche angefertigt, erscheinen demnach, die Leiche aufrecht stehend gedacht, in der Vogelschau.



397. Die Harnwerkzeuge eines Kindes in natürlicher Grösse.

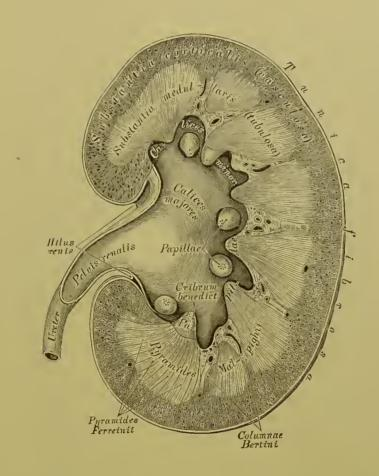
296 Nieren.



398. Die rechte Niere und Nebenniere.
<sup>2</sup>/<sub>3</sub> natürlicher Grösse.

Die Nieren, Renes, sind in der Lendengegend befindliche bohnenförmige Drüsen, die an ihrer Vorderfläche vom Banchfell bedeckt sind, mit ihrer hiuteren Fläche auf den Musculi quadvato-lumborum aufliegen. Die rechte, etwas tiefer gelagerte Niere grenzt nach vorne an das Colon ascendens, die linke an das Colon descendens. Am inneren concaven Rande befindet sich ein Einsehnitt, Hilus s. Porta renis, für den Ein- und Anstritt der Nierengefässe. Die Umhüllung bildet fettreiches Bindegewebe, Capsula adiposa, hieranf eine dicht an der Nierenoberfläche liegende, leicht abziehbare fibröse Hülle, Capsula fibrosa. Die Oberfläche der Niere ist beim Erwachsenen vollkommen glatt, beim Neugebornen hingegen gelappt, die sogenannten Lobuli renum s. Reniculi bildend (s. Fig. 397). Am Längsdurchschnitte der Niere sieht man dreieckige. grane Felder, welche die Substantia tubulosa (früher Substantia medullaris) bilden. und um diese herum eine brannrothe Masse, die Substantia vasculosa s. glomerulosa (früher Substantia corticalis): erstere stellen die Pyramides Malpiglii, 10-15 an der Zahl, dar, deren gegen den Hilus gekehrte zapfenförmige Spitzen Nieren wärzehen, Papillae renales, genannt werden. Die Fortsätze der Corticalsubstanz zwischen einzelnen Pyramiden heissen Columnae Bertini.

Nieren 297



399. Längsschnitt durch die Niere.

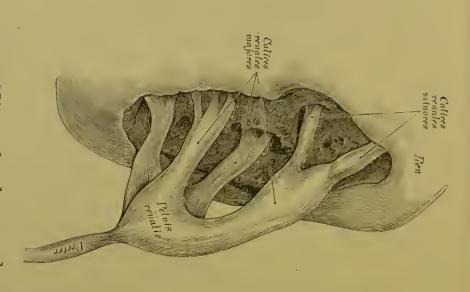
Die Art. renalis verläuft vom Hilus aus zwisehen den Pyramiden gegen die Oberfläche, unzählige, nicht mit einander anastomosirende Aeste abgebend; diese Aeste knäneln sieh auf, indem sie die von einer Kapsel umhülten Glomeruli renales bilden. Im Knäuel ist die Arterie mehrfach gespalten, aus dem Glomerulus tritt sie einfach hervor und zerfällt jetzt erst in Capillaren, ans denen die Venen hervorgehen. Die Harnkanälchen, Tubuli uriniferi, beginnen an der Kapsel des Glomerulus gegenüber jener Stelle, an welcher die Arterie ein- und anstritt; sie laufen anfangs geschlängelt (Tubuli contorti I. ordinis), gelangen dann in die Pyramiden, biegen hier schlingenförmig um als Ansae Henlei, um in die Cortiealsubstanz zurückzulaufen, hier abermals Schlängelungen zu bilden (Tubuli contorti II. ordinis) und sich zu grösseren Stämmehen zu vereinigen. Diese Stämmehen, die Tubuli recti s. Belliniani, gehen in die Pyramiden, sammeln sieh hier gabelförmig in Röhren, die etwa je 40 an der Zahl an der Papille mit feinen Oeffnungen, das Cribrum benedictum, münden; die Theilbündel einer jeden Röhre bilden die Pyramides Ferreinii, diese zusammen erzeugen eine Pyramis Malpighii (s. Fig. 402). Die Gefässschlingen in den Pyramiden gehen aus den Capillaren der Substantia corticalis herver.

Die Papillae renales werden ven den häutigen Nierenkelchen, Calices

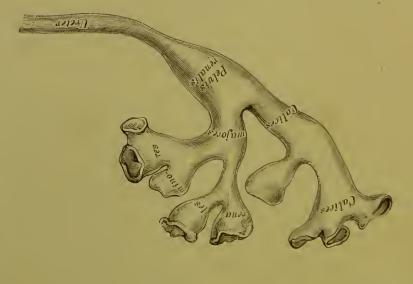
Die Papillae renales werden von den häutigen Nierenkelchen, Calices renales minores, umfasst, diese vereinigen sieh (je 2—3) zu den Calices renales majores, diese wieder zum Nierenbecken, Pelvis renalis, welches im Hilus hinter der Art. und Vena renalis liegt und in den Harnleiter, Ureter, übergeht, welcher den

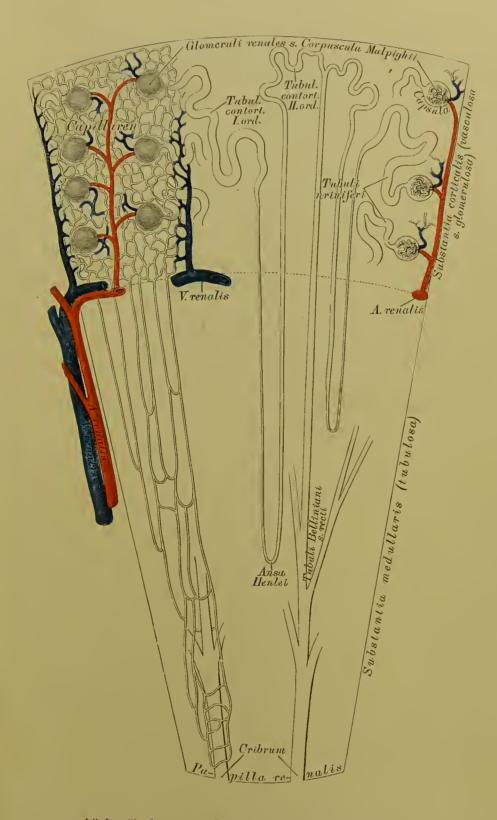
Harn in die Blase leitet.

400. Nierenbecken und Kelche aus der Nierensubstanz herauspräparirt.

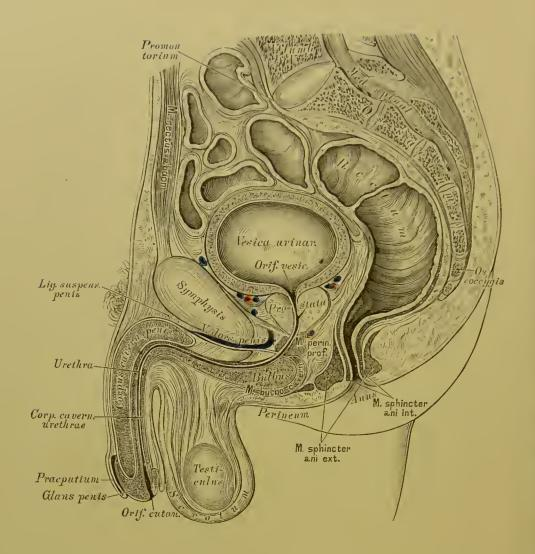


401. Wachsabguss des Ureters, des Nierenbeckens und der Nierenkelche.





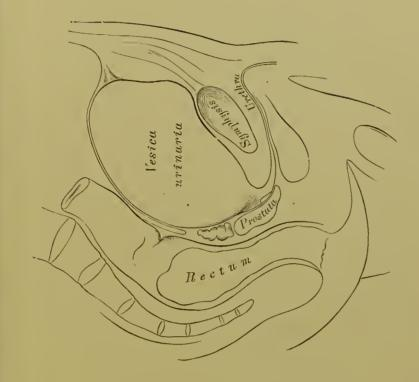
402. Schema des Baues der Niere.



403. Sagittaler Medianschnitt durch das männliche Becken. Von der gefrorenen Leiche eines etwa zwanzigjährigen Mannes.

Die Harnblase, Vesica urinaria, ist ein hinter der Symphisis ossium pubis liegender Behälter ven evaler Gestalt, der nach hinten beim Manne an den Mastdarm, beim Weibe an die Gebärnutter gronzt. Sein Scheitel, Vertex, ist durch das Ligamentum vesico-umbilicale medium mit dem Nabel verbunden; der Körper erweitert sieh nach hinten und unten zum Grund, Fundus vesicae; die Seitenwände hängen durch die Ligamenta vesico-umbilicalia lateralia mit dem Nabel zusammen. — Die Harnblase besitzt felgende Schichten; Banehfell am Scheitel, an der hinteren Wand und den Seitenwänden; Muskel aus Längs- und Querfasern (Detrusor urinae) und aus Ringfasern (Sphineter vesicae) bestehend; submueöses Bindegewebe, und endlich die mit mehrschichtigem Epithel bekleidete Schleimhaut.

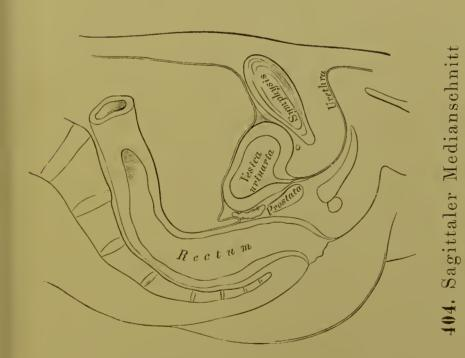
Die Ureteren münden, in schiefer Richtung cenvergirend die Blasenwand durchdringend, am Blasengrunde in die Blase mittelst spaltförmiger Oeffnungen, deren Vereinigungslinie mit dem Anfange der Harnröhre das Trigonum Lieutaudii bildet; die Spitze dieses Dreieckes heisst Uvula vesicae (s. Fig. 406); demselben entsprechend ist das Muskellager der Blase stärker entwickelt.

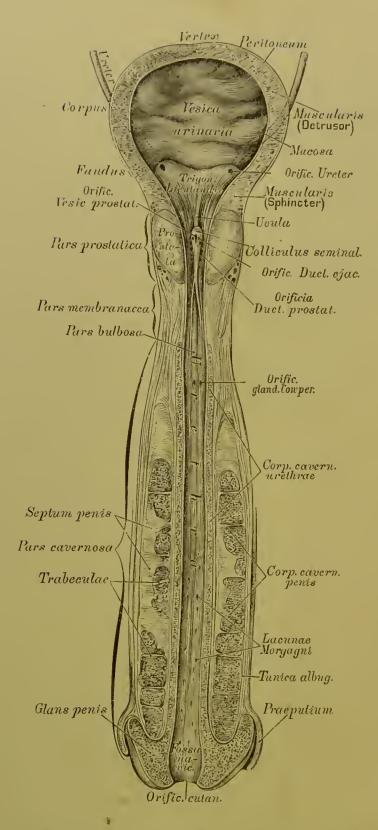


405. Sagittaler Medianschnitt durch das Becken eines jungen Mannes, bei ausgedehnter Hamblase. Nach C. Langer.

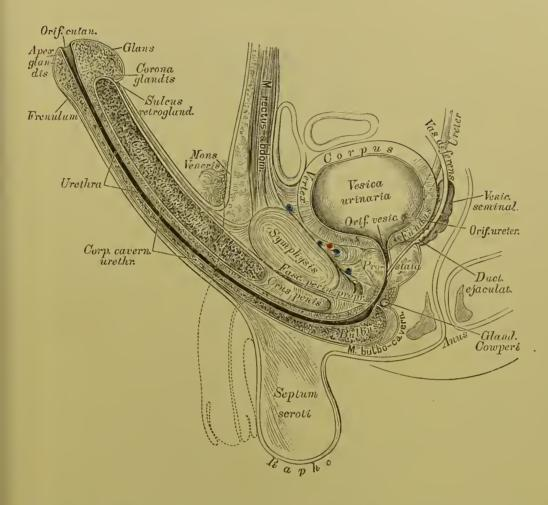
durch das Becken eines jungen

Mannes, bei contrahirter Harnblase. Nach C. Langer.





406. Die Harnblase und Harnröhre des Maunes, von vorne eröffnet. In ½ natürlieher Grösse.



#### 407. Sagittaler Medianschnitt durch das männliche Becken bei erigirtem Penis. (Construirt aus Fig. 403.)

Die männliche Harnröhre, Urethra, 18-22 Ctm. lang, beginnt am Orificium vesicale und endet am Orificium cutaneum; sie hat bei erigirtem Penis einen bogenförmigen, bei ersehlaftem Penis einen S-förmigen Verlauf. Sie wird eingetheilt in die Pars prostatica, in die Pars membranacea (Isthmus) und die Pars cavernosa. In der von der Vorsteherdrüse umgebenen Pars prostatica bildet die Sehleimhant den Schnepfenkopf, Colliculus seminalis s. Caput gallinaginis, an welchem die Vesicula prostatica, neben dieser die beiden Ductus ejaculatorii münden; seitlich vom Colliculus münden die Ausführungsgänge der Prostata.

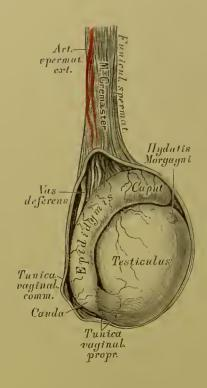
Die Pars membranacea ist der engste Theil der Harnröhre, weleher weder

von der Prostata, noch vom Corpus cavernosum umgeben ist.

Die Pars cavernosa wird rundherum vom Corpus cavernosum urethrae eingehüllt, welches in der unteren Enrche der Schwellkörper des Gliedes liegt; der Beginn des Corpus cavernosum urethrae am Gliedschaft bildet eine Verdickung, den Bulbus urethrae, deshalb heisst der vom Bulbus umschlossene Theil der Harnröhre, welcher flach ausgebuchtet ist,

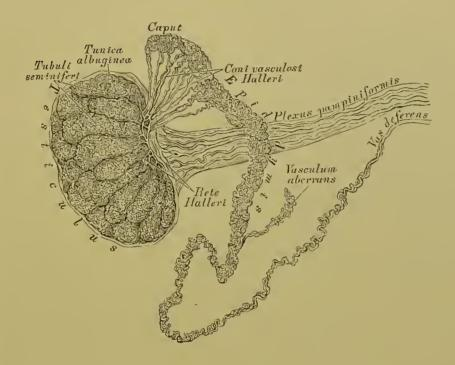
Pars bulbosa; hier münden die Ausführungsgänge der Glandulae Cowperi. Die Schleimhaut der Pars cavernosa ist in Längsfalten gelegt, zwischen welchen die krankhaften Lacunae Morgagni Vertiefungen bilden. An der Eichel erweitert sich

die Harnröhre zur schiffförmigen Grube, Fossa navicularis.



408. Der rechte Hode und Nebenhode in natürlicher Grösse.

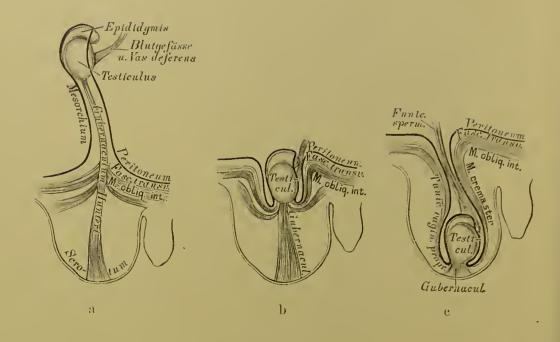
Die beiden Hoden, Testiculi, sind die im Hodensacke liegenden, Samen bereitenden Drüsen. Jeder Hode hat eine eiförmige Gestalt und ist mit seinem oberen Ende etwas nach vorne und aussen, mit seinem unteren Ende etwas nach hinten und innen geneigt. Das Hodenparenehym wird von der fibrösen Tunica albuginea s. propria bekleidet, deren das Parenchym durchsetzende bindegewebige Scheidewände Fächer für die einzelnen Drüsenläppehen bilden; ein am hinteren Rande des Hodens liegender keilförmiger Fortsatz der Tunica albuginea, von welchem reiehlich Scheidewände abgehen, heisst Mediastinum testis s. Corpus Highmori. Jedes Drüsenläppehen ist ein von 2—5 Samenkanäle hen, Tubuli seminiferi, gebildetes Convolut; die aus den Läppehen kommenden Samenkanäle dringen durch das Corpus Highmori, anastomosiren unter einander zum Rete Halleri, und aus diesem gehen 12—19 stärkere Röhrehen hervor, die, nachdem sie die Tunica albuginea durchbrochen, in den Kopf des Nebenhodens gelangen und neuerdings verschlungene Convolute, Läppehen, bilden.



#### 409. Hode und Nebenhode, mit Quecksilber injicirt.

Der Nebenhode, Epididymis, liegt am hinteren Rande des Hodens; er zeigt ein oberes, verdiektes Ende, den Kopf, und den unteren, versehmäehtigten Sehweif, welcher sieh in den Samenleiter, Vas deferens, fortsetzt. Die Läppehen, welche am Kopfe des Nebenhodens durch Aufwicklung der aus dem Hoden gekommenen Samenkanälehen entstehen, sind von pyramidaler Gestalt und heissen Coni vasculosi Halleri. Durch Vereinigung der Coni entsteht sehliesslich ein einfaches Samengefäss, welches mit vielfachen Windungen den Körper des Nebenhodens herstellt. Das einfache Samengefäss wird am Schweife des Nebenhodens allmälig dieker, seine Windungen werden einfacher und nun erst entsteht der vom Schweife des Nebenhodens geradlinig emporsteigende Samenleiter, Vas deferens, welcher im Samenstrange zum Leistenkanal verläuft, durch diesen in die Bauchhöhle und zur hinteren Wand der Harnblase gelangt, um am Blasengrunde nach Vereinigung mit dem Samenbläschen am Colliculus seminalis zu münden.

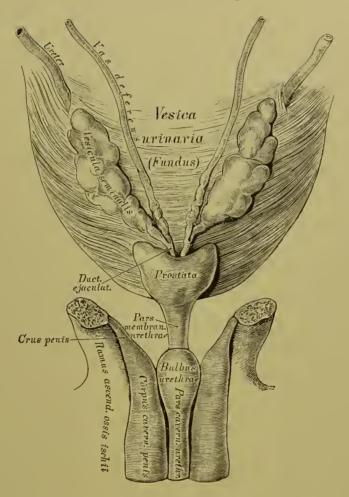
Am oberen Ende des Hodens oder am Kopfe des Nebenhodens findet man fast constant ein nicht gestieltes Bläschen, weniger eonstant am Kopfe des Nebenhodens ein gestieltes Bläschen; Gebilde, die als *Hydatis Morgagni* bezeichnet werden (s. Fig. 408). Der gewundene Samenkanal des Nebenhodens besitzt sehr oft ein gleichfalls gewundenes Vasculum aberrans Halleri.



410. a. b. c. Schematische Darstellung des Descensus testiculi.

Der Hode entwickelt sich im Embryo in der Bauchhöhle und ist mit Ausnahme seiner hinteren Wand, wo das Vas deferens und die Blutgefässe einund austreten, vom Bauchfell bedeckt; diese Einstülpung des Bauchfells, welche bis zur Bauchöffnung des Leistenkanals herabreicht, heisst Mesorchium. Im Mesorchium zieht vom Hoden zum Grunde des Hodensackes ein in seiner unteren Hälfte in drei Schenkel gespaltener, daselbst muskulöser Strang, das Leitband des Hodens. Gubernaculum Hunteri. Durch Verkürzung dieses Stranges wird der Hode allmälig durch den Leistenkanal hindurch in den Hodensack geleitet und das am Hoden fixirte Bauchfell mit herabgezogen und eingestülpt. Die Einstülpung heisst Processus vaginalis peritonei; die Blutgefässe und das Vas deferens sind in dieselbe nicht einbezogen. Die Höhle des Processus vaginalis verschliesst sich nach der Geburt vom Leistenkanal gegen den Hoden zu und es bleibt von demselben nur ein dünner Bindegewebsstrang übrig, die Ligula; am Hoden und einem Theile des Nebenhodens bleibt die Höhle erhalten, und die seröse Haut, welche den Hoden bedeckt und denselben einhüllt, also eine Duplicatur darstellt, bildet die Tunica vaginalis propria testis.

Der Samenstrang, Funiculus spermaticus, ist das den Hoden tragende Bündel von Gefässen und Nerven, welches, wie auch der Hode, von der bindegewebigen Tunica vaginalis communis umhüllt wird; sie ist eine Fortsetzung der Fascia transversa abdominis und heisst auch Fascia infundibuliformis; auf ihrer äusseren Fläche liegen die Bündel des Hebemuskels des Hodens, Cremaster.

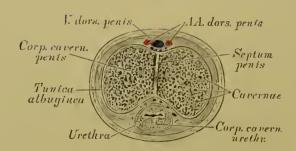


411. Der Blasengrund und der obere Theil der Harnröhre, in der Ansieht von hinten. Nach einem trockenen Präparate in natürlicher Grösse.

Der häutige Beutel, in welchem Hode und Samenstrang liegen, heisst Hodensaek, Scrotum; derselbe wird durch die mediane äussere Raphe in zwei Hälften getheilt, desgleichen die Höhle des Scrotum durch das Scptum scroti. Unter der Haut des Hodensaekes liegt die Fleisehhaut, Tunica dartos, aus glatten Muskelfasern gebildet und als Fortsetzung der Fascia superficialis abdominis et perinci geltend.

Die Samenbläschen, Vesiculae seminales, sind längliche, gebuchtete Schläuche am Blasengrunde hinter der Prostata, mit einem oberen stumpfen und einem unteren zugespitzten Ende, welch' letzteres in die Vasa deferentia einmündet, um gemeinsam mit diesen die Ausspritzungskanüle, Ductus ejaculatorii, zu bilden. Die Ductus ejaculatorii laufen zwischen Prostata und hinterer Wand der Pars prostatica urethrae nach vorne und unten und münden in das Lumen der Harnröhre am Colliculus seminalis.

Die Vorsteherdrüse, Prostata, hat die Form einer Kastanie und umfasst den Anfang der Harnröhre so, dass der grössere Theil der Drüse hinter die Harnröhre zu liegen kommt. Die hintere Fläche der Prostata ist durch zwei seichte Furchen in drei Lappen getheilt.



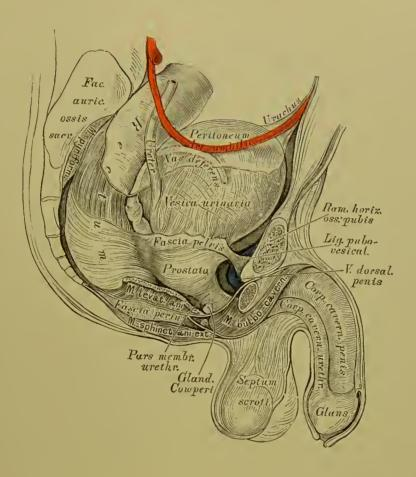
## 412. Querschnitt durch den Schaft des männlichen Gliedes.

Das Parenchym der *Prostata* ist reich an glatten Muskelfasern, welche dasselbe in Läppehen theilen, die mit Drüsen von acinösem Bau versehen sind; die Ausführungsgänge der Drüsen münden zu beiden Seiten des *Colliculus seminalis*.

Die Cowper'schen Drüsen (s. Fig. 413) sind erbsengross, von aeinösem Ban, liegen hinter dem Bulbus urethrae an der unteren Wand der Pars membranacea urethrae, eingehüllt in die Fasern des M. transversus perinei profundus. Ihre Ausführungsgänge verlaufen in der Wand der Harnröhre nach vorne, um in diese einznmünden (s. Fig. 406).

Das männliche Glied, *Penis*, ist mit drei Schwellkörpern, *Corpora cavernosa*, versehen, von welehen zwei paarig sind und die Steifung des Gliedes vermitteln, während der dritte, unpaare, der Harnröhre angehört.

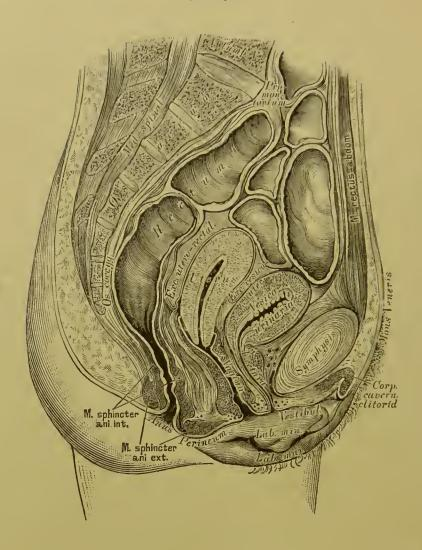
Die Corpora cavernosa penis sind walzenförmige, erectile Körper, die als Crura penis an den aufsteigenden Sitzbeinüsten entspringen, den Bulbus urethrae zwischen sich fassen und vor der Schamfuge sieh zu dem durch ein Septum abgetheilten Gliedschaft vereinigen. In der oberen seichten Rinne der vereinigten Schwellkörper verlaufen die einfache Vena dorsalis und die zwei Arteriae dorsales penis; in der nnteren tiefen Rinne liegt wie in einem Falze das die Harnröhre umhüllende Corpus eavernosum urethrae. Jeder Schwellkörper ist in die fibröse Tunica albuginea eingesehlossen; diese erzengt auch das an mehreren Stellen durchbroehene Septum penis, und von ihr gehen die Bälkehen, Trabeculae, aus, welche die vielfach mit einander communicirenden Bluträume, Cavernae, begrenzen. Die Räume stellen das mit der zuführenden, nahe am Septum verlaufenden Art. profunda penis und den abführenden Venen in Verbindung stehende Schwellnetz des männlichen Gliedes dar. Die eavernösen Rünme werden sowohl durch Capillaren, wie auch durch direct einmündende grössere Zweigehen der zuführenden Arterie gespeist; ihre strotzende Füllung mit Blut bedingt die Erection des männlichen Gliedes.



# 413. Seitenansicht der männlichen Beckenorgane eines Neugeborenen. In natürlicher Grösse.

Das Corpus cavernosum urethrae umschliesst röhrenförmig die Harnröhre; dasselbe bildet an seinem hinteren Ende eine Verdickung, den Bulbus urethrae (s. Fig. 411), und an seinem vorderen Ende die Eichel, Glans penis; letztere stellt eine Klappe dar, welche die vorderen, abgerundeten Enden der Corpora cavernosa penis umfasst. Der Schwellkörper der Harnröhre ist von zarterem Bau und mit kleineren Maschenrähmen versehen als die beiden Schwellkörper des Gliedes.

Die kegelförmige Eichel ist an ihrer Spitze, Apcx glandis, von der zweilippigen, spaltförmigen Harnröhrenmündung durchbrochen; ihre Basis bildet die wulstige Corona glandis, hinter dieser liegt eine Furche, der Sulcus retroglandularis. Die Eichel ist von einer Hautduplicatur nungeben, der Vorhaut, Praeputium; der Ueberzug der Glans ist sehr zart und geht au der Harnröhrenmündung in die Schleimhaut der Harnröhre über. Die Vorhaut ist an die Eichel mittelst einer Längsfalte, dem Bändehen, Fremlum praeputii, fixirt. Die Fascia superficialis des Bauches umhüllt den Gliedschaft bis zur Corona glandis als Fascia penis; ihre Verstärkung am Rücken der Gliedwurzel bildet das Ligamentum suspensorium penis.

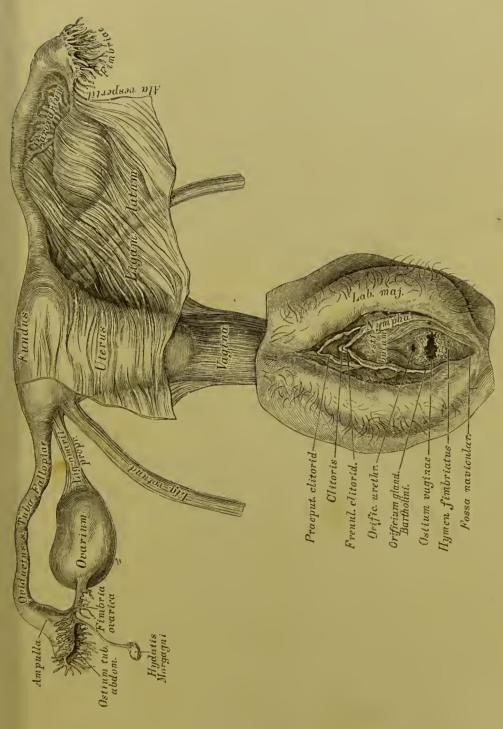


# 414. Sagittaler Medianschnitt durch das weibliche Becken.

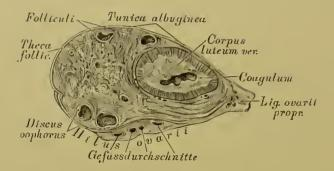
Von der gefrorenen Leiche einer etwa 25jährigen Person. 1/₄ natürlieher Grösse.

Die Harnblase grenzt beim Weibe nach hinten an die Gebärmutter; sie ist seitlich mehr ausgedehnt und überhaupt geräumiger als beim Manne. Zwischen Harnblase (die in der obigen Figur in vollkommen leerem Zustande abgebildet ist) und Gebärmutter entsteht die vom Peritoneum gebildete Excavatio vesico-uterina, und zwischen Gebärmutter und Mastdarm die Excavatio utero-rectalis; in beiden Buchten war im abgebildeten Falle Serum enthalten.

Die weibliche Harnröhre ist 4 Ctm. lang und noch mehr ausdelmbar als die männliche. Sie verläuft steil nach vorne und unten, ist mit der vorderen Wand der Vagina innig verbunden und mündet in der Schamspalte, oberhalb des Scheideneinganges, umgeben von einem Schleinhautwulst.



415. Jungfräuliche Geschlechtsorgane eines 14-jahrigen Mädchens. Ansicht von vorne in natürlicher Grösse.



# 416. Senkrechter Schnitt durch einen Eierstock mit grossem Corpus luteum.

Die Eierstöeke, Ovaria, liegen in der Ebene der oberen Beekenöfinung, in Ausbuchtungen der hinteren Wand des breiten Mutterbandes; sie sind von eiförmiger Gestalt, mit einem stumpfen, nach aussen gekehrten, und einem mässig zugespitzten, gegen die Gebärmutter sehenden Ende, welch' letzteres an die Gebärmutter durch das Ligamentum ovarii proprium besestigt ist; mit einer oberen und unteren Fläche und einem vorderen und hinteren Rande. Die Oberfläche ist vor eingetretener Menstruation glatt und eben, nach wiederholten Menstruationen uneben und gekerbt. Das Bauchfell überzieht den Eierstock nicht ganz, der vordere Rand bleibt frei und hier treten die Blutgefässe aus und ein — Hilus ovarii. Die eigentliche Hülle bildet eine fibröse Hant, die Tunica propria s. albuginca, die von den Blutgefässen am Hilus durchbrochen ist.

Das Stroma ovarii besteht aus einem gefässreichen, glatte Muskelfasern führenden Bindegewebe, in welchem eine grosse Zahl von geschlossenen Bläschen ausgestreut ist; die grossen, reifen Bläschen sind die Graafschen Follikel. Jeder Follikel ist von einer dichteren Bindegewebshülle begrenzt — die Theca folliculi; auf diese folgt eine structurlose Schieht mit mehrschichtigem Pflasterepithel, die sogenannte Membrana granulosa. Die Höhle enthält eine hellgelbe Flüssigkeit, den Liquor folliculi. An einer Seite des Graafschen Follikels bilden die Epithelzellen eine Scheibe, den Discus oophorus, in dessen Mitte das Ei. Ovulum, eingeschlossen liegt.



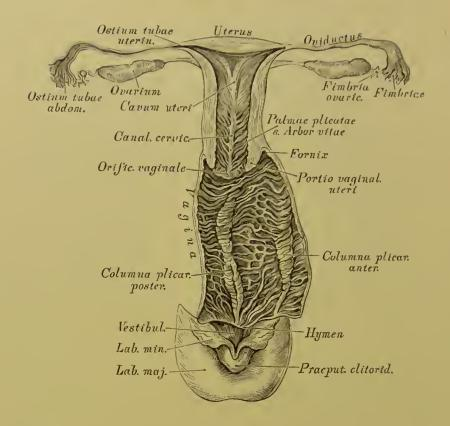
#### 417. Schema eines Graaf'schen Follikels.

Das Ei, ein rundes, 0.2 Mm. im Durchmesser haltendes, mit freiem Auge gerade noch siehtbares Bläschen, besteht aus der Dotterhaut, Zona pellucida, dem Dotter, Vitellus, und dem Keimbläschen, Vesicula germinativa. Die Zona pellucida bildet eine durchsiehtige Grenzschiehte um den undurchsiehtigen, aus Körnehen und Fetttröpfehen zusammengesetzten, zähflüssigen Dotter; das Keimbläschen liegt excentrisch und besitzt einen klaren Inhalt mit einem opaken Fleck, dem Keimfleck, Macula germinativa.

Die grösseren Graaf'schen Follikel liegen gewöhnlich nahe der Oberfläche des Eierstockes, welche sie hügelig vorwölben. Zur Zeit der Menstruation berstet ein reifer Follikel, der Liquor folliculi und das Ei werden in die Tuba entleert; hierauf sinkt die Wand des geborstenen Follikels zusammen, die Höhle wird durch Blutextravasat erfüllt, welches schliesslich zu einer gelbröthlichen Narbe, dem Corpus luteum, zusammenschrumpft; die ehemalige, vernarbte Oeffnung im Follikel heisst Cicatrix. Mit der Zahl der Menstruationen nimmt auch die Zahl der Narben zu. Die nach der Menstruation bleibenden Corpora lutea heissen spuria, jene nach Austritt eines befruchteten Eies und nach Schwangerschaft bleibenden: Corpora lutea vera.

Der Nebeneierstock, Parovarium s. Epoophoron, besteht aus 15—20, an beiden Enden blind endigenden Kanälen, die vom Hilus ovarii zwischen die Blätter des breiten Mutterbandes, Ala vespertilionis, eindringen.

Das Paroophoron besteht aus mehreren sehmalen Kanälchen, welche medial vom Epoophoron liegen.



418. Geschlechtsorgane eines neugeborenen Mädchens. Die Gebärmutter in der hinteren Mittellinie, die Scheide in der linken Seitenlinie eröffnet. Natürliche Grösse.

Die Gebärmutter, Uterus, ist ein unpaares, muskulöses Organ, zwischen Blase und Mastdarm gelegen; von birnförmiger Gestalt, von vorne nach hinten etwas abgeplattet. Grund, Fundus, heisst das verdiekte obere Ende; auf dieses folgt der Körper, Corpus, welcher sich zum eylindrischen Hals, Collum s. Cervix, zuschmälert; die Grenze zwischen Körper und Hals ist besonders bei jüngeren Personen durch eine Einschnürung markirt. Der Hals ragt mit seinem unteren Theile in die Vagina hinein und dieser Theil heisst Seheidentheil der Gebärmutter, Portio vaginalis uteri. An den Seitenwänden des Uterus inseriren die breiten Mutterbänder, Ligamenta lata, die in den serösen Ueberzug des Uterus übergehen, während die runden Mutterbänder, Ligamenta rotunda. Fortsetzungen der Gebärmuttersubstanz sind, eingesehlossen in das vordere Blatt der breiten Mutterbänder (s. Fig. 415). Die runden Mutterbänder gehen durch den Leistenkanal zur äusseren Schamgegend, um sich in den grossen Schamlippen zu verlieren. Ausser den breiten Mutterbändern bildet das Bauchfell Bänder zwischen Blase und Uterus, Ligamenta vesico-uterina, und zwischen Mastdarm und Uterus, Ligamenta recto-uterina.



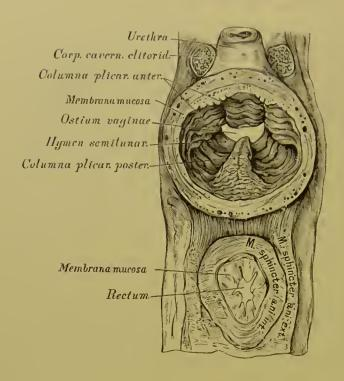


419. Beleuchtungsbild der *Portio vaginalis uteri* im jungfräulichen Zustande.

**420.** Beleuchtungsbild der *Portio vaginalis uteri* nach wiederholten Entbindungen.

Die Gebärmutterhöhle, Cavum uteri, ist von dreieckiger Gestalt; ihre Basis entspricht der Basis der Gebärmutter, in beiden Winkeln des Dreiecks liegen die Mündungen der beiden Tuben; die untere Spitze verlängert sieh in den im Gebärmutterhalse verlaufenden Kanal, Canalis cervicis uteri. Dieser Kanal ist in seiner Mitte ausgeweitet, das in die Gebärmutterhöhle mündende obere Ende heisst innerer Muttermund, Orificium uterinum, das in die Scheidenhöhle mündende untere Ende äusserer Muttermund, Orificium vaginale. Der äussere Muttermund bildet, bevor eine Geburt gesehah, eine Querspalte mit einer vorderen längeren Lippe, Labium anterius, und einer hinteren kürzeren Lippe, Labium posterius; nach wiederholten Geburten wird der äussere Muttermund zu einer gekerbten Oefinung umgestaltet.

Die Gebärmutter besteht aus drei Schiehten: a) einer äusseren, dem Bauehfell angehörenden, nur an der vorderen und hinteren Fläche und am Grunde des Uterus befindlichen; b) einer inneren, von Schleimhaut gebildeten, die an der vorderen und hinteren Wand des Canalis cervicis ein System von Fältehen bildet, die Palmae plicatae s. Arbor vitae (s. Fig. 418). Zwischen den Fältehen liegen geschlossene Follikel, die Ovula Nabothi; in der Gebärmutterhöhle trägt die Schleimhaut reichlich röhrenförmige Drüsen, die Glandulae utriculares. e) Die mittlere, sehr dieke Schiehte der Gebärmutter besteht aus glatten Muskelfasern, die, zu Bündeln gruppirt, sieh in verschiedenen Richtungen durchkreuzen und verfilzen; zwischen den Bündeln liegen Bindegewebe und Blutgefässe. Im schwangeren Uterus nehmen die Muskelbündel durch Neubildung beträchtlich an Dieke und Länge zu.

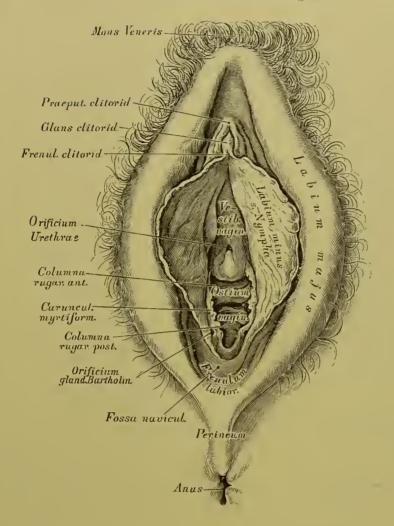


421. Durchschnitt einer jungfräulichen Vagina.

Ansieht von hinten; die Vagina ausgedehnt, um die Kämme an ihrer
Innenfläche zu zeigen.

Die Eileiter, Muttertrompeten, Oviductus s. Tubae Fallopianae (s. Fig. 415 und 418), sind eirea 12 Ctm. lange, gesehlängelte, im oberen Rande der breiten Mutterbänder eingesehlossene Röhren, die mit der Gebärmutter im Zusammenhange stehen. Die innere Hälfte hat ein feines Lumen, Isthmus, die äussere Hälfte erweitert sieh zur Ampulla. Die Mündung des Tubenkanals in die Gebärmutterhöhle heisst Ostium tubae uterinum. Die Mündung am äusseren, vor und unter dem Eierstoek gelegenen Ende, die frei in den Bauehfellsaek hinausgeht, Ostium tubae abdominale, ist beträchtlich weit, trichterförmig und mit gezaekten oder gelappten Fransen, Fimbriae, besetzt — Morsus diaboli. Eine breite Franse steht in Verbindung mit dem äusseren Ende des Eierstoeks, ist rinnenförmig und vermittelt (mittelst Flimmerepithels) vielleicht die Ueberführung des Eies aus dem Eierstoek in die Tuba — Fimbria ovarica. — Die Eileiter besitzen drei Schiehten wie die Gebärmutter.

Die Seheide, Vagina, ist ein 7 Ctm. langer Schlanch, der in der äusseren Schamspalte mit dem Seheiden ein gang, Ostium vaginae, beginnt und oben am Scheiden gewölbe, Fornix, endet. In das Scheidengewölbe ragt die Portio vaginalis uteri hinein, wodnreh dieses in ein vorderes, seichtes und ein hinteres, tieferes Scheidengewölbe abgetheilt wird.

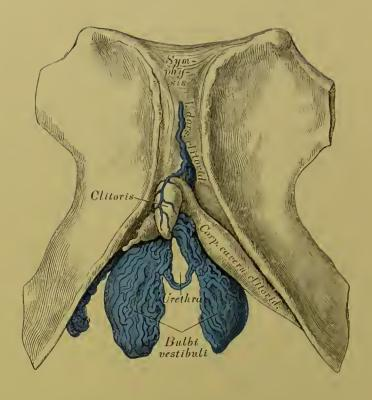


422. Die äussere Scham einer Deflorirten.

Die grossen und kleinen Sehamlippen auseinander gedrängt.

Die vordere und hintere Wand der Vagina stehen mit einander in Berührung; der oberste Theil der hinteren Wand ist vom Bauehfell überzogen. Die Wände der Seheide werden von Bindegewebe gebildet, welches mit einer dieken Lage von glatten Muskelfasern und starken venösen Gefässnetzen versehen ist. Die innere Auskleidung der Seheide besorgt eine reichlich mit Papillen besetzte Sehleimhant, welche an der vorderen und hinteren Vaginalwand ein System gekerbter Runzeln bildet, die Columna plicarum anterior et posterior, die sieh gegen das Seheidengewölbe zu abflaehen (s. Fig. 421).

Am Scheideneingange bildet die Schleimhant im jungfräuliehen Zustande eine Duplicatur, die Seheidenklappe, Hymen, die meistens halbmondförmig, mit einer oberen Oeffnung erscheint, aber auch ringförmig, am oberen Rande durehbrochen (Hymen annularis), oder mit mehreren Löchern versehen (Hymen cribriformis), oder (selten) gefranst sein kann (Hymen fimbriatus), s. Fig. 415. Nach Zerstörung der Scheidenklappe, Defloratio, bleihen als gekerbte Reste derselben die Carunculae myrtiformes zurück.



423. Die Wollustorgane des Weibes.

Die weibliche Seham, Vulva, wird von zwei Doppelfalten gebildet, den grossen und kleinen Sehamlippen, Labia majora et Labia minora s. Nymphae. Die grossen Schamlippen reichen vom behaarten Schamlingel, Mons Veneris, bis zum Mittelfleisch und sind daselbst durch das Frenulum labiorum mit einander vereinigt. Die zwisehen beiden Schamlippen liegende Schamspalte, Rima pudendi, ist hinter dem Frenulum zu einer Grube, der Fossa navicularis, vertieft. Parallel mit den grossen Schamlippen verlaufen die kleinen von der Clitoris bis zu den Seiten des Scheideneinganges; ihre freien Ränder sind gekerbt; seitlich von der Clitoris spalten sie sich in je zwei Schenkel, deren untere an die untere Fläche der Glans clitoridis gelangen als Frenulum clitoridis, deren obere oberhalb der Glans clitoridis sieh mit einander vereinigen zum Praeputium clitoridis. Der Raum zwischen den kleinen Schamlippen von der Clitoris bis zum Scheideneingange heisst Vestibulum vaginae; in diesem liegen seitlich zwei dieke, sehwellbare Venengeflechte, die Wollustorgane, Bulbi vestibuli.

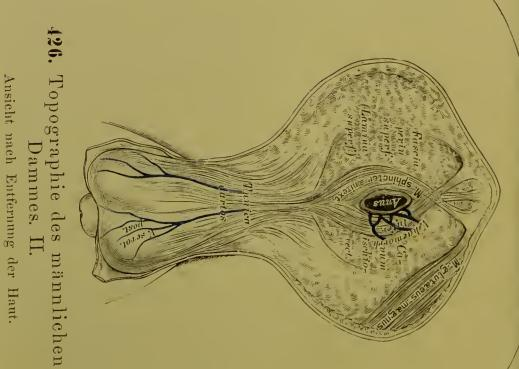
Der Kitzler, Clitoris, ist ein kleiner, undurchbohrter Penis, versehen mit zwei Schwellkörpern, einer Glans, einem doppelten Frendum, einem Pracputium und zwei MM. ischio-cavernosis. Die weibliche Harnröhre durch bohrt nicht den Kitzler, sondern mündet im Vestibulum vaginar, oberhalb des Scheideneingunges, mit einer rundlichen Oeffnung, die von einem Schleimhautwulst umgeben ist. Seitlich vom Scheideneingunge münden beiderseits die Bartholini'schen Drüsen, ühnlich gebant jenen der Cowper'schen des Mannes.

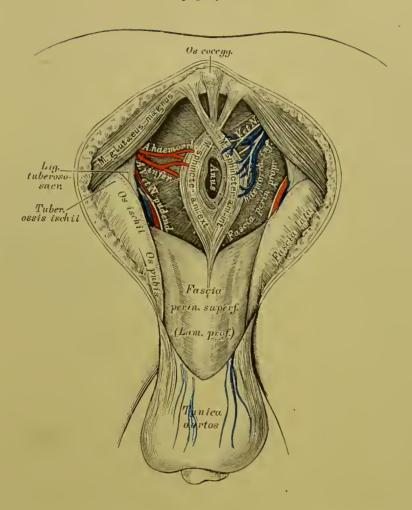


424. Die rechte Brustdrüse einer Stillenden.
In <sup>2</sup>/<sub>3</sub> der natürlichen Grösse.

Die weiblichen Brustdrüsen, Mammac, liegen auf dem grossen Brustmuskel, zwischen der dritten und sechsten Rippe; sie sind von einander durch den Busen, Sinus, getrennt. Sie sind halbkugelig, an der höchsten Wölbung mit der Brustwarze, Papilla, verschen. Die Brustwarze ist von dem bräunlichen, mit Hügeln besätten Warzenhof, Arcola, umgeben; an der Spitze der Brustwarze münden die Ausführungsgänge der Brustdrüse, an den Hügeln des Warzenhofes die Glandulae lactiferae aberrantes. — Die Brustdriise ist von 16-24 Lappen zusammengesetzt, die durch fettreiches Bindegewebe zu einer Scheibe vereinigt sind; jeder Lappen besteht aus einer Summe von kleineren Läppehen, die wieder von traubenförmigen aeinösen Drüsen gebildet werden, Glandulae lactiferae; diese kommen nur in der Schwangerschaft zur Entwicklung und erreichen ihre höchste Ausbildung bei Stillenden. Die Ausführungsgänge der Läppehen vereinigen sieh baumförmig zu einem grösseren Ductus lactiferus s. galactophorus, von denen je Einer einem Brustdrüsenlappen entspricht. Diese Ductus gelangen an den Grund der Warze, erweitern sich unter dem Warzenhofe, ohne Anastomosen einzugehen, zu den Milehbehältern, Sinus lactei; dann verengern sie sich wieder und münden in den Runzeln der Warze mit feinen Oeffnungen.

125. Topographie des männlichen Schnittführung zur Präparation. Dammes. I.



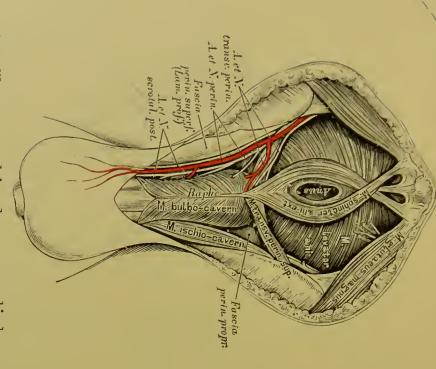


## 427. Topographie des männlichen Dammes. III. Ansieht nach Ausräumung des Cavum ischio-rectale.

Damm oder Mittelfleiseh, Perineum, heisst die Gegend zwisehen After und Hodensack bei Männern, zwisehen After und hinterem Winkel der Schamspalte bei Weibern. Der männliche Damm ist länger als der weibliche.

Die Muskeln des Dammes sind:

- a) Der Sitzknorren-Sehwellkörpermuskel, M. ischio-cavernosus, paarig (s. Fig. 428 und 429). Er liegt auf der Unterfläche der Wurzeln der Corpora cavernosa penis, entspringt mit diesen am Sitzknorren, gelangt an die Aussenfläche der Sehwellkörper, an der fibrösen Hälfte derselben inserirend; bisweilen ist er durch eine fibröse Fortsetzung mit dem Muskel der anderen Seite sehlingenförmig verbunden.
- b) Der Zwiebel-Sehwellkörpermuskel, M. bulbo-cavernosus, unpaar (s. Fig. 428 und 429). Liegt auf dem Bulbus urethrae; hängt mit dem M. sphincter ani externus und dem M. transversus perinei superficialis zusammen; besteht aus zwei symmetrischen Seitenhälften, die an der Raphe bulbi entspringen. Seine Fasern gehen schlingenförmig um den Bulbus herum, um in der fibrösen Hülle der Corpora cavernosa penis zu inseriren.

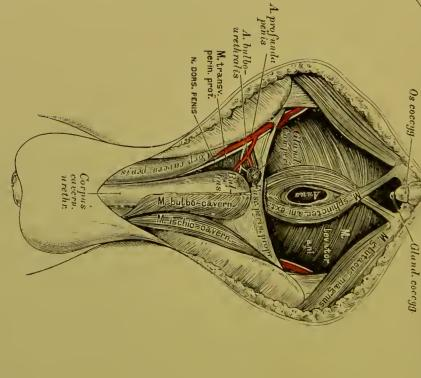


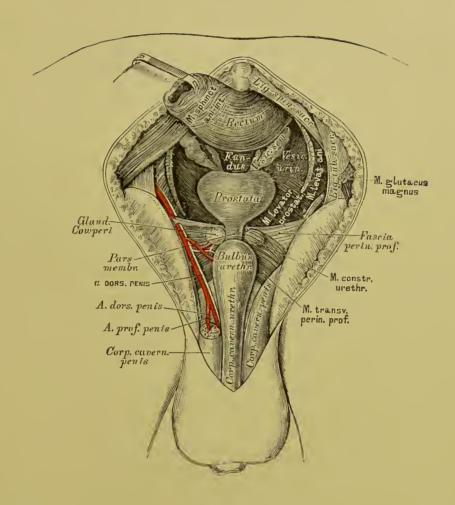
428. Topographie des männlichen Dammes. IV.

Ansicht nach Entfernung der Fascia superficialis.

429. Topographie des männlichen Dammes. V.

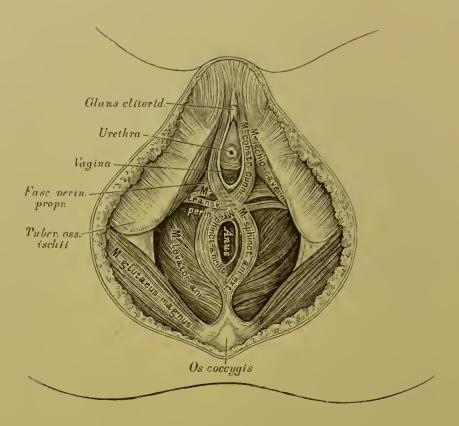
Ansicht nach der Praparation der Fascia perinei propria





# 430. Topographie des männlichen Dammes. VI. Ansicht nach Entfernung des M. levator ani.

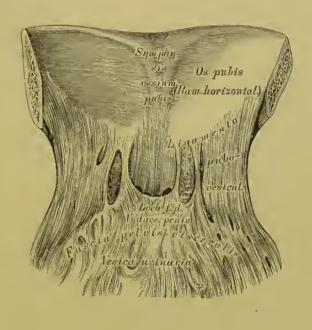
- e) Die queren Dammmuskeln, MM. transversi perinei, paarig (s. Fig. 428 und 429). Der M. transversus perinei superficialis entspringt vom aufsteigenden Sitzbeinaste, geht ein- und vorwärts, verbindet sieh mit dem entsprechenden Muskel der anderen Seite, mit dem M. bulbo-cavernosus, Sphincter ani externus und Levator ani. Der M. transversus perinei profundus liegt über dem oberflächlichen, entspringt vom aufsteigenden Sitzbein- und absteigenden Schambeinast und verbindet sieh mit demjenigen der anderen Seite und dem folgenden. In seinem Fleisehe sind die Cowper's ehen Drüsen eingebettet.
- d) Der Zusammensehnürer der Harnröhre, M. constrictor urethrae, unpaar. Entspringt vom absteigenden Schambeinaste mit dem M. transversus perinei profundus, umfasst die Pars membranacea urethrae schlingenförmig, indem seine Bündel theils ober-, theils unterhalb derselben verlaufen. Der M. transversus perinei profundus und der M. constrictor urethrae bilden zusammen eine breite, in der Mittellinie verfilzte Muskelplatte, das Centrum carneo-tendineum perinei s. Diaphragma urogenitale.



#### 431. Topographie des weiblichen Dammes.

Beim Weibe liegt der M. ischio-cavernosus beiderseits auf den Sehwellkörpern der Clitoris, an deren Rücken in eine gemeinsame Sehne übergehend. Der M. bulbo-cavernosus fehlt; er wird durch den Sehe i den sehn ürer, M. constrictor cunni, ersetzt. Dieser ist als Fortsetzung des M. sphincter ani externus anzusehen, dessen rechte Hälfte zur linken Wand des Scheideneinganges, dessen linke Hälfte zur rechten Wand des Ostium vaginae gelangt, um theils am Rücken der Clitoris zu inseriren, theils in die Fascia superficialis auszulaufen. Sphincter ani externus und Constrictor cunni bilden demnach einen gemeinsamen Muskel von der Gestalt eines 8; beide sind willkürlich zusammenziehbar. Der M. transversus perinci geht mit seinen unteren Bündeln zur Mittellinie, mit seinen oberen Bündeln zur Vagina.

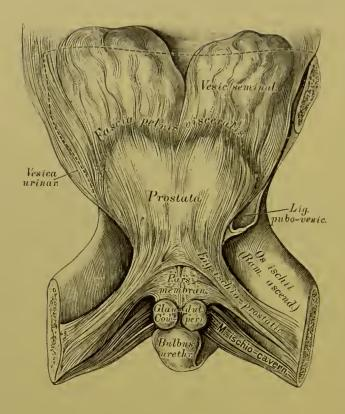
Wird der Steissbeinursprung des M. sphineter ani externus entfernt, so gelangt man auf ein fibröses Blatt, welches die MM. levatores ani mit einander verbindet; zwischen diesem Blatte und der Steissbeinspitze liegt die Luschkasche Steissdrüse, Glandula coccygea, länglich und hanfkorngross, rundliche Bläschen und einfache und verästigte Schlänehe enthaltend (s. Fig. 429).



**432.** Die Bänder des visceralen Blattes der *Fascia pelvis.* 

Ansieht der Symphysis von hinten, bei zurückgelegter Harnblase.

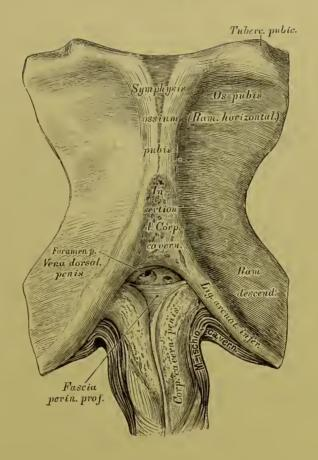
Die Fascien des Mittelfleisches sind: a) Fascia perinei superficialis; b) Fascia perinei propria; e) Fascia pelvis. — An der Fascia pelvis wird ein parietales und ein viseerales Blatt unterschieden. Das parietale Blatt entspringt am Eingange des kleinen Beekens von der hinteren Wand der Symphysis ossium pubis, der Crista ossis pubis, der Linea arcuata interna ossis ilei, wo sie mit der Fascie des grossen Beckens (Fascia iliaca) und jener der Bauchwand (Fascia transversa) zusammenhängt. Sie überzieht die kleine Beekenhöhle, den M. obturator internus, den M. coccygeus und den M. pyriformis. Auf dem Obturator internus geht das parietale Blatt der Fascia pelvis (hier Fascia obturatoria) bis zu dessen unterem Rande, zum Processus falciformis des Lig. tuberoso-sacrum; nachdem es die beiden anderen Muskeln überzogen, geht es, einen halbmondförmigen Bogen beschreibend, zur Vorderfläche des Kreuzbeins. um sieh einwärts der Foraminu sacralia antica und am Steissbein anzuheften.



433. Die Bänder des visceralen Blattes der Fascia pelvis.

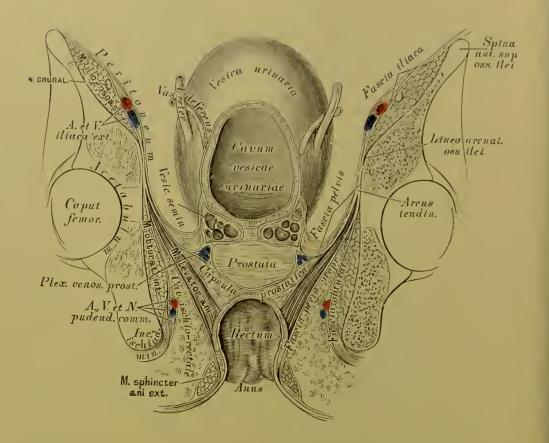
Ausieht der aufsteigenden Sitzbeinäste und der Harnblase von hiuten.

Das viscerale Blatt tritt vom parietalen ab in einer Linie von der Schamfuge bis zum Sitzbeinstachel, einem verdickten schnigen Streifen, dem Arcus tendineus, von welchem der M. levator ani entspringt. Auf der oberen Fläche des Levator ani gelangt das viscerale Blatt, den Verschluss der unteren Beckenapertur bildend, vorne zur Prostata und zur Vorderfläche der Blase, als Ligamenta pubo-prostatica (besser pubo-vesicalia) lateralia; im mittleren Abschnitt zur Prostata, als Ligamenta ischio-prostatica, dann als Fascia recto-vesicalis zwischen Blasengrund und Mastdarm eindringend; endlich gelangt es im hinteren Abschnitt als dünne Schichte zur Ansseufläche des Mastdarmes.



# 434. Vorderfläche der Symphyse, nach Ablösung der Corpora cavernosa penis.

Nach Zuekerkandl beginnt die Fascia perinei propria am Vereinigungswinkel der Schwellkörper des Gliedes, verlegt weiter hinten und unten ihren lateralen Ursprung auf den Schambogen, und reieht bis in die Linea interischiadica. Nach Abtragung dieser Fascie und zuweilen noch der vordersten Bündel des tiefen Dammmuskels erscheint die Fascia perinei profunda, welche an der Vereinigungsstelle der Corpora cavernosa penis entspringt (Gliedstück), mit der oberen Fläche der Schwellkörper in einer Ebene liegend rückwärts zieht, und 2—3 Mm. unterhalb des Lig. arcnatum inferius sich an die Schambeine heftet. Von hier aus läuft die letztere längs der Schambeine bis an die Verwachsungsstelle der Ossa pubis und ischii (Symphysenstück) und schlägt sieh hier in das Becken, um sich an der Bildung der Capsula prostatica zu betheiligen (Beckenstück). Die Uebergangsstelle der letzterwähnten zwei Absehnitte bildet einen diehten, halbmondförmigen Saum, unter welchem die Urethra liegt.



## 435. Frontalschnitt durch das Becken eines Kindes. Halbsehematisch, zur Demonstration der Beckenfaseien. Nat. Grösse.

Die Fascia perinei superficialis kann ebenfalls in zwei Blätter getheilt werden. Das oberflächliche Blatt ist das fettreiche subeutane Bindegewebe, welches in die muskelreiche Tunica dartos des Hodensaekes übergeht; das tiefe Blatt bedeckt als fettlose dünne Schiehte den M. ischio- und bulbo-cavernosus und den M. transversus perinei superficialis, gelangt zum Schafte des Gliedes und wird zur fettlosen Fascia penis (s. Fig. 427). Die Bedeekung der beiden MM. levatores ani durch die Fascia pelvis und die Fascia perinei propria, deren Riehtung, sowie deren Verhältniss zu dem mit Fett erfüllten Cavum ischio-rectale ist in der obigen Figur dargestellt.

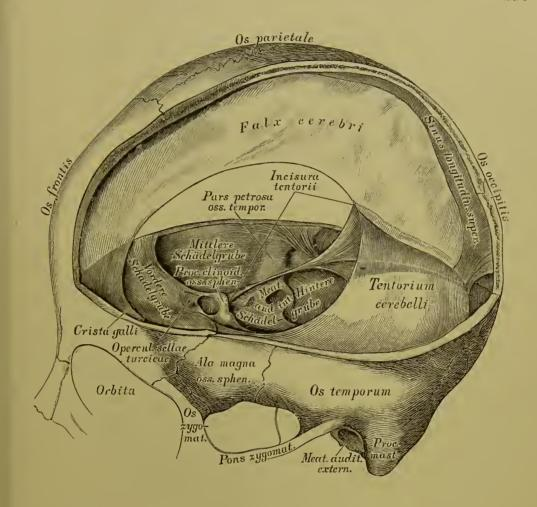
---

V.

#### NERVENSYSTEM.





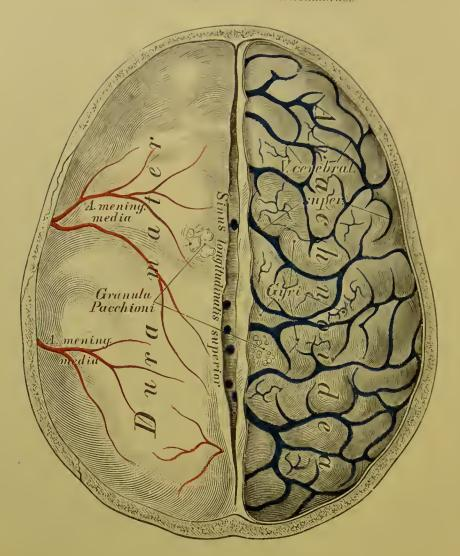


436. Die Fortsätze der harten Hirnhaut.

Gehirn und Rückenmark sind innerhalb der Knochenräume von drei häutigen Hüllen umsehlossen: der harten fibrösen Hirnhaut, Dura mater (Meninx fibrosa s. Pachymeninx), der Spinnwebenhaut, Arachnoidea (Meninx serosa) und der weichen Hirnhaut, Pia mater (Meninx vasculosa).

Die Dura mater bildet die äussere Hülle, eine derbe, bindegewebige Kapsel, welche der Innenfläche der Schädelknochen dieht anliegt und hier das Periost vertritt, in alle Gefässe und Nerven führenden Oeffnungen eindringt und deren Inhalt scheidenartig umschliesst. Sie weist an gewissen Stellen Hohlräume auf für das vom Gehirue kommende Venenblut, — die Blutleiter, Sinus durae matris.

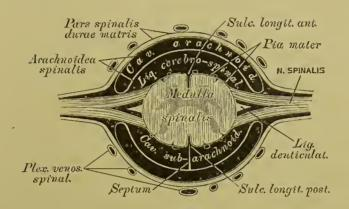
Der Gehirntheil der harten Hirnhaut, Pars cephalica durae matris, an den vorspringenden Knochenleisten und den Lochrändern der Schädelkapsel festgeheftet, erzeugt einen senkreehten und einen queren Fortsatz, Processus cruciatus; beide treffen sieh an der Protuberantia occipitalis interna.



437. Das Gehirn mit seinen Hüllen.

Ansicht von oben.

Der senkrechte Fortsatz, die Sicheldes grossen Gehirns, Falx cerebris. major, reicht von der Protuberantia occipitalis interna bis zur Crista galli und führt längs des Befestigungsrandes den sichelförmigen Blutleiter, Sinus longitudinalis superior; der freie eoneave Rand der Siehel ist gegen das Corpus callosum gekehrt, ohne dieses zu berühren. Die Siehel des kleinen Gehirns, Falx cerebellis. minor, springt viel weniger vor und reicht von der Protuberantia occipitalis interna bis zum hinteren Umfange des Foramen occipitale magnum, hier gabelig gespalten; ihr Sinus ist nicht constant. Das Zelt des kleinen Gehirns, Tentorium cerebelli, bildet den queren Fortsatz des Processus cruciatus und legt sich zwisehen die Hinterlappen des Grosshirns und die beiden Hemisphären des Kleinhirns; die Mitte des vorderen Zeltrandes erzeugt die Incisura tentorii. Die Sattelgrube des Keilbeinkörpers ist theilweise durch einen vierten Fortsatz versehlossen, das Operculum sellae turcicae.

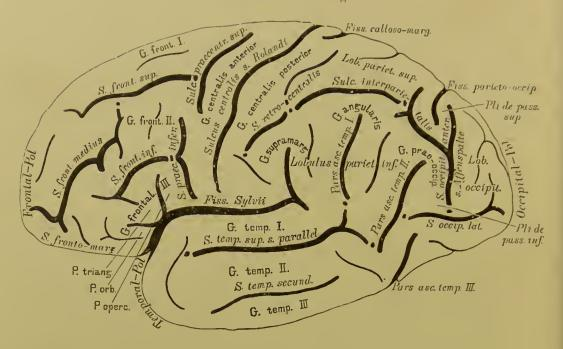


## 438. Schema der Hüllen des Rückenmarkes, im Quersehnitte. Vergr. == 2.

Der Rückenmarkstheil der harten Hirnhaut, Pars spinalis durae matris, stellt eine im Kreuzbeinkanal blindsackförmig endende Verlängerung der Pars cephalica dar und besteht neben dem Perioste des Rückgratkanals; zwischen beiden liegen starke Venengeflechte, Plexus venosi spinales. Die Dura mater spinalis begleitet jeden der Rückenmarksnerven durch dessen Foramen intervertebrale und sendet von ihrer Innenfläche aus gegen die Seitenflächen des Rückenmarkes beiderseits 20—23 zackige Fortsätze als Befestigungsbänder des Rückenmarkes, deren Gesammtheit das gezahnte Band, Ligamentum denticulatum, genannt wird.

Die Arachnoidea kann als einfache Hülle, oder nach der älteren Anschauung als Doppelballen angeschen werden, wenn man das Pflasterepithel der Innenfläche der Dura mater als zur Arachnoidea gehörig auffasst. Zwischen Dura mater und der Spinnwebenhaut (Cavum arachnoideale) befindet sich seröse Flüssigkeit; desgleichen im Cavum subarachnoideale (Liquor eerebro-spinalis). An der äusseren Fläche des Gehirns (als Arachnoidea cerebralis) ist die Spinnwebenhaut brückenförmig über die Vertiefungen ausgespannt und liegt der Oberfläche der Windungen knapp an; weit weniger knapp als Arachnoidea spinalis der Oberfläche des Rückenmarkes. Vom Sulcus longitudinalis posterior des Rückenmarkes geht zur Innenfläche der Arachnoidea ein Septum, jedoch nur in der Halsgegend undurchbroehen. Beiderseits der grossen Sichel liegen in der Arachnoidea die Granula (fälsehlich Glandulae) Pacchioni.

Die Pia mater, als innerste Hülle, senkt sich in alle Vertiefungen der Gehirn- und Rückenmarkflüchen ein, mit welchen sie innig verbunden ist. Sie führt zahlreiche Gefässe und erzeugt, durch den Querschlitz des Grosshirns in die mittlere Gehirnkammer eindringend, die Tela choroidea superior, ebenso die hintere Wand der vierten Gehirnkammer als Tela choroidea inferior. Am unteren Ende des Rückenmarkes bildet die Pia mater das Filum terminale.



439. Linke Hemisphäre, von aussen. Nach Eberstaller.

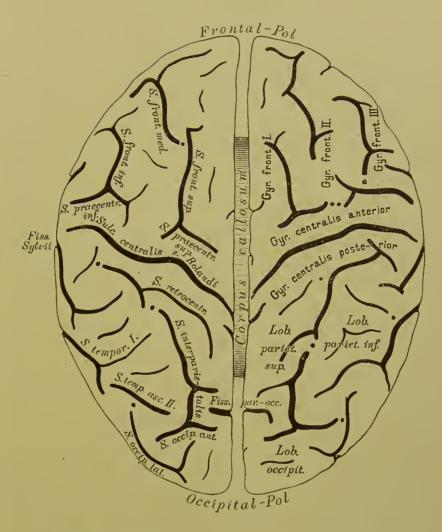
Das Gehirn zerfällt in zwei Abtheilungen, in den Hirnstamm und in den Hirnmantel, i. e. die Hemisphären des Gresshirns.

Jede Hemisphäre besitzt eine Dersal- eder Aussenfläche, eine Innenfläche und eine untere Oberfläche; das vordere Ende heisst Frental- eder Stirnpol, das hintere Ende Occipitalpel. Die Dersalfläche und die Innenfläche gehen längs des grossen Hirnspalts (fissura magna cerebri) in der Mautelkante in einander über, die Aussenfläche und die Unterfläche in der Hemisphärenkante.

Die Grosshirnoberfläche wird von den Windungen (Gyri) eingenemmen; dazwischen sinken die Furchen (Sulci) ein. An gewissen Stellen pflegen sonst getrennte Sulci öfters zusammenzufliessen, wodurch hauptsächlich die so gresse Variabilität der Hirnwindungen bedingt wird; immer aber ist dann ein verborgener Windungszug (die scheinbar eingesunkene trennende Brücke) in der Tiefe der Furchenaustemese zu finden, und heisst dann Tiefen- oder Uebergangswindung; die Stellen, we selche am häufigsten vorkommen, sind durch Punkte im Schemagekennzeichnet.

Die tiefste aller Furchen ist die Fissura Sylvii; sie beginnt als Fossa Sylvii, über welche der Temporalpel sich verwölbt, auf der Unterseite des Gehirns, biegt dann nach aussen und hiuten (ramus posterior fissurae Sylvii) und endet mit einem ramus ascendens und einem kurzen ramus descendens. An der Umbiegungsstelle zweigt sich der ramus anterior ascendens ab, öfter auch ein ramus anterior horizontalis. Die Fissura Sylvii trennt den Frontallappen und theilweise auch den Parietallappen (s. später) von dem Temporallappen; in ihrer Tiefe verborgen, und erst durch Emporklappen des oberen Begrenzungsrandes sichtbar gemacht. liegt der Stammlappen eder die Insel (Insula Reilii); die diese deckenden Hemisphärentheile heissen der Klappdeckel (Operculum).

So ziemlich in der Mitte des Abstandes vom Frental- zum Occipitalpole zieht eine tiefe quere Furche von der Mantelkante schräg nach aussen und etwas vorne nahezu bis an die Sylvi'sche Spalte; es ist die Central- eder Rolandsspalte (Sulcus centralis s. Rolandi), die begleitenden Windungszüge sind die vordere und die hintere Centralwindung; Alles, was ven der Sylvi'schen und der Rolandsspalte aus nach verne liegt, heisst Stirnlappen (Lobus frontalis).



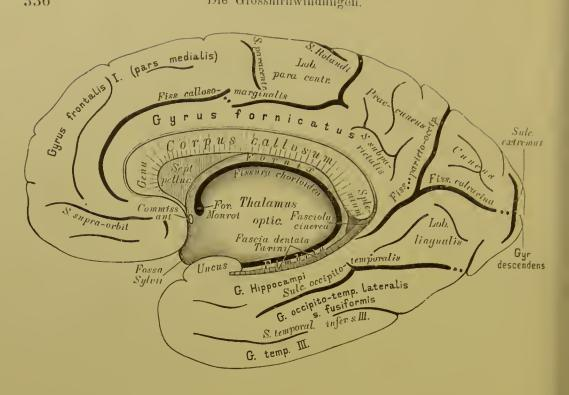
440. Grosshirn, von oben. Nach Eberstaller.

Die verdere Centralwindung wird nach vorne durch den Sulcus praecentralis abgegrenzt, der gewöhnlich in zwei Theile zerfällt: S. praecentralis superior und inferior. Ven der vorderen Centralwindung gehen drei Windungszüge nach verne: 1. 2. und 3. Stirnwindung (Gyrus frontalis I. II. und III.); die sie trennenden Furchen sind die obere und die untere Stirnfurche (S. frontalis superior und inferior); die mittlere Stirnwindung ist die breiteste; sie zerfällt vorne durch den S. frontalis medius in zwei Abschnitte. Am G. frontalis inferior unterscheidet man eine pars ascendens s. opercularis, eine pars triangularis und eine pars orbitalis.

Die hintere Centralwindung ist nach hinten abgegrenzt durch den Sulcus retrocentralis; von ihr ziehen zwei Windnugszüge nach hinten: eberes und unteres Seheitelläppehen (Lobulus parietalis superior und inferior); die trennende Furche ist der S. interparietalis; in das untere Schoitelläppehen schneiden die Furchen des Temporallappens ein, und es zerfällt demnach in drei hintereinander liegende Ab-

schnitte: G. supramarginalis, G. angularis und G. parietalis posterior.

Etwa an der Grenze des hintersten Fünftels der Mantelkante ragt eine Furche der Innenfläche eine kleine Strecke weit auf die dersale Fläche herüber: es ist das die tiefe Fissura parieto-occipitalis, und einen gewöhnlich sehmalen Windungszug hinter ihr endet der S. interparietalis mit einem hinteren Querstück: S. occipitalis anterior s. perpendicularis externus, dio sogenannto "Affenspalte". Jener Theil der dorsalen Oberfläche, der zwischen dem S. Rolandi einerseits und der F. parietooccipitalis und Affenspalte andererseits liegt, heisst Parietallappen (Lobus parietalis); er umfasst: die hintere Centralwindung, das obere und untere Scheitelläppehen.



#### 441. Rechte Hemisphäre, von innen. Nach Eberstaller.

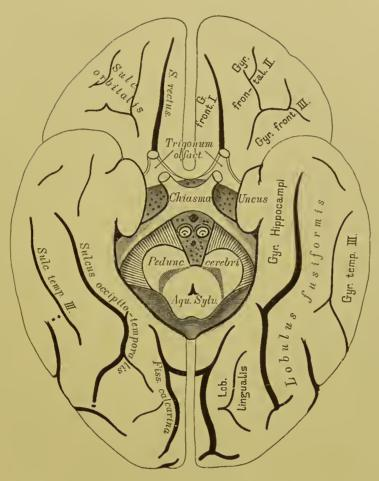
Der Occipitallappen (Lobus occipitalis) ist vom S. occipitalis anterior nach vorne und vom S. occipitalis lateralis nach unten begrenzt; in ihn gehen die beiden Scheitelläppehen als plis de passage sup. und inf. zu beiden Seiten der Affenspalte

über. (Fig. 439.) Der Temporallappen (Lobus temporalis) umfasst das Rindengebiet unterhalb der Fissura Sylvii. Drei sagittal gerichtete Fnrchen, deren hintere Endstücke nach aufwärts umbiegen (pars ascendens) trennen ihn in drei Windungszüge. Die oberste dieser Furchen ist immer am besten ausgeprägt: Sulcus temporalis primus s. parallelus, die mittlere ist stets in mehrere Stücke zersprengt: Ŝ. temporalis secundus, die untere liegt schon auf der Unterseite des Schläfelappens: S. temporalis tertius. Zwischen ihnen liegen der Reihe nach der Gyr. temporalis I. s. superior, Gyr. temporalis II. s. medius, Gyr. temporalis III. s. inferior. Nach hinten gehen diese theils in das untere Scheitelläppehen über (I. und II.), theils streben sie dem Occipitalpole zu. (Fig. 439 und 440.)

Auf der Innenfläche der Hemisphäre fällt zunächst ein Windungszug auf, welcher das Corpus callosum und den Hirustamm ringförmig umgibt, vorne dnrch die fossa Sylvii unterbrochen: Gyrus fornicatus; seine untere Hälfte ist der Gyrus hippocampi, auch Subiculum cornu Ammonis genannt, es endet im Uncus. Der G. hippocampi grenzt gegen den Hirnstamm die fissura hippocampi ab; in ihr liegen verborgen die graue fascia dentata Tarini und die weisse Fimbria. Den oberen Bogen begrenzt gegen die pars medialis des Frontallappens der Sulcus calloso-marginalis, welcher etwas unter dem genu corporis callosi beginnt und an

der Mantelkante unmittelbar hinter der Relandsspalte endigt.

Etwas hinter und unter dem splenium corporis callosi beginnt im Gyrus fornicatus eine tiefe Fnrche, die nach hinten sich in zwei Aeste gabelt: der eine steigt empor und überschreitet die Mantelkante nach aussen: fissura parietooccipitalis s. perpendicularis interna, der andere ziemlich horizontal nach rückwärts: fissura calcarina und endet am Pole im sulcus extremus.

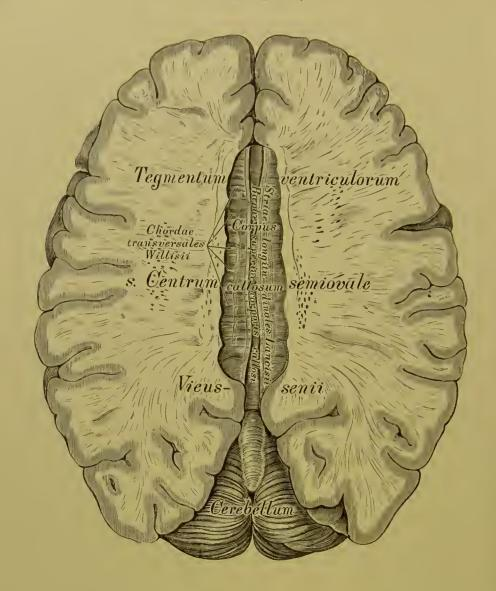


442. Grosshirn, von unten. Nach Eberstaller.

Das zwischen fissura calcarina und fissura parieto-occipitalis liegende dreieckige Rindengebiet ist der Zwickel (Cuneus), das viereekige zwischen fissura parieto-occipitalis und sulcus calloso-marginalis der Vorzwickel (Praccuneus), letzterer vom Gyr. fornicatus unvollkommen abgegrenzt durch den sulcus
subparietalis. Die auf der medialen Fläche erfolgende Vereinigung beider Centralwindungen heisst Lobulus paracentralis. Von der Spitze des Cuneus zieht
immer eine Tiefenwindung durch das untere Ende der fissura parieto-occipitalis
zum Gyr. fornicatus. (Fig. 441.)

Die Unterseite des Frontallappens enthält nur zwei Furchen: 1. den Sulcus olfactorius, in welchem Tractus und Bulbus olfactorius lagern, 2. lateral davon der vielfach variirende Sulcus orbitalis. Die Rindenpartie zwischen Sulcus olfactorius und Mantelkante heisst Gyrus rectus und ist der orbitale Antheil des Gyrus frontalis superior; das Gebiet zwischen Sulcus orbitalis und fossa Sylvii ist die pars orbitalis des Gyrus frontalis inferior. (Fig. 439.)

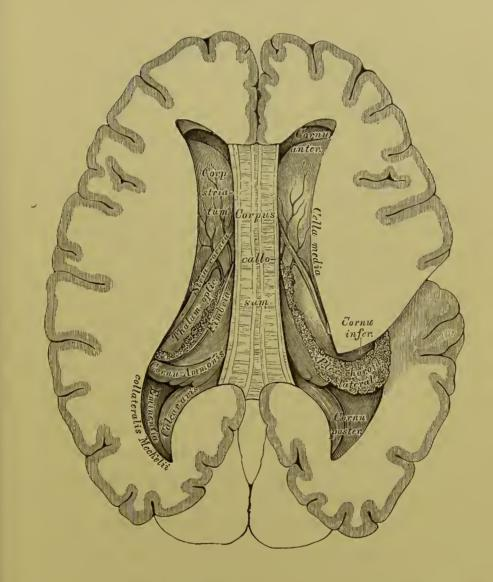
Auf der Unterseite des vereinigten Temporal- und Occipitallappens trennt eine tiefe sagittal gerichtete Furche: Sulcus occipito-temporalis einen lateralen von einem medialen Abschnitte: ersterer sehiebt sieh zwisehen dieser Furche und dem sulcus temporalis tertins ein und ist der Gyrus occipito-temporalis luteralis s. fusiformis; letzterer der Gyrus occipito-temporalis medialis, dessen vorderer Antheil Gyrus hippocampi, der hintere von seiner Form Lobulus lingualis heisst.



443. Horizontal-Durchschnitt des Grosshirns, in der Ebene des Balkens. <sup>2</sup>/<sub>3</sub> der natürlichen Grösse.

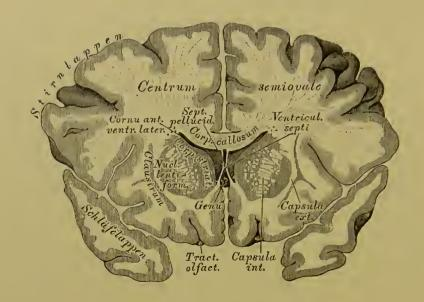
Die Untersuehung des Grosshirns geschieht in folgender Weise:

Das Schädeldach wird entfernt, nachdem mit der Säge ein Kreisschnitt zwischen den Arcus superciliares und den Tubera frontalia und oberhalb der Protuberantia occipitalis externa geführt wurde. Die Dura mater wird beiderseits des Sichelblutleiters der Länge, und von der Mitte dieser Schnitte aus der Quere nach eingeschnitten und zurückgeklappt. Der grosse Sichelfortsatz ist an der Crista galli abzutrennen und nach hinten umzulegen, dabei sind die in den Sichelblutleiter mündenden Venen durchzusehneiden. Man bekommt dadurch die beiden Hemisphären des grossen Gehirns und den dieselben trennenden Zwischenspalt zur Ansicht. — Die beiden Grosshirnhemisphären werden durch Horizontalschnitte bis zur oberen Fläche des Balkens entfernt.



444. Horizontal-Durchschnitt des Grosshirns, mit theilweise eröffneten Seitenkammern. <sup>2</sup>/<sub>3</sub> der natürlichen Grösse.

Der Balken, Corpus callosum s. Commissura maxima, verbindet die beiden Grosshirn-Hemisphären mit einander, indem dessen Seitenränder in das Hemisphären-Mark ausstrahlen, das Tegmentum ventriculorum s. Centrum semiovale Vicussenii erzeugend. Die obere Fläche des Balkens zeigt eine Längsfurche, Raphe superior corporis callosi, begrenzt von den zwei erhabenen Striae longitudinales Lancisii, und von Querstreifen, Chordae transversales Willisii, durchkrenzt. Der vordere Balkenrand biegt sieh nach unten und hinten an die Gehirnbasis zum Tuber einereum und zu den Corpora mamillaria, die Umbeugungsstelle heisst das Balkenknie, Genu corporis callosi; der hintere Balkenrand bildet den Balken wulst, Tuber s. Splenium corporis callosi.



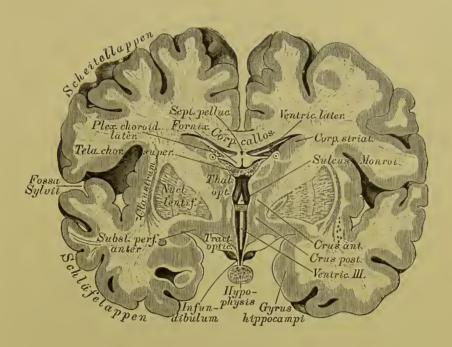
445. Frontalschnitt durch das Grosshirn, in der Mitte des vorderen Drittels des Balkens. Nach C. B. Reichert.

2/3 der natürliehen Grösse.

An den Seitenrändern des Balkens dringt man durch Vertical-Schnitte in die Seitenkammern, Ventriculi laterales, ein und legt dieselben nach Entfernung der Decke bloss. Jede Seitenkammer weist einen mittleren Theil, Cella media, auf, und von diesen ansgehend bogenförmige hohle Hörner: das Vorderhorn, das Hinterhorn und das Unterhorn.

Im Vorderhorne der Seitenkammer befindet sich:

- a) Der Streifenhügel, Corpus striatum, mit einem nach vorne geriehteten kolbigen Ende, und einem nach hinten und aussen geriehteten zugespitzten Schweif. An der Anssenseite des Streifenhügels liegt der Linsenkern, Nucleus lentiformis, eine bieonvexe graue Masse, ringsum von weissem Marke umsehlossen. Vor und unter dem Linsenkern trifft man als graues Lager den Mandelkern, Nucleus amygdalae, und nach aussen vom Linsenkern die senkrechte graue Vormaner, Claustrum. Die weisse Markmasse zwisehen Linsenkern und Streifenhügel bildet die Capsula interna, jene zwisehen Linsenkern und Vormaner die Capsula externa.
- b) Der Sehhügel, *Thalamus opticus*, hinter dem Streifenhügel gelegen. ein Marklager mit drei grauen Kernen. Zwischen Streifen- und Sehhügel liegt:



# 446. Frontalschnitt durch das Grosshirn zwisehen vorderem und mittlerem Drittel des Balkens. Nach C. B. Reichert. 2/3 der natürliehen Grösse.

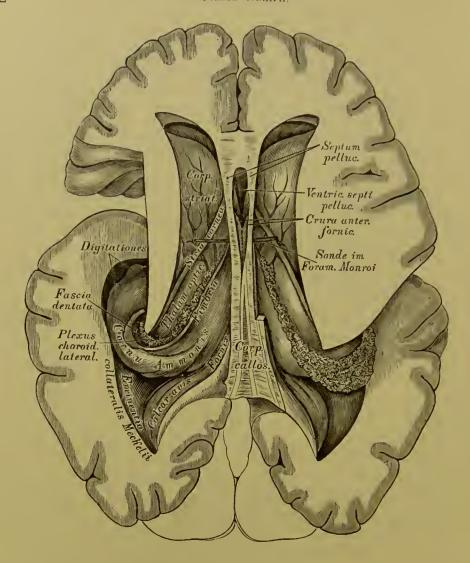
e) Der Hornstreifen, Stria cornea, von der Vena terminalis begleitet, der freie Rand der Taenia semicircularis.

Im Hinterhorne erscheinen:

- a) Der Vogelsporn, der kleine Seepferdefuss, Calcar avis s. Pes hippocampi minor, ein Wulst längs der Innenwand des Hinterhornes. Die obere Wand dieses Hornes führt den Namen Tapetum.
- b) Die seitliche Erhabenheit, Eminentia collateralis Meckelii. Sie beginnt als dreieekiger Wulst im Hinterhorne und senkt sieh in das Unterhorn.

Im Unterhorne (s. Fig. 447) kommen zur Ansicht:

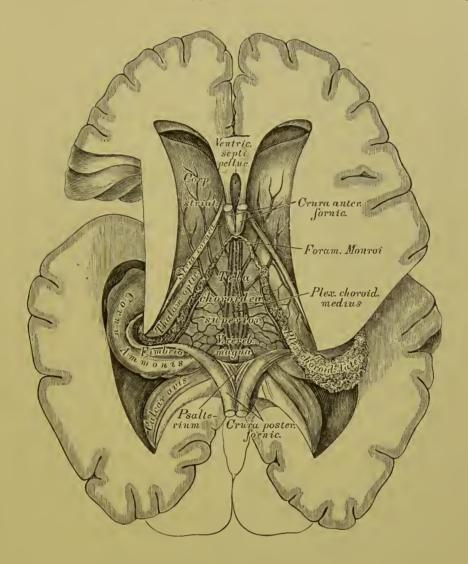
- a) Der grosse Seepferdefuss, das Ammonshorn, Pes hippocampi major s. Cornu Ammonis; als gekrümmter Wulst den Schhügel und die Hirnstiele ungreifend, und am unteren Ende des Unterhornes mit 3—4 Klauen, Digitationes, endigend.
- b) Der Saum, *Fimbria*, ein am eoneaven Rande des Ammonshornes verlaufendes dünnes Markblatt, welches nach unten in die gekräuselte graue Leiste, *Fascia dentata*, übergeht.



447. Horizontal-Durchschnitt des Grosshirns, mit völlig eröffneter linker Seitenkammer. 2/3 der natürliehen Grösse.

Der Balken und das unter ihm liegende Gewölbe, Fornix tricuspidalis, bilden die Decke der dritten Gehirukammer. Beim Emporheben des Balkens trifft man zwischen dessen vorderer Hälfte und dem Fornix die senkrechte durchsiehtige Scheidewand, Septum pellucidum, aufgerichtet zwischen beiden Vorderhörnern der Seitenkammern, mit einer sehmalen Höhle verschen, dem Ventriculus septi pellucidi. Die hintere Balkenhälfte ruht unmittelbar am Gewölbe.

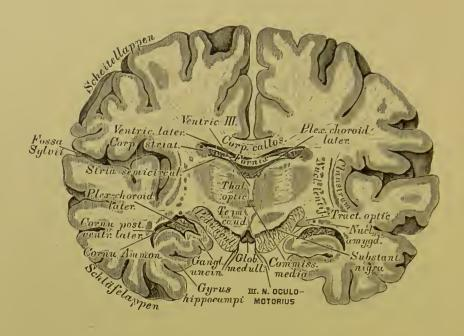
Das dreieckige Gewölbe liegt keilförmig zwischen beiden Schhügeln und spaltet sieh vorne und hinten in 2 Schenkel. Die vorderen Sehen kel, Crura anteriora (Columnae) fornicis, gehen vor den Schhügeln bogenförmig in die Tiefe, um an der Hirnbasis zu den Markhügeln, Corpora manmillaria s. candicantia, zu gelangen und von da wieder zu den Schhügeln aufzusteigen. Die Spalte zwischen diesen und den Schhügeln ist hinter den Vorderschenkeln des Gewölbes zum Foramen Monroi erweitert.



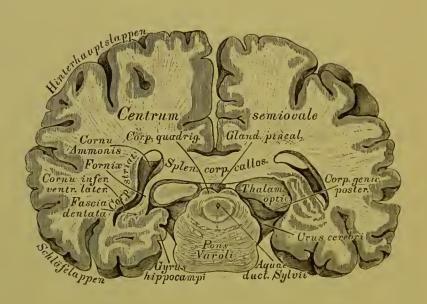
448. Horizontal-Durchschnitt des Grosshirus, mit der Ansicht der Tela choroidea superior. <sup>2</sup>/<sub>3</sub> der natürlichen Grösse.

Die beiden hinteren Sehenkel des Gewölbes, Crura posteriora fornicis, lassen zwischen sieh einen dreieekigen Winkel frei, welcher von der unteren Balkenfläche bedeckt ist; diese Balkenfläche ist streifig und heisst die Leier, Lyra Davidis oder Psalterium. Die hinteren Gewölbsehenkel übergehen beiderseits in die Fimbrien.

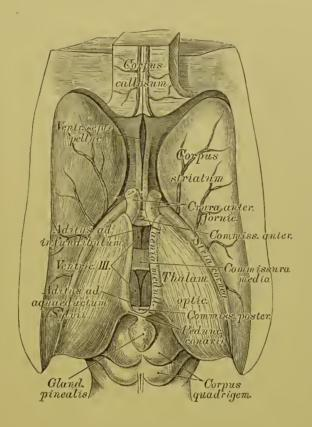
Nach Durchsehneidung des Fornix und Umschlagen beider Hälften bekommt man als Fortsetzung der Pia mater eine gefässreiche Membran zur Ansieht, die Tela choroidea superior; dieselbe führt Endäste der Art. profunda cerebri und in ihrer Mitte zwei Venenstämme, welche nach hinten zur unpaaren Vena cerebri magna zusammensliessen. Sie führt ferner zwei strangartige, körnige Gefässknäuel, die Plexus choroidei, welche anfänglich beisammen liegen (Plexus choroideus medius), dann durch das Foramen Monroi in die Seitenkammern treten als Plexus choroidei laterales.



449. Frontalschnitt durch das Grosshirn in der Mitte des Balkens. Nach C. B. Reichert. <sup>2</sup>/<sub>3</sub> der natürlichen Grösse.



450. Schiefschnitt durch das Grosshirn und die Varolsbrücke durch die Scheitelhöhe gegen das hintere Ende des Keilbeinkörpers. Nach C. B. Reichert. <sup>2</sup>/<sub>3</sub> der natürlichen Grösse.

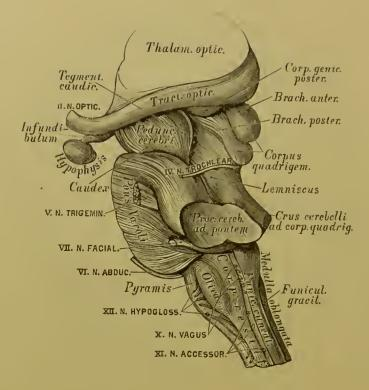


#### 451. Die eröffnete dritte Gehirnkammer.

Ansicht von oben in natürlicher Grösse.

Wird die Tela choroidea superior abgelöst und drängt man die Innenflächen beider Sehhügel von einander, so bekommt man die dritte Gehirnkammer, Ventriculus medius s. tertius, zur Ansicht. Dieselbe weist seehs Wände
auf: eine obere, die Tela choroidea superior; zwei seitliche, die Innenflächen
der beiden Sehhügel; eine untere, entsprechend der Mitte der Gehirnbasis;
eine vordere, gebildet durch die Crura anteriora fornicis, und eine hintere,
erzeugt vom Corpus quadrigeminum. Die Seitenwände sind durch drei Commissurae verbunden; die Commissura anterior vor den absteigenden Gewölbssehenkeln, die Commissura posterior vor dem Corpus quadrigeminum, die Commissura
media s. mollis, eine Verbindung des grauen Beleges der Innenflächen beider
Schhügel (zuweilen fehlend).

Unter der Commissura anterior liegt der Trichtereingung, Aditus ad infundibulum, und unter der Commissura posterior der Eingung in die Sylvische Wasserleitung, Aditus ad aquaeductum Sylvii, welch' letztere, unter dem Vierhügel verlaufend, die Verbindung zwischen der dritten und vierten Gehirnkammer herstellt.



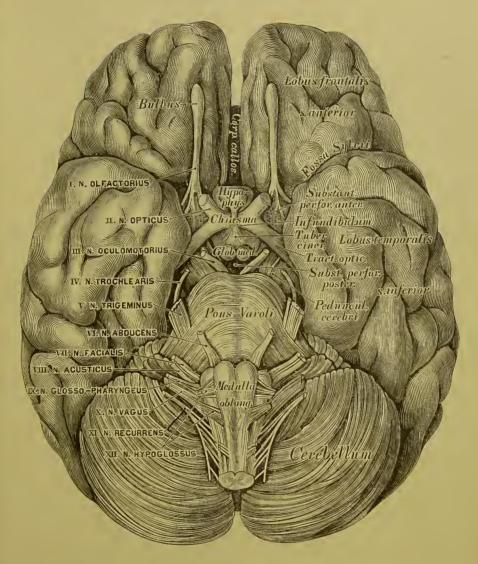
### 452. Seitenansicht der Varolsbrücke und des verlängerten Markes. Natürliche Grösse.

Der Vierhügel, Corpus quadrigeminum s. Eminentia quadrigemina, erhebt sich zwischen der dritten und vierten Gehirnkammer mit einem vorderen grösseren, und einem hinteren kleineren Hügelpaare.

Die Hügelpaare übergehen seitlich in die Brachia corporis quadrigemini, länglichrunde Erhabenheiten, von denen die Brachia anteriora beiderseits mit dem vorderen Knichöeker, Corpus geniculatum anticum, zusammenhängen und in die Schhügel eintreten, während die Brachia posteriora beiderseits mit dem Corpus geniculatum posticum verbunden sind und zum Theile in den Schhügel, zum Theile in die Haube gelangen.

Auf dem vorderen Il ügelpaare des Corpus quadrigeminum liegt die sogenannte Zirbeldrüse, Glandula pinealis s. Conarium s. Penis cerebri, hauptsächlich aus grauer Substanz bestehend und zuweilen den Ventrieulus conarii enthaltend. Vom vorderen Ende der Zirbel gehen die Zirbelstiele, Pedunculi conarii, aus, welche an den Schhügeln als Tueniae medullares vorund abwärts in die Crura anteriora fornicis verlaufen (s. Fig. 451).

Ueber dem Vierhügel liegt das Splenium corporis callosi (s. Fig. 450), und zwischen beiden befindet sich der Querschlitz des grossen Gehirns zum Eintritte der Pia mater in die dritte Gehirnkammer als Tela choroidea media; dieser Schlitz verlängert sich längs des Pes hippocampi major (Cornu Ammonis) bis an den Grund des Unterhorns und enthält eine Fortsetzung der Pia mater zum Plexus choroideus lateralis.

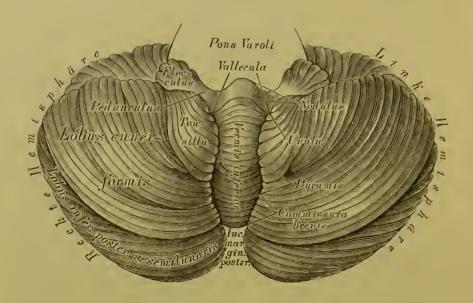


453. Die Gehirnbasis in der Ansieht von unten.

2/3 der natürliehen Grösse.

Nach Ablösung des Tentorium von den Felsenbeinpyramiden und Durchtrennung der Ursprünge der Gehirnnerven, des verlängerten Markes und der Wirbelarterien wird das ganze Gehirn aus der Schädelhöhle herausgenommen, umgestürzt, und dadurch die Gehirn basis zur Anschauung gebracht. Hier sind sichtbar:

- a) Die vordere durchlöcherte Lamelle, Lamina cribrosa anterior s. Substantia perforata anterior, markweiss, in eine mittlere und zwei seitliche durchlöcherte Stellen zerfallend, die zum Durchgange von Blutgefässen dienen. Vor den Seitentheilen liegt als pyramidale graue Erhabenheit das Trigonum olfactorium, welches sieh in den Nervus olfactorius verlängert.
- b) Die Sehnervenkreuzung, Chiasma nervorum opticorum, hergestellt von den platten, die Pedunculi cerebri umgreifenden Tractus optici; aus dem Chiasma gehen die runden Sehnerven, Nervi optici, hervor.



454. Das kleine Gehirn, in der Ansicht von unten. Natürliche Grösse.

An der Gehirnbasis (Fig. 453) sind ferner sichtbar:

e) Der graue Hügel mit dem Trichter, Tuber einereum eum Infundibulo. Der erstere, hinter dem Chiasma gelegen und einen Theil des Bodens der dritten Gehirnkammer bildend, verlängert sich in den zapfenförmigen Trichter, Infundibulum, dessen Basis hehl, dessen Spitze solid ist; letztere verbindet sich mit dem

d) Hirnanhang, Hypophysis cerebri, im Türkensattel gelegen und in diesem durch das Operculum sellae turcicae abgeschlossen. Eine Blutgefässdrüse, die in einen vorderen und einen hinteren Lappen getheilt ist.

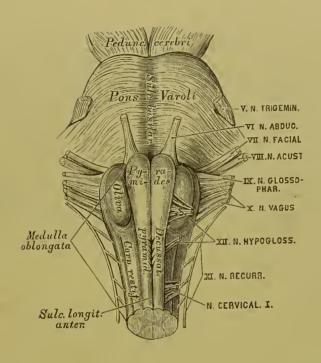
e) Die Markhügel, *Globuli medullares s. Corpora mammillaria*, erbsengrosse, halbkugelige, weisse Markkörper

f) Die hintere, durchlöcherte Lamelle, Lamina cribrosa posterior s. Substantia perforata posterior, in dem Winkel zwischen beiden Pedunculi cerebri, grau, mit dem verderen Rande in das Tuber cinereum übergehend.

g) Die Schenkel des Grosshirns, Crura s. Pedunculi cerebri, längsgefaserte Markbündel, welche divergirend aus der Varolsbrücke hervergehen, um in die Grosshirn-Hemisphären einzutreten. Am Querschnitte eines Gehirnschenkels zeigt sich ein unteres, flaches Faserbündel, der eigentliche Pedunculus s. Caudex, welcher rinnenförmig ansgehöhlt ist für das ebere stärkere Bündel, die Haube, Tegmentum caudicis; zwischen beiden liegt die schwarzgrane Substanz. Substantia nigra pedunculi.

Die beiden Hemisphären des kleinen Gehirns sind durch die Varolsbrücke, Pons Varoli, Nodus cerebri, mit einander verbunden, und hinter der Brücke liegt zwischen beiden Kleinhirn-Hemisphären das verlängerte Mark, Medulla oblongata.

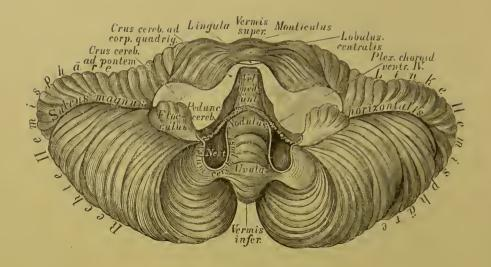
Die Varelsbrücke zeigt eine nntere (vordere) und eine ebere (hintere) Fläche, einen vorderen und einen hinteren Rand. An der unteren Fläche erscheint der mediale Sulcus basilaris, eine Furche für die unpaare Arteria basilaris. Am vorderen Rande treten die Pedunculi cerebri divergirend hervor; an den Seitentheilen die Brückenarme, Crura cerebelli ad ponten, welch' letztere die Verbindung mit den Kleinhiru-Hemisphären herstellen. Der hintere Rand der Varolsbrücke stösst an das verläugerte Mark.



455. Die Varolsbrücke und das verlängerte Mark in der Ansicht von unten. Natürliche Grösse.

Das verlängerte Mark, Medulla oblongatas. Bulbus medullae spinalis, übergeht durch das Foramen occipitale magnum in das Rückenmark; an demselben erscheinen, beiderseits durch Längsfurchen von einander getrennt, drei Stränge. Zunächst sind durch den Sulcus longitudinalis anterior die beiden Pyramiden, Pyramides, gesondert; nach aussen von diesen treten die gewölbten Oliven, Olivae, hervor, neben diesen die strangförmigen Körper, Corpora restiformia, die, weil sie sich in die Kleinhirn-Hemisphären einsenken, auch Schenkel des kleinen Gehirns, Pedunculi cerebelli, heissen. Im Sulcus longitudinalis anterior ist die Bündelkreuzung beider Pyramiden, Decussatio pyramidum, siehtbar. In der Substanz der Olive liegt der weisse Markkern, Nucleus s. Corpus dentatum olivae, umgeben von einer grauen, gezackten Lamelle (s. Fig. 465).

Nach Entfernung der Medulla oblongata (Trennung der Corpora restiformia und Ablösung von der Varolsbrücke) gelangt man zur Totalansicht der unteren Fläche des kleinen Gehirns. Beide Kleinhirn-Hemisphären sind durch eine tiefe Furche, das Thal, Vallecula Reilii, von einander geschieden. In dieser Form lag eben die entfernte Medulla oblongata; die Furche endet nach hinten in der Incisura marginalis posterior.



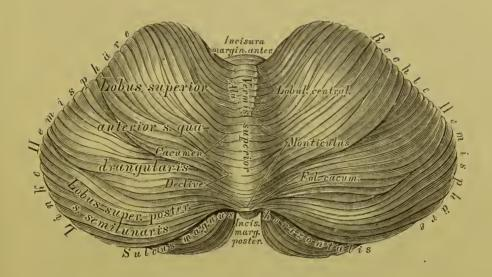
456. Das kleine Gehirn in der Ansicht von vorne. Die Mandeln sind ganz, die keilförmigen Lappen theilweise entfernt. Natürliche Grösse.

An der unteren Fläche einer jeden Kleinhirn-Hemisphäre sind vier Lappen zu erkennen (s. Fig. 454):

- a) Der hintere Unterlappen, Lobus inferior posterior s. semilunaris;
- b) der keilförmige Lappen, Lobus cunciformis;
- e) die Mandel, Tonsilla, am meisten nach unten vorspringend; endlich
- d) die Floeke, Flocculus s. Lobulus, mit dem markweissen Pedunculus flocculi, welch' letzterer als hinteres Marksegel bis zum Unterwurm reicht.

Der im Thale liegende Mitteltheil des Kleinhirns heisst Unterwurm. Vermis inferior; die Gruppen, welche seine Windungen erzeugen, heissen:

- a) Der Klappenwulst, Tuber valvulac oder die kurze Commissur, als Verbindung der hinteren Unterlappen;
  - b) die Pyramide, als Verbindung der keilförmigen Lappen:
  - e) das Zäpfehen, Uvula, als Verbindung beider Mandeln, und
- d) das Knötchen, Nodulus Malacarni, die vordere Grenze des Unterwurmes, durch das hintere Marksegel, Velum cerebelli posterius, mit den Flockenstielen zusammenhängend. Die hinteren Marksegel sind mit ihrem eonvexen Rande an der oberen Wand von blindsackförmigen Taschen, der Nester, befestigt, während die concaven Marksegelränder schief nach vorne und unten gekehrt sind.



457. Das kleine Gehirn in der Ansicht von oben. Natürliche Grösse.

Die Bindearme des kleinen Gehirns, Processus cerebelli ad corpus quadrigeminum, gehen von den Kleinhirn-Hemisphären zum Vierhügel, und zwar vor und über der Eintrittsstelle des Pedunculus cerebelli. Zwisehen den convergirenden Schenkeln der Bindearme erscheint das vordere Marksegel, die graue Gehirnklappe, Velum medullare anterius (superius) s. Valvula cerebelli, wie in einem Rahmen ausgespannt (s. Fig. 456).

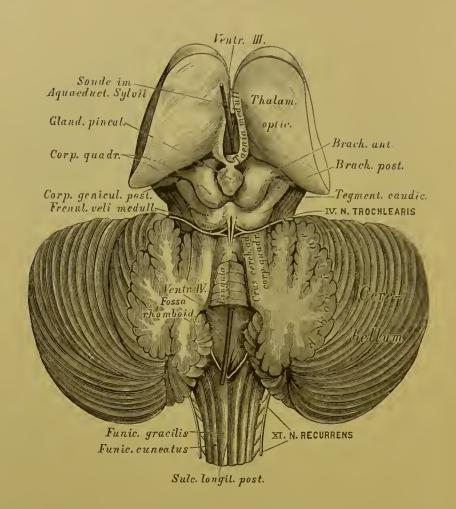
An der oberen Fläche sind die Kleinhirn-Hemisphären durch den Oberwurm, Vermis superior, verbunden, entsprechend dessen vorderem und hinterem Ende sich die Incisura marginalis anterior und posterior befinden.

Die obere Fläche der Kleinhirn-Hemisphären ist von der unteren durch den tiefen Sulcus magnus horizontalis getrennt. An jeder Hemisphäre werden unterschieden:

- a) Der vordere oder ungleich vierseitige Lappen, Lobus superior anterior s. quadrangularis, dann
- b) der hintere oder halbmondförmige Lappen, Lobus superior posterior s. semilunaris.

Die parallel gestellten Gyri des Vermis superior bilden folgende drei Gruppen:

- a) Das Centralläppchen, *Lobulus centralis*, mit einem Mittelstück und zwei Flügeln, *Alae*;
- b) den Berg, Monticulus, dessen erhabenste Stelle, Wipfel, Cacumen, nach hinten in den Abhang, Declive, übergeht; a) und b) als Verbindungen der Gyri des vorderen Lappens;
- c) das Wipfelblatt, Folium cacuminis, in der Incisura marginalis posterior gelegen, als Verbindung der Lobi semilunares.



458. Die dritte und vierte Gehirnkammer, letztere bedeckt von der grauen Gehirnklappe. Natürliehe Grösse.

Unter dem Centralläppehen findet man die Bindearme des kleinen Gehirns zum Vierhügel gehend und zwischen beiden ausgespannt die graue Gehirnklappe, deren obere Fläche fünf platte Gyri trägt, die Zunge. Lingula, nach hinten mit dem Centralläppehen zusammenhängend. Zum vorderen, von der Zunge nicht bedeckten Theile der grauen Gehirnklappe geht von der Mittelfurche des hinteren Vierhügelpaares das Frenulum veli medullaris: zu beiden Seiten desselben kommen die Wurzeln des Nervus trochlearis zum Vorschein. Hinter dem Brachium posterius des Vierhügels liegt neben dem vorderen Ende des Crus verebelli ad corpus quadrigeminum die Schleife, Lemniscus s. Laqueus (s. Fig. 459).

Am senkrechten Durchschnitte des Wurmes, ebenso der Kleinhirn-Hemisphären, erscheint das Marklager, baumförmig verzweigt, als Arbor vitae vermis und Arbor vitae cerebelli.

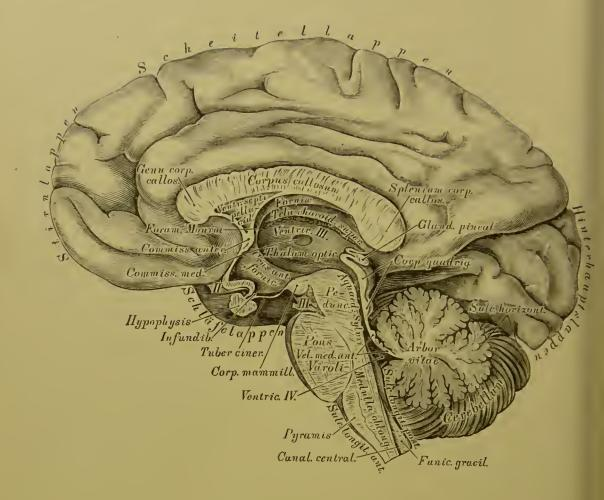
Nach Entfernung des Wurmes bekommt man die obere (respective nintere) Fläche des verlängerten Markes zur Ansicht, welche den Boden der vierten Gehirnkammer, Ventriculus quartus, bildet.



#### 459. Die vierte Gehirnkammer, in der Ansicht von oben. Natürliehe Grösse.

Die beiden, den Sulcus longitudinalis posterior begrenzenden Hinterstränge des Rückenmarkes divergiren nach vorne und oben, um als Corpora restiformia zu den Kleinhirn-Hemisphären zu gelangen; wo sie in die Hemisphäre eintreten, zeigen sie am Durchschnitte den grauen Kern, Tuberculum einereum. Der Sulcus longitudinalis posterior erweitert sieh demnach zu einem nach vorne offenen Winkel, welcher mit dem Winkel der Crura eerebelli ad eorpus quadrigeminum eine Raute bildet, die Grenzlinie der Rauten grube, Fossa rhomboidea, des Bodens der vierten Gehirnkammer. Die graue Grundfläche der Rautengrube heisst Lamina einerea fossae rhomboideae; sie erscheint durch eine Medianfurche in zwei Hälften getheilt.

Dort, wo die Corpora restiformia anfangen zu divergiren, schieben sieh zwischen beide zwei schmale Streifen ein als sogenannte zarte Stränge, Funiculi graeiles, welche beiderseits am hinteren Winkel der Rautengrube zur Keule, Clava, anschwellen. Der nach aussen von den zarten Strängen liegende Rest der Corpora restiformia trägt den Namen Keilstrang, Funiculus euneatus. Seitlich von der Mittelfurche der Rautengrube wölben sich die runden Stränge, Funiculi teretes, vor; dieselben sind nach hinten durch die zungenähnlichen grauen Alae einereae verdeekt.

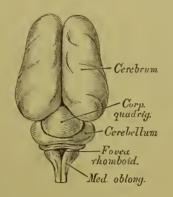


460. Sagittaler Medianschnitt durch das grosse und kleine Gehirn und das verlängerte Mark. 2/3 der natürlichen Grösse.

In der Lamina cinerea treten weisse Querfasern auf als Chordae (Striae) acusticae (s. Fig. 459) und ein Paar Markstreifen längs der Keulen als Riemehen, Taeniae fossae rhomboideae. Der hintere Winkel der Rantengrube heisst Sehreibfeder, Calamus scriptorius; der vordere Winkel (verdeckt durch die graue Gehirnklappe) communicirt durch den Aquacductus Sylvii mit der dritten Gehirnkammer. Die Seitenwinkel der Fossa rhomboidea erweitern sieh zu den Nestern, Recessus laterales (s. Fig. 459). Die Lamina cinerea der Rautengrube ist am Austritte der Processus cerelelli ad Corpus quadrigeminum intensiv dunkel gefärbt — Locus caeruleus.

Die vierte Gehirnkammer wird nach hinten durch die *Pia mater* als *Tela choroidea inferior* verschlossen, die, an den Riemehen, an den Floekenstielen und am hinteren Marksegel fixirt, den paarigen *Plexus choroideus ventriculi quarti* erzeugt.

Am Querschnitte der Kleinhirn-Hemisphäre erscheint nach vorne und innen der gezaekte Körper, Nucleus dentatus s. Corpus rhomboideum, ein weisser Kern mit gezaektem granen Saume.

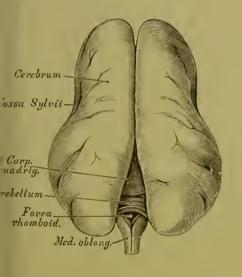


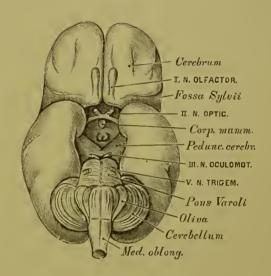


### 461. Gehirn eines dreimonatlichen Embryo.

Ansicht von oben.

#### 462. Gehirn eines dreimonatlichen Embryo. Ansicht von unten.





### monatlichen Embryo.

Ansicht von oben.

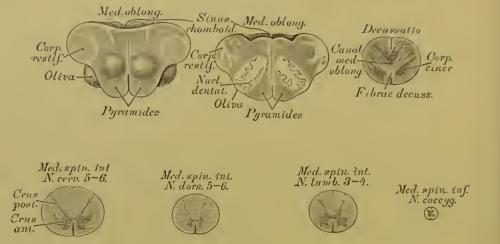
Die Hemisphären des Grosshirns hinten auseinander gedrängt.

463. Gehirn eines fünf- 464. Gehirn eines fünfmonatlichen Embryo.

Ansicht von unten.

Sämmtliche Figuren in natürlicher Grösse.

Rücken mark, Medulla spinalis, heisst der im Rückgratseanal liegende platt cylindrische Theil des Central-Nervensystems; dasselbe geht nach oben in die Medulla oblongata über und endet in der Höhe des I. oder II. Lendenwirbels als Conus medullae, von welchem das Filum terminale bis an das blindsackförmige Ende der Dura mater herabreieht.



## 465. Querschnitte durch das verlängerte und das Rückenmark. Nach Fr. Arnold.

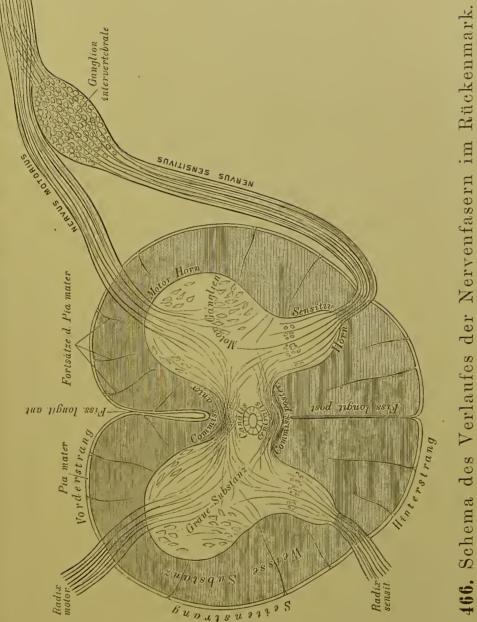
Das Rückenmark ist nicht gleichmässig cylindrisch, sondern mit einer Hals- und einer Lendenanschwellung verschen, entsprechend dem Austritte der stärksten Nerven. Dasselbe wird aus zwei halben Cylindern zusammengesetzt, die eine markweisse Rinde und einen grauen Kern besitzen: die Trennung ist durch den Sulcus longitudinalis anterior et posterior markirt, von welchen der tiefere Sulcus longitudinalis anterior die ganze Länge des Rückenmarkes einnimmt, während der Sulcus longitudinalis posterior nur am Halstheile und am Conus medullae ausgeprägt erseheint.

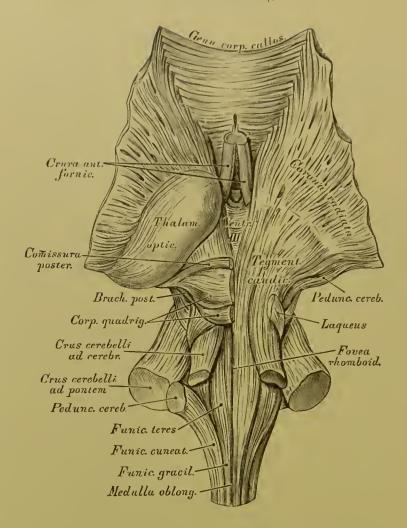
Der graue Kern wird durch die mittlere grane Commissur verbunden, vor dieser die beiden markweissen Seitenhälften durch die vordere weisse Commissur; zwischen beiden Commissnren verläuft der sehr feine Centrale anal des Rückenmarkes. Das Verhältniss des grauen Kernes zur weissen Rinde ist in verschiedenen Höhen variabel; die Form des ersteren entspricht im Allgemeinen einem x mit dönneren Hinterhörnern und dickeren Vorderhörnern, wobei die Markmasse von unten nach oben an Umfang gewinnt. Der graue Kern besteht vorzugsweise aus multipolaren Ganglienzellen, die Markmasse hingegen aus longitudinalen Nervenfaserzügen, mit den transversalen Zügen der Wurzeln der Rückenmarksnerven.

Die Longitudinalzüge bilden seehs Stränge, durch seichte Furchen von einander getrennt, und zwar:

Zwei vordere Stränge, beiderseits des Sulcus longitudinalis anterior: zwei Seitenstränge zwischen den Ursprüngen der vorderen und hinteren Wurzeln der Rückenmarksnerven;

zwei hintere Stränge, beiderseits des Sulcus longitudinalis posterior: zwischen die vorderen Stränge treten in der Gegend der obersten Halswirbel die beiden Pyramidenstränge, welche in die Deenssation eingehen; zwischen die hinteren Stränge treten die zarten Stränge, welche mit den Keilsträngen die Corpora restiformia erzeugen.

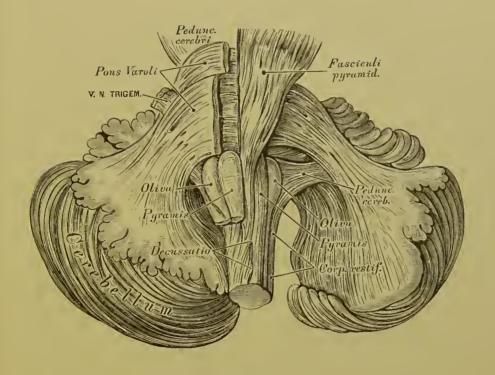




467. Die Faserung des Hirnstammes. Ansicht von oben. Natürliche Grösse.

Die graue Substanz des Gehirns und Rückenmarkes besteht vorzugsweise aus Ganglienzellen. Im Rückenmarke stellt sie den Kern dar, setzt sieh längs des Bodens der IV. und III. Gehirnkammer bis in das Tuber einereum und das Infundibulum fort, bildet den Belag der Windungen des Gross- und Kleinhirns, endlich selbstständige graue Massen, sogenannte Kerne; in den Oliven, in den Hemisphären des Kleinhirns, im Vierhügel, Sehhügel und Streifenhügel, in der Varolsbrücke, das Tuber einereum der strangförmigen Körper, den Linsenkern, die Mandel und die Vormauer in den Grosshirn-Hemisphären, die Stammganglien.

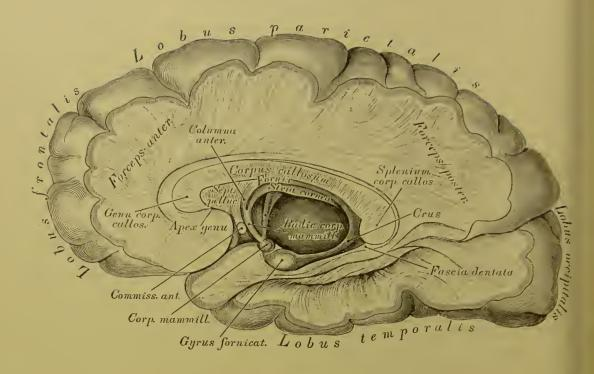
Die drei paarigen Markstränge des Rückenmarkes übergehen in jene des verlängerten Markes als Pyramiden, Oliven und strangförmige Körper, mit der Verwandlung, dass die Seitenstränge zu den Pyramiden, die Vorderstränge zu den Oliven, und die Hinterstränge zu den strangförmigen Körpern werden. Die Pyramiden verlängern sich in die Pedunculi cerebri, die Oliven gehen in den Vierhügel, und die strangförmigen Körper erzeugen die Pedunculi cerebelli.



468. Die Faserung des Hirnstammes. Ansicht von unten. Natürliche Grösse.

Die Fasern des hinteren Rückenmarkstranges gehen theils in die Corpora restiformia, theils in die Haube; jeue des Seitenstranges gruppiren sich in drei Bündel, von welchen das hintere das Corpus restiforme zu bilden hilft, während das mittlere den Funiculus teres, und mit dem Crus cerebelli ad cerebrum (ad Corpus quadrigeminum) die Grundlage der Haube erzeugt, und das vordere zur Pyramide wird. Der vordere Strang wird zur Olive und fliesst die Sehleife bildend in das Corpus quadrigeminum.

Die ans den Stammganglien kommenden Faserzüge verlaufen zur Grossund Kleinhirnrinde als Stabkranz, Corona radiata, wo sie in Ganglienzellen enden oder beginnen; ihre Faserbündel sind durch Faserzüge durchsetzt, welche, die Commissuren erzeugend, die Hemisphären mit einander, das Kleinhirn mit dem Grosshirn und die Stammganglien unter einander verbinden. Solche Commissuren sind: zwischen den Hemisphären des Grosshirns das Corpus callosum, die Commissura anterior et posterior in der dritten Gehirnkammer; zwischen den Kleinhirn-Hemisphären die Varolsbrücke und der Wurm; zwischen Gross- und Kleinhirn die Crura cerebelli ad corpora quadrigemina; zwischen Corpus quadrigeminum, Haube und Schhügel das Brachium anticum et posticum des Vierhügels.



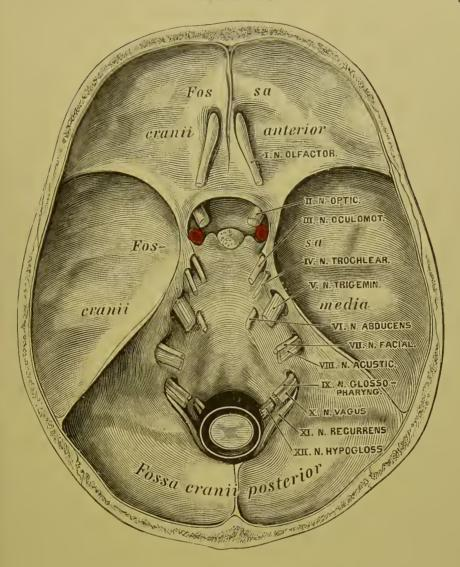
469. Die Faserung des Hirnmantels.

2/3 der natürliehen Grösse.

Als Hirnmantel stehen dem Hirnstamme gegenüber: der Stabkranz, die Commissuren und die Rindenwindungen. Vom Corpus callosum strahlen beiderseits die Faserzüge in die Grosshirn-Hemisphären aus, deren Marklager darstellend; die in die Hinterlappen eintretenden Faserzüge erzeugen die hintere Zange, Forceps posterior, die in die Vorderlappen dringenden Züge die vordere Zange, Forceps anterior, endlich jene Züge, welche die Decke des Hinter- und Unterhornes der Seitenkammern bilden helfen, die Tapete.

Die Oberfläche des Mantels ist mit den oben aufgezählten Windungen versehen und von einer bis  $4^{1}/_{2}$  Mm. dieken, grauen Rindenschieht bedeckt. Die Theilung des Mantels in die beiden Hemisphären bedingt an deren vorderem und mittlerem Theile den tiefen Mantele insehnitt, Incisura pallii, dessen Boden vom Balken, dessen Seitenwände von den Innenflächen der Vorder- und Oberlappen dargestellt sind. Als tiefer Einschnitt ist ferner die Sylvische Spalte markirt, welche den Unterlappen vom Vorder- und Oberlappen trennt: in derselben verlaufen die meisten und stärksten Arterienzweige.

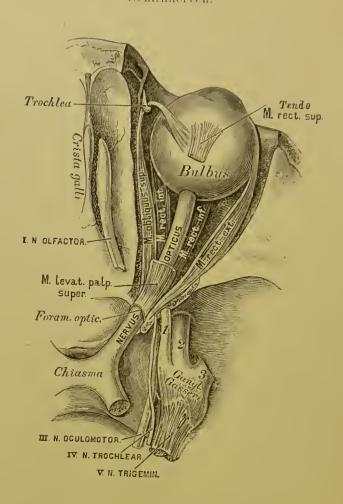
Fig. 467, 468 und 469 sind nach Weingeistpräparaten angefertigt mit Zuhilfenahme der Fr. Arnold'sehen Abbildungen.



470. Die Gehirnnerven an der Schädelbasis.

2/3 der natürlichen Grösse.

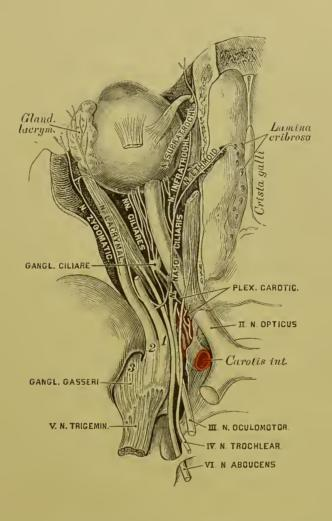
Die Reihe der zwölf Gehirnnervenpaare beginnt der Geruchsnerv, Nervus olfactorius. Derselbe entspringt an der unteren Fläche des Vorderlappens aus dem Trigonum olfactorium als dreikantiger Streifen, Tractus olfactorius, verläuft in einer Furche der unteren Fläche des Vorderlappens nach vorne, zugleich convergirend mit jenem der andern Seite, und erzeugt auf der Lamina eribrosa des Siebbeins den grauen Riechkolben, Bulbus olfactorius. Von der unteren Fläche des Riechkolbens gehen zwei Reihen dünner Fäden ab, welche durch die Löcher der Lamina eribrosa zum oberen Theile der Nasenhöhlenschleimhaut gelangen. Hier erzeugen sie Netze an der Nasenscheidewand und den Innenflächen der Siebbeinmuscheln, von welchen pinselartig gruppirte Fädehen in die Sehleimhaut aufsteigen. Die Netze reichen an der Nasenscheidewand am weitesten herab (s. Fig. 293), am Siebbeinlabyrinth nur bis zum unteren Rande der mittleren Nasenmuschel.



471. Der Nervus olfactorius und der Nervus opticus.

Ausicht von oben.

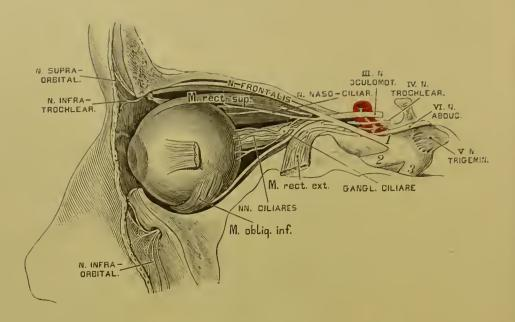
Das II. Gehirnnervenpaar stellt den Sehnerven, Nervus opticus, dar; derselbe umgreift als platter Streifen, Tractus opticus, den Hirnschenkel von aussen nach innen und unten, eonvergirend mit dem Sehnerven der entgegengesetzten Seite, um vor dem Tuber einereum mit diesem eine Kreuzung einzugehen, das Chiasma. Aus dem Chiasma — das Verhalten der Nervenfasern in diesem unterliegt noch der Controverse — kommen die Sehnerven divergirend hervor als rundliche Stränge; jeder Strang dringt durch das Foramen opticum ossis sphenoidei in die Augenhöhle und gelangt mit einer einwärts eoneaven Krümmung, etwas nach innen vom hinteren Pole des Augapfels zu diesem, um die Selera und Choroidea zu durchbohren und als eine lamellöse Ausbreitung direct die Retina zu erzengen. Die Faserschicht der Retina ist eine unmittelbare Bildung der Fasern des Sehnerven (s. Fig. 307). Die harte Hirnhaut umhüllt den Strang des Sehnerven, indem sie schliesslich mit dem Gewebe der Selera versehmilzt.



472. Der Nervus oculomotorius, Nervus trochlearis und Nervus abducens in der Ansieht von oben.

Das III. Gehirmervenpaar, der gemeinschaftliche Augenmuskelnerv, Nervus oculomotorius, kommt von der Varolsbrücke aus dem Gehirnschenkel hervor, geht schief nach vorne und aussen, indem er sich in die obere Wand des Sims cavernosus einbettet (Verbindung mit dem sympathischen Geflecht). Hierauf gelangt er, in zwei Aeste getheilt, in die Fissura orbitalis superior. Der schwächere Ramus superior geht zum M. levator palpebrae superioris und zum M. rectus superior; der stärkere Ramus inferior zum M. rectus internus, M. rectus inferior und M. obliquus inferior. Der letztere, längste Zweig gibt zum Ganglion ciliare die kurze oder dicke Wurzel, Radix brevis s. motoria.

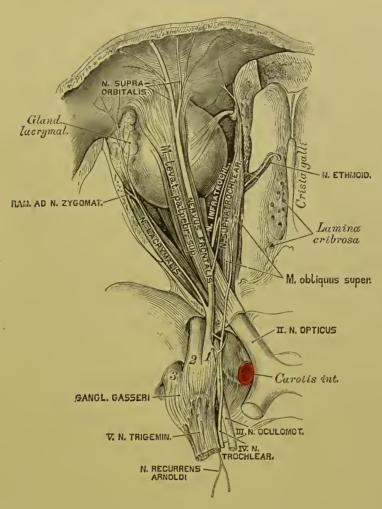
Das IV. Gehirnnervenpaar bildet der Rollnerv, Nervus trochlearis s. patheticus, der schwächste unter den Gehirnnerven. Er entspringt unmittelbar hinter dem Corpus quadrigeminum, sehlägt sieh um das Crus cerebelli ad corpus quadrigeminum und den Pedunculus cerebri, durehbrieht die Dura mater hinter dem Processus clinoideus posticus und verbindet sieh hier mit dem Ramus ophthalmicus Nervi trigemini. Dann geht er durch die Fissura orbitalis superior in die Augenhöhle und zieht einwärts zum M. obliquus superior.



473. Der Nervus oculomotorius, Nervus trochlearis und Nervus abducens in der Ansieht von aussen.

Das VI. Gehirnnervenpaar, der äussere Augenmuskelnerv, Nervus abducens, kommt am hinteren Rande des Pons Varoli zum Vorsehein und gelangt zur hinteren Wand des Sinus cavernosus, in welchem er an der Aussenseite der Carotis cerebralis verläuft, durch einige Fäden verbunden mit dem sympathischen Geflecht. Nach Durchbohrung der Wand des Sinus cavernosus dringt er durch die Fissura orbitalis superior in die Augenhöhle, durchbohrt den Ursprung des M. rectus externus und verzweigt sich in diesem Muskel.

Das V. Gehirnnervenpaar, der dreiget heilte Nerv. Nervus trigeminus, der stärkste unter den Gehirnnerven, entspringt mit zwei getrennten Wurzehn. Die stärkere, rein sensitive hintere Wurzel kommt an der Vorderfläche des Crus cerebelli ad pontem hervor; die bei Weitem schwächere, rein motorische vordere Wurzel zwischen den vorderen Querfasern der Varolsbrücke. Beide Wurzeln legen sieh an einander, gelangen in einen von der Dura mater gebildeten Hohlraum, das Cavum Meckelii, an der oberen Fläche der Felsenbeinpyramide, wo durch Verflechtung der Faserbündel der hinteren sensitiven Wurzel ein grosser halbmondförmiger Knoten entsteht, das Ganglion Gasseris, semilunare. Aus dem eonvexen Rande dieses Knotens kommen die abgeplatteten drei Aeste des Nervus trigeminus hervor: der I. Ramus ophthalmicus, der II. Ramus supramaxillaris und der III. Ramus inframaxillaris.



### 474. Der erste Ast (Ramus ophthalmicus) des Nervus trigeminus.

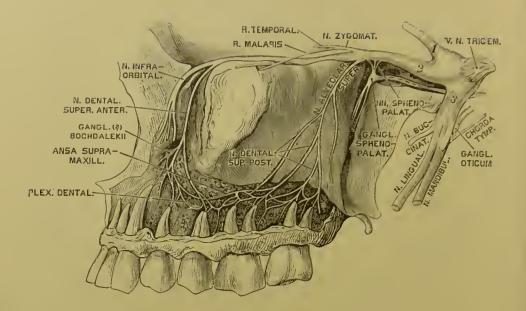
Der I. Ramus ophthalmicus, rein sensitiv, der schwächste unter den Quintusästen, geht in der oberen äusseren Wand des Sinus cavernosus, anastomosirond mit dem sympathischen Geflecht und dem N. trochlearis, nach vorne und sendet den Ramus recurrens Arnoldi zur harten Hirnhaut. Noch vor seinem Eintritte in die Fissura orbitalis superior zerfällt er in drei Zweige; diese sind:

a) Der Thränennerv, Nervus lacrymalis, verläuft am oberen Rando dos M. rectus externus, gibt einen Zweig zum N. zygomaticus und gelangt zur Thränen-

drüse, zur Conjunctiva und zur Haut am äusseren Augenwinkel.

b) Der Stirnnerv, Nervus frontalis, unter dem Orbitaldache gelegen, zerfällt in den: Nervus supratrochlearis, welcher, über dem M. trochlearis verlaufend, über der Trochlea die Augenhöhle verlässt, um zur Haut des eberen Augenlides und der Stirne zu gehen; Nervus supraorbitalis, welcher, meist in zwei Zweige getheilt, durch die Incisura supraorbitalis zur Stirne geht, behufs Versergung ihrer Haut bis zum Scheitel.

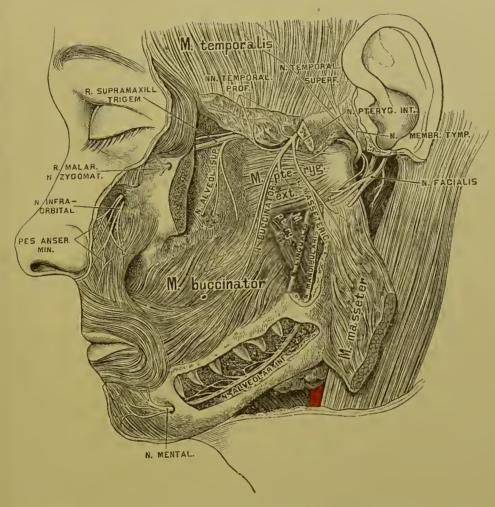
c) Der Nasenaugennerv, Nervus naso-ciliaris, liegt anfangs an der Aussenseite des N. opticus, geht mit dem N. abducens durch den Ursprung des M. rectus externus durch, erzeugt die lange Wurzel des Ciliarknetens, Radix longa s. sensitiva Ganglii ciliaris (s. Fig. 472), gelangt an die Innenseite des N. opticus, indem er 1—2 Ciliarnerven abgibt, und theilt sich schliesslich in den Nervus ethmoidalis, welcher durch das Foramen ethmoidale anterius zuerst in die Schädelhöhle und dann durch die Lamina cribrosa in die Nasenhöhle gelangt, das Septum narium, die äussere Nasenhöhlenwand, endlich die Haut der äusseren Nase versorgt; Nervus infratrochlearis, unter der Trochlea zu den Gebilden am inneren Augenwinkel gehend



475. Der zweite Ast (Ramus supramaxillaris) des Nervus trigeminus.

Der II. Ramus supramaxillaris, gleichfalls sensitiv, gelangt durch das Foramen rotundum des Keilbeins aus der Schädelhöhle in die Fossa sphenopalatina und erzeugt folgende Aeste:

- a) Den Joch wan gennerv, Nervus zygomaticus s. subcutancus malae, welcher, durch die Fissura orbitalis inferior in die Augenhöhle tretend, in zwei Zweige zerfällt: den Ramus temporalis (anastomosirt mit dem N. laerymalis, geht durch den Canalis zygomaticus temporalis in die Schläfegrube, durchbohrt am vorderen Rande des M. temporalis die Fascia temporalis und versorgt die Haut der Schläfe) und den Ramus malaris (geht durch den Canalis zygomaticus facialis zur Haut der Wange), beide in den Endverzweigungen anastomosirend mit dem N. facialis.
- b) Den oberen, hinteren Zahnnerv, N. alveolaris superior. Am Tuber maxillare theilt sich derselbe in zwei Zweige, deren erster den M. buccinator durehbricht, um zur Mundhöhlenschleimhaut zu gelangen; deren zweiter durch ein Foramen maxillare superius in den oberen Alveolareaual dringt, um als Nervus dentalis superior posterior zwischen den Platten der Gesichtswand des Oberkiefers nach vorne zu gehen und die Schleimhaut des Antrum Highmori und die Pulpa der Mahlzähne zu versorgen. Endlich anastomosirt er mit dem Nervus dentalis superior anterior.
- c) Die Keilgaumennerven, pterygo-s. spheno-palatini, kurze Nervenfäden zum Ganglion pterygo-s. spheno-palatinum.
- d) Der Nervus infraorbitalis, als unmittelbare Fortsetzung des zweiten Quintusastes, geht durch den Canalis infraorbitalis zum Gesicht, zerfällt hier in den Pes anserinus minor, dessen Zweige die Haut des unteren Augenlides, der Wange, der Nase und der Oberlippe versorgen und vielfach mit dem N. faeialis anastomosiren. Ein Ast, der N. dentalis superior anterior, bildet die Ansa supramaxillaris und den Plexus dentalis.



476. Der dritte Ast (Ramus inframaxillaris) des Nervus trigeminus.

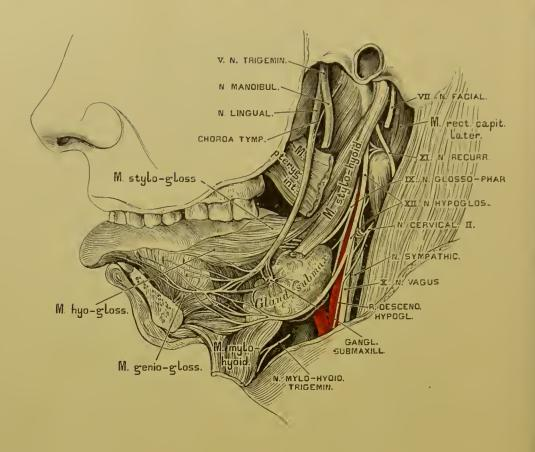
Der III. Ramus inframaxillaris, gemischt, verlässt die Schädelhöhle durch das Foramen ovale des Keilbeins und spaltet sich unmittelbar darauf in zwei Gruppen.

Die erste, vorwiegend motorische Gruppe erzeugt folgende Aeste:

- a) Den Nervus massetericus, von innen her durch die Incisura semilunaris in den M. masseter eindringend und das Kiefergelenk versorgend;
  - b) die Nervi temporales profundi zum M. temporalis;
  - e) den Nervus buccinatorius zum M. buccinator;
- d) die Nervi pterygoidei, und zwar den internus und externus für die beiden MM. pterygoidei.

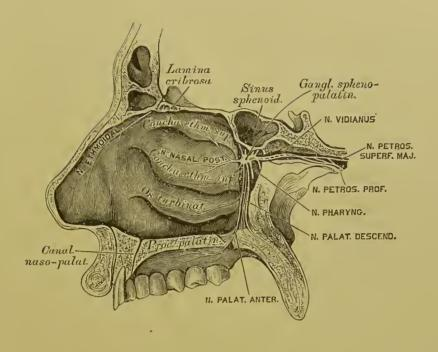
Die zweite, vorwiegend sensitive Gruppe bildet folgende Aeste:

a) Den oberflächlichen Schläfenerven, N. temporalis superficialis s. auriculo-temporalis; dieser umgreift mit seinen zwei Wurzeln die Art. meningea media (s. Fig. 480) und zerfällt hinter dem Gelenkfortsatz des Unterkiefers in zwei Endäste, den hinteren für den M. attrahens auriculae, die Haut der Ohrmuschel, zum Theile den äusseren Gehörgang und den vorderen für die Haut der Schläfe.



#### 477. Der Nervus lingualis und das Ganglion submaxillare

- b) Der Zungennerv, Nervus lingualis, zieht vereinigt mit der Chorda tympani an der Aussenseite des M. stylo-glossus und M. hyo-glossus bogenförmig vor- und abwärts; sendet Aestehen zum Arcus palato-glossus, zur Sehleimhaut des Bodens der Mundhöhle, ferner zum Ganglion submaxillare und zur Glandula sublingualis. Sehliesslich zerfällt er in acht bis zehn Zungennerven, die, das Zungenfleisch durchdringend, in die Papillen (mit Ausnahme der Papillae vallatae und vieler P. filiformes) gelangen.
- e) Der eigentliche Unterkiefernerv, Nervus mandibularis, hinter dem N. lingualis gelegen und mit diesem durch ein bis zwei Fäden verbunden, geht an der Anssenseite des M. pterygoideus internus zur inneren Oeffnung des Unterkieferkanals und erzeugt: den N. mylo-hyoideus für den gleichnamigen Muskel und den vorderen Bauch des M. biventer mandibulae: den N. alveolaris inferior, der mit dem N. mentalis in den Unterkieferkanal eindringt, und sämmtliche Zahnpulpen, sowie den Alveolarrand und das Zahnfleisch versorgt; endlich den N. mentalis, welcher durch die vordere Oeffnung des Unterkieferkanals austritt, um die Haut, die Schleimhaut und die Muskeln der Unterlippe zu innerviren.



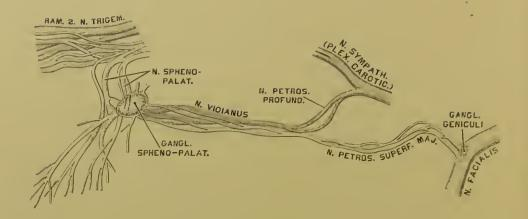
478. Das Ganglion spheno-palatinum.

Das grösste Ganglion des N. trigeminus ist das Ganglion Gasseri (s. Fig. 474), von halbmondförmiger Gestalt und nur von der hinteren sensitiven Wurzel des N. trigeminus gebildet.

Das bis 3 Mm. im Durchmesser haltende Ganglion ciliare (s. Fig. 472 und 473) liegt in der Augenhöhle zwischen dem M. rectus externus und dem N. opticus. Seine Wurzeln sind: die Radix brevis (motoria) vom N. oculomotorius; die Radix longa (sensitiva) vom N. naso-ciliaris, und die Radix sympathica vom Plexus caroticus. Aus dem Ganglion ciliare treten 10—16 Nervi ciliares hervor, und zwar in zwei Gruppen, die die Sclerotica durchbrechen, zwischen dieser und der Choroidea zum M. ciliaris ziehen, um diesen, die Iris und die Hornhaut zu versorgen.

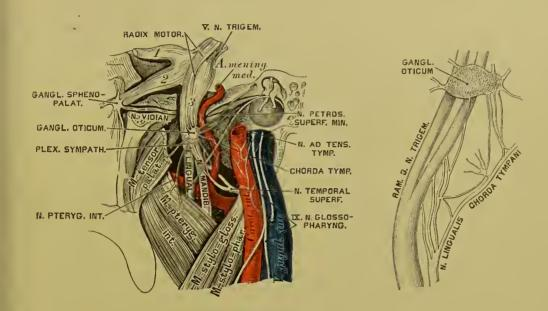
Das Ganglion spheno-palatinum s. pterugo-palatinum (Meckelii), in der Flügelgaumengrube am Foramen spheno-palatinum gelegen, hängt durch einige kurze Fäden (Nervi spheno-palatini) mit dem H. Trigeminus-Aste zusammen. Seine Aeste sind:

a) Die Ramuli orbitales, durch die Fissura orbitalis inferior in die Augenhöhle zur Periorbita ziehend.



#### 479. Der Nervus Vidianus nach E. Bischoff.

- b) Der Nervus Vidianus, ein aus grauen und weissen Nervenfasern zusammengesetztes, zweibündeliges Geflecht, welches von vorne nach hinten durch den Canalis Vidianus verläuft und sieh am hinteren Ende des letzteren spaltet. Das graue Bündel geht zum oder kommt vielmehr vom Plexus caroticus des Nervus sympathicus und heisst Nervus petrosus profundus; das weisse Bündel hingegen bildet den Nervus petrosus superficialis major, welcher durch die Fibrocartilago basilaris in die Schädelhöhle gelangt, zum Hiatus canalis Fullopiae zieht und sieh in das Ganglion geniculi des Nervus facialis einsenkt.
  - e) Die Rami pharyngei zur Schleimhaut der obersten Partie des Rachens.
- d) Die Nervi septi narium zur oberen Wand der Choanen und zur Nasenscheidewand; der längste unter ihnen geht als Nervus naso-palatinus Scarpae längs der Nasenscheidewand zum Canalis naso-palatinus und durch diesen zum harten Gaumen und zum Zahnfleisch der Schneidezähne.
- e) Die Nervi nasales posteriores zu den Siebbeinmuscheln und dem hinteren Bezirke der äusseren Nasenhöhlenwand.
- f) Die Nervi palatini descendentes, durch die Foramina palatina postica hervortretend, um den weichen und harten Gaumen, die Uvula, den M. levator palati und den M. azygos uvulae zu versorgen. Der stärkste unter ihnen, N. palatinus anterior, verbreitet sich in der Schleimhaut des harten Gaumens und anastomosirt schliesslich mit dem N. naso-palatinus Scarpac.



480. Das Ganglion oticum.

481. Das Ganglion oticum nach Rüdinger.

Das Ganglion supramaxillare (Bochdalekii), dessen Gangliennatur übrigens zweifelhaft ist, erseheint in Fig. 475 abgebildet.

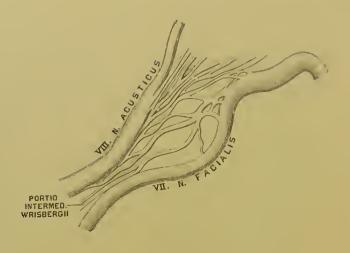
Das Ganglion oticum (Arnoldi) liegt unter dem Foramen ovale an der Innenseite des III. Trigeminus-Astes, mit diesem durch einige Fädehen verbunden; es wird vom N. pterygoideus internus und dessen zum M. tensor palati mollis ziehenden Aste durchbohrt. Seine Aeste sind:

- a) Nervus ad tensorem tympani;
- b) Nervus petrosus superficialis minor, geht durch ein Canälchen des grossen Keilbeinflügels und mit dem N. petrosus superficialis major zum Knie des N. facialis, wo er ein Zweigehen in das Ganglion geniculi einsenkt, ein zweites zur Paukenhöhle heruntersendet behufs Verbindung mit dem Nervus Jacobsonii (s. Fig. 486);
  - e) ein Zweigehen zum Nervus ad tensorem veli palatini;
  - d) ein Zweigehen zum Ohrmuschelast des Nervus auriculo-temporalis;
  - e) ein Zweigehen vom Plexus sympathicus der Art. meningea media.

Das Ganglion submaxillare s. linguale (s. Fig. 477) liegt auf der Glandula submaxillaris hart am Nervus lingualis, mit welchem es durch mehrere Fäden zusammenhängt. Seine Aeste versorgen die Glandula submaxillaris und begleiten den Nervus lingualis auf seinen Wegen zur Zungensehleimhaut.

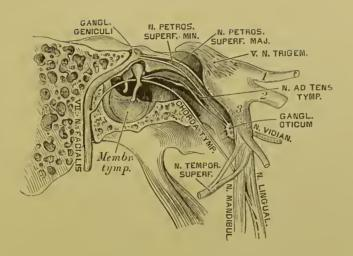
Gehirungryen,

372



482. Die Portio intermedia Wrisbergii nach E. Bischoff.

Das VII. Gehirnnervenpaar bilden die rein motorischen Autlitznerven, Nervi faciales. Jeder derselben geht vom Stamme des verlängerten Markes mit zwei Wurzeln ab, deren vordere aus dem Corpus restiforme, deren hintere als Portio intermedia Wrisbergii vom Boden der vierten Gehirnkammer hervorgeht. Beide Wurzeln liegen in einer Rinne des Nervus acusticus, mit welchem die Portio intermedia auch verbunden ist. Im Grunde des inneren Gehörganges entferut sich der Nervus facialis vom Nervus acusticus, indem er in den Fallopi'schen Canal eindringt und im Knie desselben zum Ganglion geniculi anschwillt. Dieses Ganglion nimmt den N. petrosus superficialis major und einen Ast des N. petrosus superficialis minor auf, ebenso Fäden vom Plexus sympathicus der Art. meningea media. Vom Knie des Fallopi'schen Canals an geht die Richtung des Canals und des darin liegenden Nervus facialis nach hinten, endlieh nach unten zum Foramen stylo-mastoideum. Hinter dem Knie spalten sich vom N. facialis zwei Aeste ab; der kleinere derselben verlässt den Facialis-Stamm gegenüber der Eminentia pyramidalis der Paukenhöhle, um den M. stapedius zu versorgen (s. Fig. 486); der grössere verlässt den Stamm oberhalb des Foramen stylo-mastoideum, um als Chorda tympani durch den Canaliculus chordae in die Paukenhöhle einzudringen, zwischen Hammergriff und langem Ambosschenkel in die Fissura Glaseri zu gelangen und sieh schliesslich mit dem N. lingualis zu vereinigen, dem er motorische Fasern zuführt.



### 483. Der Nervus facialis innerhalb des Felsenbeins.

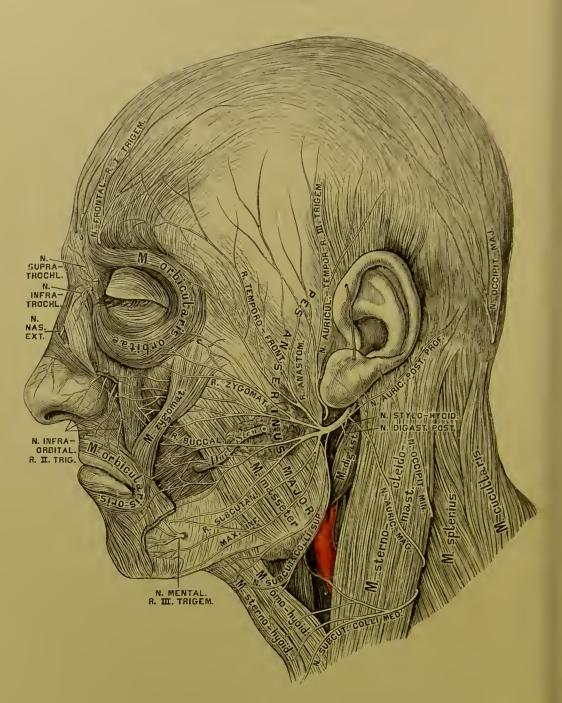
Nachdem der Nervus facialis das Foramen stylo-mastoideum verlassen, sendet er folgende Aeste ab:

- a) Den Nervus auricularis posterior profundus, welcher, mit dem Ramus auricularis vagi und dem N. occipitalis minor anastomosirend, den M. retrahens auriculae, den M. occipitalis und die Haut des Hinterhauptes versorgt;
  - b) den Nervus stylo-hyoideus und den Nervus digastricus posterior;
- e) Rami anastomotici zum Ramus auriculo temporalis des Ramus III. Trigemini.

Nun durchbohrt der Nervus facialis, in zwei Aeste gespalten, die Ohrspeicheldrüse, indem er zugleich die Drüse mit sehr feinen Zweigehen versieht. Noch innerhalb der Ohrspeicheldrüse zerfährt der Nervus facialis in 8—10 Aeste, welche durch winkelige Anastomosen den grossen Gänsefuss, Pes anserinus major, herstellen. Es entstehen dann folgende Gruppen:

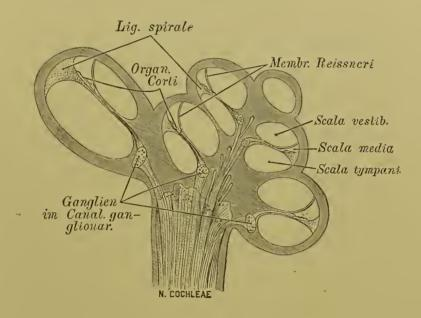
- a) Rami temporo-frontales; sie anastomosiren mit dem Nervus auriculotemporalis, den Nervi temporales profundi, dem Nervus frontalis, dem Nervus lacrymalis und innerviren den M. attrahens und levator auriculae, den M. temporalis, den M. orbicularis palpebrarum und den M. corrugator supercilii.
- b) Rami zygomatici; sie anastomosiren mit dem Nervus zygomaticus malae, lacrymalis und supraorbitalis, und innerviren den M. zygomaticus, M. orbicularis, M. levator labii superioris et alae nasi.

374 Gehirnnerven.



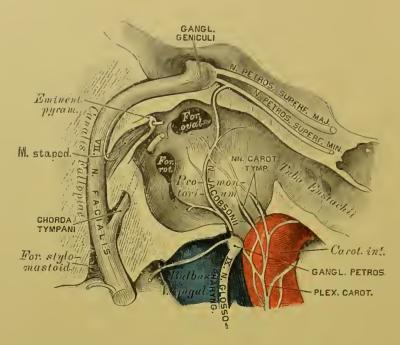
484. Der Antlitztheil des Nervus facialis.

- e) Rami buccales; sie anastomosiren mit dem N. infraorbitalis und buccinatorius und innerviren die Muskeln der Oberlippe und der Nase.
- d) Rami subcutanei maxillae inferioris; sie anastomosiren mit dem N. buccinatorius und N. mentalis und innerviren die Muskeln der Unterlippe.
- e) Der N. subcutaneus colli superior anastomosirt mit dem N. subcutaneus colli medius und N. auricularis magnus und innervirt das Platysma myoides.

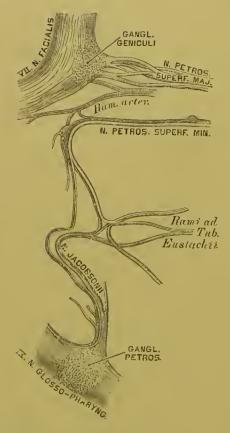


# 485. Durchschnitt der Schnecke, mit der Verbreitung des Nervus cochleae. Nach Rüdinger.

Die Gehörnerven, Nervi acustici, bilden das VIII. Gehirnnervenpaar. Der Gehörnerv tritt beiderseits zwisehen Flocke und Pedunculus cerebelli hervor, vereint mit dem N. facialis und für diesen eine Furehe erzeugend. Beide Nerven dringen in den Meatus auditorius internus ein; der N. facialis gelangt in den Canalis Fallopiae; der N. acusticus theilt sieh in den stärkeren Sehneekennerven, N. cochleae, und den schwäeheren Vorhofsnerven, N. vestibuli. Der erstere dringt durch die Löcher des Tractus foraminulentus zur Lamina spiralis vor, um im Corti'schen Organe zu enden; der letztere theilt sieh in mehrere Aeste, welche zum Sacculus sphacricus, Sacculus ellipticus und zu den drei Ampullen der Canales semicirculares gelangen (s. Fig. 325).



486. Der Nervus Jacobsonii in der Paukenhöhle (vergrössert).

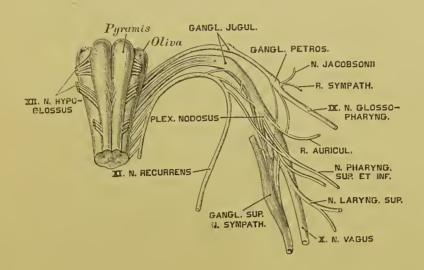


487. Der Plexus tympanicus. Nach E. Bischoff.

Das IX. Gehirnnervenpaar stellt der Zungenschlundkopfnerv, N. glossopharyngens, dar. Er gelangt durch das Foramen jugulare in einer eigenen Scheide der harten Hirnhaut und erzeugt hier das uneonstante Ganglion jugulare; in der Fossula petrosa liegt sein constantes Ganglion petrosum, welches mit dem N. sympathicus und dem Ramus auricularis vagi verbunden ist. Ans diesem Ganglion petrosum geht ferner der N. Jacobsonii hervor, welcher in der Paukenhöhle in einer Furche des Promoutorium verläuft, Aestehen zur Pankenschleimhaut, zur Tuba Eustachii sendet, durch die Nervi earotico-tympanici mit dem Plexus caroticus zusammenhängt und sieh sehliesslich in den N. petrosus superficialis minor einsenkt.

Am Halse sendet der N. glosso-pharyngeus Verbindungszweige zum N. vagus, zum Plexus caroticus, zum R. digastricus und R. stylohyoideus des N. facialis; dann Zweige (Rami pharyngei) zu den Rachenmuskeln (s. Fig. 491).

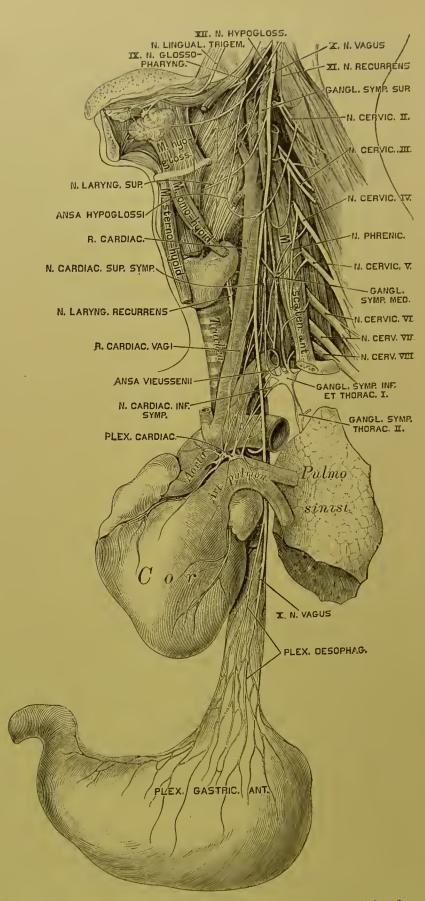
Endlich gelangt der Nerv als *R. lingualis* zur Zunge, nm den *Arcus glosso-palatinus*, die Mandel, die Vorderfläche des Kehldeckels, die Zungenwnrzel zu versorgen und schliesslich in den *Papillae vallatae* zu enden.



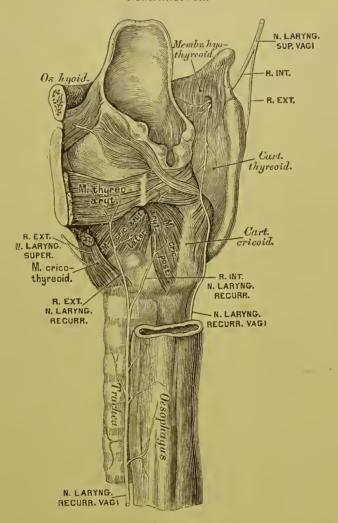
## 488. Schema des Ursprunges des IX., X., XI. und XII. Gehirnnervenpaares.

Das X. Gehirnnervenpaar sind die beiden Lungen-Magennerven, Nervi vagi. Vom verlängerten Marke ausgehend, gelangt der N. vagus in Gesellschaft des N. glosso-pharyngeus und des N. recurrens Willisii durch das Foramen jugulare aus der Schädelhöhle.

- 1. Der Halstheil erzeugt im Foramen jugulare das Ganglion jugulare, welches mit dem Ganglion cervic. primum (superius) des N. sympathicus verbunden ist; unterhalb des Ganglion jugulare entsteht am N. vagus durch reichliche Anastomosen mit den Nachbarnerven das etwa  $1^4/_2$  Ctm. lange Knotenge efleeht, Plexus nodosus; dann verläuft der Nerv zwischen Art. carotis communis und Vena jugul. int. zur oberen Brustöffnung. Seine Zweige sind:
- a) Ramus auricularis vagi, stammt aus dem Ganglion jugulare, nimmt einen Zweig vom Ganglion petrosum des N. glosso-pharyngeus auf, umgreift den hinteren Umfang des Bulbus V. jugularis, gelangt in den Canalis Fallopiae, kreuzt sich mit dem N. facialis, mit dem er durch zwei Fäden verbunden ist, und kommt durch den Canaliculus mastoideus hinter die Ohrmusehel, wo er theils mit dem N. auricular. profund. des N. facialis anastomosirt, theils die hintere Wand des änsseren Gehörganges versorgt.

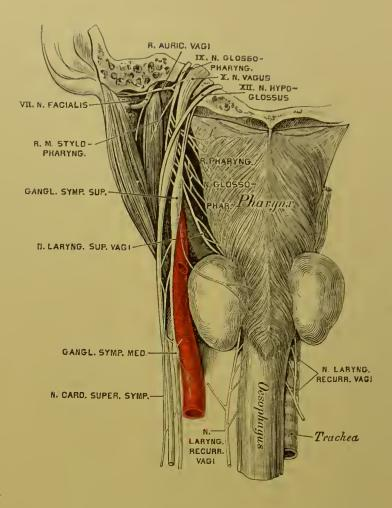


489. Der linke Nervus vagus mit seinen Verbindungen.



## 490. Der Nervus laryngeus superior und Nervus laryngeus recurrens Vagi.

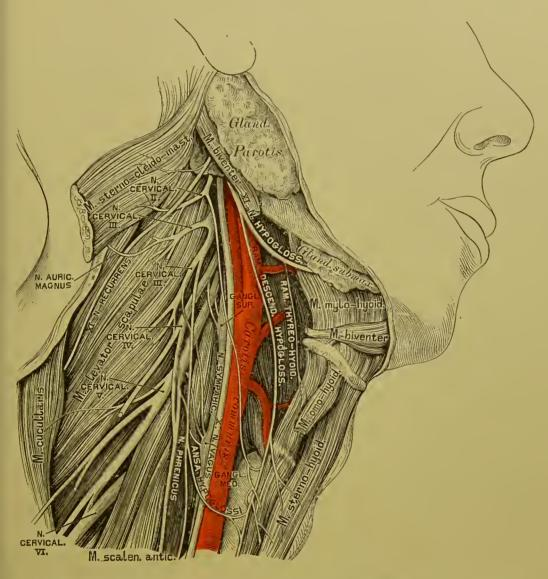
- b) Aeste vom XI. und XII. Gehirnnervenpaare ertheilen dem *N. vagus* im *Plexus nodosus* motorische Fasern, welche bald darauf als *Rami pharyngei* und *laryngei* abgehen.
- e) Aus dem *Plexus nodosus* kommen Verbindungsäste zum oberen Halsganglion des *N. sympathicus* und zum *Plexus* der oberen Halsnerven; ferner die
- d) N. pharyngeus superior et inferior, deren Aeste vereint mit jenen des N. glosso-pharyngeus und des N. sympathicus den Plexus pharyngeus erzeugen.
- e) Der N. laryngeus superior gelangt an der Innenseite der Carotis interna zum Kehlkopf und zerfällt in einen R. externus und einen internus; ersterer endet im M. constrict. pharyng. infer. und im M. crico-thyreoideus, letzterer durehbohrt mit der Art. laryngea die Membrana hyo-thyreoidea, um die hintere Kehldeckelfläche und die Kehlkopfschleimhaut bis zur Stimmritze zu versorgen. Der R. internus anastomosirt eonstant mit dem N. laryng. recurrens des Vagus.
- f) Verbindungsfäden zum R, descendens hypoglossi und zum Plexus caroticus internus.
  - g) Zwei bis seehs Rami eardiaci zum Plexus cardiacus.



## 491. Der Nervus glosso-pharyngeus, Nervus vagus und Nervus hypoglossus von hinten.

- 2. Der Brusttheil des N. vagus liegt anfangs an der äusseren Seite der Carotis communis; rechts verläuft derselbe vor der Art. subclavia dextra, links vor der Aorta descendens, dann gelangt jeder an die hintere Wand des Bronchus, unter diesem der rechte Vagus an die hintere Fläche der Speiseröhre, der linke an die vordere Fläche derselben. Die Aeste sind:
- a) N. laryngeus recurrens. Der rechte (kürzere) umschlingt die Art. subclavia dextra, der linke (längere) den Arcus aortae; beide verlaufen zwischen Trachea und Oesophagus zum Kehlkopf, um dessen Muskeln zu innerviren.
- b) Die Nervi bronchiales anteriores et posteriores. Erstere erzeugen mit Antheilen der Nervi cardiaci Sympathici den Plexus bronchialis anterior, letztere mit Zweigen der Brustganglien des Sympathicus den Plexus bronchialis posterior, beide für das Lungenparenehym bestimmt als Plexus pulmonales.
  - e) Der Plexus oesophageus an der vorderen und hinteren Wand der Speiseröhre
- 3. Den Bauehtheil des N. vagus bilden die Ausläufer des Plexus oesophageus, welche an der vorderen und hinteren Magenwand den Plexus gastricus anterior et posterior erzeugen; der erstere geht Verbindungen ein mit dem Plexus hepaticus, der letztere mit dem Plexus coeliacus, indem er selbst Fäden zur Milz, zum Pankreas, Dünndarm und zur Niere sendet.

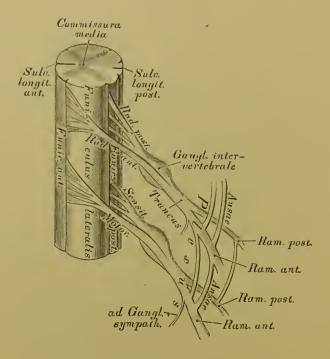
Gehirnnerven. 381



492. Der Nervus recurrens (accessorius Willisii) und der Nervus hypoglossus am Halse.

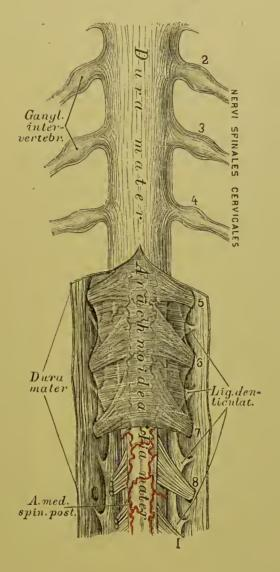
Das XI. Gehirnnervenpaar ist vom Beinerv, N. recurrens s. accessorius Willisii, gebildet. Derselbe stammt aus dem Seitenstrange des Halsrückenmarkes durch eine Anzahl von Wurzelfäden, geht durch das Foramen occipit. magnum in die Schädelhöhle, verlässt diese mit dem N. vagus durch das Foramen jugulare und theilt sich in eine vordere Pertion für den Plexus nodosus, und eine hintere, welche den M. sterno-cleido-mastoideus durchbohrt und im M. cucullaris endet.

Das XII. Gehirnnervenpaar, der Zungenfleischnerv, N. hypoglossus (moterisch), kommt aus dem verlängerten Marke und verlässt die Schädelhöhle durch das Foramen condyloideum anterius. Am Halse, we der Nerv anfangs hinter dem N. vagus, der Carotis interna und der Vena jugul. interna liegt, krümmt er sich bogenförmig nach vorne, dann am M. hyo-glossus aufwärts, um unter dem hinteren Rande des M. mylo-hyoideus in Endäste zu zerfallen, welche sämmtliche Zungenmuskeln innerviren. Unter dem Foramen condyl. ant. sendet er Verbindungen zum Gangl. cervicale primum N. sympathici, zum Plexus nodosus N. vagi, zu den eberen Cervicalnerven, und etwas tiefer entspringt der R. cervicalis descendens, welcher mit Aesten des II. und III. N. cervicalis die Ansa hypoglossi erzeugt.



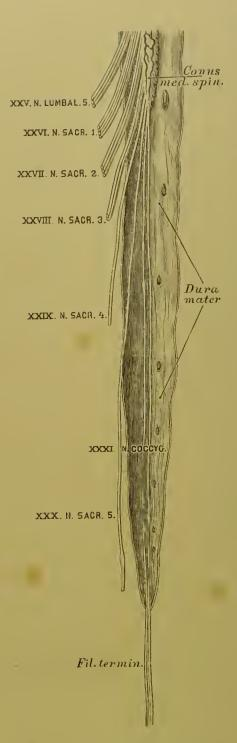
### 493. Schema der Ursprünge der Rückenmarksnerven.

Die Riiekenmarksnerven, Nervi spinales, bilden 31 Paare, und zwar: 8 Halsnerven-, 12 Brustnerven-, 5 Lendennerven-, 5 Kreuzbeinnervenund 1 (höchst selten 2) Steissbeinnervenpaare. Jeder Rückenmarksnerv hat zwei Wurzeln, eine vordere schwächere und eine hintere stärkere; sie kommen als platte Faserbündel am vorderen und hinteren Rande des Seitenstranges hervor, dringen durch das Foramen intervertebrale und vereinigen sieh hieranf zu rundlichen Nervenstämmen. Nur die hintere Wurzel erzeugt im Zwischenwirbelloche das Ganglion intervertebrale. Diese Wurzel ist sensitiv, die vordere hingegen motorisch. Der vereinigte Nervenstamm theilt sich wieder in einen vorderen und einen hinteren Zweig, beide erhalten sowohl motorische, wie sensitive Fasern. Der vordere stärkere Zweig verbindet sich mit dem benachbarten Ganglion Sympathici und den benachbarten vorderen Zweigen der Rückenmarksnerven, wodurch die Schlingen, Ansac, entstehen, nur an den Brustnerven inconstant. Die Summe der Schlingen erzeugt die Plexus, als Plexus cervicalis, lumbalis und sacralis. Die hinteren Zweige. unregelmässig mit ihren Nachbarn verbunden, dringen nach hinten zu den Muskeln und der Haut des Rückens; es werden aber von ihnen nur die langen Rückenmuskeln versorgt, während die breiten Muskeln ihre Nerven aus dem Plexus der vorderen Rückenmarksnervenzweige erhalten.



### 494. Der Halstheil des Rückenmarkes mit seinen Hüllen. Ansicht von hinten.

Das Rückenmark reicht nur bis zum I. oder II. Lendenwirbel. Die Nervi lumbales, sacrales und coccygei müssen innerhalb des Rückgrateanals einen langen Weg zurücklegen, um zu den entsprechenden Austrittslöchern zu gelangen; dadurch entstehen am unteren Ende des Rückenmarkes parallele Faserzüge, deren Summe Pferdesehweif, Cauda equina, benannt wird. Am Conus medullae des Rückenmarkes setzt sich die Pia mater als Endfaden, Filum terminale, bis zum unteren Ende des Blindsackes der Dura mater fort, welcher bis zum Ende des Canalis sacralis herabreicht. Die Ganglia intervertebralia der Hals-, Brust- und Lendennerven liegen innerhalb der Foramina intervertebralia; die der Kreuznerven im Wirbeleanale ausserhalb der Dura mater; die der Nervi coccygei innerhalb der letzteren. Die kräftigsten Nervenstämme des Rückenmarkes sind die Nervi sacrales, die den Plexus sacralis erzeugen.

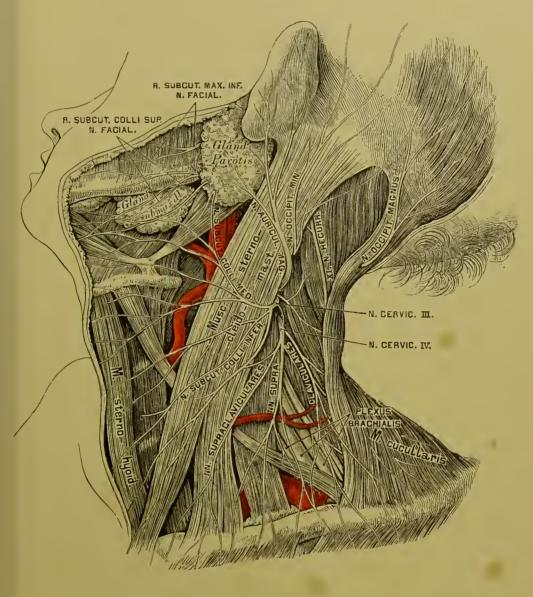


495. Das untere Ende des Rückenmarkes.
Nach Fr. Arnold.

Der erste der Halsnerven kommt zwisehen Hinterhauptbein und Atlas hervor als N. suboccipitalis; der achte durch das Foramen intervertebrale zwischen dem siebenten Hals- und dem ersten Brustwirbel. Die vorderen Zweige der Halsnerven gehen vor oder zwischen den Bündeln des M. scalenus medius und M. levator scapulae nach vorne und aussen; die vier oberen erzeugen den Plexus cervicalis, die vier unteren mit dem ersten Brustnerv den Plexus brachialis. --Der hintere Zweig des I. Halsnerven, N. infraoccipitalis, versorgt die hinteren geraden und sehiefen Kopfmuskeln, den M. biventer cervicis und den M. complexus. Der hintere Zweig des II. Halsnerven versorgt die Nackenmuskeln (ohne M. cucullaris) und geht als N. occipitalis magnus zur Haut des Hinterhauptes.

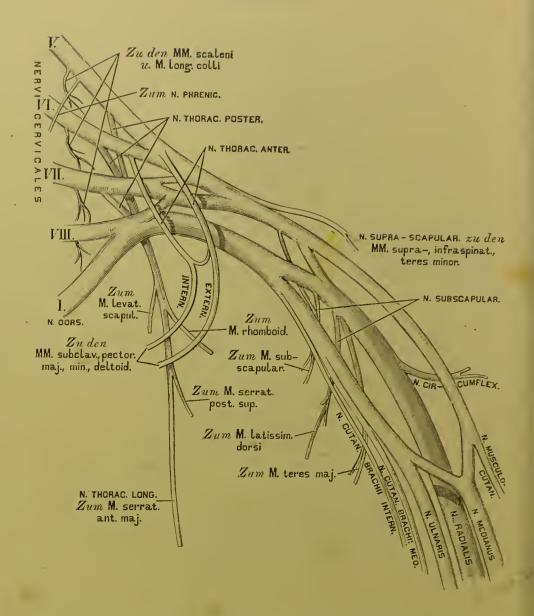
Aus dem Plexus cervicalis entstehen:

- 1. Drei oder vier Fäden zum obersten Halsganglion des N. sympathicus.
- 2. Fäden zum *Plexus nodosus Nervi* vagi, zum *N. hypoglossus* und dessen *R. descendens* als *Ansa hypoglossi*.
  - 3. Fäden zum N. recurrens Willisii.
- 4. Aeste für folgende Muskeln: Scaleni, Longus colli, Rectus cap. ant. major et minor. Levator scapulae.
- 5. N. occipitalis minor, welcher am hinteren Rande des M. sterno-cleido-mastoideus zum Hinterhaupt gelangt; anastomosirt mit dem N. occipitalis magnus und dem N. auricular. profund. vom N. facialis.
- 6. N. auricularis magnus, welcher etwa in der Mitte des hinteren Randes des M. sternocleido-mastoideus hervorkomunt, über diesen Muskel gegen die Gland. parotis emporsteigt und sieh in einen R. auricularis und einen mastoideus theilt.



### 496. Die oberflächlichen Nerven des Halses.

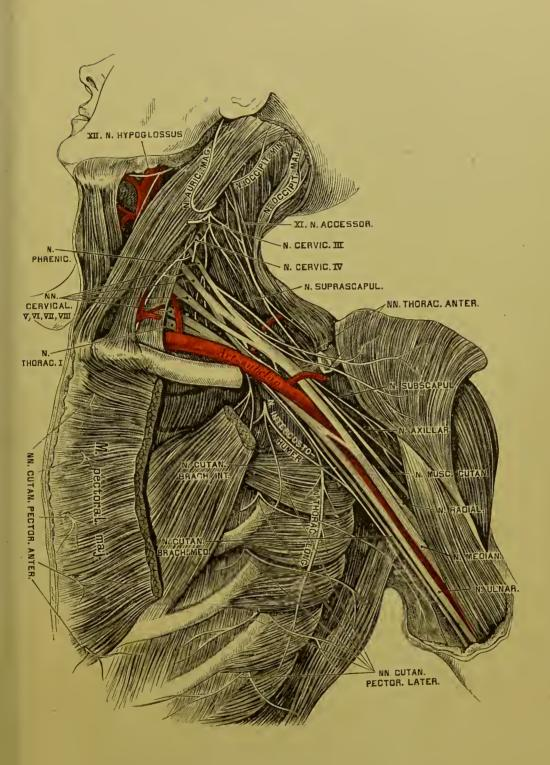
- 7. N. subcutaneus colli umgreift den M. sterno-cleido-mastoideus von hinten nach vorne und erzeugt den N. subcutaneus colli medius und inferior; der erstere geht mit der V. jugul. externa und verbindet sieh mit dem N. subcutaneus colli superior vom N. facialis. Beide versorgen Haut und Platysma.
- 8. Die Nervi supraelaviculares, 3—4 an Zahl, gehen zum Schlüsselbein herab und innerviren die Haut der vorderen Brust- und Schultergegend.
- 9. Der Zwerchfellsnerv, N. phrenicus, kommt aus der vierten, wohl auch der dritten Schlinge, geht vor dem M. scalenus anticus zur oberen Brustöffnung und anastomosirt mit dem Plexus brachialis, mit dem mittleren und unteren Ganglion sympathicum. Zwischen V. anonyma und Art. subclavia gelangt er in den Brustraum und läuft zwischen Pericardium und Pleura zum Diaphragma, dessen Pars costalis und Pars lumbalis er versorgt.



497. Schema der Pars supra- et infraclavicularis des Armnervengeflechtes.

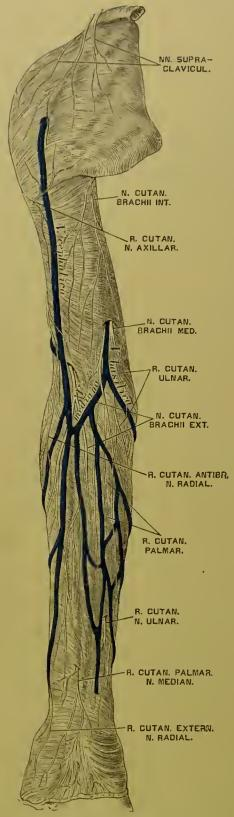
Die vorderen Zweige der vier unteren, starken Halsnerven erzeugen mit dem I. Brustnerven den Plexus brachialis, die hinteren Zweige gehen zu den tiefen Muskeln und zur Haut des Nackens. Der Plexus brachialis wird eingetheilt in eine Pars supraelavicularis und Pars infraelavicularis. Erstere liegt in der Fossa supraelavicularis und ihre Zweige sind, nebst den für die MM. sealeni und den M. longus eolli bestimmten, folgende:

- 1. Die Nervi thoracici anteriores et posteriores, deren erstere als externus et internus unterschieden werden;
  - 2. Der N. supraseapularis;
- 3. Die drei Nervi subscapulares. Die von all' diesen Nerven versorgten Muskeln sind in obigem Schema ersichtlich gemacht.



498. Die tiefen Nerven des Halses,

Plexus brachialis.



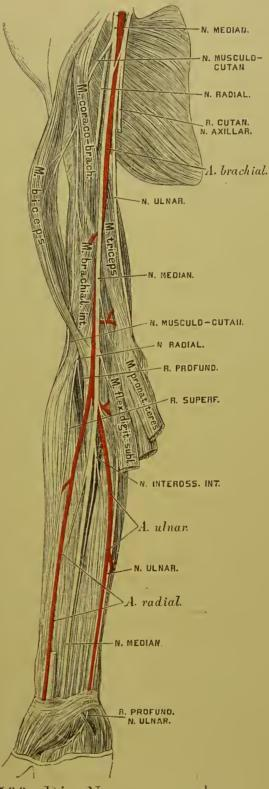
499. Die Hautnerven der oberen Extremität.
an der Beugeseite.

Die Pars infractavicularis des Plexus brachialis umfasst die Art. subclavia (axillaris) mit drei Bündeln, an der äusseren, inneren und hinteren Seite. Sie erzeugt folgende Aeste:

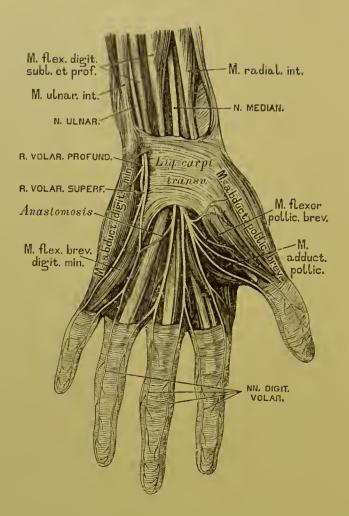
1. N. cutanens brachii internus, aus dem VIII. Hals- und dem I. Brustnerven, geht hinter der V. axillaris herab, verbindet sieh mit einem Aste des II. Brustnerven, dem N. intercosto-humeralis, durchbright die Oberarmfaseie an der Innenfläche des Oberarmes und verästigt sieh als Hautnerv bis herab zum Ellbogengelenke.

2. N. cutancus brachii medius, hauptsäehlieh aus dem I. Brustnerven, verläuft an der inneren Seite der V. axillaris, dann der V. basilica, durchbrieht mit letzterer die Oberarmfaseie und theilt sieh in einen R. cutancus palmaris und ulnaris. Ersterer reicht bis zur Handwurzel herab, letzterer geht mit der V. basilica an die Ulnarseite des Vorderarmes und anastomosirt mit dem R. dorsal. Nervi ulnaris. Beide versorgen die Haut des Vorderarmes an dessen innerer und hinterer Fläche.

- 3. N. cutaneus brachii externus s. musculo-cutaneus, entspringt meist aus dem N. medianus. Er durchbricht den M. coraco-brachialis, gelangt zwischen M. biceps und M. brachial. intern. zum Ellbogen, wo er die Oberarmfaseie durchbohrt, die V. cephalica zum Handrücken begleitet und mit dem R. dorsalis Nervi radialis anastomosirt. Er versorgt die genannten Muskeln und die Radialseite der Haut des Vorderarmes.
- 4. N. axillaris s. circumflexus umgreift mit der Art. circumflexa posterior das Os humeri, versorgt die Kapsel des Schultergelenkes; mit einem Hautast die hintere Gegend der Schulter und des Oberarmes; mit Muskelzweigen den M. teres minor und M. deltoides (s. Fig. 504).
- 5. N. medianus entspringt mit zwei Wurzeln, welche die Art. axillaris umfassen, aus dem Plexus brachialis (s. Fig. 498). Er verläuft im Sulcus bicipitalis internus an der vorderen Seite der Arter. brachialis, oberhalb des Ellbogens an deren innerer Seite, und unter dem M. pronator teres und dem M. radialis internus zur Mittellinie des Vorderarmes, wo er zwischen M. radialis



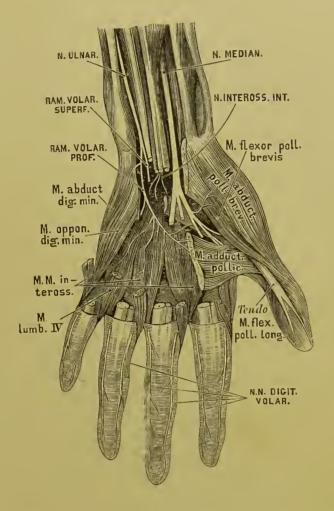
500. Die Nerven an der Beugeseite der oberen Extremität.



501. Die Nerven an der Palmarseite der Hand,

internus und M. flexor digitor. sublimis liegt. Er gelangt mit den Schnen des letzteren unter dem Lig. earpi transversum zur Palma manus und spaltet sich in vier Nervi digitorum volares. Der erste versorgt die kleinen Muskeln des Daumens und dessen Haut an der Radialseite; die anderen drei versorgen die ersten drei MM. lumbricales und die Haut der einander zugekehrten Seiten des Daumens und der drei nächsten Finger. Anastomose mit dem R. volaris des N. ulnaris. Am Oberarm erzeugt der N. medianus keine Aeste; am Vorderarm dagegen: Muskeläste für die Muskeln der Beugeseite (ohne M. ulnaris internus); dann einen Verbindungsast für den N. cutancus externus: ferner den N. interosseus internus, welcher zum M. pronator quadratus herabzieht; endlich einen N. cutancus antibrachii palmaris (s. Fig. 499).

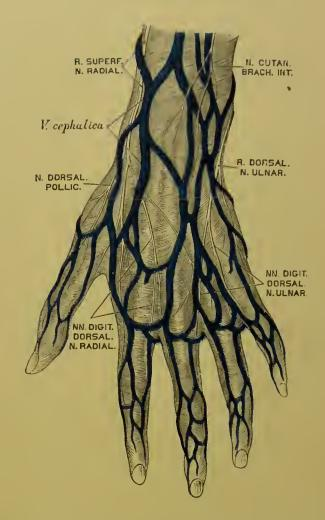
6. N. ulnaris, hauptsächlich aus dem VIII. Hals- und I. Brustnerv entstanden, liegt zuerst an der Innenseite der Art. und V. axillaris. durchbricht das Lig. intermusculare internum, gelangt zwischen Condylus humeri internus und



502. Die Nerven an der Palmarseite der Hand.

Olecranon, durchbohrt den M. ulnaris internus, verläuft zwischen diesem und dem M. flexor digitor. prof. und geht an der Innenseite der Art. ulnaris zur Handwurzel. Er versorgt die genannten Muskeln und mit einem Hautast die innere Seite des Vorderarmes. Ueber der Handwurzel zerfällt er in einen R. dorsalis und einen R. volaris.

Der R. dorsalis geht zum Handrücken, durchbohrt die Fascie und theilt sich in fünf Nervi digitorum dorsales, welche die beiden Seiten des kleinen und Ringfingers und die Ulnarseite des Mittelfingers, sämmtliche nur bis zur II. Phalanx versorgen. Der R. volaris geht neben dem Os pisiforme über dem Lig. carpi transversum zur Hohlhand und spaltet sieh in einen R. superficialis und einen R. profundus. Der erstere sendet Aeste zu den Fingern, die der N. medianus unberücksichtigt liess; der letztere innervirt die Muskeln des kleinen Fingers, die MM. interossei, den M. lumbrical. IV., Adduct. pollic. und den tiefen Kopf des M. flexor pollic. brevis.



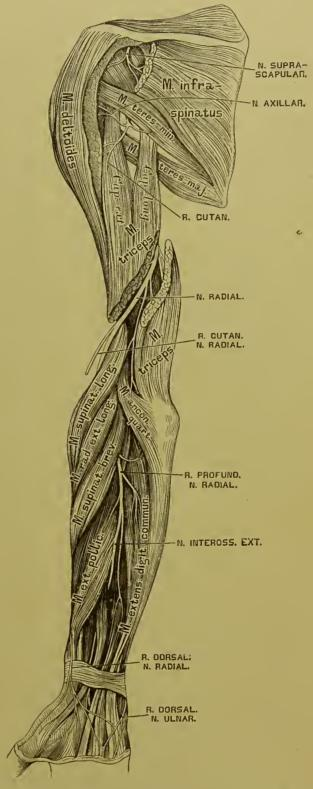
#### 503. Die Nerven an der Dorsalseite der Hand.

- 7. N. radialis, der stärkste Zweig des Plexus brachialis, entsteht ans den drei unteren Halsnerven. Anfangs hinter der A. axillaris gelegen, verläuft er zwisehen dem mittleren und dem kurzen Kopfe des M. triceps, um die hintere Seite des Oberarmbeines nach aussen, und gelangt zwisehen M. brachialis internus und Ursprung des M. supinator longus, indem er die genannten Muskeln innervirt. Er schickt Hautäste zur inneren und zur Streekseite des Ober- und Vorderarmes. Vor dem Condyl. humeri ext. theilt er sieh in zwei Zweige:
- a) Der tiefliegende Zweig geht durch den M. supinator brevis zur Aussenseite des Vorderarmes, versorgt hier die Muskeln und sendet den N. interosseus externus bis zur Kapsel des Handgelenkes;
- b) der hochliegende Zweig geht mit der Art. radialis, dann zwischen Sehne des M. supinator longus und Radius zum Handrücken und spaltet sich in zwei Aeste, deren sehwächerer die Radialseite des Daumens versorgt, während der stärkere die vom N. ulnaris frei gelassenen Finger betheiligt.

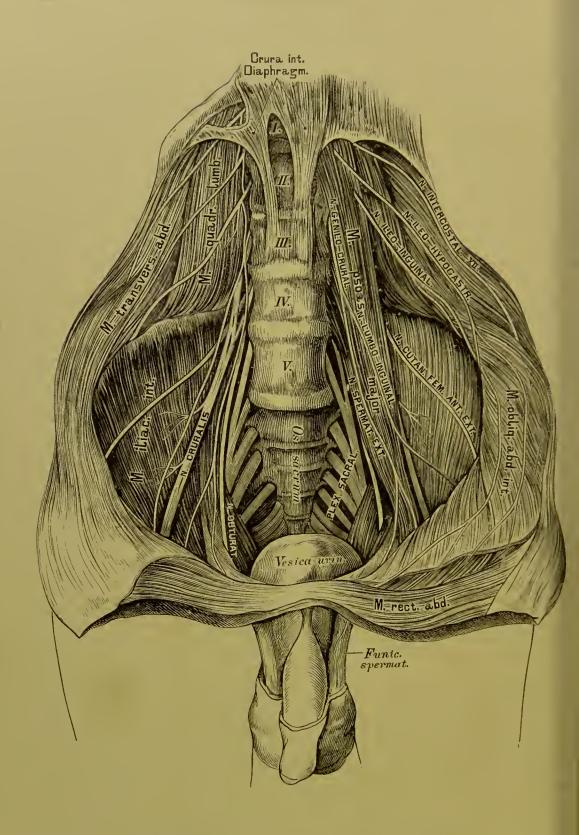
Von den zwölf Brustoder Rückennerven (Nervi thoracici s. dorsales) kommt der erste durch das Foramen intervertebrale zwischen I. und II. Brustwirbel, der zwölfte zwischen letztem Brust- und erstem Lendenwirbel hervor. Unmittelbar nach dem Austritte theilen sie sich in stärkere vordere und schwächere hintere Aeste. Die hinteren Aeste zerfallen in einen inneren und einen äusseren Zweig; beide versorgen die Muskeln und die Haut des Rückens, Die vorderen Aeste verlaufen in den entspreehenden Zwisehenrippenräumen als Nervi intercostales, deren jeder einen N. cutaneus pectoris lateralis erzeugt. Die oberen sechs Lateralnerven spalten sieh wieder in vordere und hintere Zweige als Nervi cutanei laterales pectoris anteriores ct posteriores; erstere zur Haut der Brustdrüse und zur Drüse, letztere zur Haut des Rückens.

Nach Abgabe der Nervi cutanei pectoris laterales ziehen die Intercostalnerven weiter nach vorne, versorgen die Zwisehenrippenmuskeln, gehen am Brustbeinrande durch den M. pectoralis major, und verlieren sieh als Nervi cutanci pectoris anteriores in der Hant der Vorderfläche der Brust.

Die vorderen Zweige der seehs unteren Nervi cutanci pector. laterales gehen zur vorderen Bauchwand, die hinteren zur Rückenhaut als Nervi cutanci laterales abdominis anteriores et posteriores.



504. Die Nerven an der Streckseite der oberen Extremität.

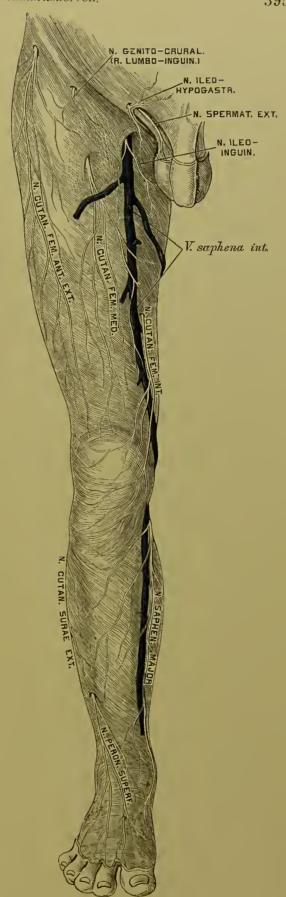


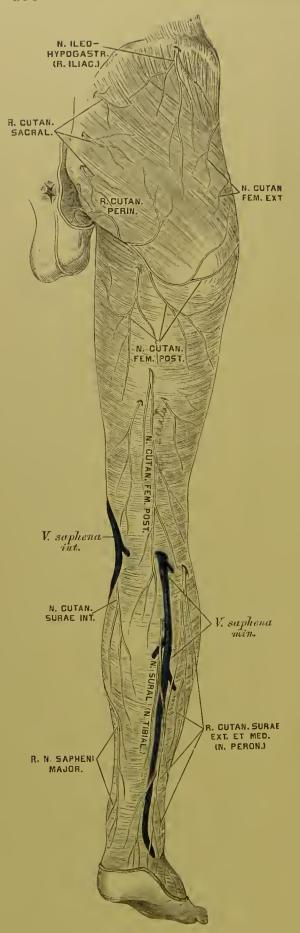
505. Die Aeste des Plexus lumbalis.

506. Die Hautnerven an der vorderen Fläche der unteren Extremität.

Von den fünf Lendennerven, Nervi lumbales, kommt der erste aus dem Foramen intervertebrale zwischen I. und II. Lendenwirbel, der letzte zwischen V. Lendenwirbel und Kreuzbein hervor. Ihre hinteren, schwächeren Aeste ziehen zu den Wirbelsäulenmuskeln und zur Haut der Lenden- und Gesässgegend. Die starken vor deren Aeste erzeugen den Plexus lumbalis, aus welchem folgende Aeste stammen:

- 1. Der N. ileo-hypogastricus, gemiseht, vom I. N. lumbalis, versorgt die MM. transversus abdominis, obliquus intern. Er theilt sieh über der Crista ossis ilei in zwei Endzweige, den R. iliacus zum Gesäss, und den R. hypogastricus zur Regio hypogastrica.
- 2. Der N. ileo-inguinalis, sensitiv, gleiehfalls vom I. N. lumbalis, durchbohrt über dem Poupart'schen Bande den M. transversus abdominis, gelangt in den Leistenkanal und endet in der Haut der Schamfugengegend mit den Nervi scrotales et labiales anteriores.

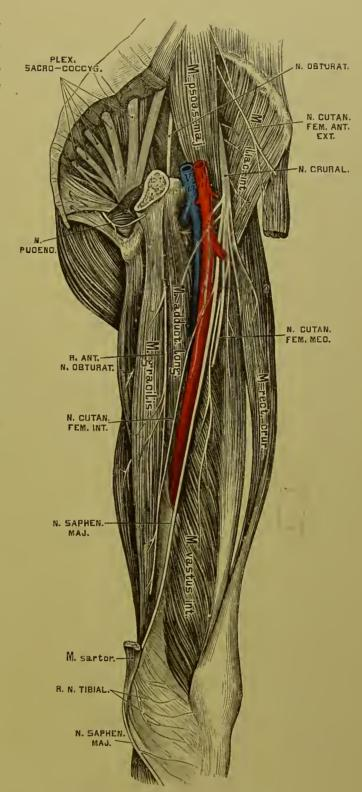




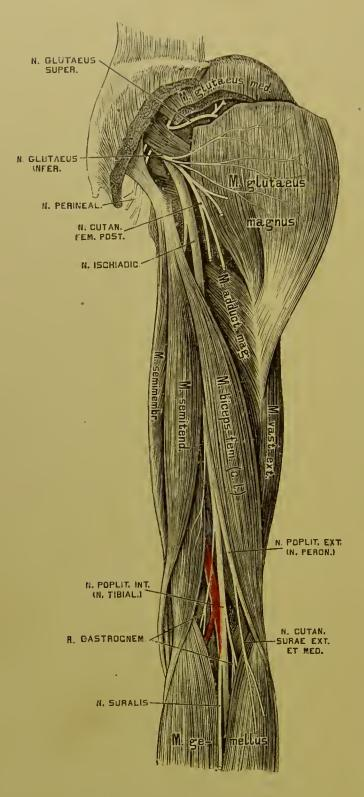
### 507. Die Hautnerven an der hinteren Fläche der unteren Extremität.

- 3. Der N. genito-cruralis, gemischt, aus dem H. Lendennerven, theilt sieh in den N. spermaticus externus (N. pudend. externus), welcher sieh zum Samenstrang gesellt, den M. cremaster und die Tunica dartos versorgt; und den N. lumbo-inguinalis zur Haut des Obersehenkels.
- 4. Der N. cutaneus femoris anterior externus aus dem II. und III. Lendennerven, durchbricht die Fascia lata unter dem oberen Darmbeinstachel und verästelt sich an der äusseren Seite des Oberschenkels bis zum Knie herab.
- 5. Der N. obturatorius aus dem II., III. und IV. Lendennerven, durchzieht den Canalis obturatorius, versorgt den M. obturator externus und spaltet sich in einen vorderen und einen hinteren Ast. Der hintere Ast geht zum M. obturator externus und M. adductor magnus: der vordere Ast zum M. gracilis, M. adductor longus et brevis, durchbohrt dann die Fascia lata, und verzweigt sieh an der Innenseite des Oberschenkels bis herab zum Kniegelenke.

- 6. Der N. cruralis (femoralis), aus der I., II. und III. Lendenschlinge, der stärkste des Plexus lumbalis. Er zieht zwischen M. psoas und M. iliacus internus durch die Lacuna muscularis zum Oberschenkel und theilt sieh in Haut- und Muskeläste. Erstere sind:
- a) Der *N. cutaneus femoris medius*, durchbohrt den *M. sartorius* und geht zur Mitte der Vorderfläche des Oberschenkels.
- b) Der N. cutaneus femoris internus, durchbohrt
  die Fascia lata in der
  Mitte des Oberschenkels,
  verbindet sich mit dem
  vorderen Aste des N. obturatorius und geht zur
  Innenseite des Oberschenkels.
- e) Der N. saphenus major zieht mit der Art. cruralis bis zum Schlitz in der Adductorsehne, gelangt dann zwischen M. vastus internus und M. adductor magnus zur Innenseite des Kniegelenks. Hinter der Sartorius-Sehne geht er durch die Fuscia lata und begleitet die Vena saphena interna zum Fusse. Er gibt den N. cutancus surae internus



508. Der Nervus cruralis.



509. Der Nervus ischiadicus.

zur inneren Wadengegend, gelangt an den inneren Fussrand, wo er die Haut versorgt und mit dem N. cutan. pedis dorsalis intern. anastomosirt.

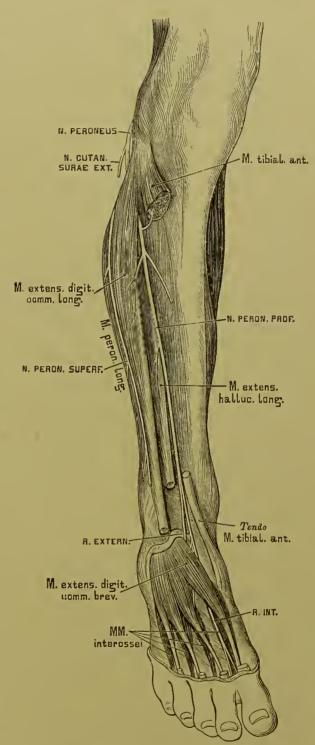
Die Muskeläste des N. cruralis innerviren die Muskeln am vorderen Umfange des Oberschenkels (ohne Adduetoren und M. gracilis).

Die fünf Kreuznerven, Nervi sacrales, sind die stärksten unter den Rückenmarksnerven, der einfache N. coccygeus hingegen der sehwächste. Die hinteren Aeste dieser Nerven treten durch die Foramina sacralia postica und den Hiatus sacro-coccygeus, verbinden sieh zum Plexus sacralis posterior, welcher Hautnerven für die Kreuz- und Steissbeingegend liefert. Die starken vorderen Aeste, durch die Foramina sacralia anteriora und das Foramen sacro-coccygeum hervortretend, bilden den Plexus sacro-coccygeus.

Der Plexus sacro-coccygeus zerfällt in den Plexus ichiadicus, pudendalis und coccygeus. Der Plexus

ischiadicus erzeugt folgende Aeste ausserhalb des Beckens (innerhalb desselben versorgt er den M. pyriformis und M. obturator internus):

- 1. Den N. glutaeus superior, welcher am oberen Rande des M. pyriformis durch das Foramen ischiadicum majus zum M. glutaeus medius, minimus und zum M. tensor fasciae latae gelangt.
- 2. Der N. glutaeus inferior zieht unter dem M. pyriformis durch das Foramen ischiadicum majus zum M. glutaeus magnus.
- 3. Der N. cutaneus femoris posterior geht gleichfalls unter dem M. pyriformis zum Gesäss, um seine Zweige theils über den unteren Rand des M. glutacus magnus zur Haut der Hinterbacke, theils zur hinteren Seite des Obersehenkels zu senden.
- 4. Der N. ischiadicus zieht unter dem M. pyriformis durch das Foramen ischiadicum majus zum Gesüss, versorgt die MM. gemelli, obturator internus, qua-



510. Der Nervus peroneus.

dratus femoris, und gelangt zwischen Trochanter major und Tuberositas ossis ischii zur hinteren Seite des Oberschenkels.

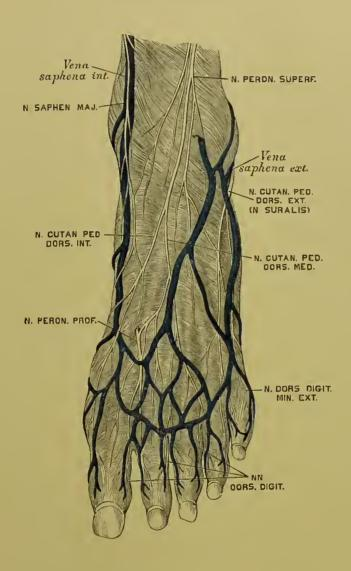


511. Der Nervus tibialis.

Der N. ischiadiens theilt sich in wechselnder Höhe in zwei Zweige, in der Kniekehle N. popliteus externus und internus, im weiteren Verlaufe N. peroneus und tibialis benannt.

- 1. Der N. peroneus sendet auf seinem Wege gegen das Köpfehen des Wadenbeins Zweige zur Kniegelenkkapsel und den N. entaneus surae externus et medius zur Haut. Er spaltet sieh dann in einen oberflüehlichen und tiefen Ast.
- a) Der N. peroneus superficialis verläuft zwischen den MM. peronei und extensor digit. pedis longus, durchbricht die fascia cruris und theilt sich schliesslich in einen N. cutaneus pedis dorsalis medius zur Verbindung mit dem N. suralis und einen N. cutaneus pedis dorsalis internus zur Verbindung mit dem N. saphenus major. Sie erzeugen die sieben Zehenrüeken-
- b) Der *N. peroneus profundus* kommt auf die Vorderfläche

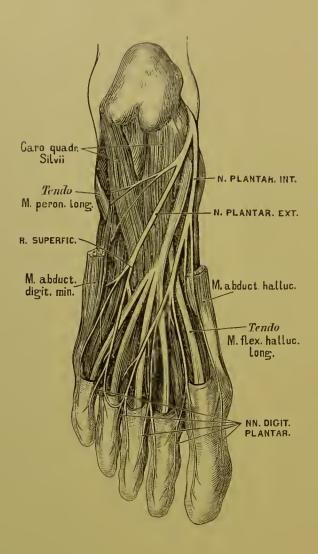
des Lig. interosseum, versorgt die hier befindlichen Muskeln, geht zuerst in Begleitung der Art. tibial, antica, kreuzt dann dieselbe und gelangt zum Sprung-



512. Die Nerven am Fussrücken.

gelenk, von da zum Fussrücken. Er endet mit einem äusseren Ast für den *M. extensor digit. brevis* und einem inneren Ast, welcher, mit dem *N. cutancus pedis dorsalis internus* verbunden, die einander zugekehrten Seiten der grossen und der zweiten Zehe innervirt (Fig. 512).

2. Der N. tibialis verläuft in der Mittellinie der Fossa poplitea, dann zwischen beiden Gastrocnemius-Köpfehen und unter dem M. soleus. Er begleitet die Art. tibialis postica hinter dem M. tibialis posticus und gelangt zum Plattfuss, wo er in einen R. plantar. externus et internus zerfällt.

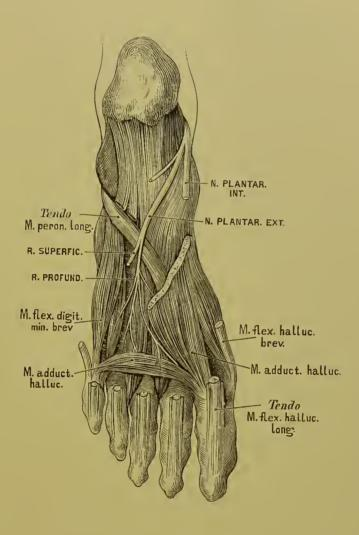


513. Die beiden Nervi plantares.

In diesem Verlaufe sendet er den N. suralis oder N. communicans surae ab, welcher, nachdem er sich mit dem N. cutaneus surae externus (vom N. peroneus) verbunden, am Fussrücken N. cutaneus pedis dorsalis externus heisst.

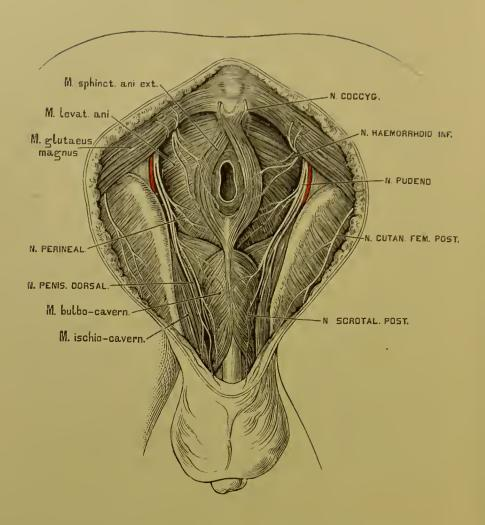
Ferner Muskelzweige zum M. gastrocnemius, M. soleus und zu den tiefliegenden Muskeln der Wade.

Der N. plantaris internus liegt zwischen M. abductor hallneis und M. flexor digitorum brevis; er spaltet sich in sieben Nervi digitales plantares zu beiden Seiten der drei ersten Zehen und zur Innenseite der vierten Zehe.



### 514. Der tiefe Zweig des Nervus plantaris externus.

Der N. plantaris externus liegt zwischen M. flexor brevis digitorum und Caro quadrata Sylvii und theilt sich in einen hoch- und tiefliegenden Zweig. Der erstere erzeugt die drei Nervi digitales plantares für die kleine und die Aussenseite der vierten Zehe; hier befindet sich die Anastomose mit dem N. plantaris internus. Der tiefliegende Zweig geht in Begleitung des Arcus plantaris profundus und versorgt theils die Sohlen-, theils die Zwischenknochennuskeln.



515. Die Aeste des Plexus pudendalis.

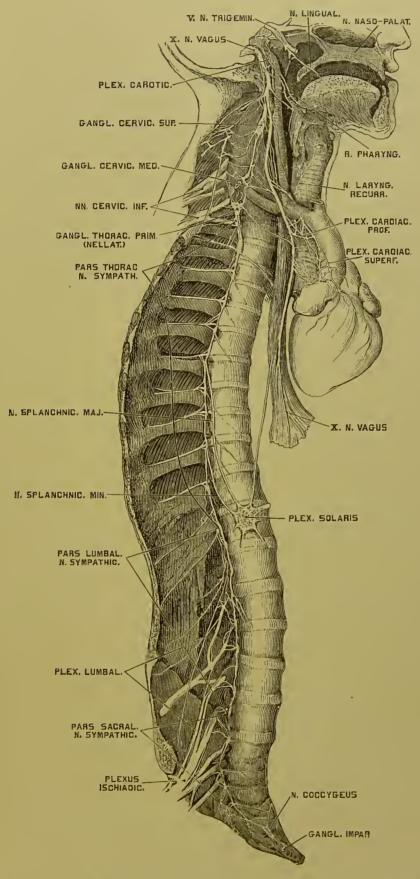
Der *Plexus pudendalis*, am unteren Rande des *M. pyriformis* gelegen, gibt folgende Aeste ab:

- a) Den *N. haemorrhoidalis medius et inferior*, die selbst geflechtartig und mit den sympathisehen Beckengeflechten vielfach verbunden, den Blasengrund, die Scheide, den *M. levator* und *sphincter ani ext. et int.* innerviren.
- b) Der N. pudendus gelangt durch das Foramen ischiad. majus aus, dann durch das For. ischiad. minus wieder in die Beekenhöhle, und endet mit zwei Zweigen:

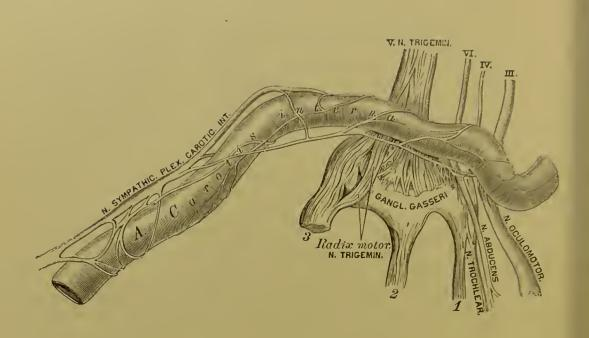
Der N. perinealis zieht zum Mittelfleiseh und ist bestimmt für die Haut desselben, für die MM. transversi perin., bulbo-cavernosus, sphincter ani ext., endlich für den Hodensack (Nervi scrotales posteriores); beim Weibe für die Schamlippen und das Vestibulum vaginae (Nervi labiales posteriores).

Der N. penis dorsalis geht zwischen M. bulbo- und ischio-cavernosus unter die Schamfuge, von da auf den Penis; beim Weibe zur Clitoris.

Der Plexus coccygeus endet im M. sphineter ani ext, levator ani und in der Haut des Anus.



516. Der rechte Grenzstrang des Nervus sympathicus.



517. Die Verbindung des *Plexus caroticus* mit einigen Gehirnnerven. Nach Rüdinger.

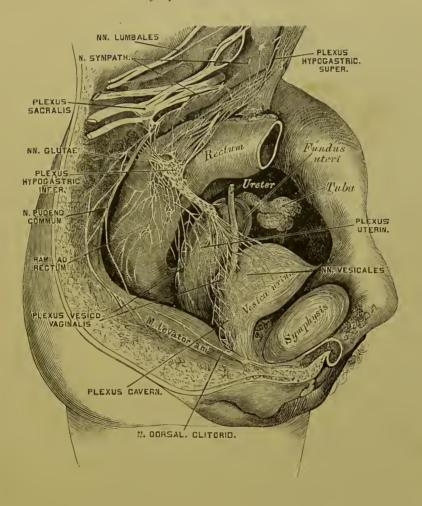
Der N. sympathicus besteht aus zwei symmetrischen Grenzsträngen, welche mit Ganglien verschen sind, und aus einer Anzahl von Geflechten.

Die Pars cervicalis N. sympathici ist mit drei Ganglien ausgestattet. Das obere ist das grösste, das mittlere fehlt bisweilen, das untere ist häufig mit dem ersten Brustknoten versehmolzen. Aus dem letzteren stammt der N. cardiaens inferior zum Herznervengeflechte, aus dem mittleren der N. cardiaens medius.

Die Pars thoracica N. sympathici besitzt eilf Ganglia thoracica, welche unter sich und mit den NN. intercostales verbunden sind; sie verstärken die Brustgeflechte. Der erste Brustknoten erzeugt den N. cardiacus imus zum Herznervengeflecht. Die beiden Nervi splanchnici gehen zu den Geflechten der Banchhöhle.

Die Pars lumbo-sacralis N. sympathici besitzt vier oder fünf Ganglia lumbalia und ebenso viele Ganglia sacralia, die mit den NN. lumbales zusammenhängen. Sie versorgen die Geflechte der Banchhöhle, die Ganglia sacralia, überdies den Plexus hypogastr. inferior. Beide Grenzstränge vereinigen sich am Steissbein zum Ganglion coccygeum impar.

Die Geflechte des Sympathicus werden nicht nur von sympathischen, sondern auch von Gehirn- und Rückenmarksnerven hergestellt. Die Kopfgeflechte sind: Der Plexus caroticus internus (heisst im Sinus cavernosus: Plexus cavernosus) und der Plexus caroticus externus.



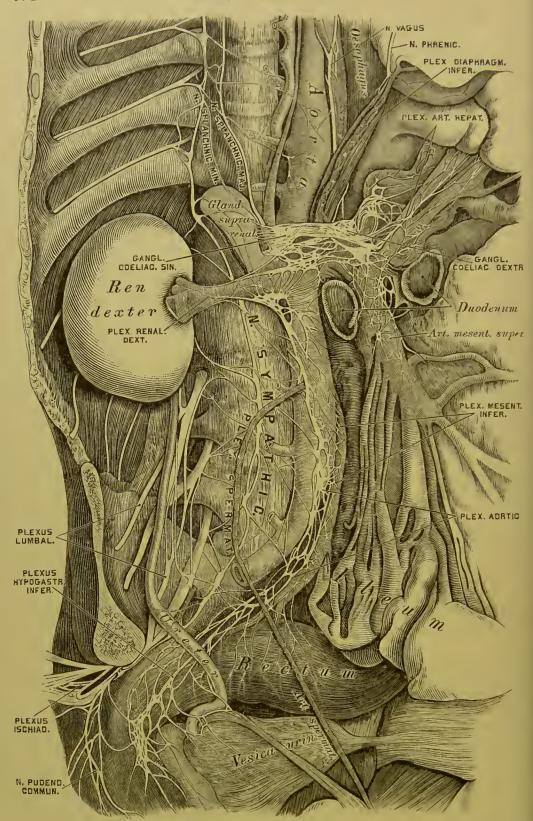
518. Die Beckengeflechte des Nervus sympathicus beim Weibe.

Die Halsgefleehte umgeben die Arterien des Halses als *Plexus laryngeus, thyreoideus inferior* und *vertebralis*.

Die Brustgeflechte gehören theils dem Gefässsystem an: Plexus cardiacus und aorticus, theils den Lungen und der Speiseröhre: Plexus pulmonalis und ocsophageus.

Die Baueh- und Beekengeflecht einter und Plexus cocliacus s. solaris, das grösste und reichste Geflecht (dicht unter und vor dem Hiatus aorticus gelegen), an welchem auch die aus der Brusthöhle kommenden beiden NN. splanchnici theilnehmen; Plexus mesentericus superior (unpaar); Plexus renales, spermatici, mesentericus inferior; Plexus aorticus, abdominalis, hypogastrici inferiores, aus welch' letzteren beim Weibe der Plexus uterinus, vesicalis und cavernosus stammt.

Die Aeste und Verbindungen des *N. sympathicus* sind aus Fig. 516 bis 519 ersichtlich. Bei Anfertigung derselben wurden die Abbildungen von Rüdinger benützt.



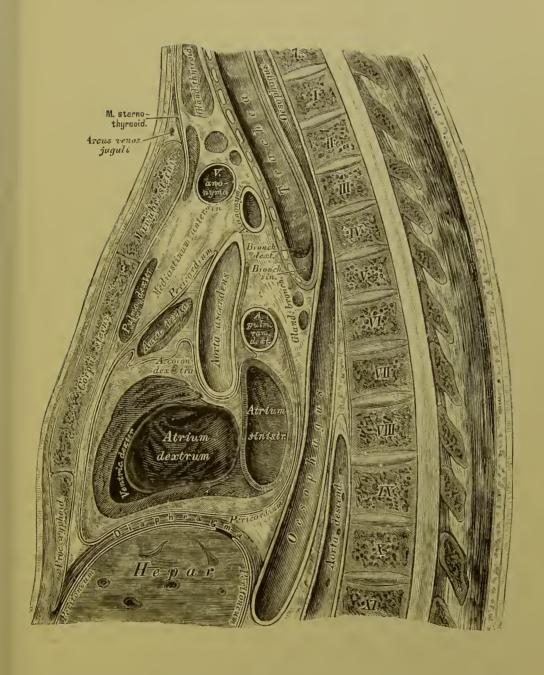
519. Die Bauch- und Beckengeflechte des Nervus sympathicus. Nach Rüdinger.

### VI.

# BLUT- UND LYMPHGEFÄSS-SYSTEM.

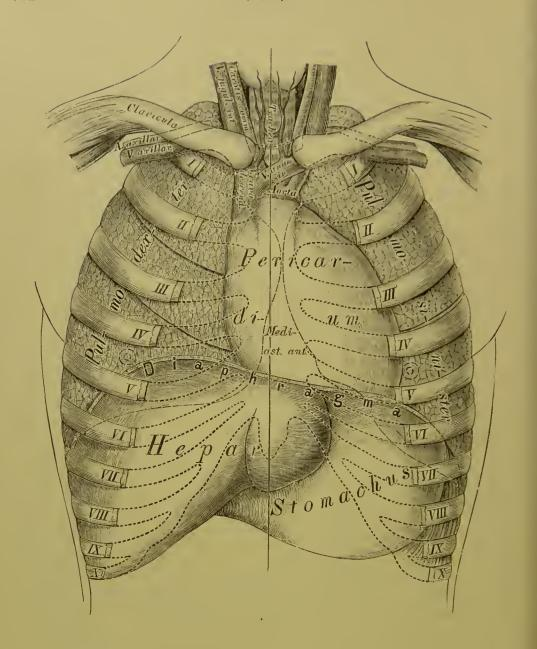
TOPOGRAPHIE.





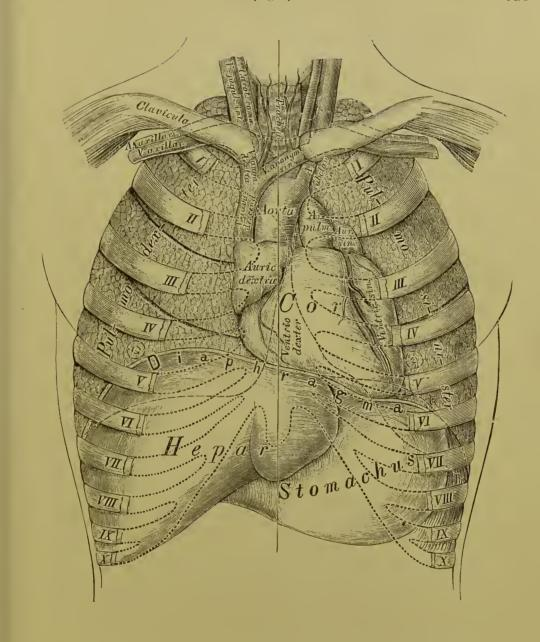
**520.** Medialer Durchschnitt durch die Brust eines 21 jährigen Mannes.

In  $\frac{1}{2}$  natürlicher Grösse. Nach W. Braune.



### 521. Topographie der Brusteingeweide.

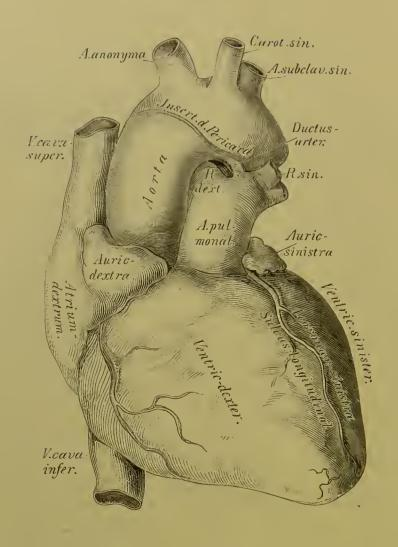
Das Herz liegt in einem Beutel, dem Pericardium, welcher kegelförmig, mit einer oberen Spitze und einer unteren Basis versehen erscheint. Die letztere ist mit dem Centrum tendineum Diaphragmatis verwachsen. Das Pericardium besteht aus einem äusseren und einem inneren Blatte; das erstere besitzt die Structur fibröser, das letztere jene der serösen Häute. Das innere Blatt umkleidet nicht nur die Innenfläche des Herzbeutels, sondern auch die Aussenfläche des Herzens, verhält sich somit wie ein Pleurasack. Das fibröse Blatt geht in die äussere Schiehte der aus dem Herzen entspringenden grossen Arterien über.



#### 522. Topographie der Brusteingeweide.

Die Anheftungsstelle des Herzbeutels liegt vorne an der vorderen Fläche des Aortenbogens, hinten an der Theilung der Arteria pulmonalis, sie reicht demnach vorne höher hinauf als hinten. Man findet deshalb nach Eröffnung des Pericardiums auch einen Theil der grossen Gefässe in dessen Höhle eingeschlossen. Die Aorta und Arteria pulmonalis sind mit je einem selbstständigen Ueberzuge des umgeschlagenen Theiles des Pericardiums verschen; die Venac cavae und Venac pulmonales hingegen mit einem unvollständigen. Der Raum zwischen Herz und Herzbeutel enthält eine geringe Menge von Liquor Pericardii.

414 Herz.

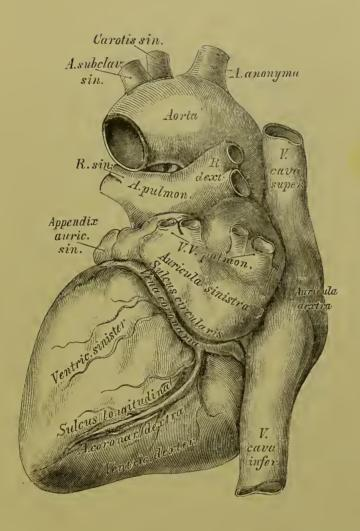


**523.** Das Herz und die grossen Gefässe.

Ansicht von vorne in ½ natürlicher Grösse.

Das Herz, Cor, ist ein hohler, kegelförmiger Muskel, welcher in der Brusthöhle links von der Mittellinie, zwischen den coneaven Flächen der Lungen liegt. Das Herz besitzt eine obere Basis und eine nach links und unten gekehrte Spitze, Apex; eine vordere eonvexe und eine hintere platte Fläche und zwei Seitenränder. Etwas nach links von der Mitte der vorderen Fläche verläuft der Sulcus longitudinalis. welcher sich rechts von der Spitze an die hintere Fläche umbeugt. Durch diese Furche wird das Herz in eine rechte und eine linke Hälfte abgetheilt. Beide Hälften werden wieder durch den Sulcus eireularis s. transversus senkrecht gesehnitten; derselbe ist jedoch nur an der hinteren Herzfläche deutlich sichtbar.

Herz.

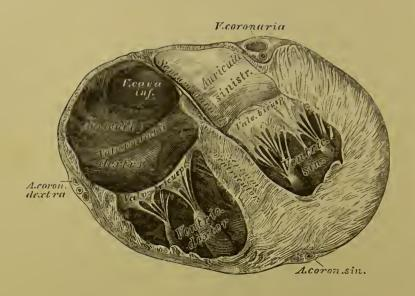


524. Das Herz und die grossen Gefässe.

Ansieht von hinten in ½ natürlieher Grösse.

Die Lage des Herzens ist nur in den frühesten Stadien der Bildung des Embryo eine senkrechte; beim Erwachsenen bildet die Längsaxe des Herzens zu jener des Körpers einen Winkel von eirea 50°. Die Basis des Herzens befindet sich zwisehen der zweiten und dritten linken Rippe und reicht bis in den Zwisehenraum zwisehen viertem und fünftem rechten Rippenknorpel; dessen Spitze liegt hinter den vorderen Enden der linken fünften und seehsten Rippe. Die Längsaxe des Herzens zicht somit von rechts oben nach links unten, zugleich befindet sich die Basis weiter hinten als die Spitze.

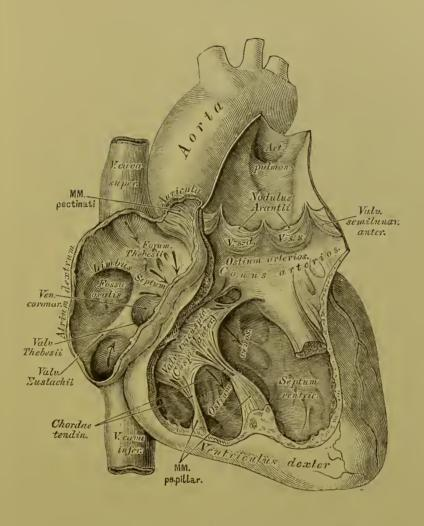
416 Herz



**525.** Horizontalschnitt durch das Herz. (Senkrecht zur Längsaxe des Körpers.)

Die Herzhöhle wird durch eine Seheidewand in zwei Hälften getheilt: jede dieser Hälften besteht aus einer Kammer, Ventriculus, und einem Vorhofe, Atrium, welch' letztere je ein Herzrohr, Auricula, aufweisen. Die Scheidewand zwischen den Kammern heisst Septum ventriculorum; jene zwischen den Vorhöfen Septum atriorum. Jede Kammer ist von dreieekiger Gestalt; die linke in ihren Wandungen beträchtlich dieker als die rechte. Die an der Innenfläche der Kammern vorragenden fleischigen Balken heissen Trabeculae carneae; jene der Vorkammern Kammmuskeln, Musculi pectinati.

In die rechte Vorkammer münden die Hohlvenen und die Herzvenen; in die linke die vier Lungenvenen. Jede Vorkammer mündet in die entspreehende Kammer durch das Ostium atrio-ventriculare s. venosum; die Kammern hingegen führen in die aus ihnen entspringenden Arterien durch je ein Ostium arteriosum, und zwar die rechte Kammer in die Arteria pulmonalis, die linke in die Aorta. An sämmtlichen Ostien befinden sich Klappenapparate: zwischen Vorkammern und Kammern die Valvulae atrio-ventriculares; zwischen Kammern und Arterien die Valvulae semicirculares.

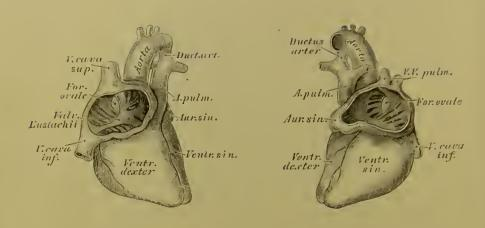


526. Das rechte Herz eröffnet.

Am Ostium venosum der reehten Kammer befindet sieh die dreizipfelige Klappe, Valvula tricuspidalis: an jenem der linken Kammer die zweizipfelige Klappe, Valvula bicuspidalis s. mitralis. An die Klappen setzen sieh- die Chordae tendineae fest, welche mit zapfenförmigen Muskeln, Musculi papillares, zusammenhängen.

An den Arterienmündungen beider Kammern stehen je drei halbmondförmige Klappen, Valvulae semilunares, welche mit ihren freien,
coneaven Rändern gegen die Lumina der entsprechenden Arterien gerichtet
sind. In der Mitte des freien Saumes einer jeden halbmondförmigen Klappe
liegt je eine kleine Verdickung, Nodulus Arantii, welche zumal an den Semilunarklappen der Aorta deutlich ausgeprägt ist. Die innere Auskleidung aller
Räume des Herzens wird von einer dünnen, bindegewebigen, mit Endothel
ausgekleideten Schicht, dem Endocardium, hergestellt.

418 Herz



527, 528. Herz eines sechsmonatlichen Embryo in natürlicher Grösse, mit eröffneten Vorkammern.

Die reeht e Vorkammer, Atrium dextrum, liegt mehr nach vorne als die linke. Die rechte oder äussere Wand derselben ist die kleinste; die linke Wand wird vom Septum atriorum gebildet. Das Septum zeigt an seiner hinteren Hälfte die Fossa ovalis, mit membranösem Boden; dieselbe wird meist nur an ihrem vorderen Rande vom Limbus foraminis ovalis s. Isthmus Vienssenii umgeben (s. Fig. 526).

Im Embryonal-Herzen stellt die Fossa ovalis ein offenes Loeh dar. Foramen ovale; das aus der Vena cava inferior in den reehten Vorhof fliessende, vorwiegend arterielle Blut wird durch eine vorspringende halbmondförmige Membran (Valvula Eustachii) gegen das Foramen ovale hingeleitet, durch welches es grösstentheils in den linken Vorhof hinüber gelangt.

Die Vena cava inferior mündet an der hinteren Wand der rechten Vorkammer, die Vena cava superior hingegen an der oberen Wand. An der vorderen Fläche erhebt sieh die Auricula dextra, welche sieh über die Wurzel der Aorta lagert. Die untere Wand ist durch das in die rechte Kammer führende Ostium venosum durchbrochen.



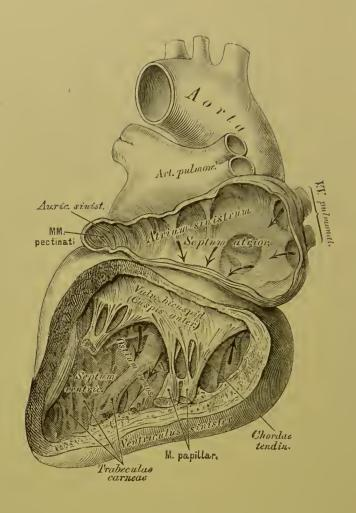
529. Die Mündung der *Vena coronaria* in die rechte Vorkammer.

Ansieht von hinten. Nach einem getrockneten Prüparate, in natürlicher Grösse.

Im rechten Vorhofe befindet sieh noch die Valvula Thebesii, eine halbmondförmige Klappe, welche an der Einmündungsstelle der Vena coronaria
in den rechten Vorhof aufgestellt ist und diese Stelle theilweise bedeekt.
Durch die Foramina Thebesii entleeren sieh kleine Herzvenen in schwankender
Anzahl.

Die Valvula Eustachii ist eine siehelförmige Klappe, welche während des Offenseins des Foramen ovale eine wiehtige Function verrichtet. Sie reicht vom rechten Umfange der Hohlvenenmündung bis zum vorderen Sehenkel des Limbus foraminis ovalis. Das Tubereulum Loweri ist am Herzen des Erwachsenen nicht siehtbar; seine Lage soll der Stelle zwischen den Mündungen beider Hohlvenen entsprechen. Sowohl die Valvula Thebesii, wie die Valvula Eustachii können gefenstert angetroffen werden.

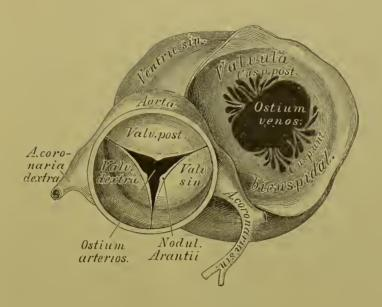
420 Herz.



530. Das linke Herz eröffnet.

Die linke Vorkammer, Atrium sinistrum, nimmt an ihrer oberen Wand die vier Lungenvenen auf; von ihrer linken Wand her legt sich die Auricula sinistra über die Wurzel der Lungenarterie.

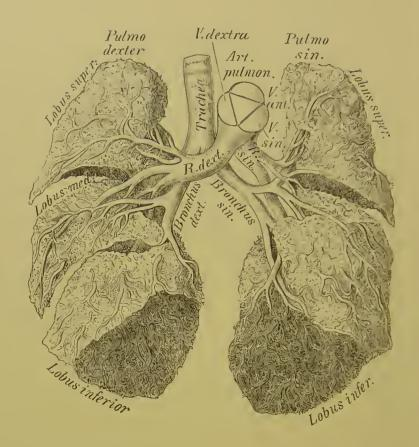
Die rechte Kammer, Ventriculus dexter, ist durch das Septum ventriculorum von der linken getrennt. Am Umfange des Ostium venosum befindet sieh die Valvula tricuspidalis, mit drei Zipfeln in die Kammerhöhle hinabragend. Man unterscheidet einen vorderen, hinteren und inneren Klappenzipfel, unter denen der vordere der grösste ist. Die Sehmenfäden dieser Klappe gehen theils aus den Papillarmuskeln, theils aus der Fläche des Septum ventriculorum hervor. Das Ostium arteriosum befindet sieh am linken Winkel der Kammerbasis und führt in die Arteria pulmonalis. Dieser kegelförmige Winkel heisst Conus arteriosus (s. Fig. 526). Die drei Valvulae semilunares am Ursprunge der Lungenschlagader werden in eine vordere, eine rechte und eine linke eingetheilt; die Nodulii Arantii derselben sind oft sehr klein.



531. Das linke Ostium venosum und arteriosum, von oben. Nach einem getrockneten Präparate, in natürlicher Grösse.

Die Wand der linken Kammer, Ventriculus sinister, ist beim Erwachsenen beträchtlich dieker als jene der rechten. An ihrem Ostium venosum steht die Valvula bicuspidalis s. mitralis, welche je einen vorderen und hinteren Zipfel bildet. Die Valvulae semilunares an der Mündung der Aorta sind derart aufgestellt, dass man eine rechte, linke und hintere unterscheiden kann; sie sind dieker als jene der Arteria pulmonalis und am freien Rande häufig durchbrochen.

Während der Diastole werden die Vorhöfe und Kammern des Herzens mit Blut erfüllt, welches sie während der Systole wieder austreiben. Die Systole beider Vorkammern ist ebenso wie jene der Kammern synchronisch, und die letztere folgt der ersteren nach einem sehr kurzen Intervalle nach. Während der Diastole füllt sieh das rechte Herz mit dem aus den einmündenden Hohlvenen und Herzvenen kommenden venösen Blute, um dasselbe bei der Systole in die Lungenschlagader zu treiben. Das linke Herz füllt sieh während der Diastole mit dem arteriellen Blute aus den vier Lungenvenen und treibt dieses während der Systole in die Aorta.



532. Arteria pulmonalis und Luftwege eines Kindes. In ½ natürlicher Grösse, nach einem Präparate von Hyrtl.

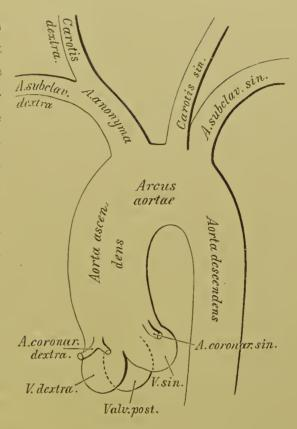
Die Arteria pulmonalis tritt aus der rechten Herzkammer hervor; sie theilt sich am concaven Rande des Aortenbogens in einen rechten und einen linken Ast. Der rechte, längere Ast geht hinter dem aufsteigenden Theile der Aorta und hinter der oberen Hohlvene zur Pforte der rechten Lunge. Der linke kürzere Ast gelangt vor dem absteigenden Theile der Aorta zur Pforte der linken Lunge; derselbe hängt mit dem eoncaven Theile des Arcus Aortae mittelst des Aortenbandes zusammen, welches dem obsoleten Ductus arteriosus Botalli des Embryo entsprieht.

In der Figur sieht man in der hinaufgebogenen Wurzel der Lungenarterie an der Bruchfläche das gleichseitige Dreieck der Abdrücke der Semilunarklappen. Man erkennt, dass an den beiden oberen Lungenlappen die Arterien vor den Luftwegen liegen, an den unteren Lappen dagegen hinter ihnen (Hyrtl).

423

Die Aorta, der Hauptstamm des Arteriensystems, entspringt dicht über dem Ostium arteriosum der linken Kammer, mit einer Anschwellung, dem Bulbus Aortae. Sie steigt anfangs nach rechts und oben als Aorta ascendens, krümmt sich dann bogenförmig über den linken Bronchus nach links und hinten zum hinteren Mittelfellraume — Arcus Aortae, und heisst im weiteren Verlaufe die absteigen de Aorta, Aorta descendens.

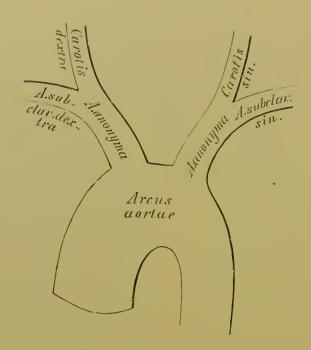
aufsteigenden dem Aus Theile der Aorta, welcher noch innerhalb der Herzbeutelhöhle liegt, entspringen die beiden Kranzarterien des Herzens innerhalb des Bereiches der Taschen der halbmondförmigen Klappen (Sinus Valsalvae). Arteria coronaria sinistra ist in der

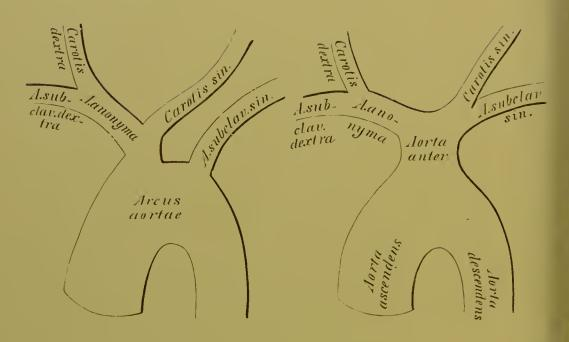


533. Schema der primitiven Aeste des Aortenbogens.

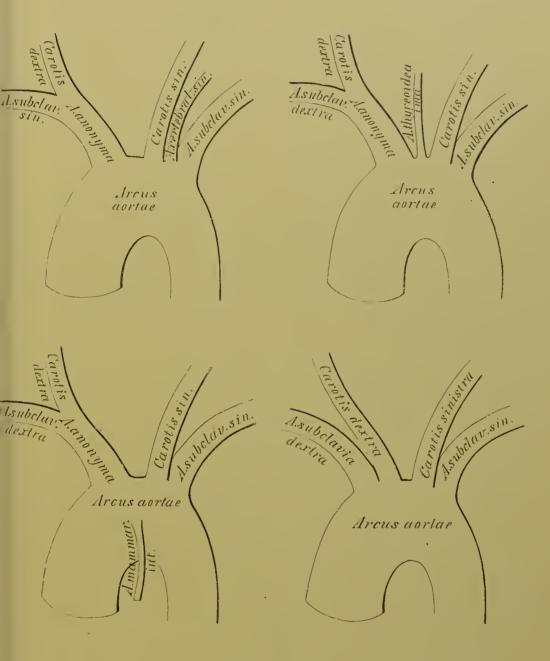
Regel stärker als die dextra. Erstere läuft im Sulcus circularis um den linken Herzrand herum, sendet in der vorderen Längsfurche einen Ast bis zur Herzspitze und verliert sich an der hinteren Fläche des Herzens. Die rechte Kranzarterie geht im Sinus circularis der vorderen Herzfläche gegen den rechten Herzrand, hierauf an die hintere Fläche des Herzens, um in der hinteren Längsfurche zur Herzspitze zu gelangen.

Aus dem Arcus Aortae entspringen drei mächtige Gefässe: die Arteria anonyma brachio-cephalica, die Carotis sinistra und die Arteria subclavia sinistra. Die Art. anonyma geht vor der Luftröhre nach rechts und oben und theilt sich hinter dem rechten Sterno-clavicular-Gelenke in die Art. subclavia dextra und Carotis dextra. Die Carotis sinistra liegt tiefer als die rechte, und ihr Verlauf ist mehr geradlinig. Auch die Art. subclavia sinistra liegt tiefer und ist lünger als die rechte.



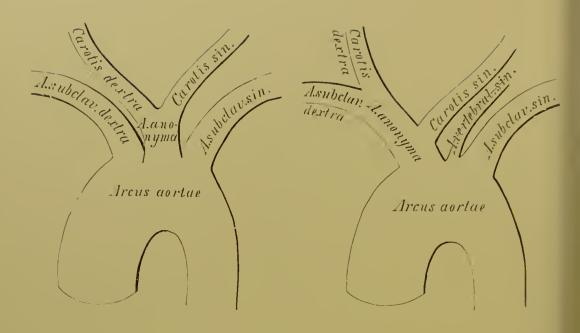


534—536. Schema der Varietäten der aus dem Aortenbogen entspringenden Schlagadern durch Verminderung.



537—540. Schema der Varietäten der aus dem Aortenbogen entspringenden Schlagadern durch Vermehrung.

426 Aorta.



541, 542. Schema der Varietäten der aus dem Aortenbogen entspringenden Schlagadern durch abnorme Verästlung.

Die Abweichungen im Ursprunge der aus dem Aortenbogen entspringenden Sehlagadern lassen sich auf drei Typen zurückführen: auf Verminderung, Vermehrung und normale Zahl mit abnormer Verästlung der Aortenäste.

Die Verminderung erscheint in folgenden Formen: a) zwei Arteriae anonymae; b) die Carotis sinistra ist ein Zweig der Anonyma; c) alle Aeste des Aortenbogens sind zu einer gemeinsamen, vorderen Aorta vereinigt.

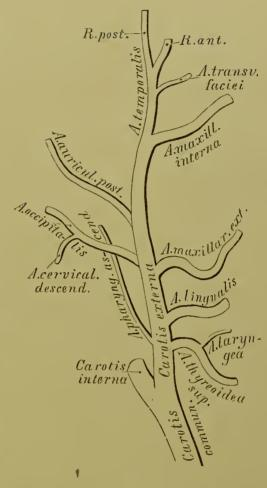
Die Vermehrung besteht in folgenden Formen: a) die Art. vertebralis sinistra entspringt zwischen Carotis und Subclavia sinistra; b) eine Art. thyreoidea ima entspringt zwischen Anonyma und Carotis sinistra; e) eine Art. mammaria interna oder Art. thymica entspringt von der vorderen Wand des Arcus Aortae; d) die Anonyma fehlt und sümmtliche Aeste entspringen isolirt.

Die abnorme Verästlung betrifft folgende Formen: a) beide Carotiden versehmelzen zu einer Anonyma; b) die Carotis sinistra ist in den Stamm der Anonyma einbezogen; bei isolirtem Ursprunge der Art. vertebralis sinistra.

Die Carotis communis steigt, ohne Zweige abzugeben, bis zur Höhe des oberen Schildknorpelrandes empor und theilt sieh daselbst in die Carotis externa und interna.

Die Carotis externa wird vom Platysma myoides, vom hoehliegenden Blatte der Halsfaseie und von der V. facialis communis bedeckt, gelangt in der Substanz der Ohrspeicheldrüse hinter den Gelenkfortsatz des Unterkiefers und zerfällt hier in zwei Endäste: die Art. temporalis superficialis und die Art. maxillaris interna. Ans der vorderen Peripherie der Carotis externa entspringen:

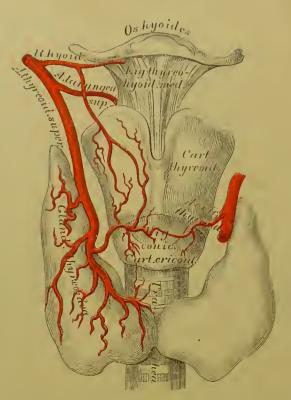
a) Die obere Schilddrüsenarterie, Art. thyreoidea superior, welche bogenförmig zur Schilddrüse herabzieht. Sie gibt die Art. laryngea superior ab, welche die Membrana hyothyreoidea durchbohrt und die Gebilde im Kehlkopfinnern versorgt: ferner



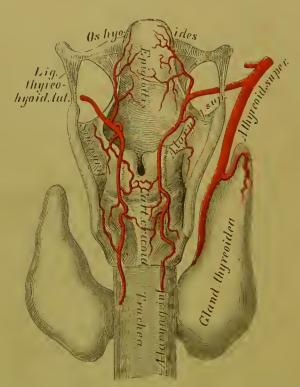
543. Schema der Verästlung der Carotis externa.

Muskeläste. (S. Fig. 544, 545. In Fig. 545 — das Original war ein getroeknetes Präparat — erseheint die Art. laryngea superior ans der Lage versehoben; dieselbe ist beiderseits im Sinus pyriformis verlaufend zu denken.)

b) Die Zungenarterie, Art. lingualis, entspringt in der Höhe des grossen Zungenbeinhornes und gelangt zwischen M. hyo-glossus und M. constrictor pharyngis medius zur Zunge. Sie erzeugt den Ramus hyoideus; die Art. dorsalis linguae zur Schleimhaut der Zungenwurzel; die Art. sublingualis zum Boden der Mundhöhle. Die Fortsetzung der Zungenarterie heisst Art. ranina oder Art. profunda linguae (s. Fig. 554). Dieselbe verbindet sieh mit jener der andern Seite nur mittelst Capillaren.



**544.** Die Verästlung der Art. thyreoidea superior.
Ansicht von vorne.

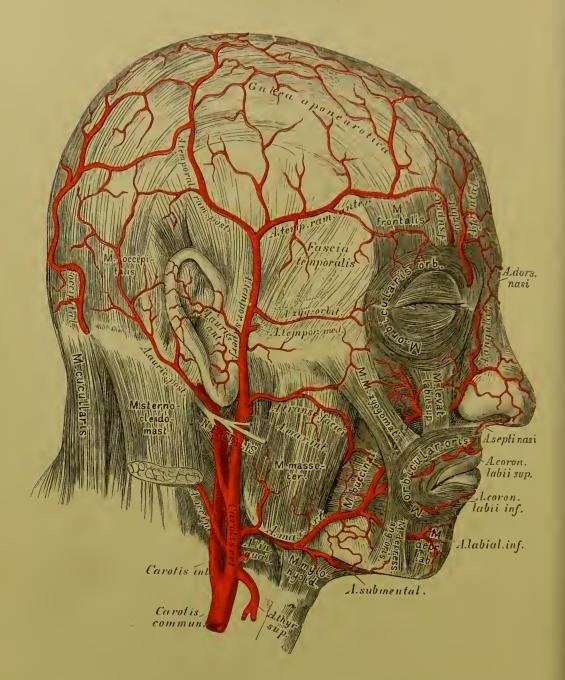


545. Die Verästlung der Art. thyreoidea superior.
Ansicht von hinten.



### 546. Topographische Anatomie des Halses.

c) Die äussere Kieferarterie, Art. maxillaris externa s. facialis anterior, geht nach vorue zum Gesichte, steigt am Mundwinkel zur Seite der Nase empor und endet als Art. angularis, durch welche sie mit der Art. ophthalmica ven der Carotis interna verbunden erscheint. Ihre Aeste sind: die Art. submentalis; die Art. palatina ascendens s. pharyngo-palatina, die an der Seitenwand des Pharynx liegt und die Flügelmuskehn, den weichen Gaumen und die Schleimhaut des Rachens versorgt; die Art. tonsillaris zur Seitenwand des Rachens und zur Mandel; endlich Muskeläste für die Kau- und Gesichtsmuskehn, zumal die Art. coronaria labit superioris et inferioris, welche nahe der Lippenschleimhaut gegen die Mittellinie verlanfen und sich daselbst mit den gleichnamigen Gefässen der andern Seite verbinden. Aus dem eberen Begen entsteht die Art. septi mobilis nasi.



### 547. Die Arterien des Gesichtes und der Schädelhaut.

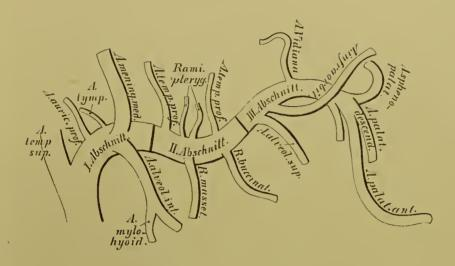
Aus der inneren Peripherie der Carotis externa entspringt:

d) Die aufsteigende Rachenarterie, Art. pharyngea ascendens, die an der Seitenwand des Pharyux hinaufzieht und, in zwei Zweige gespalten, die hintere

Rachenwand versorgt (s. Fig. 554).

Aus der hinteren Peripherio der Carotis externa gehen hervor:

e) Die Hinterhanptarterie, Art. occipitalis. Sie gelangt, bedeckt vom hinteren Banche des M. biventer maxillae, unter dem M. sterno-cleido-mastoideus zum Hinterhanpte, wo sie in zwei Endäste zerfällt und die Weichtheile bis zum Scheitel hinauf versorgt. Ans ihr entstehen die Art. mastoidea, welche durch das Foramen mastoideum zur harten Hirnhaut geht, und die Art. cervicalis descendens zu den Nackenmuskeln.

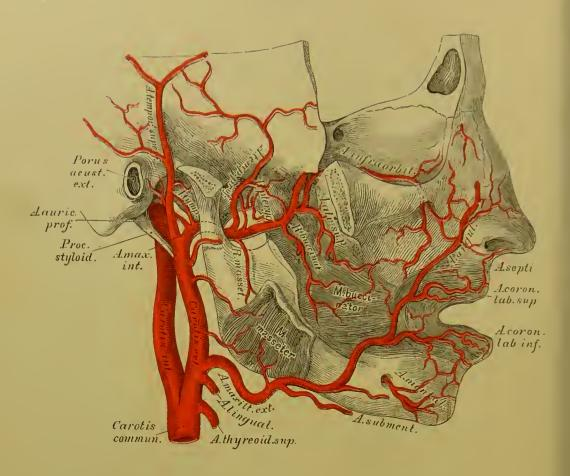


### 548. Schema der Verästlung der Arteria maxillaris interna.

f) Die hintere Ohrarterie, Art. auricularis posterior, steigt am vorderen Rande des Processus mastoideus empor und sendet die Art. stylo-mastoidea durch das gleichnamige Loch zum Canalis Fullopiae. Der vordere Zweig der Art. auricularis posterior versorgt die Ohrmuschel, der hintere die Weichtheile hinter dem Ohre.

Die Endäste der Carotis externa sind:

- 1. Die oberflächliche Schläfenarterie, Art. temporalis superficialis, welche auf der Fascia temporalis in einen vorderen und einen hinteren Zweig zerfällt. Der erstere versorgt die Haut der Schläfen- und Stirngegend, der letztere gelangt zum Scheitel. Die Art. temporalis superficialis gibt folgende Aeste ab: Die Art. transversa faciei s. facialis posterior quer bis zur Gegend des Foramen infraorbitale; die Art. temporalis media dringt durch die Fascia temporalis zum Schläfenmuskel; die Art. auriculares anteriores (2—3 inferiores und 1 superior) zum äusseren Gehörgange und zur Vorderfläche der Ohrmuschel; die Art. zygomatico-orbitalis schief nach vorne gegen den Angenhöhlenrand.
- 2. Die innere Kieferarterie, Art. maxillaris interna, welche alle Höhlen des Kopfes mit Aesten versorgt, kann in ihrem Verlaufe in drei Abschnitte getheilt werden, deren erster hinter dem Gelenkfortsatze des Unterkiefers liegt, wührend der zweite der Ausschfläche des äusseren Flügelmuskels, der dritte der Flügelgaumengrube entspricht.



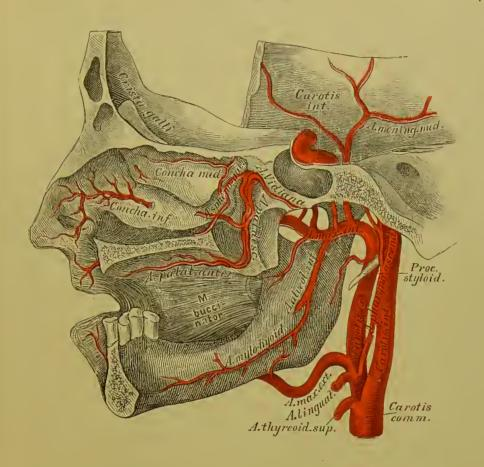
## 549. Verlauf und Verästlung der Arteria maxillaris interna. Ansieht von aussen.

Aus dem I. Absehnitte der Art. maxillaris interna gehen ab: Die Art. auricularis profunda zum äusseren Gehörgunge; Die Art. tympanica durch die Fissura Glaseri zur Paukenhöhle;

Die Art. alveolaris inferior zur hinteren Oeffnung des Unterkieferkanales. Während sie diesen durchläuft, gibt sie die Ramuli dentales zu den Zahnwurzeln, kommt beim Kinnloche zum Vorschein als Art. mentalis und anastomosirt mit den Endzweigen der Art. coronaria labii inferioris und der Art. submentalis. Vor ihrem Eintritte in den Kanal des Unterkiefers gibt sie die Art. mylo-hyoidea für den gleichnamigen Muskel ab (s. Fig. 550 und 551).

Aus dem II. Abschuitte der Art. maxillaris interna entstehen:

Die Art. meningea media, welche an der Innenfläche des äusseren Flügelmuskels zum Foramen spinosum emporsteigt und in der Schädelhöhle in einen vorderen und einen hinteren Ast zerfällt behufs Ernährung der harten Hirnhaut und der Diploë des Schädelgewölbes (s. Fig. 552). Sie sendet die Art. petrosa zur Trommelhöhle.



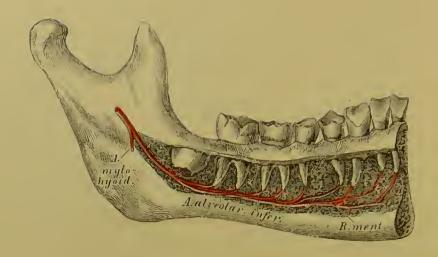
550. Verlauf und Verästlung der Arteria maxillaris interna. Ansicht von innen.

Die Muskeläste, welche aus dem II. Abschnitte der Art. maxillaris interna hervorgehen, sind:

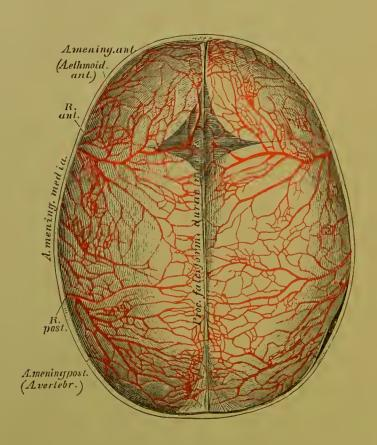
Ramus masseterieus für den M. masseter, welcher die Incisura semilunaris des Unterkieferastes durchläuft;

Ramus buccinatorius für den M. buccinator, dessen Zweige mit jenen der Art. infraorbitalis, transversa faciei und Art. maxillaris externa anastomosiren; Rami pterygoidei für die beiden MM. pterygoidei;

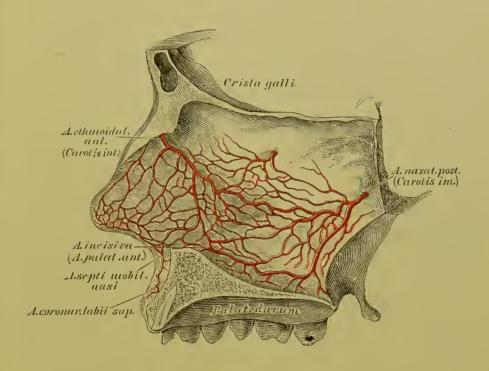
Art. temporales profundae, und zwar eine anterior und eine posterior für den M. temporalis. Die vordere Art. temporalis profunda sendet einen Ast durch den Canalis zygomaticus temporalis in die Angenhöhle, woselbst derselbe mit der Art. lacrymalis eine Anastomose eingeht (s. Fig. 555).



551. Die Arteria alveolaris inferior im Unterkieferkanale.



**552.** Die Arterien der harten Hirnhaut. Injieirtes Schädeldach eines Kindes. <sup>2</sup>/<sub>3</sub> der natürlichen Grösse.



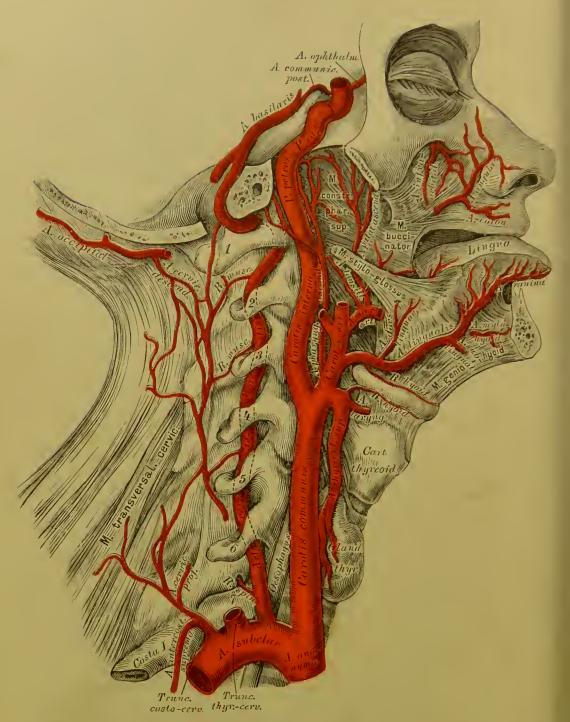
553. Die Arterien der Nasenscheidewand. (Natürliche Grösse.)

Aus dem III. Abschnitte der Art. maxillaris interna entspringen:
Die obere Zahnarterie, Art. alveolaris superior. Ihre Zweige verlaufen durch die Löcher der Tuberositas des Oberkiefers zu den hinteren Zähnen desselben und zur Schleimhaut des Antrum Highmori.

Die Unteraugenhöhlenarterie, Art infraorbitalis, verläuft in dem gleichnamigen Kanale, versorgt die Periorbita, den M. rectus und obliquus inferior, die vorderen Zähne des Oberkiefers, gelangt durch das Foramen infraorbitale zum Gesichte, um schliesslich mit den übrigen Gesichtsarterien zu anastomosiren.

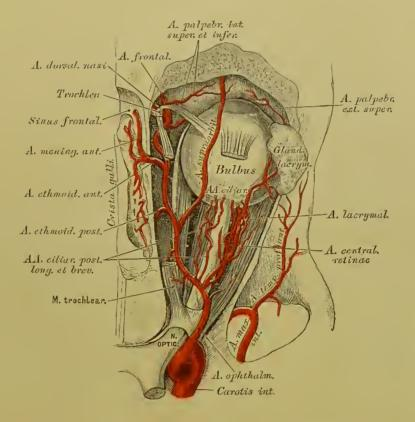
Die absteigende Gaumenarterie, Art. palatina deseendens s. pterygopalatina, sendet die Art. Vidiana in den gleichnamigen Kanal in die obere Partie des Pharynx, zerfällt in drei Aeste, welche durch die Canales palatini descendentes zum weichen Gaumen und zu den Mandeln gehen. Ihr stärkster Ast, die Art. palatina anterior, zieht längs des harten Gaumens zum Zahnfleisehe der Schneidezähne und sendet die Art. incisiva in die Nasenhöhle.

Die Nasenhöhlenarterie, Art. spheno-palatina, geht durch das Foramen spheno-palatinum in die Nasenhöhle und versorgt die hinteren Partien der Schleimhaut, desgleichen das Septum narium, um sieh schliesslich mit der Art. palatina anterior und der Art. septi mobilis nasi zu vereinigen.



### 554. Verlauf und Verästlung der Carotis interna und der Arteria vertebralis.

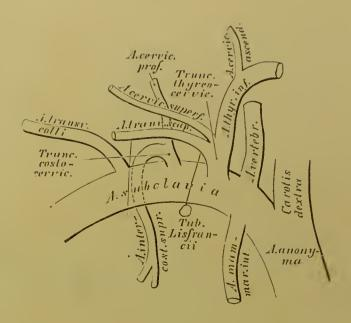
Die Carolis interna, anfangs an der äusseren Seite der externa gelegen, wird von letzterer durch den M. stylo-glossus und M. stylo-pharyngeus getrennt. Ihr Verlanf ist, bevor sie in den Canalis carolicus eintritt, umgekehrt s-förmig; im Canalis carolicus macht sie eine dritte und im Sinus cavernosus eine vierte Krümmung. Während des Verlaufes in den letzteren Höhlen sendet sie kleine Aeste zur Schleimhaut der Trommelhöhle (Ramulus carolico-tympanicus), zum Ganglion Gasseri, zur harten Hirnhant und zum Tentorium cerebelli.



## 555. Verästlung der Arteria ophthalmica in der Augenhöhle. Natürliche Grösse.

Nach erfolgtem Austritte aus dem Sinus cavernosus erzeugt die Carotis interna:

- 1. Die Augenarterie, Art. ophthalmica, welche durch das Foramen opticum in die Augenhöhle gelangt und unter der Trochlea in die Art. dorsalis nasi und Art. frontalis zerfällt. Ihre Zweige sind:
  - a) Die feine Art. contralis retinae, im Sehnerven zur Netzhaut gehend;
- b) die Art. lacrymalis, an der äusseren Augenhöhlenwand zur Thränendrüse ziehend, wobei sie 1-2 hintere Ciliararterien abgibt, Zweige in den Canalis zygomaticus facialis und temporalis schiekt, um am äusseren Augenwinkel in die Art. palpebralis externa superior et inferior zu zerfallen;
  - e) Muskeläste für die Muskeln des Bulbus oculi;
- d) 2 Arteriae eiliares posticae longae und 3—4 breves, erstere zur Iris und den M. ciliaris, letztere zur Choroidea;
  - e) die Art. supraorbitalis durch das Foramen supraorbitale zur Stirne;
- f) die Art. ethnoidalis anterior et posterior, die erstere zur Schüdelhöhle mit der Art. meningea anterior als Zweig, dann durch das vordere Loch der Siebbeinplatte zur Nasenhöhle; die letztere durch das Foramen ethnoidale posterius zu den hinteren Siebbeinzellen



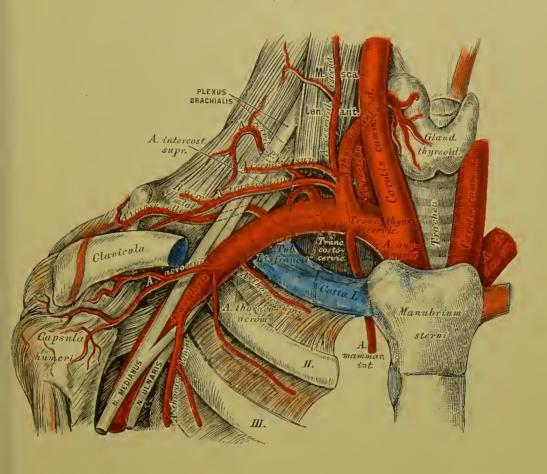
### 556. Schema der Verästlung der Arteria subclavia.

Weitere Zweige der-Art. ophthalmica sind:

- g) Die Art. palpebralis interna superior et inferior, welche den Thränensack, die Carunkel und die Conjunctiva palpebrarum versorgen, um in die Augenlider einzudringen;
  - h) die Art. frontalis gelangt um den Maryo supraorbitalis zur Stirne;
- i) die Art. dorsalis nasi durchbohrt den M. orbicularis und vereinigt sieh sehliesslich mit der Art. angularis, dem Endstücke der Art. maxillaris externa.

Die Carotis interna erzeugt ferner:

- 2. die Art. communicans posterior, welche nach hinten lanfend mit der Art. profunda cerebri anastomosirt und den Circulus arteriosus Willisii bilden hilft;
  - 3. die Art. choroidea zum Plexus choroideus lateralis;
- 4. die Art. corporis callosi zieht vorwärts, vereinigt sieh durch die Art. communicans anterior mit der gleichnamigen Arterie der anderen Seite und steigt zum Corpus callosum hinauf, um die Hemisphären des Gehirnes zu versorgen;
- 5. die Art. Fossae Sylvii zerfällt in der gleichnamigen Furche in eine Anzahl von Zweigen für den vorderen und unteren Gehirnlappen.

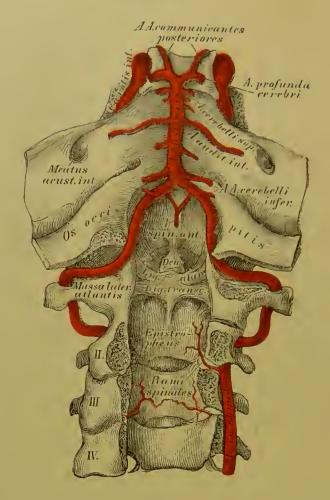


557. Verlauf und Verästlung der Arteria subclavia dextra.

Die Schlüsselbeinarterie, Art. subclavia, führt diesen Namen von ihrem Ursprunge bis zum Austritte aus dem Spalte zwischen vorderem und mittlerem Scalenus. Ihre fünf Aeste sind folgende:

1. Die Wirbelarterie, Art. vertebralis, dringt durch das Loch im Querfortsatze des seehsten Halswirbels, um im Kanale der seehs oberen Halswirbelquerfortsätze aufzusteigen. Sie krümmt sieh vom Querfortsatze des Epistropheus zu jenem des Atlas nach aussen, von diesem wieder einwärts zum grossen Hinterhauptloche. Sie vereinigt sieh am hinteren Rande der Varolsbrücke mit jener der anderen Seite zur unpaaren Art. basilaris. — Bis zum Eintritt in die Schädelhöhle eutstehen aus ihr Rami musculares, Rami spinales und die Art. meningea posterior. Nach dem Eintritte gibt sie ab: die Art. spinalis anterior et posterior, deren beide vorderen sieh zu einem gemeinsamen Stamme vereinigen; ferner die Art. eerebelli inferior posterior zum hinteren Absehnitte des Kleinhirns; endlich die Art. eerebelli inferior anterior zum vorderen Absehnitte der unteren Kleinhirngegend.

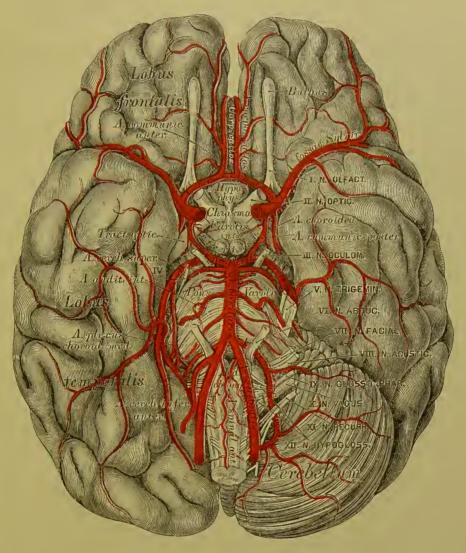
Die Art. basilaris, hervorgegangen aus der Vereinigung beider Arteriae vertebrales, zieht auf- und vorwärts, um jenseits der Varolsbrücke in die Art. profunda cerebri dextra et sinistra zu zerfallen.



558. Verlauf der Arteriae vertebrales.
Ansicht von hinten, bei eröffnetem Wirbelkanale.

Aus der Art. basilaris entspringen beiderseits: die Art. auditiva interna, durch den inneren Gehörgang zum Labyrinth verlaufend und die Art. eerebelli superior zur oberen Fläche des Kleinhirns. Die Arteriae profundae eerebri vereinigen sich mit den Arteriae communicantes posteriores aus der Carotis interna, ziehen nach hinten und oben und versorgen die Hinterlappen des Grosshirns. Durch diese Vereinigung entsteht der Circulus arteriosus Willisii, welcher das Chiasma, das Tuber einereum und die Corpora mammillaria einschliesst.

2. Die innere Brustarterie, Art. mammaria interna, entspringt gegenüber der Art. vertebralis, geht zur Hintersläche der vorderen Brustwand, erzeugt die Arteriae mediastinicae, thymicae, die Art. bronchialis anterior, die Art. pericardiaeo-phrenica zum Zwerchfelle, und die Arteriae intercostales anteriores, für jeden Zwischenrippenraum zwei: eine obere, stärkere und eine untere, schwächere. Sie senden Rami perforantes zur Haut und zu den Muskeln des Thorax, beim Weibe die Arteriae mammariae externae zur Brustdrüse. Zwischen dem sechsten Rippenknorpel und dem Schwertfortsatze zerfällt die Art. mammaria interna in die Art. musculo-phrenica und Art. epigastrica superior, welch' letztere mit der Art. epigastrica inferior aus der Art. eruralis anastomosirt (s. Fig. 560).



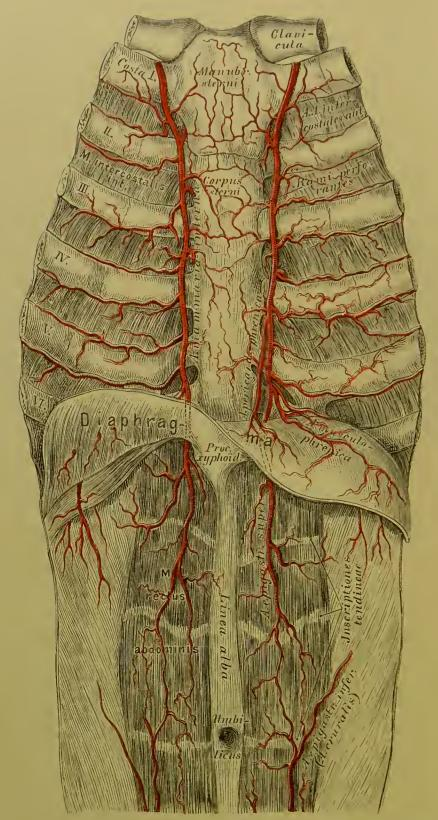
**559.** Die *Arteria basilaris* und deren Aeste an der Gehirnbasis.

3. Die Schilddrüsen-Nackenarterie, Truncus thyreo-cervicalis, steigt bis zum fünften Halswirbel emper, krümmt sich nach innen und oben, versorgt die Luft- und Speiseröhre mit kleinen Zweigehen und gelangt zur Schilddrüse an deren unterem Rande; sie erzeugt hier die Art. laryngea inferior. Aeste dieser Arterie sind: Die Art. cervicalis ascendens für die tiefen Hals- und Nackenmuskeln; die Art. cervicalis snperficialis, welche in der Fossa supraclavicularis zum M. cucullaris, zu den MM. spleniis und rhomboideis zieht, und die Art. transversa scapulae, welche hinter dem Schlüsselbein durch die Incisura scapulae zur oberen, dann zur unteren Grätengrube geht, um die daselbst entspringenden Muskeln zu versergen (s. Fig. 562).

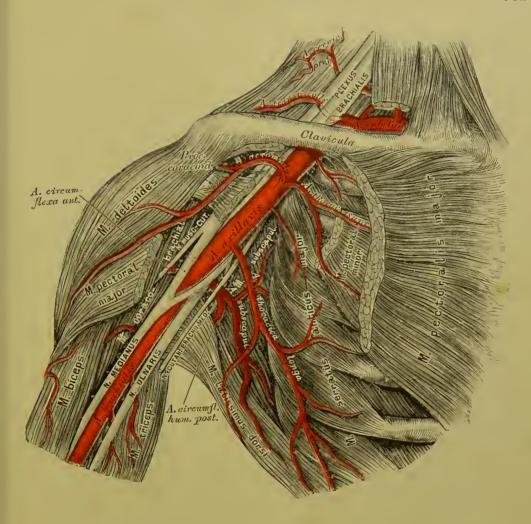
4. Die Rippen-Nackenschlagader, Truncus costo-cervicalis, theilt sich in die Art. intercostalis suprema für den ersten und zweiten Zwischenrippenraum

und in die Art. cervicalis profunda für die tiefen Nackenmuskeln.

5. Die quere Halsarterie, Art. transversa colli s. cervicis entspringt zwischen oder jenseits der Scaleni. Sie durchbohrt den Plexus brachialis, gelangt zum eberen Rande des Schulterblattes, wo sie den Ranus supraspinatus für die MM. cucullaris, deltoides, levator scapulae und zum Acromium sendet und entlang dem inneren Schulterblattrande als Art. dorsalis scapulae hinzieht (s. Fig. 562).



560. Verlauf und Verästlung der Arteriae mammariae internae.

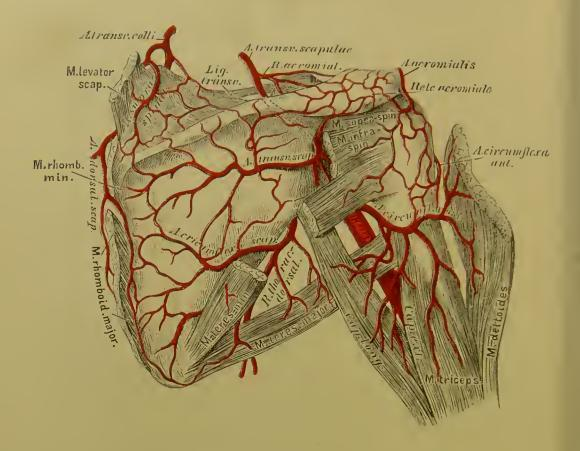


561. Verlauf und Verästlung der Arteria axillaris dextra.

Die Achselarterie, Art. axillaris, führt diesen Namen als unmittelbare Fortsetzung der Schlüsselbeinarterie von der Austrittsstelle zwischen den Rippenhältern bis zum unteren Rande der Achselhöhle; sie wird von den Wurzeln des Nervus medianus gabelförmig umgriffen.

Ihre Aeste sind:

- a) Die Art. thoracica suprema, welche zwischen dem M. pectoralis major und minor eindringt.
- b) Die Art. acromialis, welche häufig mit a) aus einem gemeinsamen Stamme, dem Truncus thoraco-acromialis entspringt. Sie gelangt vor dem Processus acromialis nach aussen und oben zum Acromium, versorgt die Gelenkkapsel und schickt Rami acromiales zur Schulterhöhe, welche mit der Verüstlung des Ramus acromialis der Art. transversa scapulae das Rete acromiale erzeugen (s. Fig. 562).
- e) Die Art. thoracica longa verläuft auf dem M. scrratus anticus major abwärts, versorgt diesen und die äussere Peripherie der Brustdrüse.



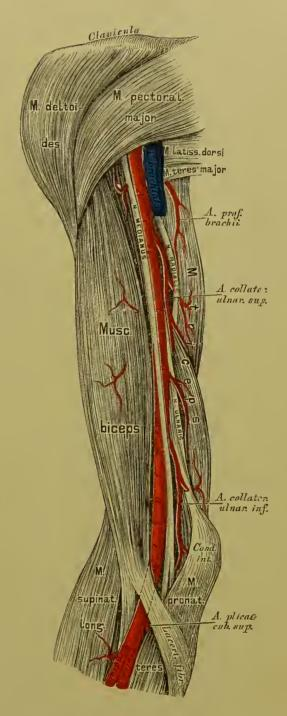
562. Die Arterien der Schulter.

Weitere Aeste der Art. axillaris sind:

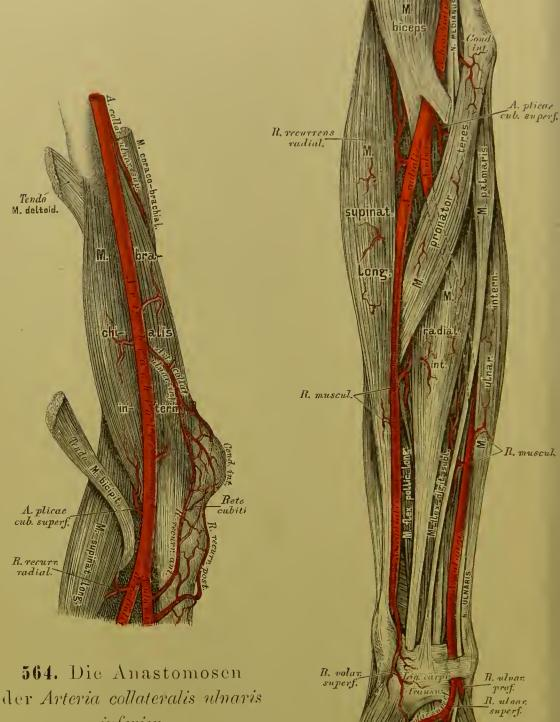
- d) Die Arteriae subscapulares, deren gewöhnlich zwei bis drei obere kleinere und eine untere grössere vorkommen. Die untere theilt sieh in den Ramus thoracico-dorsalis, welcher parallel dem äusseren Schulterblattrande zu den unteren Zacken des M. serratus anticus major und zu den Rippenursprüngen des M. latissimus dorsi geht, und in die Art. eireumflexa scapulae, die zwischen M. subscapularis und teres major an die hintere Fläche der Scapula gelangt, um die Muskeln der Fossa infraspinata zu versorgen.
- e) Die Art. eireumstexa humeri anterior verläuft vor dem ehirurgischen Halse des Oberarmknochens.
- f) Die Art. circumflexa humeri posterior die weit stärkere hinter dem Halse dieht am Knochen. Beide versehen die am Schultergelenke befindlichen Weichtheile und anastomosiren mit einander.

Vom unteren Rande des M. pectoralis major an heisst die Art. axillaris Armarterie, Art. brachialis. Sie zieht im Sulcus bicipitalis internus herab, im oberen Oberarmdrittel den N. medianus an der äusseren, den N. ulnaris an der inneren Seite, weiter unten in Begleitung zweier Venac brachiales. Im Ellbogenbuge geht sie unter den Lacertus fibrosus der Selme des M. biceps. Ausser den an variablen Stellen entspringenden Muskelästen sind die folgenden anzuführen:

- a) Die Art. profunda brachii verläuft mit dem N. radialis zwischen mittlerem und kurzem Kopfe des M. triceps an die Aussenseite des Oberarmes, versorgt den M. triceps, dann den Knochen durch eine Art. nutriens humeri, zieht hierauf hinter dem Lig. intermusculare externum zum Ellbogen und heisst nun Art. collateralis radialis. Ein Endast anastomosirt mit der Art. recurrens der Art. radialis; der andere mit der Art. collateralis ulnaris inferior.
- b) Die Art. collateralis ulnaris superior entspringt nahe unter der ersteren und begleitet den N. ulnaris; sie versorgt den M. brachialis internus und den M. triceps und verbindet sieh sehliesslich mit dem R. recurrens posterior der Art. ulnaris.
- e) die Art. collateralis ulnaris inferior zieht gegen den Condylus internus, besorgt die hier entspringenden, zumal die oberflächlichen Muskeln, anastomosirt mit dem R. recurrens anterior der Art. ulnaris, an der hinteren Fläche des Oberarmes hingegen mit der Art. profunda brachii.



**563.** Verlauf und Verästlung der *Arteria brachialis*.



der Arteria collateralis ulnaris inferior.

565. Verlauf und Verästlung der Vorderarmarterien.

Die Art. brachialis liegt im Ellbogenbuge auf dem M. brachialis internus, an der Innenseite der Selme des M. biceps und an der Aussenseite des M. pronator teres. Sie gibt daselbst die Art. plicae cubiti superficialis ab und theilt sieh in der Höhe des Proc. coronoideus ulnae in die Art. radialis und Art. ulnaris.

a) Die Armspindelarterie, Art. radialis, verläuft in der oberen Hälfte des Vorderarmes zwiselien M. supinator lonque und M. pronator teres, in der unteren Hälfte hingegen zwiselien M. supinator longus und M. radialis internus. An der Handwurzel gelangt sie zwisehen Proc. styloideus radii und Os scaphoideum anf den Handrücken, woselbst die Selmen des M. abductor pollicis longus und M. extensor pollicis brevis über ihr liegen, dringt zwischen den Basen der Mittelhandknoehen des Daumens und Zeigefingers wieder in die Hohlhand, um daselbst mit dem tiefen Aste der Art. ulnaris den Arcus volaris profundus zu bilden. Ihre Aeste sind:

Der Ramus recurrens radialis zur Verbindung mit dem vorderen Endaste der Art. profunda brachii;

die *Rami musculares* zu den benachbarten Muskeln;

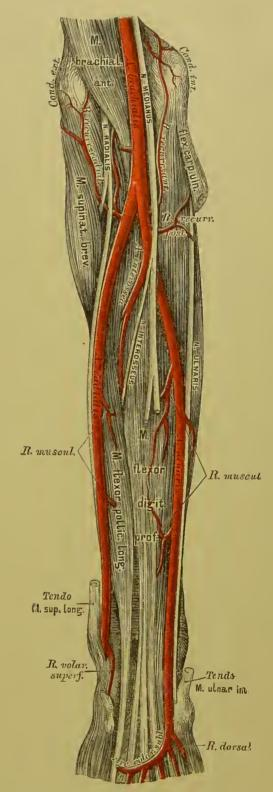
der Ramus volaris superficialis zu den Muskeln des Daumenballens, in der Regel auch zur Bildung des Areus volaris sublimis.

Auf dem Handrücken erzeugt die Art. radialis (s. Fig. 571):

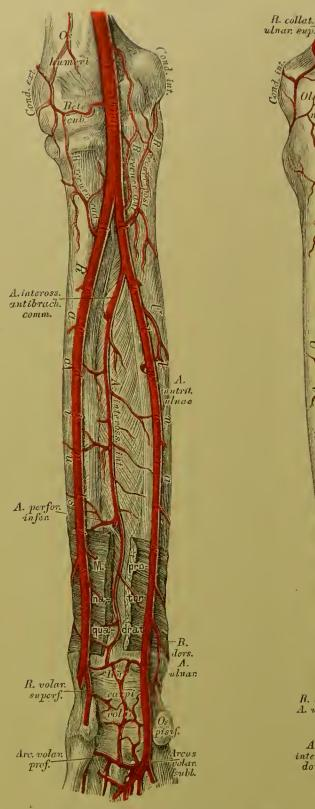
Den Ramus carpi dorsalis, welcher mit den Zweigen der Art. interossea externa das Rete carpi dorsale bilden hilft;

die Art. interossea dorsalis prima, welche beide Seiten des Daumens und die Radialseite des Zeigefingers versorgt.

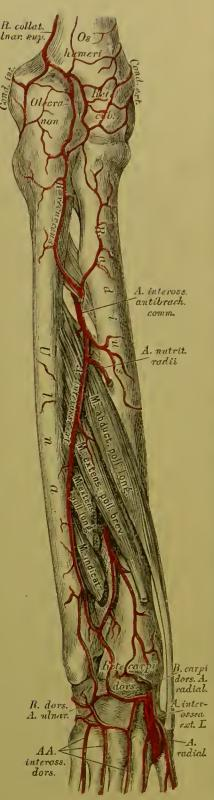
In die Hohlhand zurückgekehrt, gibt die Art. radialis die Art. digitalis volaris communis ab, welche die Art. volaris indicis radialis abzweigt und schliesslich in zwei Arteriae volares pollicis zerfällt.



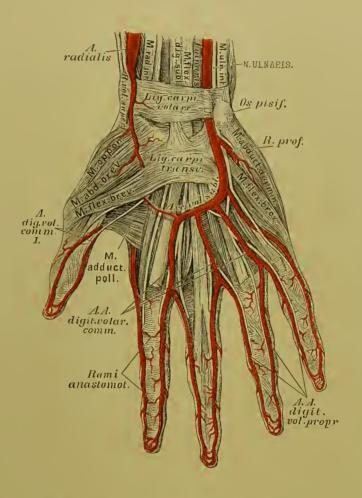
566. Verlauf und Ver- astlung der Vorderarm- arterien.



567. Verlauf der Arteria interossea antibrachii interna.



568. Verlauf der Arteria interossea antibrachii externa.



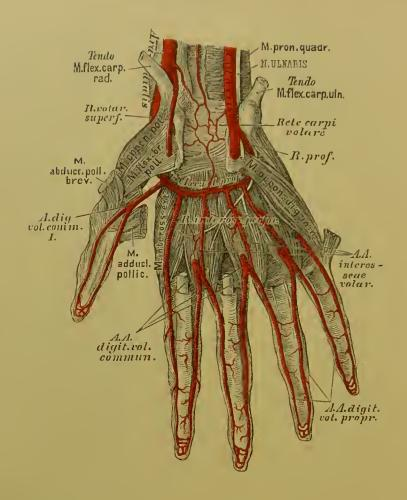
569. Der Arcus volaris sublimis.

b) Die Ellbogenarterie, Art. ulnaris, verläuft auf und neben dem M. flexor digitorum communis profundus, zwischen welchem und dem M. ulnaris internus sie zur Handwurzel zieht. Sie gelangt über dem queren Handwurzelbande, dieht am Os pisiforme, zur Hohlhand, woselbst sie sieh in einen Ramus superficialis und einen Ramus profundus theilt. Der erstere bildet, eventuell mit dem Ramus superficialis der Art. radialis den Arcus volaris sublimis; der letztere mit dem Endstücke der Art. radialis, den Arcus volaris profundus. Sie erzeugt:

den Ramus recurrens anterior, welcher zum Condylus humeri internus zurückgeht, um mit der Art. collateralis ulnaris inferior zu anastomosiren;

den Ramus recurrens posterior, den stärkeren, welcher hinter dem Condylus humeri internus sieh mit der Art. collateralis ulnaris superior verbindet;

mehrere Rami musculares für die benachbarten Muskeln, deren Einer die Ulna mittelst einer Art. nutritia versorgt.

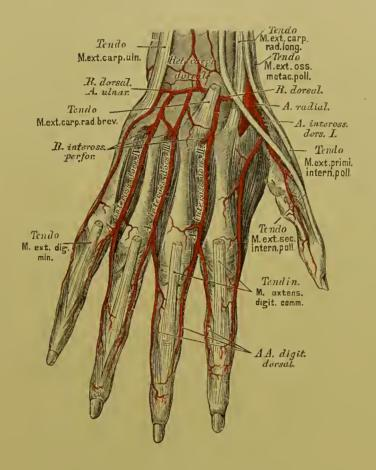


570. Der Arcus volaris profundus.

Weitere Aeste der Art. ulnaris (s. Fig. 567 und 568) sind:

Die Art. interossea antibrachii communis, welche sieh bald nach ihrem Ursprunge in die Art. interossea externa und Art. interossea internazzertheilt. Die Art. interossea externa durchbohrt die Membrana interossea, schickt den Ramus recurrens zur hinteren Ellbogengegend, lagert sich auf den M. abductor und extensor pollicis longus, gibt zahlreiehe Muskelzweige ab, und geht schliesslich in dem, gemeinsam mit dem Ramus carpi dorsalis der Art. radialis gebildeten Rete carpi dorsale auf. Die Art. interossea interna zicht dicht an der Membrana interossea bis zum M. pronator quadratus, gelangt unter diesen, gibt einen Ast zum Rete carpi volare und geht durch die Membrana interossea als Art. perforans inferior an die Aussenseite des Vorderarmes, woselbst sie in das Rete carpi dorsale einmündet.

Der letzte Zweig der Art. ulnaris, vor deren Spaltung, ist der Ramus dorsalis, für die Bildung des Rete carpi dorsale bestimmt.



571. Die Arterien am Handrücken.

Der oberflächliche Hohlhandbogen, Arcus volaris sublimis (s. Fig. 569), richtet seine Convexität gegen die Finger; er wird durch den oberflächlichen Hohlhandast der Art. radialis, vorwiegend aber durch jenen der Art. ulnaris erzeugt. Aus seiner Convexität entstehen drei Arteriae digitales volares communes, welche sich in die Arteriae digitales volares propriae zerspalten, um die einander zugekehrten Flächen je zweier Finger bis an deren Spitze hin zu versorgen.

Der tiefliegende Hohlhandbogen, Arcus volaris profundus (s. Fig. 570), der sehwächere und weniger eonvexe, wird vorwiegend von der Art. radialis gebildet. Er erzeugt drei Arteriae interosseae volares in den Interstitiis interosseis der vier Finger, welche Rami interossei perforantes zum Handrücken senden, und in die Arteriae digitales volares communes einmünden.

Aus dem Rete carpi dorsale entspringen nur drei Arteriae interosseae dorsales, indem die erste direct aus der Art. radialis hervorging; diese theilt sich in drei Zweige, die übrigen hingegen in je zwei, welche als Arteriae digitales dorsales nur bis zum zweiten Fingergliede herabreichen.

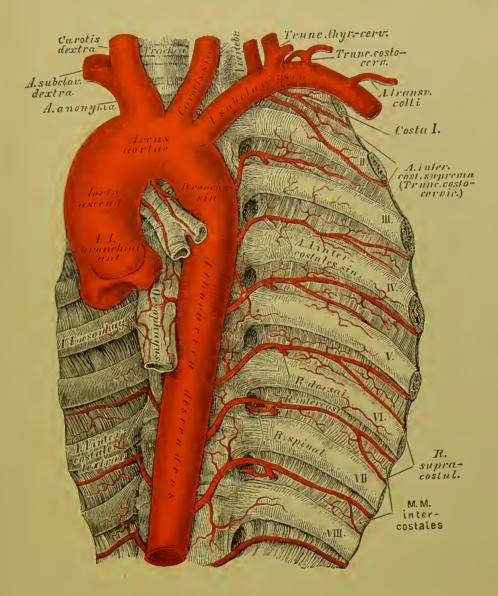


## 572. Segment der Brustaorta mit injicirten Vasa vasorum.

Ansicht von hinten. Natürliche Grösse.

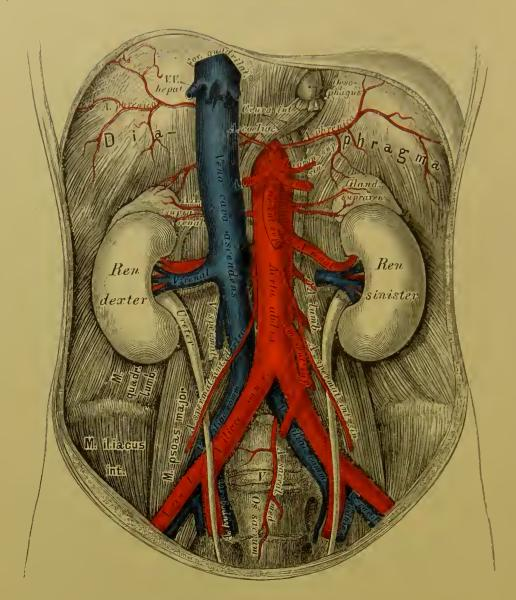
Die Aorta thoracica descendens gibt zahlreiche, aber vorwiegend kleine Aeste ab. Dieselben sind:

- a) Die Arteriae bronchiales posteriores zur hinteren Wand der Luftröhrenäste; die dextra entsteht häufig aus der dritten oder vierten Art. intercostalis dextra. Die Arteriae bronchiales anteriores stammen aus der Art. mammaria interna,
  - b) Die Arteriae oesophageae, 2 bis 4 an der Zahl.
- e) Die Arteriae mediastinicae zur Pleura des hinteren Mittelfells. Diese, wie die vorigen, versorgen auch die hintere Wand des Herzbeutels mittelst der Arteriae pericardiacae posteriores.
- d) Die Arteriae intercostales für die neun unteren Zwischenrippenräume und für den unteren Rand der letzten Rippe, indem die zwei oberen aus dem Truncus costo-cervicalis der Art. subclavia versorgt wurden. Die linken sind kürzer als die rechten. Jede derselben theilt sich in einen Ramus dorsalis und einen Ramus intercostalis. Der erstere gelangt zwischen je zwei Wirbelquerfortsätzen zu den Rückenmuskeln, versicht überdies die Medulla spinalis und deren Hüllen mittelst Zweigehen, welche durch die Foramina intervertebralia eindringen. Der Ramus intercostalis zieht im Sulcus costae der nächst höheren Rippe vorwärts gegen das Brustbein; er schickt den Ramus supracostalis zum oberen Rande der nächst unteren Rippe und vereinigt sieh schliesslich mit der Art. intercostalis anterior aus der Art. mammaria interna. Der Ramus intercostalis versorgt die Zwischenrippenmuskeln, den M. pectoralis major, M. serratus anticus major und die Rippenursprünge der Bauchmuskeln, beim Weibe überdies die Brustdrüse.



573. Verlauf und Verästlung der absteigenden Brustaorta.

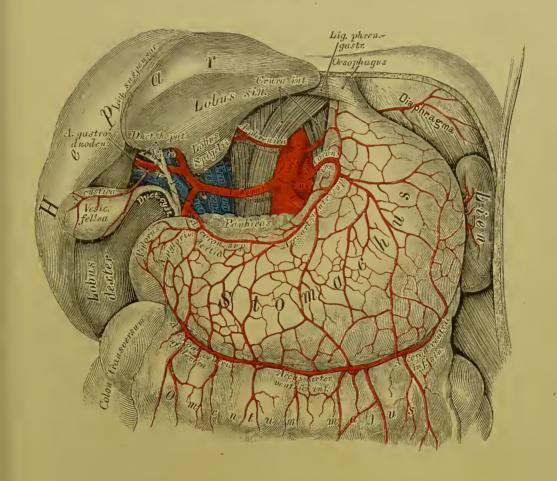
Die Ursprungsstellen je zweier Arteriae intercostales rücken einander am hinteren Umfange der Brustaorta desto näher, je tiefer sie liegen. Es können auch mehrere Arteriae intercostales aus einem gemeinschaftlichen Stamme hervorgehen, welcher vor den Rippenköpfehen abwärts zieht. Die am unteren Rande der zwölften Rippe verlaufende Arterie wäre nach Haller richtiger als Art. lumbalis prima zu bezeichnen. Die oberen Arteriae intercostales entspringen häufig tiefer, als der Zwischenrippenraum liegt, welchem sie angehören; während die mittleren einen rechtwinkeligen Ursprung haben, die unteren hingegen unter spitzen Winkeln hervorgehen.



574. Verlauf und Verästlung der Bauchaorta.

Die Aorta abdominalis entsendet aus ihrem vorderen Umfange drei unpaarige, seitlich hingegen eine Anzahl paariger Aeste. Die unpaarigen Aeste sind:

1. Die kurze Baucharterie, Art. coeliaca. Sie entspringt noch zwischen den Zwerchfellschenkeln, geht über dem oberen Rande der Bauchspeicheldrüse etwas nach links und gibt sofort zwei Arteriae phrenicae ab. Diese verzweigen sich in den Nebennieren und im Lenden- und Rippenantheile des Zwerchfells und anastomosiren mit einander sowohl, wie mit den Arteriae intercostales (aus der Brustaorta) und Arteriae musculo-phrenicae (aus den Arteriae mammariae internae).

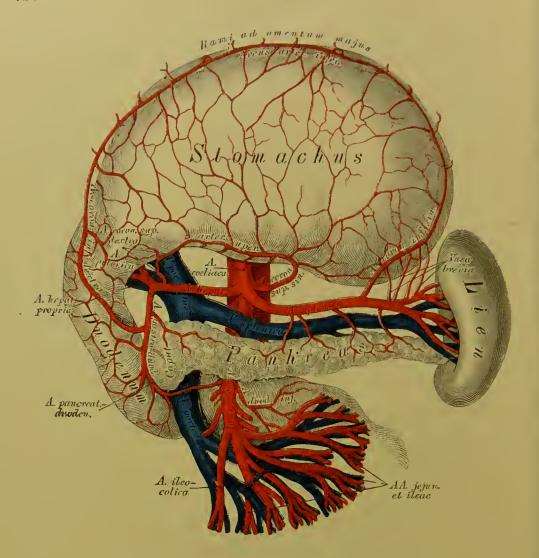


575. Die Aeste der Arteria coeliaca.

Ansicht nach Entfernung des kleinen Netzes.

Rechts von der Cardia zerfällt die Art. cocliaca in drei Zweige:

- a) Art coronaria ventriculi superior sinistra, welche in der kleinen Magenkrümmung von links, nach rechts zieht, und deren Zweige an der vorderen und hinteren Magenfläche mit der Art. coronaria superior dextra, den Art. coronariae inferiores und den Vasa brevia Anastomosen eingehen.
- b) Art. hepatica, welche im Lig. hepato-duodenale verläuft, zum kleinen Magenbogen die Art. coronaria superior dextra entsendet (ein Nebenzweig ist die Art. pylorica) und hieranf einen auf- und absteigenden Ast bildet. Der aufsteigen die Ast ist die Art. hepatica propria, welche, in zwei Zweige gespalten, die Leberpforte betritt. Der Ramus dexter versieht die Gallenblase mit der Art. cystica und dringt in den rechten und in beide kleinen Leberlappen ein; der Ramus sinister geht zum linken Leberlappen.



576. Die Aeste der Arteria coeliaca.

Ansicht bei aufwärts gekehrtem Magen.

Der absteigende Ast der Art. hepatica heisst Art. gastro-duodenalis; derselbe theilt sieh hinter dem Pylorus wieder in zwei Zweige:

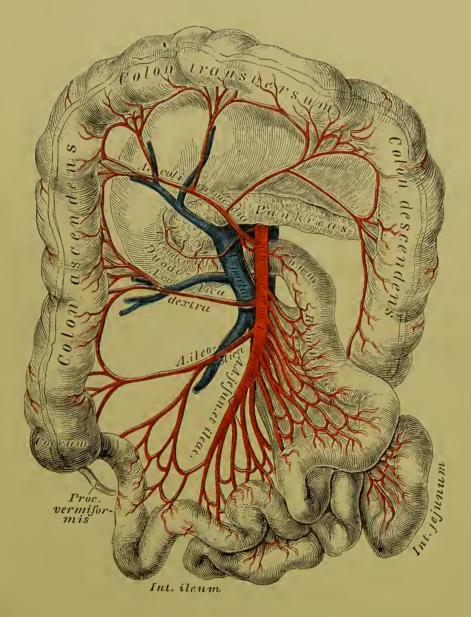
Art. pancreatico-duodenalis für den Kopf des Pankreas und den Zwölffingerdarm;

Art. coronaria ventriculi inferior dextra (s. Art. gastro-epiploica dextra), am grossen Magenbogen von reehts nach links verlaufend. Sie gibt ihre Aeste dem Magen und dem grossen Netze und verbindet sich mit der Art. gastro-epiploica sinistra.

c) Art. splenica verläuft nach links zur Milz und erzeugt:

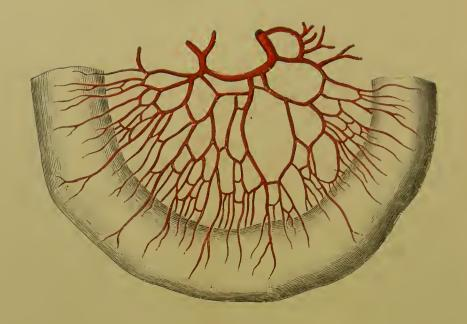
Die Art. gastro-epiploica s. coronaria ventriculi inferior sinistra und 4-6 Vasa brevia zum Magengrunde.

Durch den Zusammenfluss der genannten Arterien entsteht am kleinen Magenbogen der Arcus arteriosus ventriculi superior, am grossen Magenbogen der Arcus arteriosus ventriculi inferior.



#### 577. Die Verästlung der Arteria mesenterica superior.

- 2. Die obere Gekrösarterie, Art. mesenteriea (mesaraica) superior, entspringt unmittelbar unter der Art. coeliaca, zieht hinter dem Kopfe des Pankreas zur Wurzel des Gekröses und versorgt durch etwa zwanzig Aeste den grössten Theil der Gedärme. Sie bildet:
- a) Die Art. duodenalis inferior für das untere Querstück des Duodenum und den Kopf des Pankreas;
  - b) die Arteriae jejunales et ileae für den Dünndarm;
- c) die Art. ileo-coliea zum Endstücke des Dünn- und Anfangsstücke des Diekdarms;
  - d) die Art. colica dextra für das Colon ascendens;
  - e) die Art. colica media für das Colon transversum.

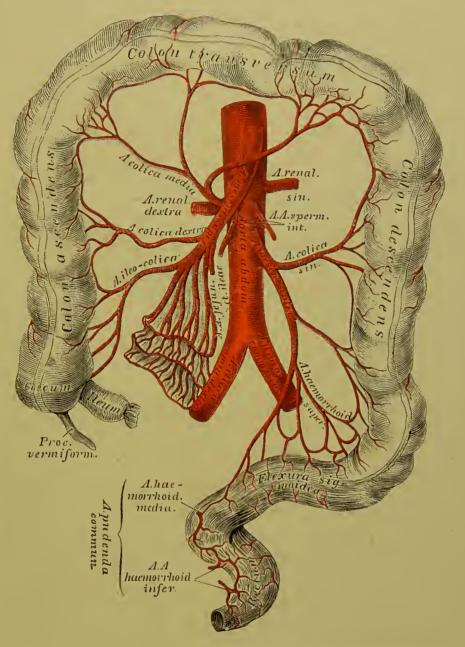


578. Die arteriellen Gefässarcaden des Dünndarmgekröses.

Die 16—18 Arteriae jejunales et ileae verlaufen zwischen beiden Gekrösblättern zu den betreffenden Darmstücken. Jede derselben theilt sich in zwei Zweige, welche mit jenen der nächsten bogenförmig anastomosiren. Aus den Bogen entspringen kleinere Aeste, welche sich wie die höher oben gelegenen verhalten, und diese Anastomosen wiederholen sich ein drittes Mal, so dass man im Gekröse drei Kategorien von Bogenanastomosen unterscheiden kann, an den Arteriae ileae deren sogar ein bis zwei mehr.

Aus den kleinsten Gefässareaden gehen endlich die Ramuli intestinales hervor, welche das Darmrohr umgreifen und dessen Wand versorgen. Auch die Art. ileo-eoliea. coliea dextra und coliea media erzeugen unter einander grössere Gefässareaden, zumal an den Winkeln zwisehen Colon ascendens und transversum und zwisehen Colon transversum und descendens deren zwei bis drei.

3. Die untere Gekrösarterie, Art. mesenterica inferior, zerfällt bald nach ihrem Ursprunge in zwei Zweige: in die Colica sinistra zum Colon descendens und die Art. haemorrhoidalis superior zur Flexura sigmoidea und zum Rectum. Auch diese Zweige bilden bogenförmige Gefässanastomosen.



#### 579. Die Verästlung der Arteria mesenterica inferior.

Die paarigen Aeste der Bauchaorta sind:

1. Die Nebennierenarterien, Arteriae suprarenales.

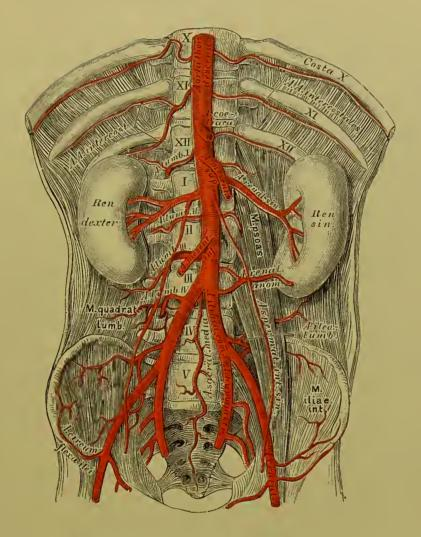
2. Die Nierenarterien, Arteriae renales, welche unterhalb der Art. mesenterica superior entspringen, die Art. eapsularis zur Fettkapsel der Niere, ferner kleine Zweige zum Nierenbecken und zum *Vreter* abgeben und hierauf in das

Nierenparenchym eindringen.

3. Die inneren Samenarterien, Arteriae spermaticae internae, deren linke aus der Aorta unter der linken Art. renalis entspringt, während die rechte in der Regel aus der rechten Art. renalis hervorgeht. Sie gelangen mit den Harnleitern beim Manne zum Leistenkanal, mit dem Samenstrange in die Hoden; beim Weibe gehen sie zu den Ovarien und längs den Tuben zum Uterus, um mit einem Aste der Art. uterina zu anastomosiren (s. Fig. 587).



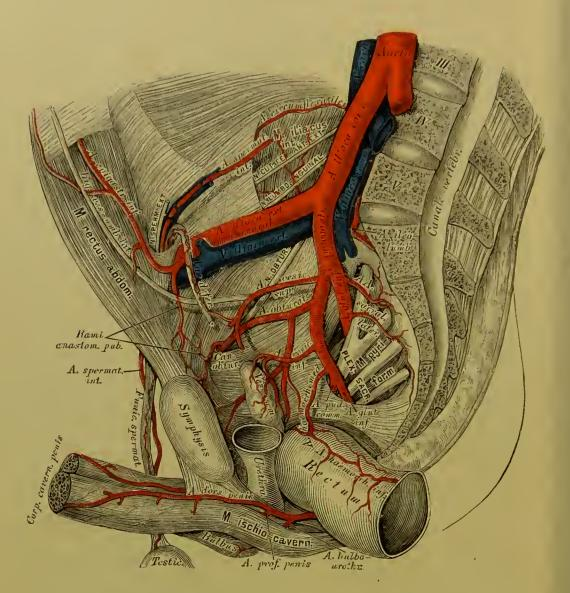
580. Horizontalschnitt durch den Unterleib, in der Höhe des I. Lendenwirbels. Nach W. Braune. 1/2 natürlieher Grösse.



581. Verlauf und Verästlung der Bauchaorta. Präparat von einem Kinde. Natürliche Grösse.

4. Die Lendenarterien, Arteriae lumbales, bilden fünf aus dem hinteren Umfange der Aorta entspringende Paare, welche hinter dem M. psoas major nach aussen gehen. Jede derselben theilt sich in je einen Ramus posterior, mit dem Ramus spinalis für das Rüekenmark und dessen Häute, und je einen Ramus anterior für die breiten Bauchmuskeln. Zählt man die am unteren Rande der zwölften Rippe verlaufende Arterie zu den Intercostal-Arterien, so bleiben nur vier Paar Lendenarterien.

Die Aorta abdominalis theilt sieh vor dem IV. Lendenwirbel in die beiden Arteriae iliacae communes. Die letzteren ziehen gegen die Symphysis sacro-iliaca herab und zerfallen in der Höhe des Promontorium in die Art. hypogastrica und die Art cruralis. Zwisehen beiden Arteriae iliacae communes entspringt die Art. sacralis media, welche bis zum Steissbein herabzieht. Sie gibt seitliche Aeste ab, welche sieh wie Arteriae lumbales verhalten, versorgt zum Theile den M. psoas major, den M. iliacus internus und den Mastdarm.

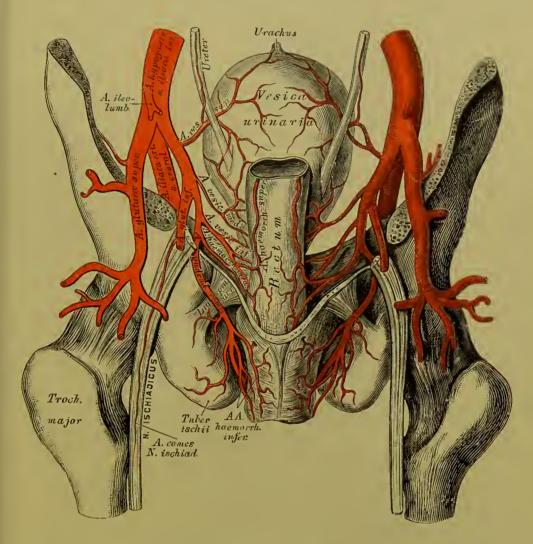


582. Verlauf und Verästlung der Beckenarterien.

Die Beekenarterie, Art. hypogastrica s. iliaca interna gelangt vor der Symphysis sacro-iliaca in das kleine Beeken; ihre Aeste sind beim Erwachsenen vordere und hintere, welche die Eingeweide des Beekens, das Gesäss und die äusseren Genitalien mit Blut versorgen.

Die hinteren Aeste der Art. hypogastrica sind:

- a) Die Art. ileo-lumbalis zieht hinter dem M. psoas major aus- und aufwärts, gibt den Ramus iliaeus für den gleiehnamigen Muskel und den Ramus lumbalis für die Lendenmuskeln.
- b) Die Arteriae sacrales laterales, eine obere grössere und eine untere kleinere für den M. pyriformis, levator ani und coccygeus. Zweige derselben gelangen durch die vorderen Kreuzbeinlöcher zum Endstücke des Rückenmarkes, andere durch die hinteren Kreuzbeinlöcher zu den langen Rückenmuskeln.

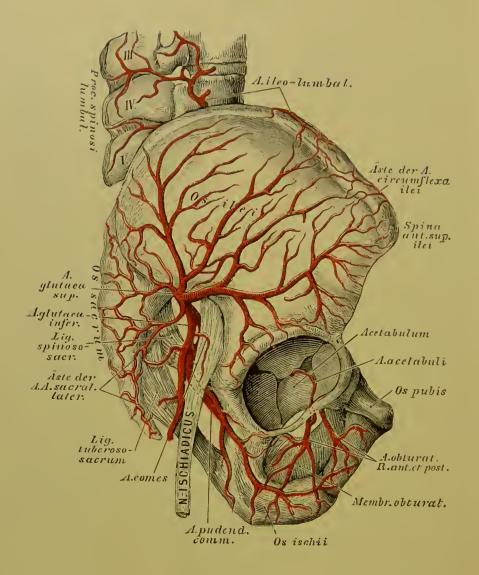


583. Verlauf und Verästlung der Beckenarterien.
Ansieht von hinten, nach Abtragung der hinteren Beckenwand.

e) Die Art. glutaea superior, der stärkste Ast der Art. hypogastrica, dringt über dem M. pyriformis durch die Incisura ischiadica major zu den Gesässmuskeln; einer ihrer Zweige zieht zwischen M. glutaeus magnus und medius vorwärts, der andere stärkere dringt zwischen M. glutaeus medius und minimus ein. Beide zerfallen in eine Anzahl von Zweigen.

Die vorderen Aeste der Art. hypogastrica sind:

a) Die Art. obturatoria geht in Begleitung des N. obturatorius durch den Canalis obturatorius und zerfällt am oberen Rande des M. obturatorius in einen Ramus anterior und einen posterior. Der erstere verästelt sieh im M. adductor femoris longus et brevis, pectineus und gracilis; der letztere sendet die Art. acetabuli zum Lig. teres des Obersehenkelkopfes und löst sieh sehliesslich in den Auswärtsrollern auf.



### 584. Die Arterien an der Hüfte.

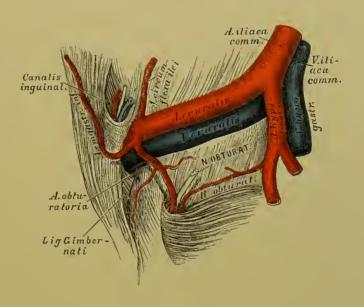
Präparat von einem Kinde.

Die Art. obturatoria versorgt noch innerhalb des Beckens den M. iliacus, obturator internus und levator ani und sendet den Ramus anastomoticus zur Schamfuge (s. Fig. 582).

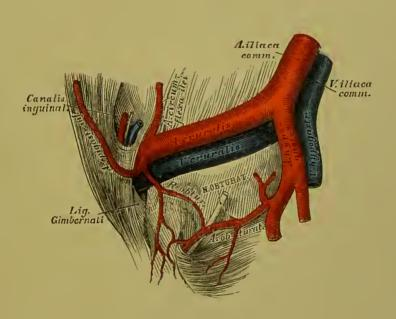
Die zwei wichtigsten Abnormitäten im Ursprunge und in der Verbindung der Art. obturatoria und Art. epigastrica inferior sind aus Fig. 585 und 586

ersichtlich.

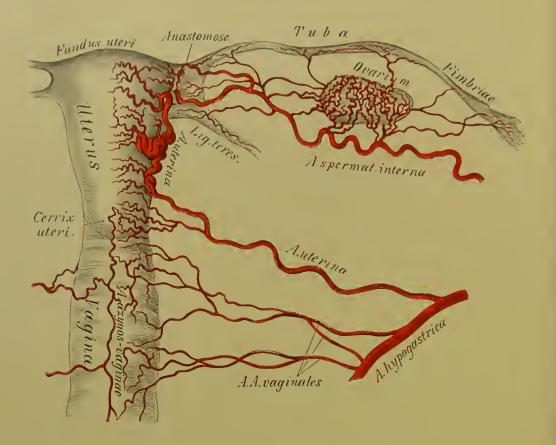
- b) Die Art. glutaea inferior seu Art. ischiadica verlässt die Beckenhöhle unter dem M. pyriformis gemeinsam mit dem N. ischiadicus, sie versorgt die Auswärtsroller des Oberschenkels und die vom Tuber ischii entspringenden Beuger des Unterschenkels. Ein feiner Ast begleitet als Art. comes N. ischiadici den N. ischiadicus.
- e) Die Arteriae vesicales, eine superior und inferior, häntig auch eine media. Die superior versorgt die hintere Wand und den Scheitel der Harnblase; die inferior den Blasengrund, die Samenbläschen, die Prostata und beim Weibe die Vagina (s. Fig. 587). Beim Manne sendet sie überdies die Art. vasis deferentis ab, welche bis zum Nebenhoden gelangt.



585. Anomaler Ursprung der Arteria obturatoria aus einem gemeinsamen Stamme mit der Arteria epigastrica inferior.



586. Anomaler Verbindungsast zwischen Arteria obturatoria und Arteria epigastrica inferior.



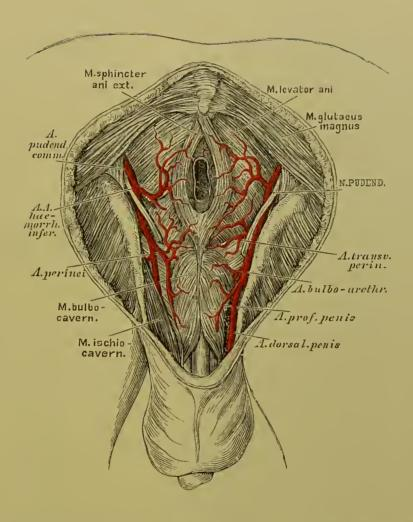
#### 587. Die Arterien der inneren weiblichen Genitalien.

Hintere Ansicht. Nach einem Präparate von Hyrtl.  $^2/_3$  der natürlichen Grösse.

- d) Die Art. uterina zieht in zahlreiehen Windungen zum Gebärmutterhalse, steigt am Seitenrande des Uterus bis zu dessen Grunde, versorgt mit Zweigehen die Vagina und die Portio vaginalis uteri und anastomosirt sehliesslich mit der Art. spermatien interna. Ein im Lig. teres verlanfender Zweig gelangt in den Leistenkanal und verbindet sieh mit der Art. epigastrica inferior.
- e) Die Art. pudenda communis geht durch das Foramen ischiadicum majus ans der Beckenhöhle und durch das Foramen ischiadicum minus wieder in dieselbe zurück. Sie zicht an der Innenfläche des Sitzbeins herab, krümmt sich nach vorne und oben gegen den Schambogen und zerfällt hier in die Art. profunda und Art. dorsalis penis s. clitoridis.

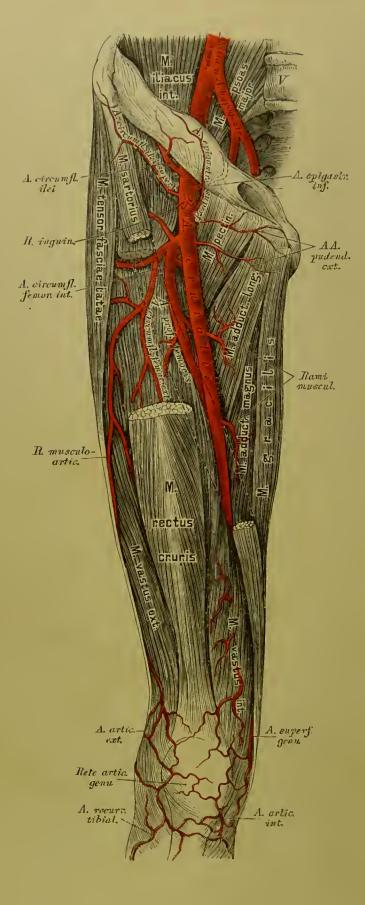
Die Zweige der Art. pudenda communis sind:

- 1. Die Art. haemorrhoidalis media noch innerhalb der Beckenhöhle;
- 2. die Arteriae haemorrhoidales inferiores, zwei bis drei an der Zahl, gelangen durch das Cavum ischio-rectale zum M. levator ani und zum After;
- 3. die Art. perinei, welche durch den M. transversus perinei hindurch vorwärts zieht und beim Manne die Arteriae scrotales posteriores, beim Weibe die Arteriae labiales posteriores erzengt.



588. Die Verästlung der Arteria pudenda communis.

- 4. Die Art. transversa perinei, für die Gegend zwischen Anus und Bulbus urethrae, ist entweder ein Zweig der Art. perinei oder der Art. pudenda communis;
- 5. die Art. bulbo-wrethralis versorgt den Bulbus urethrae und die Cowperschen Drüsen;
- 6. die Art. profunda penis (clitoridis) dringt in den Anfangstheil des entsprechenden Corpus cavernosum:
- 7. die Art. dorsalis penis (clitoridis) zieht in der Furche am Penisrücken vorwärts und begleitet mit der gleichnamigen Arterie der anderen Seite die Dorsalvene des Penis. Beim Embryo entsteht direct aus der Art. hypogastrica die Art. umbilicalis, welche convergirend mit jener der andern Seite zum Nabel und von da in die Nabelsehnur gelangt und sieh in der Placenta verzweigt. Nach der Geburt werden die Nabelarterien undurchgängig und bilden die Ligamenta vesico-umbilicalia lateralia. Die Obliteration sehreitet bis zum Ursprunge der Art. vesicalis superior.



# **589.** Verlauf und Verästlung der *Arteria cruralis.*

Die Schenkelarterie. Art. cruralis s. femoralis, zieht an der Innenseite des M. psoas major zur Lacuna vasorum cruralium, mach aussen von der V. cruralis in einer gemeinsamen Scheide mit der letzteren. An der vorderen Fläche des Oberschenkels herabgehend, durchbohrt sie die Sehne des M. adductor magnus, um in die Kniekehle zu gelangen, und zertheilt sieh unter dem oberen Rande des M. soleus in die Art. tibialis antica und postica. Sie wird abgetheilt: in ein Banchstück, ein Schenkelstück und Kniekehlenstück.

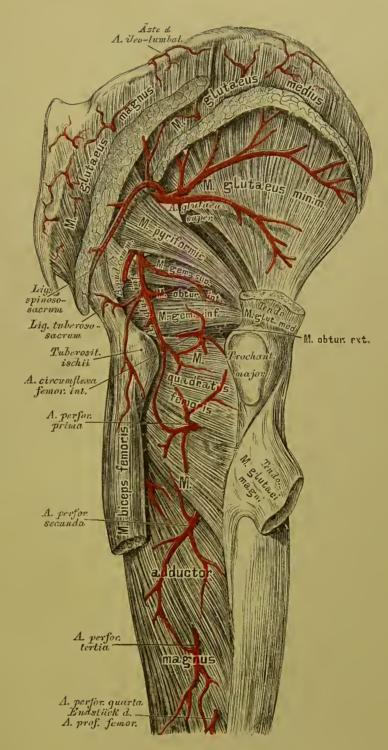
Ans dem Bauchstücke, welches auch Art. iliaca externa heisst, entspringen in gleicher Höhe mit dem Lig. Ponpartii:

a) Die Art. epigastrica inferior. Sie zieht anfangs einwärts, dann aufwärts, gelangt an den äusseren Rand des M. rectus abdominis, um über dem Nabel mit der Art. epigastrica superior (aus der Art. mammaria interna) zu anastomosiren (s. Fig. 560 und 582). Ans ihr entspringen der Ramus anastomoticus pubicus: die Art. spermatica externa zum Samenstrange und den Scheiden des Hodens und zahlreiche Rami musculares.

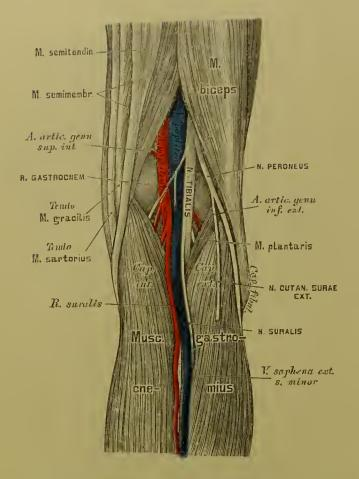
b) Die Art. eireumflexa ilei (s. Fig. 581) läuft aufund auswärts längs der Crista ossis ilei. Sie versorgt die vom Darmbeinkamme entspringenden Muskelu.

Das Schenkelstück der Art. femoralis — vom Poupart'schen Bande bis zum Durchtritt durch die Adductorschne — bildet folgende Zweige:

- 1. Ramuli inguinales;
- 2. Art. epigastrica superficialis, häufig auch eine Art. circumflexa ilei superficialis, sämmtlich für die Haut:
- 3. Arteriae pudendae externae quer nach innen, deren untere die Arteriae serotales s. labiales anteriores erzeugt;
- 4. die Art. profunda femoris, der stärkste Ast der Art. femoralis, versorgt alle Muskeln des Oberschenkels. Sie entspringt  $2^{1/2}-4$  Ctm. unter dem Poupart'schen Bande, geht in die Tiefe zwischen M. adductor longus und brevis und durchbohrt schliesslich den M. adductor ma-Sie erzeugt umschlungene Aeste: die circumflexa femoris interna und die Art. circumflexa femoris externa. Erstere geht am Trochanter minor nach hinten und zerfällt, nachdem sie an der Innenseite des Obersehenkels befindlichen Muskeln versorgt hat, in einen auf- und einen absteigenden Endast.



590. Die Arterien an der äusseren Seite der Hüfte und der hinteren Seite des Oberschenkels.



591. Topographische Anatomie der Kniekehle.

Die letztere zieht unter dem M. rectus femoris nach aussen, betheiligt die Muskeln an der Vorder- und Aussenseite des Schenkels. sendet den Ramus musculoarticularis zum Knie herab und durchbohrt schliesslich den M. vastus externus. Die durchbohrenden Aeste der Art. profunda femoris, Arteriae perforantes (s. Fig. 590), gelangen durch die Sehnen der Adductoren an die hintere Seite des Oberschenkels. Es werden deren drei gezählt, während das Endstück der Art. profuuda die vierte Art. perforans darstellt.

5. Rami musculares für die Oberschenkelmuskeln.

6. Die Art. superficialis genu geht zum Condylus internus femoris und anastomosirt mit der Art. articularis superior interna aus der Art. poplitea.

Das Knickehlenstück der Art. cruralis heisst Art. poplitea und bildet Muskel- und Gelenkarterien. Die letzteren, welche das Rete articulare genu erzeugen, sind folgende:

Die Arteriae articulares genu superiores, eine grössere externa und eine kleinere interna;

die Arteriae articulares genu inferiores, gleichfalls eine externa und eine interna;

die Art. articulationis genu media für die inneren Bänder des Kniegelenkes. Die vier ersteren liegen dicht am Knochen, die letztere durchbohrt das Lig. popliteum und die hintere Kapselwand, um in die Höhle des Kniegelenkes zu dringen.

### **592.** Verlauf der Arteria tibialis antica.

Die Art. poplitea theilt sieh in die vordere und hintere Schienbeinarterie.

1. Die Art. tibialis antica zieht durch das obere Spatium interosseum an die Vorderfläche des Lig. interosseum und verläuft zwischen M. tibialis anticus und M. extensor digitorum communis longus, weiter unten zwischen M. tibialis anticus und M. extensor hallucis. Am Sprunggelenke liegt sie auf der Kapsel und gelangt als Art. dorsalis pedis auf den Fussrücken. Ihre Zweige sind auf diesem Wege:

Die Arteriae recurrentes tibiales zum Rete articulare genu;

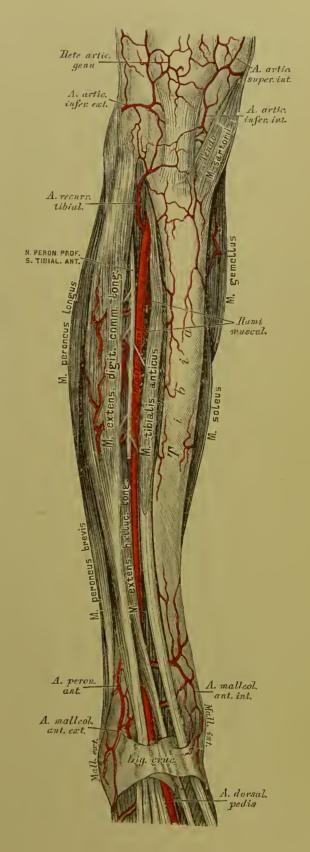
Rami musculares, 10—20 an der Zahl, für die Muskeln an der Vorderseite des Unterschenkels;

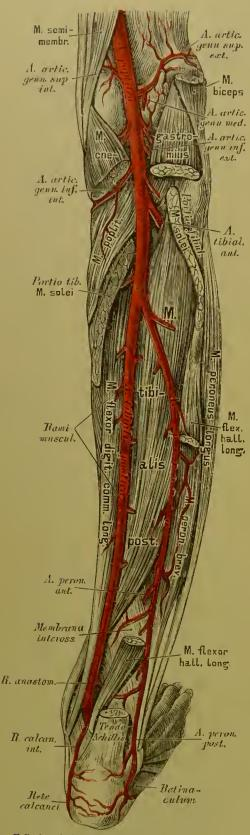
zwei Arteriae malleolares anteriores, eine externa und eine interna, sie helfen das Rete malleolare bilden.

Aus der Art. dorsalis pedis entstehen (s. Fig. 593):

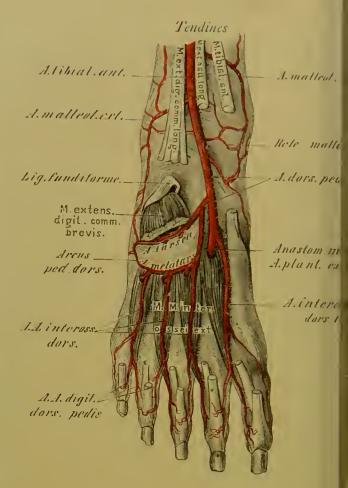
Die Art. tarsea zum äusseren Fussrande, woselbst sie mit der Art. malleolaris anterior externa und mit der Art. metatarsea anastomosirt;

die Art. metatarsea entspringt tiefer unten isolirt oder gemeinsam mit der Art. tarsea und bildet am äusseren Fussrande mit dieser den Arcus pedis dorsalis. Sie gibt drei Arteriae interosseae dorsales ab, welche sich wieder in die Arteriae digitales pedis dorsales theilen, und eine Art. digitalis dorsalis externa für die kleine Zehe.





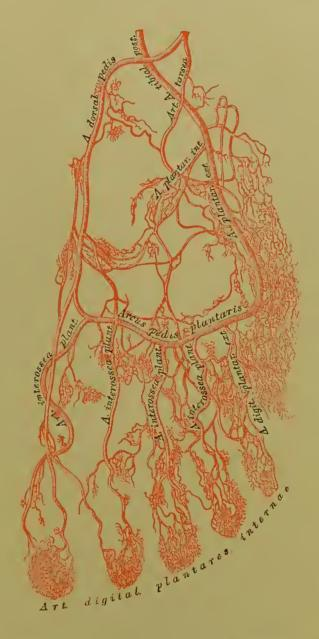
**594.** Verlauf der Arteria tibialis postica.



#### 593. Die Arterien am Fussrück

Die erste Art. interossea dorsalis entsteht directed der Art. dorsalis pedis und theilt sieh in drei Arteria tales dorsales für beide Seiten der grossen Zehe un innere Seite der zweiten Zehe. Hierauf dringt die dorsalis pedis zwischen den Basen des I. und II. Ostarsi in die Planta pedis, um daselbst mit der Artaris externa den Arens plantaris zu erzeugen.

2. Die Art. tibialis postica verläuft auf M. tibialis posticus und M. flexor digitorum longus Sprunggelenke hinter den Malleolus internus: hi krümmt sie sieh in die Planta pedis und zertheilt in die Art. plantaris externa und interna.

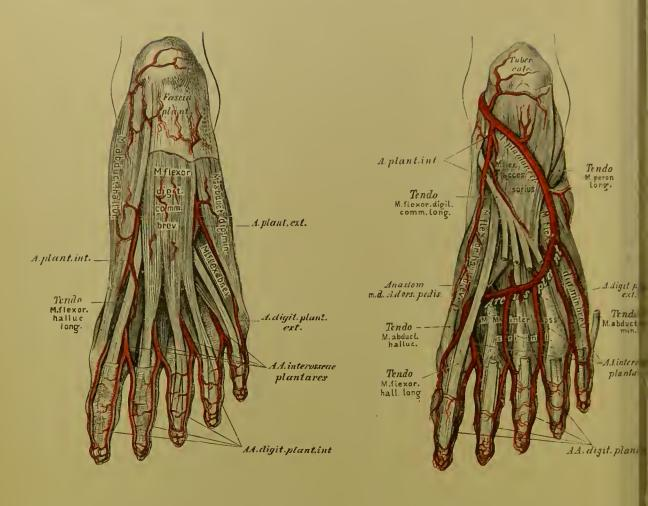


595. Die Arterien des Fusses.

Nach einem Corresions-Präparate von Hyrtl. 2/3 der natürlichen Grösse.

Der stärkste Zweig der Art. tibialis postica ist die Art. peronea. Dieselbe läuft an der hinteren Seite des Wadenbeins zwischen M. flexor hallueis longus und M. tibialis posticus, versorgt die tiefen Wadenmuskeln und theilt sich über dem äusseren Knöchel in die Art. peronea anterior et posterior.

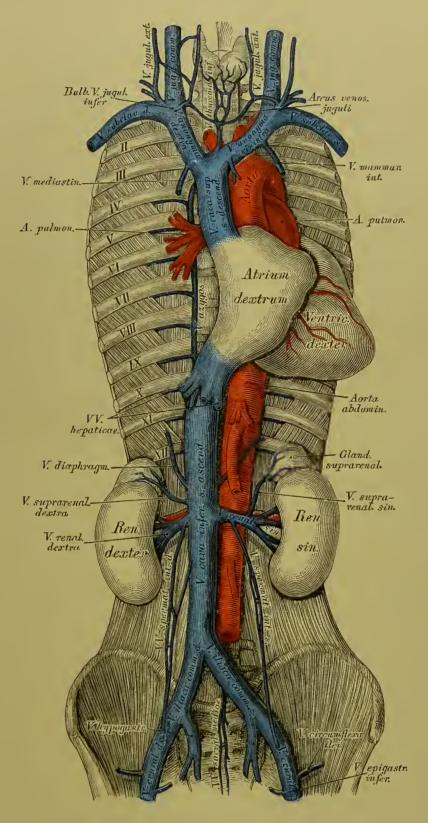
Die Art. tibialis postica gibt ferner ab: die Art. nutritia tibiae: 10—15 Rami musculares: einen Ramus anastomoticus zur Art. peronea: die Arteriae malleolares posteriores, eine externa und eine interna: endlich Rami calcanei interni.



596, 597. Die Arterien des Plattfusses.

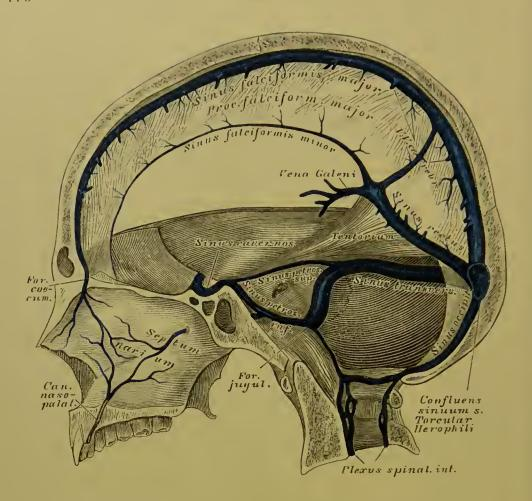
Am Plattfusse heissen die Endäste der Art. tibialis postica: Art. plantaris interna und Art. plantaris externa. Die erstere, schwächere liegt zwisehen M. abductor pollicis und M. flexor communis digitorum brevis; sie entsendet Rami superficiales und profundi für Haut und Muskeln am inneren Plattfussrande.

Die Art. plantaris externa geht über dem M. flexor digitorum brevis auswärts, erzeugt Zweige für Hant und Muskeln und für die Aussenseite der kleinen Zehe die Art. digitalis plantaris externa. Hierauf bildet sie, von der Basis des Os metatarsi V. einwärts ziehend, gemeinsam mit der im Interstitium interosseum I. in den Plattfuss dringenden Art. dorsalis pedis den Arcus plantaris. Aus diesem gehen vier Arteriae interosseue plantares ab, welche perforirende Aeste zum Fussrüeken senden und sieh gabelförmig in je zwei Arteriae digitales plantares zerspalten, für die einander zugekehrten Seiten je zweier Zehen. Nur die Art. interossea plantaris prima bildet drei Zweige. um auch die innere Seite der grossen Zehe mit einer Art. digitalis plantaris interna zu versorgen.



598. Das System der beiden Hohlvenen.

476 Venen.



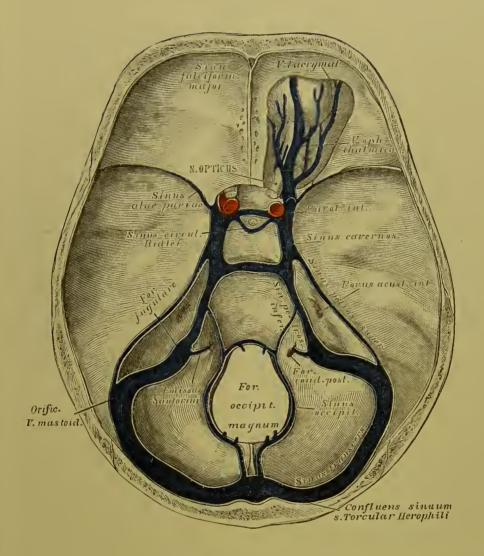
599. Die Blutleiter der harten Hirnhaut.
In Seitenansicht.

Das Venenblut kehrt in zwei Hauptstümmen, der Vena cava superior s. descendens und V. cava inferior s. ascendens. in die rechte Vorkammer zurück.

Die obere Hohlvene, V. cava superior, zieht reehts von der aufsteigenden Aorta, vor den Gefässen der reehten Lunge herab zur rechten Vorkammer des Herzens. Sie wird durch den Zusammenfluss der beiden Venae innominatae s. anonymae gebildet und nimmt die V. azygos auf. Zur Bildung je einer V. innominata concurriren: die V. jugularis communis, die V. jugularis externa und die V. subclavia. Nach der Vereinigung dieser drei Venen münden in den Stamm der Venae innominatae noch: die Venae vertebrales, die Venae mammariae internae, Venae intercostales superiores, die Venae thymicae, pericardiaeae, phrenicae superiores und mediastinicae anteriores. In die linke V. anonyma mündet auch die V. thyreoidea ima.

Die V. jugularis communis reicht bis in das obere Halsdreieck an der äusseren Seite der Carotis communis, woselbst sie durch die Vereinigung der V. jugularis interna und der V. facialis communis erzeugt wird.

Venen. 477



#### 600. Die Blutleiter der harten Hirnhaut. In Vogelsicht.

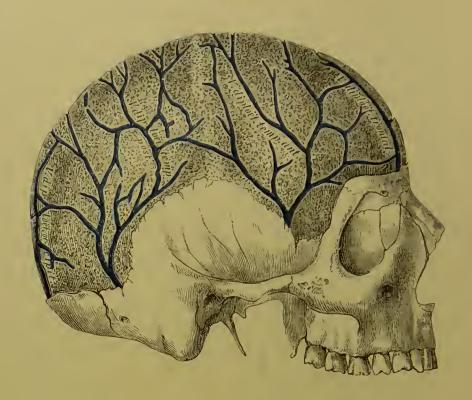
Die V. jugularis interna tritt aus dem Foramen jugulare, weselbst sie eine Anschwellung, den Bulbus superior, bildet, und nimmt die Venae pharyngeae, öfter eine V. lingualis auf. Im Foramen jugulare hängt sie mit dem Sinus transversus zusammen.

Die Blutleiter der harten Hirnhaut, Sinus durae matris, sind theils

paarig, theils unpaar.

1. Der grösste unpaare Blutleiter heisst Confluens sinuum s. Torcular Herophili; derselbe liegt ver der Protuberantia occipitalis interna und ist der Sammelpunkt sämmtlicher Blutleiter. 2. Der Sinus transversus ist paarig. 3. Der Sinus falciformis major verläuft im oberen Rande des Sichelfortsatzes. 4. Der Sinus falciformis minor im unteren Rande desselben. 5. Der Sinus rectus steigt schief nach hinten. 6. Der Sinus cavernosus (paarig) an der Seite der Sella turcica; seine Verlängerung bilden die Sinus alae parvae, beide hängen durch den Sinus circularis Ridlei zusammen. 7. Der Sinus petrosus superior am oberen Rande der Felsenbeinpyramide. 8. Der Sinus petrosus inferior zwischen Clivus und Pyramide (beide paarig). 9. Der Sinus occipitalis umgibt das gresse Hinterhauptloch.

478 Venen.



601. Die Venen der *Diploë*,
nach Entfernung der äusseren Tafel der Schädelknochen.
Nach Breschet (Gray).

Die Gehirnvenen, Venae cerebrales, sind folgende: Venae cerebrales superiores zum Sinus longitudinalis superior; die V. cerebri magna s. V. Galeni zum Sinus rectus; die Venae cerebrales inferiores zum Sinus cavernosus, petrosus superior und Sinus transversus; die Venae cerebelli superiores zum Sinus rectus und die Venae cerebelli inferiores zum Sinus petrosus inferior, transversus und occipitalis.

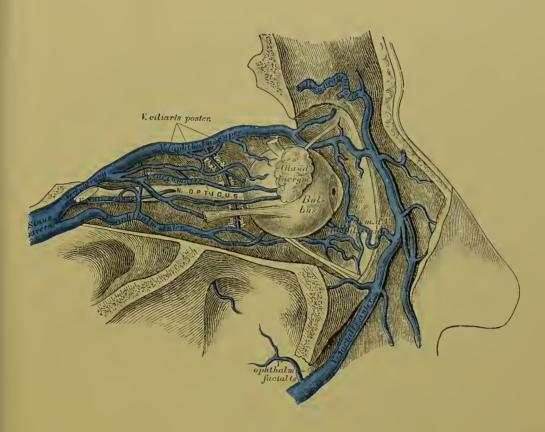
Die Venae meningeae münden in die zunächst liegenden Blutleiter.

Die Venen der *Diploë* entleeren sich theils in die *Sinus durae matris*, theils in die äusseren Schädelvenen.

Die Venae auditivae internae sind unbedeutend.

Die V. ophthalmica beginnt am inneren Augenwinkel, gelangt an der inneren Augenhöhlenwand rückwärts zur Fissura orbitalis superior und entleert sich in den Sinus cavernosus. Folgende Venen bilden dieselbe: V. frontalis, V. sacci lacrymalis, Venae musculares, Venae ciliares, V. glandulae lacrymalis: V. centralis retinae und V. ophthalmica inferior.

Vonen, 479



602. Die Venen der Augenhöhle. Nach E. Sesemann. Natürliche Grösse.

Die V. facialis communis nimmt am Wege zwisehen Unterkieferwinkel und V. jugularis interna die V. thyrcoidea superior auf. Sie entsteht aus der vorderen und hinteren Gesiehtsvene.

- a) Die V. facialis anterior beginnt an der Nasenwurzel als V. angularis, anastomosirt hier mit der V. ophthalmica und nimmt folgende Venen auf: V. supraorbitalis; Venae nasales dorsales und laterales; Venae palpebrales inferiores; Venae labiales superiores et inferiores; Venae buccales et massetericae; V. submentalis; V. palatina; V. ranina.
- b) Die V. facialis posterior bezieht folgende Venen: V. temporalis superficialis; V. temporalis media; Venae auriculares anteriores; Venae transversae faciei; Venae parotideae und die V. maxillaris interna.

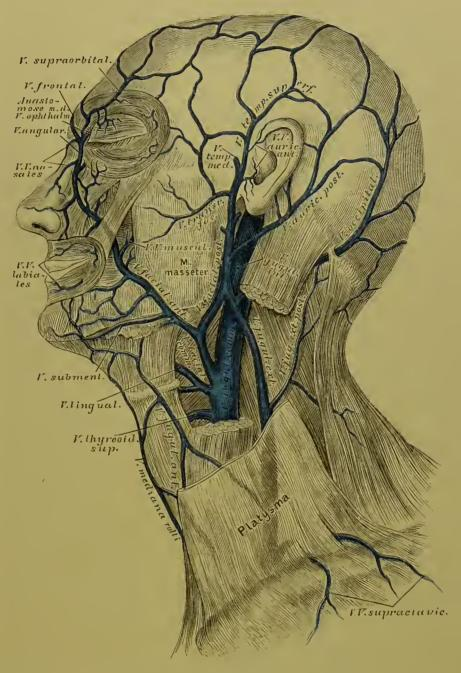
Die oberflächlichen Halsvenen sind:

a) V. jugularis externa, aus den Venae occipitales und auriculares posteriores hervorgegangen, nimmt die V. jugularis externa posterior auf und mündet im Vereinigungswinkel der V. subclavia und V. jugularis communis.



603. Die Venen des Kopfes. Nach E. Sesemann. ½ der natürlichen Grösse.

- b) Die V. jugularis anterior geht aus oberflächlichen Venen der Unterkinngegend hervor, zieht am vorderen Rande des M. sterno-cleido-mastoideus in die Drosselgrube herab, ist mit dem gleichnamigen Gefässe der andern Seite durch den Arcus venosus juguli verbunden und zieht horizontal nach aussen, um in die V. jugularis communis zu münden.
- c) Die V. mediana colli geht in der Mittellinie zur Drosselgrube, wo sie sich in den Arcus venosus juguli, oder in die V. jugularis anterior oder communis einsenkt. Sie fehlt nicht selten vollständig.



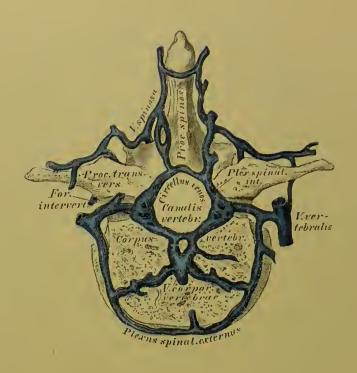
#### 604. Die Venen des Gesichtes und des Halses.

Die tiefen Halsvenen sind nebst der V. pharyngea, lingualis und thyreoidea superior folgende:

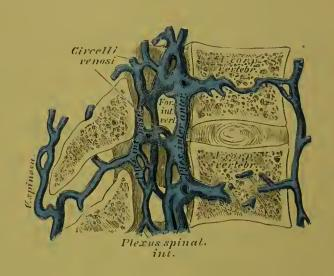
a) Die V. vertebralis verläuft im Kanale der Halswirbelquerfortsätze und nimmt die Venen aus dem Wirbelkanale und dem Nacken auf; schliesslich ergiesst sie sich in die V. anonyma oder V. subclavia.

b) Die V. thyrcoidea inferior nimmt Venen aus dem Pharynx und Larynx auf, verbindet sich mit dem gleichnamigen Gefässe der andern Seite, erzeugt dadurch den Plexus thyrcoideus imus, hierauf die V. thyrcoidea impar, welche in die V. anonyma sinistra mündet.

Venen.



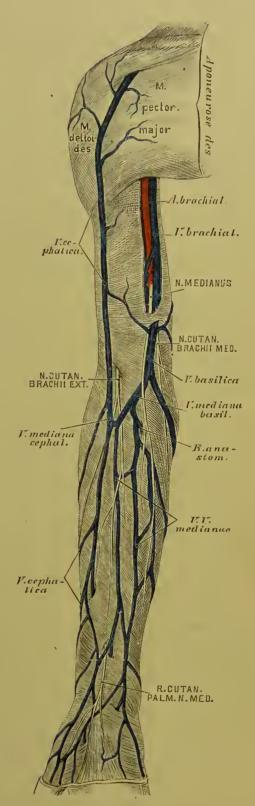
605. Die Venengeflechte der Wirbelsäule am Querschnitte. Nach Breschet (Gray).



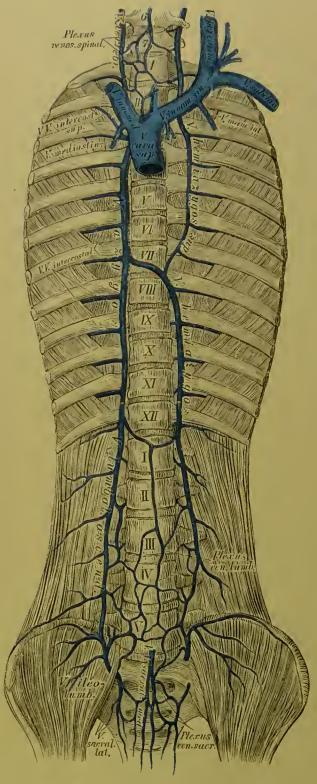
606. Die Venengeflechte des Wirbelkanales. Längsschnitt von zwei Rückenwirbeln. Nach Breschet (Gray).

Die Schlüsselbeinvene, V. subclavia, nimmt die Venen des Armes und der Schulter auf. Dieselben sind:

- 1. Venae profundae brachii, für die Art. brachialis und deren Zweige, welche sie begleiten, doppelt. Sie entspringen als Venae digitales volares, bilden den Arcus venosus sublimis et profundus, hierauf Venae radiales et ulnares, schliesslich zwei Venac brachiales, welche sieh zur einfachen V. axillaris vereinigen, deren directe Fortsetzung die V. subclavia ist.
- 2. Venae subcutaneae brachii zwischen Haut und Faseie, welche, vielfach unter einander anastomosirend, aus dem Rete venosum manus dorsale hervorgehen.
- a) Die Vena cephalica hat ihre Wurzeln am Daumenrücken, zieht an die innere Seite des Vorderarmes, über den Ellbogen in den Sulcus bicipitalis externus, dann zwischen M. pectoralis major und M. deltoides, um im Spalte zwischen diesen Muskeln in der Fossa infractavicularis in die V. axillaris einzugehen.
- b) Die V. basilica zieht längs der Ulnarseite des Vorderarmes häufig doppelt, hierauf einfach im Sulcus bicipitalis internus aufwärts, durchbohrt in der Mitte des Oberarmes die Faseie und mündet in die tiefliegende V. brachialis interna.
- e) Die V. mediana erseheint einfach oder doppelt als V. mediana erphaliea und V. mediana basiliea; die letztere pflegt die stärkere zu sein. Constant ist ein Ramus anastomoticus zur tiefen V. radialis oder V. brachialis.



607. Die Hautvenen der oberen Extremität.



608. Das System der Vena azygos und Vena hemiazygos.
(Halbsehematisch.)

Die Venen der Brustwand sammeln sieh zur V. azygos. Dieselbe geht zur rechten Seite der Wirbelsäule aus dem Plexus venosus lumbalis hervor, zieht zwischen innerem und mittleren Schenkel des Zwerchfells in die Brusthöhle bis zum III. Brustwirbel. wo sie sich über den rechten Bronchus behufs Einmündung in die V. eava superior wendet. In die Vena azygos ergiessen sich die Venen der Luftröhre, der Speiseröhre und der Brustwand.

Die entsprechende Vene auf der linken Seite ist die V. hemiazygos, welche nur bis zum VII. oder VIII. Brustwirbel aufsteigt, dann hinter der Aorta zur V. azygos zieht. Die oberen linken Venae intercostales vereinigen sich in der Regel zur V. hemiazygos superior, welche in die Vena hemiazygos einmündet, aber auch mit der V. anonyma sinistra in Verbindung steht. Die 1. azygos und hemiazygos zeigen übrigens in ihrem Ursprunge und Verlaufe zahlreiehe Varianten.

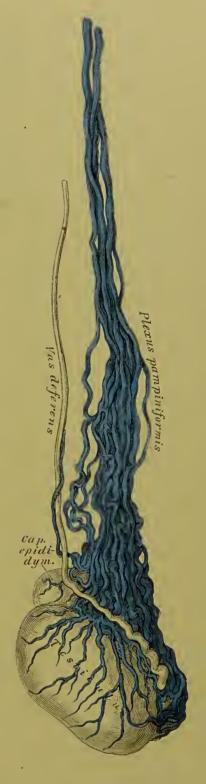
# 609. Das Venengeflecht des Samenstranges, Plexus pampiniformis.

Die untere Hohlvene, V. cava inferior, geht aus der rechten und linken Hüftvene, V. iliaca communis, hervor. Sie dringt durch das Foramen quadrilaterum des Zwerchfells in den Herzbeutel, um sofort in die hintere Wand der rechten Vorkammer des Herzens einzumünden. — Jede V. iliaca communis entsteht aus der Vereinigung der V. cruralis und V. hypogastrica. Die linke V. iliaca communis ist länger als die rechte, erstere nimmt auch die beiden Venac sacrales mediae auf.

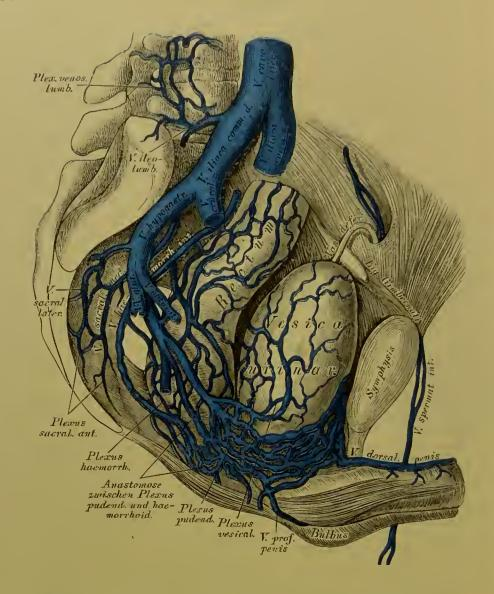
In die V. cava inferior ergiessen sich:

- a) Die Venac lumbales, welche vielfach unter einander anastomosiren und den Flexus venosus lumbalis erzeugen;
- b) die Venae spermaticae internae gehen aus dem Plexus pampiniformis des Samenstranges hervor, verlaufen einfach oder doppelt, rechts direct zur Vena cava inferior, links zur Vena renalis;
- e) die Venae renales, die rechte schräg aufsteigend, die linke hingegen in querer Richtung verlaufend;
- d) die Venae suprarenales, deren linke sieh in der Regel in die V renalis sinistra einsenkt;
- e) die Venae hepaticae, zwei bis drei grössere und mehrere kleinere;
  - f) die Venae phrenicae.

Beim Embryo mündet auch die V. umbilicalis in die V. cava inferior, wodurch diese arterielles Blut erhält (s. Fig. 619).



486 Venen



#### 610. Die Venen des männlichen Beckens.

Die Hüftvene, V. iliaca communis, welche aus den Venen des Beckens und der unteren Extremität hervorgeht, wird zunächst durch die V. lypogastrica s. iliaca interna und die V. cruralis s. iliaca externa zusammengesetzt.

Die V. hypogastrica entsteht aus den doppelten Venac gluteae superiores et inferiores, ileo-lumbales, obturatoriae, sacrales laterales, den Venen der Harnblase, des Mastdarmes und der Geschlechtstheile. Letztere bilden folgende Geflechte:

Plexus haemorrhoidalis, im Zusammenhange mit dem Pfortader-System; Plexus vesicalis, in Verbindung mit dem Plexus haemorrhoidalis und pudendalis:

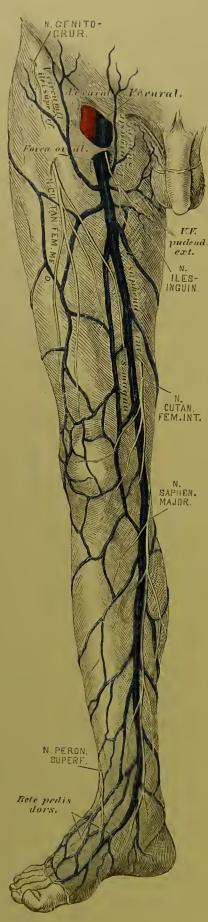
Plexus pudendalis, beim Manne um die Prostata gelegen, von den Venen dieser, dann der Samenbläschen, den Venae profundae penis und der V. dorsalis penis gebildet.



#### 611. Durch Arterien und Venen injicirte schwangere Gebärmutter.

Ansicht von vorne.  $\frac{2}{3}$  der natürlichen Grösse. Nach Hyrtl.

Beim Weibe heisst der Plexus pudendalis: Plexus utero-vaginalis. Er umgibt die Vagina, beide Seiten des Ulerus bis an dessen Grund; anastomosirt mit den übrigen Geflechten des Beekens und mündet durch die kurzen Venac uterinae in die V. hypogastrica. Eine besonders starke Entwicklung erfährt das Venengeflecht des Ulerus in dessen schwangerem Zustande.



612. Die Hautvenen der unteren Extremität.



613. Die *Vena cruralis* eröffnet.

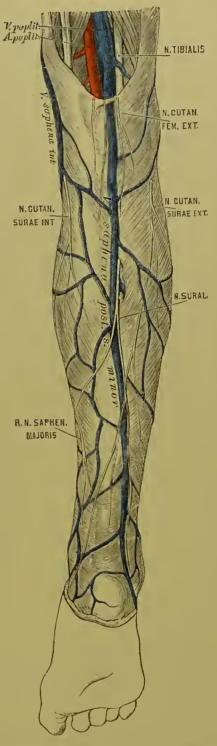
Natürliche Grösse.

### 614. Die Hautvenen der unteren Extremität.

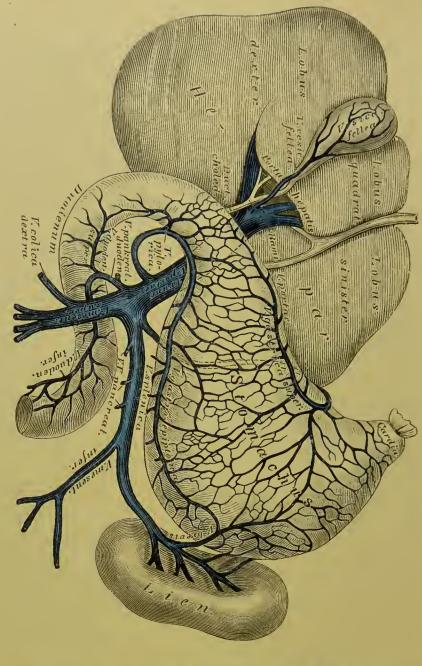
Die Venen der unteren Extremität vereinigen sieh zur V. erwalis s. iliaca externa. Diese bleibt gewöhnlich bis unter die Knickehle einfach; sie liegt in der Fossa ileopeetinea an der inneren Seite der Art. eruralis; tiefer unten, und in der Knickehle, wo sie V. poplitea heisst, hinter ihr.

Die Venen der unteren Extremität sind tief- und hoehliegende. Die ersteren verlaufen in Begleitung der Arterien, und zwar für den Unterschenkel in doppelter Zahl als Venae tibiales posticae, anticae und peroneae. Die hoehliegenden Venen gehen aus dem Rete venosum pedis dorsale hervor und sammeln sieh zu folgenden Stämmen:

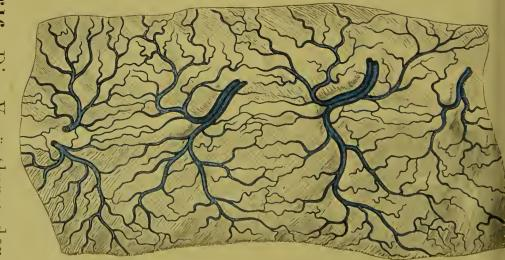
a) Die grosse Rosenvene, V. saphena magna s. interna, vorwiegend aus dem inneren Antheile des Rete dorsale, zieht vor dem inneren Knöehel zum Untersehenkel und über den Condylus femoris internus zum Oberschenkel. Durch die Fovea ovalis gelangt sie zur V. cruralis. In dieselbe entleeren sieh die Hautvenen der inneren und zum Theile der hinteren Seite der unteren Extremität, überdies die Venae pudendae externae, epigastricae superficiales und inquinales. Bisweilen ist sie in ihrem ganzen Verlaufe doppelt.



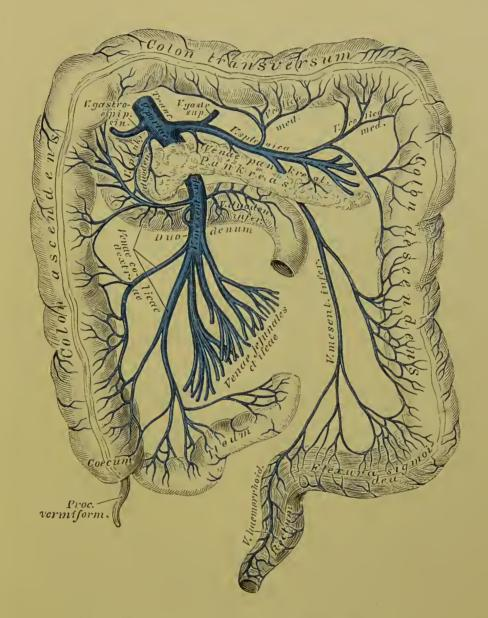
b) Die kleine Rosenvene, V. saphena minor s. posterior, steigt vom änsseren Fussrande hinter dem äusseren Knöchel neben der Achillessehne, dann zwisehen beiden Köpfen des M. gastroenemius in die Kniekehle, woselbst sie die Fascia poplitea durchbohrt und in die V. poplitea mündet.



615. Die Wurzeln der Vena portae.



616. Die Verästlung der Pfortaderwurzeln im Duodenum.



617. Die Wurzeln der Vena portae.

Die Pfortader, V. portae, sammelt ihre Wurzeln aus den Verdauungsorganen, um das Blut derselben der Leber zuzuführen. Die Wurzeln vereinigen sich zum Truncus venae portae, welcher sich in der Leber in Verzweigungen auflöst.

Die Wurzeln der V. portae sind:

- a) Die *V. gastrica superior* läuft am oberen Magenbogen von links nach rechts, sammelt das Blut aus dem oberen Theile des Magens und vom oberen Querstücke des Zwölffingerdarmes.
- b) Die V. mesenterica magna s. superior sammelt das Blut aus jenen Bezirken der Gedärme, welche von der Art. mesenterica superior und dem Ramus pancreatico-duodenalis der Art. hepatica versorgt wurden.



## 618. Die Leberverzweigungen der Pfortader eines Kindes.

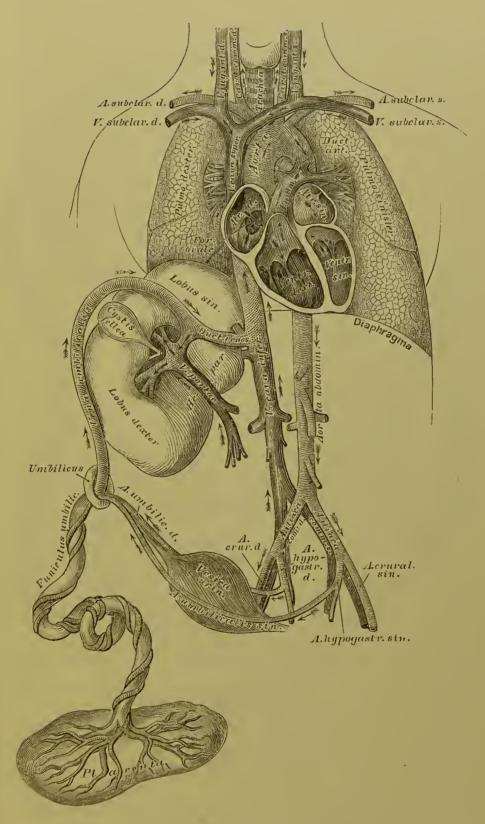
Nach einem Corrosions-Präparate von Hyrtl. 1/2 natürlicher Grösse.

- e) Die V. mesenterica inferior entspricht in ihren Wurzeln den Zweigen der gleichnamigen Arterie und entleert sich in der Regel in die V. splenica (s. Fig. 617).
- d) Die *V. splenica* zieht entlang dem oberen Rande der Bauchspeicheldrüse, um in die *Vena portae* zu münden.

Die Wurzeln der Pfortader vereinigen sieh hinter dem Kopfe der Bauchspeicheldrüse zum Truncus venae portae, welcher noch die V. gastro-epiploica und die V. cystidis felleae aufnimmt.

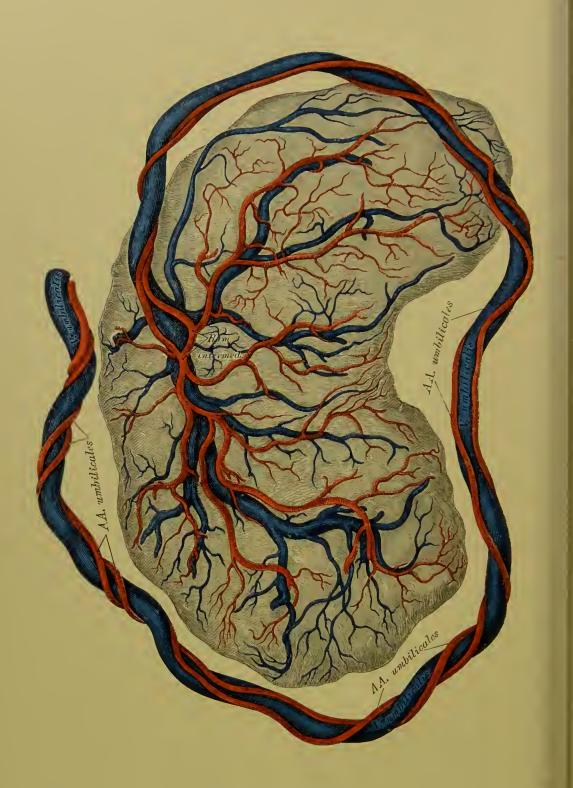
Die Verzweigungen der Pfortader in der Leber gehen zunächst ans zwei Aesten hervor und lösen sich in den Leberläppehen in Capillaren auf.

Die Verhältnisse, welche der Kreislauf des Fötus darbietet, sind aus Fig. 619 ersichtlich. In derselben ist das arterielle Blut (1. umbilicalis) durch Querstriche, das Venenblut — System der beiden Hohlvenen — durch Längsstriche, das gemischte Blut endlich, welches im gauzen Fötus eirculirt, durch gekrenzte Striche kenntlich gemacht. Die Stromrichtung des Blutes wird durch Pfeile angedentet.



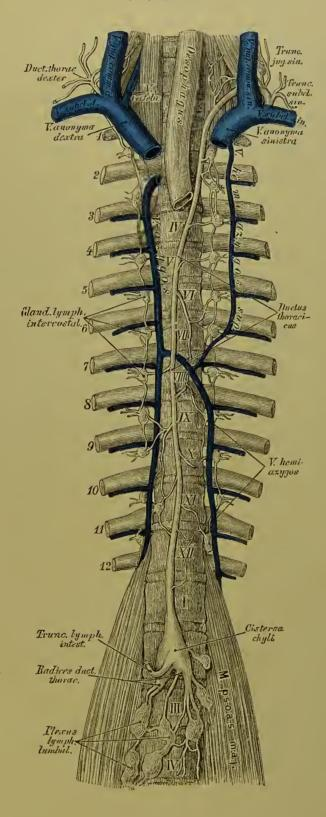
619. Schema des fötalen Kreislaufes.

494 Pfortader,

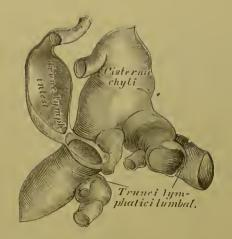


620. Die Placenta.

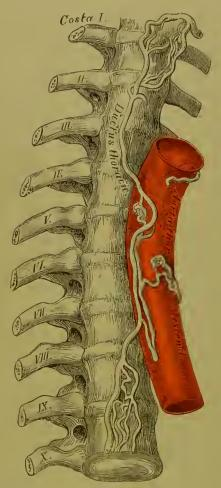
Nach einem Präparate von Hyrtl.  $^2/_3$  der natürlichen Grösse.



621. Der Ductus thoracicus.



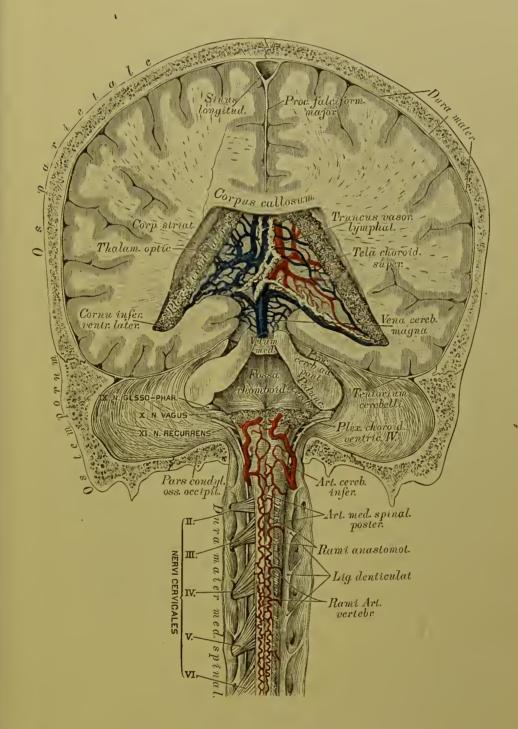
**622.** Die *Cisterna chyli.* Nach einem getroekneten Präparate. Natürliehe Grösse.



623. Ein in ein Geflecht zerfallener *Ductus thora*cicus. Nach einem Präparate von Teichmann.

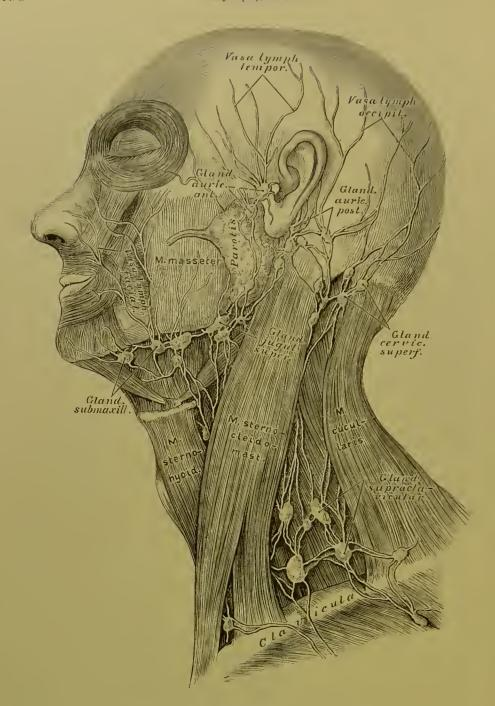
Der Milchbrustgang, Ductus thoracicus, bildet den Hauptstamm des Lymphgefäss-Systems. Derselbe geht an der vorderen Fläche des H. oder III. Lendenwirbels rechts und hinter der Aorta aus drei Wurzeln, Radices ductus thoracici, hervor, deren rechte und linke Trunci lymphatici lumbales heissen, während die mittlere den Truncus lymphaticus intestinalis darstellt. Die ersteren gehen aus den Plexus lumbales hervor, welche die Lymphgefässe des Beekens und der unteren Extremitäten sammeln; der letztere bildet die Vereinigung der Chylusgefässe des Verdauungskanales. Die Vereinigungsstelle dieser Wurzeln heisst Cisterna s. Receptaculum chyli.

Der Ductus thoracicus zieht mit der Aorta in den Brustraum, wo derselbe zwischen Aorta und V. azygos verlänft. In der Höhe des IV. Brustwirbels gelangt derselbe hinter der Speiseröhre nach links, biegt in der Höhe des IV. Halswirbels aus- und vorwärts und mündet in den Vereinigungswinkel der V. jugularis communis sinistra mit der V. subclavia sinistra. Er sammelt die Lymphgefässe des linken und des unteren Theiles der rechten Hälfte des Thorax, dann jene der linken Hals- und Kopfhälfte und der linken Oberextremität, durch den Truncus jugularis sinister und den Truncus subclavius sinister. Die Lymphgefässe des oberen Theiles der rechten Thoraxhälfte, sowie jene der rechten Hals- und Kopfhälfte und der rechten Oberextremität bilden den Ductus thoracicus dexter, welcher in die reelite V. anonyma mündet.



624. Die Blut- und Lymphgefässe des Gehirnes und Rückenmarkes.

Nach Friedr. Arnold. 2/3 der natürlichen Grösse.



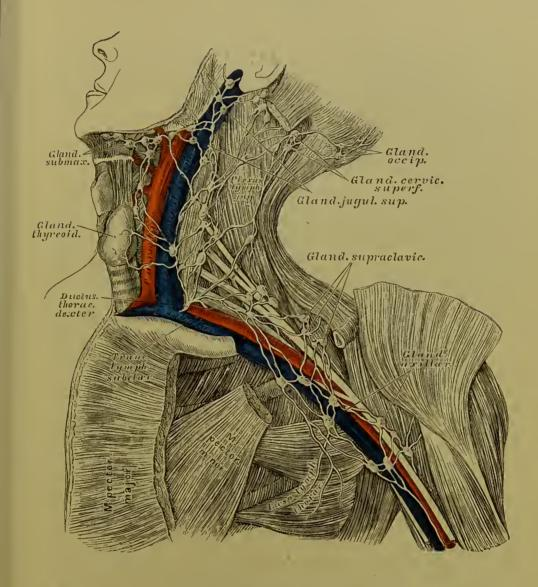
#### 625. Die oberflächlichen Saugadern des Kopfes und des Halses.

Die Saugadern des Kopfes und des Halses sammeln sich in oberflächlichen und tiefen Lymphdrüsengruppen, zuletzt in den um die V. jugularis communis gelegenen Plexus jugularis, dessen Vas efferens als Truncus jugularis in den Ductus thoracicus der entsprechenden Seite einmündet. Die Drüsengruppen sind folgende:

a) Glandulae auriculares anteriores et posteriores; orstere auf der Ohrspeichel-

driise, letztere hinter dem Ohre.

b) Glandulae faciales profundae in der Fossa spheno-maxillaris und an der Seitenwand des Schlandkopfes.

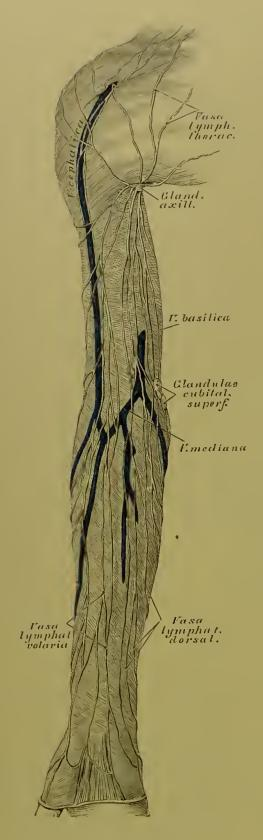


626. Die tiefliegenden Saugadern des Halses und der Achselhöhle.

- e) Glandulae submaxillares am unteren Rande des Unterkiefers;
- d) Glandulae cervicales superficiales am oberen Seitentheile des Halses vor und auf dem M. sterno-cleido-mastoideus.

Die austretenden Gefässe dieser Lymphdriisen münden in die:

- e) Glandulae jugulares superiores im oberen Halsdreieck und in die
- f) Glandulae jugulares inferiores s. supraclaviculares in der Schlüsselbeingrube, welche, 15—20 an der Zahl, sieh netzartig unter einander verbinden und den Plexus lymphaticus jugularis herstellen, welcher bis zum Foramen jugulare hinaufreicht.

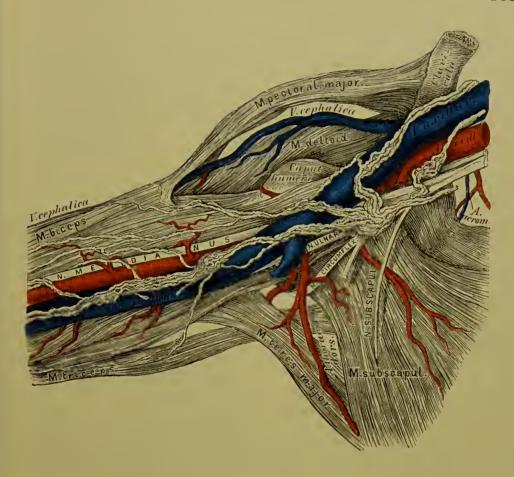


## **627.** Die hochliegenden Saugadern der oberen Extremität.

Die Lymphgefässe der oberen Extremität, der Brustwand und der Sehulter sammeln sich im Plexus lymphaticus axillaris, mit 8—12 Glandulae axillares. Dieser vereinigt sich zum Truncus lymphaticus subclavius, welcher in den Ductus thoracicus der entspreehenden Seite mündet.

Die Lymphgefässe der oberen Extremität sind theils hoehliegende, theils tiefliegende.

- a) Die hoehliegenden beginnen an den Fingern; die von der Volarseite kommenden gehen an der Innenseite des Vorderarmes empor, die von der Dorsalseite kommenden zuerst an der Aussenseite, dann über den Ulnarrand zur inneren Fläche des Vorderarmes. Im Ellbogenbuge befinden sieh 1—2 Glandulae cubitales. Die Saugadern ziehen theils direct in die Achselhöhle, theils mit der V. cephalica zum Spalte zwischen M. deltoides und M. pectoralis major.
- b) Die tiefliegenden Saugadern verlaufen mit den Armvenen, sind aber weniger zahlreich als die hoehliegenden, bilden einige Glandulae cubitales und Glandulae brachiales profundae.

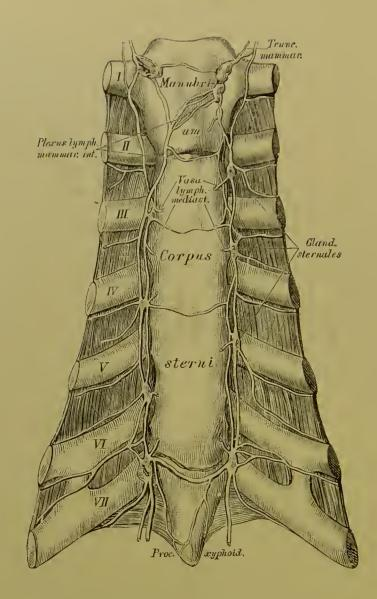


628. Die tiefliegenden Saugadern der Achselhöhle.
Nach einem Präparate von Patruban.

Die Lymphgefässe der Brustwand sind gleichfalls oberflächliche und tiefe.

- a) Die oberflächlichen ziehen zum Spalte zwischen *M. deltoides* und *M. pectoralis major* und am unteren Rande des *M. pectoralis major* zur Achselhöhle.
- b) Die tiefliegenden begleiten die Blutgefässe der Brustwand, nehmen die Saugadern der Brustdrüse auf und stehen durch Zweige mit den inneren Brustsaugadern in Verbindung.

Die Lymphgefässe der Schulter kommen aus der Nacken-, Rückenund Lendengegend und ziehen am Rande des M. latissimus dorsi empor, theilweise auch mit den Aesten der Art. axillaris.



629. Die inneren Brustsaugadern.

Die Saugadern der Brusthöhle sind felgende:

a) Die Zwischenrippensaugadern, welche die Vasa intercostalia begleiten. Sie kommen aus der seitlichen Brust- und Banchwand, aus dem Zwerchfelle, der Pleura, den Rückenmuskeln und der Wirbelsänle und passiren 16—20 Glandulae intercostales.

b) Die Mittelfellsaugadern kommen aus dem Herzbeutel, der Speiseröhre, dem hinteren Mediastinum und gehen durch 8-12 Glandulae mediastini posteriores.

c) Die inneren Brustsaugadern passiren 10-14 Glandulae mediastini anteriores, überdies 6-8 Glandulae sternales. Sie bilden den Plexus mammarius internus, welcher sich schliesslich mittelst der Trunci mammarii in die beiden Ductus thoracici entleert.

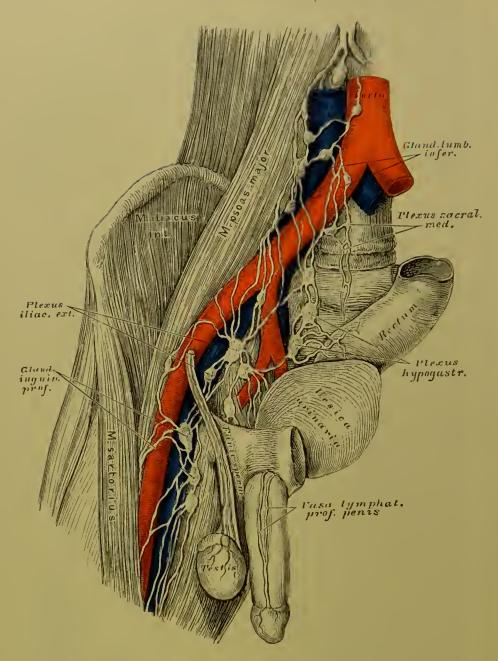
d) Die Lungensaugadern, theils oberflächliche, theils tiefe, ziehen durch die Glandulae bronchiales, gehen links zum Ductus thoracicus, rechts durch den Truncus broncho-mediastinicus in den rechten Brustgaug.

#### **630.** Die hochliegenden Saugadern der unteren Extremität.

Die Lymphgefässe der unteren Extremität münden in die Leistendrüsen, Glandulae inguinales, welche theils hochliegende, theils tiefliegende sind und durch zahlreiche Anastomosen den Plexus inguinalis erzeugen. Die ersteren liegen zwischen Ligamentum Poupartii und Fovea ovalis, die letzteren dieht auf den Sehenkelgefässen bis zum Septum erurale. Die Saugadern sind folgende:

- a) Lymphgefässe des Sehenkels. Sie ziehen theils oberhalb der Fascia lata, theils unter derselben. Die hochliegenden kommen vom Fusse, ziehen mit der V. saphena major, zum Theile auch unter der Haut der Wade. Die tiefliegenden begleiten die tiefen Blutgefässe und ziehen in der Kniekehle durch 1—4 Glandulae popliteae profundae.
- b) Die Lymphgefässe der Regio hypogastrica des Unterleibes gehen über das Ligamentum Poupartii herab, um sieh in die obersten Leistendrüsen einzusenken.
- e) Die Lymphgefässe der äusseren Genitalien ziehen vom Penis oder von der Clitoris in das Fettlager des Mons Veneris, von da zu den oberflächliehen Leistendrüsen. Die Saugadern des Hodensackes und der grossen Schamlippen gehen quer nach aussen zu den Leistendrüsen.





631. Die tiefen Saugadern des Beckens und der Leiste.

Aus den Leistendrüsen gehen die Saugaderstämme mit den Schenkelgefässen in die Beekenhöhle, nehmen Sangadern von den vorderen und den seitlichen Wänden der Bauehhöhle auf und bilden den Plexus iliaeus externus, welcher sich in die Glandulae lumbales inferiores entleert. Dasselbe thut der Plexus luppogastricus und der Plexus sacralis medius. Der Plexus luppogastricus geht aus Aesten hervor, welche jene der Art. hypogastrica begleiten; der Plexus sacralis medius hingegen nimmt die Sangadern der hinteren Beekenwand, des Canalis sacralis und des Mastdarmes auf.

#### 632. Die Saugadern des Hodens und des Nebenhodens.

Die Saugadern der Lendengegend und der Gedärme bilden den paarigen Plexus lumbalis und den einfachen Plexus mesentericus; aus diesen gehen die beiden Trunci lymphatici lumbales und der einfache Truncus lymphaticus intestinalis hervor.

a) Die Plexus lumbales liegen auf den Lendenmuskeln und auf der Lendenwirbelsäule und bilden 20-30 Glandulae lumbales, und zwar theils superiores, theils inferiores. Ausser den genannten Gefleehten münden in dieselben noch folgende Saugadern:

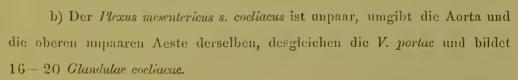
Die Samensaugadern vom Hoden und dessen Hüllen, beim Weibe vom Eierstocke; in letztere münden auch die Saugadern des Gebärmuttergrundes und der Muttertrompeten;

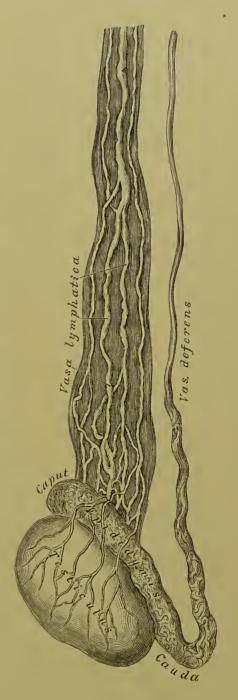
Nebennierendie Nieren und saugadern;

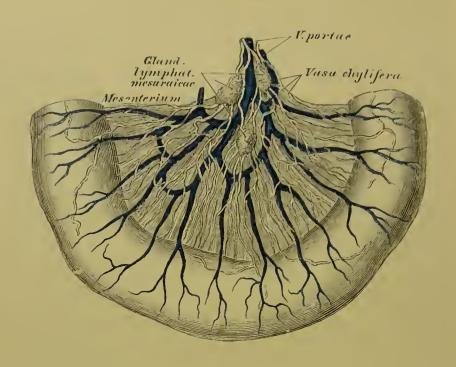
die Lendensaugadern aus der seitlichen Bauchwand;

Die Saugadern der Flexura sigmoidea

und des Rectum linkerseits.







633. Die Vasa chylifera im Dünndarmgekröse.

Die Lymphgefässe, welche den *Plexus cocliacus* zusammensetzen, sind folgende:

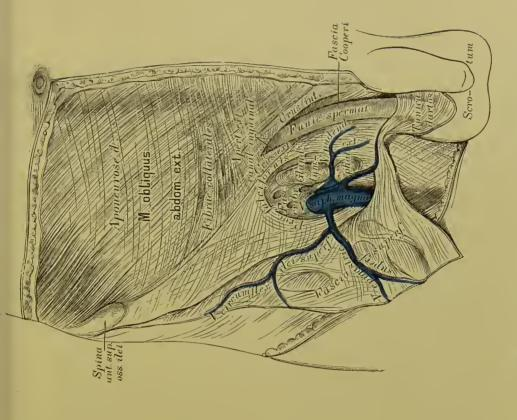
Lymphgefässe des Magens, welche ihrerseits wieder drei Geflechte bilden: ein linkes, ein oberes und ein unteres;

Lymphgefässe des Dünndarmes, eigentlich Milch- oder Chylusgefässe, Vasa lactea s. chylifera genannt, verlaufen zwischen den Blättern des Gekröses und ziehen durch eine dreifache Reihe von Gekrösdrüsen, Glandulae mesaraieae;

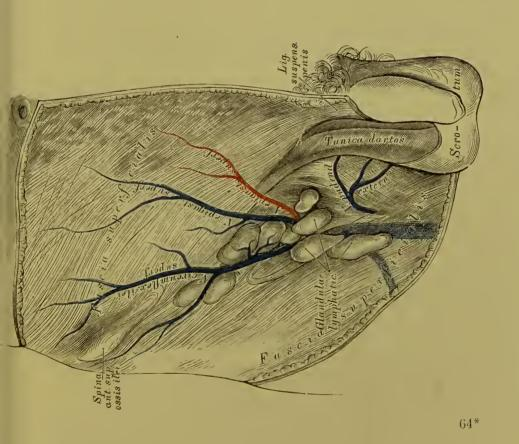
Lymphgefässe des Dickdarmes; sie bilden nur 1—2 Reihen kleiner Drüsen;

Lymphgefässe der Milz und des Pankreas, längs der V. splenica verlaufend;

Lymphgefässe der Leber, oberflächliche und tiefe. Die oberflächlichen gelangen von der eonvexen Leberfläche mit dem Ligamentum suspensorium hepatis zum Zwerchfell in die Plexus mammarii und mediastinici anteriores, zum Theile auch zum Magen- und Milzgeflechte, und zu den Glandulae mediastinicae posteriores. Die tiefen Saugadern treten aus der Porta hepatis heraus, nehmen die oberflächlichen Saugadern der concaven Leberfläche auf und erzeugen, bevor sie in den Plexus coeliacus münden, mehrere Glandulae hepaticae.

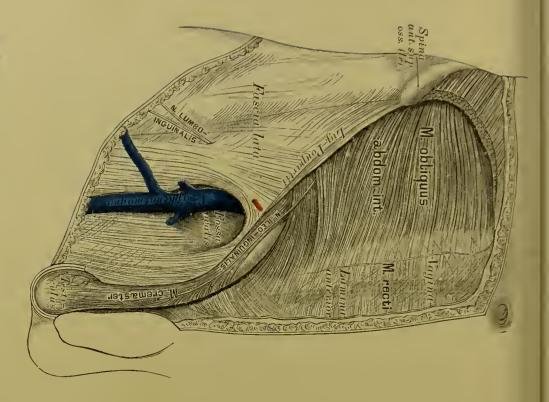


635. Topographie der Leisten- und Schenkelregion. II.

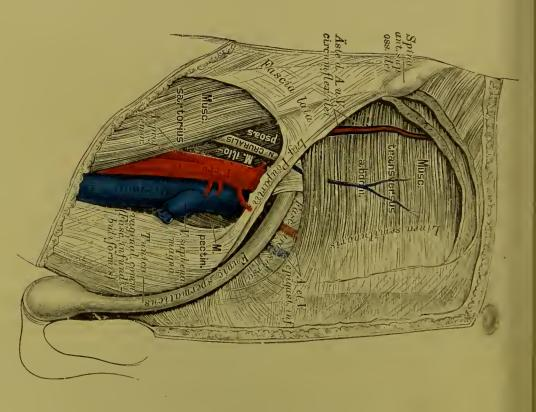


634. Topographie der Leisten- und Schenkelregion. I.

636. Topographie der Leisten- und Schenkelregion. III.



637. Topographie der Leisten- und Schenkelregion. IV.



Druck von R. v. Waldheim in Wien-

### INDEX.

A. Arcus supercition		erciliares 9.
	" venosus juguli 480.	
Acetabulum 111.	Areola mammae 319.	
Acromium 83.	Armspinde	1 92.
Aderhaut 223.	Arteria (ae	), acetabuli 463.
Aditus ad aquaeductum Sylvii 345.	,,	acromialis 443.
" " infundibulum 345.	**	alveolaris inferior 432.
Affenspalte 335.		" superior 435.
After 266.	22	anonyma s. brachio - cepha-
Ala vespertilionis 313.	"	lica 423.
Alae cinereae 353.	»» °	articulares genu 470.
n orbitales s. minores 6.	"	auditiva 440.
" temporales s. majores 6.		auricularis anterior 431.
Alveoli dentium 23.	"	" posterior 431.
Ambos 233.	"	" profunda 432.
Ammonshorn 341.	"	axillaris 443.
Ampulle der Bogengänge 235.	"	basilaris 439.
Amygdalae 244.	n	brachialis 445.
Angulus mandibulae 32.	n	brachii collateralis pro-
Anhang, wurmförmiger 266.	n	funda 445.
		bronchiales 440, 452.
Annulus tympanicus 17. Ansa hypoglossi 384.	n	buccinatoria 433.
*** * 0.00	77	bulbo-urethralis 467.
" supramaxıllarıs 366. Antihelix 228.	"	carotis communis 423.
Antitragus 228.	n	n externa 427.
Antrum maxillare s. Highmori 22, 25.	n	" interna 436.
7 1 000	>>	carpi dorsalis 447.
n pytoricum 262 Anus 266.	"	centralis retinae 437.
Aorta 423.	27	cerebelli inferior 439.
Aortenklappen 417.	27	" superior 440.
Apertura pyriformis narium 24	"	cercbri communicantes 438.
	**	
Apparatus ligamentosus 63. Aquaeductus cochleae 16.	"	" profunda 440. cervicalis ascendens 441.
Salari comolar 259	, "	, descendens 430.
" vestibuli 15.	27	C 7 111
Arachnoidea 333.	"	" profunda 441. " superficialis 441.
Arbor vitae 315.	n	cervicis s. collitransversa 441.
7 770 080	22	choroidea 438.
" " cerebelli 352. Arcus aortae 423.	22	ciliares 437.
	"	clitoridis dorsalis et pro-
" arteriosus manus 451.	77	funda 466.
" " pedis 471.		coeliaca 454.
" ventriculi 456.	"	colica dextra 457.
" palato-glossus 243.	17	
" palato-pharyngeus 243.	37	" mcdia 457.

Arteria (ae), colica sinistra 458. cordis coronuriae 423. corporis callosi 438. cubiti recurrentes 447. cystica 455. dentales 432. digitales manus 447, 451. pedis 471. dorsalis linguae 427. duodenalis 457. epigastrica inferior 468. superior 440. ethmoidalis 437. faeialis anterior 429. posterior 431. femoralis 468. femoris circumflexa 469. profunda 469. fossae Sylvii 438. frontalis 437. gastro-duodenalis 456. periploicae 456. genu 470. preprior 463. haemorrhoidalis inferior 466. himeri circumflexae 441. hyoidea 427. hypogastrica 462. iliaca communis 461. hyoidea 427. hypogastrica 462. iliaca communis 461. himeri circumflexae 449. iliaca communis 461. hyoidea 427. hypogastrica 462. iliaca communis 461. hyoidea 427. hypogastrica 462. iliaca communis 461. hyoidea 427. hypogastrica 469. iliaca communis 461. hyoidea 427. hypogastrica 469. iliaca communis 461. hyoidea 427. hypogastrica 469. iliaca communis 469. iliaca communis 469.	malleolares 461. malleolares 471. mammaria externa 440. n interna 440. masseterica 433. mastoidea 430. maxillaris externa 429. n interna 431. mediastini 440, 452. meningea media 432. n posterior 439. mentalis 432. mesenterica inferior 457. nesenterica inferior 457. musculo-phrenica 440. mylo-hyoidea 432. nasi dorsalis 437. nervi ischiadici comes 461 nutriens humeri 415. nutritia tibiae 473. obturatoria 463. occipitalis 430. oesophagea 452. ophthalmica 437. palatina ascendens 429.
corporis callosi 438.  cruralis 468.  cubiti recurrentes 447.  cystica 455.  dentales 432.  digitales manus 447, 451.  pedis 471.  dorsalis linguae 427.  duodenalis 457.  cpigastrica inferior 468.  superior 440.  ethmoidalis 437.  faeialis anterior 429.  posterior 431.  n transversa 431.  femoralis 468.  femoris circumflexa 469.  perforantes 470.  profunda 469.  fossae Sylvii 438.  frontalis 437.  gastro-duodenalis 456.  peniploicae 456.  genu 470.  n recurrentes 470.  glutaea inferior 464.  n superior 463.  haemorrhoidalis inferior 466.  n media 466.  haemorrhoidalis inferior 466.  n superior 458.  haemorrhoidalis inferior 466.  n haemorrhoidalis inferior 466.  n superior 458.  haemorrhoidalis inferior 466.  n media 466.  n superior 458.  haemorrhoidalis inferior 466.  n media 466.  n superior 458.  hepatica 455.  humeri circumflexae 441.  hyoidea 427.  hypogastrica 462.  iliaca communis 461.  n externa 468.  n interna 469.  ileo-colica 457.  hymbolis 469	mammaria externa 440.  " interna 440.  masseterica 433.  mastoidea 430.  maxillaris externa 429.  " interna 431.  mediastini 440, 452.  meningea media 432.  " posterior 439.  mentalis 432.  mesenterica inferior 457.  " superior 457.  metatarseae 471.  musculo-phrenica 440.  mylo-hyoidea 432.  nasi dorsalis 437.  nervi ischiadici comes 461  nutriens humeri 415.  nutritia tibiae 473.  obturatoria 463.  occipitalis 430.  oesophagea 452.  ophthalmica 437.  palatina ascendens 429.
cubiti recurrentes 447.  cystica 455.  dentales 432.  digitales manus 447, 451.  pedis 471.  dorsalis linguae 427.  duodenalis 457.  epigastrica inferior 468.  superior 440.  ethmoidalis 437.  faeialis anterior 429.  posterior 431.  n transversa 431.  femoralis 468.  femoris circumflexa 469.  perforantes 470.  profunda 469.  fossae Sylvii 438.  frontalis 437.  gastro-duodenalis 456.  peiploicae 456.  genu 470.  n recurrentes 470.  glutaea inferior 464.  superior 463.  haemorrhoidalis inferior 466.  n media 466.  n media 466.  haemorrhoidalis inferior 466.  n media 466.  haemorrhoidalis inferior 466.  n media 466.  n media 466.  n interna 462.  iliaca communis 461.  n externa 468.  n interna 462.  iliei circumflexa 469.  ileo-colica 457.  hymbolis 469	masseterica 433. mastoidea 430. maxillaris externa 429. , interna 431. mediastini 440, 452. meningea media 432. , posterior 439. mentalis 432. mesenterica inferior 457. , superior 457. metatarseae 471. musculo-phrenica 440. mylo-hyoidea 432. nasi dorsalis 437. nervi ischiadici comes 464 nutriens humeri 415. nutritia tibiae 473. obturatoria 463. occipitalis 430. oesophagea 452. ophthalmica 437. palatina ascendens 429.
cubiti recurrentes 447.  cystica 455.  dentales 432.  digitales manus 447, 451.  pedis 471.  dorsalis linguae 427.  duodenalis 457.  cpigastrica inferior 468.  superior 440.  ethmoidalis 437.  faeialis anterior 429.  posterior 431.  femoralis 468.  femoris circumflexa 469.  preforantes 470.  profunda 469.  fossae Sylvii 438.  frontalis 437.  gastro-duodenalis 456.  peny 470.  glutaea inferior 464.  periploicae 456.  genu 470.  glutaea inferior 464.  purerior 463.  haemorrhoidalis inferior 466.  himmeri circumflexae 441.  hyoidea 427.  hypogastrica 462.  iliaca communis 461.  n externa 468.  n interna 468.  iliaca communis 469.  iliei circumflexa 469.  iliei circumflexa 469.  ilieo-colica 457.  hypogastrica 469.	masseterica 433. mastoidea 430. maxillaris externa 429. "interna 431. mediastini 440, 452. meningea media 432. "posterior 439. mentalis 432. mesenterica inferior 457. "superior 457. metatarseae 471. musculo-phrenica 440. mylo-hyoidea 432. nasi dorsalis 437. nervi ischiadici comes 464 nutriens humeri 415. nutritia tibiae 473. obturatoria 463. occipitalis 430. oesophagea 452. ophthalmica 437. palatina ascendens 429.
cystica 455. dentales 432. digitales manus 447, 451. pedis 471. dorsalis linguae 427. duoderalis 457. pigastrica inferior 468. pigastrica inferior 468. pethmoidalis 437. faeialis anterior 429. posterior 431. perforantes 431. femoralis 468. femoris circumflexa 469. profunda 469. fossae Sylvii 438. frontalis 437. gastro-duodenalis 456. periploicae 456. genu 470. profunda 466. periploicae 456. genu 470. profunda 466. pure recurrentes 470. plutaea inferior 464. pure recurrentes 470. plutaea 455. plumeri circumflexae 441. plyoidea 427. plypogastrica 462. pure recurrentes 463. pure recurrentes 464. pure recurrentes 464. pure recurrentes 465. pure recurrentes 466. pure recurrentes	maxillaris externa 429.  " interna 431.  mediastini 440, 452.  meningea media 432.  " posterior 439.  mentalis 432.  mesenterica inferior 457.  " superior 457.  metatarseae 471.  musculo-phrenica 440.  mylo-hyoidea 432.  nasi dorsalis 437.  nervi ischiadici comes 464  nutriens humeri 415.  nutritia tibiae 473.  obturatoria 463.  occipitalis 430.  oesophagea 452.  ophthalmica 437.  palatina ascendens 429.
dentales 432. digitales manus 447, 451. pedis 471. dorsalis linguae 427. duodenalis 457. pigastrica inferior 468. superior 440. ethmoidalis 437. faeialis anterior 429. posterior 431. femoralis 468. femoris circumflexa 469. profunda 469. fossae Sylvii 438. frontalis 437. gastro-duodenalis 456. periploicae 456. genu 470. frecurrentes 470. glutaea inferior 464. fremoris circumflexae 441. haemorrhoidalis inferior 466. media 466. haemorrhoidalis inferior 466. media 466. haemorrhoidalis inferior 466. haemorrhoidalis inferior 466. haemorrhoidalis inferior 466. haemorrhoidalis inferior 466. his profunda 467. his profunda 469. his profunda 469	maxillaris externa 429.  " interna 431.  mediastini 440, 452.  meningea media 432.  " posterior 439.  mentalis 432.  mesenterica inferior 457.  " superior 457.  metatarseae 471.  musculo-phrenica 440.  mylo-hyoidea 432.  nasi dorsalis 437.  nervi ischiadici comes 464  nutriens humeri 415.  nutritia tibiae 473.  obturatoria 463.  occipitalis 430.  oesophagea 452.  ophthalmica 437.  palatina ascendens 429.
digitales manus 447, 451.  pedis 471.  dorsalis linguae 427.  duodenalis 457.  epigastrica inferior 468.  superior 440.  ethmoidalis 437.  faeialis anterior 429.  posterior 431.  femoralis 468.  femoris circumflexa 469.  preforantes 470.  profunda 469.  fossae Sylvii 438.  frontalis 437.  gastro-duodenalis 456.  periploicae 456.  genu 470.  recurrentes 470.  glutaea inferior 464.  superior 463.  haemorrhoidalis inferior 466.  hepatica 455.  humeri circumflexae 441.  hyoidea 427.  hypogastrica 462.  iliaca communis 461.  rexterna 468.  ninterna 469.  ileo-colica 457.  hypolicae 457.  hypogastrica 469.  ileo-colica 457.  hypolicae 459.  ileo-colica 457.  hypolicae 469.  ileo-colica 457.  hypolica 469.  ileo-colica 457.	" interna 431. mediastini 440, 452. meningea media 432. " posterior 439. mentalis 432. mesenterica inferior 457. " superior 457. metatarseae 471. musculo-phrenica 440. mylo-hyoidea 432. nasi dorsalis 437. nervi ischiadici comes 464 nutriens humeri 415. nutritia tibiae 473. obturatoria 463. occipitalis 430. oesophagea 452. ophthalmica 437. palatina ascendens 429.
m pedis 471. m dorsalis linguae 427. m duodenalis 457. m epigastrica inferior 468. m superior 440. m ethmoidalis 437. m faeialis anterior 429. m posterior 431. m transversa 431. m femoralis 468. m femoris circumflexa 469. m perforantes 470. m profunda 469. m fossae Sylvii 438. m frontalis 437. m gastro-duodenalis 456. m epiploicae 456. m genu 470. m recurrentes 470. m ghutaca inferior 464. m superior 463. m haemorrhoidalis inferior 466. m media 466. m media 466. m hepatica 455. m humeri circumflexae 441. m hyoidea 427. m hypogastrica 462. m iliaca communis 461. m externa 468. m interna 469. m ileo-colica 457. m lumphalis 469. m ileo-colica 457. m ileo-colica 459. m ileo-colica 450. m ileo-colica 450. m ileo-colica 45	mediastini 440, 452.  meningea media 432.  " posterior 439.  mentalis 432.  mesenterica inferior 457.  " superior 457.  metatarseae 471.  musculo-phrenica 440.  mylo-hyoidea 432.  nasi dorsalis 437.  nervi ischiadici comes 464  nutriens humeri 415.  nutritia tibiae 473.  obturatoria 463.  occipitalis 430.  oesophagea 452.  ophthalmica 437.  palatina ascendens 429.
dorsalis linguae 427. duodenalis 457. pigastrica inferior 468. methmoidalis 437. faeialis anterior 429. methmoidalis 438. methmoidalis 468. methmoidalis inferior 468. methmoidalis inferior 466. methmoidalis inferior 468. methmoidalis inferior 468	meningea media 432.  " posterior 439.  mentalis 432.  mesenterica inferior 457.  " superior 457.  metatarseae 471.  musculo-phrenica 440.  mylo-hyoidea 432.  nasi dorsalis 437.  nervi ischiadici comes 461  nutriens humeri 415.  nutritia tibiae 473.  obturatoria 463.  occipitalis 430.  oesophagea 452.  ophthalmica 437.  palatina ascendens 429.
duodenalis 457.  epigastrica inferior 468.  superior 440.  ethmoidalis 437.  faeialis anterior 429.  posterior 431.  transversa 431.  femoralis 468.  femoris circumflexa 469.  perforantes 470.  profunda 469.  fossae Sylvii 438.  frontalis 437.  gastro-duodenalis 456.  penu 470.  periploicae 456.  genu 470.  nercurrentes 470.  glutaea inferior 464.  publicae 455.  haemorrhoidalis inferior 466.  hepatiea 455.  humeri circumflexae 441.  hyoidea 427.  hypogastrica 462.  iliaca communis 461.  externa 468.  interna 468.  interna 469.  ileo-colica 457.  humbalis 469	mentalis 432. mesenterica inferior 457. mesenterica inferior 457. metatarseae 471. musculo-phrenica 440. mylo-hyoidea 432. nasi dorsalis 437. nervi ischiadici comes 461 nutriens humeri 415. nutritia tibiae 473. obturatoria 463. occipitalis 430. oesophagea 452. ophthalmica 437. palatina ascendens 429.
epigastrica inferior 468.  " superior 440.  " ethmoidalis 437.  " faeialis anterior 429.  " posterior 431.  " transversa 431.  " femoralis 468.  " femoris circumflexa 469.  " profunda 469.  " profunda 469.  " fossae Sylvii 438.  " frontalis 437.  " gastro-duodenalis 456.  " epiploicae 456.  " genu 470.  " recurrentes 470.  " glutaea inferior 464.  " superior 463.  " haemorrhoidalis inferior 466.  " media 466.  " media 466.  " humeri circumflexae 441.  " hyoidea 427.  " hypogastrica 462.  " iliaca communis 461.  " externa 468.  " interna 462.  " ileo-colica 457.  " hymbolis 469.	mentalis 432.  mesenterica inferior 457.  " superior 457.  metatarseae 471.  musculo-phrenica 440.  mylo-hyoidea 432.  nasi dorsalis 437.  nervi ischiadici comes 461  nutriens humeri 415.  nutritia tibiae 473.  obturatoria 463.  occipitalis 430.  oesophagea 452.  ophthalmica 437.  palatina ascendens 429.
" superior 440. " tethmoidalis 437. " faeialis anterior 429. " posterior 431. " transversa 431. " femoralis 468. " femoris circumflexa 469. " perforantes 470. " profunda 469. " fossae Sylvii 438. " frontalis 437. " gastro-duodenalis 456. " epiploicae 456. " genu 470. " recurrentes 470. " glutaea inferior 464. " superior 463. " haemorrhoidalis inferior 466. " media 466. " media 466. " humeri circumflexae 441. " hyoidea 427. " hypogastrica 462. " iliaca communis 461. " externa 468. " interna 462. " ilei circumflexa 469. " ileo-colica 457. " hymbolis 469	metatarseae 471. musculo-phrenica 440. mylo-hyoidea 432. nasi dorsalis 437. nervi ischiadici comes 461 nutriens humeri 415. nutritia tibiae 473. obturatoria 463. occipitalis 430. oesophagea 452. ophthalmica 437. palatina ascendens 429.
media description	metatarseae 471. musculo-phrenica 440. mylo-hyoidea 432. nasi dorsalis 437. nervi ischiadici comes 461 nutriens humeri 415. nutritia tibiae 473. obturatoria 463. occipitalis 430. oesophagea 452. ophthalmica 437. palatina ascendens 429.
facialis anterior 429.  posterior 431.  femoralis 468.  femoris circumflexa 469.  perforantes 470.  profunda 469.  fossae Sylvii 438.  frontalis 437.  gastro-duodenalis 456.  genu 470.  recurrentes 470.  glutaea inferior 464.  superior 463.  haemorrhoidalis inferior 466.  haemorrhoidalis inferior 466.  hepatica 455.  humeri circumflexae 441.  hyoidea 427.  hypogastrica 462.  iliaca communis 461.  rexterna 468.  riterna 469.  ilieo-colica 457.  humbolis 469.	metatarseae 471. musculo-phrenica 440. mylo-hyoidea 432. nasi dorsalis 437. nervi ischiadici comes 464 nutriens humeri 415. nutritia tibiae 473. obturatoria 463. occipitalis 430. oesophagea 452. ophthalmica 437. palatina ascendens 429.
" transversa 431. " femoralis 468. " femoris circumflexa 469. " perforantes 470. " profunda 469. " fossae Sylvii 438. " frontalis 437. " gastro-duodenalis 456. " epiploicae 456. " genu 470. " recurrentes 470. " glutaea inferior 464. " superior 463. " haemorrhoidalis inferior 466. " media 466. " media 466. " humeri circumflexae 441. " hyoidea 427. " hypogastrica 462. " iliaca communis 461. " externa 468. " interna 462. " ilei circumflexa 469. " ileo-colica 457.	mylo-hyoidea 432. nasi dorsalis 437. nervi ischiadici comes 464 nutriens humeri 415. nutritia tibiae 473. obturatoria 463. occipitalis 430. oesophagea 452. ophthalmica 437. palatina ascendens 429.
femoralis 468.  femoris circumflexa 469.  perforantes 470.  profunda 469.  fossae Sylvii 438.  frontalis 437.  gastro-duodenalis 456.  periploicae 456.  genu 470.  recurrentes 470.  glutaea inferior 464.  superior 463.  haemorrhoidalis inferior 466.  haemorrhoidalis inferior 466.  hepatiea 455.  humeri circumflexae 441.  hyoidea 427.  hypogastrica 462.  iliaca communis 461.  rexterna 468.  in interna 462.  ilieo-colica 457.  hymbolis 469	mylo-hyoidea 432. nasi dorsalis 437. nervi ischiadici comes 464 nutriens humeri 415. nutritia tibiae 473. obturatoria 463. occipitalis 430. oesophagea 452. ophthalmica 437. palatina ascendens 429.
femoralis 468.  femoris circumflexa 469.  perforantes 470.  profunda 469.  fossae Sylvii 438.  frontalis 437.  gastro-duodenalis 456.  penu 470.  recurrentes 470.  glutaea inferior 464.  numeri circumflexae 441.  hyoidea 427.  hypogastrica 462.  iliaca communis 461.  recurrentes 469.  ilieo-colica 457.  humbalis 469.	nervi ischiadici comes 464 nutriens humeri 415. nutritia tibiae 473. obturatoria 463. occipitalis 430. oesophagea 452. ophthalmica 437. palatina ascendens 429.
femoris circumflexa 469.  perforantes 470.  profunda 469.  fossae Sylvii 438.  frontalis 437.  gastro-duodenalis 456.  periploicae 456.  genu 470.  recurrentes 470.  glutaea inferior 464.  superior 463.  haemorrhoidalis inferior 466.  haemorrhoidalis inferior 466.  hepatica 455.  humeri circumflexae 441.  hyoidea 427.  hypogastrica 462.  iliaca communis 461.  resterna 468.  ninterna 462.  iliei circumflexa 469.  ilieo-colica 457.  hymbolis 469	nutriens humeri 415. nutrilia tibiae 473. obturatoria 463. occipitalis 430. oesophagea 452. ophthalmica 437. palatina ascendens 429.
" perforantes 470. " profunda 469. " fossae Sylvii 438. " frontalis 437. " gastro-duodenalis 456. " epiploicae 456. " genu 470. " recurrentes 470. " glutaea inferior 464. " superior 463. " haemorrhoidalis inferior 466. " media 466. " superior 458. " hepatiea 455. " humeri circumflexae 441. " hyoidea 427. " hypogastrica 462. " iliaca communis 461. " externa 468. " interna 462. " ilei circumflexa 469. " ileo-colica 457.	nntritia tibiae 473. obturatoria 463. occipitalis 430. oesophagea 452. ophthalmica 437. palatina ascendens 429.
" profunda 469. " fossae Sylvii 438. " frontalis 437. " gastro-duodenalis 456. " epiploicae 456. " genu 470. " recurrentes 470. " glutaea inferior 464. " superior 463. " haemorrhoidalis inferior 466. " media 466. " superior 458. " hepatiea 455. " humeri circumflexae 441. " hyoidea 427. " hypogastrica 462. " iliaca communis 461. " externa 468. " interna 462. " ilei circumflexa 469. " ileo-colica 457.	obturatoria 463. occipitalis 430. ocsophagea 452. ophthalmica 437. palatina ascendens 429.
fossae Sylvii 438.  frontalis 437.  gastro-duodenalis 456.  periploicae 456.  genu 470.  recurrentes 470.  glutaea inferior 464.  superior 463.  haemorrhoidalis inferior 466.  hepatica 455.  humeri circumflexae 441.  hyoidea 427.  hypogastrica 462.  iliaca communis 461.  recurrentes 457.  hypogastrica 469.  ileo-colica 457.  hypolica 457.  hypolica 469.	occipitalis 430. oesophagea 452. ophthalmica 437. palatina ascendens 429.
media 455. mepatica 455. mepatica 455. mepatica 456. media 466. media 466. media 466. mepatica 457. mexerna 468. mexerna 468. metaloga interna 469. metalo	oesophagea 452. ophthalmica 437. palatina ascendens 429.
gastro-duodenalis 456.  pepiploicae 456.  genu 470.  recurrentes 470.  glutaea inferior 464.  superior 463.  haemorrhoidalis inferior 466.  media 466.  superior 458.  hepatica 455.  humeri circumflexae 441.  hyoidea 427.  hypogastrica 462.  iliaca communis 461.  externa 468.  n interna 462.  ilei circumflexa 469.  ileo-colica 457.  hypolica 457.	ophthalmica 437. palatina ascendens 429.
" epiploicae 456. " genu 470. " recurrentes 470. " glutaea inferior 464. " superior 463. " haemorrhoidalis inferior 466. " media 466. " superior 458. " hepatiea 455. " humeri circumflexae 441. " hyoidea 427. " hypogastrica 462. " iliaca communis 461. " externa 468. " interna 462. " ilei circumflexa 469. " ileo-colica 457.	palatina ascendens 429.
genu 470.  n recurrentes 470.  glutaea inferior 464.  n superior 463.  haemorrhoidalis inferior 466.  n media 466.  n superior 458.  hepatica 455.  humeri circumflexae 441.  hyoidea 427.  hypogastrica 462.  iliaca communis 461.  n externa 468.  n interna 462.  iliei circumflexa 469.  ilieo-colica 457.  hymbolis 469.	
n recurrentes 470.  glutaea inferior 464.  n superior 463.  haemorrhoidalis inferior 466.  n media 466.  n media 466.  n superior 458.  hepatica 455.  humeri circumflexae 441.  hyoidea 427.  hypogastrica 462.  iliaca communis 461.  n externa 468.  n interna 462.  iliei circumflexa 469.  ilieo-colica 457.  hypolica 469.	
glutaea inferior 464.  "" superior 463. "" haemorrhoidalis inferior 466. "" media 466. "" superior 458. "" hepatica 455. "" humeri circumflexae 441. "" hyoidea 427. "" hypogastrica 462. "" iliaca communis 461. "" externa 468. "" interna 462. "" ilei circumflexa 469. "" ileo-colica 457. "" hymbolis 469.	" descendens 435.
" superior 463. " haemorrhoidalis inferior 466. " media 466. " superior 458. " hepatica 455. " humeri circumflexae 441. " hyoidea 427. " hypogastrica 462. " iliaca communis 461. " externa 468. " interna 462. " ilei circumflexa 469. " ileo-colica 457. " hymbolis 469.	palpebrales 437, 438.
haemorrhoidalis inferior 466.  media 466. media 466. media 466. media 466. media 466. media 466. media 466. media 466. media 427. media 427. media 462. media 461. media 461. media 468. media 468. media 468. media 469. media 460. media 466. media 467. media 468. me	pancreatico - duodenalis 450
" superior 458. " " hepatica 455. " " humeri circumflexae 441. " " hyoidea 427. " " hypogastrica 462. " " iliaca communis 461. " " externa 468. " " interna 462. " " ilei circumflexa 469. " " ileo-colica 457. "	pedis dorsolis 471.
" hepatica 455. " humeri circumflexae 441. " hyoidea 427. " hypogastrica 462. " iliaca communis 461. " externa 468. " interna 462. " ilei circumflexa 469. " ileo-colica 457.	penis dorsalis profunda 460
" hepatica 455. " humeri circumflexae 441. " hyoidea 427. " hypogastrica 462. " iliaca communis 461. " externa 468. " interna 462. " ilei circumflexa 469. " ileo-colica 457.	perforantes femoris 470.
n hyoidea 427. n hypogastrica 462. n iliaca communis 461. n externa 468. n interna 462. n ilei circumflexa 469. n ileo-colica 457. hymbolis 469.	pericardiaco-phrenica 440.
", hypogastrica 462. ", iliaca communis 461. ", externa 468. ", interna 462. ", ilei circumflexa 469. ", ileo-colica 457. ", hymbolis 469.	perinci 466.
" iliaca communis 461. " " externa 468. " " interna 462. " ilei circumflexa 469. " ileo-colica 457. " lumbalis 469.	" transversa 467.
" externa 468. " " interna 462. " " ilei circumflexa 469. " " ileo-colica 457. "	peronea 473.
", interna 462. ", ilei circumflexa 469. ", ileo-colica 457. "	petrosa 432.
", ilei circumflexa 469. ", ileo-colica 457. ".	pharyngea accendens 430.
ileo-colica 457	phrenicae 454.
lumbalie AG9	plantares 474.
" " $lumbalis$ 462.	plicae cubiti 447.
	poplitea 470.
" incisiva 435.	profunda brachii 445.
" infraorbitalis 435.	" femoris 469.
" inguinalis 469.	pterygoideae 433.
" intercostales 452.	pudenda communis 466
, anteriores 440.	" externa 469
" suprema 441. "	pulmonalis 422.
" interossea antibrachii 447, "	pylorica 455.
450.	radialis 447.
" ischiadica 464.	collateralis 445.
" jejunales et ileae 458. "	ranina 427.
" labiales vulvae 466.	recurrentes cubiti 417.
" labiorum coronariae 429. "	renalis 459.
lacrymalis 437.	. 21 407
, laryngea inferior 441.	retinae centralis 437.
superior 427.	sacralis lateralis 462.
", linguae dorsalis et pro-	sacralis lateralis 462. " media 461.
funda 427	sacralis lateralis 462. " media 461. seapulao circumflexa 444.
" lingualis 427. "	sacralis lateralis 462. " media 461.

Arteria (ae), scrotales 466. Articulatio radio-ulnaris 95. septi narium 429. inferior 102. 37 22 spermatica externa 468. scapho-cuniformis 140. 27 interna 459. sterno-clavicuejaris 84. spheno-palatina 435. talo-ealcanea 140. spinales 439. , scaphoidea 140. splenica 456. tarso-metatarseae 140. subclavia 423. temporo-maxillaris 36. submentalis 429. Astragalus 133. subscapularis 414. Atlas 47. supraorbitalis 437. Atrium cordis 416. 99 suprarenalis 459. Augapfel 222. 77 supraspinata 441. Auge 218. 17 tarseae 471. Augenbranchbogen 9. temporatis media 431. Angenhöhle 41. superficialis 431 Augenkammern 224. 27 profunda 433. Augenlider 218. thoracicae 443. Auricula 228. 22 thoracico-dorsalis 444. cordis 416. thymicae 426, 440. Ausspritzungskanal 307. thyreoidea ima 426. superior 427. tibiae nutritia 473. B. 72 tibialis antica 471. Backenzähne 248. " postica 472. Balken 339. tonsillaris 429. 33 transversa facici 431. Bartholin'sche Drüsen 318. tympanica 432. Basis evanii 20. ulnavis 449. cerebri 347. collateralis 445. Bauchfell 278. uterina 466. -Duplicaturen 275. vasis deferentis 464. -Verlauf 276. Bauchspeicheldrüse 274. ventriculi coronavia dextra Becken 115. Becken - Geschlechts - Verschiedenheiten ventriculi coronavia sinistra 116 - 118.Berg des Wurmes 357. vertebralis 439. vesicales inferiores 464. Bindearm 351. superiores 464. Bindehaut 219. Vidiana 435. Blinddarm 266. zygomatico-orbitalis 431. Blutleiter der harten Hirnhaut 477. Bogengänge 235. Articulatio acromio-clavicularis 85. calcaneo-cuboidea 140. häutige 237. Bowman'sche Schicht 222. carpi 102. ;) Brachia eminentiae quadrigeminae 346. carpo-metacarpea 102. costo-sternalis '75. Bronchus 288. coxae 121. Brücke 348. cubiti 95. Brückenarın 348. Brunner'sche Drüsen 266. vertebralis 73. cuneo-metalarsea 140. Brustbein 66. Brustdriise 319. genu 132. Brustfell 291. humeri 89. humevo-vadialis et ulnaris 95. Brustkorb 78. 77 intercarpea 102. Brustwarze 319. Brustwirbel 50. interphalangea 106. Bulbi vestibuli 318. intertarsea 140. metacarpo-phalangea 106. Bulbus aortac 423. 17 mctatarso-phalangea 142. oculi 222. 22 ossis pisiformis 102. olfactorius 361. urethrae 303. pedis 137.

Bulbus venae jugularis 477. Bursa omentalis 271. Busen 319. C. Cacumen 351. Calamus scriptorius 354. Calcaneus 134. Calcar avis 341 Calices renalcs 297. Calx 134. Canalieulus (i), carotico-tympaniei 16. lacrymales 220. mastoideus 16. petrosus 15. pterygoidei 8. tympanicus 16. Canalis (es), aërifer 290. alveolaris inferioris 33. centralis medullae 356. Fallopiae 238. 22 infraorbitalis 21. naso-laerymalis 29. " palatinus 23. Petiti 226. ptcrygo-palatimus 28. 22 sacralis 54. Schlemmii 222. 17 semicirculares labyrinthi 234. 92 spheno-palatinus 28. spiralis modioli 235. vertebralis 54. Vidianus 7. zygomaticus facialis et temporalis 26. Capsula renis adiposa 296. fibrosa 296. Caput gallinaginis 303. Cardia 262. Caro quadrata 201. Carotis communis 423. externa 427. interna 436. Carpus 99. Cartilago arytenoidea 279. erieoidea 279. nasi 215. Santorini 280. thyreoidea 279. Wrisbergii cuneiformis 280.

Caruncula lacrymalis 219.

Cauda equina 383.

Cavitas glenoidalis 82.

, dentis 247.

, sigmoidea 91.

Caudex 348.

Carunculae myrtiformes 317.

Cavum arachnoideale s. subdurale 333

Cavum mediastini 291. narium 42. oris 243. pharyngo-laryngeum 256. " nasale 256. subarachnoideale 333. tympani 231. Cellulae ethmoidales 11. Cement 247. Central-Läppchen 351. Centrum semiovale 339. Cercbellum 350. Cerebrum 334. Cervix uteri 314. Chiasma nervorum opticorum 347. Choanae 42. Cholecystis 272. Chorda (ae), acusticae 354. tendineae 417. transversales Willisii 339. tympani 372. vocalcs 282. Chorioidea 223. Cilia 218. Circulus arteriosus Willisii 440. Cisterna chyli 496. Claustrum 340. Clava 353. Clavicula 81. Clitoris 318. Clivus 6. Cochlea 235. Coeeum 266. Collateraler Kreislauf 493. Colliculus nervi optici 226. seminalis 303. Colon 266. Columella 235. Columna (ae), Bertini 296. plicarum 317, vertebralis 65. Commissura cerebri anterior 345. " posterior 345. maxima 339. mollis s. media 345. Commissuren des Gehirns 345. "Rückenmarkes 356. Conarium 346. Conchae ethmoidales 11. inferiores 30. Condyli femoris 119. humeri 87. tibiae 124. Conjunctiva 219. Coni vasculosi testis 305. Conus arteriosus 420. medullae spinalis 355. Cor 414. Cornea 222. Cornu Ammonis 341.

Corona ciliaris 223. Driison, Lid- oder Meibom'sche 218. " glandis 309. Lieberkülm'sche 266. radiata 359. Lymph- 496. Corpora candicantia s. mamillaria 342. Milch- 319. Peyer'sche 266. " cavernosa 308. Corpus callosum 339. Sehild- 290. " cavernosum penis 308. solitäre 266. 17 " urcthrae 309. Speichel- 251. • 7 geniculatum 346. Steiss- 324. Highmori 304. Thymus- 290. luteum 313. Zirbel- 346. olivare 349. Ductus arteriosus Botalli 422. quadrigeminum 346. " Bartholini 252. . 23 restiforme 349. biliarii 273. " striatum 340. choledochus 272. vitreum 226. " cysticus 272. " cjaculatorius 307. Costae spuriae 67. , verae 67. " galactaphorus 319. " hepaticus 272. Cremaster 164, 306. " hepaticus 2... " lactiferus 319. " naso-lacrymalis 220. " pancreaticus 274. Crista (ac), ethnoidalis 11, 22. fibulae 124. galli 11. nasalis 23. parotideus 251. occipitalis interna 3. Rivini 252. 22 sacrales 54. Santorini 274. 39 tibiae 124. Stenonianus 251. 73 turbinalis 22. thoracicus 496. 22 Whartonianus 251. ulnae 91. ", Whartona." Wirsungianus 274. Crura cerebelli 349. " ad cercbrum 351.
" ad eminentiam quadrige-Dünndarm 264. " -Sehleimhaut 265. minam 351. Duodenum 264. cerebelli ad pontem 348. Dura mater cerebri 331. " " medullae 333. cerebri 348. " penis 308. Crusta ostoides radicis 247. E. Cuneus 337. Ebur 247. Eeke 228. Cupula 235. Cystis fellea 272. Eckzähne 248. Ei 313. Eichel 309. D. Eierstoek 312. Dacryocystis 220. Eierstoekfollikel 313. Damm 321. Eileiter 316. Darmbein 109. Ellbogenröhre 91. Eminentia capitata humeri 86. Declive 351. " collateralis Meckelii 341.
" cruciata interna 3.
" intercondyloidea tibiae 121. Decussatio pyramidum 349. Dentin 247. Descensus testiculi 306. pyramidalis 231. quadrigemina 346. Diaphragma 166. Dickdarm 266. Endocardium 417. -Schleimhaut 268. Discus oophorus 312. Endolympha 237. Dotter 313. Epididymis 305. Epiglottis 280. Dreieekiges Bein 99. Epistropheus 48. Drüsen, Bartholinische 318. Epoophoron 313. " Bauchspeichel- 374.

Erbsenbein 99.

Eustach'sche Ohrtrompete 232.

Brunner'sche 266.

Cowper'sche 308.

Heitzmann, Atlas. 6. Aufl.

F.	Foramen (mina), nasalia 27.
	" obturatum 111.
Falx cerebelli 332.	, occipitale magnum 5.
" cerebri 332.	, oesophageum diaphrag-
Fascia antibrachii 189.	matis 166.
" colli 158.	" opticum 6.
" dentata Tarini 341.	" ovalc cordis 418.
" iliaca 325.	, des Keilbeins 6.
" infundibuliformis 306.	" palatinum anterius 23.
" lata 208.	" " posterius 28.
" lumbo-dorsalis 165.	" parietale 12.
" palmaris 189.	" pro vena cava diaphrag-
" parotideo-masseterica 158.	matis 166.
" pelvis 325.	" rotundum 6.
" penis 309.	" sacralia 53, 54.
" perinei 325.	spinosum 6.
" praevertebralis 158.	" stylo-mastoideum 16.
" superficialis 325.	" supraorbitale 9.
" temporalis 149.	" Thebesii 419.
" transversa 165.	, transversarium 47.
Femur 119.	" Winslowii 271.
Fenestra cochleae s. rotunda 231.	Fornix conjunctivae 218.
" vestibuli s. ovalis 231.	" cranii 19.
Fersenbein 134.	" tricuspidalis 342.
Fibroeartilago intervertebralis 57.	" vaginae 316.
Fibula 124.	Forceps 360.
Filum terminale medullae 355.	Fossa glenoidalis 14.
Fimbria 341.	" iliaca 110.
" tuhae 316.	" infraspinata 83.
Fissura calcarina 336.	, jugularis 16.
" Glaseri 16.	, navicularis urcthrae 303.
" hippocampi 336.	, poplitea 119.
" mastoideo-squamosa 17.	, pterygoidea 7.
" orbitalis inferior 21.	" pterygo-palatina 44.
" petroso-squamosa 15.	" rhomboidea 353.
" sphenoidalis G.	" sacci lacrymalis 22, 29.
" Sylvii 334·	" scaphoidea 228.
" tympano-mastoidea 14.	" sigmoidea 15.
Flexura sigmoidea coli 266.	" supraspinata 83.
Flocke 350.	, trochanterica 119.
Flügelgaumengrube 44.	Fossula petrosa 16.
Folium cacuminis 351.	Fovea canina 21.
Follikel, Eierstock- oder Graafsche 312.	" centralis retinae 226.
" Peyer'sche 266.	" glandulae lacrymalis 10.
" solitäre 266.	" inguinalis 275.
Fontanellen 18.	" ovalis cordis 418.
Foramen (mina), alveolare 33.	" supratrochlearis 87.
" coccum 10.	Foveola femoris 119.
" condyloidea 5, " cribrosa 11.	, trochlearis 10. Frenulum clitoridis 318.
"	
" ethmoidalia 10.	" linguae 243.
" incisivum s. palatinum anterius 23.	" praeputii 309. Frontalschnitt 177.
intravilitale 91	Funiculus cuneatus 353.
intermentalinatia AC	gracitie 252
mandibulance almodono??	ligamentoene 101
martaideum 15	angematique 306
ma villavia armaniana 91	tores 252
mentale 32.	Furche, centrale oder Roland'sche 334.
" Monroi 312.	" Sylvische 331.
	· · · · · · · · · · · · · · · · · · ·

G.

Galca aponeurotica 149.

Gallenblase 272.

Ganglien des Grenzstranges 406.

Trigeminus-Gebietes 369. Ganglienzellenschichte 227.

Ganglion (a), Arnoldi 371.

Bochdalekii 371.

cervicale sympathici 406. \*7

ciliare 369. 11

coccygcum impar 406. -3

geniculi 372.

intervertebrale 382.

jugulare 376. 11

vagi 377.

22 lumbalia 406. oticum 371. 11

petrosum 376. sacralia 406.

semilunare Gasseri 364.

spheno-palatinum s. Meckelii

369.

submaxillare 371. supramaxillare 371.

thoracica 406.

Gaumen, harter 23.

weicher 243.

Gaumenbein 28.

Gaumenbögen 243.

Ganmensegel 243.

Gänsefuss 373.

Gebärmutter 314.

Geflechte des Sympathieus 406.

Gehirn 334.

" -Balken 339.

-Basis 347.

-Furehen 334.

-Gewölbe 342.

-Haube 348. -Häute 331.

-Hemisphären 334.

-Kammern 352.

kleines 350.

-Lappen 334.

-Mantel 360.

-Nerven 361.

-Selienkel 348.

-Stamm 358. -Textur 358.

-Triehter 348.

-Ventrikel 352

-Windungen 334.

-Wurm 350.

Gehörgang, äusserer 229

innerer 19, 237.

Gehörknöchelehen 232.

Gehörnerven 375.

Gehörorgan 228.

Gekröse 278.

Genu corporis callosi 339.

Geschmackswärzchen 253.

Gewölbe 342.

Giessbeekenknorpel 279.

Gingiva 243. Glabella 9.

Glandula (ae), auriculares 498.

axillares 500.

Blandini 252.

bronchiales 502

cernminales 229.

cervicales 499.

coccygea 324.

faciales 498.

jugulares 499.

inquinales 503.

lacrymalis 220.

lactiferae 319.

linguales 251.

lymphaticae 499.

Nuhnii 252.

palpebralcs s. Meibomii 218.

parotis 251.

pinealis 346.

popliteae 503.

salivales 251.

sublingualis 252

submaxillaris 251, 499.

suprarenales 296.

thymus 290.

thyreoidea 290.

Glans penis 309.

Glaskörper 226.

Glomeruli renum 297.

Glottis 282.

Graaf'sche Follikel 312.

Grenzstrang des Sympathicus 406. Grimmdarm 266.

Grube, Rosenmüller'sche 256.

Gubernaculum testis 306.

Gyri cerebri 334.

Gyrus fornicatus 336.

hippocampi 336.

occipito-temporalis 337.

### H.

Hakenbein 99.

Halswirbel 47.

Hammer 232.

Hamulus lacrymalis 29.

ptcrygoideus 7.

trochlcaris 10.

Handwurzel 99.

Harnblase 300.

Harnkanälchen 297.

Harnleiter 300.

Harnröhre, männliche 303.

weibliche 310.

65\*

Haube 348. Haut 211. Hantmuskel des Halses 153. Helicotrema Brescheti 236. Hemisphären des Grosshirus 334 Herz 414. Herzbeutel 412. Herzkammern 416. Herzklappen 417. Herzvorkammern 416. Hiatus eanalis Fallopiae 15. sacralis 54. Highmorshöhle 22, 25. Hilus renis 296. Hinterhauptbein 3. Hirci 229. Hirnanhang 348. Hirnnerven 361. Hoden 304. Hodensack 307. Horizontalschnitt 177. Hornhaut 222. Hornstreifen 341. Hüftbein 109. Humerus 86. Humor aqueus 222. Ilyaloidea 226. Hydatis Morgagni 305. Hymen 317. Hypophysis cerebri 348. Hypothenar 187.

I. Ilenm 264. Impressiones digitatae 15. Incisura ethmoidalis 10. intertragica 228. 22 ischiadica major, minor 109. " jugularis 66. nasalis 9. 23 pallii 360. 33 peronea 125. 22 pterygoidea 6. sacro-coccygea 53. semilunaris 66. 22 radii 92. 27 supraorbitalis 9. Incus 233. Infundibulum cerebri 348. Insula cerebri 334. Insulae pulmonales 290. Iris 224. Isthmus faucium 244. tubae 316. Vienssenii 418.

Jejunum 264. Jochbein 26. Juga alveolaria 23. " cerebralia 15.

#### K.

J.

Kalinbein 99, 134. Kammerwasser 222. Kehldeckel 280. Kehlkopf 279. Keilbein 6, 135. Keilstrang 353. Keimbläschen 313. Keimfleck 313. Kern, grauer 353. des Sehhügels 340. Kiefergelenk 36. Kitzler 318. Klappdeckel 334. Klappen des Herzens 417. Klappenwulst 350. Kleinhirn 350. Kniescheibe 127. Knötchen 350. Kopfhein 99. Kranzarterie 423. Kreislauf 493. Kreuzbein 53. Krumındarın 264. Krystalllinse 226. Kuppel 235.

#### L.

Labia majora et minora 318. Labyrinth, häutiges 237 knöchernes 234. des Siebbeins 11. Lacertus fibrosus 175. Lacunae Morgagni 303. Lacus lacrymarum 220. Lamina cribrosa 11, 222. eerebri 317. 22 fusca 222. modioli 235. papyracea 11. perpendicularis 11. Ruyschii 223. spiralis cochleae 236. membranacca 236. Laquens 352. Larynx 279. Leber 269. Leberbau 273. Leerdamm 264.

T . 040		1	
Leier 343.		Ligamentum (t	ta), hepatis teres 270.
Leiste 226.	7=	, ,,,	hepato-duodenale 271.
Leistengrube 2		>>	" gastricum 263.
Lema palpebra		77	ilio-femorale s. Bertini
Lemniseus 352			121.
Lendenwirbel	0 - 0	>>	" lumbale 114.
Lens crystalling		,,	" sacrum 114.
Lidbändehen 2		"	interclaviculare 84.
Lidknorpel 218		27	intercruralia 56.
	e Krypten 266.	) >2	interspinalia 58.
Lien 274.		,,	intertransversalia 58.
Ligamentum (ta	), accessorium 105.	27	ividis pectinatum 224.
27	acromio-claviculare 85.	21	ischio-prostaticum 326.
22	alaria dentis 61.	"	latum uteri 314.
2)	" genu 131.	n	longitudinalia columnae
39	annulare vadii 96.		56.
57	apicum 58.	>>	mucosum 131.
n	arcuatum pubis 113.	รา	nuchae 58.
77	Bertini 121.	>>	ovarii proprium 312.
;;	calcaneo-cuboideum 138.	27	palpebralia 218.
,,	" fibulare 138.	"	pectinatum iridis 224.
n	, scaphoideum	"	phrenico-gastricum 263.
	138.	"	plantare-obliquum 141.
27	carpi 102.	"	popliteum 129.
77	, commune dorsale	"	Pouparti 164.
	189.	"	vhomboideum 104.
**	" transversum 106.	"	rotunda uteri 314.
"	colli eostae 74.	"	saero-coccygea 64.
37	conicum 85.	,,	scapho-enneiformia 138.
"	conicum s. erico-thyre-	"	spinoso-saevum 114.
"	oideum 281.	<b>37</b>	sterno-claviculare 84.
))	coraco-acromiale 85.	'n	" costalia 75.
33	" brachiale 89.	17	stylo-maxillare 37.
37	" claviculare 85.	72	suspensorium dentis 62.
"	coronarium hepatis 270.	,,,,,,,,,,,,,,,,,,,,,,,,,,,,,,,,,,,,,,	" hepatis
71	costo-claviculare 84.		270.
37	" transversale 74.	n	suspensorium penis 309.
;;	" xyphoideum 77.	1)	talo-calcaneum 138.
"	crico-arytenoidea 281.	77	" fibulare 138.
n	" thyreoidea 281.	"	" scaphoideum 139.
n	, tracheale 281.	"	tarso-metatarsea 138.
<b>7</b>	cruciata genu 128, 203.	n	teres coxae 22.
" "	cruciatum atlantis 61.	11	" hepatis 270.
n	cruris transversum 127.	37	thyreo-arytenoidea 282.
;,	cubo-cuneiforme 138.	n	" epiglotticum 281.
n	" scaphoideum 138.	M	" hyoidea 280.
"	deltoides 139.	;>	tibro-fibulare 137.
n	denticulatum mcdullac	"	transversum atlantis 61.
	333.	23	trapezoides 85.
n	fibulare-calcaneum 138.	r	tuberoso-sacrum 114.
27	" tali 138.	17	nteri latum 314.
'n	flava 56.		vesico-umbilicalia 275.
n	fundiforme tarsi 203.	"	vocalia 282.
n	gastro-colicum 263.	Ligula 306.	
" "	, lienale 263.	Limbus acetabr	uli 122.
n	" phrenicum 263.		nis ovalis cordis 418.
33	glenoideo-brachiale 89	Linea (ae), aren	1.00
"	glosso-epiglottica 252.		ra femoris 119.
"	glottidis 282.		glasii 163.
n	hepatissuspensorium270.		trochanterica 119.

Linca (ae), mylo-hyoidea 33.	Mastdarm 266.
obliqua externa mandibulae 32.	Meatus acusticus externus 229.
" poplitea 125.	internal 15 997
semicirculares externae 4.	an marketing AD
semicircularis 9	" " " " " " " " " " " " " " " " " " "
77	
Lingua 252.	testis 304.
Lingula cerebri 352.	Medulla oblongata 319.
" mandibulae 33.	spinalis 355.
Linse 226.	Meibom'sehe Drüsen 218.
Linsenkern 340.	Membrana Descemeti 222.
Lippe 243.	ligamentosa 63.
Liquor cerebro-spinalis 333.	limitans retinae 226.
" folliculi 312.	" obturatoria anterior 59.
" pericardii 413.	n n n posterior 60.
Lobulus (i), auriculae 228.	, tympani 230.
candatus e Snigelii 269	" secundaria 231.
" contralia 251	Meninx dura cerchralis 331.
" frontalis 334.	
" lingualis 337.	" " spinalis 333.
n tingamis 357.	" serosa s. arachnoidea 333.
" parietalis 335.	vasculosa s. pia 333.
" pulmonales 290.	Mesenterium 278.
" quadratus 269.	Mesocolon 278.
Locus caerulens 354.	Mcsorchium 306.
Luftröhre 288.	Milehdrüsen 319.
Lunge 289.	Milehzähne 249.
Lympligefässe 496.	Milz 274.
" des Beckens 504.	Mittelfell 291.
der Brysthöhle 502.	Mittelfleisch 321.
dos Darmennales 506	Mittelhandknochen 101.
der Genitalien 503	Modiolus 235.
des Hodens 505.	Mondbein 99.
"	
des Kopfes u. Halses 498.	
, der Leber 506.	Montieulus vermis 351.
" der oberen Extremität 500.	Morgagni'sche Ventrikel 282.
" des Schenkels 503.	Morsus diaboli 316.
" der unteren Extremität	Mundhöhle 243.
503.	Muskeln des Auges 220.
Lyra Davidis 343.	des Banches 163.
	" der Brust 160.
	des Fusses 203.
$\mathbf{M}.$	des Gaumens 257.
	der Gehörknöchelchen 233.
Macula (ae), cribrosae 234.	" des Gesichtes 149.
" germinativa 313.	doe Halvas 159
". lutea retinae 226.	der Hand 186.
Magen 262.	dov. Hiifto 190
Mahlzähne 248.	des Kehlkopfes 283.
Mallcoli 124.	des Kiefers 151.
	"
Mallens 232.	des Kopfes 149.
Malpighi'sche Pyramiden 296.	des Oberarmes 175.
Mamma 319.	des Oberschenkels 193.
Mandel 244.	" der Ohrmuschel 228.
, des Gehirns 350.	" Papillar-, des Herzens 417.
Mandibula 32.	, des Rachens 257.
Manubrium sterni 66.	" des Rückens 167.
Margo coronalis 10.	der Schulter 173.
" supraorbitalis 🤉 .	des Unterarmes 180.
Mark, verlängertes 349.	des Unterschenkels 199.
Markhügel 342.	Musculus, abdominis obliquus externus e
Marksegel 351.	internus 164.
The state of the s	THEOT TO A

Ius	eulus (li	), abdominis rectus 163.	Musculus (1i)	), depressor septi mobilis na-
	ກ	" transversus 165.		rium 150.
	37	adductores femoris 194.	, ,,	detrusor urinae 300.
	77	anconaeus 176.	31	digastricus mandibulae 153.
	11	ani levator 268.	n	digiti indicis extensor pro-
	<b>)</b> 7	ani sphincter externus et	1	prius 184.
		internus 268.	37	digiti minimi abductor 187.
	32	antitragicus 228.	pı	" " extensor pro-
		arytenoideus obliquus et		prius 184.
	n	transversus 283.		digiti minimi flexor brevis
		aryepiglotticus 283.	22	187.
	22	auriculae attollens et retra-		digiti minimi opponens 187.
	11	hens 151.	n	
		auriculae transversus 228.	27	" pedis minimi abductor 204.
	>>			
	זו	azygos pharyngis 257.	27	digiti pedis minimi flexor
	יני	" uvulae 245.		brevis 204.
	22	biceps brachii 175.	>>	digitorum manus communis
	4	" femoris 197.		extensor 184.
	27	biventer cervicis 170.	22	digitorum manus communis
	33	" mandibulae 153.		flexor profundus s. perforans
	;)	brachialis internus 176.		182.
	n	brachii biceps 175.	n	digitorum manus communis
	22	" triceps 176.		flexor superficialis s. per-
	n n	brachio-radialis brevis et		foratus 180.
		longus 183.		digitorum pedis communis
		buccinator 151.	))	extensor brevis 203.
	))	bulbo-cavernosus 321.		digitorum pedis communis
	יו	capitis rectus anticus, late-	. "	extensor longus 199.
	22			
		ralis, longus 157.	"	digitorum pedis communis
	17	capitis recti et obliqui postici		flexor brevis 205.
		172.	>>	digitorum pedis communis
	77	cephalo-pharyngeus 257.		flexor longus 201.
	n	cerato-pharyngeus 257.	22	dilatator pupillae 224.
	22	cervicalis ascendens 170.	19	dorsi latissimus 168.
	"	cervicis liventer 170.	22	" longissimus 170.
	*1	chondro-pharyngeus 257.	ח	epicranius 149.
	99	ciliaris 149, 223.	"	crector trunci 170.
	31	coccygeus 192.	*1	femoris adductores 194.
	22	colli longus 157.	33	" biceps 197.
	* 33	complexus 171.	,,,,,,,,,,,,,,,,,,,,,,,,,,,,,,,,,,,,,,,	" quadratus 191.
	,,	compressor nasi 150.	"	" quadriceps 193.
	17	constrictor cunni 324.	"	" rectus 193.
		iothmi fancium		frontalis 149.
	22	246.	**	gastrocnemius 200.
		constrictor pharyngis 257.	77	gemellus surae 200.
	27	coraco-brachialis 175.	27	genio-glossus 155.
	33	corrugator supercilii 149.	"	" hyoideus 155.
	97		17	glosso-pharyngeus 257.
	22	costarum levatores 170.	11	glutaeus magnus, medius,
	27	cremaster 164.	>>	
	77	crico-arytenoideus lateralis et		minimus 190.
		posticus 283.	22	gracilis 194.
	22	crico-pharyngeus 257.	2)	hallucis abductor 204.
	22	" thyreoideus 283.	27	" adductor 204.
	ח	cucullaris 168.	"	, extensor longus 199.
	33	cunni constrictor 324.	,,	" flexor brevis 204.
	יו	deltoideus 173.	"	" " longus 201.
	n	depressor alae nasi 150.	"	helicis major et minor 228.
	זי	" anguli oris 150.	,,,	hyoglossus 155.
	" "	", labii inferioris	'n	hyopharyngeus 257.
	''	151.	"	iliacus internus 192.
			, "	

1f	2) 17:	11	100
Musculus (t	i), ilio-costalis 170.	Muscueus (11	i), palmaris longus 180.
19	ilio-psoas 192.	>>	palpelrae levator 220.
11	incisivi 151.	21	papillares 417.
2)	indicator 184.	n	pectinati s. trabeculae carneae
17	infraspinatus 173.		416.
33	intercostales 162.	21	pectineus 194.
	interossei manus 187.		pectoralis major 160.
"	pedis 205.	27	
27	interspinales 172.	"	" minor 161.  pedis interossei 205.
>>	intertransversarii 172.	72	
**		יו	" lumbricales 201.
21	ischio-cavernosus 321.	7	perinei transversi 323.
22	labii superioris levator pro-	22	peroneus brevis, longus et
	prius 150.		tertius 199.
n	labii superioris et alae nasi	32	petro-staphylinus s. levator
	levator 150.		palati 245.
22	laryngo-pharyngeus 257.		plantaris 200.
	latissimus dorsi 168.	77	platysma myoides 153.
27	laxator tympani 233.	77	pollicis abductor brevis 186.
77		77	
37	levator anguli oris 150.	22	" longus 184.
77	" ani 268.	>>	" adductor 186.
11	" costarum 170.	32	" extensor longus 184.
22	" menti 151.	n	" flexor brevis 186.
22	" palpebrae superioris	, ,	" " longus 182.
	220.	,,	" opponens 186.
>>	" proprius alae nasi 150		poplitens 201.
	" scapulae 169.	77	procerus Santorini 150.
"	veli malatini 945	, 11	pronator quadratus 182.
:7		22	1000 100
77	longissimus dorsi 170.	>>	"
th.	longus colli 157.	22	psoas 192.
17	lumborum quadratus 165.	27	pterygoideus externus et
7 <b>†</b>	lumbricales 182, 201.		internus 152.
n	mandibulae biventer 153.	,,	pterygo-pharyngeus 257.
,,	manus interossei 187.	"	pyramidalis 163.
77	masseter 152.		pyriformis 191.
22	mentalis 151.	27	quadratus femoris 191.
	menti quadratus 151.	;)	7
22	" triangularis 150.	**	manti 151
37		;7	
22	multifidus spinae 172.	n	pronator 182.
27	mylo-hyoideus 155.	27	quadriceps cruris extensor
22	mylo pharyngeus 257.		193.
22	nasalis 150.	n	radialis externus brevis et
25	obliqui abdominis 164.		longus 183.
>>	" capi/is 172.	27	radialis internus 180.
;;	" eolli 157.		recto-coccygens 268.
	" oculi 221.	22	rectus abdominis 163.
*1	7."	13	agnitic actions late-
27	_	_ n	" and the second
	ternus 191.		galis 157.
77	occipitalis 149.	;1	" eapitis minor 172.
**	oculi obliqui 221.	22	retrahentes aurieulae 151.
n	" orbicularis 149.	"	rhomboideus 168.
,•	" recti 221.	**	risorius 150.
"	omo-hyoideus 154.		sacro-lumbalis 170.
	orbicularis orbitae 149.	27,	sartorius 193.
2)		77	sealeni 156.
"	oris anguli levator 150.	11	scapulae levator 169.
27	" orbicularis 151.	27	
יי	paloti levator et tensor 245	97	semimembranosus 198.
>>	palato-ylossi 246.	17	semispinalis capitis cervicis
;;	" pharyngeus 246.		et dorsi 171.
*7	" staphylinus 245.	33	semitendinosus 197.
>>	palmaris brevis 187.	,,	septi nasi depressor 150.
		- 11	

Musculus (li)	, serratus anticus major 161.	Nasen-Kno	orpel 21%
,,	" posticus superior et	" Mu	scheln des Siebbeins 11.
	inferior 169.	" Mu	schel, untere 30.
>>	solens 200.		stock 313.
17	sphincter oris 151.	Nebenhode	en 305.
21	" pupillae 224.	Nebennier	
>>	" vesicae 300.	Nervus (vi	), abducens 364.
"	spinalis 171.	22	aecessorius Willisii 381.
••	splenius capitis et colli 169.	13	acusticus 375.
n	stapedius 233.	27	ad tensorem Tympani 371.
27	sterni triangularis 162.	17	alveolares 366.
*)	sterno-cleido-mastoideus 153.	22	antibrachii cutanei 390.
21	" hyoideus 154.	21	, interosseus exter-
n	" thyreoideus 154.		nus 392.
"	stylo-glossus 155.	"	" interosseus inter-
22	" hyoideus 155.		nus 390.
;;	subclavius 161.	>>	auricularis magnus 384.
"	subcruralis 193.	22	" posterior 373.
27	subcutaneus colli 153.	ກ	" vogi 377.
"	subscapularis 173.	22	auriculo-temporalis 367.
>>	supercilii corrugator 149.	>>	axillaris s. circumflexus bra-
n	supinator longus et brevis		chii 389.
	183.	n	brachiales 386.
77	supraspinatus 173.	27	brachii cutaneus externus s.
27	temporalis 152.		musculo-eutaneus 389.
n	tensor chorioideae 223.	"	bracchii eutaneus internus et
22	" fasciae latae 190.		medius 388.
27	" palati 245.	۳ .	bronchiales 380.
"	" tympani 233.	n	buccales 374.
n	teres major et minor 173.	17	buccinatorius 367.
>>	thyreo-arytaenoideus 283.	22	cardiaci 379.
n	" epiglotticus 283.	17	" sympathici 406.
n	, hyoideus 154.	"	carotico-tympanici 376.
n	" pharyngeus 257.	21	caroticus 376.
:)	tibialis anticus 199.	"	cervicales 384.
27	" posticus 201.	7	chorda tympani 372.
n	trachelo-mastoideus 171.	11	ciliares 369.
n	tragicus 228.	n	coecygeus 398.
n	transversalis cervicis 170.	>>	cochleae 375. colli subcutaneus 385.
97	transversus abdominis 165.	n	
n	trapezius 168.	n	cruralis s. femoralis 397. dentales 366.
77	triangularis sterni 162.	"	digastricus 372.
η	trochlearis 221. ulnaris externus 184.	**	digitales 390, 391, 403.
n	" internus 180.	>>	dorsales 393.
"	vasti 193.	79	ethmoidalis 365.
••	vesicae sphincter 300.	"	facialis 372.
n	zygomaticus major et minor	11	femoris cutaneus externus 396.
n	150.	n	intermus 307
Mutterbände	and the second s	37	" masteriar 399
Muttermund		"	frontalis 365.
Muttertromp		77	genito-cruralis 396.
Diameter in omp	CEC 510.	**	glosso-pharyngeus 376.
		"	glutaci 399.
	N.	, n	haemorrhoidales 401.
TM.		"	hypoglossus 381.
Nares 216.		n	ileo-hypogastricus 395.
Nasen-Bein	27.	"	" inguinalis 395.
Gänge 43.		9	infra-maxillaris 367.
" Höhle		,,	, trochlearis 365.
<i>"</i>		"	66
neitzm:	inn, Atlas. 6. Aufl.		

Nervus (vi)	, intercostales 393.	Nervus (vi), scrotalis posterior 404.
77	interosseus externus 392.	" septi narium 370.
72	" internus 390.	" spermaticus externus 396.
22	ischiadicus 399.	" spheno-palatini 367.
"	Jacobsonii 376.	" spinales 382.
77	lacrymalis 365.	enlanchnia: ACC
21	laryngei 379.	stylo-hyoideus 373.
**	laryngeus recurrens 380.	subcutaneus colli amanion 27 1
31	lingualis glosso-pharyngei 376.	
<b>37</b>	" trigemini 368.	" maxillae inferio-
22	"	ris 374.
22	lumbales 395.	, malae 366.
77	lumbo-inguinalis 396.	suboccipitalis 384.
-	malaris 366.	" subscapulares 386.
93	mandibularis 368.	" supraclaviculares 385.
"	massetericus 367.	" supramaxillaris 366.
71	medianus 389.	" supraorbitalis 365.
27	menta is 368.	" supratrocldearis 365.
"	museulo-cutaneus 389.	" surae communicans 402.
	mylo-hyoideus 368.	, cutanei 398, 400.
27	nasalis anterior et poste-	" sympathiei 405.
33	rior 370.	temmovales 266 267 971
	naso-ciliaris 365.	temmoro-frontales 272
22	" palatinus 370.	tomognie tummani 271
77	obturatorius 396.	7
"		, thoracici 386.
n	occipitalis magnus et minor 384	" tibialis s. popliteus internus 401.
"	oculomotorius 363.	" trigeminus 364.
22	olfactorius 361.	" troehlearis 363.
37	ophthalmicus 365.	" ulnaris 390.
"	opticus 362.	, vagus 377.
27	orbitales 369.	" vestibuli 375.
"	palatini 370.	" Vidianus 370.
,, 11	patheticus 363.	, volares digitorum 390.
" "	pectoris cutanei 393.	" zygomaticus 366.
	pedis dorsalis entaneus 400.	Nester 354.
"	penis dorsalis 404.	Nctz, grosses, klcines 263.
37	perinealis 404.	Netzhaut 226.
27	peroneus s. propliteus ex-	Nieren 296.
"	ternus 400.	Nicren-Becken 297.
	peroneus profundus et super-	Kalch 997
27		" Knäuel 297.
	ficialis 400.	"
n	petrosus profundus 370.	" Pyramide 296.
יי	" superficialis major	Wärzchen 296.
	370.	Nodulus Arantii 417.
מ	" superficialis minor	" cerebri 348.
	371.	" Malacarni 350.
53	pharyngeiglossopharyngei 376.	Nucleus dentatus 354.
27	$\mathbf{vagi}$ 379.	, lentiformis 340.
32	phrenicus 385.	Nymphae 318.
"	plantaris externus 403.	
יי	" internus 402.	
"	pneumogastricus 377.	0.
	popliteus externus et in-	<b>.</b>
;7	ternus 400.	Oberarmbein 86.
	pterygoideus externus et in-	Oberkiefer 21.
22	ternus 367.	Oberschenkelbein 119.
	pudendus 404.	Occipitallappen 336.
"	radialis 392.	
13		Oesophagus 262.
19	recurrens 381.	Ohr-Muschel 228.
19	sacrales 398.	" Schmalzdrüsen 229.
13	saphenus major 397	Olecranon 91.

Oliven 349. Papillae circumvallatae 252. Omentum majus et minus 263. fungiformes 252. lenticulares 252. Operculum 334. renales 296. Ora serrata 223. Orbita 41. Parietallappen 335. Os(Ossa), capitatum 99. Paroophoron 313. carpi 99. Parotis 251. Parovarium 313. coccygis 55. Patella 127. coxae 109. cuboideum 136. Paukenhöhle 231. cuneiformia 135. Pedunculus cerebri 348. ethmoideum 11. pulmonum 289. " pulmon Pelvis renum 297. frontis 9. hamatum 99. Penis 308. hyoides 39. " cerebri 346. 22 Pericardium 412. ilei 109. ischii 109. Perilympha 237. lacrymale 29. Perineum 321. lunatum 99. Peritoneum 278. 33 maxillare 21. Pes anserinus major 373. " " minor 366. " hippocampi 341. metacarpi 101. 27 nasale 27. Pfanne 111. Pflugscharbein 31. naviculare 134. occipitis 3. 22 palatinum 28. Pfortader 491. 22 parietale 12. Phalangen 101. 27 petrosum 15. Pharynx 256. pisiforme 99. Pia mater 333. pubis 109. Placenta 494. Platysma myoides 153. sacrum 53. Pleura 291. scaphoideum 99, 134. Plexus chorioidei cerebri 343. sphenoideum 6. haemorrhoidalis 486. temporum 14. 27 lymphaticus axillaris 500. trapezium s. multangulus majus " jugularis 499. 27 trapezoides s. multangulus minus nervosus abdominalis 407. , aorticus 407 brachialis 386 triquetrum s. pyramidale 99. 17 bronchialis 380. vomeris 31. 19 17 zygomaticum 26. cardiacus 407. 11 22 Ossiculum auditus 232. caroticus 406. 13 27 " cavernosus 406.
" cervicalis 384.
" coccygeus 398. Bertini 7. 17 lenticulare Sylvii 233. 49 Wormianum 13. coeliacus s. solaris 407. Ostia cordis 416. 45 Otolithen 237. Ovarium 312. dentalis 366. 77 12 gastricus 380. hypogastricus 407. 22 99 Oviductus 316. 99 49 Ovula Nabothi 315. ischiadicus 398. 99 17 Ovulum 313. laryngeus 407. 23 lumbalis 395. 19 mesentericus 407. 27 22 P. nodosus vagi 377. 10 oesophageus 380, 407. 22 Pacchioni'sche Grübchen 10, 13. pudendalis 398. 19 22 Palatum molle s. Velum palati 243. pulmonalis 407. 77 renalis 407. Palmae plicatae 315. Palpebrae 218. sacralis 383. 17 Pancreas 274. sacro-coccygeus 398. 17 Papilla nervi optici 226. solaris 407. 66\*

Plexus nervosus spermaticus 407. 22 nterinus 407. 11 vesicalis 407. pampiniformis 485. pudendo-vesicalis 486. ntero-vaginalis 487. renosus lumbalis 485. Plica conjunctivae semilunaris 219. Plicae sigmoideac 268. Plis de passage 336. Porus acusticus externus 16. internus 15. Pons Varoli 348. Porta hepatis 269. " renis 296. Portio intermedia 372. vaginalis uteri 314. Praecuneus 337. Praeputium 309. clitoridis 318. Processus accessorius vertebrae 52. anonymus 5. 11 cerebelli ad corpus quadrige-22 minnm 351. $ciliares\ 223.$ clinoidei G. condyloideus 5, 31. coracoideus 83. coronoidens 31. ensiformis 66. • 7 jugularis 5. 72 mammillaris 52. 11 mastoideus 14. 15 muscularis 279. odontoideus 48. pterygoidei 6. pyramidalis 28. styloideus 16. 19 radii 92. 27 ulnae 91. uncinatus 11. 33 vaginalis peritonei 306. vermiculariss, vermiformis 266. vocalis 279. xyphoideus 66. " zygomaticus 14. Prominentia laryngea 279. Promontorium cochleae 231. pelvis 65. Prostata 307. Protuberantia mentalis 32. occipitalis externa 4. interna 3. Psalterium 343. Pulmo 289. Pulpa dentis 247. lienis 274. Pupille 224. Pylorns 272.

Pyramiden des Cerebellum 350.

Pyramiden, Malpighi'sche 296. "— des verlängerten Markes 349. Pyramidenbein.

## Q.

Querschlitz des Gehirnes 346

R. Rachen 256. Racheneingang 244. Raehenmuskeln 257. Rachenwand 255. Radius 92. Rami communicantes sympathici 405. Raphe corporis callosi 339. " scroti 307. Rautengrube 353. Receptaculum chyli 496. Recessus hemiellipticus 237. hemisphaericus 237. laterales 354. Rectum 266. Regenbogenhaut 224. Renes 296. Reniculi 296. Rete carpi dorsale 447. , testis Halleri 304. Retina 226. Riech-Kolben 361. Nerv 361. Organ 215. " Organ Streifen 361. Riemehen 354. Rima glottidis 282. " oris 243. pudendi 318. Ringknorpel 279. Rippen 68. falselie, wahre 67. Rippen-Knorpel 67. Rosenmüller'sche Grube 256. Rostrum cochleare 231. sphenoidale 7. Rückenmark 355.

# S.

Sacculus labyrinthi 237. Saccus lacrymalis 220. Sagittalsehnitt 177. Samen-Bläschen 307. "Kanälchen 304. "Leiter 305.

Rückenmarks-Häute 333.

Rückenmarks-Nerven 382.

Sinus transversus 477. Samen-Strang 306. " Valsalvae 423. Sattelgrabe 6. Scalae cochleae 236. Sitzbein 109. Scapula 82. Speicheldrüse 251. Schädelhöhle 40. Speiseröhre 262. Spina angularis 6. Schambein 109. " ilei 109. Schambügel 318. Schamlippe 318. ischii 109. Schamspalte 318. mentalis interna 33. Scheide 316. nasalis anterior 23. Seheidenklappe 317. " superior 9. Sehenkel des Zwerchfells 166. scapulae 83. Spinal-Nerven 382. Schienbein 124. Schilddrüse 290. Spiralblatt der Schneeke 235. Schildknorpel 279. Splen 274. Sehläfebein 14. Splenium corporis callosi 339, 346. Sehleife des Gehirus 352. Sprungbein 133. Sprunggelenk 137. Sehleimhäute des Darmes 265, 268. der Nasenhöhle 215. Sromanum s. flexura coli sigmoidea 266. Stäbehen der Retina 227. Schlundkopf 256. Stabkranz 360. Schlüsselbein 81. Sehmelz 247. Stammlappen 334. Sehneeke des Ohres 235. Stapes 233. Sehneidezähne 248. Steigbügel 233. Schnepfenkopf 303. Steissbein 55. Schreibfeder 354. Steissdrüse 324. Schulterblatt 82. Sternum 66. Sehwellkörper 308. Stimmbänder 282. Sclerotica oculi 222. Scrotum 307. Stimmritze 282. Stirnbein 9. Scyphus Vieussenii 235. Stirnhöhlen 10. Sebum palpebrale s. Lema 218. Stirnlappen 334. Stränge, Keil-, runde, zarte 353. Strangförmige Körper 349. Selihügel 340. Sehloeh 224. Streifenhügel 340. Sehstreifen 340. Seitenkammer 340. Stria acustica 353. " cornea 341. Lancisii 339. Seitenwandbein 12. Sella turcica 6. Semicanalis nervi Vidiani 15. Subarachnoidealraum 333. Subiculum cornu Ammonis 336. Sublingualdrüse 252. tensoris tympani 16, 231 Septum atriorum 416. , narium osseum 43, 215. Submaxillardrüse 251. pellucidum 342. Substantia adamantina 247. scroti 307. nigra pedunculi 248. ventriculorum 416. perforata anterior 347. Siebbein 11. Sulcus calcanei 134. Sinnes-Apparate 211. calloso-marginalis 336. 17 Sinus alae parvae 477. caroticus 6. cavernosus 477. centralis Rolandi 334. 27 circularis 477. intertubercularis 86. confluens 477. Jacobsonii 231. durae matris 477. lacrymalis 22. falcis major s. longitudinalis 477. mylo-hyoideus 33. " minor 477. occipito-temporalis 337. 22 frontales 10. olfactorii 337. Morgagni 268. 282. orbitalis 337. 27 occipitalis 477. petrosus superior 15. petrosus 477. praecentralis 335. rectus 477. pterygo-palatinus 7, 28. tarsi 134. Sylvii 334.

Topographie der Lungen 287. Sulcus tali 133. " temporalis 336. des Mediastinums 291. 77 der Nieren 299. transversus cordis 414. des Perineum 220-224. uluaris 87. Torcular Herophyli 477. Supercilia 218. Trabeculae carneae cordis 416. Sustentaculum 134. Trachea 288. Sutura coronalis 18. " frontalis 18. Tractus nervi olfactovii 361. " nervi optici 362. lambdoidea 18. mastoidea 18. spiralis foraminulentus 237. petroso-squamosa 17. Tragus 228. Trapezbein 99. sagittalis 18. Trapezoidbein 99. Sylvi'sche Furche 331. Trichter des Gehirns 348. Symphysis ossium pubis 113. Trichtereingung 345. Trigonum colli 158. sacro-iliaca 114. " nevvi olfactorii 361. vesicae 300. T. Trochanter major et minor 119. Trochlea 86. Taeniae coli 268. foveae rhomboideae 354. Trommelfell 230. medullares 346. Trommelhöhle 231. Talus 133. Trunci lymphatici 496. Tapetum cerebri 341. Truncus arteriosus costo-cervicalis 441. " thoraco-acromialis 443. " vigrum oculi 223. Tarsus palpebrae 218. thyreo-cervicalis 441. Tuba Eustachii 232. Tastkörperchen 253. Tegmen tympani 16. uteri Fallopiae 316. Tegmentum caudicis 348. Tuber cinereum 348. , frontale 9. " ventriculorum 339. " parietale 12. Tela choroidea inferior 354. valvulae 350. Tuberculum articulare 14. caudatum 269. Temporallappen 336. 49 cinereum 353. Tentorium cerebelli 332. Testiculi 304. costae 71. ileo-pubicum 110. Thal 349. -11 Thalamus opticus 340. Lisfrancii 70. Theca folliculi 312. papillare 269. Thenar 186. pubicum 110. 27 Thorax 78. sellae 6. Thränenbein 29. Tuberositas maxillaris 21. Thränenorgane 220. ossis ischii 109. Thränensack-Grube 22. Tubuli seminiferi 304. Thymusdrüse 290. uriniferi 297. Tunica albuginea testis 304. Tibia 124. , dartos 307. Tonsilla cerebelli 350. palati 244. vaginalis testis propria 306. Topographie der Bauchorgane 258-261 Türkensattel 6. der Bauehwand 278. des Beekens 301. der Brusteingeweide 292,

412.

73

33

71

der Brusthöhle 290.

des Dünndarms 267.

des Halses 157, 429.

der Leistenregion 507.

des Kehlkopfes 284.

der Leber 273.

des Dammes 220-224.

U.

Umbo 230. Uncus 336. Unterkiefer 32. Uveter 300. Urethra, männliche 303. " weibliche 310.

Ulna 91.

Uterus 314. Vena (ae), ileo-lumbalis 486. portio vaginalis 315. iliacae 485, 486. Uvula cerebelli 350. innominatae 476. 22 palati 243. intercostales 476. 22 vcsicae 300. jugulares 476. labiales 479. lingualis 477. 33 V. lumbales 485. 22 mammaria interna 476. Vagina 316. maxillaris interna 479. Vallecula Reilii 349. mediana colli 480. Valvula (ae), bicuspidalis 420. cubiti 483. mediastini 476. coli s. ileo-coecalis 265. 22 conniventes 265. meningeae 478 22 32 Eustachii 419. mesentericae 491. 22 Heisteri 272. nasales 479. mitralis 420. obturatorine 486. semilunares arteriarum 420. ophthalmica 478. 416. septi atriorum palatina 479. 22 72 palpebrales 479. 22 Thebesii 419. paratidea 479. tricuspidalis 420. penis 486. 27 Varolsbrücke 348. pericardiacae 476. 22 Vas deferens 305. peroneae 489. 22 pharyngeae 477. Vasa chylifera 506. 22 inter- et intralobularia 273. phrenicae 476. 22 vasorum 452. poplitea 489. vorticosa 225. portae 491 " Vasculum aberrans testis 305. pudenda 489. radialis 483. Velum medullare inferius s. posterius 350. 33 superius s. anterius 351. ranina 479. 22 Vena (ae), angularis 479. , anonyma brachio-cephalica 477. renalis 485. sacci lacrymalis 478. auditiva interna 478. sacrales 485, 22 auriculares 479. saphena magna et minor 489. 22 axillaris 483 spermatica interna 485. 22 azygos 476, 484. splenica 492. 22 22 subclavia 476. basilica 483. 22 22 submentalis 479. brachiales 483. " ;; supraorbitalis 479. buccales 479. 22 cava inferior 485. suprarenales 485. " superior 476. temporales 479. 22 tibiales 489. centralis retinae 478. 22 23 cephalica 483. thymicae 476. 22 32 thyreoideae 479. cerebrales 478. 22 thyrcoidea ima 476. cerebri magna 478. 22 ulnaris 483. ciliares 478. 33 22 umbilicalis 485. cruralis 485. 22 vertebrales 476. digitales 483. 22 Ventriculus 262. epigastricae 489. Ventriculus (i), laryngis s. Morgagni 282. faciales 476. laterales 340. faciei transversae 479. quartus 352 frontalis 478. septi pellucidi 342. Galeni 478. 27 22 tertius 345. gastricae 491. 22 Vermis 350. gastro-epiploiea 492. Vertebra prominens 49. gluteae 486. Vesica urinaria 30'). hemiazygos 484. 22 hepaticae 485. Vesicula germinativa 313. seminalis 307. hypogastrica 485. 22

Vestibulum labyrinthi 234.

" oris 243.
" vaginae 318.
Vierhügel 346.
Villi intestinales 265.
Vitellus 313.
Vogelsporn 341.
Vomer 31.
Vorhaut 309.
Vorhof des Labyrinthes 234.
Vormauer 340.
Vorsteherdrüse 307.
Vorzwickel 337.

W.

Wadenbein 124, Warzenhof 319, Windungen 334, Wipfelblatt 351, Wirbel 46, Wirbelsäule 65,

Vulva 318.

Wollustorgane 318, Würfelbein 136, Wurm 350,

Z.

Zähne 247.
Zahnfleisch 243.
Zahnkeim 247.
Zange 360.
Zäpfchen 243.
Zirbel 346.
Zona orbicularis Weberi 121.
" pellucida 313.
Zonula ciliuris s. Zinnii 226.
Zotten des Darmes 265.
Zunge 252.
Züngelehen 352.
Zungenbändehen 243.
Zungenbein 39:
Zwerehfell 166.
Zwiekel 337.
Zwischenwirbelscheibe 57.
Zwölffingerdarm 264.

::

